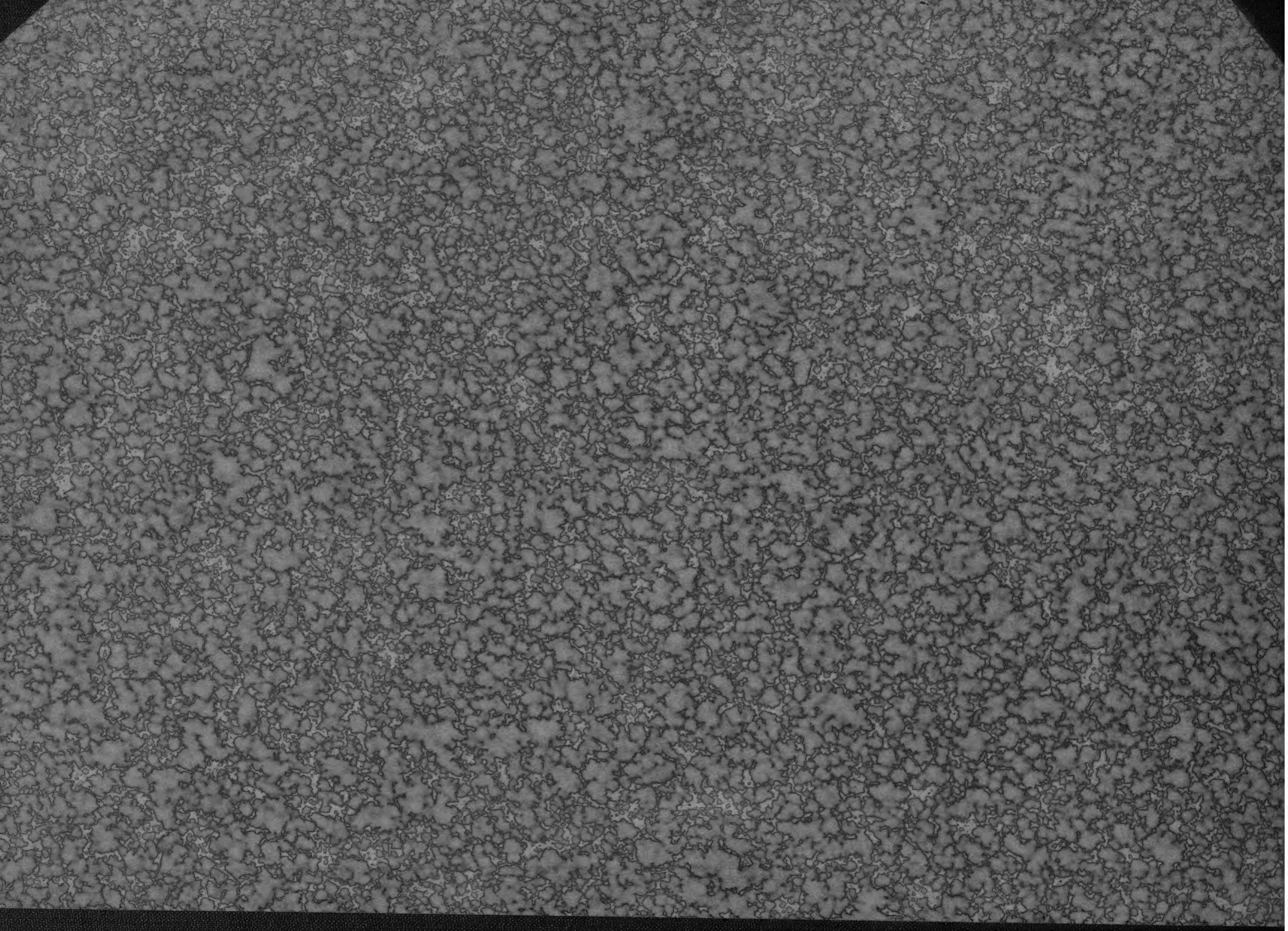

Eph. Astr. 4° Stuwers

73 d

<36642161190011

<36642161190011

Bayer. Staatsbibliothek

TOBIAS MAYER'S STERNVERZEICHNISS

NACH DEN BEOBACHTUNGEN AUF DER

GÖTTINGER STERNWARTE

IN DEN JAHREN 1756 BIS 1760

NEU BEARBEITET

VON

ARTHUR AUWERS.

LEIPZIG 1894.

VERLAG VON WILHELM ENGELMANN.

BIBLIOTHECA
REGIA
MONACENSIS

TOBIAS MAYER'S STERNVERZEICHNISS

NACH DEN BEOBACHTUNGEN AUF DER

GÖTTINGER STERNWARTE

IN DEN JAHREN 1756 BIS 1760

NEU BEARBEITET

VON

ARTHUR AUWERS.

LEIPZIG 1894.

VERLAG VON WILHELM ENGELMANN.

BIBLIOTECA
REGIA
MONACENSIS

Der von Tobias Mayer am 5. April 1759 der Göttinger Gesellschaft der Wissenschaften vorgelegte, auf die Beobachtungen am Mauerquadranten der Göttinger Sternwarte 1756—1758 gegründete Catalog von 998, in der Hauptsache der Zodiacalgegend angehörigen Sternen* nimmt unter den Arbeiten des vorigen Jahrhunderts aus dem Bereich der Fixsternkunde eine der ersten Stellen ein, und wird auch heute noch als eine nicht zu übergehende Quelle für Fixsternörter, zumal für die Oerter der nicht von Bradley beobachteten Sterne, welche ein Drittel seines Bestandes bilden, betrachtet.

Bessel's Vergleichung der aus den Bradley'schen Beobachtungen für eine fast gleichzeitige Epoche abgeleiteten Sternörter mit den Mayer'schen** erbrachte, erst mehr als vierzig Jahre nachdem Mayer's unter den Nöthen des Siebenjährigen Krieges und nach dem vorzeitigen Tode des Verfassers noch geraume Zeit unveröffentlicht gebliebener Catalog den Astronomen mitgetheilt war, den Beweis für die bis dahin dem Ruf des grossen Astronomen gewährte Annahme, dass die Ableitung der angegebenen Oerter aus den angestellten Beobachtungen mit derselben Sorgfalt und Umsicht, nicht allein wie man aus Mayer's Vortrag vom oben genannten Tage wusste in der ganzen Anlage der Arbeit, sondern auch in den Einzelheiten der Ausführung vorgenommen sei, welche man an Mayer's Beobachtungen selbst hatte kennen und schätzen lernen. Zugleich liess diese Vergleichung aber ersehen, wie Mayer bei der Unzulänglichkeit der für die Untersuchung seiner Instrumente ihm zu Gebote stehenden Hülfsmittel, vielleicht auch in Folge der Unzulänglichkeit der zum Theil erst von ihm geschaffenen Hülfsmittel der astronomischen Reductionsrechnung, dennoch nicht hatte verhindern können, dass sein Catalog durch Fehler wesentlich systematischer Art entstellt wurde, welche über die wirkliche Unsicherheit selbst der Beobachtung des einzelnen Sterns an vielen Stellen weit hinausgiengen. Soweit der gesetzmässige Verlauf dieser Fehler deutlich erkannt werden kann, ist es möglich die Catalogangaben, eben auf Grund der Vergleichung mit den Bradley'schen Oertern, noch nachträglich von denselben zu befreien, und man hat diess versucht, wenn man in neuerer Zeit von den Mayer'schen Oertern Gebrauch gemacht hat, wirklichen Erfolg dabei aber nur für die Declinationen erzielt, während man sich schliesslich gewöhnt hat die Rectascensionen als minder vertrauenswerth ganz bei Seite zu lassen.

---

* Fixarum Zodiacalium Catalogus novus ex observationibus Gottingensibus ad initium anni 1756 constructus. Auctore Tobia Mayer. Herausgegeben von G. C. Lichtenberg in: Tobiae Mayeri Opera Inedita. Vol. I. Gottingae 1775.

** Fundamenta Astronomiae p. 317—321.

Nachdem aber im Jahre 1826 die dem Mayer'schen Catalog zu Grunde liegenden Beobachtungen, soweit sie erhalten waren, nebst einigen weiteren Sternbeobachtungen von 1758—1760, von der englischen Regierung durch den Druck veröffentlicht worden waren*, war es möglich eine viel sicherere Reduction durch differentielle Behandlung des Materials im Anschluss an die aus Bradley's Beobachtungen gezogenen Bestimmungen zu erlangen, und es ist befremdlich, dass fünfzig Jahre lang nach dem Erscheinen der Beobachtungssammlung niemand an diese Aufgabe gegangen ist, welche am Anfang dieses Zeitraums noch ungleich dankbarer erscheinen musste als gegen Ende desselben, ihre wissenschaftliche Bedeutung aber auch noch heute keineswegs verloren hat, andererseits gegenwärtig wieder besser gelöst werden kann als es bis vor einigen Jahren möglich gewesen sein würde, weil inzwischen der Bradley's Beobachtungen noch keineswegs erschöpfende Catalog der Bessel'schen Fundamenta durch die vollständigere neue Bearbeitung ersetzt worden ist.

Einzig Francis Baily hat alsbald nach dem Erscheinen der Mayer'schen Beobachtungssammlung von derselben Gebrauch gemacht, indem er auch den Mayer'schen Catalog in den Kreis seiner hochverdienstlichen und ausserordentlich eifrigen Bemühungen um die Sicherung und Verwerthung der in älteren und neueren Sternverzeichnissen niedergelegten oder aus unvollständig ausgenutzten Beobachtungsreihen noch abzuleitenden Resultate hineinzog. In der neuen Ausgabe des Mayer'schen Catalogs, welche Baily am 11. Juni 1830 der Royal Astronomical Society überreichte**, sind eine Anzahl grösserer zufälliger Irrthümer der Mayer'schen Bearbeitung, theils nach den Angaben anderer inzwischen hergestellter Cataloge, theils nach Vergleichung mit den Originalbeobachtungen berichtigt, ferner sind die zu jedem einzelnen Catalogstern gehörigen Beobachtungen, und die bei Mayer noch vorkommenden Beobachtungen anderer Sterne nachgewiesen, welche letzteren zur Aufstellung eines — indess nicht weiter ausgearbeiteten — Nachtragscatalogs von 45 Nummern Anlass gegeben haben. Im übrigen gibt Baily die Mayer'schen Oerter ungeändert wieder; die Vergleichung mit Bradley hat er wiederholt und führt die Unterschiede gleich im Catalog auf; ausserdem hat er denselben noch mit den bei Mayer selbst noch nicht vorkommenden — einzeln inzwischen schon von Piazzi und Anderen angewandten — laufenden Nummern 1—998 versehen, nach denen seitdem die Mayer'schen Sterne immer bezeichnet worden sind. Zum Schluss gibt Baily noch eine lange Reihe wesentlich auf die Sammlung der Originalbeobachtungen gestützter Bemerkungen zur Begründung angebrachter Verbesserungen und zur Erörterung der noch übrig gebliebenen zweifelhaften Fälle.

Meine neue Bearbeitung der Bradley'schen Beobachtungen legte mir den Gedanken nahe, die zeitgemässe Umprägung des in den genauen Fixsternbeobachtungen aus der Mitte des vorigen Jahrhunderts gesammelten Schatzes durch Einbeziehung der Mayer'schen Beobachtungen zu vervollständigen, und ich bin um die Mitte der 70er Jahre, als die Aufstellung des neuen Bradley-Catalogs im wesentlichen abgeschlossen war, an die Ausführung gegangen, indem ich einige für die Reduction nöthige Vorarbeiten habe vornehmen lassen. Ende 1877 habe ich dann die ersten Abschnitte der Reduction selbst beginnen lassen; weiterhin habe ich aber die Arbeit immer nur bruchstückweise, und vielfach in sehr kleinen Abschnitten, selbst fördern oder auch nur fördern lassen können, je nachdem Pausen

---

* Astronomical Observations made at Gottingen, from 1756 to 1761. By Tobias Mayer. Published by order of the Commissioners of Longitude. London 1826.

** Mayer's Catalogue of Stars, corrected and enlarged; together with a Comparison of the Places of the greater part of them, with those given by Bradley; and a reference to every observation of every Star. By Francis Baily. — Mem. R. A. S. Vol. IV. P. II. London 1831.

zwischen unmittelbarer dringenden Arbeiten dieses ermöglichten, und den in definitiver Redaction im wesentlichen in den Mussestunden zwischen den Victoriabeobachtungen und anschliessenden Arbeiten am Cap der Guten Hoffnung 1889 zusammengestellten Catalog kann ich, nach Hinzufügung der Vergleichung mit anderen Bestimmungen und der Kritik der zweifelhaften Beobachtungen, wiederum erst nach Verlauf weiterer vier Jahre endlich den Astronomen übergeben.

In diesem langen Zeitraum, über welchen sich die Ausführung der in ihrer ganzen Ausdehnung gar nicht so sehr umfangreichen Arbeit hat erstrecken müssen, haben mir verschiedene meiner ständigen und gelegentlichen Herren Gehülfen bei derselben zur Seite gestanden, und mir den grössten Theil der mechanischen Rechenarbeit abgenommen. Ich darf nicht unterlassen, soweit es ohne Eingehen in allzu kleine Einzelheiten möglich ist, den Antheil zu bezeichnen, welcher einem jeden dieser Herren zukommt. Zwei derselben weilen nicht mehr unter den Lebenden, Hr. J. Sievers, welcher die Bessel'schen Constanten für die nicht bei Bradley vorkommenden Sterne berechnet hat, und Dr. J. Lamp, welcher für eben diese Sterne und eine Anzahl anderer, von Bradley nicht ausreichend beobachteter, behufs Bestimmung der Eigenbewegungen durch Vergleichung mit neuen Bestimmungen für die Epoche 1885, die Mayer'schen Oerter und ferner die der Cataloge von Piazzi und Taylor auf diese Epoche reducirt hat. Den Hauptantheil an der Arbeit haben die Herren Prof. G. Müller und Dr. Battermann. Ersterer hat das Beobachtungsjournal vom 23. Mai 1756 ab, mit Nachweis der Catalognummer bei jeder Beobachtung, aufgestellt, die Fadenabstände abgeleitet und die Durchgangszeiten auf den Mittelfaden reducirt, für die Declinationen die Quadrantenablesung (der 96-Theilung) verwandelt und die mittlere Refraction berechnet; ferner hat derselbe für sämmtliche Beobachtungen die Reduction auf mittlern Ort 1755.0 berechnet. Hr. Dr. Battermann hat das — für die ersten Beobachtungsmonate allein erhaltene — Durchgangsjournal 1756 Febr. 8 — Mai 21 neu aufgestellt, die Berechnung der Refractionen vollendet, diese und für beide Coordinaten die Reduction auf 1755 angebracht und die erhaltenen Werthe mit den Oertern des Bradley-Catalogs verglichen, alsdann die mehrfachen Annäherungen grösstentheils durchgerechnet, durch welche vermittelst dieser Vergleichung die Uhrcorrectionen und Zenithpuncte, sowie die Gestalt- und Aufstellungsfehler des Quadranten abgeleitet sind, schliesslich die definitiven Resultate der einzelnen Beobachtungen hergestellt, für die einzelnen Sterne zusammengetragen und daraus die für die Epoche gültigen Mittel gebildet. Mein gegenwärtiger Gehülfe Hr. Dr. Stumpe hat an der letzten Revision der Catalogvergleichungen theilgenommen und die zweite Abtheilung der Vergleichung zum grössern Theil aufgestellt; endlich hat derselbe bei der Drucklegung sich der mühsamen Aufgabe einer unabhängigen Correctur der Druckbogen unterzogen.

Mehrere andere Collegen haben mich durch anderweitige wichtige Beiträge zu der Arbeit zu Dank verpflichtet. Hr. Geheimrath Foerster hat derselben eine werthvolle Unterstützung dadurch gewährt, dass er 1878 von Beamten der Kaiserlichen Normal-Aichungs-Commission eine Bestimmung der Theilungsfehler des Nonius des Mayer'schen Mauerquadranten ausführen liess. Hr. Prof. Becker übernahm auf meinen Wunsch eine neue Beobachtung aller Mayer'schen Sterne, welche nicht bei Bradley, und in Folge dessen in den neueren Catalogen, welche die Eigenbewegungen der Bradley'schen Sterne geliefert hatten, nur vereinzelt vorkommen. Nachdem diese neue Bestimmung nicht mehr, wie ursprünglich beabsichtigt, am Berliner Meridiankreise hatte ausgeführt werden können, übernahm Prof. Becker dieselbe für den für diese durchweg ziemlich hellen Sterne vollständig genügenden kleinen Meridiankreis der Gothaer Sternwarte und hat die erforderlichen Beobachtungen in den Jahren 1883—1887 angestellt. Die Reduction derselben ist durch Prof. Becker's Nachfolger auf der Gothaer Sternwarte Hrn. Prof. Harzer ausgeführt, und die Resultate liegen in Gestalt

des in Nr. 3035 der Astronomischen Nachrichten veröffentlichten Catalogs von 375 Sternen vor, welcher mir als ein vorzügliches Hülfsmittel zur Bestimmung der Eigenbewegungen gedient hat.

Die Königlich Preussische Akademie der Wissenschaften, welcher ich so manche nachdrückliche Förderung meiner wissenschaftlichen Unternehmungen verdanke, hat im Jahre 1890 die Kosten der unter Hrn. Prof. Harzer's Aufsicht ausgeführten Reductionsrechnungen für die Gothaer Beobachtungen übernommen, und neuerdings durch ihre liberale Intervention die der Drucklegung des Werkes noch entgegenstehenden Hindernisse hinweggeräumt.

Berlin, im November 1893.

A. Auwers.

INHALTSVERZEICHNISS.

Seite

Nachweis über die Beobachtungen . . . . . 1—2

Die Reduction der Rectascensionen . . . . . 2—15

Fadenabstände und Reduction auf den Mittelfaden . . . . . S. 2

Reduction auf mittleres Aequinoctium . . . . . » 3

Ableitung der Uhrcorrectionen und der Aufstellungs- und Gestaltfehler des Quadranten . . . . . » 3

Die Reduction der Declinationen . . . . . 15—27

Die Ablesungen des Quadranten . . . . . S. 15

Refraction . . . . . » 16

Reduction auf den Meridian . . . . . » 17

Genäherte Declinationen für 1755 . . . . . » 17

Indexfehler und sonstige Correctionen . . . . . » 17

Resultate der Umhängung des Quadranten . . . . . » 23

Das eigene Declinationssystem des Göttinger Quadranten . . . . . » 25

Die Resultate der einzelnen Beobachtungen (Erläuterungen) . . . . . 27—29

Ergänzung der Declinationen nach Mayer's Catalog . . . . . 29—38

Die Identificirung der Mayer'schen Sterne und die Richtigstellung der Beobachtungen 38—41

Die Eigenbewegungen der Mayer'schen Sterne (Erläuterungen und Reductionstafeln) 41—46

Die Mayer'schen Planetenbeobachtungen . . . . . 46—49

Resultate der einzelnen Beobachtungen und Mittel für Epoche . . . . . 51—94

Catalog von 1027 Sternen für Aequinoctium und Epoche 1755.0 . . . . . 95—139

Vergleichung der Mayer'schen Oerter mit neueren Bestimmungen und Ableitung der Eigenbewegungen für bei Bradley nicht vorkommende oder ungenügend beobachtete Sterne 141—198

I. Vergleichung mit Zach, Piazzi, Taylor, dem Königsberger Zodiacalcatalog und den neuen Gothaer Bestimmungen (aushülfsweise mit anderen Catalogen) . . . . . S. 143—184

a) Sterne, die bei Bradley nicht vorkommen . . . . . S. 143

b) Sterne, die bei Bradley nur mit einer sicher beobachteten Coordinate vorkommen . . . . . » 179

II. Ausgedehntere Vergleichungen für besonders untersuchte Sterne S. 185—198

Constanten zur Reduction auf scheinbaren Ort für die nicht bei Bradley vorkommenden Sterne . . . . . 199—206

Berichtigungen . . . . . 207—208

Nachweis über die Beobachtungen.

Mayer sagt in seiner Mittheilung vom 5. April 1759 hinsichtlich der Grundlagen seines Catalogs*: »addo observationum seriem coeptam mense Februario 1756, per integrum biennium, et amplius esse continuatam, quamvis saepiuscule interrupta sit, tum propter oborta interea in hac regione et urbe tempora turbulentiora, quibus ascensus in observatorium quavis noctis hora non satis tutus mihi visus, tum vero quod superfluum duxeram, stellas, iam antea toties observatas, iterato labore persequi diligentius«. Der Bestand des Beobachtungsjournals stimmt zu dieser Angabe nicht ganz, indem die grosse Menge der für den Catalog angestellten Beobachtungen in einem Zeitraum von $1\,1/4$ Jahr enthalten ist, Februar 1756—April 1757; weiter folgen dann noch von August 1757 ab einige kürzere Reihen, deren letzte aber dem 23. October 1757 angehört. Nachher finden sich nur noch vereinzelte Beobachtungen von Mayer, die nicht mehr auf den Catalog Bezug haben, die letzten am 10. März 1760, und aus den Monaten Juni bis September dieses Jahres eine etwas grössere, auch wieder Catalogsterne aus den südlichsten Theilen der Zodiacalzone betreffende Zahl von Niebuhr angestellter Beobachtungen.

Es könnte hiernach die Befürchtung entstehen, dass ein Theil der angestellten Beobachtungen, namentlich aus dem Jahr 1758, in der erhaltenen Zusammenstellung fehlte. Indess ist diess wahrscheinlich nicht der Fall, und die Angabe »per biennium et amplius« auf die ganze Dauer der von Mayer bis zur Fertigstellung des Catalogs überhaupt am Quadranten angestellten Beobachtungen zu beziehen, mit Einschluss derjenigen von 1758 (Jan. 9—Juni 27), welche auf den Catalog keinen Bezug mehr gehabt haben. Eine wirkliche Unvollständigkeit dagegen besteht am Anfang der Reihe, indem das erhaltene Beobachtungsjournal erst mit 1756 Mai 23 beginnt, während über die zahlreichen vorher, 1756 Febr. 8—Mai 21, bereits angestellten Beobachtungen nur ein anderes Heft Auskunft gibt, welches eine Reduction der beobachteten Rectascensionen, von den Beobachtungen nicht oder nicht durchweg die Originalzahlen, sondern nur die bereits auf den Mittelfaden reducirten Durchgangszeiten, von den Declinationen gar nichts enthält. Letztere sind auch nicht für die anonymen Sterne wenigstens genähert angegeben, so dass in einigen, indess nur wenigen, Fällen auch die Identificirung der beobachteten Sterne zweifelhaft bleibt. Nur für 28 Beobachtungen aus Februar 1756, meist von Fundamentalsternen und Körpern des Sonnensystems, sind auf einem besondern Blatt auch die Ablesungen der Zenithdistanz erhalten geblieben.

Die Zahl der in den einzelnen Jahren angestellten bez. in dem erhaltenen Theil des Journals vorkommenden Beobachtungen beträgt:

---

* Op. ined. I. p. 46.

	Durchgänge					Zenithdistanzen				
	Sterne	Sonne	Mond	Plan.	zus.	Sterne	Sonne	Mond	Plan.	zus.
1756	2839	89	21	28	2977	1689	73	21	20	1803
1757	568	54	17	1	640	541	51	16	3	611
1758	28	12	3	8	51	10	11	2	8	31
1759	15	—	1	1	17	12	—	1	1	14
1760	101	11	16	12	140	98	10	16	12	136
	3551	166	58	50	3825	2350	145	56	44	2595

Beobachtungen beider Ränder eines Gestirns, oder wiederholte Einstellungen bei demselben Durchgang, sind hier nur für eine Beobachtung gerechnet, und die hauptsächlich aus längeren Reihen von Einstellungen des Polarsterns bestehenden Beobachtungen in der Nordlage des Quadranten 1756 Juli 22—Aug. 4 nicht mitgezählt.

In die Zeit 1756 Febr. 8—Mai 21 fallen 1204 Beobachtungen, darunter 1174 von Sternen, von welchen die Zenithdistanzen, bis auf die schon erwähnten 28 (22 von Sternen), verloren sind.

Unter den Sterndurchgängen befinden sich etwa 150 derartig zerstreute, dass sie keine Beiträge zur Bestimmung der Rectascensionen der Sterne zu liefern vermögen. Die Zenithdistanzen sind dagegen mit wenigen Ausnahmen zur Ableitung von Declinationen brauchbar.

Die Reduction der Rectascensionen.

Fadenabstände und Reduction auf den Mittelfaden.

Das Fernrohr des Quadranten hatte ein Fadennetz mit 5 Verticalfäden. Sonne, Mond, Planeten und Fundamentalsterne wurden gewöhnlich an mehreren Fäden, die Catalogsterne meist nur an einem Faden, jedoch häufig an einem Seitenfaden beobachtet, so dass eine genaue Kenntniss der Fadenabstände erforderlich ist. Aus allen vorkommenden vollständigen Sterndurchgängen haben sich folgende Abstände vom Mittelfaden im Aequator gefunden:

Jahr	I	II	IV	V	Durchg.
1756	$60^s.17$	$30^s.12$	$30^s.06$	$60^s.06$	75
1757	60.17	30.11	29.98	60.01	92
1758	60.12	30.14	30.07	60.05	15
1759	60.15	29.98	30.16	60.24	3
1760	60.00	30.09	30.00	60.00	12

Hiernach scheint das Netz unverändert und während der ersten vier Jahre an derselben Stelle verblieben, im letzten Jahr etwas weiter vom Objectiv entfernt gewesen zu sein; zur Reduction sind folgende Mittelwerthe angenommen:

1756—1759	Abst. I	$60^s.168$	$\log f$	1.77937
	II	30.112		1.47874
	IV	30.021		1.47743
	V	60.036		1.77841

1760 $\Delta \log f = -0.00530$

Der m. F. eines Fadenantritts findet sich aus allen Beobachtungen der alten — Bradley'schen — Fundamentalsterne zwischen den Parallelen von α Bootis und α Virginis 1756—1759

$\pm 0^s.116$ (aus 680 Antritten in 157 Durchgängen)

für die übrigen Fundamentalsterne

$\pm 0^s.143$ (aus 433 Antritten in 100 Durchgängen).

Die Durchgangsbeobachtungen Mayer's sind also ungeachtet der etwas geringeren optischen Kraft seines Instruments etwas genauer als die Bradley'schen. Vielleicht hängt diess damit zusammen, dass Mayer

bereits die Eintheilung der Zeitsecunde in Zehntel vorgenommen hat, welche in Greenwich an Stelle der Achtelsecunden-, in praxi jedoch wesentlich Viertelsecunden-Scale Bradley's erst später von Maskelyne eingeführt wurde.

Nicht selten hat Mayer Antritte als weniger sicher bezeichnet, durch Hinzufügung einer Anzahl von Puncten, von 1 bis 8. Die Reduction der an mehreren Fäden beobachteten Durchgänge erweist, dass eine geringe Anzahl von Puncten eine thatsächlich nur geringe Verminderung der Sicherheit anzeigt. Es sind deshalb nur die mit mehr als 4 Puncten versehenen Antritte ganz ausgeschlossen, die anderen mitgenommen

mit Gew. $^3/_4$ für Antritte mit 1 Punct
» » $^1/_2$ » » » 2 Puncten
» » $^1/_4$ » » » 3 oder 4 Puncten.

Reduction auf mittleres Aequinoctium.

Der von Mayer selbst bearbeitete Catalog ist, ebenso wie die neue Ausgabe von Baily, auf Aeq. 1756.0 gestellt. Die wahre Epoche der meisten Oerter fällt auch in das Jahr 1756; da der Mayer'sche Catalog aber gegenwärtig wesentlich ein Supplement zu dem Bradley-Catalog zu bilden hat, und nicht durch 5 theilbare Jahreszahlen überhaupt als Catalogepochen unbequem sind, wurde als Aequinoctium der neuen Bearbeitung 1755 gewählt.

Die Reduction vom Beobachtungstage auf Aeq. 1755.0 ist mit den Bessel'schen Constanten a, b.... und meinen von der Reduction der Bradley'schen Beobachtungen her bereits auch für alle Mayer'schen Beobachtungstage vorliegenden, mit den heute allgemein angewandten Constanten berechneten Werthen A, B... ausgeführt. Die angewandten $\log a$, $\log b$ etc. für 1755 sind für die bei Bradley vorkommenden Sterne im III. Bande der neuen Bearbeitung der Bradley'schen Beobachtungen enthalten, für die übrigen Sterne hier im Anhang gegeben.

Die Reduction von der scheinbaren $A\!R$ auf 1755.0 ist sogleich zu der Durchgangszeit durch den Mittelfaden hinzugefügt.

Ableitung der Uhrcorrectionen und der Aufstellungs- und Gestaltfehler des Quadranten.

Für alle in dem neuen Bradley-Catalog enthaltenen, wenigstens viermal am Passageninstrument beobachteten Sterne sind für jeden Abend die Unterschiede zwischen der Bradley'schen mit der Eigenbewegung des Catalogs auf die jedesmalige Epoche gebrachten $A\!R$ und dem Werth »beob. Durchg.-Zt. + Red. auf 1755« aufgesucht.

In dieser Art sind als Anhaltsterne für die Reduction der Rectascensionen im ganzen 574 Bradley'sche Sterne benutzt. Nahe die Hälfte derselben (270) sind bei Bradley 10 und mehr Mal, zum Theil sehr häufig beobachtet und es war zuerst meine Absicht den Vergleichungen mit diesen Sternen grösseres Gewicht beizulegen. Es stellte sich aber bald heraus, dass die ganz überwiegende Quelle der Unsicherheit aus den Gestaltfehlern des Quadranten entspringe, und ein merklicher Gewichtsunterschied zwischen den Vergleichungen mit Sternen verschiedener Classen deshalb nicht vorhanden sei. Es sind demnach alle Anhaltsterne ohne Rücksicht auf die Verschiedenheit der Sicherheit ihrer Bestimmung bei Bradley als gleichwerthig behandelt.

Die Uhren, über welche Mayer verfügte, sind sehr untergeordnete Instrumente von stark veränderlichem Gang gewesen. Der tägliche Gang ist nach Möglichkeit durch Vergleichung der Durchgangszeiten der nämlichen Sterne an den auf einander folgenden Beobachtungstagen, sonst durch Vergleichung der Mittel der Unterschiede Br. — (Dg. Zt. + Red. 1755) für Sterne in durchschnittlich nahe gleicher Zenithdistanz bestimmt. Die folgende Zusammenstellung gibt die erlangten Resultate.

1756	Gang für Epoche		in 24^h Stzt.
Febr. 8 9	Febr. 8	$18^h.6$	$+2^m\ 15^s.86$
15	» 12	6.5	9.71
16	» 15	18.4	11.57
Von Febr. 16 Abends ab neue Uhr.			
Febr. 16 17	Febr. 16	$20^h.6$	$+2^m\ 26^s.12$
19	» 18	8.3	24.69
24	» 21	19.7	24.36
26 27	» 25	6.4	24.27
März 8	März 3	6.7	24.23
9	» 8	18.8	25.45
10	» 9	18.2*	24.66:
12	» 11	7.7*	23.84:
13	» 12	22.3*	30.73:
14	» 13	23.0	25.04
16	» 15	10.3*	24.24
22 25 29	» 19	9.7	25.71
	» 23	21.5	24.38
Apr. 1	» 30	21.6	+ 0.26
2	Apr. 1	21.6	+ 1.28
5	» 3	20.4	+ 0.23
6	» 5	20.2	− 0.31
8	» 7	8.1	− 1.38
9	» 8	21.0*	− 0.90
12	» 10	21.8*	+ 0.59
15	» 13	21.8*	+ 3.31
18	» 16	22.4*	+ 5.10
19	» 18	22.7	+ 5.21
21	» 20	9.8	+ 5.12
22 24	» 21	22.3*	+ 4.77
	» 23	10.2*	+ 7.68
Mai 8	Mai 1	10.5*	+ 4.90
20	» 14	12.3*	+ 4.28
21 23	» 20	14.6	+ 5.84
29	» 26	9.9*	+ 6.98?
Juni 1	» 30	0.0*	+ 1.91:
2	Juni 1	2.4	+ 4.16
8	» 5	14.3	+ 5.31
9	» 8	2.3	+ 4.05
14	» 11	1.6*	+ 4.89:
20	» 17	9.1	+ 7.03:
21	» 20	22.1*	+ 8.49:
22	» 21	18.5	+ 7.34:[1]
23	» 22	18.5	+ 7.21:[1]
24	» 23	18.5	+ 7.06:
27	» 25	18.5	+ 8.05
Juli 4	» 30	6.5	+ 7.38
5	Juli 4	5.3	+ 4.29
7	» 8	18.2	+ 6.01
11	» 9	7.4	+ 6.03
12	» 11	6.0	+ 7.01
13	» 11	7.4	+ 6.96
14	» 13	19.4	+ 7.29
15	» 14	19.4	+ 8.26
16	» 15	22.7	+ 8.37
17	» 16	22.7	+ 9.16
22 23	» 22	5.7	+ 9.08
Uhr stand Juli 24			
Aug. 6 7	Aug. 7	18.4	+ 5.84
8	» 7	5.3	+ 5.79
14	» 11	17.5	+ 6.39
16	» 12	18.9	+ 6.08

1756	Gang für Epoche		in 24^h Stzt.
Aug. 14 16			
28 29	Aug. 22	$7^h.9$	$+ 5^s.16$
30	» 28	2.0	+ 5.51
	» 29	7.8	+ 6.55
Sept. 1	» 31	20.2'	+ 6.06
2	Sept. 1	8.5	+ 5.69
3	» 2	7.6	+ 5.03
9	» 6	19.5	+ 5.47
11	» 10	19.5	+ 4.65
12	» 12	1.6*	+ 3.15
14	» 13	3.7*	+ 2.96
15	» 14	11.0	+ 4.81
16 24	» 15	9.0	+ 5.41
25	» 20	9.1	+ 3.05
26 27	» 24	9.6	+ 3.06
28	» 25	9.3	+ 2.46
30	» 26	0.5	+ 3.63
Oct. 1	» 28	13.2	+ 5.08
2	» 29	19.5	+ 4.23:
6	Oct. 1	7.9	+ 3.52
	Uhr stand Oct. 6		
9	» 7	9.8*	− 0.35
10	» 9	9.4*	− 0.89
11	» 10	8.0	− 0.45
15	» 13	0.4	− 1.19
16	» 15	6.4	− 1.40
27	» 21	2.0	− 2.86
28	» 27	2.0	− 1.66
29	» 28	2.0	− 2.49
30	» 29	8.6	− 5.82
31	» 30	9.0*	− 5.50
Nov. 1	Nov. 1	22.6	− 4.99
2	» 1	11.1*	− 5.02
4	» 3	0.4*	− 4.10
8	» 6	20.3*	− 6.63
13	» 10	2.0	− 7.97
14	» 13	2.0	− 9.23
15	» 14	7.6	− 6.91
Dec. 10			
11	Dec. 10	11.3	− 9.78
12	» 11	11.2	−10.56
12	» 12	1.9*	−13.56:
12	» 12	7.5*	−14.72:
24	» 18	14.4*	−13.37
1757			
Jan. 2			
3	Jan. 2	17.1	−12.17
28	» 15	18.4*	− 7.80
28	» 28	5.3*	− 7.65:
29	» 29	23.5	− 7.26
Febr. 8	Febr. 4	1.8*	− 6.83
9	» 8	18.0*	− 4.48
12	» 10	17.5*	− 5.19
15	» 13	17.8*	− 4.80
18	» 16	18.0*	− 4.24
19	» 18	19.6	− 4.24
20	» 19	19.6	− 3.48
24	» 22	6.4*	− 2.54
25	» 24	16.8	− 2.51
28	» 26	17.8*	− 2.13
März 6	März 3	6.6*	− 2.69
9	» 7	18.6*	− 3.80
10	» 9	17.9*	− 4.52
Uhr stand März 20			

1757	Gang für Epoche		in 24^h Stzt.
März 24 26	März 25	$8^h.8$*	$- 3^s.88$
27	» 26	20.4	− 4.67
30	» 28	21.3*	− 2.09
31	» 30	21.8*	− 0.70
Apr. 3	Apr. 1	23.2'	− 1.69
5	» 4	9.6	− 2.91
6	» 5	22.8	− 2.02
7 9	» 6	22.0	− 1.57
18	» 7	17.1	− 1.10
19	» 13	17.1	− 1.11
20 26	» 18	17.1	+ 2.19
28	» 19	19.2*	+ 3.42:
Juni 16 21	» 22	17.0	+ 2.67
	» 24	10.0	+ 2.57
	Juni 19	7.7*	+ 5.20
Aug. 6 13	Aug. 9	6.4*	+ 7.31
14	» 13	6.7	+ 4.91
24	» 19	18.3	+ 5.24
24 25 26	» 24	1.6	+ 9.64:
	» 25	19.7	+ 8.70
	» 25	19.5	+ 8.36
Oct. 5 18	Oct. 11	10.3*	+ 0.05
19	» 18	10.0*	− 1.53
20	» 19	7.9*	− 0.63
22	» 21	21.0*	− 0.33
23	» 22	11.1*	− 0.38
1758			
Jan. 9 10	Jan. 9	7.8	− 8.90
März 15 16	März 15	17.2	− 4.38
31	» 23	5.0	− 1.35
Apr. 1	» 31	17.0	+ 1.66
Juni 24 25 27	Juni 24	17.7	+14.08
	» 25	5.7	+12.38
1759			
Mai 1 6	Mai 3	7.2	+ 5.50
1760			
Juni 1 2	Juni 2	8.5	+12.62
3	» 3	8.5	+14.80
4	» 4	8.5	+17.09
9	» 5[2]	15.0	+13.90
11	» 10	15.4	+16.60
26 29	» 27	5.8*	+20.55
Juli 1	» 30	19.9*	+19.80
2	Juli 2	9.0	+20.86
Uhr stand Juli 24			
Aug. 21 22	Aug. 21	6.7*	+ 2.98
23	» 22	8.0*	+ 8.04:
24	» 23	9.9	+ 7.00
Sept. 17 18	Sept. 17	6.7	+11.36

Die durch verschiedene Sterne bestimmten Gänge sind durch ein ihrer Epoche beigesetztes * Zeichen kenntlich gemacht.

[1] Sicher aus Juni 21 und 23: Juni 22 $16^h.4$ $+6^s.98$. — [2] Aus Juni 1 und 9.

Mayer hat in seinem Journal die Vormittags bei Tage angestellten Beobachtungen, ein oder das andere Mal auch eine nächtliche, aber erst nach Mitternacht begonnene Reihe, unter dem bürgerlichen Datum eingetragen. Demgemäss gibt die erste Columne der vorstehenden Tabelle, als Verweis auf das Beobachtungsjournal, wo solche Beobachtungen in Frage kommen das bürgerliche Datum an. Die in der folgenden Columne angegebenen Epochen sind durchweg in astronomischer Zählung (des wahren, durch die Sonnenculmination vom folgenden getrennten Datums) zu verstehen.

Bei der Reduction der einzelnen Beobachtungsreihen sind die in der folgenden Tafel zusammengestellten, den aus der vorigen Uebersicht interpolirten Werthen des täglichen Ganges entsprechenden stündlichen Gänge benutzt. Die Daten dieser Tafeln sind die des Journals, in einigen Fällen also wieder bürgerliche.

1756		Uhrzt.	tgl.	stdl.
Febr.	8	7^h	$+129^s.6$:	$+5^s.40$:
	9	7	129.6:	+5.40:
	15	6	131.5	+5.44
	16	9	146.4	+6.10
	17	8	145.2	+6.05
	19	8	144.8	+6.03
	24	7	144.5	+6.02
	26	6	144.5	+6.02
	27	7	144.5	+6.02
März	8	8	145.2	+6.05
	9	7	144.4	+6.02
	12	10	148:	+6.17:
	13	11	145.1	+6.05
	14	6	144.9	+6.04
	»	11	144.8	+6.03
	16	9	144.8	+6.03
	22	10	144.8	+6.03
	25	10	144.0:	+6.00:
	29	9	0.0:	0.00:
Apr.	1	10	1.0	+0.04
	2	5	0.7	+0.03
	»	9	+ 0.6	+0.03
	5	8	— 0.2	−0.01
	6	8	0.7	−0.03
	8	8	1.1	−0.05
	9	9	— 0.5	−0.02
	12	10	+ 2.0	+0.08
	15	9	4.2	+0.18
	18	12	5.2	+0.22
	19	11	5.2	+0.22
	21	10	4.9	+0.20
	22	12	5.5	+0.23
	23	5	7.0:	+0.29:
	24	10	7.2:	+0.30:
Mai	1	5	5.0:	+0.21:
	8	11	4.5	+0.19
	20	15	5.5	+0.24
	21	15	6.0:	+0.25:
	23	11	6.0:	+0.25:
	29	10	4.8?	+0.20?
Juni	1	14	4.0	+0.17
	2	15	4.3	+0.18
	8	5	4.1	+0.17
	»	14	4.1	+0.17
	9	14	4.4	+0.18
	14	14	5.9:	+0.25:
	20	5	8.2:	+0.34:
	21	16	7.4	+0.31
	22	14	7.2	+0.30
	23	16	7.1	+0.30
Juli	4	18	4.4	+0.18
	5	17	4.4	+0.18
	11	19	6.8	+0.28
	12	18	7.0	+0.29
	15	18	8.3	+0.35
	17	14	8.9	+0.36
	22	18	9.1	+0.38
	23	17	+ 9.0:	+0.37:

1756		Uhrzt.	tgl.	stdl.
Juli	24	17^h	$+9^s.0$:	$+0^s.37$:
	29	18	8.0:	+0.33:
Aug.	8	18	5.8	+0.24
	14	17	6.0	+0.25
	16	19	5.7	+0.24
	29	21	6.2	+0.26
	30	20	6.4	+0.27
Sept.	1	20	5.8	+0.24
	2	20	5.3	+0.22
	3	19	5.1	+0.21
	9	5	5.2	+0.22
	»	20	5.0	+0.21
	11	19	4.1	+0.17
	13	7	3.0	+0.12
	14	0	5.1	+0.21
	15	14	5.3	+0.22
	»	18	5.3	+0.22
	»	22	5.3	+0.22
	16	20	5.5:	+0.23
	24	21	3.1	+0.13
	25	23	2.7	+0.11
	26	21	3.4	+0.14
	27	1	4.6	+0.19
	28	2	5.0	+0.21
	30	19	4.1	+0.17
Oct.	1	20	3.7	+0.15
	2	20	+ 3.3:	+0.14
	6	20	0.0:	0.00
	9	23	— 0.8	−0.03
	»	4	0.9	−0.04
	10	12	0.8	−0.03
	»	20	0.7	−0.03
	11	20	0.6	−0.02
	»	2	0.7	−0.03
	15	23	1.4	−0.06
	27	21	1.7	−0.07
	28	14	2.1	−0.09
	»	20	2.3	−0.10
	29	21	4.6	−0.19
	30	14	5.8	−0.24
	»	21	5.7	−0.24
	31	21	5.4	−0.22
Nov.	2	0	4.1	−0.17
	4	20	4.6	−0.19
	»	1	4.7	−0.20
	8	21	7.3	−0.30
	13	14	9.1	−0.38
	14	20	7.9	−0.33
	15	22	6:	−0.25:
Dec.	10	23	9.4	−0.39
	11	23	10.2	−0.43
	12	23	13.0:	−0.54:
	»	5	−14.0:	−0.58:

1757				
Jan.	2	5	−12:	−0.50:
	3	6	12:	−0.50:
	28	3	− 7.7:	−0.32:

1757		Uhrzt.	tgl.	stdl.
Jan.	28	7^h	$-7^s.7$:	$-0^s.32$:
	30	20	7.2	−0.30
Febr.	8	8	4.6	−0.19
	9	4	4.5	−0.19
	12	7	5.0	−0.21
	15	5	4.5	−0.19
	18	7	4.2	−0.18
	19	6	3.9	−0.16
	20	8	3.3	−0.14
	24	5	2.5	−0.10
	28	7	2.2	−0.09
März	6	5	3.4	−0.14
	9	7	4.3	−0.18
	10	5	4.7:	−0.20:
	24	9	3.7:	−0.15:
	26	8	4.4	−0.18
	27	9	4.3	−0.18
	30	10	1.0	−0.04
	31	10	0.8	−0.03
Apr.	3	12	2.7	−0.11
	5	12	2.2	−0.09
	6	6	1.9	−0.08
	»	13	1.7	−0.07
	7	10	1.2	−0.05
	9	5	−1.1	−0.05
	19	5	+2.8	+0.12
	20	10	3.2	+0.13
	28	10	2.5:	+0.10:
Mai	22	15	4?	+0.17?
Juni	21	10	5.2?	+0.22
	»	14	»	»
Aug.	6	8	7.3?	+0.30
	»	14	»	»
	»	18	»	»
	13	19	5.0	+0.21
	14	18	5.2	+0.22
	24	19	9.0:	+0.38
	25	7	9.1	+0.38
	»	14	8.8	+0.37
	26	7	8.2	+0.34
	»	19	+8.0	+0.33
Sept.	22	20	?	ang. 0
Oct.	5	21	?	» 0
	18	0	−1.4	−0.06
	19	20	1.1	−0.05
	20	20	0.5	−0.02
	22	22	0.4	−0.02
	23	15	−0.4?	−0.02?
	»	20	»	»
	»	0	»	»

1758				
Jan.	9	20	−8.9	−0.37
	10	22	»	»
März	15	5	4.4	−0.18
	16	6	−4.0	−0.17
	31	5	+1.5	+0.06
Apr.	1	5	+1.7?	+0.07?

1758		Uhrzt.	tgl.	stdl.
Mai	14	10^h	?	ang. 0
Juni	25	5	$+13^s$?	$+0^s.54$?
	27	6	+12?	+0.50?
1759				
Mai	1	10	+ 5.5	+0.23
Nov.	22	23	− 7*	−0.29
1760				
März	10	11	?	ang. 0

1760		Uhrzt.	tgl.	stdl.
Juni	1	14^h	$+10^s.8$	$+0^s.45$
	»	20	11.3	+0.47
	2	21	13.9	+0.58
	3	21	16.0	+0.66
	4	21	17.2	+0.72
	9	15	16.7	+0.70
	11	15	16.5	+0.69
	26	17	20:	+0.83
	29	19	20.0	+0.83
Juli	1	21	+20.2	+0.84

1760		Uhrzt.	tgl.	ang. stdl.
Juli	2	21^h	$+21^s.0$	$+0^s.87$·
	31	22	?	0
Aug.	21	18	4.8?	+0.20
	»	22	5.7?	+0.24
	22	19	8.0?	+0.33
	23	21	7.5?	+0.31
	24	22	7.0?	+0.29
Sept.	17	18	+11.3?	+0.47
	18	18	»	»

Die Gangtabelle lässt keinen Zweifel daran, dass die Mayer'schen Uhren gar nicht compensirt gewesen sind, wenngleich die Gangänderungen nicht durchweg den, vielfach nur aus spärlichen Angaben unsicher zu erschenden Temperaturänderungen folgen; das Pendel des »horologium occidentale«, welches fast ausschliesslich als Beobachtungsuhr benutzt ist, hat vermuthlich eine eiserne Stange gehabt. Der Rechner hat diess übersehen, und den 24. Theil des ermittelten täglichen Ganges als stündlichen Gang während der Beobachtungsreihe angenommen, während für die Nachtstunden ein erheblich beschleunigter Gang vorauszusetzen ist, an die vorstehenden »stündlichen Gänge« also noch eine negative, in Ermangelung ausreichender Temperaturangaben der Jahreszeit entsprechend beiläufig abzuschätzende Correction hätte angebracht werden sollen, im Betrage bis $-0^s.10$ oder noch mehr. Ich habe diess Uebersehen erst nach Vollendung aller Rechnungen und Zusammenstellung des Catalogs bemerkt, und dann die sehr weitläufige Verbesserung der davon betroffenen Rectascensionen nicht mehr nachholen wollen, da der Fehler des Verfahrens wesentlich nur den zufälligen Fehler der Oerter etwas, und angesichts der übrigen die Rectascensionen beeinflussenden viel erheblicheren Fehlerquellen schwerlich irgend erheblich erhöht. Eine nachträglich vorgenommene Vergleichung der in den längeren Reihen beobachteten Uhrcorrectionen lässt übrigens die Beschleunigung des Uhrganges bei Nacht nur unsicher erkennen. Im Mittel aus 29 Vergleichungen, welche sich in der Periode 1756 Febr. 16—Oct. 9 anstellen lassen, findet sich nur eine stündliche Voreilung von $0^s.013$, welche aber überhaupt nur durch das regelmässige Vorkommen beträchtlicher negativer Werthe der Gangänderung in den letzten $1^1/_2$ Monaten jener Periode herauskommt, während vorher ganz überwiegend kleine positive Werthe erscheinen — insgesammt 15 positive gegen nur 12 negative. Wenn man aber auch hierin nur eine Verschleierung des wirklichen Sachverhalts durch hinzugetretene zufällige Fehler erblicken kann und ein unberücksichtigt gebliebenes Voreilen der Uhr bei Nacht als die Regel anzunehmen hat, so wird doch der Einfluss der begangenen Vernachlässigung dadurch sehr eingeschränkt, dass längere Beobachtungsreihen schon aus dem Grunde, um nicht zu sehr von den Voraussetzungen über die Gestalt des Quadranten abhängig zu werden, regelmässig getheilt wurden, so dass nur ausnahmsweise der Abstand der zu reducirenden Durchgangszeit von der Epoche der benutzten Uhrcorrection eine Stunde erreicht hat; in der Regel bleibt er auch für die äussersten Sterne einer Gruppe erheblich kleiner. Anders verhält es sich nur bei den vereinzelt weit ausserhalb der Zodiacalzone beobachteten Sternen, aber bei diesen ist hinwiederum die sonstige Unsicherheit der aus der betr. Beobachtung abzuleitenden Rectascension eine derartig grosse, und das Stimmrecht, welches solche isolirten Beobachtungen erhalten haben, demgemäss so gering bemessen, dass die Vergrösserung des Fehlers durch einen stärkern Fehler der angewandten Uhrcorrection nicht merklich ins Gewicht fällt. —

Es sind nun zunächst alle zusammenhängenden, oder wenigstens nicht durch lange Pausen unterbrochenen, Beobachtungsreihen aufgesucht, in welchen Sterndurchgänge bei mehr als 60° verschiedenen Zenithdistanzen beobachtet sind.

Bezeichnet Δ die Differenz: Bradley'sche mittlere Æ für Epoche der Beobachtung — (beob. Dg.-Zt. d. Mf. + Red. auf 1755), und ist $\Delta_0 = \Delta$ — ang. Uhrgang bis zu einer runden, etwa der Mitte

* Nach Angabe von Mayer.

der Beobachtungsreihe entsprechenden Stunde, so sind nun für jede der zunächst ausgewählten Beobachtungsreihen die Werthe Δ_0 nach der Zenithdistanz geordnet und für die jedesmal passend erscheinenden Intervalle zu Mitteln vereinigt. So findet sich z. B. 1756 Febr. 24 aus der Beobachtungsreihe 6^h10^m bis 8^h50^m

Δ_0 für	ZD.	5°8	= +32ˢ79	aus	1	St.	
»	»	21.2	+29.02	»	3	»	v. 19°6 b. 23°2
»	»	29.7	+28.38	»	19	»	» 26.2 » 31.4
»	»	35.6	+28.11	»	10	»	» 33.1 » 38.4
»	»	52.8	+28.60	»	4	»	» 52.0 » 54.3
»	»	67.9	+27.65	»	1	»	

nach Abzug einer Anzahl von ganzen Minuten, um immer mit positiven Zahlen zu thun zu haben. Jeder dieser Werthe gibt eine Gleichung von der Form

$$\Delta_0 = (\Delta u + m) + n \operatorname{tang} \delta + c \sec \delta + f(z)$$

wenn $f(z)$ die an eine in der ZD. z beobachtete Durchgangszeit wegen der Abweichung des Limbus von einer Ebene anzubringende Correction ist.

Eine erste Näherung hat nun darin bestanden, dass für 46 Beobachtungsreihen, von 45 Tagen 1756 Febr. 16—1757 Aug. 24, die Constanten n und c aus diesen Gleichungen mit Vernachlässigung von $f(z)$ bestimmt wurden. Alle Normalgleichungen erhielten dabei gleiches Gewicht. Aus allen für c bis zur Umhängung des Quadranten am 21. Juli 1756 gefundenen Werthen wurde dann ein Mittel genommen, rund $c = +11^s$, und ein anderes $c = +4^s$ aus allen nach der Wiederumhängung Aug. 5 gefundenen, und damit für jeden Tag n allein berechnet. Aus den Tageswerthen für n sind dann Mittel für 11 Perioden gebildet, welche durch absichtliche, im Journal vermerkte, Verstellungen des Instruments oder durch deutliche Sprünge in den berechneten n von einander getrennt sind. Mit den Normalwerthen von n und c sind dann schliesslich für die einzelnen Tage die $\Delta u + m$ und die bei der Substitution übrig bleibenden Abweichungen der Δ_0 berechnet. Diese Abweichungen, 257 an der Zahl, sind nach der Zenithdistanz geordnet und 46 daraus für ZD. −3°7 bis +87°0 gezogene Mittel graphisch ausgeglichen.

Die der Ausgleichungscurve entnommenen Werthe $= f(z)_1$ sind von den vorher benutzten Mitteln Δ_0 abgezogen, und vermittelst der so in erster Näherung von den Gestaltfehlern des Quadranten befreiten Gleichungen ist die vorige Rechnung wiederholt und auf 5 weitere Tage aus den Jahren 1758 und 1760 ausgedehnt. Für c liessen sich jetzt in den beiden ersten Jahren anscheinend 8 Perioden unterscheiden, für n war ein fortschreitender Gang in den ersten Monaten zu erkennen, übereinstimmend mit der von Mayer gemachten Bemerkung eines von Februar bis Juni 1756 merklichen Nachgebens des Pfeilers auf dem frisch gemauerten Fundament. Es waren daher am Anfang Tageswerthe von n zu benutzen, von Juni ab konnten Mittelwerthe für zum Theil längere Perioden angenommen werden.

Die Reste der Substitution lieferten durch graphische Ausgleichung neue Werthe $= f(z)_2$, mit welchen nunmehr eine dritte Annäherung gerechnet wurde. Bei dieser wurden weiter alle Beobachtungsreihen zugezogen, welche sich über Zonen von 20° bis 60° Ausdehnung in ZD. erstrecken. Die dabei gefundenen Werthe von c zeigten geringere Schwankungen als bei der zweiten Rechnung, so dass nur folgende Perioden gebildet zu werden brauchten:

1756 Febr. 16—April 23	$c =$	+ 1ˢ28
Mai 1—Mai 22		+11.92
Juli 4—17		+18.14
Aug. 8—1757 Oct. 23		+ 3.70

Der letzte Werth ist auch für 1758 (bis Juni 27) angenommen; spätere Beobachtungen wurden in dieser Rechnung nicht benutzt. Aus den mit diesen c erhaltenen n konnten durch interpolatorische Ausgleichung nun fast durchweg anscheinend schon recht sichere Tageswerthe bestimmt werden, nur ausnahmsweise, hauptsächlich für die meist schwachen Bestimmungen von August 1757 ab, sind Mittel für, meist kurze, Perioden gebildet.

Die Reste der neuen Substitution, welche eine dritte Annäherung der Correctionen $f(z)$ liefern sollten, wurden getrennt für die Reihen A mit grosser Amplitude der ZD. und Durchgängen in wenigstens drei beträchtlich verschiedenen Zenithdistanzen und die Reihen B mit Amplituden von weniger als 60°, oder bei grossem Unterschied mit Durchgängen nur in zwei Zonen, behandelt. Zwischen den Ordinaten der beiden Ausgleichungscurven, $f(z)$, ergab sich eine für ZD. 0° bis 44° constante Differenz $A - B = -0^s.40$, weiterhin nahm dieselbe bis 64° ZD. auf 0 ab und blieb im letzten Stück der Curven unmerklich. Nach entsprechender Verschiebung der aufgetragenen Puncte B wurde eine Gesammtausgleichung vorgenommen, welche die dritten Näherungswerthe $= f(z)_3$ lieferte.

Mit diesen wurde nun eine vierte und letzte Näherung für die Bestimmung der Aufstellung durchgerechnet. Die $f(z)_3$ unterschieden sich von den $f(z)_2$ nur noch wenig und konnten daher bereits als eine nur noch wenig zweifelhafte Annäherung an die wahren $f(z)$ angesehen werden; die verbleibende Unsicherheit der einzelnen Werthe konnte daher jetzt gegenüber den zufälligen Fehlern der einzelnen Δ vernachlässigt werden, und demgemäss erhielten in dieser vierten Rechnung die für die mittleren Beträge von Δ_0 aufgestellten Gleichungen Gewichte gleich der Anzahl der darin vereinigten Durchgänge. Die Resultate der Rechnung gibt die folgende Tafel, in welcher die Einheit der für n und c angegebenen Gewichte das durchschnittliche Gewicht einer Durchgangsbeobachtung, bez. eines Δ ist; zwischen den in Wirklichkeit je nach der Zahl der beobachteten Fäden und anderen Umständen verschiedenen Gewichten der Durchgänge und ihrer Vergleichung ist hier nicht weiter unterschieden.

Aufstellungsfehler des Quadranten.

1756	Ausdruck für n	Gew.	beob. c	Gew.	c_0	beob. n	n_0
Febr. 9	$+3^s.70 - 0.171\,c$	0.33			$+1^s.35$	$+3^s.47$	
15	$+2.91 - 0.124$ »	0.54			(Gew.	$+2.72$	
16	$+4.07 - 0.324$ »	1.52	$+0^s.34$	0.056	0.567)	$+3.63$	
17	$+3.95 - 0.091$ »	0.50				$+3.83$	$+3^s.54$
19	$+4.02 - 0.397$ »	1.12				$+3.48$	
24	$+4.08 - 0.276$ »	1.68	$+1.12$	0.055		$+3.71$	
26	$+4.25 - 0.603$ »	0.36					
27	$+3.36 - 0.195$ »	2.05	-0.02	0.090		$+3.44$	
März 8	$+2.84 - 0.232$ »	1.51				$+3.10$	$+3.15$
9	$+3.27 - 0.158$ »	0.10				$+2.53$	
10	$+3.44 - 0.520$ »	0.28				$+3.06$	
14	$+3.20 - 0.215$ »	1.88	-0.03	0.070		$+2.74$	$+2.64$
16	$+2.03 - 0.381$ »	0.30				$+2.91$	
April 2	$+1.77 - 0.374$ »	1.08				$+1.52$	
5	$+1.39 - 0.218$ »	0.43				$+1.27$	
6	$+1.02 - 0.342$ »	0.34				$+1.10$	$+1.06$ (bis April 12)
15	$-0.21 - 0.160$ »	0.23				$+0.56$	
18	$+0.82 - 0.256$ »	2.74	$+2.67$	0.129		-0.43	
19	$-0.73 - 0.180$ »	0.38				$+0.47$	$+0.40$
22	$-0.67 - 0.212$ »	3.38	$+2.05$	0.169		-0.97	
23	$-0.56 - 0.366$ »	0.79				-0.96	-0.98 (bis April 24)
Mai 1	$+4.85 - 0.521$ »	0.28				-1.05	
20	$+0.16 - 0.148$ »	3.46	$+10.85$	0.270	$+11^s.63$	-1.21	-1.3
21	$-0.51 - 0.128$ »	3.70	$+10.74$	0.297	(Gew.	-1.56	
			Mai 24 Aufstellung geändert		0.895)	-2.00	-1.79 (bis Mai 23)
Juni 1	$+1.40 - 0.357$ »	1.98	$+17.84$	0.031			
2	$-0.99 - 0.154$ »	3.49	$+12.01$	0.248		-2.75	
8	$+1.30 - 0.373$ »	1.56	$+15.11$	0.032		-2.78	
9	$-4.06 - 0.072$ »	0.30				-3.04	
			Juni 12 Centrum nach Osten verschoben			-4.90	-2.82
14	$+2.86 - 0.415$ »	1.19	$+16.32$	0.017		-1.97	
20	$+0.61 - 0.319$ »	1.05				-3.10	
21	$-8.11 + 0.177$ »	0.86				-6.05	
22	$+4.58 - 0.602$ »	0.34				-2.42	-6.05 (bis Juni 23)
	Juni 26 Fernrohr abgenommen;		Juli 1 Centrum $14''.5$ nach Osten verschoben				
Juli 4	$-5.22 - 0.023\,c$	2.18	$+18.75$	0.089	$+17^s.34$	-5.62	
5	$-5.03 - 0.003$ »	2.24	$+15.01$	0.114	(Gew.	-5.08	
11 I	$-7.18 + 0.033$ »	0.15			0.435)	-6.61	
» II	$-1.42 - 0.198$ »	4.43	$+18.61$	0.151		-4.85	-5.10
12	$+0.04 - 0.306$ »	5.07				-5.27	
15	$-0.94 - 0.225$ »	3.65	$+15.07$	0.064		-4.84	
17	$+2.35 - 0.419$ »	0.97	$+22.91$	0.017		-4.92	

1756		Ausdr. für n	Gew.	beob. c	Gew.	c_o	beob. n	n_o	gerechnet mit
		Juli 21 Quadrant nach N. umgehängt, Aug. 5 wieder nach S. zurück							
Aug.	8	$+2^s.39 - 0.374\,c$	2.38	$+3^s.23$	0.083	$+3^s.61$	$+1^s.04$	$+1^s.47$	$+1^s.33$
	16	$+2.24 - 0.135$ »	3.64	$+2.03$	0.130	(Gew. 1.965)	$+1.75$		$+1.86$ $+1^s.65$
	29	$+2.69 - 0.111$ »	2.37	$+1.62$	0.142		$+2.29$		$+2.38$
	30	$+1.27 + 0.067$ »	0.40				$+1.51$		$+1.46$
Sept.	1	$+2.43 - 0.211$ »	1.98	$+0.87$	0.021		$+1.67$	$+1.77$	$+1.83$ $+1.86$
	2	$+2.08 - 0.120$ »	2.39				$+1.65$		$+1.74$
	3, I	$+0.55 - 0.091$ »	0.15				$+0.22$		$+0.29$
	» II	$+1.75 - 0.057$ »	1.92	$+1.36$	0.053		$+1.54$		$+1.59$
	9, I	$+2.47 - 0.329$ »	2.76	$+7.93$	0.049		$+1.27$		$+1.54$
	» II	$+2.01 - 0.178$ »	1.87	$+2.62$	0.076		$+1.37$		$+1.67$
	11	$+1.36 + 0.155$ »	0.81				$+1.92$	$+1.18$	$+1.80$ $+1.44$
	12	$+1.72 - 0.315$ »	0.15				$+0.58$		$+0.83$
	14	$+2.50 - 0.441$ »	4.16	$+3.06$	0.104		$+0.91$		$+1.25$
	15, I	$+3.70 - 0.602$ »	0.34				$+1.53$		$+2.00$
	» II	$+1.90 + 0.007$ »	2.97	$+0.26$	0.155		$+1.93$	$+1.88$	$+1.92$ $+1.90$
	16	$+2.67 - 0.169$ »	3.28	$+8.35$	0.091		$+2.06$		$+1.87$
	25	$+1.48 + 0.049$ »	2.80				$+1.66$		$+1.62$
		Sept. 26 nach ⊙ Centrum verstellt							
	26	$+2.29 - 0.196$ »	1.82	$+5.97$	0.062		$+1.58$		$+1.32$
	27	$+3.26 - 0.461$ »	3.79	$+4.18$	0.123		$+1.58$		$+1.96$
	28, I	$+1.49 + 0.138$ »	0.53				$+1.99$	$+1.58$	$+1.88$ $+1.75$ (von Sept. 24 ab)
	» II	$+3.15 - 0.502$ »	5.62	$+7.09$	0.084		$+1.34$		$+1.73$
	30	$+2.24 - 0.123$ »	1.48	-0.10	0.031		$+1.80$		$+1.89$
Oct.	1	$+2.30 - 0.167$ »	2.02	$+1.94$	0.086		$+1.70$		$+1.83$
	2	$+1.32 - 0.254$ »	1.47				$+0.40$		$+0.60$
	9, I	$+0.56 + 0.029$ »	0.93				$+0.67$	$+0.77$	$+0.64$ $+0.97$
	» II	$+2.66 - 0.438$ »	2.04				$+1.08$		$+1.42$
	10	$+0.02 + 0.192$ »	0.22				$+0.71$		$+0.56$
	11	$+2.37 - 0.229$ »	5.04	$+4.31$	0.227		$+1.55$		$+1.72$
	15	$+1.01 + 0.025$ »	0.88				$+1.10$		$+1.08$
	28, I	$+3.43 - 0.595$ »	0.35				$+1.28$		$+1.75$
	» II	$+1.48 + 0.136$ »	0.48				$+1.97$	$+1.57$	$+1.86$ $+1.74$ (bis Nov. 2)
	29	$+2.67 - 0.210$ »	1.79	$+1.65$	0.036		$+1.91$		$+2.08$
	30, I	$+3.48 - 0.595$ »	0.35				$+1.33$		$+1.80$
	» II	$+2.32 - 0.215$ »	1.65	$+0.98$	0.032		$+1.54$		$+1.71$
Nov.	4, II	$+2.60 - 0.415$ »	0.44				$+1.10$		$+1.43$
	8	$+2.53 - 0.198$ »	1.86	-0.32	0.055		$+1.81$	$+1.58$	$+1.97$ $+1.62$
	13	$+0.56 - 0.093$ »	0.15				$+0.22$		$+0.30$
	15	$+1.37 + 0.039$ »	0.99				$+1.51$		$+1.48$
Dec.	11	$+2.25 - 0.119$ »	0.50				$+1.82$	$+2.21$	$+1.91$ $+2.38$ (von Dec. 10 ab)
	12	$+3.21 - 0.255$ »	2.28	$+4.65$	0.080		$+2.29$		$+2.49$
1757									
Jan.	2	$+3.11 - 0.372$ »	0.74	$+9.57$	0.021		$+1.77$		$+2.06$
	3	$+2.26 - 0.073$ »	1.26				$+2.00$		$+2.05$
	28, I	$+4.66 - 0.500$ »	1.03				$+2.85$	$+1.88$	$+3.24$ $+2.19$
	» II	$+1.56 - 0.182$ »	0.95				$+0.89$		$+1.04$
	30	$+3.18 - 0.464$ »	0.35				$+1.49$		$+1.87$
Febr.	12	$+1.13 - 0.168$ »	1.80				$+0.52$		$+0.65$
	15	$+3.67 - 0.500$ »	0.68				$+1.87$		$+2.26$
	18	$+1.72 - 0.275$ »	0.22				$+0.73$		$+0.94$
	19	$+2.21 - 0.193$ »	2.81	$+2.23$	0.085		$+1.51$	$+1.23$	$+1.66$ $+1.42$ (von Febr. 8 ab)
	20	$+1.12 - 0.228$ »	0.15				$+0.30$		$+0.47$
	24	$+2.99 - 0.375$ »	0.93	$+8.07$	0.021		$+1.64$		$+1.93$
	28	$+1.69 - 0.165$ »	0.72				$+1.09$		$+1.22$
März	6	$+2.39 - 0.348$ »	1.25	$+7.14$	0.017		$+1.14$		$+1.41$
	9	$+2.33 - 0.325$ »	0.21				$+1.16$	$+1.25$	$+1.41$ $+1.53$
	10	$+3.70 - 0.527$ »	0.27				$+1.80$		$+2.21$
	24	$+0.39 - 0.145$ »	0.17				-0.13		-0.02
Apr.	5	$-0.60 - 0.092$ »	0.57				-0.93	-0.70	-0.86 -0.51 (bis Apr. 28)
	6	$+1.08 - 0.366$ »	0.90	$+7.04$	0.019		-0.24		$+0.04$
	19	$+0.12 - 0.374$ »	0.71	$+5.67$	0.010		-1.23		-0.94
		Juni 16 Centrum nach Osten verschoben							
Juni	21, II	$-3.06 - 0.060$ »	0.16				-3.28	—	-3.23 —
Aug.	6, I	$-0.13 - 0.315$ »	0.15				-1.27		-1.02
	» II	$-1.80 - 0.093$ »	0.15				-2.14		-2.06
	» III	$-0.10 - 0.249$ »	2.74	$+2.20$	0.034		-1.00	-1.43	-0.80 -1.29
	13	$-1.72 + 0.189$ »	0.38				-1.04		-1.19
	14	$-1.83 - 0.102$ »	1.59				-2.20		-2.12
	24	$-0.23 - 0.102$ »	1.52	$+2.32$	0.038		-0.60		-0.52
	25, I	$-0.72 - 0.161$ »	0.44				-1.30		-1.18
	» II	$+0.12 - 0.148$ »	0.15				-0.41	-0.68	-0.30 -0.60
	26, I	$+0.22 - 0.315$ »	0.15				-0.92		-0.67
	» II	$-0.83 + 0.172$ »	0.32				-0.21		-0.34

1757	Ausdr. für n	Gew.	beob. c	Gew.	c_0	beob. n	n_0	gerechnet mit
Sept. 22	$-1^s.16 + 0.179\,c$	0.30				$-0^s.51$		$-0^s.65$
Oct. 18	$+0.19 - 0.182$ »	0.37				-0.47		-0.33
19	$-0.17 + 0.189$ »	0.33				$+0.51$		$+0.36$
20	$+0.78 - 0.247$ »	1.58				-0.11	$-0^s.35$	$+0.08$ $-0^s.27$
23, I	$-0.64 + 0.047$ »	0.36				-0.45		-0.51
» II	$-0.26 - 0.029$ »	0.32				-0.36		-0.34
» III	$-1.15 - 0.182$ »	0.37				-1.81		-1.67
1758		Jan. 10 Centrum des Quadranten verschoben						
Jan. 10	$-1.26 - 0.071$ »	0.27			$+8^s:$	-1.82		
		März 15 Centrum nach O. verschoben						
März 15	$-0.20 - 0.374$ »	0.71	$+7^s.50$	0.010		-3.19		
31	$-0.77 - 0.368$ »	1.08	$+8.44$	0.013		-3.68	$-3.5:$	
April 1	$-0.50 - 0.374$ »	0.71	$+7.50$	0.010		-3.59		
		Juni 24 Centrum nach O. verschoben						
Juni 25	$-1.85 - 0.383$ »	0.76	$+10.20$	0.006		-4.94		
27	$-1.26 - 0.071$ »	0.09						
1759								
Mai 1	$-7.40 - 0.306$ »	0.17						
Nov. 22	$-11.71 + 0.270$ »	0.25	Centrum beträchtlich nach O. verschoben; nicht zu ersehen ob vor oder nach den Beobachtungen					
1760	Quadrant im März ungefähr auf den Stand von März 1756 zurückgebracht							
Juni 1	$-7.01 - 0.279\,c$	1.19	-7.62	0.017				
Juli 2	$+10.38 + 0.251$ »	0.17						

Mit den unter der Ueberschrift c_0 angegebenen Mittelwerthen aus den Einzelresultaten für c ergeben sich die unter den Ueberschriften beob. n und n_0 angegebenen Tageswerthe für n und deren Mittel für angemessen begrenzte Perioden. Diese Tageswerthe »beob. n« waren für die vierte Substitution zu benutzen, deren Fehlerreste neu angenäherte $f(z) = f(z)_4$ liefern sollten, und die entsprechenden Normalwerthe n_0 sollten dann für die definitive Reduction der Durchgangsbeobachtungen angewandt werden. In Folge von Versehen in der Berechnung der Tageswerthe für drei Tage, welche ich erst zu spät bemerkt habe, hat aber der Rechner anstatt des oben angegebenen vierten Normalwerths für c 1756 Aug. 8 — 1757 Oct. 23 $c_0 = +2^s.83$ angenommen und damit die in zweiter Linie für diesen Zeitraum oben aufgeführten, thatsächlich für alle weiteren Reductionen benutzten Werthe von n und n_0 erhalten. Die in zweiter Linie aufgeführten Werthe von n Sept. 9 11, 16 und 26 sind noch mit speciellen Fehlern behaftet und hätten $+1^s.51$, $+2^s.19$, $+1^s.32$, die zugehörigen Periodenmittel $+1^s.37$, $+2^s.06$, $+1^s.79$ sein sollen. Es war nicht mehr möglich ohne unverhältnissmässige Weitläufigkeit die Wirkungen des Versehens zu beseitigen; indess können dieselben die Bestimmung der Rectascensionen schliesslich nicht wesentlich geschädigt haben, denn der in c und n für den bezeichneten Zeitraum verbliebene Fehler wird zum Theil durch die entsprechende Bestimmung von $f(z)_4$ wieder eliminirt, und der verbleibende Rest, welcher vermittelst der $f(z)_4$ seine Wirkungen noch auf die übrigen Abschnitte der Beobachtungen erstreckt, trifft wesentlich nur die Uhrcorrectionen, nur in solchen Fällen, wo überhaupt keine grosse Genauigkeit zu erreichen ist, auch die Rectascensionsdifferenzen.

Für diejenigen Beobachtungstage 1756 — 1757, welche zwischen die nach vorstehender Tafel unterschiedenen Perioden fallen, sind folgende zwischen den voraufgehenden und folgenden liegende Werthe von n_0 angenommen:

1756	März 22—29	$n_0 = +1^s.8$
	Mai 8	-1.5
1757	Mai 22	$-1:$

Nach dem ersten Beobachtungstage, 1756 Febr. 8, wurde der Quadrant verschoben; bis auf einige wenige liegen die an diesem Tage beobachteten Sterne alle in einer ganz schmalen Zone und ihre Rectascensionen konnten ohne Aufstellungsfehler berechnet werden, die weiter abstehenden sind ausgeschlossen. —

Die bei der Substitution für die Jahre 1756 und 1757 verbleibenden Reste liefern folgende Mittelwerthe für $f(z)$.

A. Beobachtungsreihen mit $\Delta z > 60^\circ$, und mindestens 3 Gruppen.

z	$f(z)$	Gew.	z	$f(z)$	Gew.	z	$f(z)$	Gew.	z	$f(z)$	Gew.
$-3^\circ.7$	$+2^s.42$	2	$25^\circ.6$	$-0^s.94$	16	$53^\circ.2$	$+0^s.79$	32	$70^\circ.3$	$+0^s.49$	57
-1.0	$+1.28$	8	29.8	-1.09	47	55.9	$+0.91$	22	71.4	$+0.48$	54
$+0.2$	$+1.36$	6	31.1	-1.83	6	58.3	$+0.89$	31	72.6	$+0.34$	48
1.0	$+1.20$	8	32.6	-1.16	34	60.0	$+1.05$	14	73.6	$+0.50$	51
5.8	$+0.68$	12	35.5	-0.67	45	60.6	$+1.17$	16	76.3	$+0.22$	39
7.1	-0.04	13	37.2	-0.61	28	61.5	$+1.13$	54	78.3	-0.25	52
10.2	-0.04	12	42.2	-0.84	46	63.4	$+1.15$	30	79.7	-0.73	18
13.0	-0.17	12	44.7	-0.57	30	65.2	$+1.03$	54	81.6	-0.60	10
21.3	-0.86	15	46.3	-0.37	39	67.3	$+1.16$	72	85.2	-1.72	10
23.1	-1.45	11	51.3	$+0.20$	29	68.7	$+1.01$	35	87.0	-2.92	4

B. Beobachtungsreihen mit Δz 20° bis 60°, oder nur 2 Gruppen bei $\Delta z > 60^\circ$.

z	$f(z)$	Gew.	z	$f(z)$	Gew.	z	$f(z)$	Gew.	z	$f(z)$	Gew.
$3^\circ.7$	$+1^s.64$	3	$27^\circ.9$	$-0^s.77$	104	$45^\circ.1$	$-0^s.29$	27	$64^\circ.2$	$+0^s.97$	27
6.1	$+0.81$	5	31.3	-0.60	70	45.8	-0.08	19	67.6	$+1.01$	54
11.1	$+0.79$	3	35.0	-0.36	59	49.6	$+0.38$	33	69.9	$+0.87$	22
19.4	-0.41	14	38.1	-0.44	45	53.4	$+0.89$	32	73.0	$+0.37$	19
22.0	-0.65	23	41.3	-0.26	25	57.9	$+1.14$	26	76.4	$+0.18$	20
23.7	-0.86	45	43.5	-0.56	23	60.9	$+1.40$	30	79.6	-0.51	12
									82.2	-1.13	5

Die hier aufgeführten Gewichte sind gleich der Anzahl der benutzten Durchgänge.

Die beiden Gruppen sind zunächst wieder eine jede für sich graphisch ausgeglichen. Die Vergleichung der beiden Curven ergab als Reduction

$f(z)_A - f(z)_B$	bis 46° ZD.	$-0^s.36$
	von 46° bis 64°	$-0^s.36 + 0^s.02\,(z - 46^\circ)$
	» 64 » 90	0

Nach Anbringung dieser Reduction wurde eine neue Curve durch alle 65 Puncte gelegt, deren Ordinaten die folgenden definitiv angenommenen Werthe $f(z) = f(z)_4$ geben.

Correctionen der Durchgangszeit wegen der Gestaltfehler des Limbus.

z	$f(z)$	z	$f(z)$	z	$f(z)$	z	$f(z)$	z	$f(z)$	z	$f(z)$
-4°	$+2^s.46$	11°	$-0^s.18$	27°	$-1^s.10$	42°	$-0^s.76$	58°	$+1^s.01$	73°	$+0^s.44$
-3	$+2.16$	12	-0.29	28	-1.10	43	-0.77	59	$+1.09$	74	$+0.42$
-2	$+1.91$	13	-0.38	29	-1.09	44	-0.70	60	$+1.16$	75	$+0.36$
-1	$+1.66$	14	-0.46	30	-1.07	45	-0.58	61	$+1.19$	76	$+0.25$
0	$+1.43$	15	-0.55	31	-1.03	46	-0.43	62	$+1.17$	77	$+0.08$
1	$+1.24$	16	-0.64	32	-0.98	47	-0.32	63	$+1.11$	78	-0.11
2	$+1.04$	17	-0.72	33	-0.89	48	-0.21	64	$+1.10$	79	-0.33
3	$+0.85$	18	-0.80	34	-0.79	49	-0.07	65	$+1.11$	80	-0.55
4	$+0.68$	19	-0.87	35	-0.70	50	$+0.10$	66	$+1.13$	81	-0.77
5	$+0.52$	20	-0.93	36	-0.70	51	$+0.33$	67	$+1.12$	82	-1.00
6	$+0.40$	21	-0.98	37	-0.70	52	$+0.51$	68	$+1.04$	83	-1.26
7	$+0.28$	22	-1.02	38	-0.70	53	$+0.68$	69	$+0.88$	84	-1.54
8	$+0.16$	23	-1.06	39	-0.71	54	$+0.80$	70	$+0.69$	85	-1.86
9	$+0.04$	24	-1.08	40	-0.72	55	$+0.88$	71	$+0.54$	86	-2.23
10	-0.06	25	-1.10	41	-0.74	56	$+0.94$	72	$+0.47$	87	-2.65
		26	-1.10			57	$+0.99$			88	-3.14

Das Fernrohr lag, wenn der Quadrant für Beobachtung im südlichen Meridian aufgestellt war, östlich auf dem Limbus. Die Tafel bestätigt demnach, was Mayer selbst mit sehr unvollkommenen Hülfsmitteln festgestellt hat, dass der Limbus in der unteren Hälfte eine convexe, in der oberen eine concave Gestalt gehabt hat. —

Zur Reduction der in den letzten Jahren vorkommenden für den Catalog brauchbaren Sternbeobachtungen sind folgende Werthe benutzt:

1758 März 15 und 31 die oben schon nachgewiesenen Werthe $c_0 = +8^s$ und $n_0 = -3^s.5$

weiterhin neue mit Benutzung der $f(z)_4$ abgeleitete Werthe von n mit Vernachlässigung der nicht weiter bestimmbaren Constante c:

1759 Mai 1	$n =$	$-7^s.9$
Nov. 22		-11.7
1760 März 10		0
Juni 1 — 11	$n_0 =$	$+7^s.1$
Juni 26 — Juli 1	$n_0 =$	$+11^s.0$
Juli 2 — Sept. 17	$n_0 =$	$+10.6$

Uhrcorrectionen.

Die zur Ableitung der Rectascensionen in Verbindung mit den vorstehend nachgewiesenen c, n und $f(z)$ und den oben S. 5-6 zusammengestellten Gängen benutzten Uhrcorrectionen für die abgerundeten Mittelzeiten der einzelnen Beobachtungsreihen sind folgende.

1756	Uhrzt.	Ausdehnung der Zone Uhrzt.	ZD.	$\Delta u'$	**	Gesammtmittel für $\Delta u'$			
Febr. 8	7^h	$6^h\ 9^m$ bis $7^h 35^m$;	36° bis 46°	$-2^h 22^m\ 18^s.65$	8				
9	7	6 26 » 7 44	30 » 37	20 3.77	6		23° bis 60°	$3^s.67$	9
15	6	5 19 » 5 55	39 » 44	7 9.47	4	$5^h 19^m$ bis $8^h 42^m$,	24 » 68	9.79	18
	»	5 37 » 6 56	24 » 37	9.86	13				
16	9	6 7 » 7 1	24 » 38	4 39.72	17	6 7 » 7 4	5 » 38	39.70	18
	»	8 28 » 10 17	19 » 39	39.69	36		19 » 68	39.69	38
17	8	7 51 » 8 52	26 » 39	-2 2 19.25	15		26 » 68	19.27	16
19	8	5 28 » 6 30	24 » 38	-1 57 29.07	25		5 » 55	29.17	61
	»	7 2 » 9 12	19 » 39	29.25	33				
24	7	6 7 » 8 50	19 » 39	45 32.16	34		5 » 68	32.14	40
	»	7 5 » 7 14	52 » 55	31.98	4				
26	6	5 53 » 6 34	30 » 38	40 48.92	11	5 53 » 6 40	5 » 38	48.89	12
27	7	5 44 » 6 50	23 » 38	38 17.43	13		5 » 38	17.30	14
	»	6 41 » 7 21	44 » 62	16.90	7				
	»	6 56 » 7 13	69 » 75	17.63	3				
März 8	8	6 25 » 8 47	19 » 39	14 6.55	45		19 » 68	6.53	50
	»	6 38 » 8 41	45 » 55	6.23	4				
	»	11 1 » 11 27	30 » 43	5.96	5				
9	7	6 42 » 6 55	31 » 34	11 46.53	2				
10	6			9		[5 31 » 6 8	5 » 36	27.79	2]
12	10	9 26 » 9 53	26 » 39	-1 4 15.50	2				
13	11	10 6 » 11 29	27 » 44	1 38.01	15				
14	6	6 19 » 6 42	44 » 62	-0 59 42.79	6	5 21 » 6 54	5 » 75	43.09	12
	»	6 17 » 6 54	69 » 75	43.41	3				
	11	10 29 » 11 22	30 » 44	59 12.64	14				
16	9	8 13 » 9 57	19 » 40	54 36.06	20				
22	10	9 9 » 9 56	24 » 40	39 53.91	12				
25	10	8 56 » 10 28	24 » 42	-0 32 39.82	18				
29	9	8 17 » 9 56	26 » 43	$-$ 0 9.80	24				
April 1	10	9 10 » 10 7	24 » 43	0 8.90	16				
2	9	7 58 » 9 56	23 » 43	0 7.74	32		23 » 60	7.73	33
5	8	7 58 » 8 46	21 » 42	0 7.10	14	7 58 » 9 16	21 » 60	7.11	15
6	8	7 4 » 8 32	19 » 46	0 7.46	16				
8	8	7 51 » 8 49	26 » 40	0 10.38	9				
9	9	8 48 » 9 56	24 » 40	0 11.29	8				
10	9.6	9 18 » 9 56	27 » 43	0 11.72	9				
12	10	9 45 » 11 4	29 » 43	$-$ 0 9.56	11				
15	9	9 17 » 9 32	26 » 41	+ 0 0.42	5	9 15 » 9 32	26 » 60	0.43	6
18	12	9 55 » 10 7	30 » 39	0 16.36	3				
	»	11 47 » 12 55	41 » 60	17.03	14		0 » 69	16.94	37
	»	12 57 » 14 6	50 » 69	16.91	20				
19	11	9 44 » 11 49	29 » 54	0 21.92	28				
21	10	9 44 » 9 55	33 » 43	0 31.84	4				
22	12	10 5 » 12 8	29 » 54	0 37.14	37		0 » 69	37.16	60
	»	12 12 » 14 6	50 » 69	37.22	20				
23	5			0		[4 58 » 5 11	5 » 61	40.55	3]
24	10	9 27 » 9 55	26 » 43	0 51.98	7				
Mai 1	5			1		[4 20 » 4 58	5 » 36	21.72	2]
8	11	11 13 » 11 24	42 » 54	1 59.74	4				
20	15	13 2 » 14 45	50 » 69	2 51.61	27				
	»	14 50 » 15 28	60 » 71	51.49	12		0 » 87	51.51	56
	»	15 33 » 16 12	69 » 77	51.45	12				
21	15	13 2 » 15 28	50 » 71	+ 2 57.44	36				
	»	15 33 » 16 18	67 » 80	57.47	17		0 » 87	57.46	58
23	11	9 55 » 11 38	35 » 39	+ 0 21.36	2				
29	10	9 55 » 10 7	30 » 39	+ 0 3.22	2				
Juni 1	14	13 42 » 15 4	56 » 67	0 10.13	13		0 » 67	10.11	15
2	15	13 41 » 15 31	56 » 76	0 14.53	24				
	»	15 37 » 16 21	67 » 80	14.50	18		0 » 80	14.51	45
8	14	13 21 » 14 37	50 » 67	0 40.90	4		1 » 67	40.87	6
9	14	14 36 » 14 48	59 » 67	0 45.31	7	14 3 » 14 48	31 » 67	45.17	8
14	14	13 11 » 14 3	56 » 62	1 9.62	2	13 11 » 14 4	0 » 62	9.52	4
20	5			1		4 56 » 6 33	5 » 68	50.37	3
21	16	15 5 » 17 31	60 » 80	2 1.67	34		38 » 80	1.68	36
23	16	15 37 » 17 5	66 » 80	2 15.73	16				

1756	Uhrzt.	Ausdehnung der Zone Uhrzt.				ZD.			$\Delta u'$		**	Gesammtmittel für $\Delta u'$					
Juli 4	18^h	16^h	6^m	bis	19^h	1^m;	67^0	bis 82^0	$+3^m$	$41^s.77$	28				12^0	bis 86^0	$41^s.66$	32
5	17	16	2	»	18	37	66	» 82	3	45.75	32				12	» 89	45.74	36
11	19	17	56	»	19	35	67	» 82	4	22.26	20	17^h46^m	bis	19^h35^m;	0	» 86	22.25	24
12	18	17	27	»	18	4	71	» 86	4	29.19	9	17	20	» 18 4	−1	» 86	29.17	11
15	18	17	31	»	18	8	72	» 86	4	52.18	6	17	31	» 18 24	0	» 86	52.22	8
Aug. 8	18								7			17	8	» 19 32	−1	» 76	44.16	6
14	18	17	16	»	17	43	−1	» 0	8	22.06	2							
16	19	18	26	»	20	33	64	» 82	+8	33.70	44	18	20	» 20 33	7	» 82	33.69	47
29	21	19	25	»	21	39	58	» 80	+1	41.42	52				7	» 80	41.43	54
30	20	19	24	»	20	6	64	» 69	1	47.92	9							
	»	19	32	»	19	41	41	» 46		47.59	3							
Sept. 1	20	20	20	»	20	36	61	» 80	1	59.79	3							
	»	20	31	»	20	47	7	» 12		59.57	2							
2	20	19	29	»	19	42	41	» 44	2	5.21	3				7	» 80	5.50	31
	»	19	45	»	20	55	61	» 80		5.55	27							
3	19	18	13	»	19	30	68	» 82	2	10.06	13				12	» 82	10.01	16
	»	19	32	»	19	37	41	» 44		9.99	2							
9	5	4	19	»	5	9	23	» 37	2	34.01	4							
	»	4	41	»	5	40	5	» 11		34.81	4	4	19	» 6 32	5	» 68	34.60	16
	»	5	0	»	5	34	44	» 62		34.76	7							
9	20	19	9	»	20	24	64	» 80	2	37.72	13							
	»	19	32	»	19	41	41	» 46		37.62	3	19	9	» 20 31	7	» 80	37.72	17
11	19	18	36	»	19	30	68	» 82	2	46.55	12							
	»	19	31	»	19	41	41	» 46		46.74	3							
14	0	22	58	»	0	38	45	» 63	2	56.76	28							
	»	0	16	»	0	24	−4	» −1		56.12	2				−4	» 63	56.68	32
15	21	18	10	»	21	46	58	» 77	3	0.93	28							
	»	21	47	»	23	4	49	» 69		0.98	25				12	» 86	0.90	59
16	20	19	35	»	19	41	43	» 46	3	6.14	3							
	»	19	44	»	21	10	63	» 80		6.22	22							
	»	20	30	»	20	45	7	» 12		5.72	2							
24	16.2						77		3	29.30	1							
25	23	21	5	»	23	3	52	» 75	3	34.09	41				24	» 83	34.03	44
	»	23	4	»	0	33	37	» 59		34.03	27				23	» 59	34.00	28
26	21	20	48	»	21	50	53	» 75	3	36.13	18				7	» 75	36.13	19
27	1	0	9	»	1	7	44	» 54	3	41.49	13							
	»	0	14	»	0	20	−4	» −1		41.34	2				−4	» 69	41.33	37
	»	1	9	»	2	12	29	» 50		41.23	20							
28	19	19	16	»	19	29	68	» 77	3	45.08	5							
	»	19	30	»	19	40	41	» 46		45.09	3							
	1^h 5^m								3	46.77	18	ang. $+3^m46^s.54-0^s.25(t-2^h5^m)$ in der Zone						
	2 7									46.58	18	ZD. 27^0 bis 53^0, für nördl. Sterne (-4^0 bis						
	3 3									46.27	16	$+12^0$) $0^s.044$ weniger						
30	19^h	18	26	»	20	1	64	» 82	3	53.30	16	18	24	» 20 1	12	» 82	53.26	17
Oct. 1	20	19	2	»	20	23	63	» 80	3	58.25	19							
	»	19	30	»	19	40	41	» 46		58.12	3	19	2	» 20 30	7	» 80	58.21	23
2	20	19	22	»	20	12	64	» 71	+4	1.61	8							
	»	19	34	»	19	40	43	» 46		1.69	2	19	22	» 20 30	7	» 71	1.71	11
6	19.6	19	31	»	19	41	43	» 46	+3	1.52	2							
	20.7	20	33	»	20	53	61	» 78	+4	5.01	9	20	29	» 20 53	7	» 78	5.04	10
9	23	22	32	»	23	11	49	» 69	4	4.10	15				24	» 83	3.85	18
	4	2	27	»	4	35	23	» 49	4	3.54	44	2	27	» 4 59	2	» 60	3.67	48
10	20	19	47	»	20	12	64	» 71	4	3.11	10	19	39	» 20 12	45	» 80	3.07	12
11	20	19	34	»	19	40	43	» 46	4	2.67	2							
	»	19	47	»	20	22	63	» 71		2.89	11	19	34	» 20 29	7	» 80	2.74	13
	2	1	14	»	2	42	29	» 43	4	2.30	9				−0	» 43	2.39	11
15	23	22	34	»	23	4	47	» 69	3	58.28	12				24	» 83	58.09	15
27	21	20	28	»	20	34	77	» 80	3	24.88	2							
	»	20	31	»	20	37	61	» 62		25.56	2							
28	19	19	23	»	19	29	68	» 72	3	23.88	3							
	»	19	31	»	19	40	41	» 46		23.73	3				41	» 80	23.75	7
29	21	20	28	»	20	53	61	» 80	3	20.50	12				7	» 80	20.52	13
30	14								3			13	9	» 14 2	1	» 62	16.37	3
30	21	20	28	»	20	49	61	» 80	3	14.74	7				7	» 80	14.70	8
31	21	20	51	»	21	55	54	» 75	3	9.19	21							
Nov. 2	0	23	20	»	23	50	46	» 59	2	58.67	9	23	20	» 23 53	23	» 59	58.37	10
4	20	20	0	»	20	2	64	» 65	2	50.82	3							
	1	1	10	»	1	51	29	» 48	2	49.83	10				10	» 48	49.86	11
8	21	20	23	»	21	17	58	» 78	2	23.83	21				7	» 78	23.83	22
13	14								1			[13	10	» 14 3	31	» 62	45.65	2]
14	20	19	33	»	19	42	41	» 46	1	37.14	3							
15	22	19	33	»	22	55	37	» 51	+1	29.72	5							
	»	22	33	»	22	47	59	» 69		29.90	5				24	» 83	29.59	12

1756	Uhrzt.	Ausdehnung der Zone Uhrzt.	ZD.	$\Delta u'$	**	Gesammtmittel für $\Delta u'$			
Dec. 10	23^h	$23^h\ 2^m$ bis 23^h26^m;	46° bis 63°	$+3^m\ 46^s.79$	9				
11	23	22 58 » 23 50	44 » 62	3 36.95	20	22^h58^m bis 23^h53^m;	23° bis 62°	$36^s.78$	21
12	23	22 48 » 23 31	46 » 63	3 26.50	18	22 40 » 23 31	24 » 83	26.28	21
	5	4 16 » 5 9	23 » 38	+3 22.53	10				
	»	4 59 » 5 26	45 » 60	22.86	6		5 » 73	22.73	20
1757									
Jan. 2	5	4 53 » 5 24	30 » 38	−0 40.68	3		5 » 60	40.26	6
3	6	5 3 » 5 30	52 » 60	0 52.82	4				
	»	5 5 » 6 2	23 » 33	53.17	7		23 » 73	52.98	13
28	3	2 59 » 3 39	27 » 44	4 7.46	16	2 56 » 3 39	2 » 44	7.38	18
	7	6 32 » 7 35	19 » 36	4 9.04	21		19 » 68	8.78	23
30	20			4		[19 43 » 20 38	7 » 44	19.45	2]
Febr. 8	8	7 43 » 8 28	23 » 42	5 24.42	12				
9	4	3 52 » 4 1	23 » 40	5 27.71	4				
12	7	5 17 » 6 40	44 » 68	5 43.57	7				
	»	6 46 » 7 37	19 » 39	44.16	23			43.94	31
15	5	4 20 » 4 44	32 » 37	5 58.15	6				
	»	4 50 » 4 56	8 » 11	57.56	3				
18	7	7 19 » 7 37	19 » 26	6 11.35	8		19 » 46	11.16	9
19	6	5 9 » 5 49	44 » 62	6 15.06	7				
	»	5 14 » 5 18	22 » 24	15.62	2				
	»	5 24 » 5 41	72 » 75	15.63	3	4 52 » 7 37	5 » 75	15.47	17
	»	7 25 » 7 37	19 » 46	15.29	4				
20	8	7 35 » 7 37	22 » 26	6 19.35	2	7 33 » 7 37	22 » 46	19.17	3
24	5	4 49 » 5 18	22 » 37	6 31.72	5		5 » 61	31.22	8
28	7	6 54 » 7 38	19 » 35	6 40.84	15	6 41 » 7 38	19 » 68	40.70	17
März 6	5	5 9 » 5 49	44 » 62	6 55.98	7	5 5 » 5 49	5 » 62	56.23	9
9	7	7 1 » 7 38	19 » 36	7 8.56	12		19 » 46	8.34	13
10	5			−7		[4 29 » 5 6	5 » 36	12.36	2]
24	9			−1		9 16 » 9 27	27 » 60	54.19	3
26	8	7 48 » 8 48	23 » 42	2 1.72	20				
27	9	8 0 » 9 58	23 » 42	2 6.60	17				
30	10	9 17 » 9 40	26 » 41	2 12.98	5				
31	10	9 56 » 10 23	30 » 41	2 13.67	6				
April 3	12	11 48 » 12 30	41 » 60	2 18.58	8				
5	12	7 29 » 9 58	22 » 46	2 24.53	3				
	»	13 8 » 13 15	61 » 69	24.26	3				
6	6			2		4 24 » 9 58	5 » 61	26.00	7
	13	13 8 » 13 15	61 » 69	2 26.33	3				
7	10	9 49 » 9 58	33 » 43	2 28.07	3				
9	5	5 5 » 5 45	45 » 61	2 29.22	4				
19	5			2		[4 24 » 5 6	5 » 61	37.10	3]
20	10	9 47 » 9 58	38 » 43	2 32.99	3				
28	10	9 56 » 10 23	30 » 41	−2 12.65	6				
Mai 22	15	14 27 » 14 44	56 » 67	+1 1.07	6				
Juni 21	10	9 52 » 10 4	30 » 39	2 43.75	2				
Aug. 6	18	17 51 » 17 58	72 » 82	8 8.47	3	17 42 » 18 21	0 » 82	8.73	5
13	19	18 38 » 19 24	68 » 82	8 59.90	13	18 38 » 19 30	43 » 82	59.89	14
14	18	18 4 » 18 46	72 » 82	+9 4.57	12	17 59 » 18 46	12 » 86	4.65	14
24	19	17 52 » 19 35	68 » 82	−2 13.41	9	19 17 » 19 42	12 » 82	13.38	11
26	20	19 28 » 19 50	68 » 80	−1 55.86	2				
	»	19 40 » 19 46	43 » 46	55.64	2				
Sept. 22	19.6	19 25 » 19 47	68 » 80	+1 0.76	4		43 » 80	0.62	5
Oct. 5	20.9	20 37 » 21 11	58 » 75	1 54.99	6				
18	0	23 40 » 0 37	44 » 59	1 55.49	12		23 » 59	55.38	14
19	20	19 40 » 19 46	67 » 80	1 54.37	4	19 37 » 19 46	43 » 80	54.49	5
20	20	20 5 » 20 54	65 » 74	1 56.24	8		7 » 74	56.37	9
22	22	21 41 » 22 16	53 » 67	1 55.81	6				
23	20	19 40 » 19 46	78 » 80	1 54.74	3	19 37 » 19 46	43 » 80	54.94	4
	0	23 25 » 0 39	44 » 59	+1 55.27	13		23 » 59	54.91	15
1758									
März 16	6	5 43 » 6 2	25 » 32	−0 55.86	1				
31	5	5 4 » 5 45	44 » 60	−1 13.03	6	5 0 » 45 5	5 » 60	13.16	8
1759									
Mai 1	13	13 3 » 13 12	61 » 62	+1 20.75	1				
Nov. 22	22.7	22 24 » 22 58	50 » 67	−1 25.97	6				
1760									
März 10	11.3	11 15 » 11 25	39 » 45	−6 54.26	2				
Juni 1	14	13 8 » 15 7	56 » 65	+4 28.41	5				
	20			4		19 24 » 20 29	7 » 69	31.52	5

* Die Uhr hatte Oct. 19 beim Aufziehen nach den Beobachtungen $2^s.0$ verloren.

1760		Uhrzt.	Ausdehnung der Zone Uhrzt.		ZD.	$\Delta u'$	**
Juni	9	15^h	14^h46^m bis	15^h46^m	59° bis 74°	$+6^m\ 33^s.60$	7
	11	15	14 57 »	15 45	59 » 74	7 6.91	6
	26	17	16 2 »	17 20	66 » 78	3 56.54	4
	29	19	18 30 »	19 40	72 » 79	5 3.67	9
Juli	1	21	20 20 »	22 2	60 » 80	5 45.23	12
	2	21	20 20 »	22 4	54 » 80	+6 5.95	14
	31	22.0	21 21 »	23 55	56 » 67	+3 27.52	7
Aug.	21	20	18 9 »	21 50	66 » 82	3 46.17	6
	22	19	18 54 »	19 22	72 » 78	0 49.15	3
	23	21	20 25 »	21 53	66 » 78	0 58.08	5
	24	22	21 52 »	22 4	60 » 67	1 6.19	3
Sept.	17	18	18 12 »	18 40	77 » 79	0 34.16	3
	18	18	18 12 »	18 40	77 » 79	+0 45.53	3

Die Bezeichnung der Beobachtungstage entspricht auch hier dem Journal. Die aufgeführten Werthe $\Delta u'$ sind $= \Delta u + m + c$, und in erster Linie für die Reduction der Zodiacalzonen und einiger sonst gelegentlich vorkommenden Gruppen nahe zusammenstehender Sterne angegeben. Unter der Ueberschrift »Ausdehnung der Zone« sind die Zeitgrenzen bezeichnet, innerhalb welcher die nebenstehende Correction $\Delta u'$ angewandt ist, und die Zenithdistanzen, zwischen welchen die zur Bestimmung von $\Delta u'$ benutzten Sterne liegen; in der Regel wird dadurch zugleich die ganze Breite der Zone bezeichnet. Letzteres geschieht ferner in den vereinzelt vorkommenden Fällen, wo nur ein Zeitstern — zur Reduction eines einzelnen, oder höchstens zweier nahestehender Catalogsterne — vorhanden war. Die Mittel der $\Delta u'$ sind mit folgenden Gewichten gebildet:

für	Durchgänge	mit	dem	Fadengewicht	1/2 :			1/2
»	»	»	»	FG.	1	bis	1 1/2	1
»	»	»	»	»	2	»	2 1/2	1 1/2
»	»	»	»	»	3	»	5	2

Die $\Delta u'$ sind durch Striche von einander abgetrennt, wo nach ausdrücklicher Angabe des Journals die Uhr stillgestanden hat oder der Zeiger gestellt ist; in den letzten Jahren sind die Angaben hierüber aber offenbar unvollständig.

In zweiter Linie sind für die Tage, an welchen vereinzelte Sterne ausserhalb der Zonen beobachtet sind, die Gesammtmittel aller innerhalb der angegebenen Zeitgrenzen bestimmten $\Delta u'$ angegeben, wie sie für die Reduction der vereinzelten Sterne benutzt sind. Für einige Tage sind diese Angaben in [] eingeschlossen; aus diesen Tagen sind keine Rectascensionen bestimmt, und die $\Delta u'$ nur behufs Controle des Uhrgangs für die anschliessenden Tage aufgeführt. Bei der Ableitung dieser allgemeinen täglichen $\Delta u'$ haben die in der Zone des Tages zusammengedrängten einzelnen Bestimmungen vermindertes Gewicht erhalten.

Die Reduction der Declinationen.

Die Ablesungen des Quadranten.

Mayer benutzte ausschliesslich die äussere Theilung, welche den Quadranten in 96 grosse Theile, $1^p = 56'15''$ und einen jeden dieser in 16 kleine Theile, $1^p = 3'30''.94$ eintheilt und mit Hülfe eines Nonius abgelesen wurde, auf welchem ein Bogen von 17^p der Haupttheilung in 16 Theile getheilt ist. Dieselbe Nonienplatte trägt an ihrem concaven Rande eine zweite, zur Ablesung der inneren, Grade und Zwölftelgrade angebenden Theilung dienende Scale mit 10 Intervallen, welche zusammen gleich 11 Zwölftelgraden der Haupttheilung sind. Der innere Nonius gibt also unmittelbar halbe Minuten, für den äussern entspricht die Ablesung auf 1^p dem ebenfalls noch beträchtlichen Intervall $13''.18$. Dieses theilte Bradley mit der Mikrometerschraube weiter ein. Mayer begnügte sich dagegen, um die häufig

dicht auf einander folgenden Sterne schneller beobachten zu können, die Zehntel dieses Intervalls — manchmal mit Ansetzung von halben Zehnteln — zu schätzen.

Die ganze Länge der beiden Nonien sollte also nach der Absicht des Verfertigers betragen: für den äussern 3585″.94, für den innern 3300″.00. Die Chorden sind durch die Normal-Aichungs-Commission 1878 gemessen: $32^{mi}.605$ und $29^{mi}.643$, woraus die zugehörigen Radien folgen: für die äussere Theilung $1875^{mi}.47$, für die innere $1852^{mi}.84$. Der Quadrant sollte ein 6füssiger sein; 6 engl. Fuss sind $= 1828^{mi}.77$, der mittlere Radius ist also nahe $1\,1/2$ Zoll grösser. Der Radius der inneren Kante der Nonienplatte ist aber $23^{mi}.5$ kürzer als der der äusseren, die Differenz der beiden aus den Chorden in der Annahme richtiger Theilung gefundenen Radien lässt also einen Fehler von $0^{mi}.87$ übrig, welcher zu vertheilen bleibt. Setzt man ausgeglichen $r_a = 1875^{mi}.9$, $r_i = 1852^{mi}.4$, so ergeben sich die Längen der Nonien aus den Chorden $= 3585″.13$ und $3300″.78$, oder der äussere ist $0″.81$ zu kurz, der innere $0″.78$ zu lang.

Nach den weiteren Berliner Messungen erfordern nun die Zwischenstriche die folgenden in Tausendsteln eines Noniusintervalls (entsprechend $0″.224$ bez. $0″.330$) ausgedrückten Correctionen, welche für jeden Strich algebraisch addirt denselben an die Stelle versetzen, welche er bei gleichförmiger Eintheilung des ganzen Intervalls zwischen den Endstrichen 0 und 16, bez. 0 und 10 einnehmen sollte.

Aeussere Theilung				Innere Theilung			
Strich	Corr.	Strich	Corr.	Strich	Corr.	Strich	Corr.
1	− 3	9	−11	0.5	−0	3	+0
2	− 6	10	− 6	1	−2	3.5	−1
3	− 7	11	− 4	1.5	−1	4	+0
4	− 7	12	− 3	2	−1	4.5	+0
5	− 2	13	− 8	2.5	−3	5	0
6	− 5	14	− 6				
7	−10	15	− 3				
8	− 5	16	0				

Als m. F. dieser Correctionen werden ±0.4 bez. ±0.15 Einheiten, entsprechend ±0″.09 und ±0″.05, angegeben. Verbindet man sie mit der Correction der ganzen Länge, so ergibt sich in Bogensecunden:

für den äussern Nonius				für den innern Nonius			
Strich	Corr.	Strich	Corr.	Strich	Corr.	Strich	Corr.
1	−0″.62	9	−2″.01	0.5	−0″.19	3	−0″.36
2	−1.25	10	−0.86	1	−0.82	3.5	−0.88
3	−1.42	11	−0.34	1.5	−0.56	4	−0.51
4	−1.37	12	−0.06	2	−0.64	4.5	−0.59
5	−0.20	13	−1.13	2.5	−1.38	5	−0.78
6	−0.82	14	−0.64				
7	−1.89	15	+0.09				
8	−0.72	16	+0.81				

Die p. IV der Vorrede zu Mayer's Beobachtungen gegebene Tafel zur Verwandlung der Noniusablesungen ist daher durch folgende zu ersetzen:

1^v	$= 0'\,13″.80$	13″.80	9^v	$= 2'\,0″.67$	14″.48
2	27.62	13.82	10	12.70	12.03
3	40.97	13.35	11	25.36	12.66
4	54.11	13.14	12	38.27	12.91
5	1 6.12	12.01	13	52.52	14.25
6	19.92	13.80	14	3 5.21	12.69
7	34.18	14.26	15	17.67	12.46
8	46.19	12.01	16	30.13	12.46

Die Verwandlung der Ablesungen in Gradtheilung ist vollständig neu durchgeführt, die im Journal, bis Ende 1757 vollständig, bereits enthaltene nur als Controle benutzt.

Refraction.

Die Refraction ist bis 85° ZD. nach der Tafel der Tabulae Regiomontanae berechnet, für die vereinzelt in noch grösseren Zenithdistanzen vorkommenden Beobachtungen nach der bei der Reduction der Bradley'schen Beobachtungen benutzten, auf Argelander's Königsberger Refractionsbeobachtungen beruhenden Tafel.

Die Angaben für Barometer und Thermometer sind in der Regel spärlich, und es kann daraus einige Unsicherheit der Refractionen für die sehr südlichen Zonen entstehen, die aber, wo sie sich merklich macht, durch entsprechende differentielle Reduction unschädlich gemacht werden kann.

Reduction auf den Meridian.

Es ist angenommen, dass die Einstellung der ZD. im Meridian gemacht ist, wenn der Durchgang am Mittelfaden, oder an mehreren Fäden, unter denen der Mittelfaden vorkommt oder zwischen denen derselbe liegt, beobachtet ist. Wenn dagegen der Durchgang nur an einem Seitenfaden beobachtet ist, so ist angenommen, dass auch die ZD. bei diesem Seitenfaden eingestellt ist.

In dieser Voraussetzung ergibt sich der einer Neigung des Fadens zuzuschreibende Fehler der Einstellung im Mittel für 28 an F. 5 in der ersten Südlage des Quadranten gemachte Einstellungen durch Vergleichung mit den übrigen Beobachtungen derselben Sterne $= -0''.74$; in der zweiten Südlage 1756 findet sich aus 50 Beobachtungen $-0''.24$, 1757 aus 15 Beobachtungen $-0''.03$. Bei den Beobachtungen von 1760 sind verhältnissmässig häufig mehrere Einstellungen bei demselben Durchgang gemacht, von denen die letzte, vermuthlich nahe am letzten Verticalfaden gemachte, im Mittel aus 20 Vergleichungen die ZD. $0''.79$ grösser gibt.

Hiernach ist für Neigung des Netzes die Correction an die ZD. angebracht:

1756 vor der Umhängung für Einst. an F. 2 oder 4 $\mp 0''.4$, an F. 1 oder 5 $\mp 0''.7$
1760 für Einst. an F. 4 $-0''.4$, an F. 5 $-0''.8$

in den übrigen Perioden keine Correction.

Genäherte Declinationen für 1755.

Die alte Göttinger Sternwarte lag $580^m = 2^s.01$ westlich und $190^m = 6''.1$ nördlich von der gegenwärtigen Sternwarte. Der Annahme $51°31'47''.9$ für die Polhöhe der letzteren entsprechend hat man also für die Polhöhe des Mayer'schen Quadranten $51°31'54''.0$ anzunehmen. Mit diesem Werth sind die nach vorstehendem reducirten Quadrantenablesungen in genäherte scheinbare Declinationen verwandelt und zu diesen die wie für die Rectascensionen berechneten Reductionen auf Aeq. 1755.0 hinzugefügt.

Indexfehler und sonstige Correctionen.

Die an die genäherten Declinationen für 1755 noch anzubringenden Correctionen sind durch Vergleichung mit den Declinationen des neuen Bradley-Catalogs bestimmt. Dabei sind alle bei Bradley mit wenigstens 3 Beobachtungen vorkommende Sterne benutzt, im ganzen 559 Sterne. Für den grössten Theil derselben hat Bradley nur eine mässige Zahl von Beobachtungen, 3 bis 7 für 453 Sterne, nur 106 sind häufiger beobachtet. Gewichte der Vergleichungen sind nicht unterschieden.

Für die einzelnen Beobachtungstage wurden nun zunächst, zwischen den Grenzen ZD. 20° und 80°, die gefundenen Unterschiede: Decl. Br. − genäherte Decl. M. $= \Delta\delta$ in 5° breiten Zonen zu Mitteln vereinigt und die Tagesmittel für benachbarte Zonen mit einander verglichen. Es ergaben sich dadurch folgende Unterschiede, wenn durch (z) der bei der ZD. z gefundene Mittelwerth von $\Delta\delta$ bezeichnet wird:

$(27°.5) - (22°.5) = -0''.41$	aus 13	Tagen,	Gew. =	19.6	Vgl.
$(37.5) - (32.5) = -0.78$	» 19	»	»	29.7	»
$(47.5) - (42.5) = -0.36$	» 20	»	»	22.1	»
$(57.5) - (52.5) = -0.16$	» 17	»	»	24.7	»
$(67.5) - (62.5) = +0.69$	» 40	»	»	63.0	»
$(77.5) - (72.5) = +0.23$	» 35	»	»	75.1	»

Mit Benutzung dieser 6 Theilreductionen wurden dann für jeden Tag neue Mittel aus den einzelnen $\Delta\delta$ für 10° breite Zonen gebildet, deren Vergleichung weiter ergab:

$(37°5) - (27°5) = -1''.37$ aus 19 Tagen, Gew.=41.1 Vgl.
$(57.5) - (47.5) = +0.44$ » 19 » » 40.8 »
$(72.5) - (62.5) = +1.13$ » 45 » » 127.4 »

und mit Benutzung dieser Theilreductionen ergaben sich schliesslich durch Vergleichung der Tagesresultate in den drei 20°-Zonen die Unterschiede

$(47°5) - (37°5) = -1''.57$ aus 31 Tagen, Gew.=59.2 Vgl.
$(62.5) - (47.5) = +1.34$ » 39 » » 81.0 »

Somit ergab sich der Unterschied $\Delta\delta_z - \Delta\delta_{37°5}$ für

ZD. 22°5	+1''.78	ZD. 52°5	−0''.97
27.5	+1.37	57.5	−1.13
32.5	+0.78	62.5	−0.23
37.5	0.00	67.5	+0.46
42.5	−1.21	72.5	+0.90
47.5	−1.57	77.5	+1.13

Nach einer Ausgleichung dieser Werthe sind als erste Näherung folgende Correctionen angebracht.

c' = specielle Correctionen der Mayer'schen Zenithdistanzen in der Zenithdistanz z

z	c'	z	c'	z	c'	z	c'
20°	−1''.90	36°	−0''.24	52°	+1''.25	68°	−0''.45
22	−1.80	38	+0.14	54	+1.10	70	−0.66
24	−1.66	40	+0.62	56	+0.92	72	−0.84
26	−1.48	42	+1.09	58	+0.74	74	−0.97
28	−1.30	44	+1.40	60	+0.52	76	−1.10
30	−1.10	46	+1.59	62	+0.29	78	−1.20
32	−0.88	48	+1.54	64	+0.03	80	−1.28
34	−0.59	50	+1.39	66	−0.22		

Es sind nun für eine jede zusammenhängende Beobachtungsreihe in der Südlage des Quadranten die Mittel der verbesserten Unterschiede Br.−(M.) $= \Delta\delta + c'$ für alle zwischen 20° und 80° ZD. beobachteten Sterne gebildet, welche also eine erste Näherung für die Tageswerthe des scheinbaren Indexfehlers (c) liefern, nämlich des um eine für die Reduction nicht weiter in Betracht kommende Constante, welche den Unterschied der speciellen Correctionen des Quadranten bei 0° und 37°30′ und den Fehler der angenommenen Polhöhe enthält, vermehrten wirklichen Indexfehlers.

Die Ueberschüsse $\Delta\delta - (c) = v$ sind dann nach ZD. geordnet und daraus, mit Ausschluss einiger zu stark abweichenden Beobachtungen, für jeden vorkommenden Grad Mittel gebildet, welche in der folgenden Tafel nachgewiesen sind.

z	v	Beob.	z	v	Beob.	z	v	Beob.	z	v	Beob.
− 3°7	+6''.05	2	27°4	+0''.81	7	46°7	−2''.00	3	64°7	−0''.38	46
− 1.6	+5.80	2	28.3	+1.21	9	47.4	−1.65	11	65.2	+1.15	8
− 0.8	+5.45	4	29.4	+0.34	10	48.6	−1.75	4	66.5	+0.74	24
+ 0.7	+5.80	7	30.5	+1.45	11	49.5	−1.43	9	67.4	−0.36	31
2.6	+8.20	2	31.3	+0.43	16	50.8	−0.61	8	68.4	+0.45	31
5.8	+5.08	8	32.7	+0.80	7	51.5	−0.32	12	69.5	+0.44	19
6.6	+4.10	2	33.4	+1.77	7	52.5	−1.50	19	70.5	+0.70	43
7.1	+6.49	7	34.5	−0.09	8	53.7	−1.20	7	71.6	+0.61	22
8.1	+5.30	2	35.4	−0.01	9	54.3	−1.37	11	72.5	+0.62	37
10.7	+3.30	7	36.2	+0.27	7	55.8	−0.65	4	73.5	+1.18	25
11.4	+3.13	3	37.5	−0.32	13	56.4	−1.94	8	74.5	+2.14	16
13.0	+4.30	5	38.4	+1.06	8	57.6	−3.10	1	75.5	+0.49	14
19.2	+2.28	6	40.0	−2.00	2*	58.6	−0.92	12	76.7	+1.35	16
20.9	+1.40	1	41.5	−1.25	12	59.7	−0.16	7	77.3	+0.18	16
22.8	+1.58	8	42.5	−0.40	5	60.4	0.00	31	78.4	+2.57	6
23.4	+2.01	17	43.4	−1.05	26	61.6	−0.37	22	79.5	+1.57	29
24.6	+1.45	6	44.4	−1.01	11	62.2	−0.51	15	81.5	+2.35	8
25.3	+0.68	4	45.6	−1.75	33	63.8	+0.36	16	82.3	−3.40	4
26.4	+0.92	6									

* Mittel aus 2 Einzelwerthen aus 39° und 40°.

Aus Vergleichung mit diesen Mitteln ergibt sich der m. F. eines v

in ZD.	−3°.7 bis 13°.0	±2″.77	51 Vgl.	in ZD.	50°.7 bis 60°.0	±1″.72	88 Vgl.
	19.1 » 30.6	1.64	84 »		60.0 » 69.9	1.63	242 »
	31.1 » 40.6	1.61	77 »		70.1 » 79.9	1.63	224 »
	41.0 » 49.9	1.48	114 »		81.3 » 82.3	2.83	12 »

also zwischen 19° und 80° ZD. aus 829 Vergleichungen = ±1″.62, während in der Zenithalgegend eine auffallend viel grössere Unsicherheit angezeigt ist. Indess rührt die Hälfte der Fehlerquadratsumme in der Zone −3°.7 bis +13°.0 allein von 5 ungewöhnlich stark abweichenden Beobachtungen her, die anderen 46 geben $\varepsilon_1 = \pm 2''.11$.

Graphische Ausgleichung der vorstehenden Mittelwerthe v gibt, mit Umkehrung des Zeichens, folgende Tafel.

Speciello Correctionen der von der 96-Theilung des Mayer'schen Quadranten abgelesenen Zenithdistanzen.

(Zweite, definitive Näherungswerthe c'.)

z	c'	z	c'	z	c'	z	c'	z	c'	z	c'
− 4°	−6″.05	11°	−3″.88	25°	−1″.23	40°	+0″.42	54°	+1″.30	69°	−0″.50
− 3	−5.87	12	−3.65	26	−1.03	41	+0.70	55	+1.39	70	−0.55
− 2	−5.72	13	−3.45	27	−0.96	42	+0.96	56	+1.40	71	−0.60
− 1	−5.65	14	−3.21	28	−0.90	43	+1.16	57	+1.40	72	−0.63
0	−5.82	15	−2.98	29	−0.88	44	+1.34	58	+1.20	73	−0.90
+ 1	−6.29	16	−2.75	30	−0.89	45	+1.50	59	+0.60	74	−1.41
2	−6.59	17	−2.55	31	−0.89	46	+1.64	60	+0.22	75	−1.30
3	−6.68	18	−2.40	32	−0.77	47	+1.70	61	+0.10	76	−1.04
4	−6.54	19	−2.27	33	−0.59	48	+1.65	62	+0.10	77	−0.89
5	−6.28	20	−2.18	34	−0.32	49	+1.50	63	+0.10	78	−0.94
6	−5.91	21	−2.11	35	−0.15	50	+1.19	64	+0.09	79	−1.60
7	−5.49	22	−2.04	36	−0.05	51	+0.95	65	+0.02	80	−1.88
8	−4.95	23	−1.86	37	−0.03	52	+0.91	66	−0.15	81	−1.85
9	−4.45	24	−1.60	38	+0.06	53	+1.13	67	−0.29	82	−1.5
10	−4.11			39	+0.19			68	−0.44		

Für die Zenithalgegend bezeichnen diese Correctionen nur allgemein das Verhalten des Mayerschen Quadranten zu den Bradley'schen Zenithdistanzen, erst etwa von 20° ab geben sie auch im einzelnen zuverlässige Reductionen, bis gegen 80°; darüber hinaus wird die Vergleichung wegen der geringen Zahl der Beobachtungen ganz unsicher. Aber auch so weit die Tafel der c' zuverlässige Reductionen auf das Greenwicher System liefert, gibt sie, selbst wenn man diess besser fundirte System hier als fehlerfrei voraussetzen wollte, nicht ohne weiteres Aufschluss über die wirklichen Fehler des Göttinger Quadranten; da Mayer in der Regel nur Zodiacalsterne beobachtet hat, fehlt ein festes Gerüst für die Orientirung der Zenithdistanzen und sind die c' in der Hauptsache nur etwas lose an einander gereiht. Die wesentlichste Frage ist hier, ob die Temperatur einen Einfluss auf die Länge des Quadranten gehabt hat. Wahrscheinlich ist diess von vorn herein nicht; es wäre aber eine unmittelbare Prüfung wünschenswerth, für welche das verfügbare Material nicht ausreichend ist. Es findet sich nur folgendes:

$\Delta\delta$ (α Aur. − β Orion.)			$\Delta\delta$ (η Urs. maj. − α Virg.)			$\Delta\delta$ (η Urs. maj. − α Boot.)		
5 Beob. bei t =	2°.1	+6″.10	1 Beob. bei t =	6°	−1″.9	5 Beob. bei t =	12°.8	+4″.54
4 »	»	15.6 +4.00	3 »	»	18.6 +3.03	5 »	»	18.1 +2.14
Aend. (auf 54°.2)		+13.5 −1.90	Aend. (auf 60°.4)		+12.6 +4.93	Aend. (auf 30°.1)		+5.3 −2.40

und hieraus im Mittel die Aenderung eines Bogens von 60° bei einer Temperaturzunahme von 10° R. = +0″.44, dieser Betrag aber nur mit einem Gewicht gleich demjenigen von 2.32 Mayer'scher ZD.-Beobachtungen, also einem nicht unter ±1″ zu schätzenden m. F.

Nach Anbringung der neuen Correctionen c' finden sich für die an den einzelnen Tagen beobachteten Zonen die in der folgenden Uebersicht zusammengestellten, zur definitiven Reduction benutzten Werthe des Indexfehlers als Mittel aller einzelnen Werthe von $\Delta\delta + c'$.

Indexfehler (*c*) oder gemeinschaftlicher Fehler der beobachteten Zenithdistanzen für die einzelnen Zonen.

1756		Zone	(*c*)	**
Juni	1	$13^h.7$ bis $15^h.1$	−4″.9	14
	2	13.7 » 16.3	−3.8	37
	8	13.4 » 14.6	+3.7	5
	9	14.6 » 14.8	−3.0	6
	21	15.0 » 17.7	−4.5	31
	23	15.6 » 17.1	−4.4	17
Juli	4	16.1 » 16.3	−2.6	6
	»	16.3 » 19.0	−3.8	21
	5	16.1 » 18.6	−2.8	25
	11	17.8 » 19.6	−7.4	17
	12	17.3 » 18.1	−6.7	7*
	15	17.7 » 18.4	−6.1	7*
Aug.	7	17.3 » 17.7	−6.5	2
	8	17.1 » 19.5	−7.1	6*
	14	17.3 » 17.7	−7.2	2
	16	18.3 » 20.5	−6.5[1]	37
	29	19.4 » 21.6	−6.0	50
	30	19.4 » 20.1	−5.6	11
Sept.	1	20.4 » 20.8	−3.6	5
	2	19.6 » 20.9	−3.3	28
	3	18.3 » 19.6	−2.3	16
	9	4.3 » 6.5	−6.7	13
	»	19.4 » 20.4	−5.2	15
	11	18.6 » 19.7	−5.2	16
	14	23.0 » 0.6	−6.6	30
	15	18.0 » 23.1	−5.0	46
	16	19.5 » 21.2	−5.1	25
	25	21.1 » 0.6	−4.3	65
	26	20.5 » 21.8	−5.8	18
	27	0.1 » 2.3	−4.9	35
	28	19.2 » 19.7	−5.2	9
	»	0.3 » 3.5	−6.5	46
	30	18.4 » 20.0	−3.1	13
Oct.	1	19.4 » 20.5	−7.0	21
	2	19.4 » 20.5	−4.5	12
	6	19.5 » 20.9	−5.6	11
	9	22.6 » 23.2	−7.1	17
	»	2.5 » 5.0	−5.6	46
	10	19.7 » 20.2	−5.3	9
	11	19.6 » 20.1	−3.5	8
	»	20.2 » 20.5	−6.0	4*
	»	1.2 » 2.7	−5.5	12
	15	22.6 » 23.1	−5.4	13
	27	20.5 » 20.6	−5.0	4
	28	19.4 » 19.7	−5.5	7
	29	20.4 » 20.9	−1.7	13
	30	20.5 » 20.8	−4.0	5

1756		Zone	(*c*)	**
Oct.	31	$20^h.9$ bis $21^h.9$	− 3″.4	21
Nov.	2	23.4 » 23.9	− 5.0	9
	4	20.0 » 20.0	− 5.8	3
	»	1.2 » 1.9	− 7.2	11
	8	20.4 » 21.3	− 2.6	21
	14	19.6 » 19.7	− 2.4	3
	15	22.6 » 22.9	− 1.5	10
Dec.	10	23.1 » 23.4	− 3.4	8
	11	23.0 » 23.9	− 1.1	20
	12	22.7 » 23.5	− 1.4	15
	»	4.3 » 5.4	− 0.1	13
1757				
Jan.	3	5.3 » 6.0	− 3.5	10
	28	2.9 » 3.0	− 4.7	3*
	»	3.1 » 3.6	− 2.9	13
	»	6.5 » 7.6	− 2.9	20
Febr.	8	7.8 » 8.5	+ 1.4	15
	9	3.9 » 4.0	− 4.7	4
	12	5.3 » 7.6	− 4.5	30
	15	4.3 » 4.7	− 0.4	4
	18	7.3 » 7.6	− 3.2	8
	19	5.1 » 5.8	− 2.5	10
	»	7.4 » 7.6	− 2.4	4
	20	7.6 » 7.6	− 2.8	3
	24	4.9 » 5.5	− 2.5	7
	28	6.7 » 7.6	− 5.4	16
März	6	5.1 » 5.8	− 4.4	9
	9	7.0 » 7.6	− 6.1	12
	24	9.3 » 9.5	− 8.3	3
	26	7.8 » 8.8	− 4.8	22
	27	8.0 » 10.0	− 3.8	18
	30	9.3 » 9.7	−10.1	4
	31	9.9 » 10.3	− 8.4	6
April	3	11.8 » 12.5	−10.3	8
	5	[7.6 » 13.2]	− 9.8	4
	6	[4.4 » 5.1]	− 0.1	3
	»	[7.4 » 13.3]	− 2.7	6
	7	9.8 » 10.0	− 4.7	3
	9	5.1 » 5.7	+ 1.2	2
	18	[5.1]	+ 0.2	1
	19	[4.4 » 5.0]	− 2.2	2
	20	9.8 » 10.0	− 3.6	3
	28	10.1 » 10.4	− 4.6	4
Mai	22	14.5 » 14.7	− 7.3	5
Juni	21	[9.9 » 14.0]	0.0	2
Aug.	6	[7.3]	− 4.7	1
	»	[13.1 » 13.9]	− 2.2	2

1757		Zone	(*c*)	**
Aug.	6	$17^h.7$ bis $18^h.4$	− 4″.0	5
	13	18.6 » 19.5	− 3.5	13
	14	18.1 » 18.8	− 0.2	12
	24	17.9 » 19.7	− 1.6	10
	25	[7.4 » 7.5]	− 0.8	2
	»	[14.1]	+ 2.0	1
	26	[7.4 » 7.5]	− 2.0	2
	»	[19.7 » 19.8]	− 7.4	2
	28	19.4 » 19.8	− 9.9	6
Oct.	5	20.6 » 21.1	− 3.3	7
	18	23.7 » 0.6	− 9.6	11
	19	19.6 » 19.8	− 3.8	5*
	20	20.1 » 20.9	− 7.6	8
	22	21.8 » 22.3	− 6.3	7
	23	[16.2]	− 1.1	1
	»	[19.6 » 19.8]	− 4.6	2
	»	23.4 » 0.6	− 3.6[2]	8
1758				
März	15	[4.4]	− 0.3	1
	31	[5.0]	+ 2.9	1
April	1	[4.4]	+ 0.2	1
Mai	14	[9.9]	− 4.6	1
Juni	25	[5.0 » 5.1]	+ 0.5	2
1759				
Mai	1	[7.2 » 10.9]	− 8.1	4
	6	[13.2]	−20.1	1
Nov.	22	22.4 » 23.0	−19.2	6
1760				
März	10	11.3	− 2.4	2
Juni	1	13.1 » 15.1	+ 2.8	5
	»	19.4 » 20.3	− 3.3	5
	2	[20.5]	− 5.4	1
	3	[20.5]	− 8.8	1
	4	[20.5]	− 8.5	1
	9	14.8 » 15.7	+ 1.1	6
	11	15.0 » 15.7	+ 1.0	5
	26	16.2 » 17.3	− 5.6	3
	29	18.5 » 19.6	−14.3	8
Juli	1	20.4 » 22.0	− 7.7	12
	2	20.3 » 22.1	− 8.0	13
	31	21.4 » 23.8	− 4.9	5
Aug.	21	18.5 » 21.8	− 4.3	3
	22	18.9 » 19.3	− 4.1	3
	23	20.4 » 21.4	− 2.1	4
	24	21.9 » 22.1	− 0.2	3
Sept.	17	18.2 » 18.7	+ 6.2	4
	18	18.2 » 18.7	+ 7.3	3

[1] Für 19^h20^m; stdl. Acnd. −1″.8. — Diess ist die einzige unter den vielfach vorkommenden langen Beobachtungsreihen, in welcher eine fortschreitende Verstellung des Instruments ersichtlich ist; (*c*) findet sich

aus	9	**	für 18^h34^m	= −5″.72
»	9	»	» 19 4	−6.49
»	10	»	» 19 38	−6.87
»	9	»	» 20 14	−7.02

[2] Für den ganzen Tag benutzt.

Für den Zeitraum Juni 1756—März 1757, in welchem vorwiegend Zonen von Zodiacalsternen beobachtet vorkommen, sind die Werthe von (*c*) nur für diese Zonen, und für einige ausserhalb der Zodiacalgegend gelegene Gruppen benachbarter Sterne, angegeben, und zwar so, wie sie aus den innerhalb der Zone vergleichbaren Bradley-Sternen folgen. Nur in 5 Fällen, wo die Zahl der benutzten Sterne mit einem * versehen ist, schliesst sie. wegen geringer Gesammtzahl der Anhaltspuncte, auch einen oder den andern in ZD. weiter von der Zone abstehenden Stern ein. Die Sterne von mehr als 80° ZD. sind bei der Bestimmung der (*c*), auch für die südlichsten Zonen, ausgeschlossen. Alle Tagbeobachtungen sind für diesen Zeitraum hier ebenfalls ausgeschlossen.

Die aufgeführten (*c*) sind 1756 Juni 1—1757 März 31 für jeden Abend zur Reduction sämmt-

licher innerhalb der angegebenen Zeitgrenzen beobachteten Sterne, auch der weiter von der Zone abstehenden, benutzt.

Die vereinzelt zwischen den Zonen vorkommenden Sterne, meist Fundamentalsterne, geben noch folgende Werthe von (c), mit Einschluss der Tagbeobachtungen, jedoch ohne die nahe am Mittag (innerhalb $\pm 1^h$) gemachten, welche durch die Besonnung des Instruments oder seines Pfeilers gestört sein könnten:

1756		zwischen	(c)	**	1756		zwischen	(c)	**	1756		zwischen	(c)	**
Mai	23	$9^h.9$ u. $11^h.6$	$-1''.3$	2	Sept.	3	$14^h.0$	$+0''.5$	1	Dec.	12	$19^h.6$	$+0''.5$	1
	29	9.9 » 10.1	−6.4	2		13	7.3 u. $7^h.4$	− 4.0	2		13	10.3	−6.2	1
Juni	1	7.4	−2.7	1		15	13.6 » 14.0	− 5.4	2	1757				
	14	14.1	−3.9	1		24	16.2 » 21.6	− 1.1	2	Jan.	2	4.9 u. $5^h.1$	−3.4	3
	26	9.9	−3.7	1		27	9.9	− 5.2	1		30	19.7	+0.4	1
Juli	12	11.5	−0.5	1	Oct.	10	9.9	− 1.9	1	Febr.	15	19.7	−1.5	1
	15	14.0	−0.1	1		15	16.2	− 1.7	1		»	4.8 » 4.9	+0.5	3
	16	14.0	+0.7	1		18	18.4	+ 0.1	1		19	19.7	−1.5	1
	17	5.0	−0.9	2	Nov.	1	22.9	−11.2	1		20	19.7	−1.8	1
		13.6	−0.8	3		13	13.2 u. 14.0	− 2.2	2		25	4.5	−1.0	1
Aug.	6	18.4	−4.1	1		14	14.1	− 0.8	1	März	10	4.5 » 5.1	−2.4	2
	28	14.1	−0.2	1	Dec.	11	19.6	− 0.8	1		27	4.4	−0.4	1
											28	6.6	−4.5	1

Von April 1757 ab sind fast nur noch kurze Zonen beobachtet und häufig überhaupt nur vereinzelte Beobachtungen gemacht, es sind daher die (c) für die beiden Beobachtungsclassen nicht mehr getrennt und in der Haupttafel gleich vollständig, mit Einschluss der Tagbeobachtungen, aufgeführt. Wenn keine Zone beobachtet ist, sondern die Sterne nur vereinzelt und gewöhnlich in sehr verschiedenen Zenithdistanzen vorkommen, sind die in der Col. »Zone« angeführten Zeiten in [ ] eingeschlossen.

Einige stark abweichende Einzelwerthe sind fortgelassen, ferner einige Werthe, welche mit Verstellungen des Quadranten zusammentreffen, ohne dass mit Sicherheit ersehen werden kann, ob die Beobachtung noch vor oder erst nach der im Journal vermerkten Berichtigung des Instruments angestellt ist. In einigen Fällen hat ein Vermerk über vorgenommene Einstellung des Loths Anlass gegeben eine Tagesreihe zu theilen. Die stark aus der Reihe der (c) ausschlagenden Tageswerthe treffen zum Theil auf solche Tage, an denen zufolge ausdrücklicher Angabe das Loth nicht gehörig eingespielt hat, in anderen Fällen zeigt nur die Abweichung, dass die ziemlich häufig erforderlich gewesene Berichtigung an dem Tage, oder auch während einer längeren Periode, unterlassen ist.

Um auch aus den vereinzelten Beobachtungen der beiden ersten Jahre berichtigte Zenithdistanzen und Declinationen ableiten zu können, sind aus den bei anscheinend berichtigter Stellung, und für eine Periode mit fehlerhafter, aber innerhalb der Periode unverändert belassener Stellung des Instruments, zur Nachtzeit gefundenen Tageswerthen von (c) Periodenmittel gebildet, indem den einzelnen Tageswerthen folgende Gewichte beigelegt wurden:

Gew.	1	für (c)	aus	1	Beob.
»	2	»	»	» 2	oder 3 Beob.
»	3	»	»	» 4 bis 8	»
»	4	»	»	» 9 » 20	»
»	5	»	»	» 21 » 37	»
»	6	»	»	» mehr als 40	Beob.

Es fanden sich so folgende

Nächtliche Werthe des normalen $(c) = (c)_o$ für Qdr. S.

1756	Juni 2—Juli 5	$-3''.69$	Gew. 27
	Juli 11—15	−6.80	» 10
	Aug. 6—16	−6.51	» 13
	Aug. 29—Sept. 16	−5.12	» 50
	Sept. 24—Oct. 15	−5.28	» 70
	Oct. 27—Nov. 4	−4.44	» 30
	Nov. 8—1757 Jan. 3	−2.16	» 34

1757	Jan. 28—Febr. 25	−2″.58	Gew. 35
	März 6—28	−5.16	» 24
	März 30—April 5	−9.65	(Loth nicht eingestellt)
	April 6—28	−3.83	Gew. 10
	Aug. 6—24	−2.21	» 15
	Sept. 22—Oct. 23	−6.33	» 23

Zu der ersten Periode kann noch Juni 1 zugezogen werden, wenn man den für diesen Tag gefundenen Werth $(c) = -4''.9$ wegen des Fehlers in der Lothstellung, nach Mayer's Angabe, um $+3''.0$ corrigirt, das Mittel wird dann

1756 Juni 1—Juli 5 $(c)_0 = -3''.46$ (Gew. 31)

Dieser Werth, und von 1756 Juli 11 ab bis zum Ende der Beobachtungen des Jahres 1757 die vorstehend angegebenen Normalwerthe $(c)_0$ sind zur Reduction der an Tagen ohne genügende eigene Bestimmung von (c) vorkommenden vereinzelten nächtlichen Beobachtungen angewandt.

Die wenigen aus Febr. 1756 erhaltenen Quadrantenablesungen geben (c)

Febr.	8	−1″.0	2 **	Febr.	16	−1″.6	5 **
	9	−1.3	1 *		17	−5.2	1 *
	15	−0.1	2 **		19	−1.6	4 **
					24	−1.6	6 »

Zur Ableitung der Declinationen sind die Mittel

Febr.	8—15	$(c)_0 = -0''.70$
	16—24	−1.86

angenommen.

Für die Reduction der Tagbeobachtungen von Fundamentalsternen ist noch eine besondere Untersuchung nöthig. Die aus den Tagbeobachtungen folgenden (c) weichen mit wenigen Ausnahmen in gleichem Sinne von den nächtlichen (c) ab, verglichen mit den Periodenmitteln $(c)_0$ durchschnittlich

a.	nach	16	Beob.	zwischen	$19^h.9$	u.	$22^h.8$	w. Zt.	+1″.55	±0″.55
b.	»	16	»	»	23.1	»	23.9	»	+3.16	0.66
c.	»	12	»	»	0.0	»	1.0	»	+2.42	0.63
d.	»	27	»	»	2.1	»	4.5	»	+3.08	0.42
e.	»	12	»	»	5.0	»	6.5	»	+2.65	1.03
f.	»	11	»	gegen ⊙-Untergang					+0.94	0.43

Der m. F. einer Vergleichung findet sich für die Beobachtungen bei voller Tageshelligkeit $= \pm 2''.51$, in den drei Gruppen a, c und d allein indess nur $\pm 2''.19$, in Gruppe c durch einige stärkere Abweichungen zufällig vergrössert $\pm 3''.55$, und in Gruppe b ebenfalls grösser $\pm 2''.55$. Da für stärkere Schwankungen in dieser Gruppe eine Ursache nahe liegt, indem nämlich das Instrument selbst einige Zeit vor der Sonnenculmination sich unter dem directen Einfluss der Sonnenstrahlung befand, so sind die neben die Mittelwerthe der ersten 5 Gruppen gesetzten m. F. mit diesen drei Specialwerthen berechnet. Die Bestrahlung allein des Pfeilers während der ersten Nachmittagszeit hat augenscheinlich keinen Einfluss gehabt.

Demnach geben die bei voller Tageshelligkeit angestellten Beobachtungen ohne zu verbürgende Unterschiede zwischen den auf verschiedene Tageszeiten fallenden Werthen eine durchschnittliche Abweichung von $+2''.64$. Scheidet man jedoch die den grössten Unterschied ergebende Gruppe b, und noch aus Gruppe c eine nur 2^m nach der Sonnenculmination fallende Beobachtung aus dem bereits angegebenen Grunde aus, so ergibt sich aus 66 Beobachtungen als Mittel $+2''.49$.

Eine Veränderlichkeit dieser Abweichung im Laufe des Tages zeigt sich nicht. Es ist daher nicht anzunehmen, dass die tägliche Temperaturänderung eine Periode in der Aufstellung des Quadranten erzeugt hat, oder man müsste, falls man eine solche voraussetzen wollte, zugleich annehmen, dass ihre Wirkung durch häufig wiederholte Einstellung des Loths beseitigt wäre, eine Annahme, welche das Journal wenig wahrscheinlich erscheinen lässt. Vielmehr bleibt die allein wahrscheinliche Erklärung der Abweichung die, dass der Beobachter die Sterne bei Tage anders als bei Nacht eingestellt hat. Vermuthlich ist der Faden recht dick gewesen und dadurch fast mit Nothwendigkeit für die Einstellung der schwachen Tagbilder ein etwas abweichendes Verfahren verursacht. Gegen

Sonnenuntergang haben augenscheinlich die Einstellungen der erst dann unter dem Faden nicht mehr schwierig zu erkennenden Sterne viel sicherer, und in näherer Uebereinstimmung mit nächtlichen Einstellungen ausgeführt werden können. Deshalb ist die Gruppe f, mit Beobachtungen zwischen $4^h.2$ und $8^h.1$ w. Zt. aus verschiedenen Jahreszeiten, oben abgetrennt, in welcher der m. F. einer Vergleichung sich nur $= \pm 1''.41$ findet.

Hiernach sind aus den Tagbeobachtungen der Fundamentalsterne Juni 1756 — Oct. 1757 die Declinationen mit den Normalwerthen $(c)_0$ abgeleitet, indem zu diesen für Beobachtungen bei voller Tageshelligkeit noch $+2''.5$, für Beobachtungen kurz vor Sonnenuntergang $+1''.0$ hinzugefügt wurde; die zwischen $23^h.0$ und $0^h.1$ w. Zt. fallenden Beobachtungen sind indess nicht weiter benutzt.

Der für die Periode Juni 1, Ab. — Juli 5 oben abgeleitete Werth $(c)_0 = -3''.46$ scheint als Normalwerth auch für die Periode 1756 Mai 23 — Juni 1, Nm. Geltung zu haben, im einzelnen bleiben aber für die alleinstehenden Beobachtungen aus dieser Zeit fast in jedem Fall Zweifel hinsichtlich der Berichtigung des Loths oder anderer Umstände zurück, so dass es vorgezogen wurde überhaupt diese Beobachtungen, deren Zahl nur 7 beträgt, ebenfalls fortzulassen.

Resultate der Umhängung des Quadranten.

Die bei Quadrant Nord 1756 Juli 22 — Aug. 4 angestellten Beobachtungen geben die in folgender Uebersicht zusammengestellten Werthe.

1756	Stern	(z') 1755	c'	(z)	
Juli 22	γ Drac.	$-0^\circ\ 0'\ 15''.1$	$-5''.8$	$-0^\circ\ 0'\ 20''.9$	
	763	0 24 36.9	−6.0	0 24 30.9	
	764	0 38 15.0	−6.1	0 38 8.9	
	δ Urs. m.	34 58 53.4	−0.2	34 58 53.2	
23	Polaris	40 28 24.9	+0.6	40 28 25.5	5 Einst. Corr. $-0''.94$
	η Urs. m.	24 46 34.9	−1.3	24 46 33.6	
	ε Aurig.	85 1 59.9	−0.5:	85 1 59.4	
	η »	87 35 31.2	0.0:	87 35 31.2	
	Capella	82 44 54.5	−1.2:	82 44 53.3	
	ε Urs. m.	30 51 55.7	−0.9	30 51 54.8	
	β Drac.	0 57 40.9	−6.3	0 57 34.6	
	β Aurig.	83 34 28.9	−1.0:	83 34 27.9	
	γ Drac.	−0 0 10.6	−5.8	−0 0 16.4	
	764	0 38 15.9	−6.1	0 38 9.8	
	δ Urs. m.	34 58 51.8	−0.2	34 58 51.6	13 Einst.
(24)	Polaris	36 27 46.4	0.0	36 27 46.4	30 Einst. Corr. $-2''.49$
	Capella	−5 48 48.8:	−6:	−5 48 54.8:	Corr. $-2''.5$
24	β Drac.	0 57 42.5	−6.3	0 57 36.2	
	γ »	−0 0 8.7	−5.8	−0 0 14.5	
29	Capella	82 45 1.2	−1.2:	82 45 0.0	
	ε Urs. m.	30 51 55.3	−0.9	30 51 54.4	4 Einst.
	β Drac.	0 57 41.4	−6.3	0 57 35.1	
	γ »	−0 0 10.0	−5.8	−0 0 15.8	
	743	2 41 30.4	−6.7	2 41 23.7	
	763	0 24 38.4	−6.0	0 24 32.4	
	764	0 38 16.7	−6.1	0 38 10.6	
	δ Urs. m.	34 58 51.9	−0.2	34 58 51.7	16 Einst.
(30)	Polaris	36 27 45.8	0.0	36 27 45.8	24 » Corr. $-2''.49$
Aug. 1	Polaris	40 28 23.8	+0.6	40 28 24.4	34 » » -0.94
4	»	40 28 24.9	+0.6	40 28 25.5	38 » » -0.94

Hier ist $(z') =$ Ables. + Refr. + Red. 1755.0 und $(z) = (z') + c'$ die noch mit dem Indexfehler behaftete Zenithdistanz auf Aeq. 1755.0 reducirt. Der Polarstern ist in unterer Culmination Nachmittags zwischen 3^h und 5^h, in oberer Culmination um Sonnenaufgang beobachtet, nach der Ermittelung des vorigen § also wegen des constanten Fehlers der Einstellung auf hellem Grunde die Correction $-2''.5$ bez. $-1''.0$ an die beobachtete ZD. anzubringen, ebenso die Correction $-2''.5$ für die obere Culmination von Capella, deren ZD. indess an dem sonst gar nicht benutzten äussersten Ende des Excedens beobachtet und unsicher ist. Eine Correction wegen fehlerhafter Lothstellung ist mit dem von Mayer angegebenen Betrage $-2''.2$ an die Juli 30 abgelesenen ZD. bereits angebracht.

Die Zenithsterne sind vor der Umhängung und nach Wiederumkehr des Quadranten beobachtet:

1756	Stern	(z') 1755	c'	(z)	
Juli 11	γ Drac.	0° 0′ 18″.4	−5″.8	0° 0′ 12″.6	} Corr. +0″.15
12	β Drac.	−0 57 38.8	−5.7	−0 57 44.5	
	γ »	0 0 19.3	−5.8	0 0 13.5	
15	γ Drac.	0 0 18.9	−5.8	0 0 13.1	
	763	−0 24 36.2	−5.8	−0 24 42.0	
Aug. 6	764	−0 38 9.7	−5.7	−0 38 15.4	} Corr. −0″.15
7	β Drac.	−0 57 40.3	−5.7	−0 57 46.0	
	γ »	0 0 11.9	−5.8	0 0 6.1	
8	β Drac.	−0 57 41.3	−5.7	−0 57 47.0	
	γ »	0 0 13.5	−5.8	0 0 7.7	
	763	−0 24 42.7::	−5.8	−0 24 48.5::	
	764	−0 38 10.5	−5.7	−0 38 16.4	
14	β Drac.	−0 57 40 4	−5.7	−0 57 46.1	
	γ »	0 0 12.5	−5.8	0 0 6.7	

Die Correction ±0″.15 ist anzubringen, um die Veränderung von $(c)_0$ mit der Zeit zu berücksichtigen, die aber gerade an dieser Stelle nur rechnerische Bedeutung hat. Man erhält nun folgende Vergleichung:

Stern	(z) N.	(z) S.	$2(c)$	Gew.
β Drac.	0° 57′ 35″.30 3	−0° 57′ 45″.98 4	−10″.68	1.71
γ »	−0 0 16.90 4	0 0 10.00 6	− 6.90	2.40
763	0 24 31.65 2	−0 24 43.21 1 1/4	−11.56	0.77
764	0 38 9.77 3	−0 38 16.05 2	− 6.28	1.20

Im Mittel findet sich $2(c) = -8''.43$, und mit der Verbesserung der vom Quadranten angegebenen Zenithdistanzen $+4''.21$ aus den Beobachtungen des Polarsterns

	z O.C.		z U.C.
Juli 24	36° 27′ 48″.12	Juli 23	40° 28′ 28″.77
30	47.52	Aug. 1	27.67
		4	28.77
	36 27 47.82		40 28 28.40

also

Declination 1755 = 87° 59′ 39″.71
Polhöhe = 51 31 51.89

Dieser Werth der Polhöhe weicht −2″.1 von der Uebertragung von der jetzigen Sternwarte ab. Wenn dagegen die speciellen Correctionen der Quadrantenablesungen c' nicht angebracht wären, würde man aus der Umhängung als Verbesserung der Zenithdistanzen −1″.7 und die Polhöhe damit =51°31′57″.8 oder 3″.8 zu gross erhalten haben.

Die übrigen bei Quadrant N. beobachteten Sterne, welche bei Bradley vorkommen, geben mit den Bradley'schen Declinationen weiter:

Stern	(z)	Beob.	Corr.	δ Bradley Ep. 1756.6	φ	p	
Capella	−5° 48′ 57″.3:	1	+4″.21	45° 43′ 3″.55	51° 31′ 56″.6:	1/2	} 52″.84
γ Drac.	−0 0 16.90	4	»	51 31 39.2	51.9	3	
β »	0 57 35.30	3	»	52 29 32.8	53.3	2	
η Urs. m.	24 46 33.61	1	»	76 18 31.2	53.4	1	
ε »	30 51 54.60	2	»	82 23 51.4	52.6	2	} 53″.28
δ »	34 58 52.17	3	»	86 30 50.25	53.9	2	
Cap. s. p.	82 44 56.65	2	»	45 43 3.55	55.6		
β Aur. »	83 34 27.9	1	»	44 53 28.9	59.0		} 58″.06
ε » »	85 1 59.4	1	»	43 25 54.5	32 1.9		
η » »	87 35 31.2	1	»	40 52 26.2	31 58.2		

Die Uebereinstimmung dieser Beobachtungen unter einander und mit dem richtigen Werth der Polhöhe ist eine so nahe, wie sie nur erwartet werden darf; die Abweichung der letzten Gruppe würde schon verschwinden, wenn man die nur unsicher ermittelte Temperatur 1°.8 R. niedriger annehmen wollte. —

Für den Catalog sind die Beobachtungen auf der Nordseite, so weit als thunlich, benutzt, indem sie in gleicher Weise wie die auf der Südseite angestellten reducirt wurden. Die nach Anbringung der Correctionen c' noch erforderliche allgemeine Verbesserung der Zenithdistanzen findet

sich aus den Bradley'schen Declinationen, mit angemessen vergrösserten Gewichten für die Resultate mehrfacher Einstellungen (Pol. Juli 23 und ε Urs. m. Juli 29 Gew. 2, Polaris an den übrigen Tagen und δ Urs. m. Gew. 4), und mit der Reduction auf Nacht für die Tagbeobachtungen:

Juli 22	+4″.55	2 **,	G. 2
23	+3.20	6 »	» 10
24	+2.07	4 »	» 6½
29	+3.58	4 »	» 6
30	+2.3	1 *	» 4
Aug. 1	+3.0	1 »	» 4
2	+1.9	1 »	» 4

im Mittel = +2″.91. Mit diesem Mittelwerth sind die Declinationen abgeleitet, ausser für den Polarstern, für welchen das oben erhaltene Resultat nicht weiter geändert wurde.

Das eigene Declinationssystem des Göttinger Quadranten.

In Ermangelung einer genügenden unabhängigen Bestimmung des Zenithpuncts und der Polhöhe können die Declinationen aus den Beobachtungen an T. Mayer's Quadranten nur nach anderweitiger Festsetzung eines Ausgangspuncts für die Zählung abgeleitet werden. Abgesehen von einer sonach willkürlich bleibenden Constante geben sie aber eine unabhängige Eintheilung des zwischen dem Zenith und dem südlichen Horizont gelegenen Meridianbogens, falls man die zur Ausgleichung zwischen den Endpuncten der Theilung hinzuzufügenden Quantitäten entweder als geringfügig vernachlässigen, oder dieselben unabhängig von anderen Declinationen bestimmen kann.

Die eigentlichen Theilungsfehler sind unbekannt. Bei Bird'scher Arbeit ist vorauszusetzen, dass sie nicht gross gewesen sind; die ganze Länge des Quadranten gibt Mayer an durch wiederholte Prüfung richtig gefunden zu haben, ohne freilich Zahlen anzuführen, aus welchen hervorgienge, innerhalb welcher Fehlergrenzen er sich von der Richtigkeit überzeugen konnte. Dagegen macht er darauf aufmerksam, dass die Krümmungen des Limbus Fehler der Zenithdistanzen hervorbringen. Da der Limbus dem Zeugniss der Durchgangsbeobachtungen zufolge in seinem untern Theil convex war, zeigte das Fernrohr, falls die Führung seines Ocularendes überall dem Limbus parallel blieb, zwischen dem Anfang der Theilung und dem Scheitelpunct des convexen Stücks auf eine geringere Zenithdistanz, als der auf dem Limbus aufliegende Nonius angab. Allgemein ist in dem von Mayer vorausgesetzten Fall die an die abgelesene ZD. anzubringende Correction, wenn unter $f(z)$ wieder die oben ermittelte Correction der Durchgangszeit verstanden wird, R den Radius des Quadranten und D den Abstand des Fadenkreuzes vom Limbus bedeutet,

$$\Delta z = +206265'' \cdot \frac{D}{R} \cdot \frac{15\, df(z)}{dz} \cdot \cos\delta$$

Die hiernach, mit den Werthen $D = 1.25$ Zoll, $R = 72$ Zoll, berechneten Correctionen Δz sind in der folgenden Tafel den durch Vergleichung mit den Bradley'schen Declinationen bestimmten Correctionen c' gegenübergestellt.

z	Δz	c'	$\Delta z+\Delta l$ $-(c'+0''.60)$	Br.	$c'-$Br.	z	Δz	c'	$\Delta z+\Delta l$ $-(c'+0''.60)$	Br.	$c'-$Br.
−3°	−2″.38	−5″.87	+1″.51	−0″.01	−5″.86	9°	−1″.21	−4″.45	+1″.67	−0″.89	−3″.56
−2	−2.22	−5.72	+1.56	+0.09	−5.81	10	−1.23	−4.11	+1.34	−0.45	−3.66
−1	−2.36	−5.65	+1.38	+0.06	−5.71	11	−1.30	−3.88	+1.08	−0.20	−3.68
0	−2.14	−5.82	+1.80	+0.04	−5.86	12	−1.15	−3.65	+1.03	−0.05	−3.60
1	−1.85	−6.29	+2.60	+0.03	−6.32	13	−0.99	−3.45	+1.03	+0.18	−3.63
2	−1.89	−6.59	+2.89	0.00	−6.59	14	−1.01	−3.21	+0.80	+0.50	−3.71
3	−1.78	−6.68	+3.13	+0.08	−6.76	15	−1.08	−2.98	+0.54	+0.64	−3.62
4	−1.66	−6.54	+3.14	−0.08	−6.46	16	−1.03	−2.75	+0.39	+0.49	−3.24
5	−1.44	−6.28	+3.14	−0.28	−6.00	17	−0.98	−2.55	+0.27	+0.11	−2.66
6	−1.25	−5.91	+2.99	−0.61	−5.30	18	−0.93	−2.40	+0.21	−0.12	−2.28
7	−1.28	−5.49	+2.57	−1.23	−4.26	19	−0.82	−2.27	+0.22	−0.16	−2.11
8	−1.30	−4.95	+2.05	−1.90	−3.05	20	−0.70	−2.18	+0.28	−0.03	−2.15

z	Δz	c'	$\Delta z+\Delta l$ $-(c'+0''.60)$	Br.	$c'-$Br.
21°	−0″.58	−2″.11	+0″.37	+0″.12	−2″.23
22	−0.52	−2.04	+0.39	+0.07	−2.11
23	−0.39	−1.86	+0.38	−0.25	−1.61
24	−0.26	−1.60	+0.28	−0.62	−0.98
25	−0.13	−1.23	+0.08	−0.70	−0.53
26	0.00	−1.03	+0.04	−0.46	−0.57
27	0.00	−0.96	0.00	−0.17	−0.79
28	+0.07	−0.90	+0.15	+0.21	−1.11
29	+0.21	−0.88	+0.20	+0.21	−1.09
30	+0.42	−0.89	+0.45	+0.06	−0.95
31	+0.63	−0.89	+0.70	−0.05	−0.84
32	+0.98	−0.77	+0.96	−0.11	−0.66
33	+1.34	−0.59	+1.18	−0.29	−0.30
34	+1.35	−0.32	+0.95	−0.70	+0.38
35	+0.81	−0.15	+0.28	−0.92	+0.77
36	0.00	−0.05	−0.60	−0.77	+0.72
37	0.00	−0.03	−0.59	−0.54	+0.51
38	−0.07	+0.06	−0.71	−0.36	+0.42
39	−0.14	+0.19	−0.88	−0.22	+0.41
40	−0.22	+0.42	−1.16	−0.09	+0.51
41	−0.29	+0.70	−1.47	+0.12	+0.58
42	−0.22	+0.96	−1.63	+0.29	+0.67
43	+0.44	+1.16	−1.13	+0.30	+0.86
44	+1.41	+1.34	−0.31	+0.09	+1.25
45	+2.00	+1.50	+0.16	−0.08	+1.58
46	+1.93	+1.64	−0.02	−0.32	+1.96
47	+1.64	+1.70	−0.34	−0.55	+2.25
48	+1.86	+1.65	−0.03	−0.62	+2.27
49	+2.31	+1.50	+0.60	−0.61	+2.11
50	+2.98	+0.95	+1.85	−0.56	+1.51
51	+3.06	+0.91	+2.01	−0.65	+1.56
52	+2.69	+1.13	+1.45	−0.88	+2.01
53	+2.16	+1.30	+0.79	−0.98	+2.28
54	+1.49	+1.30	+0.15	−0.96	+2.26
55°	+1″.04	+1″.39	−0″.35	−0″.58	+1″.97
56	+0.82	+1.40	−0.55	−0.12	+1.52
57	+0.52	+1.40	−0.82	+0.08	+1.32
58	+0.74	+1.20	−0.36	+0.16	+1.04
59	+1.11	+0.60	+0.64	+0.13	+0.47
60	+0.76	+0.22	+0.70	+0.08	+0.14
61	+0.07	+0.10	+0.17	+0.03	+0.07
62	−0.59	+0.10	−0.46	−0.03	+0.13
63	−0.51	+0.10	−0.34	−0.08	+0.18
64	0.00	+0.09	+0.21	−0.12	+0.21
65	+0.22	+0.02	+0.54	−0.13	+0.15
66	+0.07	−0.15	+0.59	−0.17	+0.02
67	−0.65	−0.29	+0.04	−0.20	−0.09
68	−1.72	−0.44	−0.84	−0.17	−0.27
69	−2.49	−0.50	−1.52	+0.04	−0.54
70	−2.41	−0.55	−1.36	+0.49	−1.04
71	−1.55	−0.60	−0.41	+0.44	−1.04
72	−0.70	−0.63	+0.50	+0.31	−0.94
73	−0.35	−0.90	+1.16	+0.27	−1.17
74	−0.55	−1.41	+1.50	+0.26	−1.67
75	−1.16	−1.30	+0.81	+0.23	−1.53
76	−1.90	−1.04	−0.15	+0.10	−1.14
77	−2.42	−0.89	−0.79	+0.11	−1.00
78	−2.74	−0.94	−1.02	+0.16	−1.10
79	−2.91	−1.60	−0.50	+0.38	−1.98
80	−2.89	−1.88	−0.17	+0.83	−2.71
81	−2.92	−1.85	−0.19	+1.56	−3.41
82	−3.15	−1.5	−0.74	+2.56	−4.06
83	−3.44				
84	−3.78				
85	−4.29				
86	−4.85				
87	−5.53				

Obwohl der Verlauf der Δz dem der c' ähnlich ist, sind doch die Unterschiede der beiden Reihen von Correctionen sehr beträchtlich, in der Hauptsache indess derart, dass man sie bereits durch die Annahme eines dennoch merklichen Fehlers der ganzen Länge des Quadranten wesentlich verkleinern kann. Mayer sagt, bei wiederholter Prüfung des horizontalen Radius mit der Libelle, an verschiedenen Tagen, sei derselbe »ad sensum parallelus horizonti deprehensus«*, wenn der verticale Radius genau nach dem Loth eingestellt war. Aber diese Angabe scheint die Fehlergrenze nicht ganz eng zu ziehen; denn bei einer Angabe über die Prüfung der Collimation des Horizontalfadens** bedient Mayer sich der gleichklingenden Wendung: »nullus error, qui in sensus caderet, . . . deprehendi potuit«, welche dann durch den gleich folgenden Zusatz »error certe si modo quis est non ultra 3″ adsurgere potest« in ein etwas bedenkliches Licht gerückt wird. Es scheint danach sehr wohl auch in der Länge des Quadranten ein Fehler von 3″ mit Mayer's Angabe vereinbar; nimmt man an, dass der Quadrant 3″.06 zu kurz gewesen ist und fügt deshalb zu den Δz noch die weitere Correction $\Delta l = +0''.034\,(z^\circ - 37^\circ.5)$ hinzu, so verbleiben nur Unterschiede mit den c', welche ohne Unwahrscheinlichkeit als innere Fehler der Theilung angesehen werden können und eine in diesem Fall auffällige Grösse nur in der Gegend dicht südlich vom Zenith erreichen. In dieser Gegend ist aber die Bestimmung sowohl der $f(z)$ als der c' eine besonders schwache, wesentlich kommt es für die Beurtheilung der Uebereinstimmung nur auf die Zodiacalzone an. Wird der mittlere sich für die ZD. 23° bis 80° ergebende Betrag $= +0''.60$ noch von den Werthen $\Delta z + \Delta l - c'$ abgezogen, so ergeben sich die in der entsprechend überschriebenen Columne der Tafel aufgeführten Werthe.

Es ist ferner noch eine Columne »Br.« hinzugefügt, welche die an die Bradley'schen südlichen Zenithdistanzen angebrachten, an einigen Stellen beträchtlichen Correctionen nachweist, und schliesslich

* Op. ined. Vol. I p. 14.
** Observ. I. p. 37 (1756 Juni 26).

die Columne »c'—Br.«, mit denjenigen speciellen Correctionen des Mayer'schen Quadranten, welche demnach die Vergleichung mit den uncorrigirten Angaben des Bradley'schen ergeben haben würde.

Gauss hat die Ansicht geäussert*, dass die Mayer'sche Vorstellung von dem Verhalten des Fernrohrs bei der Fortbewegung über den Limbus unrichtig und die darauf begründete Correction der abgelesenen Zenithdistanzen in Wirklichkeit nicht erforderlich sei. Denn sie setze eine Torsion des Fernrohrs voraus, welche man sich nicht möglich denken könne; auch habe die eigene Erfahrung ihm gezeigt, dass der auf zwei Rollen über den Limbus fortlaufende Ocularkopf sich an den merklich unebenen Stellen keineswegs so drehe, dass die beiden Rollen auf dem Limbus anliegend verblieben, sondern es gehe jedesmal an solchen Stellen die eine Rolle leer. An den unebenen Stellen werde eine seitliche Biegung des Fernrohrs eintreten, der Horizontalfaden aber nicht wie Mayer annehme sich senkrecht zum Limbus stellen, sondern sich und der Drehungsaxe immer parallel bleiben.

Gauss' Bemerkung des Leergehens der einen Rolle würde nun allerdings ganz entscheidend sein, wenn man annehmen müsste, dass das Instrument zu der Zeit, wo Gauss diese Wahrnehmung machte, sich in demselben Zustand befunden hätte wie 50 oder 60 Jahre vorher in T. Mayer's Händen. Es scheint mir aber nicht zulässig anzunehmen, dass ein Beobachter von so hohem Range bei dem ausgedehnten Gebrauch des Instruments einen derart ins Auge fallenden Umstand sollte übersehen haben, und daher wahrscheinlich, dass der Limbus des Quadranten in der Zwischenzeit stärkere Verbiegungen erlitten hat, welche erst die von Gauss bemerkte Erscheinung zuwege gebracht haben. In den geringen Drehungen aber, welche Mayer annimmt, scheint es nicht nothwendig eine, allerdings nicht wohl vorauszusetzende, Torsion des Fernrohres zu erblicken, sondern der Spielraum des kurzen Centralzapfens in seiner Büchse wird dem Fernrohr gestattet haben diese kleinen Drehungen ohne Torsion auszuführen.

Die im ganzen und grossen vorhandene Uebereinstimmung zwischen den aus den $f(z)$ berechneten Correctionen Δz und den Correctionen c' ist als ein praktischer Beweis für die Richtigkeit der Mayer'schen Annahme anzusehen. Ebenso dient es derselben zur Stütze, dass, wie die Vergleichung der Columnen c' und c'—Br. obiger Tafel zeigt, die Anbringung entsprechender Correctionen an die Angaben des Bradley'schen Quadranten den Erfolg hat, den Anschluss der Göttinger an die Greenwicher Zenithdistanzen ganz erheblich zu verbessern.

Die Resultate der einzelnen Beobachtungen.

Die Rectascensionen und Declinationen für Aeq. 1755, welche sich aus den einzelnen Beobachtungen ergeben, sind für die einzelnen Sterne zusammengestellt und in der Zusammenstellung auch die für die mittlere Epoche gültigen Mittel angegeben. Wo bei der Bildung dieser Mittel für einzelne Beobachtungen von 1 verschiedene Gewichte angenommen sind, finden sich diese gleichfalls angegeben. Für die Rectascensionen sind die Gewichte zunächst der Zahl der beobachteten Fäden entsprechend verschieden angenommen, nämlich 1 für 1 Faden, wie er bei den Catalogsternen in der Regel nur beobachtet ist, und Beobachtungen mit dem Fadengewicht 1 1/2, ferner 1 1/2 für 2 Fäden oder FG. 2 1/2, 2 bei höherm Fadengewicht. Die mit dem Vermerk nicht völlig normaler Sicherheit versehenen Beobachtungen mit nur einem Faden sind gleichfalls benutzt, wenn die Zahl der von Mayer beigefügten Puncte nicht mehr als 4 betrug, haben aber, je nach der Zahl der Puncte, nur Gew. 2/3, 1/2, 1/4 erhalten; wo 6 oder 8 Puncte beigesetzt sind, hat ersichtlich gar keine Beobachtung der betr. Coordinate stattgefunden, sondern dieselbe ist nur zu derjenigen der anderen Coordinate nach

* Brief an Bessel vom 10. Mai 1818 (Briefwechsel zwischen Gauss und Bessel. S. 269).

ungefährer Schätzung hinzugesetzt. Weiter ist die Sicherheit der jedesmaligen Uhrcorrection, bez. der Ermittelung der Fehler des Instruments, berücksichtigt: das volle der Fadenzahl entsprechende Gewicht haben in der Regel nur die in Zonen mit einer genügenden Anzahl von Anhaltsternen liegenden Beobachtungen erhalten, die in kleinen Gruppen vorkommenden nur Gew. 1/2 und die vereinzelten weit über den ganzen südlichen Meridian oder einen grossen Theil desselben zerstreuten Beobachtungen, falls sie überhaupt noch benutzt werden konnten, nur Gew. 1/4, unabhängig von der Zahl der beobachteten Fadenantritte. Bei den Declinationen ist das Gewicht fast in allen Fällen = 1, geringere Gewichte sind nur bei den wenigen als nicht ganz sicher bezeichneten Einstellungen angenommen (1/2 bei : und 1/4 bei ::) und in einigen Fällen, wo der anzuwendende Werth des Indexfehlers zweifelhaft ist. Diejenigen Declinationen, welche nicht mit Tageswerthen für (c), sondern mit Benutzung der Periodenmittel $(c)_0$ abzuleiten waren, sind durch cursiven Druck kenntlich gemacht, aber bei der Mittelbildung nicht weiter von den übrigen unterschieden; wo eine wirklich erhebliche Unsicherheit hinsichtlich der Reductionselemente besteht, wurde vorgezogen die Beobachtung ganz auszuschliessen. Die Resultate der dieser Art nicht sicher reducirbaren Beobachtungen sind mit aufgeführt, aber in [ ] gesetzt, ebenso einige Werthe, die nur wegen zu grosser Abweichung nachträglich ausgeschlossen wurden; in einzelnen Fällen sind zur Beseitigung grösserer Abweichungen Correcturen angebracht, wo sich solche ungezwungen darboten und sicher erschienen, und in den Bemerkungen nachgewiesen. Endlich finden sich noch Fälle, wo in der Zusammenstellung zwar die Columne »Reduction auf 1755« ausgefüllt, die Columne für die zugehörige Coordinate aber leer geblieben ist. Diese Beobachtungen können mangels Kenntniss der Uhrcorrection oder des Zenithpuncts nicht reducirt werden.

Die Zählung der Beobachtungstage entspricht dem Journal.

Für die Mittel ist neben der Zahl der benutzten Beobachtungen, welche sich in der bei den einzelnen Beobachtungen die Reduction auf Aeq. 1755 enthaltenden Columne findet, die Summe ihrer Gewichte in denjenigen Fällen angegeben, wo sie hinter der Beobachtungszahl zurückbleibt.

Bei den Declinationen ist zu der Angabe der Zahl der für die aufgeführten Mittel benutzten Beobachtungen ein " hinzugefügt, wenn Mayer in seinem Catalog eine grössere Beobachtungszahl angibt; die in der neuen Reduction fehlenden Beobachtungen, häufig der grössere Theil der von dem betr. Stern angestellten, werden jedesmal dem verlorenen Theil des ZD.-Journals, Febr.—Mai 1756, angehören. Die Mittelzeile gibt nur den Grad und die Minute der Declination mit dem Zusatz M* an Stelle der Beobachtungszahl, wo gar keine ZD.-Beobachtungen des Sterns erhalten sind und seine Declination nur Mayer's eigenem Catalog entnommen werden kann. —

Denjenigen Theil des m. F. einer Bestimmung, welcher nach den Unterschieden zwischen den Resultaten der wiederholten Bestimmungen bemessen werden kann, habe ich aus den Beobachtungen aller Sterne berechnen lassen, welche in Æ wenigstens 4mal beobachtet sind und bei welchen sämmtliche überhaupt verwendbaren Beobachtungen kein geringeres Gewicht als 1 erhalten haben. Diese Auswahl läuft darauf hinaus, den m. F. einer Coordinate ausschliesslich aus solchen Beobachtungen zu bestimmen, welche in den Zonen mit genügend versicherten Nullpuncten liegen.

Die Anzahl dieser Sterne beträgt 221, mit zusammen 1227 Durchgangsbeobachtungen. Der m. F. einer Æ vom Gew. 1 ergibt sich aus $\Sigma pvv = 34.14$ zu $\pm 0^s.184$. Die zugehörigen Beobachtungen der ZD. geben, so weit das Original erhalten ist, für 760 Beobachtungen von 172 Sternen $\Sigma vv = 1811.2$, also den m. F. einer Declination $= \pm 1''.75$. Dieser Werth liegt aber über dem wirklichen Durchschnitt, denn die Auswahl der Sterne hatte, da die Beobachtungen der Zenithdistanzen in den nördlichen Theilen der Ekliptik grossentheils verloren sind, die Folge, dass derselbe überwiegend durch tief culminirende Sterne bestimmt wurde. Die benutzten 72 Sterne zwischen 23^h und $13^h.5$ geben aus 264 Beobachtungen, etwa für 45° ZD., den m. F. $\pm 1''.38$, 67 Sterne zwischen $13^h.7$ und $16^h.0$, und $20^h.1$ und 23^h, geben aus 302 Beobachtungen $\pm 1''.62$ bei ZD. 66° und die übrigen 33 zwischen 16^h und $20^h.1$ aus 194 Beobachtungen $\pm 2''.27$ bei etwa 75° ZD.

Aus den Bradley'schen Beobachtungen fand sich der entsprechende Theil des m. F. einer auf einem Fadenantritt beruhenden $\mathfrak{R} = \pm 0^s.197$ und der zufällige m.F. einer in ZD. 45° bestimmten Declination $= \pm 1''.20$. Das Verhältniss ist bei den Rectascensionen ein für Mayer sehr günstiges, jedoch bleibt zu beachten, dass zu diesem zufälligen Fehler bei dem Quadranten nothwendig ein viel grösserer anderweitiger Fehler hinzukommt als bei dem Passageninstrument. Für die Declinationen ergibt sich eine merkliche Ueberlegenheit der Greenwicher Beobachtungen an innerer Uebereinstimmung; wahrscheinlich sind die Ablesungen des Göttinger Instruments sowohl wegen des kleinern Radius als auch weiter noch deshalb weniger genau ausgefallen, weil die Noniustheile, statt wie in Greenwich mikrometrisch, nur durch Schätzung eingetheilt wurden.

Ergänzung der Declinationen nach Mayer's Catalog.

Die Resultate der verlorenen Beobachtungen der Zenithdistanzen können, in den meisten Fällen wenigstens in sehr angenäherter Weise, mit Hülfe der Declinationen des von Mayer selbst bearbeiteten Catalogs wiederhergestellt werden. Es ist von grosser Wichtigkeit diese Vervollständigung zu bewirken, da nicht weniger als 454 Sterne oder beinahe die Hälfte der im Catalog vorkommenden von dem Verlust der Originalbeobachtungen betroffen werden, in mehr oder minder starkem Maasse; gänzlich fehlen die Zenithdistanzen darunter für 222 Sterne, indem aus den vier Stunden 10^h bis 13^h fast alle Beobachtungen verloren sind und aus den sechs vorangehenden Stunden 4^h bis 9^h nur ein geringer Theil erhalten ist.

Die durch die neue Bearbeitung gefundenen Declinationen geben für die Oerter des alten Mayer'schen Catalogs innerhalb der Zodiacalzone, im Mittel für je 2^h der $\mathfrak{R}$ und 5° breite Zonen der Declination ohne Unterscheidung von Gewichten, folgende Correctionen:

$\mathfrak{R}$	$\delta_0 = 27°.5$		$22°.5$		$17°.5$		$12°.5$		$7°.5$		$2°.5$		$-2°.5$		$-7°.5$		$-12°.5$		$-17°.5$		$-22°.5$		$-27°.5$	
$0^h,1^h$	—	–	$-6''.1$	4	$-6''.1$	9	$-5''.7$	8	$-6''.3$	29	$-5''.9$	16	$-6''.8$	8	$-8''.2$	3	—	–	—	–	—	–	—	–
2, 3	$-4''.1$	2	-5.9	18	-5.3	16	-4.9	7	-4.8	7	-6.7	2	-7.4	1	-8.5	1	—	–	—	–	—	–	—	–
4, 5	-2.2	3	-3.7	10	-3.6	32	-3.7	6	-1.6	2	—	–	-3.6	4	-5.9	1	—	–	$-4''.0$	1	$-4''.2$	2	—	–
6, 7	-3.4	18	-3.5	13	-4.4	15	-4.1	4	-3.2	1	—	–	—	–	—	–	—	–	-5.4	1	—	–	—	–
8, 9	-2.9	4	-3.4	21	-3.4	13	-3.7	12	-3.6	5	—	–	—	–	-5.3	1	—	–	—	–	—	–	—	–
10,11	—	–	-3.9	2	-4.4	4	-2.9	6	-2.2	4	-5.2	2	—	–	—	–	—	–	—	–	—	–	—	–
12,13	—	–	—	–	—	–	—	–	—	–	-1.3	2	-3.4	4	-4.1	4	—	–	-4.8	3	—	–	—	–
14,15	—	–	—	–	—	–	—	–	-5.6	1	-2.3	1	-6.3	2	-5.0	6	$-5''.6$	19	-6.5	19	-6.3	7	—	–
16,17	—	–	—	–	—	–	-5.2	1	—	–	—	–	—	–	—	–	-8.6	2	-6.1	20	-5.6	33	$-6''.2$	7
18,19	—	–	—	–	—	–	—	–	-4.9	1	—	–	—	–	—	–	-7.0	9	-7.1	30	-6.8	37	-4.9	14
20,21	—	–	—	–	—	–	—	–	—	–	—	–	-5.8	2	-7.0	3	-6.8	24	-7.4	39	-7.2	19	-6.8	18
22,23	—	–	—	–	—	–	-3.5	1	-6.2	5	-6.4	10	-6.8	19	-6.9	23	-7.2	13	-8.5	2	—	–	-6.9	5
Mittel	-3.2		-4.3		-4.3		-4.2		-5.3		-5.7		-6.1		-6.5		-6.6		-6.9		-6.5		-6.1	

Werden zunächst ohne Rücksicht auf eine etwaige Veränderlichkeit des Unterschiedes mit der Rectascension die am Fuss der Tafel angegebenen Mittel gebildet und die danach in den verschiedenen Declinationszonen bis $-20°$ für je zwei Stunden sich ergebenden Ueberschüsse der Correction zu Mitteln zusammengezogen, so ergibt sich für

$0^h,1^h$	$-1''.0$	77	**	$12^h,13^h$	$+2''.7$	13	**
2, 3	-1.0	54	»	14, 15	$+0.8$	48	»
4, 5	$+0.9$	59	»	16, 17	$+0.5$	23	»
6, 7	$+0.2$	52	»	18, 19	-0.2	40	»
8, 9	$+0.8$	56	»	20, 21	-0.4	68	»
10,11	$+1.2$	18	»	22, 23	-0.6	73	»

Werden nun diese Abweichungen vorweg abgezogen, so erhält man die verbleibenden Mittelwerthe für die einzelnen Zonen:

$\delta =$	30°	bis 25°	−3″.49	27	**	$\delta =$ 0°	bis − 5°	−5″.97	40	**
	25	» 20	−4.40	68	»	− 5	» −10	−6.42	42	»
	20	» 15	−4.55	89	»	−10	» −15	−6.59	67	»
	15	» 10	−4.38	45	»	−15	» −20	−6.96	115	»
	10	» 5	−4.80	55	»	−20	» −25	−6.61	96	»
	5	» 0	−5.25	33	»	−25	» −30	−5.92	44	»

Der Gang in den nach der Declination geordneten Unterschieden erklärt sich grossentheils durch den Unterschied der angenommenen speciellen Correctionen des Quadranten. Mayer gibt eine Tafel* für den »Error Quadrantis«, worunter er die der Ablesung hinzuzufügende Correction versteht; dieselbe enthält die aus der ermittelten Figur des Limbus geschlossenen Correctionen der ZD. mit Hinzufügung der Correction für Indexfehler, ohne dass die für letztern gemachte Annahme bestimmt nachweisbar ist. Zieht man aber von den Zahlen der Mayer'schen Tafel den für $z = 37°.5$ (thatsächlich für $z = 32°$ bis $48°$ gleich) angegebenen Werth +2″.6 ab, so erhält man unmittelbar den oben abgeleiteten Correctionen c' entsprechende Grössen und hat im Mittel für die 5°-Zonen:

		c' nach Mayer	c' nach n. Red.	$\Delta c'$	$\Delta\delta$	v
bei δ	27°.5	−0″.82	−1″.53	−0″.71	−3″.69	+0″.20
	22.5	−0.22	−0.90	−0.68	−3.72	−0.68
	17.5	0.00	−0.38	−0.38	−4.02	−0.53
	12.5	0.00	+0.31	+0.31	−4.71	+0.33
	7.5	0.00	+1.32	+1.32	−5.72	+0.92
	2.5	−0.06	+1.34	+1.40	−5.80	+0.55
	− 2.5	−0.40	+1.30	+1.70	−6.10	+0.13
	− 7.5	−1.08	+0.70	+1.78	−6.18	−0.24
	−12.5	−1.80	+0.03	+1.83	−6.23	−0.36
	−17.5	−2.48	−0.48	+2.00	−6.40	−0.56
	−22.5	−3.04	−1.06	+1.98	−6.38	−0.23
	−27.5	−3.30	−1.43	+1.87	−6.27	+0.35

Die Columne $\Delta\delta$ gibt die Werthe $-4″.4 - \Delta c'$, also die Correctionen, welche für die Mayerschen Declinationen zu erwarten wären, wenn Mayer, welcher die Polhöhe ebenfalls $= 51°31'54″.0$ gesetzt hat, die Verbesserung der Zenithdistanzen für Indexfehler −4″.4 von der Annahme der neuen Reduction verschieden angenommen hätte, weitere Unterschiede in den Reductionselementen aber nicht beständen. Die vorstehend gefundenen wirklichen $\Delta\delta$ weichen von diesen Werthen um die Beträge v ab. Die Abweichungen sind im ganzen nicht mehr gross, zeigen aber noch einen Gang in grösserer Regelmässigkeit, als zu erwarten gewesen wäre, da die Vergleichung der $\Delta\delta$ durch den Umstand, dass Mayer allem Anschein nach mit einem festen Indexfehler (wenigstens von 1756 Juli 21 ab) gerechnet hat, etwas unsicher wird.

Für den Gang nach Rectascension, welcher sich in den Unterschieden der beiden Reductionen sehr entschieden zeigt, kann eine sichere Erklärung nicht gegeben werden. Die Unterschiede zwischen den für die verschiedenen Abschnitte der Beobachtungsreihe in der neuen Reduction an Stelle des unveränderlichen Mayer'schen Werths angenommenen Indexfehlern sind nicht die Ursache; ebensowenig kann ein Fehler der von Mayer angenommenen Nutation den Gang erzeugt haben, da eine Correction der Nutationsconstante im Betrage von v für die Declinationen des Mayer'schen Catalogs die Correction $+0.96v \cdot \sin(\alpha + 19°)$ bedingen würde.

Mag aber der Ursprung der Unterschiede zwischen den beiden Reductionen sein welcher er wolle, so bleibt, nachdem die Unterschiede für den erhaltenen Theil der Declinationsbeobachtungen sicher festgestellt sind, die allein wesentliche weitere Frage die, ob für die Bearbeitung des verlorenen Theils dieselben Unterschiede vorausgesetzt werden dürfen. Diess ist um so weniger zweifelhaft, als Mayer selbst angibt**, dass die für alle Beobachtungen vor dem 21. Juli 1756 anzubringenden Correctionen

---

* Observationes astronomicae quadrante murali habitae in observatorio Gottingensi (Recit. d. 6. Nov. 1756). — Opera ined. Vol. I p. 17.

** A. a. O. p. 17. 18.

am sichersten durch Vergleichung mit den Resultaten der späteren Beobachtungen bestimmt werden könnten, und daher anzunehmen ist, dass die verlorenen Beobachtungen in dieser Art differentiell von ihm reducirt worden sind.

Zur Verbesserung der Declinationen des Mayer'schen Catalogs sind folgende auf die vorstehende Vergleichung gegründete Correctionstafeln benutzt:

Reduction der Declinationen des Mayer'schen Catalogs auf das System der neuen Bearbeitung $= \Delta\delta_\delta + \Delta\delta_\alpha$

δ	$\Delta\delta_\delta$	δ	$\Delta\delta_\delta$	α	$\Delta\delta_\alpha$	α	$\Delta\delta_\alpha$
30°0	−4″.00	0°0	−5″.45	0°	−1″.1	180°	+1″.4·
27.5	−4.00	− 2.5	−5.74	15	−1.1	195	+1.4·
25.0	−4.05	− 5.0	−6.05	30	−1.0	210	+1.3·
22.5	−4.10	− 7.5	−6.32	45	−0.8·	225	+1.1·
20.0	−4.17	−10.0	−6.58	60	−0.5	240	+0.9
17.5	−4.24	−12.5	−6.76	75	−0.2	255	+0.6·
15.0	−4.34	−15.0	−6.92	90	+0.1·	270	+0.4
12.5	−4.42	−17.5	−7.02	105	+0.5	285	+0.1
10.0	−4.62	−20.0	−6.90	120	+0.8	300	−0.3
7.5	−4.81	−22.5	−6.70	135	+1.0·	315	−0.6
5.0	−5.00	−25.0	−6.33	150	+1.2·	330	−0.8
2.5	−5.24	−27.5	−5.97	165	+1.4	345	−1.0
0.0	−5.45	−30.0	−5.58	180	+1.4·	360	−1.1

Ueber die Ableitung der in den Catalog eingestellten Oerter für diejenigen Sterne, von welchen Mayer für seinen Catalog mehr Declinationsbeobachtungen benutzt hat als in der erhaltenen Sammlung 1756—1758 vorkommen, gibt die folgende Tafel im einzelnen Auskunft.

Neue Nr.	Mayer's Catalog Nr.	α	δ 1756	B.	Red. Praec.	Decl. 1755 M. red.	Decl. 1755 neue Bearb.			angenommen δ 1755		Ep.	Bemerkungen
113	106	48°	+ 8° 9′ 13″.6	4	−5″.6	−13″.4	54″.6	56″.13	3	56.9	+ 8° 8′ 55″.75	56.8	
114	107		8 51 54.0	3	5.5	13.3	35.2	36.40	2	»	8 51 36.00	56.8	
117	110	49	10 28 54.5	3	5.4	13.1	36.0	38.45	2	»	10 28 37.62	56.8	
119	112	50	8 31 55.1	3	5.5	12.9	36.7	40.25	2	»	8 31 39.08	56.8	
123	116	53	23 19 35.8	4	4.8	12.2	18.8	17.80	2	»	23 19 18.30	56.7	
125	118		23 40 55.3	3	4.8	12.2	38.3	36.55	2	»	23 40 37.13	56.8	
126	119		23 35 9.0	3	4.8	12.1	52.1	51.35	2	»	23 34 51.60	56.8	
132	125	54	23 17 13.9	3	4.7	11.9	57.3	57.75	2	»	23 16 57.60	56.8	
133	126		23 22 17.2	3	4.7	11.9	0.6	57.50	1	56.8	23 21 59.57	56.6	
135	128		10 22 28.5	1	5.2	11.9	11.4				10 22 11.4	56.1	
137	130	56	21 45 19.8	1	4.7	11.3	3.8				21 45 3.8	56.1	
138	131	57	11 46 54.6	3	5.1	11.0	38.5	36.75	2	56.9	11 46 37.33	56.8	
139	132	58	21 23 40.2	4	4.6	10.8	24.8	23.95	2	57.0	21 23 24.37	56.8	
140	133		21 19 47.9	3	4.6	10.7	32.6	32.80	2	»	21 19 32.73	56.8	
142	135	59	18 56 37.2	2	4.7	10.4	22.1	23.40	1	56.8	18 56 22.75	56.6	
143	136		25 49 21.1	2	4.5	10.3	6.3	7.40	1	»	25 49 6.85	56.6	
144	137	61	19 57 25.3	4	4.7	9.8	10.8	10.80	1	»	19 57 10.80	56.4	
146	138		26 44 41.2	4	4.5	9.6	27.1	28.70	1	»	26 44 27.50	56.4	
147	139		15 1 3.9	5	4.8	9.6	49.5	51.00	1	»	15 0 49.80	56.3	
149	141	62	14 29 26.3	1	4.9	9.5	11.9				14 29 11.9	56.1	
151	143		25 1 54.5	2	4.5	9.4	40.6				25 1 40.6	56.1	
153	145		16 56 56.9	5	4.7	9.4	42.8	43.40	1	56.8	16 56 42.92	56.4	
154	147	63	16 51 27.0	5	4.7	9.3	13.0	19.30	1	»	16 51 14.26	56.4	
155	148		17 20 53.7	5	4.6	9.2	39.9	40.60	1	»	17 20 40.04	56.4	
156	149		22 14 21.9	2	4.5	9.1	8.3				22 14 8.3	56.1	
157	150		15 2 39.2	1	4.7	9.1	25.4				15 2 25.4	56.1	
158	151		22 25 29.9	2	4.5	9.1	16.3				22 25 16.3	56.1	
159	152		14 8 27.0	3	4.8	9.0	13.2	16.90	1	56.8	14 8 14.43	56.6	
160	154	64	18 37 3.6	5	4.6	8.9	50.1	50.95	2	56.9	18 36 50.44	56.7	
161	155		14 10 36.9	1	4.8	8.9	23.2				14 10 23.2	56.1	
162	156		15 24 0.6	2	4.7	8.9	47.0	42.00	1	56.8	15 23 45.33	56.6	
163	157		15 18 32.3	2	4.7	8.9	18.7	16.50	1	»	15 18 17.60	56.6	
166	160		15 38 31.2	5	4.7	8.8	17.7	17.70	2	56.9	15 38 17.70	56.7	
167	161		15 8 27.5	1	4.7	8.7	14.1				15 8 14.1	56.1	
169	163	65	15 47 14.9	3	4.7	8.5	1.7	2.95	2	57.0	15 47 2.52	56.9	
170	164		14 18 38.3	1	4.8	8.5	25.0				14 18 25.0	56.2	
171	166		19 21 18.9	1	4.6	8.4	5.9				19 21 5.9	56.2	
172	167		15 59 48.1	18	4.7	8.3	35.1	36.38	12	56.8			
173	168	66	15 31 22.2	4	4.7	8.1	9.4	8.20	1	56.9	15 31 9.10	56.5	
174	169		15 17 49.6	7	4.7	8.1	36.8	38.50	3	»	15 17 37.53	56.7	

Neue Nr.	Mayer's Catalog Nr.	α	δ 1756	B.	Red. Praec.		Decl. 1755 M. red.	Decl. 1755 neue Bearb.			angenommen δ 1755	Ep.	Bemerkungen
175	170	66°	+15° 24′ 46″.3	7	−4″.7	−8″.1	33″.5	34″.48	4	56″.9	+15° 24′ 34″.06	56.7	
176	171	67	22 27 59.7	6	4.5	7.9	47.3	49.85	2	56.7	22 27 49.00	56.6	
177	172		18 16 15.2	6	4.6	7.5	3.1	4.25	2	57.0	18 16 3.87	56.6	
179	173		18 16 48.1	3	4.5	7.3	36.3	37.40	1	56.9	18 16 36.67	56.5	
180	174		18 24 7.3	6	4.5	7.1	55.7	54.35	2	57.0	18 23 55.25	56.6	
181	175	70	13 49 21.1	3	4.7	7.0	9.4	9.00	2	56.9	13 49 9.13	56.8	
182	176		16 36 7.1	1	4.6	6.9	55.6				16 35 55.6	56.1	
187	179	71	23 32 38.6	3	4.4	6.6	27.6	30.10	1	56.9	23 32 28.43	56.5	
188	180		16 44 53.3	4	4.6	6.6	42.1	40.90	1	57.2	16 44 41.80	56.6	
192	182		15 31 48.7	1	4.6	6.4	37.7				15 31 24.5	56.2	ZD. +1^v corr.
194	183	72	21 13 3.6	5	4.4	6.2	53.0				21 12 53.0	56.1	
196	184	73	20 54 44.8	3	4.3	6.1	34.4				20 54 34.4	56.2	
197	185		15 2 35.1	1	4.5	6.0	24.6				15 2 24.6	56.1	
198	186		19 26 51.7	3	4.4	5.9	41.4	42.70	1	57.2	19 26 41.83	56.7	
199	187		18 17 38.2	7	4.4	5.8	28.0	30.20	2	57.1	18 17 28.63	56.6	
200	188		20 4 24.8	2	4.4	5.8	14.6				20 4 14.6	56.1	
201	189	74	15 15 48.0	3	4.5	5.6	37.9	39.15	2	57.0	15 15 38.73	56.9	
203	190		+45 43 10.7	25		5.5		2.85	15	56.9			
206	192	76	− 8 30 9.5	14	6.6	5.0	21.1	19.18	13	57.1			
207	193		+21 49 13.7	3	4.3	4.8	4.6	4.20	1	57.1	21 49 4.47	56.7	
209	197	77	27 41 4.7	1	4.1	4.7	55.9				27 40 55.9	56.1	
213	199	78	28 22 32.3	10	4.1	4.3	23.9	25.77	6	57.0			
214	200		6 6 25.2	7	5.0	4.2	16.0	18.83	6	57.0			
216	202		21 42 15.5	3	4.2	4.1	7.2				21 42 7.2	56.2	
217	203	79	+31 59 6.0	3	4.1	3.8	58.1				+31 58 58.1	56.2	
218	204		−20 58 15.6	5	6.9	3.7	25.9	22.80	3	57.0	−20 58 24.04	56.9	
219	205	80	+20 16 39.2	2	4.3	3.6	31.3				+20 16 31.3	56.2	
220	206		− 0 30 3.0	11	5.6	3.5	12.1	9.69	8	56.9			
222	208		−18 0 53.3	4	7.1	3.3	3.7	0.65	2	57.0	−18 1 2.17	56.8	
223	209	81	+20 58 10.9	4	4.2	3.2	3.5	6.40	1	57.1	+20 58 4.22	56.7	
224	210		− 1 22 40.2	9	5.7	3.2	49.1	46.10	6	56.8			
225	211		+25 44 7.5	1	4.1	3.1	0.3				+25 44 0.3	56.1	
226	212	82	− 2 45 38.8	8	5.8	2.9	47.5	46.23	3	57.1	− 2 45 47.02	56.7	
227	213		− 2 5 30.2	11	5.7	2.8	38.7	36.85	7	56.9			
228	214	83	+18 34 31.3	2	4.2	2.5	24.6				+18 34 24.6	56.2	
230	215		20 9 47.9	1	4.2	2.4	41.3				20 9 41.3	56.1	
232	217		17 36 50.1	2	4.2	2.3	43.6				17 36 43.6	56.2	
233	218		+20 45 40.3	1	4.1	2.3	33.9				+20 45 33.9	56.1	
236	220	84	−22 32 40.0	4	6.7	2.2	48.9	47.15	2	57.1	−22 32 48.02	56.9	
237	221		+ 9 38 44.9	1	4.6	2.2	38.1				+ 9 38 38.1	56.1	wahrsch. 9°24′34″.0, Δz +4^v
238	222		− 9 46 31.4	5	6.6	2.1	40.1	38.90	3	57.0	− 9 46 39.38	56.9	
239	223	85	+20 13 3.0	1	4.2	1.9	56.9				+20 12 56.9	56.1	
240	224		20 12 26.7	4	4.2	1.8	20.7				20 12 20.7	56.1	
243	226		7 20 18.9	8	4.8	1.6	12.5	16.87	6	57.2			
244	227	86	25 53 52.3	3	4.0	1.5	46.8				25 53 46.8	56.2	
245	228		22 51 40.8	1	4.1	1.3	35.4				22 51 35.4	56.2	
246	229	87	22 22 8.3	1	4.1	1.1	3.1				22 22 3.1	56.2	
247	230		19 40 15.0	1	4.2	1.0	9.8	5.20	1	57.0	19 40 7.50	56.6	
248	232		23 15 6.8	3	4.0	0.9	1.9				23 15 1.9	56.1	
249	233		20 7 12.7	3	4.1	0.9	7.7				20 7 7.7	56.1	
252	236	89	23 7 43.6	1	4.0	0.4	39.1				23 7 39.1	56.1	
253	237		23 1 13.5	1	4.0	0.4	9.1				23 0 55.9	56.1	ZD. +1^v corr.
255	239		22 56 21.5	3	4.0	−0.2	17.3				22 56 17.3	56.1	
257	241	90	22 33 11.5	5	4.0	0.0	7.4	6.50	1	57.0	22 33 7.22	56.4	
259	243		24 1 28.2	1	3.9	+0.1	24.4				24 1 24.4	56.2	
260	244	91	23 45 48.2	2	3.9	0.2	44.5				28 45 44.5	56.2	falsch
261	245		23 40 24.3	2	3.9	0.3	20.7				23 40 20.7	56.2	
262	246		23 32 26.2	1	3.9	0.4	22.7				23 32 22.7	56.1	
263	247		23 20 44.6	1	3.9	0.4	41.1				23 20 41.1	56.1	
264	248	92	21 13 1.1	1	3.9	0.6	57.8				21 12 57.8	56.2	
265	249		21 17 10.3	1	3.9	0.6	7.0				21 17 7.0	56.2	
266	250		23 50 59.4	1	3.9	0.6	56.1				23 50 56.1	56.1	
267	251		22 36 53.6	3	3.9	0.7	50.4				22 36 50.4	56.1	
268	252	93	21 45 19.7	2	3.9	1.0	16.8				21 45 16.8	56.2	
269	253		20 54 58.6	1	4.0	1.2	55.8				20 54 55.8	56.2	
270	254		20 37 6.7	3	3.9	1.2	4.0				20 37 4.0	56.2	
271	255	94	20 20 35.4	3	3.9	1.3	32.8				20 20 32.8	56.1	
272	256	95	17 55 40.8	2	3.9	1.6	38.5				17 55 38.5	56.2	
273	257		17 55 57.2	2	3.9	1.6	54.9				17 55 54.9	56.2	
274	258		16 22 17.8	2	4.0	1.8	15.6				16 22 15.6	56.2	
275	259	96	16 35 4.5	5	4.0	2.1	2.6				16 35 2.6	56.1	
276	260		19 51 30.5	2	3.9	2.2	28.8				19 51 28.8	56.2	

Neue Nr.	Mayer's Catalog Nr.	α	δ 1756	B.	Red.	Praec.	Decl. 1755 M.red.	neue Bearb.	angenommen δ 1755	Ep.	Bemerkungen
277	261	96°	+16°36′ 5″.9	2	−4″.0	+2″.4	4″.3		+16°36′ 4″.3	56.2	
278	262	97	17 51 38.4	6	3.9	2.5	37.0	35″.40 1 57.1	17 51 36.73	56.5	
279	263		25 20 51.6	5	3.7	2.5	50.4	51.40 1 »	25 20 50.60	56.5	
280	264	98	13 27 6.9	4	4.0	2.6	5.5		13 27 5.5	56.2	
281	265		+13 8 12.0	5	4.0	2.8	10.8		13 8 10.8	56.1	
282	266	99	−16 23 54.2	18	6.6	3.0	57.8	55.94 15 56.68			
283	267		+13 40 19.4	1	4.0	3.2	18.6		13 40 18.6	(56.1?)	
284	268		22 1 29.2	3	3.7	3.2	28.7	28.70 1 57.1	22 1 22.70	56.7	
285	269	100	13 27 54.3	5	4.0	3.6	53.9	51.50 1 »	13 27 53.42	56.7	
286	270	101	18 1 50.4	3	3.8	3.7	50.3		18 1 50.3	56.2	
287	271		18 11 59.7	2	3.8	3.8	59.7		18 11 59.7	56.2	
290	274		23 45 21.9	1	3.7	4.0	22.2		23 45 22.2	56.2	
292	276	102	24 32 22.2	7	3.7	4.1	22.6	20.35 2 57.1	24 32 21.96	56.6	
293	277		20 54 18.2	8	3.6	4.3	18.6	17.20 3 »	20 54 18.08	56.7	
294	278	103	22 58 46.8	6	3.6	4.4	47.6	47.35 2 »	22 58 47.52	56.7	
297	281	104	30 37 14.1	6	3.5	4.8	15.4	16.05 2 »	30 37 15.62	56.7	
298	282		24 30 45.6	6	3.6	5.0	47.0	45.90 3 »	24 30 46.45	56.9	
299	283	105	16 33 2.6	6	3.8	5.1	4.0	3.13 4 »	16 33 3.42	57.0	
300	284		25 17 5.3	6	3.5	5.2	7.0	6.43 3 »	25 17 6.72	56.8	
303	287	106	16 57 30.1	9	3.8	5.5	31.8	31.53 4 »	16 57 31.68	56.7	
304	288		22 24 30.3	7	3.6	5.7	32.4	32.60 4 »	22 24 32.51	57.0	
305	289	107	20 32 51.5	7	3.7	5.8	53.6	55.00 4 »	20 32 54.40	57.0	
306	290		25 29 45.9	7	3.4	5.9	48.4	47.38 4 »	25 29 47.82	57.0	
309	293	108	28 15 32.6	6	3.4	6.1	35.3	34.17 3 »	28 15 34.73	56.9	
311	295		21 55 17.0	7	3.5	6.3	19.8	18.38 4 »	21 55 18.99	57.0	
312	296		32 14 40.1	7	3.4	6.3	43.0	43.17 3 »	32 14 43.07	56.8	
313	297	109	28 35 49.6	6	3.4	6.4	52.6	52.02 4 »	28 35 52.21	57.0	
314	298		28 23 45.4	7	3.4	6.4	48.4	47.20 4 »	28 23 47.71	57.0	
315	299	110	32 23 53.1	15	3.4	6.8	56.5	56.58 13 57.2			
316	300		16 19 46.2	5	3.7	6.8	49.3	50.37 3 57.1	16 19 49.94	56.9	
317	301		27 24 52.5	5	3.4	6.9	56.0	55.65 2 »	27 24 55.86	56.8	
318	302	111	19 26 47.1	1	3.6	7.1	50.6		19 26 50.6	56.2	
321	305		18 12 33.7	3	3.6	7.3	37.4	35.40 1 57.1	18 12 36.73	56.7	
322	306	112	5 49 51.3	22	4.4	7.4	54.3	56.66 16 57.34			
324	308		29 27 3.1	3	3.3	7.5	7.3	6.70 1 57.1	29 27 7.10	56.6	
326	310		26 20 34.1	8	3.3	7.6	38.4	38.02 5 »			
327	311		24 57 33.8	2	3.4	7.6	38.0		24 57 38.0	56.2	
328	312	113	28 35 36.6	13	3.3	7.7	41.0	40.65 11 57.3			
329	313		19 5 3.5	3	3.5	7.8	7.8		19 5 7.8	56.2	
331	315	115	27 22 28.1	2	3.3	8.4	33.2		27 22 33.2	56.2	
332	316		20 30 25.7	3	3.5	8.6	30.8		20 30 30.8	56.2	
333	317	117	26 2 18.3	4	3.3	9.0	24.0	24.80 2 57.2	26 2 24.40	56.9	
334	318		28 27 22.2	5	3.2	9.1	28.1	31.75 2 »	28 27 29.56	56.8	
335	319	118	13 47 37.5	4	3.6	9.4	43.3	43.30 2 »	13 47 43.30	56.9	
337	321		22 16 9.5	5	3.3	9.5	15.7	15.95 2 »	22 16 15.80	56.8	
339	323	119	26 13 36.3	3	3.2	9.7	42.8	43.40 1 »	26 13 43.00	56.7	
342	325		30 21 59.2	3	3.2	9.9	5.9		30 22 5.9	56.2	
344	326	120	18 21 45.3	7	3.4	9.9	51.8	53.10 2 57.2	18 21 52.17	56.7	
346	330	121	9 55 7.9	7	3.8	10.3	14.4	15.57 3 »	9 55 14.90	56.9	
348	332		27 59 14.3	7	3.2	10.4	21.5	21.67 3 »	27 59 21.57	56.9	
349	333		24 46 15.5	7	3.3	10.5	22.7	21.67 3 »	24 46 22.25	56.9	
350	334	122	19 5 47.9	6	3.4	10.7	55.2	55.20 2 »	19 5 55.20	56.8	
351	335	123	28 40 34.4	5	3.1	10.9	42.2	45.40 1 57.1	28 40 42.84	56.6	
352	337		27 42 44.0	5	3.1	10.9	51.8	50.80 1 57.2	27 42 51.60	56.6	
355	339	124	24 56 5.7	6	3.2	11.1	13.5	13.37 3 »	24 56 13.43	56.9	
356	340		26 59 9.6	2	3.1	11.2	17.7		26 59 17.7	56.3	
358	342		24 53 4.2	4	3.2	11.3	12.3	15.30 1 57.1	24 53 13.05	56.6	
359	343		18 54 4.1	6	3.3	11.3	12.1	13.30 2 57.2	18 54 12.50	56.8	
362	346	125	21 15 4.5	4	3.2	11.4	12.7	13.70 1 57.1	21 15 12.95	56.6	
363	347		14 4 25.1	2	3.5	11.5	33.1		14 4 33.1	56.3	
364	348		20 24 38.3	5	3.3	11.6	46.6	46.60 3 57.2	20 24 46.60	57.1	
366	350	126	16 8 25.2	2	3.4	11.7	33.5	33.90 1 57.1	16 8 33.70	56.7	
367	351		20 5 56.5	6	3.3	11.8	5.0	6.10 2 57.2	20 6 5.37	56.8	
368	352		10 29 7.8	2	3.7	11.8	15.9		10 29 15.9	56.2	
369	353		10 24 36.8	4	3.7	11.8	44.9		10 24 44.9	56.2	
370	354		20 37 8.1	3	3.3	11.9	16.7	17.35 2 57.2	20 37 17.13	57.1	
371	355		20 22 57.3	2	3.3	11.9	5.9	4.30 1 »	20 23 5.10	56.8	
374	359	127	20 30 52.5	3	3.3	12.0	1.2	2.10 1 »	20 31 1.50	56.8	
375	360		20 23 21.7	2	3.3	12.0	30.4	26.50 1 »	20 23 28.45	57.0	
376	361		20 33 56.2	2	3.3	12.0	4.9	3.70 1 »	20 34 4.30	57.0	
377	362		20 25 38.4	2	3.3	12.0	47.1	47.00 1 »	20 25 47.05	57.0	
378	363		20 43 33.4	4	3.3	12.1	42.2	39.80 2 »	20 43 41.00	57.1	

Neue Nr.	Mayer's Catalog Nr.	α	δ 1756	B.	Red. Praec.		Decl. 1755 M. red.	neue Bearb.		angenommen δ 1755	Ep.	Bemerkungen
379	364	127°	+22° 19′ 40″.4	6	−3″.2	+12″.2	49″.4	48″.70	1 57.2	+22° 19′ 49″.28	56.5	
380	365		13 32 19.2	4	3.5	12.2	27.9			13 32 27.9	56.2	
381	366	128	19 2 2.0	9	3.3	12.3	11.0	10.95	2 57.2	19 2 10.99	56.6	
382	367		10 57 54.3	7	3.7	12.3	2.9	3.30	2 »	10 58 3.01	56.7	
383	368		29 38 1.8	2	3.1	12.3	11.0			29 38 11.0	56.2	
384	369		12 59 15.2	4	3.5	12.5	24.2	27.70	2 57.2	12 59 25.95	57.0	
385	370		13 25 42.4	2	3.5	12.6	51.6			13 25 51.6	56.3	
386	371	129	18 { 57 11.8 / 53 41.0 }	2	3.3	12.7				18 53 50.3	56.2	(erste ZD. +1ᵖ corr.)
388	373		16 14 20.5	6	3.3	12.7	29.9	28.35	2 57.2	16 14 29.38	56.7	
389	374	130	18 16 26 8	5	3.2	12.9	36.5	34.20	2 »	18 16 35.58	56.9	
390	375		20 52 22.9	2	3.2	12.9	32.6	32.00	1 »	20 52 32.30	57.0	
391	376		18 27 4.7	1	3.2	12.9	14.4			18 27 14.4	56.3	
392	377		15 18 57.3	1	3.3	12.9	6.9			15 19 6.9	56.2	
393	378		15 10 50.7±	1	3.3	13.0	0.4			15 11 0.4±	56.2	verfehlt
394	380		18 8 36.5	3	3.2	13.0	46.3			18 8 46.3	56.2	
395	381	131	15 5 57.8:	1	3.3	13.0	7.5			15 6 7.5:	56.2	verfehlt
396	382		12 32 30.8	3	3.4	13.1	40.5	41.90	2 57.2	12 32 41.43	57.1	
397	383		18 3 58.8	2	3.2	13.1	8.7			18 4 8.7	56.2	
398	384		16 14 32.1	8	3.3	13.1	41.9	40.65	2 57.2	16 14 41.59	56.6	
399	386		16 30 5.2	6	3.3	13.2	15.1	16.05	2 »	16 30 15.42	56.8	
400	387		12 47 11.8	10	3.4	13.2	21.6	21.50	2 »	12 47 21.58	56.6	
401	388		19 4 5.0	1	3.2	13.2	15.0			19 4 15.0	56.3	
402	389	132	14 0 27.6	2	3.4	13.3	37.5			14 0 37.5	56.2	
403	390		25 23 43.7	7	3.1	13.5	54.1			25 23 54.1	56.2	
404	391	133	11 48 14.7	2	3.5	13.6	24 8			11 48 24.8	56.2	
405	392	134	11 38 4.0	5	3.5	13.8	14.3			11 38 14.3	56.2	
406	393		23 1 0.4	5	3.1	13.9	11.2			23 1 11.2	56.2	
407	394		22 58 14.8	5	3.1	14.0	25.7			22 58 25.7	56.2	
408	395	135	12 32 39.7	1	3.4	14.0	50.3			12 32 50.3	56.2	
409	396		15 57 52.6	3	3.2	14.1	3.5			15 58 3.5	56.2	
410	397		15 56 19.0	6	3.2	14.3	30.1			15 56 30.1	56.2	
411	398	136	12 30 35.0	2	3.3	14.5	46.2			12 30 46.2	56.2	
412	399		27 22 51.0	1	2.9	14.5	2.0			27 16 0.6	56.2	(ZD. +2ᵖ corr.)
413	400	137	10 48 16.1	1	3.5	14.6	27.2			10 48 27.2	56.2	
414	401		20 6 33.7	1	3.1	14.6	45.2			20 6 45.2	56.3	
415	402		26 57 8.1	2	2.9	14.8	20.0			26 57 20.0	56.2	
416	403	138	27 13 2.3	6	2.9	14.8	14.2			27 13 14.2	56.2	
417	404		8 44 51.5	1	3.7	14.8	2.6			8 45 2.6	56.2	
418	405	139	+10 6 20.8	5	3.5	15.1	32.4	36.30	1 57.2	+10 6 33.18	56.5	
419	406		− 7 36 46.1	4	5.2	15.1	36.2	36.30	1 »	− 7 36 36.23	56.7	
420	407		+24 1 46.1	7	3.0	15.2	58.3	59.90	1 »	+24 1 58.53	56.5	
421	408	140	12 22 1.0	6	3.3	15.3	13.0			12 22 13.0	56.2	
422	409		10 46 43.2	5	3.5	15.3	55.0	52.50	1 57.2	10 46 54.50	56.6	
423	410		13 43 46.2	2	3.3	15.5	58.4			13 43 58.4	56.3	
425	412	141	7 55 2.7	8	3.7	15.6	14.6	14.10	1 57.2	7 55 14.54	56.5	
426	413	142	14 24 5.5	1	3.3	15.7	17.9			14 24 17.9	56.2	
427	414		10 59 24.1	10	3.4	15.8	36.5	36.10	2 57.2	10 59 36.42	56.5	
428	415	143	15 7 33.4	11	3.1	15.9	46.2	45.30	1 »	15 7 46.11	56.4	
429	416		24 53 5.3	8	2.9	16.0	18.4	19.20	1 »	24 53 18.50	56.5	
430	417		12 55 19.2	3	3.2	16.1	32.1			12 55 32.1	56.2	
431	418		21 43 3.1	1	2.9	16.1	16.3			21 43 29.5	56.3	(ZD. −1ᵖ corr.)
432	419	144	12 41 6.8	3	3.2	16.1	19 0			12 41 19.0	56.2	
434	421		12 58 18.7	2	3.2	16.3	31.7	24.40	1/4 57.2	12 58 31.7	56.5	Br. 24″.9 (3)
435	422		14 11 43.7	5	3.2	16.3	56.7			14 11 56.7	56.2	
436	423	145	9 12 53.6	1	3.4	16.5	6.1			9 13 6.1	56.3	
437	424	146	10 4 42.1	2	3.4	16.6	55 3			10 4 55.3	56.3	
438	425		13 35 50 0	11	3.2	16.7	3.5			13 36 3.5	56.3	
439	426		9 28 5.5	2	3.4	16.7	18.8	17.80	1 57.3	9 28 18.30	57.1	
440	427	147	9 12 14.5	12	3.5	16.8	27.8	26.90	2 »	9 12 27.65	57.1	
441	428	148	11 4 5.1	3	3.4	16.9	18.6	16.90	1 57.2	11 4 18.03	56.7	
442	429		12 { 47 55.5 / 51 20.4 }	2	3.2	17.0	9.3	12.00	1 57.3	12 48 10.65	57.1	(zweite ZD. +1ᵖ corr.)
443	430		9 9 54.0	2	3.5	17.0	8.4			9 10 8.4	56.2	
445	432		17 56 31.0	112	3.0	17.1	45 1	44.40	3 57.3	17 56 44.92	56.7	
446	433	149	11 10 59.6	7	3.4	17.1	13.3			11 11 13.3	56.3	
447	434		13 9 0.0	26	3.2	17.2	14.0	14.97	10 56.9			
448	435		10 46 46.0	1	3.4	17.2	59 8			10 46 59.8	56.2	
449	436	150	14 33 1.7	2	3.2	17.3	15 8			14 33 15.8	56.2	
450	437		22 22 23.4	4	2.8	17.4	38.0			22 22 38.0	56.2	
451	438		17 20 21.9	1	2.9	17.4	36.4			17 20 36.4	56.2	
452	439	151	18 56 42.1	3	2.9	17.5	59.7	56.70	1 57.2	18 56 56.70	56.8	

Neue Nr.	Mayer's Catalog Nr.	α	δ 1756	B.	Red. Prace.	Decl. 1755 M.red.	neue Bearb.		angenommen δ 1755	Ep.	Bemerkungen
453	440	151°	+14° 56′ 10″.2	3	−3″.0 +17″.5	24″.7			+14° 56′ 24″.7	56.2	
454	441		13 50 5.3	1	3.1 17.6	19.8			13 50 19.8	56.2	
455	442	152	20 41 58.7	10	2.9 17.6	13.4	11″.95	2 57.3	20 42 13.11	56.6	
456	443		21 3 59.8	10	2.8 17.7	14.7	13.65	2 57.3	21 4 14.49	56.7	
457	444		16 11 52.0	3	3.0 17.7	6.7	4.00	1 57.2	16 12 5.80	56.8	
458	445		10 11 12.4	4	3.3 17.8	27.1	26.80	1 »	10 11 27.02	56.7	
459	446	153	11 48 54.7	3	3.2 17.9	9.4	9.80	1 »	11 49 9.53	56.8	
460	447		10 1 0.3	4	3.3 17.9	14.9			10 1 14.9	56.2	
461	448	154	10 59 54.0	5	3.3 18.0	8.7	6.90	1 57.2	11 0 8.34	56.6	
462	449		15 34 52.8	1	3.0 18.0	7.8			15 35 7.8	56.3	
463	450		11 23 47.9	2	3.3 18.0	2.6			11 24 2.6	56.3	
464	451	155	15 22 54.4	5	3.0 18.2	9.6	8.60	1 57.3	15 23 9.46	56.6	
465	452		10 33 15.9	6	3.3 18.2	30.8	30.05	2 57.2	10 33 30.85	56.8	
466	453	156	8 12 10.5	4	3.5 18.3	25.3			8 12 25.3	56.3	
467	454		9 54 11.7	3	3.3 18.3	26.7			9 54 26.7	56.2	
468	455		18 33 24.8:	1	2.9 18.4	40.3			18 33 40.3:	56.2	
469	456		17 23 25.1	1	2.9 18.4	40.6			17 23 40.6	56.3	
470	457	157	10 6 22.4	2	3.3 18.4	37.5			10 6 37.5	56.3	
471	458	158	6 1 16.2	1	3.6 18.6	31.2			6 1 31.2	56.3	
472	459		8 47 31.8	1	3.4 18.6	47.0			8 47 47.0	56.3	
473	460		7 39 12.1	1	3.5 18.6	27.2			7 39 27.2	56.3	
474	461		15 28 32.0	1	3.0 18.7	47.7			15 28 47.7	56.3	
475	462	159	7 37 39.8	1	3.5 18.7	55.0			7 37 55.0	56.3	
476	463		11 49 49.5	1	3.2 18.7	5.0			11 50 5.0	56.3	
477	464	161	7 8 27.6	1	3.4 18.9	42.5			7 8 42.5	56.3	
478	465	162	4 55 21.2	1	3.6 19.1	36.7			4 55 36.7	56.3	
479	466		7 24 28.2	1	3.4 19.1	43.9			7 24 43.9	56.3	
480	467	163	4 56 56.0	1	3.6 19.2	11.6			4 57 11.6	56.3	
481	468		8 38 57.7	3	3.3 19.2	13.6			8 39 13.6	56.3	
483	469	165	21 27 38.3	1	2.7 19.4	55.2			21 27 55.2	56.3	
484	470		21 51 22.1	3	2.7 19.4	38.8			21 51 38.8	56.3	
485	471		16 45 34.1	3	2.9 19.4	50.6			16 45 50.6	56.3	
486	472	166	+14 38 4.7	3	3.0 19.4	21.1			14 38 21.1	56.3	
487	473		− 2 19 14.0	2	4.3 19.5	59.7			2 18 59.7	56.3	
488	474	167	+ 7 21 48.5	2	3.4 19.6	4.7	5.10	1 60.2	7 22 4.83	57.6	(3)
489	475	168	11 52 11.6	2	3.1 19.6	28.1	29.10	1 »	11 52 28.43	57.6	(3)
490	476		2 44 41.2	2	3.8 19.6	57.0			2 44 57.0	56.3	
491	477	169	4 20 27.4	1	3.6 19.7	43.5			4 20 43.5	56.3	
492	478		+ 4 11 52.3	3	3.6 19.7	8.4			+ 4 12 8.4	56.3	
494	479		− 1 39 33.5	3	4.2 19.7	18.0			− 1 39 18.0	56.3	
495	480	170	− 5 7 9.7	1	4.7 19.8	54.6			− 5 6 54.6	56.3	
496	481		− 6 28 57.3	2	4.8 19.8	42.3			− 6 28 42.3	56.3	
497	482	171	+ 0 31 17.3	2	4.0 19.8	33.1			+ 0 31 33.1	56.3	
498	483		9 29 [5.6]	2	3.2 19.8	17.2			9 29 17.2	56.3	
499	484	172	6 5 [46.6]	1	3.5 19.9	6.6			6 6 6.0:	56.3	
500	485	173	9 36 46.4	2	3.2 19.9	3.1			9 37 3.1	56.3	
501	486		7 53 43.2	2	3.4 19.9	59.7			7 53 59.7	56.3	
502	487	174	9 35 59.3	2	3.2 19.9	16.0			9 36 16.0	56.3	
503	488		15 56 6.1	4	2.9 20.0	23.2	19.70	1 56.5	15 56 22.32	56.4	
504	489		3 8 15.7	3	3.8 20.0	31.9	[29.30	1 56.4]	3 8 31.9	56.3	(Brdl. 39″.0)
505	490	176	9 48 0.2	2	3.2 20.0	17.0			9 48 17.0	56.3	
506	491		2 27 21.1	1	3.8 20.0	37.3			2 27 37.3	56.3	
508	493	177	1 53 12.7	1	3.9 20.0	28.8			1 53 28.8	56.3	
509	494		5 0 52.8	4	3.6 20.0	9.2	11.70	1 57.3	5 1 9.82	56.7	
510	495		+ 7 58 39.7	4	3.4 20.0	47.3	49.10	1 »	+ 7 58 47.75	56.7	
511	496		− 0 24 29.4	1	4.1 20.0	13.5			− 0 24 0.3	56.3	(Zl). − 1° corr.
513	498	178	+10 5 29.2	3	3.2 20.1	37.1	39.00	1 57.3	+10 5 37.73	56.7	
514	499	179	− 1 46 13.0	1	4.2 20.1	57.1			− 1 45 57.1	56.3	
515	500		+ 1 59 0.4	1	3.9 20.1	16.9			+ 1 59 16.6	56.3	
516	501		0 27 22.0	1	4.0 20.1	38.1			3 16 30.2	56.3	(Zl). − 3° corr.)
517	502		+ 7 9 50.3	2	3.4 20.1	7.0			+ 7 10 7.0	56.3	
518	503	180	− 4 21 58.0	1	4.5 20.1	42.4			− 4 21 42.4	56.3	
519	504	181	+ 0 34 17.3	1	4.0 20.1	33.4			+ 0 34 33.4	56.3	
520	505		0 41 27.6	3	4.0 20.1	43.7	47.20	1 57.3	0 41 44.87	56.7	
521	506	182	4 40 26.2	2	3.6 20.1	42.7	44.10	1 »	4 40 43.40	56.7	
522	507	183	+ 6 31 53.4	1	3.5 20.0	9.9			+ 6 40 9.9	56.3	
524	509		− 9 7 31.4	1	5.1 20.0	16.5			− 9 7 3.2	56.3	(Zl). − 1° corr.)
525	510	184	− 3 15 39.5	1	4.4 20.0	23.9			− 3 15 23.9	56.3	
526	511		+ 5 44 58.4	1	3.9 20.0	14.8			+ 5 45 14.8	56.3	
527	512		−12 2 12.6	1	5.3 20.0	57.9			−12 1 57.9	56.3	
528	513	185	− 2 42 34.1	1	4.4 20.0	18.5			− 2 42 18.5	56.3	
529	514		− 3 42 11.4	2	4.5 20.0	55.9			− 3 41 55.9	56.3	

Neue Nr.	Mayer's Catalog Nr.	α	δ 1756	B.	Red. Praec.		Decl. 1755 M. red.	neue Bearb.			angenommen δ 1755	Ep.	Bemerkungen
530	515	185°	− 8° 6′ 7″.7	3	−5″.0	+20″.0	52″.7	51″.90	I	57.3	− 8° 5′ 52″.43	56.7	
531	516		− 0 3 32.3	1	4.1	20.0	16.4				− 0 3 16.4	56.3	
532	517	186	− 4 28 59.9	3	4.6	20.0	44.5	41.20	II	57.3	− 4 28 43.40	56.7	
533	518	187	− 6 38 53.9	3	4.8	19.9	38.8	38.10	I	»	− 6 38 38.57	56.7	
534	519		− 4 45 13.8	1	4.5	19.9	58.4				− 4 44 58.4	56.3	
535	520		− 0 6 25.3	2	4.0	19.9	9.4				− 0 6 9.4	56.3	
536	521		− 0 6 30.6	2	4.0	19.9	14.7				− 0 6 14.7	56.3	
537	522	189	− 4 57 46.5	1	4.5	19.8	31.2				− 4 57 31.2	56.3	
539	524	190	− 9 0 13.1	1	5.0	19.8	58.3				− 8 59 58.3	56.3	
540	525		− 2 13 16.1	1	4.2	19.7	0.6				− 2 13 0.6	56.3	
541	526		− 8 12 28.5	1	4.9	19.7	13.7				− 8 12 13.7	56.3	
542	527	191	+ 4 43 40.4	1	3.5	19.7	56.6				+ 4 43 56.6	56.3	
543	528	192	− 2 29 23.7	1	4.2	19.6	8.3				− 2 29 8.3	56.3	
544	529	193	+12 16 35.2	2	2.9	19.6	51.9				+12 16 51.9	56.3	
545	530		− 2 20 33.5	1	4.2	19.6	18.1				− 2 20 18.1	56.3	
546	531	194	− 9 25 44.5	2	5.0	19.5	30.0				− 9 25 30.0	56.3	
547	532		− 4 13 46.3	1	4.5	19.4	31.4				− 4 13 31.4	56.3	
548	533	195	−14 52 24.9	2	5.5	19.4	11.0				−14 52 11.0	56.3	
549	534	196	+ 2 45 34.0	1	3.8	19.3	49.5				+ 2 45 49.5	56.3	
551	535		−16 56 48.5	6	5.6	19.2	34.9	33.60	2	57.3	−16 56 34.47	56.9	
552	536		−21 52 33.2	1	5.3	19.2	19.3				−21 52 19.3	56.4	
553	537	197	−11 17 33.1	1	5.3	19.2	19.2				−11 17 19.2	56.4	
554	538		−16 26 53.7	6	5.6	19.1	40.2	38.60	2	57.3	−16 26 39.67	56.9	
555	539	198	− 9 52 45.2	10	5.2	19.1	31.3	29.45	7	57.7			
556	540		−11 25 45.5	4	5.3	19.0	31.8				−11 25 31.8	56.4	
557	541	199	−14 41 55.0	4	5.5	19.0	41.5				−14 41 41.5	56.4	
558	542		− 0 5 21.1	1	4.1	19.0	6.2				− 0 5 6.2	56.3	
559	543		− 5 12 4.7	3	4.7	18.9	50.5				− 5 11 50.5	56.4	
560	544	200	− 4 59 11.8	4	4.6	18.9	57.5				− 4 58 57.5	56.4	
561	545		− 8 53 52.7	4	5.1	18.9	38.9				− 8 53 38.9	56.4	
562	546	201	+ 0 39 38.5	5	4.0	18.8	53.3	55.00	1	56.4	+ 0 39 53.64	56.4	
563	547		− 4 8 35.1	4	4.6	18.8	20.9				− 4 8 20.9	56.4	
564	548	202	− 7 27 40.8	4	4.9	18.6	27.1				− 7 27 27.1	56.4	
565	549	203	− 4 15 32.9	1	4.6	18.5	19.0				− 4 15 19.0	56.3	
566	550		−12 58 36.5	1	5.4	18.5	23.5				−12 58 23.5	56.4	
567	551		−11 11 35.5	4	5.2	18.4	22.3				−11 11 22.3	56.3	
568	552	204	−16 37 34.2	2	5.6	18.4	21.4				−16 37 21.4	56.4	
569	553		−16 54 24.7	2	5.6	18.3	12.2				−16 54 12.2	56.4	
570	554		+50 32 20.7	14		18.3		38.48	7	56.6			
571	555	206	− 0 17 29.2	6	4.1	18.1	15.2	15.25	2	56.4	− 0 17 15.21	56.4	
572	556	207	− 6 57 44.9	1	4.8	17.9	31.8				− 6 57 31.8	56.3	
573	557	208	− 8 4 26.2	1	5.0	17.7	13.5				− 8 4 13.5	56.3	
574	558		−35 9 27.4	3		17.7		39.90	1	56.4		56.4	
575	559		− 7 42 53.1	1	4.9	17.7	40.3				− 7 42 40.3	56.3	
576	560		− 8 8 13.2	2	5.0	17.6	0.6				− 8 8 0.6	56.3	
577	561		−15 0 35.1	2	5.5	17.6	23.0				−15 0 36.2	56.4	(Zl. +1° corr.)
578	562	209	−15 8 9.6	6	5.5	17.5	57.6	58.15	2	56.4	−15 7 57.78	56.4	
579	563	210	− 9 7 29.4	6	5.1	17.4	17.1	16.70	2	»	− 9 7 16.97	56.4	
580	564		− 4 48 1.0	3	4.7	17.3	48.4	48.45	2	»	− 4 47 48.43	56.4	
581	565	211	− 4 49 24.1	6	4.7	17.2	11.6	13.05	2	»	− 4 49 12.08	56.4	
582	566		+20 27 47.2	29	2.9	17.2	1.5	0.94	18	56.78			
583	567		−12 14 0.8	6	5.4	17.1	49.1	46.60	2	56.4	−12 13 48.27	56.4	
584	568	212	− 5 36 29.7	2	4.8	17.1	17.4				− 5 36 17.4	56.4	
586	570	213	−10 35 6.5	4	5.3	16.9	54.9	53.80	2	56.4	−10 34 54.35	56.4	
587	571		−10 32 51.8	4	5.3	16.8	40.3	37.80	2	»	−10 32 39.05	56.4	
588	572		−12 14 4.2	4	5.4	16.8	52.8	53.75	2	»	−12 13 53.28	56.4	
589	573	214	−12 14 52.8	4	5.4	16.7	41.5	40.25	2	»	−12 14 40.88	56.4	
590	574		− 8 53 40.9	4	5.1	16.7	29.3	30.85	2	»	− 8 53 30.07	56.4	
591	575	215	−19 21 9.9	4	5.6	16.4	59.1	58.95	2	»	−19 20 59.02	56.4	
592	576	216	−11 15 11.0	5	5.3	16.2	0.1	0.13	3	»	−11 15 0.12	56.4	
593	577		− 9 29 5.9	5	5.3	16.1	55.1	54.23	3	»	− 9 28 54.58	56.4	
594	578	217	−11 10 31.8	6	5.3	16.0	21.1	21.30	4	56.7	−11 10 21.23	56.4	
595	579	218	− 4 34 53.9	6	4.8	15.9	42.8	44.46	5	57.4			
596	580		−20 7 23.3	1	5.7	15.8	13.2				−20 7 13.2	56.4	
597	581		−20 16 57.0	1	5.7	15.7	47.0				−20 16 47.0	56.4	
598	582	219	−13 6 54.5	6	5.6	15.6	44.5	45.70	5	57.4			
599	583		−14 57 54.5	4	5.7	15.5	44.7	45.15	2	56.4	−14 57 44.93	56.4	
600	584		−15 0 38.5	6	5.7	15.5	28.7	29.04	5	56.6			
601	585	220	−10 53 8.0	6	5.4	15.3	58.1	57.28	4	56.7	−10 52 57.55	56.6	
602	586	221	−10 24 27.3	6	5.4	15.2	17.5	17.40	4	»	−10 24 17.43	56.6	
603	587		−10 9 28.4	3	5.4	15.1	18.7	20.00	2	56.4	−10 9 19.57	56.4	
604	588		−10 8 44.1	4	5.4	15.0	34.5	33.80	3	»	−10 8 34.02	56.4	

Neue Nr.	Mayer's Catalog Nr.	α	δ 1756	B.	Red. Praec.	Decl. 1755 M. red.	neue Bearb.		angenommen δ 1755	Ep.	Bemerkungen
605	589	222°	− 7° 32′ 0″.6	5	−5″.1 +14″.9	50″.8	50″.97	3 56.4	− 7° 31′ 50″.90	56.4	
606	590		−24 18 12.0	3	5.2 14.8	2.4	4.50	1 »	−24 18 3.10	56.4	
607	591	223	−15 17 30.2	3	5.7 14.6	21.3	23.70	2 58.4	−15 17 22.50	57.9	(4)
608	592		−15 31 14.8	2	5.7 14.6	5.9	5.70	1 56.4	−15 31 5.80	56.4	
609	593	225	−18 50 54.3	3	5.8 14.3	45.8	48.30	1 »	−18 50 46.63	56.4	
610	594		−18 42 34.8	2	5.9 14.2	26.5	28.70	1 »	−18 42 27.60	56.4	
611	595	226	−21 28 33.1	1	5.7 14.0	24.8			−21 28 24.8	56.4	
612	596		− 8 27 51.6	5	5.3 13.9	43.0	41.82	6 58.4			
613	597	227	− 8 14 10.6	1	5.3 13.8	2.1			− 8 14 2.1	56.4	
615	599		−14 38 56.4	4	5.8 13.7	48.5	47.85	2 56.4	−14 38 48.17	56.4	
616	600	228	−11 28 45.2	2	5.5 13.5	37.2	37.60	1/4 »	−11 28 37.20	56.4	
617	601		− 9 25 33.4	4	5.4 13.5	25.3	25.05	4 58.4	− 9 25 25.17	57.4	(6)
618	602	229	−15 50 44.2	4	5.9 13.3	36.8	37.15	2 56.4	−15 50 36.97	56.4	
620	604		−15 45 6.0	4	5.9 13.1	58.8	58.25	2 »	−15 44 58.52	56.4	
621	605		−19 18 36.1	1	5.8 13.1	28.8			−19 18 28.8	56.4	
622	606	230	−18 49 5.4	1	5.9 13.0	58.3			−18 48 58.3	56.4	
623	607		−16 0 18.2	4	5.9 13.0	11.1	11.55	2 56.4	−16 0 11.33	56.4	
624	608		−27 12 8.0	3	4.9 12.9	0.0	1.05	2 »	−27 12 0.70	56.4	
625	609		−13 57 19.0	3	5.8 12.8	12.0	13.51	4 58.4	−13 57 13.21	58.0	(5)
626	610	231	−27 18 14.5	4	5.0 12.7	6.8	7.80	2 56.4	−27 18 7.13	56.4	
627	611		−25 26 56.1	1	5.3 12.7	48.7			−25 26 48.7	56.4	
629	613		−18 28 34.5	1	6.0 12.6	27.9			−18 28 27.9	56.4	
631	615		−23 0 9.2	2	5.6 12.5	2.3	3.50	1 56.5	−23 0 2.90	56.4	
632	616	232	−18 51 58.8	4	6.0 12.4	52.4	52.25	2 56.4	−18 51 52.32	56.4	
633	617		−15 12 33.4	1	5.9 12.3	27.0			−15 12 27.0	56.4	
634	618	233	−14 52 26.7	4	5.9 12.2	20.4	20.90	3 57.8	−14 52 20.65	57.1	(5)
635	619		+ 7 12 40.7	4	3.8 12.1	49.0	47.15	2 56.4	+ 7 12 48.07	56.4	
636	620	234	−24 59 10.5	4	5.3 11.8	4.0	4.70	2 »	−24 59 4.35	56.4	
637	621	235	−24 34 29.1	4	5.4 11.6	22.9	22.25	2 »	−24 34 22.57	56.4	
638	622		−19 24 53.1	4	5.9 11.6	47.4	48.95	2 »	−19 24 48.18	56.4	
639	623		−15 59 27.0	4	6.0 11.5	21.5	21.88	5 58.0			
640	624		−24 29 47.6	1	5.4 11.5	41.5			−24 29 41.5	56.4	
641	625		−18 38 22.2	1	6.0 11.4	16.8			−18 38 16.8	56.4	
642	626		−28 28 37.4	5	4.8 11.4	30.8	31.40	3 56.5	−28 28 31.16	56.4	
643	627	236	−25 23 14.8	5	5.4 11.2	9.0	9.53	3 »	−25 23 9.32	56.4	
644	628		−13 33 13.1	4	5.9 11.2	7.8	9.75	2 56.4	−13 33 8.77	56.4	
645	629		−21 54 12.9	5	5.9 11.1	7.7	7.06	5 58.0			
647	631	238	−10 40 42.0	5	5.7 10.7	37.0	38.53	3 56.5	−10 40 37.92	56.5	
648	632		−19 6 52.1	5	6.0 10.7	47.4	46.68	5 58.0			
649	633		−19 6 39.6	5	6.0 10.7	34.9	34.97	3 56.5	−19 6 34.94	56.4	
650	634		−19 59 4.0	2	6.0 10.6	59.4	1.00	1 56.4	−19 59 0.20	56.4	
651	635		−20 11 8.2	3	6.0 10.6	3.6	4.90	1 »	−20 11 4.03	56.4	
652	636	239	−27 45 24.9	5	5.0 10.2	19.7	20.20	3 56.5	−27 45 20.00	56.4	
653	637		−27 16 3.3	4	5.0 10.2	58.1	1.35	2 »	−27 15 59.73	56.4	
654	638		−18 47 32.1	4	6.1 10.2	27.9	29.00	3 »	−18 47 28.73	56.4	
655	639		−18 48 11.9	5	6.1 10.2	7.7	8.53	3 »	−18 48 8.20	56.4	
657	641	241	−27 58 51.2	5	5.0 9.8	46.4	48.47	3 »	−27 58 47.64	56.4	
659	643	242	−24 58 55.1	6	5.4 9.5	51.0	52.82	5 57.3			
661	645		−19 26 30.9	7	6.0 9.3	27.6	28.96	5 56.5			
662	646	243	−22 51 35.7	6	5.8 9.2	32.3	31.72	4 56.5	−22 51 31.91	56.4	
663	647		−17 52 44.6	6	6.1 9.0	41.7	40.30	5 »			
664	648	244	−25 51 54.8	9	5.3 8.9	51.2	51.50	8 56.7			
666	650		−16 3 23.7	5	6.0 8.7	21.0	21.60	4 56.5	−16 3 21.48	56.5	
667	651		−20 55 8.6	5	6.0 8.7	5.9	6.40	4 »	−20 55 6.30	56.5	
668	652	245	−27 40 58.3	6	5.0 8.4	54.9	56.90	5 »			

Die angenommenen Oerter sind für die Sterne, von welchen alle Beobachtungen der ZD. verloren sind, die auf Aeq. 1755 übertragenen Oerter des Mayer'schen Catalogs mit Hinzufügung der systematischen Reduction $\Delta\delta_\delta + \Delta\delta_\alpha$. Die zugehörige Epoche ergibt sich, nur ausnahmsweise nicht völlig sicher, aus dem Durchgangsjournal. Bei denjenigen Sternen, für welche die Beobachtungen zum Theil in der neuen Bearbeitung vorkommen, war zu berücksichtigen, dass diese die wahrscheinlichsten Resultate dieses Theils der Beobachtungen in grösserer Annäherung wiedergibt als von der Mayer'schen Reduction, in welcher dieselben Beobachtungen mit anderen zusammen eingeschlossen sind, vorausgesetzt werden kann; in diesen Fällen sind Mittel gebildet, indem dem Resultat der neuen Reduction das Gewicht n, der reducirten Angabe des Mayer'schen Catalogs das Gewicht

$m-n$ beigelegt wurde, wenn m die Anzahl der von Mayer benutzten und n die Anzahl der davon erhaltenen und in der neuen Reduction benutzten Beobachtungen war. Wenn jedoch für die neue Bearbeitung 5 oder mehr Beobachtungen benutzt waren, ist deren Resultat allein für den Catalog beibehalten.

Die Identificirung der Mayer'schen Sterne und die Richtigstellung der Beobachtungen.

Es darf nicht Wunder nehmen und der Anerkennung der Sorgfalt des Urhebers keinen Eintrag thun, wenn sich auch in T. Mayer's Catalog eine nicht ganz unbeträchtliche Zahl von Positionen findet, welchen Sterne am Himmel nicht oder nicht genau entsprechen. Insofern die Abweichungen nur von Versehen bei der Reduction herrühren, in einzelnen Fällen wahrscheinlich nur in Druckfehlern des Catalogs bestehen, werden sie durch die mit besseren und vor allem so viel bequemeren Hülfsmitteln ausgeführte neue Reduction der Originalbeobachtungen, soweit diese erhalten sind, ohne weiteres beseitigt. Die Mehrzahl ist aber in Versehen in den Beobachtungen selbst begründet, welche durch mehr oder minder naheliegende Conjecturen richtig zu stellen und auf bekannte Sterne zu beziehen sind.

Die meisten gröberen Versehen hat bereits Baily bemerkt, und fast in allen Fällen, wo der beobachtete Stern mit einem Bradley'schen zu identificiren war, sowie auch noch in einigen anderen, die unzweifelhaft richtige Verbesserung anzugeben vermocht. Er hat für 15 Rectascensionen und 22 Declinationen — abgesehen von zwei sofort von Lichtenberg angezeigten Zeichenfehlern — veränderte und mit einer oder der anderen Ausnahme richtig hergestellte Werthe in seine Ausgabe des Mayer'schen Catalogs eingesetzt, für weitere 9 Rectascensionen und 10 Declinationen die ersichtlich fehlerhaften Werthe zwar stehen lassen, aber die wahrscheinliche Correctur dafür angegeben. Schliesslich behielt er 11 Catalogsterne übrig, welche er nicht mit bekannten Objecten zu identificiren vermochte, von denen jedoch in 6 Fällen auch keine Beobachtung in der vorhandenen Sammlung nachzuweisen war.

Mit Hülfe der Bonner Durchmusterung und der zahlreichen neuen Sterncataloge ist die Untersuchung der von Baily noch nicht erledigten Fälle gegenwärtig sehr viel leichter und sicherer, und fast überall erschöpfend auszuführen.

Bei den Sternen, zu welchen Baily Bemerkungen macht, liegen blosse Irrthümer der Reduction, oder Druckfehler im Mayer'schen Catalog, vor bei folgenden Nummern des alten Catalogs: 9, 11, 78, 92, 207, 224, 322, 328, 338, 428, 667, 704, 733, 782, 838, 839, 883, 892, 922, 929, 937, 944, 966, 970, 982, 983. Die richtigen Verbesserungen für die Beobachtungen sind von Baily angegeben für die alten Nrn. 41 (beob. Faden 5), 117, 195, 197, 261, 292, 329, 371, 395, 429, 499, 501*, 508, 625, 653, 676, 681, 759, 772 (nicht Red.-Fehler), 783, 784, 788-9, 830, 831, 842, 854. Diese und einige weitere Verbesserungen, welche bei der Zusammenstellung der einzelnen Beobachtungen erforderlich erschienen, sind an betr. Stelle einzeln angeführt und wenn nöthig noch erläutert. Die wahrscheinlichen und zum Theil in den Catalog bereits aufgenommenen Verbesserungen von noch weiteren Fehlern, meist von 1^s oder 1^v, die erst bei der Ableitung der Eigenbewegungen zum Vorschein kamen, sind im Zusammenhang mit dieser einzeln erörtert.

Die folgenden 10 Nrn. des alten Mayer'schen Catalogs sind zu löschen:

146, 153, 165, 231, 357, 379, 385, 784, 788, 964.

* Im Text der Note steht nur versehentlich »the reading of the 96 quadrant was recorded too small« statt »too great«.

Von den drei ersten und dem fünften dieser Sterne finden sich keine Beobachtungen vor, während der Catalog die Angaben für 1756.0 enthält

146	..	62° 21′ 30″:::	+16° 0′ —
153	7^m	63 12 50 :::	+16 0 —
165	8	65 15 0 :::	+16 0 —
357	..	126 30 —	+21 15 13″.1 1 B.

Zunächst an diesen Stellen finden sich die Sterne

BD.	16°.586	$6^m.0$	63 Tauri Br. f.	1756.0	62° 21′ 45″ +16° 11′
	16 .602	7.2	W. 4^h.398	»	63 13 8 +16 27
	16 .624	7.3	Lal. 8610	»	65 14 39 +16 28
	16 .625	7.0	» 8613	»	65 15 16 +16 40
	20 .2158	7.0	» 17035–7	»	126 30 31 +20 51 0″
	20 .2159	7.3	» 17040–2	»	126 31 51 +20 48 50

Hiernach geben die ersten drei Oerter wahrscheinlich unsichere, und mit einem gemeinschaftlichen Fehler von -1^s behaftete Durchgangsbeobachtungen von 16°.586, 602 und 625 wieder, bei welchen nur der ganze Theil der 96-Theilung =17 notirt ist. Der vierte Ort gehört gewiss einem der beiden nahen BD.-Sterne an, die allein als beobachtet angegebene Declination ist aber mit einem der Berichtigung sich entziehenden Fehler behaftet. Eine Correctur der Ablesung von $+7^p$ würde $\delta = +20°50'36''.0$ geben, also noch einen Unterschied von 24″ mit dem hellern der beiden Lalande-schen Sterne übrig lassen.

Nr. 231 ist derselbe Stern wie Nr. 230, und nur die Ablesung der 96-Theilung 1757 Jan. 3 35 15 10.2 zu berichtigen 33 15 10.2.

Für Nr. 379 gibt Mayer's Catalog

9^m 130°20′24″.7: 1 B. +9° 9′38″.1: 1 B.

Die neue Reduction der 1756 März 25 vorkommenden Durchgangszeit $9^h 14^m 7^s.0$::, welche auf diese Catalogangabe bezogen werden muss, gibt α 1756.0 = 130°20′16″.6, die ZD. ist nicht erhalten. In der Nähe steht P. 8^h.200-201, auf welchen man die Mayer'sche Angabe beziehen kann, wenn man die $\mathcal{R}$ um 1 Fadenintervall (-30^s) corrigirt und in der Declination einen Druckfehler oder Reductionsfehler annimmt, so dass +9°19′38″.1 zu lesen wäre. Dass Mayer die Helligkeit 8-9 — nicht 9 wie im Catalog steht — geschätzt hat, stimmt zu der Angabe der BD. für die vereinigte Helligkeit der beiden Sterne $= 7^m.7$, da Mayer's Schätzungen für die teleskopischen Sterne durchweg viel niedriger, für $7^m.5$ BD. $0^m.5$ bis 1^m schwächer sind; auffallend würde es aber bei dieser Identificirung bleiben, dass die Duplicität des weiten Paars nicht bemerkt wäre. Die Berichtigung erscheint daher nicht ganz sicher, und da zudem beide Coordinaten als unsicher beobachtet bezeichnet sind, wird die Nr. besser ganz gelöscht.

Die im Catalog unter Nr. 385 aufgeführte Declination, mit beiläufiger Rectascensionsangabe, ist offenbar aus einer 2^D falschen ZD.-Ablesung für den folgenden Catalogstern o^2 Cancri entstanden.

Nr. 784 ist, wie schon Mayer vermuthet, mit Nr. 782 identisch, indem die Beobachtung 1756 Aug. 16, welche zur Aufnahme der zweiten Nr. Anlass gegeben hat, nicht wie Mayer angenommen hat an F. 3, sondern an F. 5 gemacht ist.

Nr. 788 und 789 bezeichnet ebenfalls bereits Mayer als anscheinend identisch; in der That ist die als Nr. 788 reducirte Beobachtung 1756 Sept. 9 nur eine ungenaue, in $\mathcal{R}$ wahrscheinlich -1^s zu corrigirende Beobachtung des am 11. Sept. wieder vorkommenden und unter Nr. 789 reducirten Sterns.

Unter Nr. 964 steht die bekannte Uranus-Beobachtung.

Von den 998 Sternen des eigenen Mayer'schen Catalogs bleiben also für den neuen Catalog 988. Dazu kommen aus dem von Baily zusammengestellten Supplement von 45 Sternen noch 39. Bei den meisten Objecten dieses Supplements macht die Identificirung keine Schwierigkeit und ist für den grössern Theil bereits Baily gelungen. In mehreren Fällen hat er die beiläufigen Coordinaten allerdings falsch abgeleitet, und in anderen sind noch Fehler in den Beobachtungen selbst zu verbessern.

Die ersteren hier noch zu besprechen ist überflüssig, da der Catalog, bez. die Catalogvergleichung, über die endgültige Identificirung alle erforderliche Auskunft gibt. Zu den anderen ist folgendes zu bemerken.

Für Suppl. Nr. 7 ist die 1757 Jan. 26 nur genähert angegebene ZD. $43^D 12^p$ zu lesen $44^D 12^p$, der beobachtete Stern ist ξ^2 Ceti = Nr. 82 des alten Catalogs.

Suppl. Nr. 23 sucht Baily an einer ganz falschen Stelle, in α 156°, $\delta - 9°51'$. Die Fadenintervalle bei der Beobachtung 1759 Mai 2 weisen auf eine Declination von etwa 23° hin, die angegebene ZD. $65^D 7^p$ ist eine versehentliche Wiederholung des in der vorhergehenden Zeile stehenden Eintrags für die Beobachtung von α Virginis Mai 1. Der Stern ist 44 Hydrae = Br. 1471 ($10^h 22^m 23^s.12$ — 22°29′25″.0 für 1755), die allein beobachtete Rectascension kann aber nicht genau reducirt werden, weil weiter kein Stern an dem Tage beobachtet ist, und der Stern ist deshalb nicht in den Catalog aufzunehmen. Mit einem aus α Virginis Mai 1 und Mai 6 interpolirten Δu würde man α 1755.0 $= 10^h 22^m 22^s.90$ erhalten.

Für Suppl. Nr. 26 findet sich 1759 Mai 1 der Eintrag

$13^h 3^m 20^s.5$ 7^m Aqu. ♍ trans. $66^D 0^p$

Dazu passt kein vorhandener Stern, man wird aber annehmen dürfen, dass die Angabe $66^D 0^p$ für die ZD. in Wirklichkeit nur den nächsten ganzen Theil 66 der 96-Theilung bezeichnen will und der Beisatz 0 für das Sechzehntel ohne Bedeutung ist. Danach habe ich zunächst geglaubt die Beobachtung auf den Stern $6^m.8$ −10°.3644 beziehen zu sollen, welcher in ZD. $65^D 13^p$ culminirte. In dieser Voraussetzung ergibt sich aber folgende Zusammenstellung der auf Aeq. 1885 reducirten Oerter:

Mayer	1759.3	$13^h 11^m 18^s.93$	1		−11°		Red. AGC.	$0^s.00$	—
Lal. (H.C.)	1798.3	19.68	1	1798.3	−10 52′ 35″.9	1		+0.15	−3″.1
B.Z. 238	1824.3	20.13	1	1824.3	33.8	1		+0.02	+0.3
Sant. II −10°.291	1845.4	19.65	2	1845.4	38.4	2		+0.06	+0.9
» III. 1531	1857.5:	19.42	2	1857.5:	34.3	2		+0.06	−0.5
Quet. 5403	1865.9	19.45	2	1870.6	37.1	3		+0.06	−0.5
Cord. C.G. 18085	1876.5	19.43	4	1876.5	37.8	4		−0.03	−0.8
Gotha 178	1885.0	19.37	4	1885.5	37.0	4		0.00	0.0
Berlin	1893.3	19.30	2	1893.3	37.1	2		0.00	0.0

Die Beobachtungen der letzten 95 Jahre lassen keinen Zweifel, dass die A abnimmt, für Mayer's Beobachtung würde ein Fehler von $-1^s.5$ übrig bleiben, der nicht annehmbar ist. Vielmehr bedarf die angegebene Durchgangszeit einer Correctur von $+3^m$ und der beobachtete Stern ist 62 Virginis, welcher dem Bradley'schen Ort entsprechend beobachtet werden musste

$13^h 6^m 20^s.3$ $65^D 10^p$

Der erst räthselhafte Vermerk »Aqu. ♍« findet damit die einfache Erklärung, dass der Herausgeber eine undeutliche 62 als Aqu gelesen hat.

Für Suppl. Nr. 43 ist die Durchgangszeit (1760 Juli 31) 1^h grösser zu lesen, der Stern ist ψ^1 Aquarii (alte Nr. 956).

Von Suppl. Nr. 44 ist gar keine Beobachtung vorhanden; die von Baily angezogene Stelle des Journals (1756 Sept. 25) besagt nur, dass zugleich mit Nr. 998 (des alten Cat.) ein zweiter Stern im Felde bemerkt wurde (BD. −3°.5, von gleicher Helligkeit mit Nr. 998 und vor diesem $1^m.2$ 20′ südl. vorgehend).

Suppl. Nr. 45 ist zu löschen. Das 1760 Juli 31 nahe am Mond ohne nähere Bezeichnung, aber sonst genau beobachtete Gestirn ist Saturn gewesen.

Einige Zweifel lässt die Identificirung der sechs Sterne des Supplements Nr. 10—13, 18 und 19 übrig, welche sämmtlich ohne Declinationsangabe und mit Ausnahme von Nr. 18 ohne nähere Bezeichnung im Anfang des Durchgangsjournals vorkommen. Die Beobachtung von Nr. 13 1756 Febr. 27 erfordert jedoch augenscheinlich die Verbesserung -1^m und bezieht sich wie die am Tage vorher an entsprechender Stelle der Zone vorkommende auf Nr. 11, dessen Identificirung ebenso wie diejenige von

Nr. 12 durch die gute Uebereinstimmung der *AR* mit den späteren Catalogen gesichert erscheint. Nr. 10 ist als identisch mit 11°.646 in den Catalog aufgenommen, indess bleibt in dieser Voraussetzung ein Fehler von $-1^s.1$ für die Mayer'sche Rectascension übrig. Nr. 18 ist der bei 2 Beobachtungen, 1756 Febr. 8 und 9, als *h* Orionis bezeichnete Stern, die Bezeichnung aber falsch und wahrscheinlich durch »*β* Eridani« zu ersetzen. Damit kommt der Stern aber ziemlich weit ausserhalb der am ersten Tage beobachteten Zone zu liegen und die erste Beobachtung kann nicht sicher reducirt werden, weil die Aufstellung des Quadranten für diesen Tag unbestimmt bleibt, und am zweiten Tage bleibt es zweifelhaft, ob der in der Beobachtung enthaltene Fehler durch eine Correctur von -1^m oder durch Annahme von F. 5 statt F. 3 zu verbessern ist. Der Stern hat daher eigentlich gar kein Recht im Catalog zu stehen, und ebenso ist die 1756 Febr. 8 vorkommende Beobachtung von Nr. 19, welche als eine solche von *ϱ* Orionis reducirt ist, im Grunde werthlos.

Zufolge der vorgenommenen Berichtigungen und Auswahl bringt also das Supplement 39 neue Nummern zu den verbliebenen 988 des alten Catalogs hinzu. Der grössere Theil des Zuwachses besteht aus weit von der Ekliptik entfernten, grösstentheils zu besonderen Zwecken, in einigen Fällen offenbar nur zufällig, von Mayer neben seinem Catalogprogramm beobachteten Sternen. Da aber Mayer selbst schon in seinen Catalog trotz der Bezeichnung desselben als eines Zodiacalcatalogs eine nicht unbeträchtliche Anzahl weit von der Ekliptik abstehender Sterne aufgenommen hat und seine Bestimmungen dieser Sterne, wenn auch im allgemeinen minder sicher als die der in den Zonen vorkommenden Sterne, doch in den meisten Fällen nicht ohne Werth sind, schien mir kein genügender Grund vorhanden die beobachteten Sterne nicht, mit Ausnahme der wenigen nicht reducirbaren, vollzählig aufzunehmen.

Der neue Catalog enthält demnach 1027 Nummern. In Anbetracht des Ausfalls von 10 der alten Nummern, der Einschaltung einer grösseren Zahl anderer Sterne und der an mehreren Stellen eintretenden Veränderung der Nummernfolge durch Berichtigung von Irrthümern in den Mayer'schen Rectascensionen habe ich es vorgezogen die bisher für die Mayer'schen Sterne angewandten Nummern ganz zu beseitigen und durch neue nach der Rectascension fortlaufende Nummern zu ersetzen. Bei der Herausgabe des neuen Bradley-Catalogs bin ich nicht zweifelhaft gewesen mich in entgegengesetztem Sinne zu entscheiden, im vorliegenden Fall ist aber die Bestandänderung eine verhältnissmässig viel beträchtlichere, die alten Mayer-Nummern haben in der astronomischen Litteratur nicht entfernt die Bedeutung wie die nach der Folge des Catalogs der Fundamenta gezählten Nummern der Bradley'schen Sterne, und da sie nicht von T. Mayer selbst herrühren, stehen auch keine Pietätsrücksichten einer Abschaffung derselben entgegen. Um den Anschluss an die frühere Litteratur zu erhalten, genügte es in einer der Nachweiscolumnen des Catalogs die alten Mayer-Nummern aufzuführen, womit der Vollständigkeit halber auch eine Vergleichung der alten Oerter verbunden ist.

Die Eigenbewegungen der Mayer'schen Sterne.

Beinahe zwei Drittel der Mayer'schen Sterne kommen bei Bradley vor und ihre Eigenbewegungen sind aus Anlass der neuen Bearbeitung der Bradley'schen Beobachtungen bestimmt. Obwohl im allgemeinen recht zuverlässig, würden die damals erlangten Bestimmungen durch Zuziehung des neuen Mayer'schen Catalogs immerhin, zumal für die Declinationen, noch etwas verbessert und stärker versichert werden können; indess würde es geboten sein, wenn man die Eigenbewegungen des Bradley-Catalogs zu verbessern unternimmt, zwischen 1755 und der Gegenwart noch einige Zwischenepochen einzuschalten, und diese lassen sich nicht füglich vor Ausführung verschiedener sehr um-

fangreicher Vorarbeiten, u. a. der immer noch erst zu erhoffenden Neubearbeitung des Piazzi'schen Catalogs feststellen.

Von den Bradley'schen Sternen sind daher nur die unvollständig oder zweifelhaft beobachteten Mayer'schen Sterne in die auf Grund der Neubearbeitung des Mayer'schen Catalogs ausgeführte Untersuchung über die Eigenbewegung mit einbezogen worden, im ganzen 45 Sterne. Im übrigen bezieht sich diese Untersuchung auf alle nicht bei Bradley vorkommenden Sterne, deren Anzahl 345 beträgt.

Zum Zweck der Bestimmung der Eigenbewegungen der nicht bei Bradley vorkommenden Sterne ist die im Eingang bereits erwähnte Beobachtungsreihe auf der Gothaer Sternwarte ausgeführt, welche diese Sterne mit wenigen, durch ursprünglich falsche Identificirungen verursachten Ausnahmen vollzählig enthält. Die durch diese Beobachtungsreihe gewonnenen Oerter besitzen eine hohe Genauigkeit, und nur in wenigen Fällen erschien die Zuziehung anderer möglichst neuer Beobachtungen noch wünschenswerth.

Der Abstand zwischen den Epochen der Mayer'schen und der Gothaer Beobachtungen beträgt durchschnittlich 129 Jahr, die in allen Fällen, wo der Mayer'sche Ort auf eine genügende Anzahl zweifelsfreier Beobachtungen gegründet war, allein aus dem Unterschied Gotha—M. bestimmten jährlichen Eigenbewegungen können daher als ziemlich genau bestimmt angesehen werden. Zur Sicherung gegen Versehen in den alten Oertern sind aber durchweg noch mehrere Zwischenepochen eingeschaltet, und überall wo die Begründung des Mayer'schen Orts von vornherein nicht sicher genug erschien, oder die Vergleichung der Zwischenepochen selbst Zweifel an der Richtigkeit desselben erzeugte, zur Bestimmung der Eigenbewegung zugezogen.

Die erste dieser Zwischenepochen zwischen 1756 und 1885 haben, für 1800, der Piazzi'sche Catalog und das Zach'sche Zodiacalsternverzeichniss geliefert. Für die wenigen nicht bei Piazzi vorkommenden Sterne sind die Lalande'schen Oerter verglichen.

Zach befand sich auf der Seeberger Sternwarte im Besitz des schönsten und stärksten Passageninstruments des vorigen Jahrhunderts und hat dasselbe zu ausgedehnten Reihen von Fixsternbeobachtungen angewandt. Die beiden Cataloge, welche er als Resultate dieser Beobachtungsreihen herausgegeben hat, sollten auf erheblichen Werth Anspruch machen, wenn die Umsicht und Sorgfalt der Bearbeitung einigermassen der hervorragenden Qualität der benutzten Werkzeuge entsprochen hat. Der erste der beiden Cataloge, der 1792 mit ausführlicherer Mittheilung der Grundlagen herausgegebene aus den Beobachtungen von 1787—1790 abgeleitete »Fixarum praecipuarum Catalogus novus« entspricht nun allerdings nicht entfernt den Erwartungen, zu welchen man sich berechtigt halten muss, und diese Wahrnehmung kann in noch höherm Grade gegen den zweiten, umfangreichern, 1827 Sterne enthaltenden, aber in dem ersten Bande der »Tabulae speciales Aberrationis et Nutationis« (Gotha 1806) verborgenen und anscheinend seit langen Jahren ganz in Vergessenheit gerathenen »Stellarum zodiacalium Catalogus novus« Misstrauen erregen, weil dieser Catalog nur die für 1800 abgeleiteten Oerter ohne irgend welche zur Controle ihrer Ableitung oder zur Bemessung der Zuverlässigkeit der Beobachtungen dienliche Angaben enthält. Es macht auch keinen günstigen Eindruck, wenn man in dem Catalog einen 4° unter dem Gothaer Horizont culminirenden Stern findet (Nr. 1160 = Lac. 7288); indess bin ich schliesslich doch zu der Ansicht gelangt, dass dieser zweite Catalog nicht allein brauchbar ist, sondern im ganzen noch eine werthvolle Versicherung, in manchen Fällen wesentliche Verbesserungen für die ausserdem für 1800 vorliegenden Bestimmungen liefert.

Zach gibt an, dass seine Rectascensionen auf dem Maskelyne'schen Fundamentalcatalog von 1790 beruhen und er nur nachträglich den Catalogörtern eine Correction des Aequinoctiums im Betrage von $+0^s.276$ hinzugefügt habe*. Da der Maskelyne'sche Catalog von 1790 die Rectascensionen durchschnittlich etwa $0^s.30$ kleiner gibt als der AGC., sollten hiernach die Zach'schen Rectascensionen

* Tab. spec. Aberr. et Nut., I. p. 161.

nahe in das System des letztern hineinpassen; diess ist indess keineswegs der Fall. Um die Reduction zu bestimmen, habe ich die bereits von Zach ausgeführte Vergleichung mit dem alten Piazzi'schen Catalog vollständig mit dem neuen Piazzi'schen Catalog wiederholt, in welchem die Zach'schen Sterne bis auf eine geringe Anzahl vorkommen.

Zu den Differenzen Pi.—Z. ist dann die Correction $+2''.7+2''.15 \tan g\delta$, zwischen Æ 130° und 170° nur der constante Theil dieser Reductionsformel, hinzugefügt, wodurch die Differenz AGC.—Z. gewonnen wurde, welche sich im Mittel für je 10° der Æ wie folgt gefunden hat:

Æ	Diff.	**	Æ	Diff.	**	Æ	Diff.	**	Æ	Diff.	**
0°			90°			180°			270°		
10	+3".47	43	100	+2".45	44	190	+2".08	46	280	+3".00	40
20	3.48	61	110	2.65	43	200	2.40	43	290	3.29	44
30	4.20	45	120	1.59	41	210	2.23	46	300	3.73	33
40	2.50	43	130	1.79	51	220	1.92	39	310	3.57	39
50	0.98	34	140	0.93	43	230	2.61	38	320	3.66	58
60	1.55	62	150	1.08	40	240	3.13	40	330	2.52	51
70	1.50	80	160	2.57	31	250	4.24	27	340	4.12	44
80	1.46	36	170	1.32	57	260	5.90	25	350	3.43	54
90	0.22	42	180	1.48	50	270	3.01	39	360	2.58	50

Graphische Ausgleichung dieser Werthe hat folgende Reductionstafel ergeben:

AGC. — Zach II

0^h 0^m	$+0^s.22$	6^h 0^m	$+0^s.11$	12^h 0^m	$+0^s.12$	18^h 0^m	$+0^s.24$
40	+0.24	40	+0.12	40	+0.14	40	+0.22
1 20	+0.25	7 20	+0.12	13 20	+0.15	19 20	+0.22
2 0	+0.23	8 0	+0.10	14 0	+0.16	20 0	+0.22
40	+0.15	40	+0.09	40	+0.18	40	+0.22
3 20	+0.10	9 20	+0.09	15 20	+0.22	21 20	+0.21
4 0	+0.08	10 0	+0.09	16 0	+0.27	22 0	+0.21
40	+0.08	40	+0.10	40	+0.30	40	+0.21
5 20	+0.09	11 20	+0.11	17 20	+0.27	23 20	+0.22

Die in der Zodiacalzone vorkommenden Maskelyne'schen Sterne sind bei dieser Vergleichung nicht benutzt, da Zach's Catalog für dieselben offenbar keine Originalangaben liefert; ausserdem sind ausgeschlossen Nr. 562 und Nr. 1284 wegen Unsicherheit der Piazzi'schen Æ bei beträchtlicher Abweichung, und Nr. 1788, dessen Æ zwar mit Piazzi's Beobachtungen von 1798 stimmt, aber zugleich mit diesen nach dem Zeugniss der Beobachtungen von 1810—1812 und neuerer 2^s zu gross zu sein scheint. Correcturen von 1^s sind für die Zach'schen Æ von Nr. 164, 1273, 1474, 1504, 1717, 1718, von 2^s für Nr. 219 und 1156 angebracht. Bei einer nicht unbeträchtlichen Anzahl grösserer Abweichungen innerhalb der Zeitsecunde. bis 0:6 oder 0:7, bleibt einstweilen zweifelhaft, auf welcher Seite der Fehler zu suchen oder wie er zu vertheilen ist; da die Zahl der Beobachtungen bei Zach nicht angegeben, aller Wahrscheinlichkeit nach aber durchweg nur eine geringe ist, bleibt die Möglichkeit offen solche Abweichungen durch zufällig grosse Fehler alleinstehender Beobachtungen in der Zach'schen Reihe zu erklären. Die Eigenbewegung konnte bei der Vergleichung nicht berücksichtigt werden, da die Epoche der Zach'schen Oerter nicht näher bekannt ist. Dieselben sind vielmehr bei dieser Vergleichung ebenso wie die Piazzi'schen als gültig für 1800 behandelt, sind aber möglicherweise bereits innerhalb der ersten Hälfte des vorangehenden Jahrzehnts bestimmt. Einige Angaben des Capitels »De Fixarum Catalogo«* lassen sich dahin deuten, dass Zach die Rectascensionen der Zodiacalsterne zu derselben Zeit bestimmt hat wie Barry am Mannheimer Quadranten die Declinationen, und diess scheint um 1793 geschehen zu sein. Die Rectascensionen der stärker bewegten Sterne sprechen im ganzen ebenfalls für diese frühere Epoche, und wenn diese Sterne auch zu wenig zahlreich und die Zach'schen Bestimmungen zu wenig sicher sind um eine bestimmte Entscheidung zu geben, so habe ich doch schliesslich vorgezogen in die weiteren Catalog-Vergleichungen 1793 als Epoche der Zach'schen Bestimmung einzuführen, wo diese überhaupt zur Verwendung gelangt.

* Tab. spec. I. p. 158—163.

Die aus den Mannheimer Beobachtungen für den grössten Theil der Zach'schen Sterne für 1800 berechneten Declinationen sind in einer zweiten Abtheilung des Zach'schen Catalogs mitgetheilt. Die auch in dieser Abtheilung beigefügte Vergleichung mit Piazzi's älterm Catalog zeigt aber vielfach so grosse und unregelmässige Unterschiede, dass die Benutzung des Declinationsverzeichnisses ausgeschlossen wird. Uebrigens besteht für die Declinationen nicht in dem Maasse das Bedürfniss die Piazzi'schen Bestimmungen für die Epoche 1800 anderweitig zu verstärken wie für die Rectascensionen.

Für Piazzi sind bei allen Sternen, für welche sich eine jährliche EB. von $0^s.01$ oder $0''.1$ und mehr fand, die Epochen soweit als möglich aus der Storia Celeste ermittelt. Für einige andere Sterne waren die Epochen ebenso schon früher aufgesucht, für die übrigen ist 1800 als Epoche angenommen.

Ueber die für den (neuern) Piazzi'schen Catalog erforderlichen systematischen Verbesserungen habe ich an anderer Stelle eine vorläufige Mittheilung gemacht*, auf die ich mich hier beziehe.

Im vorliegenden Fall war es aber, da die neue Bearbeitung der Mayer'schen Beobachtungen eine Ergänzung zu derjenigen der Bradley'schen bilden soll, erforderlich auch die Eigenbewegungen gleichartig mit denen des Bradley-Catalogs herzustellen, die mit den Mayer'schen Oertern zu vergleichenden neuen Oerter waren daher nicht auf den AGC., sondern auf das System des Bradley-Vergleichscatalogs (Greenwich 1860, Mittel der beiden Seven year Cataloge) zu beziehen. Die Reduction des AGC. auf diess System ist für 1860 aus folgenden Tafeln zu entnehmen, für $\Delta R = \Delta\alpha_\delta + \Delta\alpha_\alpha$, für Decl. $= \Delta\delta$.

δ	$\Delta\alpha_\delta$	$\Delta\delta$	δ	$\Delta\alpha_\delta$	$\Delta\delta$
55°	−0ˢ.013	−0″.01	10°	−0ˢ.025	+0″.13
50	−0.016	+0.06	5	−0.028	+0.23
45	−0.018	+0.13	0	−0.033	+0.37
40	−0.018	+0.16	− 5	−0.036	+0.50
35	−0.015	+0.17	−10	−0.039	+0.60
30	−0.010	+0.13	−15	−0.040	+0.63
25	−0.009	+0.04	−20	−0.040	+0.60
20	−0.014	+0.04	−25	−0.038	+0.54
15	−0.019	+0.07	−30	−0.035	+0.47

$\Delta\alpha_\alpha$					
0ʰ.0	−0ˢ.013	8ʰ.0	+0ˢ.017	16ʰ.0	−0ˢ.008
1	−0.025	9	+0.017	17	−0.005
2	−0.022	10	+0.017	18	−0.010
3	−0.009	11	+0.019	19	−0.026
4	+0.003	12	+0.022	20	−0.025
5	+0.012	13	+0.022	21	−0.020
6	+0.017	14	+0.015	22	−0.013
7	+0.018	15	−0.004	23	−0.006
8.0	+0.017	16.0	−0.008	24.0	−0.013

Dem bei der Vergleichung der übrigen hier benutzten Cataloge befolgten Verfahren gemäss sind die Werthe dieser Tafel für jede andere Epoche unverändert zu den gefundenen Reductionen auf AGC. hinzuzufügen.

Für eine zweite Zwischenepoche eignete sich der Taylor'sche Catalog, in welchem fast sämmtliche Mayer'schen Sterne, nämlich alle von Piazzi beobachteten, wiederum vorkommen. Mit seinen Oertern für 1835 konnten zugleich ohne weitere Uebertragungsrechnungen die für das nämliche Aequinoctium berechneten des Königsberger Zodiacalcatalogs** verbunden werden und sind daher ebenfalls vollständig in die Vergleichung der hier behandelten Sterne aufgenommen worden. Der Königsberger Catalog enthält aber nur 666 Mayer'sche Sterne und gerade von den nicht bei Bradley vorkommenden nur eine verhältnissmässig geringe Anzahl.

Ueber die Beziehungen des Taylor'schen General Catalogue zum AGC. habe ich neuerdings eingehende Untersuchungen angestellt, und durch Verbindung ihrer Resultate mit der vorstehenden Tafel folgende Reductionstafeln erhalten:

Reduction des Taylor'schen Gen. Cat. 1835 auf das System des Bradley-Vergl. Cat.

δ	$\Delta\alpha_\delta$	$\Delta\delta_\delta$	δ	$\Delta\alpha_\delta$	$\Delta\delta_\delta$	δ	$\Delta\alpha_\delta$	$\Delta\delta_\delta$
30°	−0ˢ.010	−0″.27	10°	−0ˢ.057	−1″.24	−10°	−0ˢ.093	−0″.74
25	−0.018	−0.70	5	−0.066	−1.14	−15	−0.097	−0.73
20	−0.031	−1.01	0	−0.077	−1.02	−20	−0.101	−0.90
15	−0.044	−1.15	− 5	−0.085	−0.85	−25	−0.103	−1.25
						−30	−0.103	−1.73

* V.J.S. der Astr. Ges. 1892. S. 261—265.
** Königsb. Beob. Abth. 37. II. S. 94—150.

α	$\Delta\alpha_\alpha$	$\Delta\delta_\alpha$	α	$\Delta\alpha_\alpha$	$\Delta\delta_\alpha$	α	$\Delta\alpha_\alpha$	$\Delta\delta_\alpha$
$0^h.0$	$-0^s.020$	$-0''.44$	$8^h.0$	$-0^s.008$	$+0''.06$	$16^h.0$	$+0^s.010$	$+0''.66$
1	−0.033	−0.44	9	−0.034	−0.06	17	+0.021	+0.45
2	−0.022	−0.36	10	−0.045	−0.23	18	+0.021	+0.24
3	+0.005	−0.24	11	−0.045	−0.34	19	+0.006	+0.05
4	+0.025	−0.04	12	−0.034	−0.27	20	+0.005	−0.10
5	+0.038	+0.15	13	−0.018	+0.01	21	+0.006	−0.22
6	+0.039	+0.18	14	−0.003	+0.54	22	+0.005	−0.32
7	+0.022	+0.15	15	−0.001	+0.77	23	−0.002	−0.39
8.0	−0.008	+0.06	16.0	+0.010	+0.66	24.0	−0.020	−0.44

Als Epoche der Taylor'schen Oerter ist in den wenigen Fällen, wo dieselben zur Bestimmung der Eigenbewegung zugezogen wurden, immer 1835.0 angenommen.

Die vorliegende Ausgabe des Königsberger Catalogs kann nur als eine vorläufige Zusammenstellung genähert abgeleiteter Resultate gelten. In Anbetracht der Mangelhaftigkeit seiner Bearbeitung habe ich mich darauf beschränkt in den einzelnen Stunden constante Durchschnittswerthe zur Reduction seiner Oerter auf das System des Bradley-Vergleichscatalogs anzubringen wie folgt:

in 0^h	$+0^s.06$	$0''.0$	in 8^h	$+0^s.19$	$0''.0$	in 16^h	$+0^s.03$	$+1''.0$
1	+0.06	−0.5	9	+0.15	+0.2	17	+0.06	+0.6
2	+0.06	−0.3	10	+0.11	−0.2	18	−0.01	+0.9
3	+0.06	−0.3	11	+0.09	−0.1	19	−0.01	+1.2
4	+0.08	−0.3	12	+0.06	+0.9	20	+0.05	+1.4
5	+0.11	−0.3	13	+0.04	+1.2	21	+0.05	+1.1
6	+0.06	−0.3	14	+0.01	+1.1	22	+0.03	+0.9
7	+0.13	+0.6	15	+0.01	+0.6	23	+0.03	+0.7

Ueber die directen und indirecten Vergleichungen mit dem AGC., auf welchen diese Reductionstafel beruht, werde ich an anderm Orte berichten, ebenso über die Ableitung der Reductionen für die vereinzelt aus anderen Quellen entnommenen Oerter für die neue Epoche, soweit diese sich nicht bereits aus den Publicationen der AG. ergeben.

Die in der grossen Mehrzahl aller Fälle für die neue Epoche ausschliesslich angewandten Gothaer Oerter gehören dem System des AGC. an und sind auf das hier festgehaltene System vermittelst der obigen Reductionstafel übertragen.

Zur Bestimmung der Eigenbewegung haben für die Rectascensionen folgende Ausgangsepochen gedient:

von nur einmal von Mayer beobachteten Sternen: $1/3$(M.+Z.+P.) oder $1/3$(M.+2 P),
von Sternen mit 2 Beob. bei Mayer: $1/2$[M.+$1/2$(Z.+P.)], oder $1/2$(M.+P.),

mit einigen Ausnahmen in Fällen, wo die Piazzi'sche ΔR nur schwach begründet ist. Für die 3 und mehr Mal beobachteten Sterne ist in der Regel die Mayer'sche ΔR allein benutzt, Zach und Piazzi wurden bei solchen Sternen nur zugezogen, wenn sich ein Bedenken gegen die Richtigkeit der Mayer'schen Æ ergab.

Bei den Declinationen ist verschieden verfahren, je nachdem die Mayer'schen Beobachtungen, sämmtlich oder theilweise, neu hatten reducirt werden können, oder ihr Resultat ausschliesslich aus den Angaben des von Mayer hinterlassenen Catalogs hatten ermittelt werden müssen. Im ersten Fall ist für die nur einmal von Mayer beobachteten Sterne das Mittel $1/2$(M.+P.) als Ausgangsepoche benutzt, für wiederholt beobachtete fast immer die Mayer'sche Declination allein. Im andern Fall sind folgende Mittel benutzt:

bei	1	Beob. M.	$1/3$(M.+2P.)
»	2 od. 3	» »	$1/2$(M.+P.)
»	4	» »	$1/3$(2M.+P.)

Mayer'sche Oerter, die nur auf einer einzelnen Beobachtung vom Gewicht $1/2$ oder einem noch geringern Gewicht beruhen, sind nicht benutzt; für die betr. Coordinaten hat ebenso wie wenn dieselben bei Mayer gar nicht beobachtet waren das Mittel $1/2$(Z.+P.) oder $1/2$(P.+T.) als Ausgangsepoche gedient.

Wo aus besonderen Gründen andere als diese gewöhnlichen Combinationen gewählt oder andere relative Gewichte angenommen sind, kann man die gemachten Annahmen leicht aus den angegebenen Differenzen der Epochen und Oerter ermitteln.

Als neue Epoche ist für die nicht bei Bradley vorkommenden und daher in die Gothaer Arbeitsliste aufgenommenen Sterne fast immer das Resultat der Gothaer Beobachtungen allein benutzt. Nur in einigen wenigen Fällen ist noch eine oder die andere gute sonstige neue Bestimmung hinzugezogen. Für die nicht in Gotha wiederbeobachteten Sterne — die unvollständig bei Bradley vorkommenden und einige wenige andere — ist die Vergleichsepoche einer möglichst neuen guten Quelle entnommen, zuweilen hat ein Mittel aus mehreren gedient. —

Die Prüfung der Mayer'schen Oerter durch Vergleichung der Epochen 1800, 1835 und 1885 führte noch zur Auffindung einiger Fehler in den Mayer'schen Beobachtungen. Wo die zum Vorschein kommenden Abweichungen sogleich keinen Zweifel über den Ort des Fehlers liessen und seine Verbesserung durch eine einfache Correctur, wie von 1 Noniustheil bei der Mayer'schen ZD., mit anscheinender Sicherheit bewirkt werden konnte, hat es bei der nachträglichen entsprechenden Berichtigung des Mayer'schen Orts sein Bewenden gehabt. In einer Anzahl anderer Fälle, wo der Mayer'sche Ort nur verdächtig wurde, ohne dass demselben entweder ein Fehler überhaupt mit Bestimmtheit zur Last gelegt werden, oder wenn diess der Fall war die erforderliche Verbesserung sicher erkannt werden konnte, ist das zu genauerer Untersuchung brauchbare in den Catalogen vorkommende Material thunlichst vollständig gesammelt und zur Aufklärung des Zweifels verglichen worden. Es scheint nicht ohne Interesse, auch diese ausführlicheren Zusammenstellungen hier mitzutheilen. Ich habe mir aber nicht um einer bloss formalen Uebereinstimmung willen die sonst ganz zwecklose Mühe machen wollen, die bei der Anlage dieser als zweite Abtheilung der Catalog-Vergleichung gegebenen Zusammenstellung benutzten Reductionen auf AGC. für eine grosse Anzahl von Catalogen erst noch auf das Bradley-Vergleichsystem zu übertragen; demnach erhält man aus diesen Specialzusammenstellungen unmittelbar Eigenbewegungen, welche sich in entsprechender Weise systematisch von den aus der allgemeinen Zusammenstellung abzuleitenden unterscheiden. Die Resultate, nämlich die beobachteten Ortsunterschiede zwischen der Ausgangs- und der Endepoche, sind aber noch auf das Bradley-Vergleichsystem reducirt in die erste Abtheilung der Catalogvergleichung übertragen und dort die mit den übrigen gleichartigen entsprechenden jährlichen Eigenbewegungen angesetzt, so dass diese erste Abtheilung die für die Aufstellung des neuen Catalogs benutzten Werthe der EB. vollständig nachweist.

Die Mayer'schen Planetenbeobachtungen.

Zwischen den Mayer'schen Beobachtungen finden sich Beobachtungen von 51 Planeten-Culminationen, nämlich von

Venus	17	Ar	und	14	Decl. von 18 Tagen
Mars	5	»	»	4	»
Jupiter	13	»	»	11	»
Saturn	14	»	»	14	»
Uranus	1	»	»	1	»

Nur ein Theil dieser Beobachtungen kann, mehr oder weniger sicher, reducirt werden; für die Venusculminationen kann nur in wenigen Fällen und auch dann nur mit geringer Sicherheit die Uhrcorrection ermittelt werden, und für die Venusbeobachtungen von 1758 ist auch der Zenithpunct nur ganz beiläufig bekannt. Gut bestimmt ist nur die Saturnopposition 1756; der Werth der nächstvollständigen Beobachtung der Jupiteropposition 1760, durch Niebuhr, wird dadurch vermindert, dass

gerade bei allen sonst sicher reducirbaren Beobachtungen immer nur ein und derselbe Rand des Planeten beobachtet ist. Die aus den Beobachtungen herstellbaren scheinbaren Oerter sind folgende.

Bürg. Dat.		α app.	Fäd.	Dm.	δ app.	Einst.	Dm.
		Venus					
1756 Febr.	17				− 2°59′41″.5		
	24				+ 0 39 50.2		
Juni	1				+23 20 33.2	3	26″.0
Juli	11	I R. 10^h 2^m 2^s.40:	5		+10 49 50.6	2	38.9
Sept.	9	II » 9 8 0.04:	5		+ 9 30 41.8	2	48.4
	27	II » 36 7.17:	5		+10 23 31.4	2	47.5
1757 Febr.	15	20 1 16.69:	5		−20 37 52.1		
1758 Jan.	9				− 9 52 23.9:		
	10				− 9 24 12.3:		
März	16				+12 53 4.1:	2*	54.8
	27				S.R. +10 28 41.8:		
	30				» + 9 26 0.8:		
	31				» + 9 3 57.4:		
April	1				» + 8 41 32.1:		

* nur S.R. genau einzustellen (+12°52′36″.7)

		Mars					
1756 März	8	6^{h}21^{m}52^s.18			+27°		
Juli	11	10 38 46.99:	2^1/$_2$		+ 9 36′ 6″.3		
1758 Mai	14	9 34 37.42:	3		+16 13 38.2		
1760 März	10	11 18 38.57	1		+ 8 43 36.2		
Juni	1	11 16 41.95	3		+ 5 39 58.9:		
		Jupiter					
1756 April	18	12^{h}45^{m}29^s.52			− 3°		
	22	43 47.47			− 3		
Aug.	29	13 7 36.79	5		− 5 59′32″.6		
1757 Mai	22	14 37 41.12	5	2^s.94	−14 4 29.0	3	43″.0
1760 Juni	1	I R. 21 58 23.85:	5		N.R. −13 18 51.2		
	2				−13 18 38.8:		
	3				−13 17 56.0:		
Juli	1	I » 57 59.54	4^1/$_4$		N.R. −13 29 33.7		
	2	I » 57 47.61	4		» −13 30 56.0		
	31	I » 47 32.32	3^1/$_4$		» −14 31 33.3		
Aug.	21	I » 37 3.03	4		» −15 27 12.9		
	23	I » 36 2.74	3		» −15 32 16.5		
	24	I » 35 32.89	5		» −15 34 46.9		
		Saturn					
1756 Aug.	29	20^{h}30^m 9^s.70	2		−19°47′53″.5		
Sept.	1	29 28.52	2		−19 50 24.0		
	2	29 15.66	2		−19 51 11.2		
	9	27 52.47	2		−19 56 14.0		
	16	26 47.36	2		−20 0 17.4		
Oct.	1	25 23.15	4	3^s.05	−20 5 8.5		
	2	25 21.20	4	2.45	−20 5 15.6		
	10	25 17.27	6	2.59	−20 5 31.6		
	11	25 18.76	6	2.68	−20 5 24.0		
	29	26 54.54	10	2.74	−19 59 48.1		
Nov.	8	28 44.39	10	2.56	−19 53 29.6		
1757 Oct.	5	21 14 0 62	4	2.95	−17 23 40.7		
1759 Nov.	22	22 47 47.09	1		− 9 53 32.1		
1760 Juli	31	23 58 5.05	3		− 2 51 24.2		
		Uranus					
1756 Sept.	25	23^{h}12^m 3^s.57	1		− 6° 1′48″.8		

Die Ortsangaben beziehen sich auf den bezeichneten Rand, wo nichts besonderes angegeben ist auf den Mittelpunct der Planetenscheibe. Dieser ist, wo die Col. »Durchmesser« leer ist, unmittelbar beobachtet, andernfalls ist der angegebene Werth das Mittel der Beobachtungen der beiden Ränder, zweimal dieser und des geschätzten Mittelpuncts. — Die angegebenen Declinationen sind noch von der Parallaxe zu befreien.

Die Uranus-Beobachtung ist hier nicht mit den oben S. 13 und 20 angegebenen Werthen für Δu und (c) reducirt, sondern im Anschluss an symmetrisch gelegene benachbarte Sterne. Wegen der

Wichtigkeit dieser Beobachtung mögen hier noch die Einzelheiten ihrer Reduction angeführt werden, welche zugleich, abgesehen von der angegebenen Abweichung, als Probe der Reduction der Sternbeobachtungen dienen kann.

Uranus 1756 Sept. 25 an F. 5 $23^h\,9^m\,29^s.0$ MF. $-1^m\,0^s.37$ ZD. $61^D\,5^p\,15''.0 = 57^\circ\,32'\,7''.4$

Reduction der Rectascension

Stern (alte Cat. Nr.)	ZD.	Durchg. Zt. d. Mittelf.	Gew.	Red. 1755.0	Gang bis 23^h	$f(z)$	Corr. c, n	red. Dgzt.	α Bradl. Ep. 1756.7	Δu (23^h)
γ Aqr. 921	54° 7′	$22^h\,5^m\,31^s.00$	1	$-5^s.87$	$-0^s.10$	$+0^s.81$	$-0^s.08$	$25^s.76$	$59^s.64$	$+3^m\,33^s.88$
ζ » 925	52 46	12 44.00	1	−5.88	−0.09	+0.64	−0.04	38.63	12.65	34.02
σ » 926	63 25	14 10.50	1	−5.99	−0.08	+1.10	−0.31	5.22	39.59	34.37
(7.8) 927	63 38	15 11.60	1	−5.99	−0.08	+1.10	−0.31	6.32	40.73	34.41
η Aqr. 928	52 52	19 16.90	1	−5.89·	−0.07	+0.66	−0.05	11.54·	45.68·	34.14
$\varkappa$ » 929	56 59	21 34.10	1	−5.93	−0.07	+0.99	−0.16	28.93	3.42	34.49
937	66 49	31 12.16	1	−6.03·	−0.05	+1.12	−0.36	6.83·	40.76	33.92·
τ Aqr. 938	66 22	33 6.90	1	−6.03	−0.05	+1.12	−0.36	1.58	35.78	34.20
λ » 940	60 22	36 20.00	1	−5.98	−0.04	+1.17	−0.23	14.92	49.18	34.26
A Pi. 952	50 42	52 39.68	1	−5.96	−0.01	+0.26	+0.03	34.00	8.12	34.12
φ Aqr. 955	58 52	58 8.10	1	−5.98	0.00	+1.08	−0.20	3.00	37.50	34.50
ψ^1 » 956	61 54	59 33.50	1	−5.99	0.00	+1.17	−0.26	28.42	2.49	34.07
χ » 957	60 33	23 0 39.29	1	−5.99	0.00	+1.18	−0.24	34.24	8.30	34.06
ψ^2 Aqr. 959	62 0	1 40.07	1	−6.11	0.00	+1.17	−0.27	34.86	9.35	34.49
ψ^3 » 960	62 26	2 43.30	1	−6.00	0.00	+1.14	−0.27	38.17	12.12	33.95
	57 32	8 28.63	1		+0.02	+1.00	−0.17	29.48		
$\varkappa$ Pi. 965	51 35	10 54.00	1	−5.99	+0.02	+0.44	0.00	48.47	22.52	34.05
(8) 969	53 53	13 27.80	1	−5.99	+0.02	+0.79	−0.08	22.54	56.42	33.88
(7.8) 972	53 56	15 54.45	1	−5.99	+0.03	+0.79	−0.08	49.20	23.36	34.16
(7) 973	54 6	18 4.30	1	−5.99	+0.03	+0.81	−0.08	59.07	33.12	33.95
(7) 976	50 45	20 25.08	1	−6.00	+0.04	+0.27	+0.03	19.42	53.52	34.10
978	51 4	26 4.70	1	−6.01	+0.05	+0.34	+0.02	59.10	33.04	33.94
(6.7) 985	51 47	33 26.58	1	−6.01	+0.06	+0.47	−0.01	21.09	55.09	34.00
(7) 987	56 1	36 51.90	1	−5.99	+0.07	+0.94	−0.13	46.79	20.44	33.65
... Pi. 990	56 25	42 38.90	1	−5.99	+0.08	+0.96	−0.14	33.81	7.84	34.03
... » 992	55 53	45 47.50	1	−5.99·	+0.08·	+0.93	−0.12	42.40	16.17	33.77
... » 993	58 52	45 54.50	1	−5.98	+0.08	+1.08	−0.20	49.48	23.51	34.03
... » 996	58 34	49 18.30	1	−5.98	+0.09	+1.06	−0.20	13.27	47.54	34.27
(6.7) 8	50 55	0 9 22.60	1	−6.03·	+0.13	+0.31	+0.02	17.02·	51.29·	34.27
(7) 9	52 54	10 35.50	1	−6.01	+0.13	+0.66	−0.04	30.24	4.02	33.78

Reduction der Declination

Stern	Einst. an F.	verwand. Ablesung	Corr. log ϱ	Refr.	Red. Mer.	Red. 1755.0	red. genäherte ZD. 1755	genäherte Decl.	$-c'$	δ Bradl. Ep. 1756.7	(c)
921		54° 6′ 35″.5	−0.0044	1′ 18″.8		+38″.8	54° 8′ 33″.1	− 2° 36′ 39″.1	−1″.3	46″.0	−5″.6
925		52 45 44.5	− 41	1 15.1		39.3	52 47 38.9	− 1 15 44.9	−1.1	55.1	−9.1
926		63 24 40.6	− 41	1 53.8		37.5	63 27 11.9	−11 55 17.9	−0.1	22.4	−4.4
927	5	63 38 29.7	− 40	1 54.9	−0″.4	37.5	63 41 1.7	−12 9 7.7	−0.1	9.4	−1.6
928		52 52 10.5	− 39	1 15.4		39.5	52 54 5.4	−11 22 11.4	−1.1	20.6	−8.1
929		56 58 43.3	− 38	1 27.8		38.9	57 0 50.0	− 5 28 56.0	−1.4	63.4	−6.0
937		66 49 24.7	− 35	2 13.0		37.6	66 52 15.3	−15 20 21.3	+0.3	26.2	−5.2
938		66 21 45.6	»	2 10.1		37.7	66 24 33.4	−14 52 39.4	+0.2	43.3	−4.1
940		60 22 6.9	»	1 40.4		38.8	60 24 26.1	− 8 52 32.1	−0.2	36.3	−4.0
952	4	50 42 4.0	»	1 9.9	0.0	40.3	50 43 54.2	+ 0 47 59.8	−1.0	54.9	−3.9
955		58 51 32.5·	»	1 34.5		39.4·	58 53 46.5	− 7 21 52.5	−0.7	56.8	−3.6
956		61 54 29.2	»	1 46.9		39.1	61 56 55.2	−10 25 1.2	−0.1	6.5	−5.2
957	2	60 32 58.3	»	1 41.1	−0.1	39.3	60 35 18.6	− 9 3 24.6	−0.2	31.0	−6.2
959	4	62 0 18.1	»	1 47.3	−0.1	39.1	62 2 44.4	−10 30 50.4	−0.1	57.7	−7.2
960		62 26 6.2	»	1 49.3		39.1	62 28 34.6	−10 56 40.6	−0.1	47.1	−6.4
	5	57 32 7.4	»	1 29.8	−0.2		57 33 37.0	− 6 1 43.0	−1.3		
965		51 34 55.9·	»	1 12.1		40.2·	51 36 48.3	− 0 4 54.3	−0.9	56.6	−1.4
969		53 52 43.6	»	1 18.3		40.0	53 54 41.9	− 2 22 47.9	−1.3		
972	4	53 56 0.3	»	1 18.5	0.0	40.0	53 57 58.8	− 2 26 4.8	−1.3	11.3	−5.2
973		54 5 43.5	»	1 18.9		40.0	54 7 42.4	− 2 35 48.4	−1.3	53.5	−3.8
976	4	50 45 20.1	»	1 10.0	0.0	40.2	50 47 10.3	+ 0 44 43.7	−1.0	42.0	−0.7
978		51 3 58.6	»	1 10.8		40.1	51 5 49.5	+ 0 26 4.5	−0.9	25 59.6	−4.0
985	4	51 46 54.8	»	1 12.6	0.0	39.9	51 48 47.3	− 0 16 53.3	−0.9	59.0	−4.8
987		56 0 38.6	»	1 24.7		39.6	56 2 42.9	− 4 30 48.9	−1.4	55.5	−5.2
990		56 24 38.9	»	1 26.0		39.5	56 26 44.4	− 4 54 50.0	−1.4		
992		55 53 14.5	»	1 24.4		39.5	55 55 18.4	− 4 23 24.4	−1.4	29.3	−3.5
993		58 52 8.0	»	1 34.5		39.3	58 54 21.8	− 7 22 27.8	−0.7		
996		58 34 19.3	»	1 33.5		39.3	58 36 32.1	− 7 4 38.1	−0.8	42.3	−3.4
8		50 55 10.9	»	1 10.4		38.9	50 57 0.2	+ 0 34 53.8	−1.0	50.6	−2.2
9		52 54 25.8	»	1 15.6		38.8	52 56 20.2	− 1 24 26.2	−1.1	32.4	−5.1

Man erhält also

aus 15 Sternen vorher $\Delta u_0 = +3^m 34^s.19$ best. $22^h 36^m$ Uhrzt. in z_0 $59° 34'$
» 14 » nachher $+3\ 33.99$ » $23\ 35$ » » » » $54\ 3$ } ang. $+3^m 34^s.09$

scheinb. $\mathcal{R}$ Uranus $23^h\ 8^m 29^s.48 + 3^m 34^s.09 = 23^h 12^m\ 3^s.57$

aus 15 Sternen vorher $(c) = -5''.37$ best. $22^h 36^m$ Uhrzt. in z_0 $59° 34'$
» 11 » nachher -3.57 » $23\ 35$ » » » » $53\ 12$ } ang. $-4''.5$

scheinb. Decl. Uranus $= -6°\ 1'\ 44''.3 - 4''.5 = -6°\ 1'\ 48''.8$

oder einen von der Bessel'schen, fast ausschliesslich auf vorhergehende und bis beinahe 2^h abstehende Sterne gegründeten Reduction der Mayer'schen Uranusbeobachtung* um $-1''.0$ in $\mathcal{R}$ und $+0''.6$ in Decl. verschiedenen Ort.

---

* Fund. Astr. p. 285.

Resultate der einzelnen Beobachtungen und Mittel für Epoche.

Erläuterung der Zusammenstellung s. oben S. 27.

Nr.	Tag	Rectascension Red. 1755	F.	α 1755 G.	Declination Red. 1755	δ 1755
		—			—	
1	56 Spt. 14	6ˢ.13	1	0ʰ 0ᵐ 39ˢ.28 ½	38″.0	+13° 49′ 11″.1
	» 25	6.19	1	39.15	39.4	12.3
	57 Oct. 18	8.96	3	39.28 ½	59.5	11.5
	» 23	8.94	5	39.29 ½		
	57.1	4 (2 ½)		0 0 39.230	3	+13 49 11.63
2	56 Spt. 25	6.11	1	0 2 22.79	39.3	+ 7 27 30.4
3	56 Spt. 25	6.10	1	0 4 0.05	39.3	+ 6 52 41.2
4	56 Spt. 14	5.96	1::	0 4 6.14 ¼	38.8	+ 0 29 12.7:: ¼
	» 15	6.03	1	5.90		
	57 Oct. 23	8.82	2	6.63 ¾	57.5	15.5
	57.3; 57.5	3 (2 ¾)		0 4 6.320	2 (1 ¼)	+ 0 29 14.94
5	56 Spt. 14	5.96	1	0 5 13.48	38.6	+ 0 19 25.8
	» 25	6.03	1	13.19	39.2	28.8
	57 Oct. 23	8.82	3	13.31 2	57.4	31.3
	57.2; 57.1	3		0 5 13.322	3	+ 0 19 28.63
6	56 Spt. 14	6.03	1	0 8 0.72	38.2	+ 6 49 36.6
	» 25	6.10	1	0.55	39.1	36.8
	» 27				39.2	40.7
	57 Oct. 18	8.91	1	0.34		
	» 23	8.90	3	0.75 2		
	57.5; 56.7	4		0 8 0.622	3	+ 6 49 38.03
7	56 Spt. 14	5.92	1	0 11 59.07	38.7	− 3 34 35.1
	57 Oct. 23	8.81	4	58.96 2	56.6	33.4
	57.4; 57.3	2		0 11 58.997	2	− 3 34 34.25
8	56 Spt. 25	6.04	1	0 12 51.05	38.9	+ 0 34 48.5
	» 27	6.04	1	51.32	38.9	48.3
	57 Oct. 18	8.86	2	51.11 13/2	57.4	51.2
	57.2; 57.1	3		0 12 51.153	3	+ 0 34 49.33
9	56 Spt. 14	5.94	1	0 14 4.42	38.5	− 1 24 31.9
	» 25	6.01	1	4.27	38.8	31.6
	» 27	6.02	1	4.23	38.9	33.2
	57 Oct. 18	8.85	1	4.30	57.0	30.5
	57.0	4		0 14 4.305	4	− 1 24 31.80
10	56 Spt. 14	5.97	1	0 14 46.98	38.3	+ 1 27 20.2
	57 Oct. 23	8.86	3	46.65 2	57.3	18.1
	57.4; 57.3	2		0 14 46.760	2	+ 1 27 19.15
11	56 Spt. 14	5.89	1	0 17 32.48	38.6	− 5 18 49.8
	57 Oct. 23	8.80	3	32.35 2	56.1	52.1
	57.4; 57.3	2		0 17 32.393	2	− 5 18 50.95
12	56 Spt. 14	7.66	1		31.7	+53 10 1.0
	» 25				35.1	9 59.2
	» 27	7.76	1	0 18 23.49 ½	35.8	10 0.0
	56.7	1 (½)		0 18 23.49	3	+53 10 0.07
13	57 Oct. 23	8.93	4	0 19 46.51	57.7	+ 5 35 55.3
14	57 Oct. 23	8.84	2	0 20 57.32	56.5	− 1 57 40.9
15	56 Spt. 14				31.3	+52 48 52.7
	» 25				34.7	53.6
	» 27	7.78	1	0 22 38.82 ½	35.3	55.2
	56.7	1 (½)		0 22 38.82	3	+52 48 53.83

[1] DZ. +1ᵐ corr.

Nr.	Tag	Rectascension Red. 1755	F.	α 1755 G.	Declination Red. 1755	δ 1755
		—			—	
16	57 Oct. 18	8.86	2	0ʰ 22ᵐ 58ˢ.97 ½	56″.6	− 1° 51′ 17″.9
	» 23	8.85	3	58.77 2	56.4	16.9
	57.8	2		0 22 58.856	■	− 1 51 17.40
17	56 Spt. 14	7.65	1	0 23 27.21 ½	31.2	+52 32 44.2
	» 25				34.6	41.9
	» 27	7.77	1	27.71 ½	35.3	41.8
	» 28	7.78	1	27.56	35.6	41.1
	56.7	3 (2)		0 23 27.510	4	+52 32 42.25
18	57 Oct. 18	8.86	2	0 25 33.63 ½	56.5	− 1 51 15.0
	» 23	8.85	3	33.48 2	56.3	15.0
	57.8	2		0 25 33.544	2	− 1 51 15.00
19	56 Spt. 14	7.91	1	0 26 46.35 ½	30.4	+55 11 21.7
	» 27	8.04	1	45.69 ½	31.6	24.2
	» 28	8.05	1	46.03	34.9	24.0
	56.7	3 (2)		0 26 46.025	3	+55 11 23.30
■	57 Oct. 18	8.82	1	0 28 14.41	55.9	− 5 42 26.3 [1]
	» 23	8.81	4	14.25 2	55.6	19.4 [1]
	57.8	2		0 28 14.303	2	− 5 42 22.85
21	57 Oct. 23	8.82	3	0 30 32.25	55.6	− 5 12 10.9
22	56 Spt. 27	6.02	1	0 32 34.45	38.0	− 1 5 19.6
	57 Oct. 18	8.88	1	34.17	56.3	20.2
	» 23	8.88	2	34.41 ¾	56.1	16.4
	57.5; 57.4	3		0 32 34.353	3	− 1 5 18.73
23	56 Spt. 14	6.00	1	0 34 44.60	36.9	+ 5 23 56.2
24	57 Oct. 18				56.6	+ 4 0 56.6
	» 23	8.97	4	0 35 33.13	56.6	54.8
	57.8	1		0 35 33.130	2	+ 4 0 55.70
25	56 Spt. 25	6.12	1	0 35 36.29	37.6	+ 5 57 26.3
	» 27	6.13	1	36.08	37.6	25.5
	» 28	6.14	1	36.18	37.1	25.2
	57 Oct. 18	9.00	1	35.94	56.8	25.5
	57.0	4		0 35 36.122	4	+ 5 57 25.62
26	56 Spt. 14	6.02	1	0 35 59.69	36.7	+ 6 14 49.1
	» 25	6.12	1	59.75	37.6	47.1
	» 27	6.14	1	59.83	37.7	46.8
	» 28	6.14	1	59.85	37.7	47.6
	57 Oct. 18	9.01	1	59.19	59.2	49.1
	56.9	5		0 35 59.662	5	+ 6 14 47.94
27	56 Spt. 14	5.95	1	0 38 42.58	37.0	+ 2 3 5.6
	» 27	6.07	1	42.37	37.6	8.1
	» 28	6.08	1	42.50	37.7	5.6
	57 Oct. 18				56.2	4.1
	56.7; 57.0	3		0 38 42.483	4	+ 2 3 5.85
28	56 Spt. 14				37.2	− 2 28 47.6
	57 Oct. 23	8.87	4	0 40 30.08	55.4	48.7
	57.8; 57.2	1		0 40 30.080	2	− 2 28 48.15
29	56 Spt. 27	6.10	1	0 40 43.44	37.5	+ 2 45 11.5
	» 28	6.09	1	43.71	37.5	5.4
	56.7	2		0 40 43.575	2	+ 2 45 8.45

[1] Beide Decl. falsch; s. Cat.-Vgl.

Nr.	Tag	Rectascension Red. 1755	F.	α 1755 G.	Declination Red. 1755	δ 1755
30	56 Spt. 28	$6^s.13$	1	$0^h42^m38^s.73$	37″.3	+ 5° 31′ 13″.9
31	56 Spt. 27	6.26	1	0 43 20.43	36.9	+12 37 8.7
32	56 Juli 23				7.6	+87 59 *38.5* s.p.
	» 24				7.7	*40.8*
	» 30				8.9	*40.2*
	Aug. 1				9.4	*39.6* s.p.
	» 4				10.1	*38.5* s.p.
	56.6				5	+87 59 39.68
33	56 Spt. 27	6.26	1	0 45 5.71	36.8	+12 21 56.2
	» 28	6.27	1	5.69	36.9	56.6
	56.7	2		0 45 5.700	2	+12 21 56.40
34	56 Spt. 27	6.13	1	0 45 38.53	37.1	+ 5 30 56.9
	» 28	6.14	1	38.06	37.1	55.7
	56.7	2		0 45 38.295	2	+ 5 30 56.30
35	56 Spt. 27	6.12	1	0 47 8.95	37.0	+ 5 9 17.9
	» 28	6.13	1	9.25	37.1	19.7
	56.7	2		0 47 9.100	2	+ 5 9 18.80
36	56 Spt. 27	6.15	2	0 50 15.05 5/4	36.7	+ 6 33 55.3
	» 28	6.16	1	15.08	36.8	53.2
	56.7	2		0 50 15.063	2	+ 6 33 54.25
37	56 Spt. 28	6.13	1	0 51 5.64	36.8	+ 5 26 36.1
38	56 Spt. 27	6.10	1	0 52 12.19	36.7	+ 4 20 14.3
	» 28	6.11	1	12.24	36.7	11.6
	56.7	2		0 52 12.215	2	+ 4 20 12.95
39	56 Spt. 27	6.09	1	0 53 10.17	36.7	+ 3 35 49.3
	» 28	6.10	1	10.30	36.7	49.8
	56.7	2		0 53 10.235	2	+ 3 35 49.55
40	56 Spt. 28	6.20	1::	0 55 35.2 1/4	36.3	+ 8 35 32.4
41	56 Spt. 27	6.11	1	55 46.20	36.5	+ 4 20 49.9
	» 28	6.12	1	46.22	36.5	47.8
	56.7	2		0 55 46.210	2	+ 4 20 48.85
42	56 Spt. 27	6.18	1	0 58 5.81	36.0	+ 8 14 11.7
	» 28	6.19	1	6.13	36.1	12.3
	56.7	2		0 58 5.970	2	+ 8 14 12.00
43	56 Spt. 28	6.21	1	0 58 40.83	36.0	+ 8 58 56.8
44	56 Spt. 27	6.14	1	1 0 57.50	36.0	+ 6 16 21.4
	» 28	6.15	1	57.72	36.0	22.4
	56.7	2		1 0 57.610	2	+ 6 16 21.90
45	56 Spt. 27	6.14	1	1 0 59.00	35.9	+ 6 16 33.3
	» 28	6.15	1	59.22	36.0	34.9
	56.7	2		1 0 59.110	2	+ 6 16 34.10
46	56 Spt. 28	6.14	1	1 1 59.25[1]	35.9	+ 5 41 35.6[1]
47	56 Spt. 27	6.06	1	1 5 10.76	35.9	+ 2 19 0.9
	» 28	6.07	1	10.76	35.9	0.2
	56.7	2		1 5 10.760	2	+ 2 19 0.55

[1] F. 5 st. 4 ang.; Abl. 48 11 13.1, dafür gel. 48 13 13.1.

Nr.	Tag	Rectascension Red. 1755	F.	α 1755 G.	Declination Red. 1755	δ 1755
48	56 Spt. 28	$6^s.06$	1	$1^h\ 6^m44^s.56$	35″.8	+ 1° 59′ 45″.1
49	56 Spt. 27	5.98	1	1 7 18.08	36.0	− 1 48 10.7
50	56 Spt. 27	6.02	1	1 10 1.45	35.0	+ 0 26 23.6
51	56 Spt. 27	6.08	1	1 10 3.56	35.5	+ 3 26 55.1
52	56 Spt. 28	6.15	1	1 10 10.13	35.3	+ 6 6 52.4
53	56 Spt. 27	6.44	1	1 13 6.11	33.8	+17 53 17.8
	» 28	6.45	1	6.22	34.0	17.9
	Nov. 4	6.61	1	6.03	37.1	21.2
	56.8	3		1 13 6.120	3	+17 53 18.97
54	56 Spt. 27	6.44	1	1 13 30.80	33.8	+17 57 40.6
	» 28	6.45	1	30.92	33.9	44.5[1]
	Nov. 4	6.62	1	30.56	37.0	42.1
	56.8	3		1 13 30.760	3	+17 57 42.40
55	56 Spt. 27	6.38	1	1 15 16.40	33.9	+15 48 8.2
56	56 Spt. 27	6.11	1	1 17 22.26	34.8	+ 4 52 20.2
	» 28	6.12	1	22.27	34.8	20.6
	Nov. 4	6.29	1	21.77	35.0	21.1
	56.8	3		1 17 22.100	3	+ 4 52 20.63
57	56 Spt. 27	6.33	1	1 18 25.17	33.7	+14 4 28.1
	» 28	6.34	1	25.07	33.8	27.0
	Oct. 11	6.46	1	25.08	34.9	28.2
	56.8	3		1 18 25.107	3	+14 4 27.77
58	56 Oct. 11	6.34	1	1 18 47.61	35.0	+ 9 37 3.6
59	56 Spt. 27	6.15	1	1 20 29.23	34.3	+ 6 56 35.9
	» 28	6.17	1	29.12	34.4	31.9
	56.7	2		1 20 29.175	2	+ 6 56 33.90
60	56 Spt. 27	6.15	1	1 22 3.34	34.1	+ 7 0 41.9
61	56 Spt. 27	6.25	1	1 24 8.71	33.6	+10 52 42.4
	» 28	6.26	1	8.99	33.6	43.6
	Oct. 11	6.38	1	8.60	34.5	45.2
	Nov. 4	6.47	1	8.72	35.2	46.7
	56.8	4		1 24 8.755	4	+10 52 44.48
62	56 Spt. 27	6.25	1	1 24 40.71	33.5	+10 49 10.1
	» 28	6.26	2	40.88 5/4	33.6	10.9
	Oct. 11	6.38	1	40.60	34.4	11.5
	56.8	3		1 24 40.742	3	+10 49 10.83
63	56 Spt. 28	6.18	1	1 27 42.36	33.7	+ 7 30 29.4
	Oct. 11	6.30	1	42.48	34.2	32.9
	56.8	2		1 27 42.420	2	+ 7 30 31.15
64	56 Spt. 28	6.18	1	1 28 32.95	33.5	+ 7 49 23.9
65	56 Spt. 27	6.08	1	1 28 42.08	33.8	+ 4 14 18.7
	» 28	6.10	1	42.03	33.9	19.5
	Oct. 11	6.22	1	41.95	34.2	19.8
	Nov. 4	6.31	2	42.01 3/2	33.9	16.7
	56.8	4		1 28 42.016	4	+ 4 14 18.67

[1] Abl. 35 12 8 6 1/2 ang., womit Mayer's Verwandl. stimmt.

Nr.	Tag	Rectascension Red. 1755	F.	α 1755 G.	Declination Red. 1755	δ 1755
66	56 Spt. 28	6ˢ.18	1	1ʰ32ᵐ29ˢ.14	33″.2	+ 7° 54′ 53″.5
	Oct. 11	6.31	1	29.05	33.8	55.6
	56.8	2		1 32 29.095	2	+ 7 54 54.55
67	56 Spt. 27	5.64	1	1 32 41.30 1/2	35.2	−17 14 7.1
68	56 Spt. 28	6.23	1	1 34 10.94	32.8	+ 9 36 29.5
69	56 Spt. 27	6.22	1	1 37 54.01	32.3	+ 9 49 10.9
	» 28	6.23	1	53.94	32.4	9.3
	Oct. 11	6.37	1	53.93	32.4	13.1
	56.8	3		1 37 53.960	3	+ 9 49 11.10
70	56 Spt. 27	6.47	1	1 40 8.56	31.0	+18 5 2.5
	» 28	6.48	1	8.68	31.1	4 58.8
	Oct. 11	6.63	1	8.16	32.5	59.6
	Nov. 4	6.75	1	8.28	34.2	59.2
	56.8	4		1 40 8.420	4	+18 5 0.02
71	56 Spt. 27	6.47	1	1 40 8.66	31.0	+18 4 50.7
	» 28	6.48	1	8.78	31.1	50.7
	Oct. 11	6.62	1	8.27	32.5	50.2
	Nov. 4	6.75	1	8.48	34.2	51.5
	56.8	4		1 40 8.548	4	+18 4 50.78
72	56 Spt. 27	6.52	1	1 41 9.78	30.6	+19 35 56.8
	Nov. 4	6.81	1	9.47	34.2	56.0
	56.8	2		1 41 9.625	2	+19 35 56.40
73	56 Spt. 27	6.42	1	1 44 0.88	30.8	+16 36 36.6
	» 28	6.43	1	1.08	30.8	36.1
	Oct. 11	6.58	1	0.82		
	Nov. 4	6.72	2	0.95 3/2	33.6	36.9
	56.8	4		1 44 0.934	3	+16 36 36.53
74	56 Spt. 28	6.26	1	1 46 21.58	31.4	+11 5 39.6
	Nov. 4	6.56	1	20.89	32.9	41.7
	56.8	2		1 46 21.235	2	+11 5 40.65
75	56 Spt. 27	7.56	1	1 48 58.26 1/2	26.0	+41 8 26.4
	» 28	7.58	1	58.30	26.2	23.4
	Oct. 11	7.76	1	57.89 1/2	29.2	25.0
	Nov. 4	7.94	1	58.00 [1]	34.1	23.3
	56.8	4 (2 1/2)		1 48 58.150	4	+41 8 24.52
76	56 Spt. 27	5.99	1	1 49 23.32	32.3	+ 1 34 11.0
	» 28	6.00	1	23.71	32.3	9.6
	56.7	2		1 49 23.515	2	+ 1 34 10.30
77	56 Spt. 27	6.59	1	1 52 54.83	28.9	+21 28 5.3
	» 28	6.61	1	55.18	29.1	3.1
	Nov. 4				32.8	4.5
	56.7; 56.8	2		1 52 55.005	3	+21 28 4.30
78	56 Spt. 27	6.62	1	1 53 25.48	28.8	+22 17 29.1
	» 28	6.64	1	25.73	28.9	25.8
	Oct. 11	6.81	1	25.46	30.5	26.8
	Nov. 4	6.97	2	25.29 5/4	32.8	27.6
	56.8	4		1 53 25.448	4	+22 17 27.33
79	56 Spt. 27	6.43	1	1 54 22.17	29.6	+16 51 1.9
	» 28	6.44	1	22.23	29.7	2.0
	56.7	2		1 54 22.200	2	+16 51 1.95
80	56 Spt. 27	6ˢ.48	1	1ʰ57ᵐ 5ˢ.89	29″.0	+18° 19′ 54″.7
81	56 Spt. 28	6.56	1	1 57 41.82	28.7	+20 12 30.3
82	56 Spt. 27	6.54	1	1 59 8.09	28.4	+20 2 48.8
	» 28	6.56	1	7.72 1/2	28.6	46.0
	56.7	2 (1 1/2)		1 59 7.967	2	+20 2 47.40
83	56 Spt. 27	6.34	1	1 59 44.07	29.4	+14 7 6.9
84	56 Spt. 27	6.14	1	2 0 2.72	30.4	+ 7 41 7.8
	» 28	6.15	1	2.86	30.2	9.7
	56.7	2		2 0 2.790	■	+ 7 41 8.75
85	56 Spt. 27	6.49	1	2 4 32.98	28.0	+18 45 15.4
	» 28	6.51	1	32.90	28.1	14.1
	56.7	2		2 4 32.940	2	+18 45 14.75
86	56 Spt. 27	5.77	1	2 7 22.49	31.5	− 5 29 7.1
	» 28	5.87	1	22.41	31.5	8.7 [1]
	56.7	2		2 7 22.450	2	− 5 29 7.90
87	56 Spt. 27	6.18	1	2 11 42.94	28.8	+ 9 29 12.3
	» 28	6.19	1	42.94	28.8	13.4
	56.7	2		2 11 42.940	2	+ 9 29 12.85
88	56 Spt. 27	6.10	1	2 15 9.93	28.8	+ 7 20 53.2
	» 28	6.12	1	9.50	28.8	53.6
	56.7	2		2 15 9.715	2	+ 7 20 53.40
89	56 Spt. 28	6.50	1	2 16 57.20	26.6	+18 45 10.1
90	56 Spt. 28	6.02	1	2 23 2.36	28.4	+ 4 30 36.3
91	56 Spt. 28	6.58	1	2 24 57.67	25.1	+20 53 12.0
	Oct. 11				26.5	10.5
	56.7; 56.8	1		2 24 57.670	■	+20 53 11.25
92	56 Spt. 28	5.86	1	2 26 56.82	28.9	− 0 44 31.3
93	56 Spt. 28	6.50	1	2 28 36.18	25.0	+18 57 8.7
94	56 Spt. 28	6.33	2	2 31 5.48 5/4	25.6	+14 15 33.7
	Oct. 9	6.51	1	5.09	26.5	33.0
	56.8	2		2 31 5.307		+14 15 33.35
95	56 Spt. 27				26.5	+ 9 3 56.0 [2]
	» 28	6.15	1:	2 31 43.64 2/3	26.6	50.4
	Oct. 9				27.1	54.6
	» 11	6.35	1	43.88	27.1	51.5
	56.8	2 (1 2/3)		2 31 43.784	4	+ 9 3 53.12
96	56 Spt. 28	6.40	1:	2 35 40.47 2/3	24.6	+16 25 44.1
	Oct. 9	6.59	1	39.72	25.5	45.0
	» 11	6.62	1	39.90	25.7	45.4
	56.8	3 (2 2/3)		2 35 39.975	3	+16 25 44.83
97	56 Spt. 28	8.66	1	2 37 3.07 [3]	16.6	+51 44 21.1
	Oct. 11	8.98	1	2.81 1/4	19.9	22.5
	56.8	2 (1 1/4)		2 37 3.018	2	+51 44 21.80

[1] Beob. gibt −5° 28′ 58″.4; Abl. +1ᵛ corr. — [2] Beob. +9° 4′ 9″.1; Abl. +1ᵛ corr. — [3] DZ. +1ᵐ corr.

Nr.	Tag	Rectascension Red. 1755	F.	α 1755 G.	Declination Red. 1755	δ 1755
		—			—	
98	56 Spt. 28	6ˢ.31	I	2ʰ38ᵐ 0ˢ.40	24″.8	+14° 3′21″.0
	Oct. 9	6.50	I	0.33	25.6	23.4
	56.8	2		2 38 0.365		+14 3 22.20
99	56 Spt. 28	6.43	I	2 42 5.51	23.6	+17 19 19.2
100	56 Spt. 28	6.41	I	2 42 39.45	23.6	+17 1 47.6
101	56 Spt. 28	6.54	I	2 45 15.31	22.5	+20 20 39.8
	Oct. 9	6.75	I:	15.16 2/3	23.6	37.9
	» 11	6.78	I	15.42	23.8	35.6
	56.8	3 (2 2/3)		2 45 15.314	3	+20 20 37.77
102	56 Spt. 28	6.08	I	2 46 36.57	25.0	+ 7 54 52.6
	Oct. 9	6.27	I	36.65	25.4	54.5
	56.8	2		2 46 36.610	2	+ 7 54 53.55
103	56 Spt. 28	5.91	I	2 49 29.57	25.6	+ 3 6 48.9
	Oct. 9	6.10	I	29.49	25.7	47.1
	56.8	2		2 49 29.530	2	+ 3 6 48.00
104	56 Spt. 28	7.61	I	2 52 18.96	16.8	+39 59 28.8
	Oct. 9	7.86	I	18.71 1/4	18.9	30.6
	» 11				19.3	31.3
	57 Jan. 28	8.57	2	18.74 1/2	31.3	30.2
	56.8	3 (1 3/4)		2 52 18.861	4	+39 59 30.22
105	56 Spt. 28	6.51	I:	2 55 20.34 1/2	21.2	+19 48 20.5:[1] 1/2
106	57 Jan. 28	6.70	I	2 55 41.04	23.5	+18 25 37.2
107	56 Spt. 28	6.46	I	2 57 40.02	21.1	+18 46 54.6
	Oct. 9	6.67	I	39.99	22.1	52.2
	57 Jan. 28	6.73	I	40.11	23.3	51.8
	56.9	3		2 57 40.040	3	+18 46 52.87
108	56 Spt. 28	6.51	I	3 0 51.83	20.4	+20 7 7.9
	Oct. 9	6.73	I	52.08	21.4	6.0
	57 Jan. 28	6.82	I	52.07	23.4	6.1
	56.9	3		3 0 51.993	3	+20 7 6.67
109	56 Spt. 28	7.40	2	3 6 58.64 3/2	12.2	+48 57 55.3
	Oct. 9	8.71	I	57.73 1/4	14.6	55.4
	57 Jan. 28	8.69	I	58.80 1/4	31.9	57.9
	56.8	3 (2)		3 6 58.546	3	+48 57 56.20
110	56 Spt. 28	6.50	I	3 7 7.74	19.4	+20 14 46.8
	Oct. 9	6.73	I	7.47	20.4	40.7
	57 Jan. 28				22.5	43.1
	56.8; 56.9	2		3 7 7.605	3	+20 14 43.53
111	56 Spt. 28	6.48	I	3 8 41.76	19.3	+19 50 50.4
	Oct. 9	6.71	I	41.96	20.3	47.4
	57 Jan. 28	6.87	I	42.04	22.1	45.8
	56.9	3		3 8 41.920	3	+19 50 47.87
112	57 Jan. 28	6.89	I	3 10 21.45	21.9	+19 54 51.7
113	56 Feb. 15	3.26		3 11 39.52 1/2		
	Spt. 28	6.02	I::	39.52 1/4	21.7	+ 8 8 57.2
	Oct. 9	6.23	I	39.46	22.1	55.7
	57 Jan. 28	6.40	I	39.00	17.6	55.5
	56.8; 56.9	4 (2 3/4)		3 11 39.309	3*	+ 8 8 56.13
114	56 Feb. 15	3ˢ.29		3ʰ13ᵐ55ˢ.21 1/2		
	Oct. 9	6.26	I	55.22	21″.6	+ 8°51′36″.5
	57 Jan. 28	6.44	I	55.10	17.5	36.3
	56.8; 56.9	3 (2 1/2)		3 13 55.170	2*	+ 8 51 36.40
115	56 Oct. 9	6.31	I	3 15 15.15	21.1	+10 31 29.9
116	57 Jan. 28	6.75	I	3 15 55.52	19.6	+15 53 57.3
117	56 Fbr. 15	3.35		3 17 3.08 1/2		
	Oct. 9	6.31	I	3.15	20.9	+10 28 36.7
	57 Jan. 28	6.53	I	2.62	17.6	40.2
	56.8; 56.9	3 (2 1/2)		3 17 2.924	2*	+10 28 38.45
118	56 Spt. 28	6.14	I	3 17 22.69	20.0	+12 4 46.1
	Oct. 9	6.37	I	22.96	20.5	44.9
	57 Jan. 28	6.60	I	22.84	18.1	42.8
	56.9	3		3 17 22.830	3	+12 4 44.60
119	56 Fbr. 15	3.31		3 19 21.66		
	Oct. 9	6.23	I	22.15	20.9	+ 8 31 42.4
	57 Jan. 28	6.46	I	22.14	16.5	38.1
	56.8; 56.9	3		3 19 22.048	2*	+ 8 31 40.25
120	57 Jan. 28	6.84	I:	3 20 15.6 1/2	19.4	+17 0 40.8
121	57 Jan. 28	6.75	I	3 24 4.91	17.9	+14 36 23.6
122	56 Oct. 9	6.85	I	3 30 17.39	16.2	+23 29 50.7
	57 Jan. 28	7.22	I	18.25		
	56.9; 56.8	2		3 30 17.820	1	+23 29 50.70
123	56 Fbr. 15	3.78		3 30 22.68		
	» 19	3.71		22.51		
	Spt. 28	6.59	2	22.90 3/2		
	Oct. 9	6.84	I	22.69	16.2	+23 19 17.7
	57 Jan. 28	7.21	I	23.14	19.9	17.9
	56.6; 56.9	5		3 30 22.795	2*	+23 19 17.80
124	56 Oct. 9	6.88	I	3 30 35.47		
125	56 Fbr. 19	3.72		3 30 40.55 1/2		
	Spt. 28	6.61	I	40.82		
	Oct. 9	6.86	I	40.79	16.1	+23 40 35.9
	57 Jan. 28	7.05	I	40.82	20.0	37.2
	56.8; 56.9	4 (3 1/2)		3 30 40.773	2*	+23 40 36.55
126	56 Fbr. 19	3.72		3 31 18.09		
	Spt. 28	6.60	I	18.23	15.0	+23 34 52.9
	Oct. 9	6.86	I	17.78		
	57 Jan. 28	7.24	I	18.22	19.9	49.8
	56.7; 56.9	4		3 31 18.080	2*	+23 34 51.35
127	56 Oct. 9	6.86	I	3 31 21.89	16.0	+23 46 6.5
128	56 Oct. 9	6.86	I	3 31 30.49	16.0	+23 44 30.9
129	56 Oct. 9	6.83	I	3 31 50.49	16.1	+23 9 52.0
130	56 Oct. 9	6.84	I	3 32 50.29	15.9	+23 20 16.1

[1] Beob. +19°48′34″.1; Abl. +1ᵛ corr. nach Vgl. späterer Cat.

Nr.	Tag	Rectascension Red. 1755	F.	α 1755 G.	Declination Red. 1755	δ 1755
131	56 Fbr. 15	3ˢ.80		3ʰ32ᵐ58ˢ.19	7″.0	+23° 19′ 33″.6
	» 19	3.73		58.15	6.8	34.3
	Spt. 28	6.58	I	58.33	14.8	34.6
	Oct. 9	6.84	I	58.29	15.8	33.4
	57 Jan. 28	7.24	I	58.30	19.5	34.4
	56.6	5		3 32 58.252	5	+23 19 34.06
132	56 Fbr. 19	3.74		3 34 38.60		
	Oct. 9	6.83	I	38.80	15.6	+23 16 57.3
	57 Jan. 28	7.25	I:	38.67 1/2	19.5	58.2
	56.6; 56.9	3 (2 1/2)		3 34 38.694	2*	+23 16 57.75
133	56 Fbr. 19	3.74		3 34 39.41		
	Oct. 9	6.84	I	39.69	15.6	+23 21 57.5
	57 Jan. 28	7.25	I::	39.18 1/4		
	56.5; 56.8	3 (2 1/4)		3 34 39.509	1*	+23 21 57.50
134	56 Oct. 9	6.85	I	3 34 48.76	15.5	+23 36 38.4
135	56 Fbr. 15	2.54		3 34 52.89 1/2	M*	+10 22
136	56 Oct. 9	6.51	I	3 39 11.96	16.4	+16 34 34.9
137	56 Fbr. 15	3.82		3 42 25.93	M*	+21 45
138	56 Fbr. 8	3.68		3 47 8.41		
	» 15	3.57		8.60 1/2		
	» 19	3.50		8.30		
	Oct. 9	6.29	I	8.24	16.3	+11 46 37.2[1]
	57 Fbr. 9	6.61	I	8.36 1/2	12.9	36.3
	56.4; 56.9	5 (4)		3 47 8.358	2*	+11 46 36.75
139	56 Fbr. 15	3.86		3 50 15.27		
	» 19	3.79		15.19		
	Oct. 9	6.71	I	15.36	13.6	+21 23 24.8
	57 Fbr. 9	7.09	I	14.94 1/2	15.7	23.1
	56.4; 56.9	4 (3 1/2)		3 50 15.226	2*	+21 23 23.95
140	56 Fbr. 19	3.79		3 50 52.66		
	Oct. 9	6.70	I	52.37	13.5	+21 19 30.6
	57 Fbr. 9	7.09	I	52.44 1/2	15.6	35.0
	56.6; 56.9	3 (2 1/2)		3 50 52.500	2*	+21 19 32.80
141	56 Oct. 9	7.07	I	3 51 54.52	11.6	+28 18 55.7
	57 Fbr. 9	7.48	I	54.73 1/2	17.9	57.3
	56.9	2 (1 1/2)		3 51 54.590	2	+28 18 56.50
142	56 Fbr. 19	3.74		3 54 55.85[2]		
	Oct. 9	6.58	I	55.94	13.4	+18 56 23.4
	57 Fbr. 9	7.00	I	55.90 3 1/2		
	56.6; 56.8	3 (2 1/2)		3 54 55.896	1*	+18 56 23.40
143	56 Fbr. 19	3.96		3 55 57.25		
	Oct. 9	6.92	I	57.81	11.6	+25 49 7.4
	56.5; 56.8	2		3 55 57.530	1*	+25 49 7.40
144	56 Fbr. 15	3.90		4 2 56.32		
	» 16	3.88		56.38		
	» 19	3.82		55.99		
	Oct. 9	6.60	I	56.47	11.9	+19 57 10.8
	56.3; 56.8	4		4 2 56.290	1*	+19 57 10.80

[1] Beob. 50″.8; ZD. +1ᵛ corr. — [2] Beob. 54ˢ.85; +1ˢ ang. — [3] F. 4 st. 5 ang.

Nr.	Tag	Rectascension Red. 1755	F.	α 1755 G.	Declination Red. 1755	δ 1755
145	56 Fbr. 8	3ˢ.85		4ʰ 4ᵐ 1ˢ.681	2″.2	+13° 12′ 29″.4
146	56 Fbr. 15	4.13		4 5 19.89		
	» 16	4.11		20.17		
	» 19	4.05		19.88		
	Oct. 9	6.94	I	19.92	9.8	+26 44 28.7
	56.3; 56.8	4		4 5 19.965	1*	+26 44 28.70
147	56 Fbr. 9	3.87		4 5 53.10		
	» 15	3.77		52.85		
	» 16	3.75		52.63		
	» 19	3.70		52.62		
	» 27	3.56		52.82		
	Oct. 9	6.37	I	53.23	12.7	+15 0 51.0
	56.2; 56.8	6		4 5 52.875	1*	+15 0 51.00
148	56 Oct. 9	6.30	I::	4 6 11.1 1/4	13.1	+13 25 19.4
149	56 Fbr. 19	3.69		4 6 44.69	M*	+14 29
150	56 Oct. 9	6.29	I	4 7 7.85	13.0	+13 15 22.1
151	56 Fbr. 15	4.09		4 7 43.09[2]		
	» 16	4.07		42.99		
	56.1	2		4 7 43.040	M*	+25 1
152	56 Fbr. 8	3.85		4 8 16.66	0.3	+13 28 32.7
	Oct. 9	6.30	I	16.86	12.7	31.1
	56.4	2		4 8 16.760	2	+13 28 31.90
153	56 Fbr. 16	3.82		4 8 50.18		
	» 19	3.77		50.57		
	» 27	3.63		50.36		
	Oct. 9	6.44	I	50.63	11.8	+16 56 43.4
	56.3; 56.8	4		4 8 50.435	1*	+16 56 43.40
154	56 Fbr. 15	3.84		4 10 0.27		
	» 16	3.83		0.59		
	» 19	3.78		0.49		
	» 27	3.63		0.36		
	Oct. 9	6.44	I	0.60	11.6	+16 51 19.3
	56.3; 56.8	5		4 10 0.462	1*	+16 51 19.30
155	56 Fbr. 15	3.87		4 11 20.75		
	» 16	3.85		21.09		
	» 19	3.80		20.78		
	Oct. 9	6.46	I	21.25	11.3	+17 20 40.6
	56.3; 56.8	4		4 11 20.968	1*	+17 20 40.60
156	56 Fbr. 8	4.14		4 11 [39.29][3]		
	» 16	4.02		40.73		
	56.1	1		4 11 40.730	M*	+22 14
157	56 Fbr. 26	3.61		4 12 24.50	M*	+15 2
158	56 Fbr. 16	4.02		4 12 40.74		
	» 19	3.96		40.44		
	56.1	2		4 12 40.590	M*	+22 25
159	56 Fbr. 27	3.57		4 12 47.14		
	Oct. 9	6.31	I	47.85	11.9	+14 8 16.9
	56.5; 56.8	2		4 12 47.495	1*	+14 8 16.90

[1] Wahrsch. 0ˢ.10. S. Cat.-Vgl. — [2] Beob. 42ˢ.09; +1ˢ ang. — [3] Weit ausserhalb der Zone, Aufstell. unbek.

Nr.	Tag	Rectascension Red. 1755	F.	α 1755 G.	Declination Red. 1755	δ 1755
		—				
160	56 Fbr. 15	3ˢ.92		4ʰ14ᵐ20ˢ.74		
	» 19	3.85		20.40		
	» 27	3.71		20.56		
	Oct. 9	6.50	1	20.61	−10″.5	+18° 36′ 50″.4
	57 Fbr. 15	7.01	1	20.47	−10.1	51.5
	56.5; 57.0	5		4 14 20.556	2*	+18 36 50.95
161	56 Fbr. 16	3.78		4 14 32.42	M*	+14 10
162	56 Fbr. 8	3.94		4 14 36.93		
	» 9	3.93		36.55		
	» 16	3.64		36.61		
	Oct. 9	6.36	3	36.38 2	−11.3	+15 23 42.0
	56.4; 56.8	4		4 14 36.570	1*	+15 23 42.00
163	56 Fbr. 8	3.94		4 14 42.55		
	» 9	3.93		42.65		
	» 26	3.63		42.33		
	Oct. 9	6.35	1	42.40	−11.3	+15 18 16.5
	56.3; 56.8	4		4 14 42.482	1*	+15 18 16.50
164	57 Fbr. 15	7.06	1	4 15 57.63	−10.5	+19 17 1.7
165	56 Fbr. 19	3.76		4 16 11.81 (:)		
166	56 Fbr. 16	3.83		4 16 34.18		
	» 19	3.78		34.17		
	» 26	3.65		34.01		
	Oct. 9	6.36	1	34.27	−10.9	+15 38 16.6
	57 Fbr. 15	6.88	1	34.02	− 9.1	18.8
	56.5; 57.0	5		4 16 34.130	2*	+15 38 17.70
167	56 Fbr. 19	3.76		4 16 42.16	M*	+15 8
168	56 Oct. 9	6.36	1	4 16 47.57	−10.9	+15 35 37.2
	57 Fbr. 15	6.88	1	47.32	− 9.1	40.0
	57.0	2		4 16 47.445	2	+15 35 38.60
169	56 Fbr. 19	3.80		4 19 38.96		
	Dec. 12	7.38	1	38.66	−10.2	+15 47 0.8
	57 Fbr. 15	6.91	1	38.77	− 8.6	5.1
	56.7; 57.0	3		4 19 38.803	2*	+15 47 2.95
170	56 Fbr. 26	3.63		4 19 58.58	M*	+14 18
171	56 Fbr. 24	3.83		4 21 23.06	M*	+19 21
172	56 Fbr. 8	4.01		4 21 53.53	+ 0.3	+15 59
	» 9	3.99		53.39	+ 0.3	
	» 15	3.89		53.47	+ 0.5	
	» 16	3.87		53.43	+ 0.5	34.9
	» 19	3.82		53.59	+ 0.6	38.5
	» 24	3.70			+ 0.8	38.6
	» 26	3.70		53.42		
	» 27	3.68		53.44		
	Mrz. 10					
	» 14	3.38		53.87 1/2		
	Apr. 2					
	» 12					
	Mai 1					
	» 21					
	Juni 8					
	Spt. 9	5.52	5	53.52	+ 0.4	38.3
	Oct. 9	6.36	5	53.72 2	− 8.3	35.7
	Dec. 12	7.39	5	53.62 2	−10.0	34.9
57	Fbr. 15	6.93	5	53.60 2	− 9.8	37.7
	Fbr. 25	6.75	3		− 8.3	35.2
	Mrz. 10	6.52	5		− 8.1	34.3
					− 7.7	

Nr.	Tag	Rectascension Red. 1755	F.	α 1755 G.	Declination Red. 1755	δ 1755
		—			—	
(172)	57 Mrz. 27	6ˢ.23	5		7″.5	+15° 59′ 34″.2
	Apr. 6	6.09	5	4ʰ21ᵐ54ˢ.09 1/4	7.2	36.3
	» 19	5.96	5		7.1	37.9
	58 Mrz. 15	9.58	5			
	Apr. 1	9.31	5			
	56.5; 56.8	13		4 21 53.568	12	+15 59 36.38
173	56 Fbr. 19	3.82		4 24 10.18		
	» 26	3.69		9.62		
	» 27	3.68		9.46		
	Dec. 12	7.37	1	9.61	9.4	+15 31 8.2
	56.4; 57.0	4		4 24 9.718	1*	+15 31 8.20
174	56 Fbr. 8	4.00		4 25 11.03		
	» 19	3.82		11.66		
	» 24	3.73		11.69		
	» 26	3.69		11.60		
	» 27	3.68	::	[10.84 1/4]		
	Oct. 9	6.31	1	11.64	9.7	+15 17 38.3
	Dec. 12	7.36	1	11.60	9.2	37.7
	57 Fbr. 15	6.92	1	11.42	7.5	39.5
	56.5; 57.0	7		4 25 11.520	3*	+15 17 38.50
175	56 Fbr. 8	4.01		4 25 17.53		
	» 24	3.73		17.11		
	» 26	3.70		17.19		
	» 27	3.68		17.46		
	Spt. 9	5.48	1	17.20 1/2	8.1	+15 24 31.3
	Oct. 9	6.32	1	17.41	9.6	35.1
	Dec. 12	7.37	1	17.39	9.2	34.5
	57 Fbr. 15	6.92	1	17.23	7.5	37.0
	56.5; 56.9	8 (7 1/2)		4 25 17.323	4*	+15 24 34.48
176	56 Fbr. 15	4.13		4 27 34.65		
	» 16	4.11		34.56		
	» 19	4.05		34.45		
	» 24	3.96		34.18		
	Spt. 9	5.76	1	34.38 1/2	5.3	+22 27 50.6
	Oct. 9	6.64	1	34.43	7.3	49.1
	56.3; 56.7	6 (5 1/2)		4 27 34.447	2*	+22 27 49.85
177	56 Fbr. 19	3.95		4 32 0.18		
	» 24	3.86		0.11		
	» 26	3.82		31 59.99		
	» 27	3.80		32 0.05		
	Dec. 12	7.53	1	31 59.98	8.2	+18 16 3.8
	57 Fbr. 15	7.11	1	32 0.22	7.4	4.7
	56.4; 57.0	6		4 32 0.088	2*	+18 16 4.25
178	56 Fbr. 9	3.91		4 32 24.95		
179	56 Fbr. 16	4.01	::	4 34 23.72 1/4		
	» 24	3.87		22.94		
	» 26	3.84		23.02 [1]		
	Dec. 12	7.54	1	23.05	7.8	+18 16 37.4
	56.4; 57.0	4 (3 1/4)		4 34 23.058	1*	+18 16 37.40
180	56 Fbr. 15	4.05		4 37 4.27		
	» 16	4.03		3.75		
	» 24	3.89		3.98		
	» 26	3.85		4.47		
	» 27	3.84		4.00		
	Dec. 12	7.55	1	4.00	7.3	+18 23 54.8
	57 Fbr. 15	7.15	1	3.60 1/2	6.5	53.9
	56.3; 57.0	7 (6 1/2)		4 37 4.042	2*	+18 23 54.35

[1] DZ. +1ᵐ corr.

Nr.	Tag	Rectascension Red. 1755	F.	α 1755 G.	Declination Red. 1755	δ 1755
181	56 Fbr.16	3.90		4h38m41.68		
	Oct. 9	6.20	1	42.12	− 8.0	+13°49′ 9.9
	Dec.12	7.31	1	41.83	− 6.7	8.1
	56.6; 56.9	3		4 38 41.877	2*	+13 49 9.00
182	56 Fbr.24	3.85		4 39 54.95	M*	+16 35
183	56 Fbr.26	3.90		4 40 35.86		
	» 27	3.88		35.71 [1]		
	56.2	2		4 40 35.785		
184	56 Dec.12	7.43	1	4 40 52.02	− 6.5	+15 57 52.4
185	56 Fbr. 8	3.99		4 41 3.25		
	» 9	3.97		3.72		
	56.1	2		4 41 3.485		
186	56 Dec.12	7.44	1	4 41 15.42	− 6.4	+16 12 6.2
187	56 Fbr.15	4.25		4 42 58.50		
	» 16	4.23		58.52		
	Dec.12	7.86	1	58.77	− 6.5	+23 32 30.1
	56.4; 57.0	3		4 42 58.597	1*	+23 32 30.10
188	56 Fbr.24	3.88		4 43 14.76		
	» 26	3.84		14.86		
	» 27	3.82		14.70		
	57 Fbr.24	6.95	1	14.50	− 4.7	+16 44 40.9
	56.4; 57.1	4		4 43 14.705	1*	+16 44 40.90
189	56 Juli 23				+ 6.0	+43 25 [63.7]s.p.
	Spt. 9	6.82	3	4 44 26.61 [2]	+ 4.4	53.1
	Oct. 9				+ 1.6	50.2
	57 Fbr.15	8.92	3	26.84	−13.6	51.4
	56.9	2		4 44 26.725	3	+43 25 51.83
190	56 Dec.12	7.34	1	4 45 6.75	− 5.6	+14 8 42.7
191	56 Spt. 9	6.63	1	4 45 24.10 1/2	+ 5.6	+40 41 22.7
	Oct. 9				+ 0.9	20.1
	57 Fbr.15	8.68	3	23.88	−12.6	21.7
	57.0; 56.9	2 (1 1/2)		4 45 23.953	3	+40 41 21.57
192	56 Fbr.27	3.80		4 45 42.20	M*	+15 31
193	57 Fbr.19	8.63	1	4 46 9.89 1/4	−12.6	+41 3 30.5
194	56 Fbr.15	4.21		4 48 28.49		
	» 16	4.19		28.66		
	» 24	4.04		28.72		
	» 26	4.01		28.57		
	» 27	3.99		28.82		
	56.1	5		4 48 28.652	M*	+21 12
195	56 Juli 23				+ 5.8	+40 52 [31.9]s.p.
	Spt. 9	6.61	3	4 49 23.13	+ 4.3	24.7
	Oct. 9				+ 1.7	24.6
	Dec.12	9.20	2	22.43 1/4	− 6.0	25.7
	57 Fbr.15	8.73	3	22.59	−11.9	24.7
	» 24	8.52	2	22.44 1/2	−12.0	25.9
	57.0; 56.9	4 (2 3/4)		4 49 22.745	5	+40 41 25.28
196	56 Fbr.24	4.04		4 49 47.14		
	» 26	4.00		47.39		
	» 27	3.99		47.14		
	56.2	3		4 49 47.224	M*	+20 54

[1] DZ. − 1m corr. — [2] Letzter Fad. +2s corr.

Nr.	Tag	Rectascension Red. 1755	F.	α 1755 G.	Declination Red. 1755	δ 1755
197	56 Fbr. 9	4.12		4h50m35.37		
	» 16	4.00		35.23		
	56.1	2		4 50 35.300	M*	+15° 2′
198	56 Fbr.26	3.97		4 51 7.13		
	» 27	3.95		6.98		
	57 Fbr.24	7.14	1	6.81	− 4.3	+19 26 42.7
	56.5; 57.2	3		4 51 6.974	1*	+19 26 42.7
199	56 Fbr.16	4.12		4 52 59.44		
	» 24	3.98		59.80		
	» 26	3.94		59.68		
	» 27	3.92		59.63		
	57 Jan. 2	7.65	1	59.63 [1] [2]	− 4.1	+18 17 31.1
	Fbr.24	7.09	1	59.55	− 3.5	29.3
	56.4; 57.1	6 (5 1/2)		4 52 59.621	2*	+18 17 30.20
200	56 Fbr.16	4.18		4 53 19.90		
	» 24	4.04		20.08		
	56.1	2		4 53 19.990	M*	+20 4
201	56 Fbr.16	4.04		4 55 41.91		
	Dec.12	7.41	1:	[41.00:]	− 3.7	+15 15 40.8
	57 Fbr.24	6.95	1	41.93	− 2.0	37.5
	56.6; 57.0	2		4 55 41.920	2*	+15 15 39.15
202	56 Fbr. 8	3.60		4 55 [48.55] [1]		
	» 9	3.59		49.11 2 1/2		
203	56 Fbr.16	5.35		4 58 37.75 1/4	− 5.5	+45 43 2.0
	» 19	5.28		37.58 »	− 5.6	2.4
	» 24	5.15		37.76 »	− 5.7	2.4
	» 26	5.10		37.70 »		
	» 27	5.08		38.05 »		
	Mrz.10	4.79				
	» 14	4.65		37.82 1/4		
	Apr. 2	4.18				
	» 23	3.81				
	Mai 1	3.73				
	» 30	3.75	5		+ 3.0	[42 57.5]
	Juni 8	3.86	5		+ 4.1	
	» 20	4.08	1	38.42 1/4	+ 5.4	[42 56.4]
	Juli 17	4.83	3		+ 7.5	43 2.1 1/2
	» 23	5.05	5		+ 7.8	[9.8]s.p.
	» 24	5.07	1:		+ 7.8	[42 59.6:] Q.N.
	» 29	5.27	1		+ 7.9	[43 5.1]s.p.
	Spt. 9	6.89	4	38.21	+ 7.2	3.2
	Oct. 9	8.08	3	37.33 1/4	+ 4.7	1.6
	Dec. 5	9.66	1			
	» 12	9.75	2	37.70 1/4	− 4.1	3.9
57	Jan. 2	9.86	3	37.81 »	− 7.3	4.8
	Fbr.19	9.17	5	37.50 »	−11.8	2.6
	» 24	9.05	5	37.61 »	−11.9	3.9
	Mrz. 6	8.79	5	37.89 »	−12.0	2.2
	» 10	8.68	5		−11.9	2.2
	Apr. 6	8.02	5	37.44 1/4	−10.2	1.6
	» 19	7.79	5		− 8.8	3.9
	» 26	7.71	1			
58	Mrz.15	12.57	5			
	» 31	12.18	5	37.69 1/2	−18.0	
	Apr. 1	12.16	5		−17.2	
	Juni 25	12.18	5		− 8.1	4.4 1/2
	56.9	16 (5)		4 58 37.828	15 (14)	+45 43 2.85

[1] Ausserh. Zone, Aufst. unbek. — [2] Mit Corr. F. 5 st. 3 red.

Nr.	Tag	Rectascension Red. 1755	F.	α 1755 G.	Declination Red. 1755	δ 1755
204	56 Fbr.19	3ˢ.81		5ʰ 0ᵐ29ˢ.16 1/2		
205	56 Dec.12	7.78	1	5 0 45.47	− 3″.1	+21°58′46″.8
206	56 Fbr. 9	3.54		5 2 46.67 1/4		
	» 27	3.24		46.67		
	Apr.23	2.32				
	Juni 8	2.30	1::			
	» 20	2.44	2	46.75 1/4		
	Juli 17	2.95	5		− 3.8	− 8 30 20.2 1/2
	Spt. 9	4.38	5	46.24 2	−10.8	18.4
	Oct. 9	5.22	5	46.12 1/2	−10.6	18.8
	Dec.12	6.37	4	46.39 2	− 1.6	16.6
	57 Jan. 2	6.44	4	45.95 1/2	+ 1.9	17.3
	» 3	6.44	4	46.57	+ 2.1	20.7
	Fbr.19	5.95	5	46.59 2	+ 6.9	17.7
	» 24	5.85	5	46.62 1/2	+ 7.1	19.7
	Mrz. 6	5.68	5	46.48 2	+ 7.4	19.7
	Apr. 6	5.13	5	46.49 1/4	+ 6.4	19.6
	» 9	5.08	5	46.50	+ 6.2	21.8
	» 18	4.97	5		+ 5.4	19.7
	» 19	4.95	2			
	58 Mrz.15	8.08	5			
	» 31	7.90	5	46.05 1/2		
	Apr. 1	7.88	5			
	Juni25	7.81	4		−12.8	20.1 1/2
	56.9; 57.1	14(13 3/4)	5	2 46.436	13 (12)	− 8 30 19.18
207	56 Fbr.19	4.24		5 4 34.55		
	» 24	4.15		34.56		
	57 Fbr.24	7.35	1	34.63	− 2.7	+21 49 4.2
	56.5; 57.2	3		5 4 34.580	1*	+21 49 4.20
208	57 Jan. 3	7.78	1	5 4 45.64	− 2.2	+19 51 10.2
	Fbr.24	7.24	1	45.88	− 2.0	8.2
	57.1	2		5 4 45.760	2	+19 51 9.20
209	56 Fbr.24	4.36	::	5 5 35.87[1] 1/4	M*	+27 40
210	57 Jan. 3	7.75	1	5 5 52.70	− 1.9	+19 18 12.1[2]
	Fbr.19	7.31	1	52.88	− 1.6	10.8
	57.1	2		5 5 52.790	2	+19 18 11.45
211	56 Dec.12	7.65	1	5 6 28.99	− 1.9	+19 32 33.3
	57 Jan. 3	7.77	1	28.98	− 1.8	27.8
	Fbr.19	7 32	1	29.96	− 1.6	27.2
	57.0	3		5 6 29.310	3	+19 32 29.43
212	57 Fbr.19	7.87	1	5 7 53.26 1/2	− 4.5	+28 40 35.4
	» 24	7.78	1	53.11	− 4.5	42.4
	57.1	2 (1 1/2)		5 7 53.160	2	+28 40 38.90
213	56 Fbr. 9	4.68		5 10 49.37 1/2		
	» 19	4.51		49.80		
	» 24	4.42		49.60		
	» 27	4.36		49.85		
	Mrz. 8	4.15		49.60		
	» 14	4.03		50.21 1/2		
	Apr.23	3.35				
	Spt. 9	5.78	3	49.59	+ 2.9	+28 22 26.0
	Dec.12	8.20	1	49.80	− 1.3	24.9
	57 Jan. 2	8.33	4	50.17 1/2		
	» 3	8.34	5	49.43 2	− 2.3	31.2
	Fbr.19	7.87	4	49.61	− 3.8	25.0

[1] Ang. F. 5; s. Cat.-Vgl. — [2] Abl. 34ᴰ 5ᵖ 13ᵛ.1 ang.; Mittel der beiden δ bleibt indess 4″ zu gross.

Nr.	Tag	Rectascension Red. 1755	F.	α 1755 G.	Declination Red. 1755	δ 1755
(213)	57 Fbr.24	7ˢ.78	5	5ʰ10ᵐ49ˢ.56 2	− 3″.9	+28°22′24″.8
	Mrz. 6	7.58	4	50.20 1/2	− 3.9	22.7
	58 Mrz.31	10.56	4	50.48 1/2		
	56.7; 57.0	14(13 1/2)		5 10 49.706	6	+28 22 25.77
214	56 Fbr. 8	3.98		5 12 0.33		
	» 27	3.68		0.28		
	Spt. 9	5.78	3	0.29	− 4.8	+ 6 6 18.2
	Dec.12	6.98	4	0.22 2	− 0.6	22.5
	57 Fbr.12	6.78	3	0.45 2	+ 3.7	17.7
	» 19	6.68	3	0.16 2	+ 3.9	16.3
	» 24				+ 4.1	20.2
	Mrz. 6	6.42	3	0.26 2	+ 4.2	18.1
	Apr. 9	5.83	5	0.17		
	58 Mrz.31	8.94	3	0.21 2		
	57.1; 57.0	9		5 12 0.262	6	+ 6 6 18.83
215	57 Jan. 3	7.68	2	5 12 53.75 3/2	− 0.3	+17 43 32.7
	Fbr.19	7.26	1	53.96	+ 0.2	35.5
	57.1	2		5 12 53.834	2	+17 43 34.10
216	56 Fbr.19	4.28		5 12 56.04		
	» 24	4.19		56.84 1/2		
	Mrz. 8	3.94		56.23		
	56.2	3 (2 1/2)		5 12 56.276	M*	+21 42
217	56 Fbr.19	4.69		5 16 48.23		
	» 24	4.59		48.34		
	Mrz. 8	4.31		48.16		
	56.2	3		5 16 48.243	M*	+31 58
218	56 Fbr.27	2.99		5 17 45.43[1] 1/2		
	Mrz.14	2.66		45.23[1] »		
	Dec.12	7.06	1	44.55 »	+ 0.9	−20 58 21.9
	57 Jan. 3	5.97	3	45.38 »	+ 5.9	23.1
	Fbr.19	5.44	3	45.27	+12.8	23.4
	56.8; 57.0	5 (3)		5 17 45.188	3*	−20 58 22.80
219	56 Fbr.19	4.27		5 19 5.81		
	Mrz. 8	3.93		5.84		
	56.2	2		5 19 5.825	M*	+20 16
220	56 Fbr. 9	3.83		5 19 29.54 1/2		
	» 24	3.59		30.02 1/2	+12.2	− 0 30 9.7
	» 27	3.54		29.92		
	Mrz.14	3.25		30.18		
	Spt. 9	4.59	1	30.33	− 6.0	9.6
	Dec.12	6.70	1	29.99	+ 0.7	10.2
	57 Jan. 3	6.82	3	30.08	+ 3.5	9.4
	Fbr.12	6.52	4	30.13 2	+ 7.0	9.3
	» 19	6.41	5	30.17 2	+ 7.4	9.8
	» 24				+ 7.5	10.1
	Mrz. 6	6.15	2	30.05 3/2	+ 7.8	9.4
	Apr. 9	5.55	5	30.08		
	58 Mrz.31	8.53	3	29.98 2		
	57.0; 56.9	12		5 19 30.069	8	− 0 30 9.69
221	57 Jan. 2	7.50	1	5 19 59.59 1/2		
222	56 Fbr.27	3.10		5 21 55.82 1/2		
	Mrz.14	2.77		55.88 »		
	Dec.12	6.01	1	56.38 »	+ 1.3	−18 0 59.5
	57 Jan. 3	6.10	3	55.82 »	+ 6.2	1 1.8
	56.6; 57.0	4 (2)		5 21 55.975	2*	−18 1 0.65

[1] DZ. −1ᵐ corr.

Nr.	Tag	Rectascension Red. 1755	F.	α 1755 G.	Declination Red. 1755	δ 1755
223	56 Fbr. 9	4ˢ.46		5ʰ23ᵐ 0ˢ.90		
	» 19	4.31		0.85		
	» 24	4.22		0.89		
	Mrz. 8	3.98		1.41 1/2		
	57 Jan. 2	7.89	2	1.04 1/2		
	Fbr. 19	7.50	3	[1.17 2][1]	+ 1″.0	+20° 58′ 6″.4
	56.2; 57.1	5 (4)		5 23 0.966	1*	+20 58 6.40
224	56 Fbr. 24	3.59		5 23 47.45 1/2	+12.8	− 1 22 49.0
	» 27	3.54		47.56		
	Mrz. 8	3.36		47.75 1/2		
	Spt. 9	4.53	2	47.70 3/2	− 5.7	46.6
	Dec. 12	6.66	1	47.56	+ 1.4	42.8
	57 Jan. 3	6.79	2	47.45 3/4	+ 4.4	44.1
	Fbr. 12	6.50	5	47.57 2	+ 8.0	48.0
	Mrz. 6	6.13	3	47.53 2	+ 8.8	46.1
	Apr. 9	5.53	4	47.74		
	58 Mrz. 31	8.49	1	47.46		
	57.0; 56.8	10		5 23 47.579	6	− 1 22 46.10
225	56 Fbr. 19	4.48		5 24 34.23	M*	+25 44
226	56 Fbr. 19	3.66		5 26 27.32 1/4		
	» 24	3.57		27.32 1/2		
	» 27	3.52		27.73		
	Mrz. 8	3.34		27.64 1/2		
	» 14	3.22		27.41		
	Dec. 12	6.61	1	27.64	+ 1.8	− 2 45 45.3
	57 Fbr. 19	6.34	1	27.63	+ 9.3	45.3
	Mrz. 6	6.08	3	27.49 2	+ 9.7	48.1
	56.7; 57.1	8 (7 1/4)		5 26 27.545	3*	− 2 45 46.23
227	56 Fbr. 24	3.60		5 28 24.75 1/2	+13.5	− 2 5 37.7
	» 27	3.55		24.56		
	Mrz. 8	3.36	:	24.27 1/4		
	» 9	3.35				
	» 14	3.25		24.45		
	Spt. 9	4.48	1	24.57	− 5.3	34.0
	Dec. 12	6.63	1	24.71	+ 2.1	34.6
	57 Jan. 3	6.77	3	24.45	+ 5.2	37.6
	Fbr. 12	6.49	4	24.25 2	+ 9.0	39.1
	» 19	6.38	3	24.48 2	+ 9.4	38.1
	Mrz. 6	6.12	4	24.48 2	+ 9.8	36.8
	58 Mrz. 31	8.47	5	24.17 2		
	57.0; 56.9	11		5 28 24.432	7	− 2 5 36.85
228	56 Mrz. 8	3.94		5 30 49.11		
	» 9	3.93		49.16 1/2		
	56.2	2 (1 1/2)		5 30 49.127	M*	+18 34
229	57 Fbr. 19	5.44	2	5 31 56.34 3/4	+15.5	−22 30 38.7
230	56 Fbr. 19	4.33		5 32 23.89	M*	+20 9
231	57 Jan. 3	8.13	1	5 32 54.10	+ 2.7	+24 33 48.3[2]
232	56 Mrz. 8	3.93		5 33 9.62		
	» 9	3.91		9.87 1/2		
	56.2	2 (1 1/2)		5 33 9.703	M*	+17 36
233	56 Fbr. 24	3.94		5 33 26.04[3]	M*	+ 9 24[3]
234	56 Fbr. 19	4.36	:	5 33 45.91 1/2	M*	+20 45

[1] Fäden stimmen nicht. — [2] ZD. st. 28 12 1.7 wohl zu lesen 28 12 0.1 3/4, Decl. +24° 34′ 9″.4. — [3] Corr. Beob., s. Cat.-Vgl.

Nr.	Tag	Rectascension Red. 1755	F.	α 1755 G.	Declination Red. 1755	δ 1755
235	57 Jan. 3	8ˢ.13	1	5ʰ33ᵐ59ˢ.79	+ 2″.9	+24° 27′ 30″.8
236	56 Fbr. 27	3.10		5 34 13.97 1/2		
	57 Fbr. 12	5.62	1	14.65	+15.2	−22 31 17.1
	56.8; 57.1	2 (1 1/2)		5 34 14.423	1	−22 31 17.10
237	56 Fbr. 27	3.10		5 34 15.56 1/2		
	Mrz. 14	2.76		15.69 1/2		
	57 Fbr. 12	5.62	1	15.95[1]	+15.2	−22 32 45.7
	» 19	5.50	4	15.39	+15.9	48.6
	56.8; 57.1	4 (3)		5 34 15.655	2*	−22 32 47.15
238	56 Fbr. 27	3.40		5 36 8.82		
	Mrz. 14	3.09		8.98		
	Spt. 9	4.15	2	8.49 3/2	− 5.6	− 9 46 39.8
	57 Fbr. 12	6.18	3	8.67 2	+12.4	40.1
	» 19	6.07	2	8.60 3/2		
	Mrz. 6	5.80	4	8.62 2	+13.6	36.8
	56.9; 57.0	6		5 36 8.668	3*	− 9 46 38.90
239	56 Fbr. 19	4.36		5 38 46.40	M*	+20 12
240	56 Fbr. 19	4.36		5 39 52.72		
	» 24	4.28		52.49		
	Mrz. 8	4.04		52.92		
	» 9	4.02		53.07 1/2		
	56.1	4 (3 1/2)		5 39 52.761	M*	+20 12
241	57 Jan. 3	7.85	1	5 40 26.85	+ 3.9	+19 40 33.0
242	56 Juli 23	4.75	1	5 41	+11.1	+44 53 [35.2]s.p.
	Spt. 9	6.47	2	34.61 3/4	+12.6	26.0[2]
	57 Fbr. 12				− 2.7	29.0
	» 19	9.40	3	33.66 1/4	− 3.2	28.7
	56.8; 57.0	2 (1)		5 41 34.367	3	+44 53 27.90
243	56 Fbr. 27	3.83		5 41 54.50		
	Mrz. 14	3.58		54.69		
	Apr. 19	2.97				
	» 23	2.92				
	Spt. 9	4.75	1	55.31	− 0.3	+ 7 20 [21.3]
	57 Fbr. 12	6.99	4	55.01 2	+ 8.6	15.8
	» 19	6.89	3	54.88 2	+ 8.8	18.5
	Mrz. 6	6.64	4	55.05 2	+ 9.1	20.4
	Apr. 9	6.04	5	54.98	+ 8.8	*14.3*
	Jun. 17	5.83	3		+ 4.1	
	58 Mrz. 31	9.19	5	54.93		
	Jun. 24	8.92	3			
	» 25	8.94	4		− 0.6	16.9:: 1/4
	» 27	8.97	4		− 0.9	13.6 1/2
	57.1; 57.2	8		5 41 54.935	6(4 3/4)	+ 7 20 16.87
244	56 Fbr. 19	4.58		5 42 48.08		
	Mrz. 8	4.24		48.11		
	» 9	4.22		48.35 1/2		
	58 Mrz. 16	10.86	4	48.05 1/2		
	56.7	4 (3)		5 42 48.130	M*	+25 53
245	56 Mrz. 8	4.16		5 45 37.27	M*	+22 51
246	56 Mrz. 8	4.14		5 46 54.39	M*	+22 22

[1] F. 3 beob., 40ᵐ zu lesen. — [2] Beob. 39″.4; Corr. ZD. +1ᵛ ang.

Nr.	Tag	Rectascension Red. 1755	F.	α 1755 G.	Declination Red. 1755	δ 1755
		—				
247	56 Fbr. 17	4ˢ.42		5ʰ 48ᵐ 57ˢ.32		
	57 Jan. 3	7.86	3	57.68 2	+ 6″.3	+19° 40′ 5″.2 [1]
	58 Mrz. 16	10.39	1	57.21 1/2		
	56.9; 57.0	3		5 48 57.510	1*	+19 40 5.20
248	56 Fbr. 19	4.51		5 49 14.15		
	» 24	4.43		14.14		
	Mrz. 8	4.18		14.02		
	56.1	3		5 49 14.103	M*	+23 15
249	56 Fbr. 17	4.44		5 49 22.63		
	» 19	4.40		22.48 2		
	» 24	4.52		22.50		
	56.1	3		5 49 22.537	M*	+20 7
250	56 Fbr. 19	4.51		5 52 57.38		
251	57 Jan. 3	8.01	1	5 54 46.90	+ 7.2	+22 12 11.4
252	56 Fbr. 17	4.56		5 54 51.74		
	» 19	4.53		51.89		
	56.1	2		5 54 51.815	M*	+23 7
253	56 Fbr. 19	4.53		5 55 39.06	M*	+23 1
254	57 Jan. 3	8.15	1	5 56 31.07	+ 7.3	+24 26 53.8
255	56 Fbr. 17	4.56		5 57 28.20		
	» 19	4.53		28.24		
	Mrz. 8	4.21		28.31		
	56.1	3		5 57 28.250	M*	+22 56
256	57 Jan. 3	7.88	1	5 57 31.03	+ 7.9	+19 49 8.2
257	56 Fbr. 17	4.56		6 0 5.43		
	» 19	4.53		5.47		
	» 24	4.45		5.26		
	Mrz. 8	4.22		5.40		
	57 Jan. 3	8.04		5.62	+ 8.2	+22 33 6.5
	58 Mrz. 16	10.68	5			
	56.3; 57.0	5		6 0 5.436	1*	+22 33 6.50
258	57 Jan. 3	7.84	1	6 0 25.97	+ 8.5	+19 12 51.0
259	56 Mrz. 8	4.27		6 1 21.00	M*	+24 1
260	56 Fbr. 17	4.61		6 2 1.76		
	Mrz. 8	4.26		2.06		
	56.2	2		6 2 1.910	M*	+23 45
261	56 Fbr. 24	4.51		6 3 58.97		
	Mrz. 8	4.27		58.75		
	56.2	2		6 3 58.860	M*	+23 40
262	56 Fbr. 24	4.50		6 4 24.71	M*	+23 32
263	56 Fbr. 24	4.50		6 4 29.01	M*	+23 20
264	56 Mrz. 8	4.20	::	6 6 35.36 1/4	M*	+21 12
265	56 Mrz. 8	4.21		6 6 42.86	M*	+21 17
266	56 Fbr. 24	4.52		6 6 51.64 [3]	M*	+23 50

[1] ZD. — 2ᵇ corr. — [2] 23ˢ.48 − 1ˢ ang. — [3] Scheint 1ˢ zu klein.

Nr.	Tag	Rectascension Red. 1755	F.	α 1755 G.	Declination Red. 1755	δ 1755
		—				
267	56 Fbr. 17	4ˢ.59		6ʰ 8ᵐ 8ˢ.22		
	» 24	4.49		7.73		
	Mrz. 8	4.25		7.93		
	56.1	3		6 8 7.960	M*	+22° 36′
268	56 Fbr. 24	4.47		6 11 0.58		
	Mrz. 8	4.24		0.49		
	56.2	2		6 11 0.535	M*	+21 45
269	56 Fbr. 19	4.53		6 13 10.21		
	» 24	4.45		10.19		
	Mrz. 8	4.22		10.30		
	56.2	3		6 13 10.233	M*	+20 54
270	56 Fbr. 19	4.52		6 13 22.52		
	» 24	4.44		21.99		
	Mrz. 18	4.22	::	22.01 1/4		
	56.1	3 (2 1/4)		6 13 22.228	M*	+20 37
271	56 Fbr. 17	4.54		6 14 24.68		
	» 19	4.52		24.71		
	» 24	4.44		24.79		
	Mrz. 8	4.21		24.73		
	56.1	4		6 14 24.728	M*	+20 20
272	56 Fbr. 17	4.48		6 17 59.31 [1]		
	» 24	4.38		59.52		
	Mrz. 8	4.16		59.48		
	56.2	3		6 17 59.437	M*	+17 55
273	56 Fbr. 24	4.38		6 18 0.52		
	Mrz. 8	4.16		0.48		
	56.2	2		6 18 0.500	M*	+17 55
274	56 Fbr. 24	4.34		6 20 46.45		
	Mrz. 8	4.12		46.23		
	56.2	2		6 20 46.340	M*	+16 22
275	56 Fbr. 16	4.47		6 23 33.03		
	» 17	4.46		33.41		
	» 19	4.44		33.34		
	» 24	4.36		33.62		
	Mrz. 8	4.14		32.91		
	56.1	5		6 23 33.262	M*	+16 35
276	56 Fbr. 24	4.47		6 25 33.17		
	Mrz. 8	4.25		33.30		
	56.2	2		6 25 33.235	M*	+19 51
277	56 Fbr. 24	4.38		6 27 13.89 [2]		
	Mrz. 8	4.16		13.56		
	56.2	2		6 27 13.725	M*	+16 36
278	56 Fbr. 16	4.53		6 28 7.61		
	» 17	4.51		8.00		
	» 24	4.42		8.10		
	Mrz. 8	4.20		8.17 [3]		
	57 Jan. 28	7.82	1	8.02	+14.0	+17 51 35″.4
	56.3; 57.1	5		6 28 7.980	1*	+17 51 35.40

[1] Beob. — 1ᵐ corr. — [2] Ang. DZ. an F. 4 beob. — [3] 7ˢ.17 + 1ˢ ang.

Nr.	Tag	Rectascension Red. 1755	F.	α 1755 G.	Declination Red. 1755	δ 1755
279	56 Fbr. 16	4ˢ.78		6ʰ28ᵐ50ˢ.76		
	» 17	4.76		51.25		
	» 24	4.66		51.06		
	Mrz. 8	4.43		51.11		
	57 Jan. 28	8.25		51.00	+12″.7	+25° 20′ 51″.4
	56.3; 57.1	5		6 28 51.036	1*	+25 20 51.40
280	56 Fbr. 17	4.39		6 30 10.02		
	» 24	4.30		10.01		
	Mrz. 8	4.09		10.26		
	56.2	3		6 30 10.097	M*	+13 27
281	56 Fbr. 16	4.40		6 31 31.74		
	» 17	4.39		31.94		
	» 19	4.36		32.06		
	» 24	4.30		31.94		
	Mrz. 8	4.08		32.28		
	56.1	5		6 31 31.992	M*	+13 8
282	56 Fbr. 15	3.75		6 34 21.38 1/4		
	» 16	3.74		21.38 1/4	+22.2	−16 23 54.7
	» 17	3.73		21.26 1/4	+22.3	52.8
	» 24	3.62		21.31 1/4	+23.1	53.5
	Mrz. 8	3.39		21.55 1/4		
	Mai 20	2.20				
	Jun. 20	2.17	4	20.67 1/4	+13.8	58.9
	» 21	2.18	1		+13.6	57.9
	» 22	2.18	5		+13.4	54.5
	» 23	2.19	5		+13.2	54.5
	» 24	2.19	5		+13.0	54.1
	» 27	2.22	1			
	Juli 5	2.29	5		+10.6	[55.0]
	» 11	2.36	5		+ 9.3	54.1
	Sept. 9	3.61	4	20.88 1/2	− 0.4	58.8
	57 Jan. 28	6.32	5	20.42 1/2	+20.7	57.1
	Fbr. 12	6.18	5	20.96 2	+23.0	55.9
	» 28	5.94	4	20.93 1/2	+24.7	59.0
	Mrz. 28	5.41	5		+25.6	57.2
	Aug. 25	5.62	5		+ 1.9	
	58 Jun. 27	7.13	5		+13.6	56.9 1/2
	56.80; 56.68	21 (5)		6 34 20.986	15(14 1/2)*	−16 23 55.94
283					M*	+13 40
284	56 Fbr. 24	4.58		6 36 51.68		
	Mrz. 8	4.12		51.39 [1]		
	57 Jan. 28	8.06	1	50.82	+14.9	+22 1 28.7
	56.5; 57.1	3		6 36 51.297	1*	+22 1 28.70
285	56 Fbr. 16	4.44		6 40 48.61		
	» 17	4.41		48.93		
	» 19	4.41		48.97		
	» 24	4.34		48.94		
	Mrz. 8	4.14		49.09		
	57 Fbr. 12	7.52	1	48.80	+17.4	+13 27 51.5
	56.3; 57.1	6		6 40 48.890	1*	+13 27 51.50
286	56 Fbr. 19	4.54		6 42 0.66		
	» 24	4.47		1.23		
	Mrz. 8	4.26		1.19		
	56.2	3		6 42 1.027	M*	+18 1
287	56 Fbr. 24	4.48		6 43 26.16		
	Mrz. 8	4.28		26.50		
	56.2	2		6 43 26.330	M*	+18 11

[1] DZ. +1ᵐ corr.

Nr.	Tag	Rectascension Red. 1755	F.	α 1755 G.	Declination Red. 1755	δ 1755
288	57 Fbr. 12	8ˢ.24	1	6ʰ43ᵐ40ˢ.48	+14″.7	+26° 22′ 42″.2
289	57 Fbr. 12	8.23	1	6 44 19.47	+14.9	+26 13 16.1
290	56 Mrz. 8	4.45		6 45 48.18	M*	+23 45
291	57 Jan. 28	7.77	1	6 46 10.31	+17.6	+16 23 38.6
292	56 Fbr. 16	4.80		6 47 28.09		
	» 17	4.79		28.22		
	» 19	4.76		28.05		
	» 24	4.70		28.20		
	Mrz. 8	4.48		28.27		
	57 Fbr. 12	8.13	1	28.47	+15.9	+24 32 19.7
	» 28	7.92	4	28.14 2	+15.2	21.0
	56.5; 57.1	7		6 47 28.197	2*	+24 32 20.35
293	56 Fbr. 16	4.69		6 49 33.27		
	» 17	4.67		33.61		
	» 19	4.65		33.64		
	» 24	4.59		33.99		
	Mrz. 8	4.38		33.91		
	57 Jan. 28	8.01	1	33.97	+17.4	+20 54 16.6
	Fbr. 12	7.92	1	33.93	+17.1	16.4
	» 28	7.73	2	33.65 3/2	+16.7	18.6
	56.6; 57.1	8		6 49 33.741	3*	+20 54 17.20
294	56 Fbr. 16	4.76		6 50 32.41		
	» 19	4.72		32.48		
	» 24	4.66		32.34		
	Mrz. 8	4.40		32.62		
	57 Fbr. 12	8.05	1	32.56	+16.8	+22 58 47.8
	» 28	7.28	1	32.94	+16.2	46.9
	56.5; 57.1	6		6 50 32.558	2*	+22 58 47.35
295	57 Fbr. 12	7.78	1	6 52 2.54	+18.3	+18 5 32.9
296	57 Mrz. 9	7.36	1	6 54 18.25	+18.8	+16 17 53.4
297	56 Fbr. 16	5.04		6 55 31.03		
	» 19	5.01		31.40		
	» 24	4.94		31.47		
	Mrz. 8	4.72		31.42		
	57 Jan. 28	8.62	1	31.22	+17.0	+30 37 18.0
	Fbr. 12	8.53	1	31.45	+15.9	14.1
	56.5; 57.1	6		6 55 31.333	2*	+30 37 16.05
298	56 Fbr. 16	4.82		6 57 31.26		
	» 19	4.79		31.63		
	Mrz. 8	4.52		32.04		
	57 Jan. 28	8.23	1	32.00	+18.3	+24 30 48.3
	Fbr. 12	8.15	1	31.82	+17.7	44.5
	Mrz. 9	7.81	1	32.20 [1]	+16.6	44.9
	56.6; 57.1	6		6 57 31.825	3*	+24 30 45.90
299	56 Fbr. 16	4.58		6 59 17.65		
	» 19	4.55		17.41		
	Mrz. 8	4.29		17.46		
	57 Jan. 28	7.79	1	17.42	+19.9	+16 33 4.2
	Fbr. 12	7.72	1	17.36	+19.9	3.5
	» 28	7.53	1	17.37	+19.7	3.3
	Mrz. 9	7.39	1	17.50	+19.5	32 59.9 1/2
	56.7; 57.1	7		6 59 17.453	4(3 1/2)*	+16 33 3.13
300	56 Fbr. 16	4.85		6 59 41.63		
	» 19	4.82		41.59		
	Mrz. 8	4.55		41.89		

[1] DZ. −1ᵐ corr.

Nr.	Tag	Rectascension Red. 1755	F.	α 1755 G.	Declination Red. 1755	δ 1755
		−			+	
(300)	57 Jan. 28	8ˢ.27	1	6ʰ59ᵐ41ˢ.71	18″.6	+25°17′ 8″.8
	Fbr. 12	8.20	1	41.60	17.9	5.2
	» 28	8.00	2	41.41 5/4	17.2	5.3
	Mrz. 9	7.86	1	41.27		
	56.7; 57.1	7		6 59 41.580	3*	+25 17 6.43
301	57 Jan. 28	8.39	1	7 1 52.70[1]	18.8	+27 6 20.9
302	57 Mrz. 9	7.40	1	7 2 40.38	19.5	+16 33 10.0
303	56 Fbr. 16	4.60		7 4 0.21		
	» 19	4.57		3 59.87		
	» 24	4.61		4 0.02		
	Mrz. 8	4.32		0.10		
	Apr. 6	3.80		0.23		
	57 Jan. 28	7.82	2	3 59.87 3/2	20.6	+16 57 32.1
	Fbr. 12	7.74	2	59.87 3/2	20.6	31.3
	» 28	7.57	1	4 0.01	20.4	31.8
	Mrz. 9	7.43	1	3 59.83	20.2	30.9
	56.7; 57.2	9		7 3 59.988	4*	+16 57 31.53
304	56 Fbr. 16	4.77		7 5 28.05		
	» 19	4.74		28.21		
	Mrz. 8	4.48		28.16		
	57 Jan. 28	8.11	1	28.15	20.0	+22 24 32.7
	Fbr. 12	8.04	1	28.40	19.6	32.1
	» 28	7.86	1	28.12	19.0	33.7
	Mrz. 9	7.72	1	28.44	18.7	31.9
	56.7; 57.1	7		7 5 28.219	4*	+22 24 32.60
305	56 Fbr. 16	4.73		7 7 28.41		
	» 19	4.70		28.06		
	Mrz. 8	4.45		28.33		
	57 Jan. 28	8.02	1	28.17	20.7	+20 52 56.7
	Fbr. 12	7.96	1	28.34	20.4	52.9
	» 28	7.78	1	28.26	19.8	53.5
	Mrz. 9	7.64	1	27.99	19.5	56.9
	56.7; 57.1	7		7 7 28.223	4*	+20 52 55.00
306	56 Fbr. 16	4.88		7 8 31.42		
	» 19	4.85		31.07		
	Mrz. 8	4.59		30.85		
	57 Jan. 28	8.28	1	31.27	20.2	+25 29 48.8
	Fbr. 12	8.22	1	31.17	19.5	48.5
	» 28	8.04	1	31.00	18.7	46.8
	Mrz. 9	7.90	1	31.24	18.2	45.4
	56.7; 57.1	7		7 8 31.146	4*	+25 29 47.38
307	57 Mrz. 9	7.53	1	7 8 48.93[2]	20.4	+18 43 16.4
308	57 Jan. 28	8.44	1	7 9 17.32	20.1	+28 5 7.9
309	56 Fbr. 16	4.98		7 10 29.00		
	» 19	4.95		29.06		
	Mrz. 8	4.68		29.09		
	57 Jan. 28	8.46	1	29.12	20.2	+28 15 33.0
	Fbr. 12	8.39	1	28.98	19.2	35.1
	» 28	8.21	1	29.01	18.2	34.4
	56.6; 57.1	6		7 10 29.044	3*	+28 15 34.17
310	57 Fbr. 28	7.85	1	7 12 20.00	20.4	+22 0 4.1
311	56 Fbr. 16	4.77		7 13 10.81		
	» 19	4.74		10.36		
	Mrz. 8	4.50		10.50		

[1] Ist 1ˢ zu gross. — [2] Ang. F. 4 st. 3.

Nr.	Tag	Rectascension Red. 1755	F.	α 1755 G.	Declination Red. 1755	δ 1755
		−			+	
(311)	57 Jan. 28	8ˢ.08	1	7ʰ13ᵐ10ˢ.02	21″.6	+21°55′18″.4
	Fbr. 12	8.02	1	10.47	21.1	18.1
	» 28	7.85	1	10.60	20.5	17.8
	Mrz. 9	7.71	1	10.72	20.2	19.2
	56.7; 57.1	7		7 13 10.497	4*	+21 55 18.38
312	56 Fbr. 16	5.14		7 13 18.99		
	» 19	5.11		19.14		
	Mrz. 8	4.84		19.00		
	57 Jan. 28	8.72	1	19.16	20.2	+32 14 41.5
	Fbr. 12	8.66	1	18.75	18.9	42.9
	» 18	8.60	1	18.92	18.4	45.1
	Mrz. 9	8.32	1	18.66[1]		
	56.7; 57.1	7		7 13 18.946	3*	+32 14 43.17
313	56 Fbr. 19	4.96		7 14 3.03		
	Mrz. 8	4.71		2.96		
	57 Jan. 28	8.48	1	2.92	20.8	+28 35 52.5
	Fbr. 12	8.42	1	2.78[2]	19.8	52.6
	» 18	8.36	1	2.86	19.4	51.5
	» 28	8.24	1	2.81	18.8	51.5
	56.8; 57.1	6		7 14 2.893	4*	+28 35 52.02
314	56 Fbr. 19	4.96		7 14 32.85		
	Mrz. 8	4.70		32.60		
	57 Jan. 28	8.46	2	32.73 3/2	20.9	+28 23 46.8
	Fbr. 12	8.40	1	32.57[3]	20.0	48.2
	» 18	8.35	1	32.84	19.6	46.3
	» 28	8.22	1	32.51	18.9	47.5
	56.8; 57.1	6		7 14 32.687	4*	+28 23 47.20
315	56 Fbr. 16	5.15		7 18 55.58	15.0	+32 23 56.5
	» 19				14.7	57.1
	Mrz. 8	4.86		55.36		
	» 16	4.71		55.21		
	Apr. 6	4.28		55.34		
	Spt. 13	5.10	3		19.2	57.6
	57 Jan. 28	8.72	2	55.58 3/2	21.2	56.9
	Fbr. 12	8.67	5	55.34 2	19.9	57.3
	» 18	8.62	5	55.34 2	19.4	56.5
	» 19	8.61	5	55.40	19.3	56.7
	» 28	8.49	5	55.33 2	18.6	56.9
	Mrz. 9	8.34	5	55.32 2	17.9	55.8
	Apr. 6	7.79	5	55.34 1/2	16.4	55.5
	Aug. 6	7.63	1			
	» 25	8.09	5		22.5	56.7
	» 26	8.12	4		22.5	58.2
	59 Mai 1	14.73	5		23.8	53.8
	56.9; 57.2	11		7 18 55.373	13	+32 23 56.58
316	56 Fbr. 16	4.62		7 19 36.46		
	Mrz. 8	4.36		36.52		
	» 16	4.23		36.49		
	57 Jan. 28	7.79	1	36.31	23.4	+16 59 50.8
	Fbr. 18	7.69	1	36.26	23.4	49.6
	» 28	7.58	1	36.62 4	23.2	50.7
	56.6; 57.1	6		7 19 36.443	3*	+16 59 50.37
317	56 Fbr. 16	4.96		7 20 47.35		
	Mrz. 8	4.69		47.64		
	» 16	4.55		47.78		
	57 Jan. 28	8.39	1	48.03	22.2	+27 24 55.5
	Fbr. 19	8.28	1	47.44 1/2	20.9	55.8
	56.5; 57.1	5 (4 1/2)		7 20 47.671	2*	+27 24 55.65
318	56 Mrz. 16	4.33		7 23 12.82	M*	+19 26

[1] Ang. F. 4 st. 3. — [2] DZ. — 10ˢ corr. — [3] Dgl. — [4] Dgl.

Nr.	Tag	Rectascension Red. 1755	F.	α 1755 G.	Declination Red. 1755	δ 1755
		−			+	
319	57 Fbr. 19	8ˢ.14	1	7ʰ23ᵐ23ˢ.26 1/2	22″.0	+24° 53′ 6″.3
320	57 Fbr. 19	8.13	1	7 24 22.26 1/2	22.2	+24 45 17.3
321	56 Fbr. 16	4.68		7 25 18.56		
	Mrz. 8	4.43		18.36		
	57 Fbr. 12	7.84	2	18.49 3/2	24.0	+18 12 35.4
	Mrz. 9	7.56	2	18.40 3/2		
	56.8; 57.1	4		7 25 18.451	1*	+18 12 35.40
322	56 Mrz. 8	4.14		7 26 27.43 1/2		
	Apr. 6	3.65		27.16		
	Jun. 1	2.96	3		18.9	+ 5 49 [58.3]
	Juli 7	3.03	1		16.0	58.5: 1/4
	» 11	2.36	5		15.6	55.5 3/4
	» 13	3.08	3		15.4	
	» 14	3.09	4		15.3	[55.9]
	» 15	3.10	3		15.3	[55.0]
	» 16	3.12	5		15.2	[53.8]
	» 17	3.13	4		15.1	[53.6]
	Spt. 13	4.23	2		12.0	58.3
	57 Jan. 28	7.32	5	27.15 1/2	25.6	57.2
	Fbr. 12	7.28	5	27.15 1/2	26.6	57.2
	» 18	7.24	5	27.37 1/2	26.8	56.5
	» 19	7.23	5	27.42 1/2	26.9	56.5
	» 20	7.22	4	27.33 1/2	26.9	54.9
	» 28	7.13	5	27.26 1/2	27.1	55.5
	Mrz. 9	7.01	5	27.10 1/2	27.2	55.1
	Apr. 5	6.55	4	27.42		
	» 6	6.54	5	27.40 1/2	27.0	55.8
	Aug. 6	6.32	5		18.5	60.6
	» 25	6.69	5		17.4	57.5
	» 26	6.61	4		17.3	58.3
	59 Mai 1	12.21	5		34.9	53.6
	56.96; 57.34	11 (6 1/2)		7 26 27.290	16(14)	+ 5 49 56.66
323	56 Mrz. 8	4.15		7 27 5.49 1/2		
324	56 Fbr. 16	5.05		7 27 58.25		
	Mrz. 8	4.78		57.87		
	» 16	4.64		57.92		
	57 Fbr. 12	8.47	1	57.76[1]	22.2	+29 27 6.7
	56.4; 57.1	4		7 27 57.950	1*	+29 27 6.70
325	57 Fbr. 19	8.04	1	7 28 45.05 1/2	23.8	+22 57 11.7
326	56 Fbr. 16	4.94		7 29 8.62		
	Mrz. 8	4.68		8.50		
	» 16	4.54		8.44		
	57 Fbr. 12				23.1	+26 20 37.7
	» 18	8.24	1	8.64	22.7	38.2
	» 20	8.22	3	8.44	22.5	37.9
	» 28	8.12	1	8.73	22.1	37.7
	Mrz. 9	7.99	1	8.42	21.5	38.6
	56.7; 57.1	7		7 29 8.541	5*	+26 20 38.02
327	56 Fbr. 16	4.89		7 29 37.79		
	Mrz. 16	4.50		37.62		
	56.2	2		7 29 37.705	M*	+24 57
328	56 Fbr. 16	5.02		7 30 17.61	17.0	+28 35 42.6
	Mrz. 8	4.75		17.66		
	» 16	4.62		17.28		
	Apr. 6	4.21		17.65		
	57 Jan. 28	8.45	5	17.56 2	23.8	40.3
	Fbr. 12	8.42	3	17.25 2	22.8	42.9

[1] DZ. −1ᵐ corr.

Nr.	Tag	Rectascension Red. 1755	F.	α 1755 G.	Declination Red. 1755	δ 1755
		−			+	
328	57 Fbr. 18	8ˢ.37	4	7ʰ30ᵐ17ˢ.40 2	22″.4	+28° 35′ 41″.2
	» 19	8.36	4	17.40	22.3	41.1
	» 20	8.35	4	17.29	22.2	39.9
	» 28	8.26	4	17.32 2	21.6	39.4
	Mrz. 9	8.12	4	17.28 2	21.0	38.5
	Apr. 5	7.62	5	17.39	19.6	39.3
	» 6	7.60	5	17.54 1/2	19.5	40.9
	59 Mai 1	13.93	5		28.6	41.0
	56.9; 57.3	13		7 30 17.410	11	+28 35 40.65
329	56 Mrz. 8	4.48		7 31 55.33		
	» 16	4.35		55.46		
	56.2	2		7 31 55.395	M*	+19 5
330	57 Fbr. 8	7.95	1	7 37 40.32 1/2	25.8	+19 55 45.9
331	56 Fbr. 16	4.98		7 38 28.22		
	Mrz. 16	4.60		28.30		
	56.2	2		7 38 28.260	M*	+27 22
332	56 Fbr. 16	4.77		7 41 20.51		
	Mrz. 16	4.42		20.16		
	Apr. 6	4.04		20.47		
	56.2	3		7 41 20.380	M*	+20 30
333	56 Fbr. 16	4.91		7 46 4.44		
	Mrz. 16	4.55		4.50		
	57 Fbr. 8	8.24	1	4.48	26.3	+26 2 25.3
	Mrz. 26	7.69	1	4.40	23.4	24.3
	56.6; 57.2	4		7 46 4.455	2*	+26 2 24.80
334	56 Fbr. 16	5.02		7 48 26.04		
	Mrz. 16	4.66		26.04		
	Apr. 6	4.27		26.09		
	57 Fbr. 8	8.41	1	26.00	26.3	+28 27 32.8
	Mrz. 26	7.85	1	25.71	23.0	30.7
	56.6; 57.2	5		7 48 25.976	2*	+28 27 31.75
335	56 Fbr. 16	4.62		7 51 24.31		
	Apr. 6	3.94		24.50		
	» 8	3.90		24.33		
	57 Fbr. 8	7.67	1	24.14	29.0	+13 47 44.1
	Mrz. 26	7.16	1	24.50	28.3	42.5
	56.6; 57.2	5		7 51 24.356	2*	+13 47 43.30
336	57 Mrz. 26	7.18	1	7 51 50.78	28.3	+14 10 48.7
337	56 Fbr. 16	4.83		7 53 19.04		
	Apr. 6	4.13		18.87		
	» 8	4.09		18.80		
	57 Fbr. 8	8.06	1	19.15	28.1	+22 16 14.6
	Mrz. 26	7.55	1	18.53	25.8	17.3
	56.6; 57.2	5		7 53 18.878	2*	+22 16 15.95
338	57 Mrz. 26	7.76	2	7 55 22.23 3/2	24.7	+26 32 33.8
339	56 Fbr. 16	4.95		7 55 39.39		
	Apr. 6	4.23		39.19		
	57 Mrz. 26	7.75	1	39.52	24.8	+26 13 43.4
	56.5; 57.2	3		7 55 39.367	1*	+26 13 43.40
340	57 Fbr. 8	7.84	1	7 56 0.12	29.1	+17 42 56.2
341	57 Mrz. 27	7.05	1	7 57 53.69	30.3	+10 31 42.7

Nr.	Tag	Rectascension Red. 1755	F.	α 1755 G.	Declination Red. 1755	δ 1755
		−			+	
342	56 Fbr.16	4ˢ.57		7ʰ57ᵐ55ˢ.51		
	Apr. 5	4.37		55.29		
	» 6	4.35		55.15		
	56.2	3		7 57 55.317	M*	+30° 22′
343	57 Fbr. 8	7.87	1	7 58 ' 8.06	29″.4	+18 21 50″.4
344	56 Fbr.16	4.73		7 58 8.33		
	Apr. 2	4.13		8.15		
	» 5	4.08		8.17		
	» 6	4.06		8.13		
	57 Fbr. 8	7.87	1	7.96	29.4	+18 21 54.5
	Mrz.26	7.38	1	8.11	27.8	51.7
	56.6; 57.2	6		7 58 8.142	2*	+18 21 53.10
345	57 Fbr. 8	7.86		8 0 8.06	29.7	+18 23 36.0[1]
346	56 Fbr.16	4.55		8 3 12.25 1/2		
	Apr. 2	3.98		12.11		
	» 5	3.93		12.33		
	» 6	3.91		12.29		
	57 Fbr. 8	7.51	1	12.18	31.2	+ 9 55 16.9
	Mrz.26	7.05	2	12.57 3/2	31.3	16.0
	» 27	7.03	1	12.63	31.3	13.8
	56.7; 57.2	7		8 3 12.360	3*	+ 9 55 15.57
347	57 Mrz.27	7.02	1	8 4 14.43	31.6	+ 9 36 16.5
348	56 Fbr.16	5.01		8 5 8.38		
	Apr. 2	4.38		8.42		
	» 5	4.33		8.24		
	» 6	4.31		8.20		
	57 Fbr. 8	8.35	1	8.27	29.2	+27 59 22.9
	Mrz.26	7.86	1	8.34	25.7	20.9
	» 27	7.82	1	8.17	25.6	21.2
	56.6; 57.2	7		8 5 8.289	3*	+27 59 21.67
349	56 Fbr.16	4.91		8 5 55.63		
	Apr. 2	4.31		55.84		
	» 5	4.25		55.97		
	» 6	4.22		55.84		
	57 Fbr. 8	8.18	1	55.82	29.8	+24 46 23.1
	Mrz.26	7.70	1	55.61	26.9	20.8
	» 27	7.68	1	55.96	26.8	21.1
	56.6; 57.2	7		8 5 55.810	3*	+24 46 21.67
350	56 Apr. 2	4.19		8 9 18.48		
	» 5	4.14		18.36		
	» 6	4.12		18.32		
	» 8	4.08		18.13		
	57 Mrz.26	7.44	1	18.36	29.2	+19 5 54.1
	» 27	7.43	1	18.17	29.2	56.3
	56.6; 57.2	6		8 9 18.303	2*	+19 5 55.20
351	56 Fbr.16	5.03		8 11 31.10		
	Apr. 2	4.42		31.04		
	» 5	4.37		30.75		
	» 6	4.35		31.10		
	57 Fbr. 8	8.38	1	31.18	30.2	28 40 45.4
	56.4; 57.1	5		8 11 31.034	1*	28 40 45.40

[1] ZD. − 1ᵖ corr.

Nr.	Tag	Rectascension Red. 1755	F.	α 1755 G.	Declination Red. 1755	δ 1755
		−			+	
352	56 Fbr.16	5ˢ.00		8ʰ11ᵐ55ˢ.54		
	Apr. 2	4.40		56.09		
	» 5	4.34		55.51		
	» 6	4.32		55.86		
	57 Fbr. 8	8.32	2	55.88 3/2	30″.3	+27 42 50.8
	56.5; 57.1	5		8 11 55.767	1*	+27 42 50.80
353	57 Mrz.26	7.40	1	8 11 56.10	30.0	+17 49 58.7
	» 27	7.38	1	56.02	30.0	59.5
	57.2	2		8 11 56.060	2	+17 49 59.10
354	57 Mrz.27	7.72	1	8 12 2.96	27.5	+25 19 10.1
355	56 Apr. 2	4.34		8 14 2.83		
	» 5	4.28		3.05		
	» 6	4.26		2.80		
	57 Fbr. 8	8.17	1	2.91	31.0	+24 56 10.1
	Mrz.26	7.72	1	2.67	28.0	15.0
	» 27	7.70	2	2.63 3/2	28.0	15.0
	56.8; 57.2	6		8 14 2.801	3*	+24 56 13.37
356	56 Apr. 2	4.39	1	8 15 4.36		
	» 5	4.33	1	4.18		
	56.3	2		8 15 4.270	M*	+26 59
357	57 Fbr. 8	8.18	1	8 15 5.21	30.6	+25 8 26.8
358	56 Mrz.29	4.42		8 16 59.06		
	Apr. 2	4.34		59.12		
	» 5	4.29		59.24		
	57 Fbr. 8	8.16	1	58.91	31.5	+24 53 15.3
	56.4; 57.1	4		8 16 59.082	1*	+24 53 15.30
359	56 Apr. 2	4.21		8 17 35.55		
	» 5	4.16		35.26		
	» 8	4.11		35.82		
	57 Mrz.26	7.46	1	35.46	30.5	+18 54 13.7
	» 27	7.44	1	35.59	30.4	12.9
	56.6; 57.2	5		8 17 35.536	2*	+18 54 13.30
360	57 Mrz.26	7.49	2	8 17 35.83 3/2	30.2	+19 47 36.1
	» 27	7.48	1	36.05	30.1	40.0
	57.2	2		8 17 35.918	2	+19 47 38.05
361	56 Apr. 5	4.29		8 18 29.14[1]		
	57 Fbr. 8	8.16	1	29.00	31.7	+24 53 56.0
	56.7; 57.1	2		8 18 29.070	1	+24 53 56.00
362	56 Mrz.29	4.34		8 18 30.70		
	Apr. 2	4.27		30.32		
	» 6	4.20		30.58		
	57 Fbr. 8	7.98	1	30.42[2]	32.2	+21 15 13.7
	56.4; 57.1	4		8 18 30.505	1*	+21 15 13.70
363	56 Apr. 6	4.06	::	8 20 [8.1 1/4]		
	» 8	3.93		9.27		
	56.3	1		8 20 9.270	M*	+14 4

[1] 30ˢ.14 − 1ˢ ang. — [2] F. 4 st. 3 angen.

Nr.	Tag	Rectascension Red. 1755	F.	α 1755 G.	Declination Red. 1755	δ 1755
		—			+	
364	56 Apr. 2	4ˢ.26		8ʰ21ᵐ12ˢ.44		
	» 5	4.21		12.15		
	57 Fbr. 8	7.94	I	12.16	32″.7	+20°24′45″.9
	Mrz.26	7.53	I	12.48	30.5	48.6
	» » 27	7.51	2	11.94 3/2	30.4	45.3
	56.8; 57.2	5		8 21 12.205	3*	+20 24 46.60
365	57 Mrz.26	7.53	I	8 21 38.08	30.5	+20 35 41.9
	» 27	7.52	I	36.99	30.5	40.2 [1]
	57.2	2		8 21 37.535	2	+20 35 41.05
366	56 Mrz.12	4.49		8 22 21.76 1/2		
	57 Fbr. 8	7.75	I	21.69	33.3	+16 8 33.9
	56.8; 57.1	2 (1 1/2)		8 22 21.713	1*	+16 8 33.90
367	56 Apr. 2	4.26		8 23 42.05		
	» 5	4.21		42.16		
	» 6	4.19		42.31		
	» 8	4.16		41.71		
	57 Mrz.26	7.52	I	42.07	31.0	+20 6 6.5
	» 27	7.50	I	42.02	30.9	5.7
	56.6; 57.2	6		8 23 42.053	2*	+20 6 6.10
368	56 Mrz.25	4.20		8 23 47.35		
	» 29	4.14		46.96		
	Apr. 2	4.08	:	47.64 1/2		
	56.2	3 (2 1/2)		8 23 47.252	M*	+10 29
369	56 Mrz.25	4.20		8 24 47.34		
	» 29	4.14	:	47.16 1/2		
	Apr. 2	4.08	:	47.84 1/2		
	» 5	4.03		47.85		
	56.2	4 (3)		8 24 47.563	M*	+10 24
370	56 Apr. 6	4.21		8 25 36.78		
	» 8	4.17	:	35.94 2/3		
	57 Mrz.26	7.54	I	36.42	31.1	+20 37 17.2
	» 27	7.53	I	35.94	31.0	17.5
	56.7; 57.2	4 (3 2/3)		8 25 36.300	2*	+20 37 17.35
371	56 Apr. 6	4.20		8 25 45.29		
	» 8	4.17	:	45.44 2/3		
	57 Mrz.26	7.53	I	45.35	31.1	+20 23 4.3
	56.6; 57.2	3 (2 2/3)		8 25 45.335	1*	+20 23 4.30
372	56 Apr. 6	4.22		8 25 58.78		
	57 Mrz.27	7.54	I	58.42	31.0	+20 51 14.4
	56.8; 57.2	2		8 25 58.600	1	+20 51 14.40
373	56 Apr. 6	4.22		8 26 3.78		
	57 Mrz.27	7.54	I	3.92	31.0	+20 49 2.4
	56.8; 57.2	2		8 26 3.850	1	+20 49 2.40
374	56 Apr. 6	4.21		8 26 16.28		
	» 8	4.17	:	15.89 1/2		
	57 Mrz.26	7.54	I	16.32	31.2	+20 31 2.1
	56.7; 57.2	3 (2 1/2)		8 26 16.218	1*	+20 31 2.10
375	56 Apr. 6	4.21		8 26 22.28		
	» 8	4.17	:	21.94 2/3		
	57 Mrz.26	7.54	I	21.74	31.2	+20 23 26.5
	56.6; 57.2	3 (2 2/3)		8 26 21.993	1*	+20 23 26.50

[1] Beob. 52″.7; ZD. +1ᵖ corrig.

Nr.	Tag	Rectascension Red. 1755	F.	α 1755 G.	Declination Red. 1755	δ 1755
		—			+	
376	56 Apr. 6	4ˢ.21		8ʰ26ᵐ37ˢ.28		
	57 Mrz.26	7.54	I	37.12	31″.2	+20°34′ 3″.7
	56.8; 57.2	2		8 26 37.200	1*	+20 34 3.70
377	56 Mrz.12	2.92		8 26 [52.44 1/2]		
	Apr. 6	4.21		51.26		
	57 Mrz.26	7.54	I	51.35	31.3	+20 25 47.0
	56.7; 57.2	2		8 26 51.305	1*	+20 25 47.00
378	56 Apr. 8	4.18		8 27 43.88		
	57 Mrz.26	7.55	I	43.40	31.3	+20 43 39.1
	» 27	7.54	I	43.61	31.2	40.5
	56.9; 57.2	3		8 27 43.630	2*	+20 43 39.80
379	56 Mrz.22	4.50		8 29 4.34		
	» 25	4.46		4.57		
	» 29	4.39		4.47		
	Apr. 2	4.32		4.28		
	» 5	4.27		3.89		
	57 Mrz.27	7.61	I	4.31	30.9	+22 19 48.7
	56.4; 57.2	6		8 29 4.310	1*	+22 19 48.70
380	56 Mrz.22	4.32		8 29 40.79		
	» 25	4.28		40.92		
	» 29	4.22		40.75		
	Apr. 2	4.15		40.99		
	56.2	4		8 29 40.862	M*	+13 32
381	56 Mrz.22	4.44		8 30 43.65		
	» 25	4.39		43.71		
	» 29	4.33		43.83		
	Apr. 2	4.26		43.60		
	» 5	4.21		43.69		
	» 6	4.20		43.93		
	» 8	4.16		43.74		
	57 Mrz.26	7.49	I	43.75	32.3	+19 2 11.0
	» 27	7.47	I	43.97	32.2	10.9
	56.5; 57.2	9		8 30 43.763	2*	+19 2 10.95
382	56 Mrz.25	4.24		8 31 25.81 1/2		
	» 29	4.18	::			
	Apr. 2	4.12		25.64		
	» 5	4.07		25.32		
	» 6	4.05		25.47		
	» 8	4.02		25.77		
	57 Mrz.26	7.18	I	25.65	34.8	+10 57 5.0
	» 27	7.17	I	25.84	34.8	1.6
	56.6; 57.2	7 (6 1/2)		8 31 25.630	2*	+10 57 3.30
383	56 Mrz.22	4.69		8 31 49.27		
	Apr. 2	4.50		49.24		
	56.2	2		8 31 49.255	M*	+29 38
384	56 Mrz.25	4.28		8 33 28.67		
	Apr. 8	4.06		28.61		
	57 Mrz.26	7.26	I	28.97	34.5	+12 59 27.8
	» 27	7.25	I	28.88	34.4	27.6
	56.7; 57.2	4		8 33 28.782	2*	+12 59 27.70
385	56 Apr. 2	4.17		8 35 9.98		
	» 5	4.12		9.67		
	56.3	2		8 35 9.825	M*	+13 25
386	56 Mrz.12	4.58		8 36 45.25 1/2		
	Apr. 8	4.18	::	44.93 1/4		
	56.3	2 (3/4)		8 36 45.143	M*	+18 54

Nr.	Tag	Rectascension Red. 1755	F.	α 1755 G.	Declination Red. 1755	δ 1755
		−			+	
387	57 Mrz.27	7ˢ.51	I	8ʰ36ᵐ46ˢ.06	32″.8	+19°43′38″.3
388	56 Mrz.16	4.48		8 37 20.80		
	» 22	4.40		21.10		
	Apr. 2	4.23		21.09		
	» 5	4.18		21.08		
	» 8	4.13		21.03		
	57 Mrz.26	7.39	I	21.15	34.0	+16 14 29.6
	» 27	7.38	I	21.16	33.9	27.1
	56.5; 57.2	7		8 37 21.059	2*	+16 14 28.35
389	56 Apr. 2	4.27	:	8 39 [20.54½]		
	» 5	4.23		21.52		
	» 8	4.18		21.57		
	57 Mrz.26	7.48	I	21.80	33.6	+18 16 35.3
	» 27	7.46	I	21.71	33.6	33.1
	56.8; 57.2	4		8 39 21.650	2*	+18 16 34.20
390	56 Mrz.12	4.63		8 39 51.83½		
	57 Mrz.27	7.56	I	51.95	32.8	+20 52 32.0
	56.9; 57.2	2 (1½)		8 39 51.910	1*	+20 52 32.00
391	56 Apr. 2	4.27		8 39 59.03	M*	+18 27
392	56 Mrz.22	4.39		8 40 6.64	M*	+15 19
393	56 Mrz.22	4.39	:	8 40 49.51½[1]	M*	+15 11
394	56 Mrz.12	4.58		8 41 32.88½		
	Apr. 2	4.28		32.94		
	» 5	4.23		32.63		
	56.2	3 (2½)		8 41 32.817	M*	+18 8
395	56 Mrz.22	4.39	:	8 42 0.62½[2]	M*	+15 6
396	56 Apr. 8	4.09		8 42 31.35		
	57 Mrz.26	7.27	I	31.33	35.8	+12 32 41.0
	» 27	7.26	I	31.44	35.7	42.8
	56.9; 57.2	3		8 42 31.373	2*	+12 32 41.90
397	56 Mrz.12	4.58		8 43 19.75½		
	Apr. 5	4.24		19.72		
	56.3	2 (1½)		8 43 19.730	M*	+18 4
398	56 Mrz.16	4.50		8 43 33.22		
	» 22	4.42	:	33.71½		
	» 25	4.37		33.34		
	» 29	4.31		33.28		
	Apr. 2	4.25		33.27		
	» 8	4.16		33.30		
	57 Mrz.26	7.41	I	33.71	34.8	+16 14 40.9
	» 27	7.39	I	33.43	34.7	40.4
	56.5; 57.2	8 (7½)		8 43 33.387	2*	+16 14 40.65
399	56 Mrz.16	4.51		8 43 52.44		
	» 22	4.42	:	52.73½		
	» 25	4.38		52.66		
	» 29	4.32		52.47		
	Apr. 2	4.26		52.66		
	» 8	4.16		52.69		
	57 Mrz.26	7.42	I	52.69	34.8	+16 30 16.0
	» 27	7.40	I	52.71	34.7	16.1
	56.5; 57.2	8 (7½)		8 43 52.625	2	+16 30 16.05

[1] Verfehlte Beob. — [2] Verfehlte Beob.

Nr.	Tag	Rectascension Red. 1755	F.	α 1755 G.	Declination Red. 1755	δ 1755
		−			+	
400	56 Mrz.12	4ˢ.48		8ʰ45ᵐ 3ˢ.57½		
	» 16	4.44		3.42		
	» 22	4.36		3.25		
	» 25	4.32		3.68		
	» 29	4.26		3.47		
	Apr. 2	4.20		3.92		
	» 5	4.15		3.81		
	» 8	4.10		3.65		
	57 Mrz.26	7.29	I	4.00	36.0	+12°47′21″.7
	» 27	7.27	I	3.92	36.0	21.3
	56.4; 57.2	10(9½)		8 45 3.674	2*	+12 47 21.50
401	56 Apr. 8	4.21		8 45 18.48	M*	+19 4
402	56 Mrz.12	4.51		8 45 56.90½		
	» 22	4.38		57.08		
	56.2	2 (1½)		8 45 57.020	M*	+14 0
403	56 Mrz.12	4.74		8 48 22.22½		
	» 16	4.70		22.26		
	» 22	4.61		22.00		
	» 25	4.57		22.53		
	» 29	4.51		22.39		
	Apr. 2	4.44		21.86		
	» 8	4.34		22.29		
	» 9	4.32	:	21.44½		
	56.2	8 (7)		8 48 22.166	M*	+25 23
404	56 Mrz.16	4.44		8 51 16.28		
	» 22	4.36		16.64		
	» 25	4.32	::	16.96¼		
	56.2	3 (2¼)		8 51 16.516	M*	+11 48
405	56 Mrz.16	4.44		8 54 26.59		
	» 22	4.37		27.03		
	» 25	4.33		26.95		
	» 29	4.27		27.11		
	Apr. 2	4.21		26.98		
	» 9	4.11		27.03		
	56.2	6		8 54 26.948	M*	+11 38
406	56 Mrz.16	4.65		8 55 13.74		
	» 22	4.58		14.10		
	» 25	4.53		14.23		
	» 29	4.47		14.21		
	Apr. 2	4.41		13.92		
	56.2	5		8 55 14.040	M*	+23 1
407	56 Mrz.16	4.65		8 56 13.84		
	» 22	4.58		14.10		
	» 25	4.53		14.13		
	» 29	4.48		13.90		
	Apr. 2	4.41		13.92		
	56.2	5		8 56 13.978	M*	+22 58
408					M*	+12 32
409	56 Mrz.16	4.52		8 58 51.19		
	» 22	4.45		51.39		
	» 25	4.31		51.50		
	56.2	3		8 58 51.360	M*	+15 58
410	56 Mrz.16	4.53		9 1 40.46		
	» 22	4.46		40.06		
	» 25	4.42		40.68		

Nr.	Tag	Rectascension Red. 1755	F.	α 1755 G.	Declination Red. 1755	δ 1755
		−			+	
(410)	56 Mrz.29	4ˢ.36		9ʰ 1ᵐ40ˢ.71		
	Apr. 2	4.30		40.60		
	» 9	4.20		40.26		
	56.2	6		9 1 40.462	M*	+15°56′
411	56 Mrz.22	4.41		9 4 32.15 [1]		
	» 25	4.37		32.31		
	56.2	2		9 4 32.230	M*	+12 30
412	56 Mrz.13	4.79		9 4 52.88	M*	+27 16 [2]
413	56 Mrz.22	4.39	:	9 6 17.95 ½	M*	+10 48
414	56 Apr. 2	4.39		9 6 48.34	M*	+20 6
415	56 Mrz.22	4.68		9 9 49.38	M*	+26 57
416	56 Mrz.22	4.69		9 10 19.94		
	» 25	4.65		20.35		
	Apr. 1	4.54		20.05		
	» 2	4.53		19.86		
	» 9	4.42	:	19.91 ½		
	56.2	5 (4 ½)		9 10 20.034	M*	+27 13
417	56 Mrz.22	4.37	:	9 10 24.57 ½	M*	+ 8 45
418	56 Mrz.13	4.50		9 15 18.50		
	» 22	4.40	:	17.81 ½		
	» 25	4.37		18.71		
	» 29	4.32		18.77		
	Apr. 1	4.28		18.45		
	» 2	4.27		18.76		
	57 Mrz.30	7.23	1	18.73	40″.1	+10 6 36″.3
	56.4; 57.2	7 (6 ½)		9 15 18.588	1*	+10 6 36.30
419	56 Apr. 2	4.08		9 15 32.57 ½		
	» 5	3.93		32.82 ½		
	» 15	3.78		32.66 ½		
	57 Mrz.24	6.85	1	32.83 ½	44.5	−7 36 36.3
	56.5; 57.2	4 (2)		9 15 32.720	1*	−7 36 36.30
420	56 Mrz.13	4.73		9 17 42.27		
	» 25	4.59		41.86		
	» 29	4.54		41.88		
	Apr. 1	4.50		41.76		
	» 2	4.48		41.98		
	» 10	4.36		41.81		
	» 15	4.28		41.79		
	57 Mrz.24	7.75	1	41.76 ½	36.8	+24 1 59.9 [3]
	» 30	7.67	1	41.55		
	56.4; 57.2	9 (8 ½)		9 17 41.856	1*	+24 1 59.90
421	56 Mrz.13	4.53		9 18 42.88		
	» 25	4.41		42.83		
	» 29	4.36		42.95		
	Apr. 1	4.32		42.80		
	» 2	4.31		42.91		
	» 10	4.01		43.02		
	» 15	4.12		42.67		
	57 Mrz.24	7.37	1	42.75 ½		
	56.3	8 (7 ½)		9 18 42.858	M*	+12 22
422	56 Mrz.13	4.51		9 18 48.00		
	» 25	4.39		47.88		
	Apr. 1	4.30		47.86		

[1] DZ. +30ˢ corr. — [2] Mit Corr. +2ᵖ für ZD. — [3] ZD. +1ᵖ corr.

Nr.	Tag	Rectascension Red. 1755	F.	α 1755 G.	Declination Red. 1755	δ 1755
		−			+	
(422)	56 Apr. 2	4.29		9ʰ18ᵐ47ˢ.87		
	» 9	4.19		47.90		
	57 Mrz.24	7.32	1	47.75 ½	40″.5	+10°46′52″.5
	56.3; 57.2	6 (5 ½)		9 18 47.888	1*	+10 46 52.50
423	56 Apr. 1	4.35		9 21 40.03		
	» 2	4.33		39.74		
	56.3	2		9 21 39.885	M*	+13 43
424	56 Apr. 9	4.29		9 23 29.62		+17 31
425	56 Mrz.13	4.49		9 24 14.72		
	» 25	4.37		14.84		
	» 29	4.32		15.01		
	Apr. 1	4.28		14.82		
	» 2	4.27		14.92		
	» 15	4.09		15.53		
	57 Mrz.24	7.26	1	15.20 ½	41.7	+7 55 14.1
	» 30				41.6	[17.2±]
	56.3; 57.2	7 (6 ½)		9 24 14.991	1*	+7 55 14.10
426	56 Apr. 2	4.36		9 25 57.22	M*	+14 24
427	56 Mrz.13	4.53		9 28 2.93		
	» 25	4.42		2.78		
	» 29	4.37		2.97		
	Apr. 1	4.33		2.75		
	» 2	4.32		2.85		
	» 10	4.21		2.87		
	» 15	4.14		2.94		
	» 24	4.00		3.22		
	57 Mrz.24				41.3	+10 59 35.3
	» 30	7.28	5	3.08 2	41.1	36.9
	56.4; 57.2	9		9 28 2.947	2*	+10 59 36.10
428	56 Mrz.13	4.59		9 30 21.65		
	» 14	4.58		21.79		
	» 25	4.47		21.65		
	» 29	4.43		21.70		
	Apr. 1	4.39		21.72		
	» 2	4.38		21.53		
	» 9	4.28		21.55		
	» 10	4.27		21.74		
	» 15	4.19		21.77		
	» 24	4.06		21.85		
	57 Mrz.30	7.40	1	21.80	40.2	+15 7 45.3
	56.3; 57.2	11		9 30 21.705	1*	+15 7 45.30
429	56 Mrz.25	4.62		9 31 53.38		
	» 29	4.58		54.09		
	Apr. 1	4.54		53.96		
	» 2	4.52		53.89		
	» 10	4.41		53.90		
	» 15	4.33		53.81		
	» 24	4.18		53.24		
	57 Mrz.30	7.70	1	54.05	37.6	+24 53 19.2
	56.4; 57.2	8		9 31 53.790	1*	+24 53 19.20
430	56 Mrz.14	4.55		9 33 9.79		
	» 29	4.51		9.73		
	Apr. 1	4.37		9.29		
	56.2	3		9 33 9.603	M*	+12 55
431	56 Apr. 2	4.48		9 33 56.15	M*	+21 43

Nr.	Tag	Rectascension Red. 1755	F.	α 1755 G.	Declination Red. 1755	δ 1755
		−			+	
432	56 Mrz.25	4ˢ.45		9ʰ34ᵐ13ˢ.76		
	» 29	4.41		13.72		
	Apr. 1	4.37		13.88		
	» 2	4.36	::	[17.5 1/4]		
	56.2	3		9 34 13.787	M*	+12° 41′
433	57 Mrz.30	7.33	±	9 34 24	41″.3	+12 33 12″.8 [1]
434	56 Mrz.13	4.57		9 37 36.78		
	Apr. 2	4.37		36.69		
	57 Mrz.30	7.35	2	36.47 3/2	41.5	+12 58 24.4:: 1/4
	56.6; 57.2	3		9 37 36.621	1(1/4)*	+12 58 24.4
435	56 Mrz.13	4.58		9 37 45.24		
	» 14	4.57		44.99		
	» 29	4.43		44.77		
	Apr. 1	4.40		44.99		
	» 2	4.38		44.81		
	» 9	4.27	::	[44.0 1/4]		
	56.2	5		9 37 44.960	M*	+14 11
436	56 Apr. 2	4.34		9 41 6.97	M*	+ 9 13
437	56 Mrz.29	4.40		9 43 25.29		
	Apr. 1	4.37		25.18		
	56.2	2		9 43 25.235	M*	+10 4
438	56 Mrz.13	4.58		9 45 0.85		
	» 14	4.58		1.19		
	» 25	4.48		0.94		
	» 29	4.44		1.03		
	Apr. 1	4.41		1.18		
	» 2	4.40		0.88		
	» 10	4.30		1.08		
	» 12	4.27		0.85		
	» 19	4.17		1.07		
	» 21	4.14		1.15 1/2		
	» 24	4.10		0.90		
	56.2	11(10 1/2)		9 45 1.004	M*	+13 36
439	56 Mrz.14	4.53		9 45 7.27		
	57 Apr.20	7.01	1	7.29 1/2	42.0	+9 28 17.8
	56.6; 57.3	2 (1 1/2)		9 45 7.277	1*	+9 28 17.80
440	56 Mrz. 8	4.56		9 47 14.42		
	» 13	4.54		14.52		
	» 14	4.53		14.56		
	» 25	4.44		14.38		
	» 29	4.40	:	14.54 1/2		
	Apr. 1	4.37		14.35		
	» 2	4.36		14.35		
	» 10	4.26		14.45		
	» 12	4.23		14.32		
	» 19	4.14		14.61		
	» 21	4.11		14.49 1/2		
	» 24	4.07		14.64		
	57 Apr. 7	7.18	2	14.27 3/4	42.9	+9 12 27.2
	» 20	7.02	1	14.50 1/2	42.3	26.6
	56.3; 57.3	14(12 1/4)		9 47 14.454	2*	+9 12 26.90
441	56 Mrz.13	4.56		9 50 29.46		
	» 14	4.56		29.86		
	57 Mrz.27	7.36	1	30.21	43.2	+11 4 16.9
	56.5; 57.2	3		9 50 29.843	1*	+11 4 16.90

[1] Verfehlte Beob.

Nr.	Tag	Rectascension Red. 1755	F.	α 1755 G.	Declination Red. 1755	δ 1755
		−			+	
442	56 Apr. 2	4ˢ.40		9ʰ50ᵐ59ˢ.26		
	57 Apr.20	7.10	1	59.67 1/2	41″.4	+12° 48′ 12″.0 [1]
	56.6; 57.3	2 (1 1/2)		9 50 59.397	1*	+12 48 12.00
443	56 Mrz.13	4.55		9 52 6.50		
	» 14	4.54		6.14		
	56.2	2		9 52 6.320	M*	+ 9 10
444	56 Apr.24	4.16		9 52 21.32		
	57 Mrz.27	7.50		21.48	41.9	+16 56 15.5
	Apr. 7	7.38	1	20.99 1/2	41.1	14.7
	56.9; 57.3	3 (2 1/2)		9 52 21.318	2	+16 56 15.10
445	56 Mrz. 8	4.66		9 53 56.71		
	» 13	4.64		56.60		
	» 14	4.63		56.45		
	» 25	4.55		56.61		
	Apr. 1	4.48		57.00		
	» 2	4.46		56.50		
	» 9	4.38		57.09		
	» 10	4.37		56.39		
	» 12	4.34		56.57		
	» 21	4.14		56.63 1/2		
	» 24	4.17		56.60		
	57 Mrz.27	7.52	2	56.49 3/2	41.8	+17 56 44.8
	» 31	7.48	1	56.50	41.5	43.0
	Apr. 7	7.40	1	56.69 1/2	41.0	45.4
	» 28	7.12	3	56.61 2		
	56.6; 57.3	15		9 53 56.622	3*	+17 56 44.40
446	56 Mrz. 8	4.59		9 54 53.00		
	» 13	4.57		52.71		
	Apr. 1	4.41		52.70		
	» 2	4.40		52.30		
	» 10	4.30		52.59		
	» 12	4.28		52.86		
	» 24	4.12		52.94		
	56.2	7		9 54 52.729	M*	+11 11
447	56 Mrz. 8	4.61		9 55 18.06		
	» 13	4.58		17.97		
	» 14	4.58		18.09		
	» 25	4.50		17.73		
	» 29	4.46		17.99		
	Apr. 1	4.43		17.96		
	» 2	4.42		17.96		
	» 9	4.33		17.84		
	» 10	4.32		17.94		
	» 12	4.29		18.23		
	» 18	4.22		18.02 1/2		
	» 19	4.20		18.18		
	» 21	4.17		17.95 1/2		
	» 24	4.13		18.22		
	Mai 23	3.73	5	18.02	24.9	+13 9 [12.6::]
	» 29	3.66	5	17.92	24.5	[19.1]
	Jun. 26	3.40	2		23.2	15.7
	Juli 11	3.32	3		22.8	15.1
	Aug.30	3.49	5		23.2	[12.7]
	Spt. 9	3.61	2			
	» 27	3.90	5		25.3	15.4
	Oct. 10	4.18	5		26.8	17.1
	57 Mrz.27	7.41	5	17.95 2	43.1	15.1
	» 31	7.37	4	17.94 2	42.9	13.9
	Apr. 5	7.32	5	17.95	42.6	15.3
	» 6	7.30	5	18.13 1/2	42.5	13.7
	» 7	7.29	5	17.87	42.5	14.9
	» 20	7.12	5	18.18	41.6	13.5

[1] ZD. + 1ᵖ corr.

Nr.	Tag	Rectascension Red. 1755	F.	α 1755 G.	Declination Red. 1755	δ 1755
		−			+	
(447)	57 Apr.28	7ˢ.01	5	9ʰ55ᵐ17ˢ.99 2		
	Jun.21	6.38	2	18.06 3/4	38″.0	
	58 Mai 14	9.83	5		54.7	
	56.7; 56.9	24		9 55 17.998	10	+13° 9′ 14″.97
448	56 Mrz.14	4.56		9 56 30.17	M*	+10 46
449	56 Apr. 1	4.45		9 58 25.96		
	» 18	4.24		25.41 1/2		
	56.3	2 (1 1/2)		9 58 25.777	M*	+14 33
450	56 Mrz. 8	4.72		10 0 58.27		
	» 13	4.70		58.67		
	» 14	4.69		58.81		
	Apr. 1	4.54		58.22		
	56.2	4		10 0 58.492	M*	+22 22
451	56 Apr. 1	4.48		10 1 12.84	M*	+17 20
452	56 Mrz.13	4.65		10 2 53.15		
	» 14	4.65		53.08		
	57 Mrz.31	7.51	1	53.15	42.0	+18 56 56.7
	56.5; 57.2			10 2 53.127	1*	+18 56 56.70
453	56 Mrz.13	4.61		10 3 30.04		
	» 14	4.60		30.38		
	Apr. 1	4.46		30.16		
	56.2	3		10 3 30.193	M*	+14 56
454	56 Apr. 1	4.46		10 5 18.25	M*	+13 50
455	56 Mrz. 8	4.69		10 6 21.59		
	» 13	4.67		21.98		
	» 14	4.67	:	22.31 1/2		
	Apr. 1	4.53		22.03		
	» 12	4.40		21.91		
	» 18	4.32		21.54 1/2		
	» 19	4.30		21.70		
	» 22	4.26		22.12		
	57 Mrz.31	7.55	2	21.80 3/2	41.9	+20 42 12.2
	Apr.28	7.20	3	21.66 2	39.3	*11.7*
	56.6; 57.3	10		10 6 21.836	2*	+20 42 11.95
456	56 Mrz. 8	4.69		10 6 25.91		
	» 13	4.68		25.79		
	» 14	4.67	:	25.32 1/2		
	Apr. 1	4.53		26.02		
	» 12	4.40		25.80		
	» 18	4.32		25.82 1/2		
	» 19	4.30		25.68		
	» 22	4.26		26.10		
	Mai 29	3.74	5	25.64	21.9	+21 4 [*16.9*]
	57 Mrz.31	7.57	3	25.57 2	41.8	12.9
	Apr.28	7.20	3	25.63 2	39.2	*14.4*
	Jun.21	6.53	5	25.56		
	56.7; 57.3	12		10 6 25.729	2*	+21 4 13.65
457	56 Apr.12	4.36		10 8 38.16		
	» 19	4.30		38.01		
	57 Mrz.31	7.45	1	38.25	43.2	+16 12 4.0
	56.6; 57.2	3		10 8 38.140	1*	+16 12 4.00
458	56 Mrz.13	4.57		10 9 17.57		
	» 14	4.57		17.79		
	Apr.22	4.19		17.82		
	57 Mrz.31	7.33	1	17.40	44.7	+10 11 26.8
	56.5; 57.2	4		10 9 17.645	1*	+10 11 26.80

Nr.	Tag	Rectascension Red. 1755	F.	α 1755 G.	Declination Red. 1755	δ 1755
		−			+	
459	56 Mrz.13	4ˢ.58		10ʰ11ᵐ19ˢ.49		
	» 14	4.58		19.62		
	57 Mrz.31	7.36	1	19.43	44″.4	+11°49′ 9″.8
	56.5; 57.2	3		10 11 19.513	1*	+11 49 9.80
460	56 Mrz. 8	4.58		10 12 18.88		
	» 13	4.57		19.16		
	» 14	4.57		19.39		
	Apr.19	4.24		19.40 1		
	» 22	4.20		19.23		
	56.2	5		10 12 19.212	M*	+10 1
461	56 Mrz.13	4.58		10 14 41.07		
	» 14	4.58		41.29		
	Apr.12	4.34		41.13		
	» 22	4.22		41.13		
	57 Mrz.31	7.35	1	41.20	44.8	+11 0 6.9
	56.4; 57.2	5		10 14 41.164	1*	+11 0 6.90
462	56 Apr.19	4.29		10 15 40.74	M*	+15 35
463	56 Mrz.13	4.58		10 16 13.05		
	Apr.22	4.22		13.43		
	56.3	2		10 16 13.240	M*	+11 24
464	56 Mrz.13	4.61		10 19 5.54		
	» 14	4.61		5.56		
	Apr.19	4.30		5.65		
	» 22	4.26		5.68		
	57 Apr.28	7.12	1	5.44	41.9	+15 23 *8.9*
	56.5; 57.3	5		10 19 5.574	1*	+15 23 8.90
465	56 Mrz.13	4.58		10 19 53.15 2		
	» 14	4.56		53.47		
	Apr.19	4.27		53.60		
	» 22	4.23		53.42		
	Dec.13	5.87	5		37.6	+10 33 *29.8*
	57 Mrz.31	7.35	1	53.39		
	Apr.28	7.04	2	53.27 3/2	43.6	*32.1*
	56.7; 57.1	6		10 19 53.375	2*	+10 33 30.95
466	56 Mrz.13	4.63		10 21 59.69		
	» 14	4.63		59.71		
	Apr.19	4.33		59.06		
	» 22	4.30		59.98		
	56.3	4		10 21 59.610	M*	+ 8 12
467	56 Mrz.13	4.58		10 22 9.54		
	» 14	4.58		9.56		
	Apr.22	4.24		9.62		
	56.2	3		10 22 9.573	M*	+ 9 54
468	56 Mrz.13	4.64	::	10 24 35.56 1/4	M*	+18 33
469	56 Apr.22	4.29		10 25 44.47	M*	+17 23
470	56 Mrz.13	4.58		10 26 50.62 3		
	Apr.22	4.26		51.02		
	56.3	2		10 26 50.820	M*	+10 6
471	56 Apr.22	4.26		10 30 36.94	M*	+ 6 1

[1] 20ˢ.40 − 1ˢ ang. — [2] − 10ˢ corr. — [3] 49ˢ.62 + 1ˢ ang.

Nr.	Tag	Rectascension Red. 1755	F.	α 1755 G.	Declination Red. 1755	δ 1755
		−			+	
472	56 Apr.22	4ˢ.27		10ʰ32ᵐ44ˢ.63	M*	+ 8°47′
473	56 Apr.22	4.27	::	10 33 21.2 1/4	M*	+ 7 39
474	56 Apr.19	4.34		10 33 25.36		
	» 22	4.30		25.59		
	56.3	2		10 33 25.475	M*	+15 28
475	56 Apr.22	4.28	::	10 34 33.4 1/4	M*	+ 7 37
476	56 Apr.22	4.29		10 36 21.44	M*	+11 50
477	56 Apr.22	4.30		10 42 1.67	M*	+ 7 8
478	56 Apr.19	4.36		10 47 53.76		
	» 22	4.32		53.68		
	56.3	2		10 47 53.720	M*	+ 4 55
479	56 Apr.22	4.33		10 48 1.82	M*	+ 7 24
480	56 Apr.22	4.34		10 51 19.89	M*	+ 4 57
481	56 Apr.12	4.44		10 52 21.57		
	» 19	4.37		21.81		
	» 22	4.34		21.73		
	56.3	3		10 52 21.703	M*	+ 8 39
482	59 Mai 1	12.21	3	10 53	89.7	−25 58 32″.6
483	56 Apr.19	4.42		11 0 46.64	M*	+21 27
484	56 Apr.12	4.49		11 1 2.90		
	» 19	4.42		2.63		
	» 22	4.39		3.05		
	Juni 5	3.83	::			
	56.3	3		11 1 2.860	M*	+21 51
485	56 Apr.12	4.47		11 1 21.71		
	» 19	4.41		21.56[1]		
	» 22	4.38		21.78		
	56.3	3		11 1 21.683	M*	+16 45
486	56 Apr.12	4.47		11 3 1.56		
	» 19	4.41		1.61		
	» 22	4.38		2.03		
	56.3	3		11 3 1.733	M*	+14 38
487	56 Apr.19	4.43		11 4 12.92		
	» 22	4.36		13.08		
	56.3	2		11 4 13.000	M*	− 2 18
488	56 Apr.19	4.42		11 8 29.62		
	» 22	4.40		29.64		
	60 Mrz.10	16.40	1		102.6	+ 7 22 5.1
	56.3; 60.2	2		11 8 29.630	1*	+ 7 22 5.10
489	56 Apr.19	4.43		11 11 8.34		
	» 22	4.40		8.54		
	60 Mrz.10	16.53	1		102.8	+11 52 29.1
	56.3; 60.2	2		11 11 8.440	1*	+11 52 29.10
490	56 Apr.19	4.44		11 11 27.98		
	» 22	4.42		27.79		
	56.3	2		11 11 27.885	M*	+ 2°44′
491	56 Apr.22	4.42		11 14 20.96	M*	+ 4 20
492	56 Apr.19	4.45		11 15 19.77		
	» 22	4.43		20.18		
	Mai 8	4.27		20.04 1/2		
	56.3	3 (2 1/2)		11 15 19.988	M*	+ 4 12
493	60 Mrz.10	16.41	1:	11 16 59.56 1/4	103″.5	+ 8 56 53″.4
494	56 Apr.19	4.49		11 17 48.23		
	» 22	4.46		48.26		
	Mai 8	4.31		48.23 1/2		
	56.3	3 (2 1/2)		11 17 48.242	M*	− 1 39
495	56 Apr.19	4.52		11 19 29.94	M*	− 5 6
496	56 Apr.19	4.53		11 20 21.09	M*	− 6 28
497	56 Apr.19	4.50		11 24 24.43		
	» 22	4.48		24.34		
	Mai 8	4.33		24.60 1/2		
	56.3	3 (2 1/2)		11 24 24.428	M*	+ 0 31
498	56 Apr.19	4.47		11 25 48.94		
	» 22	4.44		48.86		
	Mai 8	4.29		48.88 1/2		
	56.3	3 (2 1/2)		11 25 48.896	M*	+ 9 29
499	56 Apr.19	4.49		11 29 35.43	M*	+ 6 6
500	56 Apr.19	4.48		11 32 38.66		
	» 22	4.46		38.57		
	56.3	2		11 32 38.615	M*	+ 9 37
501	56 Apr.19	4.49		11 33 15.49		
	» 22	4.47		15.61		
	56.3	2		11 33 15.550	M*	+ 7 53
502	56 Apr.19	4.49		11 35 19.16		
	» 22	4.47		19.17		
	56.3	2		11 35 19.165	M*	+ 9 36
503	56 Apr.19	4.47		11 36 33.06		
	» 22	4.45		32.98		
	Mai 23	4.14	3	32.52	23.9	+15 56 [20.7]
	Juli 12	3.58	2		20.9	19.7
	58 Mai 14	10.02	5			
	56.3; 56.5	3		11 36 32.853	1*	+15 56 19.70
504	56 Apr.19	4.53		11 37 56.02		
	» 22	4.51		56.03		
	Mai 23	4.22			28.2	
	56.3	2		11 37 56.025	M*	+ 3 8 [29.3]
505	56 Apr.22	4.48		11 42 27.88	M*	+ 9 48
506	56 Apr.22	4.53		11 42 51.44	M*	+ 2 27
507	57 Apr. 3	7.38	1	11 45 40.57	48.3	+ 4 50 47.4
508	56 Apr.22	4.55		11 46 31.54	M*	+ 1 53

[1] 22ˢ.56 − 1ˢ ang.

Nr.	Tag	Rectascension Red. 1755	F.	α 1755 G.	Declination Red. 1755	δ 1755
		−			+	
509	56 Apr.18	4ˢ.55		11ʰ47ᵐ24ˢ.00		
	» 19	4.55		23.89		
	» 22	4.53		23.91		
	57 Apr. 3	7.38	1	24.05	48″.2	+ 5° 1′ 11″.7
	56.5; 57.3	**4**		**11 47 23.962**	**1***	**+ 5 1 11.70**
510	56 Apr.18	4.53		11 48 18.88		
	» 19	4.53		18.60		
	» 22	4.51		18.21		
	57 Apr. 3	7.37	1	18.79	47.9	+ 7 58 49.1
	56.7; 57.3	**4**		**11 48 18.620**	**1***	**+ 7 58 49.10**
511	56 Apr.22	4.56	::	11 48 32.99 1/4 [1]	M*	− 0 24
512	57 Apr. 3	7.38		11 51 13.98	48.0	+ 6 55 39.5
513	56 Apr.18	4.53		11 52 43.71		
	» 22	4.51		43.60		
	57 Apr. 3	7.37		43.57	47.6	+10 5 39.0
	56.6; 57.3	**3**		**11 52 43.627**	**1***	**+10 5 39.00**
514	56 Apr.22	4.60		11 53 27.85 2 [2]	M*	− 1 45
515	56 Apr.22	4.58		11 55 27.83	M*	+ 1 59
516	56 Apr.18	4.59	:	11 57 8.28 1/2		
	» 22	4.57		8.13		
	56.3	**2 (1 1/2)**		**11 57 8.180**	M*	+ 3 16
517	56 Apr.18	4.56		11 57 33.56		
	» 22	4.54		33.52		
	56.3	**2**		**11 57 33.540**	M*	+ 7 10
518	56 Apr.22	4.66	::	12 1 43.49 1/4 [1]	M*	− 4 21
519	56 Apr.22	4.62		12 6 7.25	M*	+ 0 34
520	56 Apr.18	4.64		12 7 22.92		
	» 22	4.62		22.83		
	57 Apr. 3	7.43	1	22.96	48.2	+ 0 41 47.2
	56.6; 57.3	**3**		**12 7 22.903**	**1***	**+ 0 41 47.20**
521	56 Apr.18	4.60		12 7 54.56		
	» 22	4.59		54.46		
	57 Apr. 3	7.40	1	54.54	47.9	+ 4 40 44.1
	56.6; 57.3	**3**		**12 7 54.520**	**1***	**+ 4 40 44.10**
522	56 Apr.18	4.59		12 10 4.64	M*	+ 6 40
523	57 Apr. 3	7.48	1	12 10 40.40	48.4	− 3 36 41.3 [3]
524	56 Apr.22	4.76		12 11 44.96	M*	− 9 7
525	56 Apr.22	4.70		12 15 18.40	M*	− 3 15
526	56 Apr.18	4.61		12 15 49.17	M*	+ 5 45
527	56 Apr.22	4.75		12 17 28.97	M*	−12 1
528	56 Apr.18	4.71		12 18 17.09	M*	− 2 42
529	56 Apr.18	4.72		12 19 3.95		
	» 22	4.71		4.14		
	56.3	**2**		**12 19 4.045**	M*	− 3 41

[1] F. 5 angen.; unbrauchbar. S. Cat.-Vgl. — [2] Ang. F. 4. — [3] ZD. st. 58 11 42.2 zu lesen 58 12 42.2.

Nr.	Tag	Rectascension Red. 1755	F.	α 1755 G.	Declination Red. 1755	δ 1755
		−			+	
530	56 Apr.18	4ˢ.79		12ʰ21ᵐ 9ˢ.61		
	» 22	4.78		9.61		
	57 Apr. 3	7.56	2	9.45 3/2	48″.1	− 8° 5′ 51″.9
	56.7; 57.3	**3**		**12 21 9.541**	**1***	**− 8 5 51.90**
531	56 Apr.18	4.68		12 21 50.87	M*	− 0 3
532	56 Apr.18	4.75		12 24 11.38		
	» 22	4.74		11.49		
	57 Apr. 3	7.51	1	11.54	47.8	− 4 28 41.2
	56.6; 57.3	**3**		**12 24 11.470**	**1***	**− 4 28 41.20**
533	56 Apr.18	4.79		12 26 37.32		
	» 22	4.78		37.58		
	57 Apr. 3	7.55	2	37.32 3/2	47.8	− 6 38 38.1
	56.7; 57.3	**3**		**12 26 37.394**	**1***	**− 6 38 38.10**
534	56 Apr.18	4.76		12 26 53.06	M*	− 4 44
535	56 Apr.18	4.70		12 29 15.69		
	» 22	4.70		15.18		
	56.3	**2**		**12 29 15.435**	M*	− 0 6
536	56 Apr.18	4.70		12 29 15.89		
	» 22	4.70		15.48		
	56.3	**2**		**12 29 15.685**	M*	− 0 6
537	56 Apr.22	4.78		12 34 54.73	M*	− 4 57
538	56 Apr.22	4.81		12 37 28.67		− 6 17
539	56 Apr.18	4.86		12 38 39.64	M*	− 8 59
540	56 Apr.18	4.76		12 40 39.77	M*	− 2 13
541	56 Apr.18	4.86		12 41 38.42	M*	− 8 12
542	56 Apr.18	4.67		12 43 16.21	M*	+ 4 43
543	56 Apr.18	4.78		12 47 3.70		
	» 22	4.78	::			
	56.3	**1**		**12 47 3.700**	M*	− 2 29
544	56 Apr.18	4.58		12 49 59.25 1/2		
	» 22	4.58		58.87 1/2		
	56.3	**2 (1)**		**12 49 59.060**	M*	+12 16
545	56 Apr.18	4.78		12 51 18.21	M*	− 2 20
546	56 Apr.18	4.92		12 55 5.85		
	» 22	4.92		5.58		
	56.3	**2**		**12 55 5.715**	M*	− 9 25
547	56 Apr.18	4.83		12 57 17.49	M*	− 4 13
548	56 Apr.18	5.05		12 59 3.95		
	» 22	5.05		4.03		
	56.3	**2**		**12 59 3.990**	M*	−14 52
549	56 Apr.18	4.72		13 1 29.23	M*	+ 2 45
550	56 Apr.18	5.12		13 5 37.94		
	» 22	5.13		37.97		
	Mai 20	5.06		38.02		
	» 21	5.05		38.24		

Nr.	Tag	Rectascension Red. 1755	F.	α 1755 G.	Declination Red. 1755	δ 1755
		−			+	
(550)	57 Apr. 5	7ˢ.90	5	13ʰ 5ᵐ37ˢ.99	44″.8	−16° 56′ 33″.9
	» 6	7.91	3	37.88	44.9	33.3
	56.7; 57.3	6		13 5 38.006	2*	−16 56 33.60
551	56 Mai 21	5.18		13 5 39.64	M*	−21 52
552	59 Mai 1	13.66	1	13 7 30.19½[1]		
553	56 Mai 21	4.94		13 9 13.03	M*	−11 17
554	56 Apr. 18	5.12		13 9 56.65		
	» 22	5.13		56.85[2]		
	Mai 20	5.07		56.36		
	» 21	5.06		56.38		
	57 Apr. 5	7.90	5	56.47	44.3	−16 26 37.5
	» 6	7.91	5	56.53	44.4	39.7
	56.7; 57.3	6		13 9 56.540	2*	−16 26 38.60
555	56 Apr. 18	4.97		13 12 19.04		
	» 22	4.98		19.30		
	Mai 20	4.93		19.11		
	» 21	4.92		19.23		
	Jun. 14	4.75	5	19.13	26.1	− 9 52
	Juli 17	4.39	5		24.2	32.4½
	Aug. 29	3.92	5		21.3	29.9
	Spt. 3	3.86	3		21.0	
	Oct. 30	3.96	3	18.57¼	20.9	
	Nov. 13	4.10	5		22.1	26.2:½
	57 Apr. 5	7.72	5	18.97	44.3	29.0
	» 6	7.73	5	19.00	44.3	28.4
	Aug. 6	6.98	3		40.7	29.1
	» 25	6.77	5			
	59 Mai 1	13.68	2			
	» 6	13.68	2		82.8	
	60 Jun. 1	16.70	3	19.44	102.5	31.0
	57.1; 57.7	9 (8¼)		13 12 19.134	7 (6)	− 9 52 29.45
556	56 Apr. 18	5.01		13 13 48.63		
	» 22	5.02		48.62		
	Mai 20	4.97		48.51		
	» 21	4.97		48.71		
	56.4	4		13 13 48.617	M*	−11 25
557	56 Apr. 18	5.09		13 14 25.66		
	» 22	5.10		25.13		
	Mai 20	5.08		25.42		
	» 21	5.05		25.63		
	56.4	4		13 14 25.460	M*	−14 41
558	56 Apr. 18	4.79		13 16 41.74	M*	− 0 5
559	56 Apr. 18	4.88		13 17 40.45		
	Mai 20	4.85		40.56		
	» 21	4.85		40.44		
	56.4	3		13 17 40.483	M*	− 5 11
560	56 Apr. 18	4.88		13 19 15.36		
	» 22	4.85		15.19		
	Mai 20	4.86		15.31		
	» 21	4.85		15.33		
	56.4	4		13 19 15.297	M*	− 4 58

[1] DZ. +3ᵐ corr., s. S. 40. — [2] DZ. −1ᵐ corr.

Nr.	Tag	Rectascension Red. 1755	F.	α 1755 G.	Declination Red. 1755	δ 1755
		−			+	
561	56 Apr. 18	4ˢ.97		13ʰ 20ᵐ 5ˢ.65		
	» 22	4.98		5.89		
	Mai 20	4.95		5.86		
	» 21	4.94		5.98		
	56.4	4		13 20 5.845	M*	− 8° 53′
562	56 Apr. 18	4.78		13 22 13.73		
	» 22	4.79		13.73		
	Mai 20	4.76		13.83		
	» 21	4.75		14.15		
	Jun. 8	4.64	1	13.82½	22″.5	+ 0 39 55″.0
	56.4	5 (4½)		13 22 13.856	1*	+ 0 39 55.00
563	56 Apr. 18	4.87		13 22 48.23		
	» 22	4.88		47.95		
	Mai 20	4.86		48.33		
	» 21	4.85		48.25		
	56.4	4		13 22 48.190	M*	− 4 8
564	56 Apr. 18	4.95		13 28 46.93		
	» 22	4.97		47.02		
	Mai 20	4.96		47.09		
	» 21	4.95		47.02		
	56.4	4		13 28 47.015	M*	− 7 27
565	56 Apr. 22	4.90		13 31 10.87	M*	− 4 15
566	56 Mai 20	5.10		13 31 38.97	M*	−12 58
567	56 Apr. 18	5.05		13 32 55.27		
	» 22	4.98		55.34		
	Mai 20	5.06	:	55.38½		
	» 21	5.06		55.41		
	56.3	4 (3½)		13 32 55.346	M*	−11 11
568	56 Mai 20	5.22		13 34 8.69		
	» 21	5.21		8.62		
	56.4	2		13 34 8.655	M*	−16 37
569	56 Mai 20	5.24		13 36 36.47		
	» 21	5.23		36.40		
	56.4	2		13 36 36.435	M*	−16 54
570	56 Apr. 18	4.14		13 37 51.16¼		
	» 22	4.14		50.20¼		
	Mai 20	3.96		51.43¼		
	» 21	3.94		52.09¼		
	Juni 1	3.78	4	51.21¼	9.3	+50 32 37.9
	» 2	3.76	2	51.39¼	9.1	35.7
	» 8	3.65	2	51.59¼	8.0	39.8
	» 14	3.54	5	50.51¼	7.0	
	» 22	3.36	5		5.9	37.5
	Juli 17	2.77	3		4.4	34.7¾
	Aug. 29	1.76	2		8.4	39.2¾
	Spt. 15	1.46	1		12.2	43.8
	Oct. 28	1.33	5		25.6	[39.1]
	» 30	1.35	5	51.75¼	26.3	[35.8]
	56.4; 56.6	9 (2¼)		13 37 51.273	7 (6½)	+50 32 38.48
571	56 Apr. 18	4.81		13 42 8.65		
	» 22	4.83		8.87		
	Mai 20	4.85		8.92		
	» 21	4.85		8.83		
	Juni 1	4.80	1	9.21	21.7	− 0 17 15.3
	» 2	4.79	1	9.05	21.6	15.2
	56.4	6		13 42 8.922	2*	− 0 17 15.25

Nr.	Tag	Rectascension Red. 1755	F.	α 1755 G.	Declination Red. 1755	δ 1755
		−			+	
572	56 Apr. 18	4ˢ.96		13ʰ 47ᵐ 11ˢ.64	M*	− 6° 57′
573	56 Apr. 18	5.00		13 51 24.91	M*	− 8 4
574	56 Mai 20	6.03		13 52 21.89 1/4		
	» 21	6.03		21.93 1/4		
	Juni 2	5.97	3	21.71 1/4	26″.2	−35 9 39″.9
	56.4	3 (3/4)		13 52 21.843	1(*)	−35 9
575	56 Apr. 18	4.99		13 53 21.49	M*	− 7 42
576	56 Apr. 18	5.00		13 53 47.42		
	» 22	5.02		47.13		
	56.3	2		13 53 47.275	M*	− 8 8
577	56 Mai 20	5.27	::	13 53 [57.08 1/4]		
	» 21	5.27		55.80		
	56.4	1		13 53 55.800	M*	−15 0
578	56 Apr. 18	5.19		13 57 30.52		
	» 22	5.22		30.29		
	Mai 20	5.29		30.60		
	» 21	5.29		30.72		
	Juni 1	5.26	1	30.23	23.9	−15 7 57.8
	» 2	5.25	1	30.27	23.8	58.5
	56.4	6		13 57 30.439	2*	−15 7 58.15
579	56 Apr. 18	5.03		13 59 51.56		
	» 22	5.06		51.98		
	Mai 20	5.13		51.85		
	» 21	5.10		51.70		
	Juni 1	5.10	1	51.77	22.2	− 9 7 14.8
	» 2	5.09	1	51.91	22.2	18.6
	56.4	6		13 59 51.795	2*	− 9 7 16.70
580	56 Apr. 22	4.95		14 1 37.87		
	Mai 20	5.02		37.50		
	Jun. 1	4.99	1:	37.22 2/3	21.1	− 4 47 47.9
	» 2	4.99		37.65	21.0	49.0
	56.4	4 (3 2/3)		14 1 37.591	2*	− 4 47 48.45
581	56 Apr. 18	4.92		14 3 11.87		
	Mai 20	5.03		11.99		
	» 21	5.03		11.81		
	Jun. 1	5.00	1	12.42	20.9	− 4 49 *13.9*
	» 14	4.93	1	12.19 1/2	20.1	12.2
	56.4	5 (4 1/2)		14 3 12.041	2*	− 4 49 13.05
582	56 Apr. 18	4.42		14 4 30.09 1/2		
	» 22	4.45		29.88 1/2		
	Mai 20	4.48		29.99 1/2		
	» 21	4.48		30.13 1/2		
	Jun. 1	4.44	3	30.42 1/2	14.7	+20 28 3.4
	» 2	4.43	3	29.94 1/2	14.6	1.8
	» 8	4.39	2	30.06 1/4	13.7	3.7
	» 9	4.38	1	30.69 1/2		
	» 14	4.34	4	30.28 1/4	12.8	*3.1*
	» 22	4.27	5		11.8	*0.6*
	Juli 15	3.99	1		9.6	27 *58.5*
	» 16	3.98	5		9.5	*57.7*
	» 17	3.96	5		9.5	*58.6* 1
	Aug. 28	3.35	3		9.3	28 2.2
	» 29	3.33	5		9.4	*1.9*
	Spt. 3	3.27	5		9.7	27 *59.3*
	» 15	3.13	5		12.2	28 2.2
	Oct. 10	2.97	5		14.6	*0.1*

Nr.	Tag	Rectascension Red. 1755	F.	α 1755 G.	Declination Red. 1755	δ 1755
		−			+	
(582)	56 Oct. 16	2ˢ.97	5		15″.8	+20° 27′ 59″.2
	» 27	3.01	4		18.1	28 [7.2]
	» 28	3.01	5		18.3	[*1.8*]
	» 29	3.02	5		18.6	27 [*59.2*]
	» 30	3.03	5	14ʰ 4ᵐ 29ˢ.78 1/4	18.8	28 [*0.4*]
	Nov. 8	3.12	5		21.0	[*2.9*]
	» 13	3.18	5		22.3	*4.2*
	» 14	3.20	5		22.5	27 *59.6*
	57 Jun. 21	6.86	5		28.4	
	Aug 6	6.27	5		25.3	28 0.0
	» 25	5.99	5		25.8	
	Oct. 23	5.60	5		34.8	27 59.5
	56.39; 56.78	10 (4 1/4)		14 4 30.141	18(17 1/2)	+20 28 0.94
583	56 Apr. 18	5.12		14 5 53.59		
	» 22	5.25		53.59		
	Mai 20	5.24		53.20		
	» 21	5.24		53.62		
	Jun. 1	5.22	1	53.54	22.3	−12 13 47.1
	» 2				22.3	46.1
	56.4	5		14 5 53.508	2*	−12 13 46.60
584	56 Mai 20	5.06		14 7 2.46		
	» 21	5.06		2.78		
	56.4	2		14 7 2.620	M*	− 5 36
585	56 Jun. 1	5.08	1	14 9 42.76	20.7	− 6 37 48.2
586	56 Mai 20	5.21		14 10 17.09		
	» 21	5.21		16.91		
	Jun. 1	5.19	1	16.98	21.5	−10 34 52.2
	» 2	5.19	1	17.21	21.5	55.4
	56.4	4		14 10 17.047	2*	−10 34 53.80
587	56 Mai 20	5.21		14 11 33.29		
	» 21	5.21		33.12		
	Jun. 1	5.19	1:	32.92 2/3	21.4	−10 32 38.0
	» 2	5.19	1	33.35	21.3	37.6
	56.4	4 (3 2/3)		14 11 33.193	2*	−10 32 37.80
588	56 Mai 20	5.26		14 12 4.01		
	» 21	5.26		3.82		
	Jun. 1	5.24	1	3.53	21.7	−12 13 53.3
	» 2	5.24	1	3.68	21.6	54.2
	56.4	4		14 12 3.760	2*	−12 13 53.75
589	56 Mai 20	5.27		14 14 30.71		
	» 21	5.27		30.73		
	Jun. 1	5.26	1	30.14	21.4	−12 14 37.8
	» 2	5.26	1	30.45	21.4	42.7
	56.4	4		14 14 30.508	2*	−12 14 40.25
590	56 Mai 20	5.18		14 15 28.44		
	» 21	5.18		28.66		
	Jun. 1	5.16	1	28.55	20.6	− 8 53 27.7
	» 2	5.16	1	28.67	20.6	34.0
	56.4	4		14 15 28.580	2*	− 8 53 30.85
591	56 Mai 20	5.53		14 21 6.18		
	» 21	5.54		6.40		
	Juni 1	5.53	1	5.64	22.1	−19 20 59.3
	» 2	5.52	1	6.19	22.1	58.6
	56.4	4		14 21 6.102	2*	−19 20 58.95

Nr.	Tag	Rectascension Red. 1755	F.	α 1755 G.	Declination Red. 1755	δ 1755
		−			+	
592	56 Mai 20	5ˢ.28		14ʰ23ᵐ59ˢ.66		
	» 21	5.28		59.70		
	Jun. 1	5.27	1	59.88	20″.2	−11° 15′ 0″.6
	» 2	5.27	1	59.81	20.1	1.5
	» 8	5.25	2	59.60 3/4	19.9	14 58.3
	56.4	5 (4 3/4)		14 23 59.736	3*	−11 15 0.13
593	56 Mai 20	5.23		14 25 52.48		
	» 21	5.23		52.31		
	Jun. 1	5.23	1	52.34	19.6	− 9 28 53.9
	» 2	5.22	1	52.37	19.6	52.5
	» 8	5.21	1::	51.75 1/4	19.3	56.3
	56.4	5 (4 1/4)		14 25 52.334	3*	− 9 28 54.23
594	56 Mai 20	5.29		14 28 47.17		
	» 21	5.29		47.11		
	Jun. 1	5.29	2	46.65	19.6	−11 10 21.5
	» 2	5.29	1	47.01	19.6	20.6
	» 8	5.28	1:	46.44 1/4	19.4	22.3
	57 Mai 22	8.19	1	46.96	35.4	20.8
	56.6; 56.7	6 (5 1/4)		14 28 46.954	4*	−11 10 21.30
595	56 Mai 20	5.11		14 30 10.99		
	» 21	5.11		10.91		
	Jun. 1	5.10	2	11.10 5/4	18.2	− 4 34 42.0
	» 2	5.10	1	11.20	18.1	44.6
	» 8	5.09	2	10.77 3/4	17.7	43.6
	57 Mai 22	7.93	1	10.68	34.2	45.3
	60 Jun. 1	17.00	5	10.88	85.1	46.8
	57.1; 57.4	7		14 30 10.945	5	− 4 34 44.46
596	56 Mai 20	5.61		14 32 20.38	M*	−20 7
597	56 Mai 20	5.62		14 33 21.38	M*	−20 16
598	56 Mai 20	5.38		14 35 55.76		
	» 21	5.38		55.79		
	Jun. 1	5.38	1	55.66	19.2	−13 6 44.1
	» 2	5.38	1	55.70	19.1	44.9
	» 8	5.37	1::	55.53 1/4	19.0	45.8
	57 Mai 22	8.31	1	55.69	34.5	44.6
	60 Jun. 1	17.69	4	55.62	85.1	49.1
	57.2; 57.4	7 (6 1/4)		14 35 55.696	5	−13 6 45.70
599	56 Mai 20	5.44		14 37 10.99		
	» 21	5.45		10.90		
	Jun. 2	5.45	1	10.87	19.3	−14 57 46.8
	» 9	5.44	2	10.68 3/2	19.2	43.5
	57 Mai 22	8.40	1	11.10		
	56.6; 56.4	5		14 37 10.886	2*	−14 57 45.15
600	56 Mai 20	5.45		14 37 22.38		
	» 21	5.45		22.30		
	Jun. 1	5.45	1	22.04	19.3	−15 0 29.2
	» 2	5.45	1	22.27	19.3	28.6
	» 8	5.44	2	22.19 1/2	19.2	29.5
	» 9	5.44	2	22.33 3/2	19.2	28.0
	57 Mai 22	8.40	1	22.40	34.5	29.9
	Jun. 21	8.34	5			
	56.6	7		14 37 22.283	5	−15 0 29.04
601	56 Mai 20	5.32		14 41 7.01		
	» 21	5.32		7.02		
	Jun. 1	5.33	1	6.87	18.2	−10 52 58.7
	» 2	5.33	1	7.07	18.1	55.7
	» 9	5.32	1	7.05	17.9	58.0
	57 Mai 22	8.23	1	6.71	33.3	56.7
	56.6; 56.7	6		14 41 6.955	4*	−10 52 57.28
602	56 Mai 20	5ˢ.32		14ʰ43ᵐ30ˢ.91		
	» 21	5.32		30.74		
	Jun. 1	5.33	2	30.53 3/2	17″.8	−10° 24′ 17″.0
	» 2	5.33	1	30.70	17.8	19.1
	» 9	5.32	1	30.85	17.5	17.5
	57 Mai 22	8.22	1	30.69 1	33.0	16.0
	56.6; 56.7	6		14 43 30.721	4*	−10 24 17.40
603	56 Mai 20	5.31		14 44 59.02		
	Jun. 1	5.33	1	58.86	17.6	−10 9 22.6
	» 9	5.32	1	59.15	17.3	17.4
	56.4	3		14 44 59.010	2*	−10 9 20.00
604	56 Mai 20	5.31		14 45 40.72		
	Jun. 1	5.33	1	40.86	17.5	−10 8 34.8
	» 2	5.33	1	40.90	17.5	32.1
	» 9	5.32	1	40.94	17.2	34.5
	56.4	4		14 45 40.855	3*	−10 8 33.80
605	56 Mai 20	5.24		14 47 55.14		
	» 21	5.24		54.87		
	Jun. 1	5.25	1	55.24	16.8	− 7 31 50.9
	» 2	5.25	1	55.17	16.7	52.2
	» 9	5.24	3	55.09 7/4	16.4	49.8
	56.4	5		14 47 55.100	3*	− 7 31 50.97
606	56 Mai 20	5.85		14 49 47.82 1/2		
	» 21	5.85		47.67 1/2		
	Jun. 2	5.87	1	47.46	19.3	−24 18 4.5
	56.4	3		14 49 47.602	1*	−24 18 4.50
607	56 Mai 20	5.50		14 53 0.40		
	» 21	5.51		0.34		
	Jun. 2	5.53	2	0.40 3/2	17.5	−15 17 23.1
	60 Jun. 9	18.04	4	0.12 2	80.2	24.3
	57.9; 58.4	4		14 53 0.287	2*	−15 17 23.70
608	56 Mai 20	5.52		14 53 11.19		
	Jun. 2	5.54	2	11.19 3/2	17.5	−15 31 5.7
	56.4	2		14 53 11.190	1*	−15 31 5.70
609	56 Mai 20	5.65		14 58 18.32		
	» 21	5.66		18.06		
	Jun. 2	5.69	1	18.14	17.4	−18 50 48.3
	56.4	3		14 58 18.173	1*	−18 50 48.30
610	56 Mai 20	5.65		14 59 24.74		
	Jun. 2	5.68	1	24.27	17.2	−18 42 28.7
	56.4	2		14 59 24.505	1*	−18 42 28.70
611	56 Mai 20	5.77		15 2 14.23	M*	−21 28
612	56 Mai 20	5.30		15 3 51.45 2		
	» 21	5.31		51.49		
	Jun. 1	5.34	2	51.61 5/4	15.1	− 8 27 43.4
	» 2	5.34	1	51.57	15.1	41.8
	» 21				14.1	43.0
	60 Jun. 1	17.50	5	51.32	75.7	40.2
	» 9	17.51	4	50.99 2	75.3	40.8
	» 11	17.51	3	51.37 3/2	75.2	41.7
	58.5; 58.4	7		15 3 51.358	6	− 8 27 41.82
613	56 Mai 20	5.30		15 6 11.53	M*	− 8 14

[1] F. 4 st. 3 ang. — [2] DZ. als richtig gedruckt angenommen, die AR des Journals gäbe 1ˢ weniger.

Nr.	Tag	Rectascension Red. 1755	F.	α 1755 G.	Declination Red. 1755	δ 1755
		−			+	
614	56 Jun. 2	5ˢ.66	1	15ʰ 7ᵐ 2ˢ.63	16″.0	−17° 15′ 2″.9
615	56 Mai 20	5.52		15 7 21.98		
	» 21	5.53		21.92		
	Jun. 2	5.56		22.21	15.6	−14 38 45.2
	» 21	5.54		22.35	15.2	50.5
	56.4	4		15 7 22.115	2*	−14 38 47.85
616	56 Mai 20	5.42	::	15 10 26.80 1/4 [1]		
	Jun. 2	5.46	::	[21.07] [2]	14.7	−11 28 37.6:: 1/4
	56.4	1 (1/4)		15 10	1(1/4)*	−11 28 37.6
617	56 Mai 20	5.35		15 10 57.22		
	» 21	5.36		57.26		
	Jun. 2	5.39	1	57.14	14.4	− 9 25 25.1
	» 21	5.37	1	57.19	13.4	26.2
	60 Jun. 1	17.63	4	57.14	73.4	21.5
	» 11	17.65	1	56.90	73.1	27.4
	57.7; 58.4	6		15 10 57.142	4*	− 9 25 25.05
618	56 Mai 20	5.58		15 14 29.03		
	» 21	5.59		28.97		
	Jun. 2	5.63	1	29.06	14.8	−15 50 37.0
	» 21	5.62	1	28.88	14.5	37.3
	56.4	4		15 14 28.985	2*	−15 50 37.15
619	56 Jun. 2	5.66	1	15 15 45.65	14.8	−16 34 30.3
620	56 Mai 20	5.58		15 16 53.84		
	» 21	5.59		53.78		
	Jun. 2	5.64	1	53.76	14.5	−15 44 56.6
	» 21	5.63	1	53.69	14.2	59.9
	56.4	4		15 16 53.768	2*	−15 44 58.25
621	56 Mai 20	5.72	:	15 17 40.00 1/2	M*	−19 18
622	56 Mai 20	5.70		15 18 35.15	M*	−18 48
623	56 Mai 20	5.60		15 19 7.23		
	» 21	5.60		7.18		
	Jun. 2	5.65		7.47	14.2	−16 0 10.5
	» 21	5.65		7.60	13.9	12.6
	56.4	4		15 19 7.370	2*	−16 0 11.55
624	56 Mai 21	6.09		15 19 50.12		
	Jun. 2	6.14	2	50.01 5/4	15.5	−27 12 0.7
	» 21	6.13	1	49.61	16.3	1.4
	56.4	3		15 19 49.921	2*	−27 12 1.05
625	56 Mai 21	5.53		15 21 51.71		
	Jun. 2	5.59	1	51.64	13.6	−13 57 11.6
	» 21	5.58	1	51.56	13.1	13.8
	60 Jun. 9	18.16	5	51.34 2	70.1	14.8
	» 11	18.17	4	51.56 2	70.1	13.8
	58.7; 58.4	5		15 21 51.530	4*	−13 57 13.51
626	56 Mai 20	6.09		15 22 12.77		
	» 21	6.10		12.91		
	Jun. 2	6.16	1	12.83	15.1	−27 18 7.4
	» 21	6.16	2	12.51 3/2	16.0	8.2
	56.4	4		15 22 12.728	2*	−27 18 7.80

[1] 1ˢ zu klein, s. Cat.-Vgl. — [2] Dgzt. 15ʰ 10ᵐ 10ˢ:: wohl nur beiläufig geschätzt.

Nr.	Tag	Rectascension Red. 1755	F.	α 1755 G.	Declination Red. 1755	δ 1755
		−			+	
627	56 Mai 21	6ˢ.01		15ʰ 22ᵐ 50ˢ.30	M*	−25° 26′
628	56 Jun. 2	5.58	1:	15 24 21.21 1/2		−13 40
629	56 Mai 20	5.70		15 24 50.89	M*	−18 28
630	56 Jun. 2	5.58	1	15 24 51.71	13″.2	−13 41 21″.1
631	56 Mai 21	5.90		15 25 51.19		
	Jun. 21	5.97	1	51.37	14.6	−23 0 3.5
	56.4; 56.5	2		15 25 51.280	1*	−23 0 3.50
632	56 Mai 20	5.73		15 27 52.76		
	» 21	5.73		52.61		
	Jun. 2	5.80	1	52.52	13.4	−18 51 52.6
	» 21	5.80	1	52.54	13.4	51.9
	56.4	4		15 27 52.608	2*	−18 51 52.25
633	56 Mai 20	5.58		15 29 2.05	M*	−15 12
634	56 Mai 20	5.58		15 30 19.93		
	» 21	5.58		19.88		
	Jun. 2	5.65	1	19.91	12.6	−14 52 19.6
	» 21	5.65	1	19.91	12.2	20.4
	60 Jun. 9	18.32	5	19.95 2	67.2	22.7 [1]
	57.7; 57.8	5		15 30 19.922	3*	−14 52 20.90
635	56 Mai 20	4.89		15 32 13.34 1/2		
	» 21	4.90		13.28 1/2		
	Jun. 2	4.95	3	13.40 1/2	9.6	+ 7 12 46.8
	» 21	4.94	3	13.08 1/4	7.2	47.5
	56.4	4 (1 3/4)		15 32 13.314	2*	+ 7 12 47.15
636	56 Mai 20	6.01		15 36 18.27		
	» 21	6.02		17.99		
	Jun. 2	6.10	1	18.02	12.8	−24 59 3.7
	» 21	6.11	1	17.82 [2]	13.4	5.7
	56.4	4		15 36 18.025	2*	−24 59 4.70
637	56 Mai 20	6.00		15 38 57.60		
	» 21	6.00		57.33		
	Jun. 2	6.08	1	57.42	12.4	−24 34 21.6
	» 21	6.11	1	57.21 [3]	13.0	22.9
	56.4	4		15 38 57.390	2*	−24 34 22.25
638	56 Mai 20	5.77		15 39 9.19		
	» 21	5.78		9.11		
	Jun. 2	5.85	1	9.12	11.9	−19 24 47.8
	» 21	5.88	1	8.74 [4]	11.9	50.1
	56.4	4		15 39 9.040	2*	−19 24 48.95
639	56 Mai 21	5.64		15 39 54.85		
	Jun. 2	5.72	1:	54.96 2/3	11.4	−15 59 21.0
	» 21	5.74	1	54.77	11.1	22.9
	» 23	5.74	2	54.86 3/2	11.1	21.7
	60 Jun. 9	18.52	4	54.89 2	63.8	23.6
	» 11	18.53	5	54.75 2	63.7	20.2
	58.3; 58.0	6		15 39 54.843	5	−15 59 21.88
640	56 Mai 20	5.99		15 40 0.02	M*	−24 29
641	56 Mai 20	5.74	::	15 40 53 [5]	M*	−18 38

[1] ZD. +10ᵖ corr. — [2] DZ. −2ᵐ corr. — [3] DZ. −1ᵐ corr. — [4] Dgl. — [5] F. 4 beob.

Nr.	Tag	Rectascension Red. 1755	F.	α 1755 G.	Declination Red. 1755	δ 1755
		−			+	
642	56 Mai 21	6ˢ.20		15ʰ41ᵐ49ˢ.15		
	Jun. 2	6.29	I	48.82	12″.3	−28° 28′ 29″.0
	» 21	6.32	I	48.68	13.2	31.1
	» 23	6.31	I	[42 14.60]	13.3	34.1
	56.4; 56.5	3		15 41 48.883	3*	−28 28 31.40
643	56 Mai 20	6.04		15 44 4.77		
	» 21	6.05		5.28		
	Jun. 2	6.14	I	5.29	11.7	−25 23 8.7
	» 21	6.17	I	5.33	12.3	9.4
	» 23	6.17	I	[4.89[1]]	12.4	10.5
	56.5	5		15 44 5.112	3*	−25 23 9.53
644	56 Mai 21	5.56		15 44 30.47		
	Jun. 2	5.63	I	30.33	10.6	−13 33 8.8
	» 21	5.66	I	30.17	10.0	10.7
	56.4	3		15 44 30.323	2*	−13 33 9.75
645	56 Mai 20	5.88		15 45 53.64		
	» 21	5.89		54.01		
	Jun. 2	5.98	2	53.71 3/2	11.1	−21 54 8.7
	» 21	6.02	I	52.98	11.4	9.9
	» 23	6.01	I	53.40	11.4	10.8
	60 Jun. 9	19.86	5	54.20 2	62.2	5.2
	» 11	19.26	4	54.05 2	62.2	0.7
	58.1; 58.0	7		15 45 53.793	5	−21 54 7.06
646	56 Jun. 2	6.14	I::	15 48	11.0	−25 9 32.5
	» 21	6.18	I	35.43	11.6	33.1
	» 23	6.18	I	35.48	11.7	35.8
	56.5	2		15 48 35.455	3	−25 9 33.80
647	56 Mai 20	5.45		15 50 55.79		
	» 21	5.46		55.61		
	Jun. 2	5.54	I	55.62	9.5	−10 40 35.7
	» 21	5.58	I	55.54	8.6	40.1
	» 23	5.58	I	55.80	8.5	39.8
	56.4; 56.5	5		15 50 55.672	3*	−10 40 38.53
648	56 Mai 20	5.77		15 51 13.75		
	» 21	5.78		13.87		
	Jun. 2	5.87	I	13.87	10.1	−19 6 47.0
	» 21	5.92	I	13.86 2	10.1	46.8
	» 23	5.92	2	13.75 3/2	10.1	47.9
	60 Jun. 9	18.97	4	14.11 2	59.6	45.4
	» 11	18.98	5	14.05 2	59.7	46.3
	58.2; 58.0	7		15 51 13.926	5	−19 6 46.68
649	56 Mai 20	5.77		15 51 14.05		
	» 21	5.78		14.57		
	Jun. 2	5.87	I	14.37	10.1	−19 6 33.8
	» 21	5.92	I	14.80 3	10.1	35.8
	» 23	5.92	2	14.25 3/2	10.1	35.3
	56.4; 56.5	5		15 51 14.394	3*	−19 6 34.97
650	56 Mai 21	5.82		15 52 30.85		
	Jun. 2	5.91	I	30.97	10.0	−19 59 1.0
	56.4	2		15 52 30.910	1*	−19 59 1.00
651	56 Mai 20	5.82		15 53 4.73		
	» 21	5.83		4.75		
	Jun. 2	5.92	I	4.84	10.0	−20 11 4.9
	56.4	3		15 53 4.773	1*	−20 11 4.90

[1] 3ˢ.89 + 1ˢ ang. — [2] 12ˢ.86 + 1ˢ ang. — [3] 13ˢ.80 + 1ˢ ang.

Nr.	Tag	Rectascension Red. 1755	F.	α 1755 G.	Declination Red. 1755	δ 1755
		−			+	
652	56 Mai 20	6ˢ.18		15ʰ57ᵐ11ˢ.05		
	» 21	6.19		11.05		
	Jun. 2				9″.9	−27° 45′ 18″.1
	» 21	6.35	I	10.60	10.8	21.3
	» 23	6.35	I	10.65	10.8	21.2
	56.4; 56.5	4		15 57 10.837	3*	−27 45 20.20
653	56 Mai 20	6.15		15 57 16.11		
	» 21	6.16		16.01		
	Jun. 2	6.27	I	15.94	9.8	−27 16 0.8
	» 21	6.31	I	15.66		
	» 23	6.33	I	15.66	10.8	1.9
	56.4; 56.5	5		15 57 15.876	2*	−27 16 1.35
654	56 Mai 20	5.76		15 57 46.41		
	Jun. 2	5.87	I	46.55	9.2	−18 47 28.5
	» 21	5.93	I	46.36	9.1	30.8
	» 23	5.93	I	46.72[1]	9.1	27.7
	56.4; 56.5	4		15 57 46.510	3*	−18 47 29.00
655	56 Mai 20	5.76		15 57 47.41		
	Jun. 2	5.87	I	47.75	9.2	−18 48 8.7
	» 21	5.93	I	47.86	9.1	9.7
	» 23	5.93	I	47.92[2]	9.2	7.2
	56.4; 56.5	4		15 57 47.735	3	−18 48 8.53
656	56 Jun. 21	6.22	I	16 0 5.36	9.8	−24 49 55.4
	» 23	6.22	I	5.62	9.9	59.0
	56.5	2		16 0 5.490	2	−24 49 57.20
657	56 Mai 20	6.20		16 3 9.44		
	» 21	6.21		9.56		
	Jun. 2	6.32	I	9.48	9.2	−27 58 45.9
	» 21	6.39	I	9.11	9.8	47.0
	» 23	6.39	I	9.46	9.9	52.5
	56.4; 56.5	5		16 3 9.410	3*	−27 58 48.47
658	56 Jun. 23	6.18	I±	16 5	8.8	−23 33 17.0
	Juli 4	6.15	I	56.54	8.9	17.7
	» 5	6.15	I	56.47	8.9	22.3
	56.5	2		16 5 56.505	3	−23 33 19.00
659	56 Mai 20	6.05		16 6 20.75		
	» 21	6.06		20.97		
	Jun. 2	6.17	I	20.83	8.3	−24 58 50.9
	» 21	6.25	I	20.63	8.9	52.2
	» 23	6.25	I	20.59	8.9	51.8
	Juli 5	6.22	2	20.64 3/2	9.2	53.6
	60 Jun. 26	19.90	3	20.91 1/2	54.7	55.6
	56.7; 57.3	7		16 6 20.741	5	−24 58 52.82
660	56 Jun. 21	6.48	I	16 9 19.59	9.0	−29 6 17.9
	» 23	6.48	I	19.15		
	56.5	2		16 9 19.370	1	−29 6 17.90
661	56 Mai 20	5.80		16 9 48.29		
	» 21	5.81		47.81[3]		
	Jun. 2	5.92	I	48.14	7.5	−19 26 28.1
	» 21	6.00	I	48.09	7.5	28.0
	» 23	6.00	I	48.15	7.5	28.4
	Juli 4	5.98	I	48.19	7.4	29.9
	» 5	5.98	I	48.11 3/4	7.4	30.4
	56.5	7		16 9 48.112	5	−19 26 28.96

[1] 44ˢ.72 + 2ˢ ang. — [2] 45ˢ.92 + 2ˢ ang. — [3] Ohne Corr. DZ.

Nr.	Tag	Rectascension Red. 1755	F.	α 1755 G.	Declination Red. 1755	δ 1755
		−				
662	56 Mai 20	5ˢ.95		16ʰ10ᵐ56ˢ.62		
	» 21	5.96		56.23		
	Jun. 2	6.08	1	56.32	+ 7″.5	−22° 51′ 29″.6
	» 21	6.16	1	56.51	+ 7.9	31.5
	» 23	6.16	1	56.45	+ 7.9	31.9
	Juli 5	6.14	1	56.36	+ 8.0	33.9
	56.4; 56.5	6		16 10 56.415	4*	−22 51 31.72
663	56 Mai 20	5.73		16 12 51.37		
	» 21	5.74		51.49		
	Jun. 2	5.86	1	51.37	+ 7.0	−17 52 39.9
	» 21	5.94	1	51.43	+ 6.8	40.8
	» 23	5.94	1	51.77	+ 6.8	40.5
	Juli 4	5.93	1	51.74	+ 6.6	39.4
	» 5	5.92	1	51.62	+ 6.6	40.9
	56.5	7		16 12 51.541	5*	−17 52 40.30
664	56 Mai 20	6.10		16 14 26.11		
	» 21	6.11		25.83		
	Jun. 2	6.23	5	25.82 2	+ 7.1	−25 51 47.6
	» 21	6.32	2	25.73½	+ 7.8	51.8
	» 23	6.32	5	25.94 2	+ 7.8	51.2
	Juli 4	6.31	4	25.88 2	+ 8.2	53.4
	» 5	6.30	3	25.80 2	+ 8.2	49.6
	Spt. 24	5.12	3		+ 7.0	54.0
	Oct. 15	4.82	5		+ 5.9	51.5
	57 Oct. 23	8.06	5		+15.5	52.9
	60 Jun. 26	20.11	3	25.67½	+51.4	[59.2]
	56.6; 56.7	8		16 14 25.854	8	−25 51 51.50
665	56 Juli 5	6.32	2	16 16 23.28½	+ 7.9	−25 58 51.3
666	56 Mai 21	5.68		16 17 8.97		
	Jun. 2	5.79	1	8.93	+ 6.3	−16 3 20.8
	» 21	5.88	1	8.77	+ 5.9	23.6
	» 23	5.88	1	9.22	+ 5.8	21.1
	Juli 4	5.87	1	9.34	+ 5.6	20.9
	» 5	5.86	1	9.04		
	56.5	6		16 17 9.045	4*	−16 3 21.60
667	56 Mai 21	5.88		16 17 38.86		
	Jun. 2	6.00	1	38.88	+ 6.4	−20 55 3.4
	» 21	6.09	1	38.70	+ 6.5	8.2
	» 23	6.10	1	38.98	+ 6.6	7.3
	Juli 4	6.08	2	39.43½	+ 6.6	6.7
	» 5	6.08	1	38.88		
	56.5	6		16 17 38.988	4*	−20 55 6.40
668	56 Mai 21	6.20		16 20 40.66		
	Jun. 2	6.34	3	40.45 2	+ 6.2	−27 40 53.4
	» 21	6.44	1	40.53	+ 7.0	56.6
	» 23	6.44	1	40.59	+ 7.1	56.9
	Juli 4	6.43	1	40.46	+ 7.6	57.7
	» 5	6.43	1	40.52	+ 7.6	59.9
	56.5	6		16 20 40.529	5	−27 40 56.90
669	56 Juli 5	5.96	1	16 24 17.90	+ 4.9	−17 42 16.1[1]
670	56 Juli 23				−12.8	+76 18 30.5
671	56 Jun. 23	6.08	1	16 26 9.99	+ 5.1	−19 54 25.8
672	56 Jun. 21	5.97	1	16 27 7.69	+ 4.7	−17 33 37.0

[1] ZD. st. 73 12 5.2 gel. 15.2.

Nr.	Tag	Rectascension Red. 1755	F.	α 1755 G.	Declination Red. 1755	δ 1755
		−			+	
673	56 Jun. 21	5ˢ.96	1	16ʰ27ᵐ26ˢ.18	4″.6	−17° 14′ 42″.4
	» 23	5.96	1	26.24	4.5	39.6
	Juli 5	5.96	1	26.10	4.4	42.1
	56.5	3		16 27 26.173	3	−17 14 41.37
674	56 Juli 5	6.05	1	16 27 31.56	4.8	−19 25 54.9
675	56 Jun. 21	6.49	1	16 29 43.14[1]	5.6	−28 1 41.9
	» 23	6.50	1	42.79	5.7	43.8
	Juli 5	6.49	1	43.62	6.2	45.6
	56.5	3		16 29 43.183	3	−28 1 43.77
676	56 Juli 4	6.85	3	16 34 20.40½	6.5	−33 49 21.4
	» 5	6.85	1	20.36½	6.6	14.9
	56.5	2 (1)		16 34 20.380	2	−33 49 18.15
677	56 Jun. 21	6.30	1	16 34 51.47	4.4	−24 11 8.9
	» 23	6.31	1	51.61	4.4	5.1
	56.5	2		16 34 51.540	2	−24 11 7.00
678	56 Jun. 23	5.94	1	16 36 51.79	3.0	−16 6 6.5::¼
679	56 Jun. 21	6.11	2	16 38 58.78½	3.2	−19 58 55.2
	» 23	6.12	1	59.19	3.2	54.7
	56.5	2		16 38 58.944	2	−19 58 54.95
680	56 Juli 4	6.82	3	16 41 15.75½	5.2	−32 50 38.6
	» 5	6.82	1:	16.77¼	5.2	31.0
	56.5	2 (¾)		16 41 16.090	2	−32 50 34.80
681	56 Jun. 21	6.25	1	16 42 3.54	3.1	−22 44 10.9
682	56 Jun. 21	6.08	1	16 42 41.63	2.5	−19 7 45.4
683	56 Jun. 21	6.35	1	16 44 59.68	2.8	−24 41 38.8
	Juli 5	6.37	2	59.99½	3.1	40.1
	56.5	2		16 44 59.866	2	−24 41 39.45
684	56 Jun. 21	6.35	1	16 45 11.20	2.8	−24 35 22.9
	Juli 5	6.36	1	11.11	3.1	24.0
	56.5	2		16 45 11.155	2	−24 35 23.45
685	56 Juli 5	6.08	1	16 47 32.96	1.6	−18 30 5.6
686	56 Jun. 21	6.39	1	16 48 58.04	2.2	−25 19 23.9½
	» 23	6.40	1	57.77	2.3	28.0
	56.5	2		16 48 57.905	2(1½)	−25 19 26.63
687	56 Jun. 21	6.39	1	16 49 40.94	2.1	−25 16 14.9
	» 23	6.40	1	41.28	2.2	13.4
	56.5	2		16 49 41.110	2	−25 16 14.15
688	56 Juli 5	6.17	1	16 50 16.31	1.5	−20 7 36.3
689	56 Jun. 23	6.20	1±	16 51	1.4	−21 12 0.3
	Juli 5	6.22	1	35.75	1.5	1.0
	56.5	1		16 51 35.750	2	−21 12 0.65
690	56 Jun. 21	6.44	1	16 51 44.09	1.9	−26 9 17.7
	» 23	6.46	1	44.27	2.0	19.0
	Juli 5	6.47	1	44.13	2.3	20.3
	56.5	3		16 51 44.163	3	−26 9 19.00

[1] −1ˢ corr. S. Cat.-Vgl.

Nr.	Tag	Rectascension Red. 1755	F.	α 1755 G.	Declination Red. 1755	δ 1755
691	56 Jun. 21	— 6ˢ.02	1	16ʰ54ᵐ 2ˢ.03	+ 0″.7	−17° 15′ 36″.3
	» 23	6.03	2	2.68 5/4	+ 0.6	40.5
	Juli 5	6.05	1	2.65	+ 0.4	38.1
	56.5	3		16 54 2.471	3	−17. 15 38.10
692	56 Jun. 21	5.95	1	16 56 21.23	+ 0.1	−15 23 51.4
	» 23	5.95	1	21.28	+ 0.1	51.3
	Juli 5	5.98	1	21.33	− 0.3	51.8
	56.5	3		16 56 21.280	3	−15 23 51.50
693	56 Jun. 21	6.46	2	17 0 18.84 3/2	+ 0.5	−26 13 0.6
	» 23	6.47	1	18.70	+ 0.6	3.2
	Juli 4	6.50	1	18.62	+ 0.9	3.4
	» 5	6.50	1	19.08	+ 1.0	0.4
	56.5	4		17 0 18.813	4	−26 13 1.90
694	56 Juli 5	6.50	1	17 1 11.68	+ 0.8	−26 9 59.6
695	56 Jun. 21	6.24	1	17 3 5.85	− 0.1	−23 59 34.4
	» 23	6.36	1	5.87	− 0.1	37.2
	Juli 5	6.39	1	5.77	+ 0.2	36.9
	56.5	3		17 3 5.840	3	−23 59 36.17
696	56 Jun. 21	6.34	2	17 3 10.93 3/2	− 0.1	−23 46 36.2
	» 23	6.35	1	10.76	− 0.1	33.8
	Juli 5	6.38	2	11.15 3/2	+ 0.1	33.7
	56.5	3		17 3 10.970	3	−23 46 34.57
697	56 Jun. 21	6.20	1	17 6 20.26	− 0.9	−20 49 30.6
	Juli 5	6.24	1	20.60	− 0.9	32.2
	56.5	2		17 6 20.430	2	−20 49 31.40
698	56 Jun. 23	6.40	1	17 6 41.82	− 0.6	−24 37 55.9 [1]
699	56 Jun. 21	6.39	1	17 6 59.69	− 0.7	−24 43 42.2
	» 23	6.40	1	59.21	− 0.6	45.2
	Juli 4	6.44	1	59.26	− 0.4	43.6
	» 5	6.44	1:	59.49 2/3	− 0.3	45.3
	56.5	4 (3 2/3)		17 6 59.405	4	−24 43 44.07
700	56 Juli 5	6.61	1	17 7 58.02	0.0	−27 52 44.0
701	56 Jun. 21	6.22	2	17 10 4.37	− 1.4	−21 11 15.4
702	56 Jun. 21	6.36	1	17 10 8.92 [2]	− 1.2	−23 59 35.6
	Juli 5	6.41	1	9.02	− 1.0	35.9
	56.5	2		17 10 8.970	2	−23 59 35.75
703	56 Jun. 21	6.36	1	17 11 25.87	− 1.4	−23 55 24.4
	Juli 4	6.41	1	25.56	− 1.2	27.3
	» 5	6.41	1	26.05	− 1.2	25.9
	60 Jun. 26	20.25	3	25.79 1/2	+25.0	27.8
	57.5	4 (3 1/2)		17 11 25.821	4	−23 55 26.35
704	56 Juli 23				−16.0	+82 23 51.7
	» 29				−17.2	51.3
	56.6				2	+82 23 51.50

[1] ZD. — 1ᵖ corr. — [2] DZ. st. 17ʰ 9ᵐ 43ˢ.0 ang. 17ʰ 8ᵐ 42ˢ.0; die Corr. — 1ˢ gibt nicht allein bessere Uebereinstimmung mit der zweiten Beob., sondern scheint auch nach Mayer's Catalog erforderlich.

Nr.	Tag	Rectascension Red. 1755	F.	α 1755 G.	Declination Red. 1755	δ 1755
705	56 Jun. 21	— 6ˢ.35	1	17ʰ16ᵐ29ˢ.21	− 2″.2	−23° 44′ 45″.3
	Juli 5	6.41	1	29.54	− 2.0	47.9
	Aug. 8	6.22	1	28.82 1/2	− 1.5	51.3
	56.5	3 (2 1/2)		17 16 29.264	3	−23 44 48.17
706	56 Juli 5	7.20	2	17 16 59.97 1/4	− 0.2	−36 53 47.3
707	56 Jun. 21	6.06	1	17 18 44.72	− 3.0	−17 17 39.9
708	56 Juli 5	6.33	1	17 20 35.27	− 2.9	−21 51 9.0
709	56 Jun. 21	5.98	1	17 23 33.41	− 3.8	−15 23 47.3
	Juli 5	6.04	1	34.16	− 4.3	51.7
	56.5	2		17 23 33.785	2	−15 23 49.50
710	56 Jun. 21	5.97	1	17 23 34.40	− 3.8	−15 13 13.4
	Juli 5	6.04	1	34.61	− 4.3	11.2
	60 Jun. 26	19.06	5	34.22 1/2	+18.5	11.0
	57.3; 57.8	3 (2 1/2)		17 23 34.448	3	−15 13 11.87
711	56 Jun. 21	5.03	1	17 23 34.35 1/4	− 5.5	+12 45 23.8
	Juli 4	5.07	2	35.74 1/4	− 7.8	22.0
	» 5	5.07	1	35.11 1/4	− 8.0	26.9
	Aug. 8	4.85	1	34.93 1/2	−12.7	27.8
	56.5	4 (1 1/4)		17 23 35.012	4	+12 45 25.35
712	56 Juli 12	3.92	1	17 24 55.11 1/4	−13.7	+52 29 28.5
	» 23	3.54	1		−16.4	*31.5* [1]
	» 24				−16.6	*33.1* [1]
	» 29	3.41	1		−17.7	*32.0* [1]
	Aug. 7	3.19	1		−19.4	*30.9*
	» 8	3.16	1	55.45 1/4	−19.6	33.9
	» 14	2.99	3	54.65 3/4	−20.5	*33.0*
	56.6	3 (1 1/4)		17 24 54.902	7	+52 29 31.84
713	56 Jun. 21	5.98	1	17 28 37.27	− 4.5	−15 24 48.7
714	56 Jun. 21	6.25	1::	17 28 47.0 1/4	− 4.3	−21 32 17.1
715	56 Jun. 21	6.56	1	17 32 9.49	− 4.5	−27 42 37.6
	Juli 4				− 4.0	38.3
	» 5	6.65	1	9.42	− 4.0	36.4
	» 12	6.66	1	9.49	− 3.7	35.2
	56.5	3		17 32 9.467	4	−27 42 36.87
716	56 Juli 5	6.60	1	17 33 9.22	− 4.2	−26 51 30.7
717	56 Juli 12	6.41	1	17 36 16.75	− 5.1	−22 49 5.9
718	56 Juli 15	4.94	1	17 36 20.49	−11.7	+17 48 20.7
719	56 Juli 12	6.24	1	17 37 53.49	− 6.0	−19 1 53.3
720	56 Juli 15	5.89	1	17 39 27.57	− 7.6	−10 48 55.1
721	56 Juli 15	5.91	1	17 40 29.50	− 7.7	−11 15 43.2
722	56 Jun. 21	6.13	1	17 41 31.00	− 6.3	−18 44 7.7
	Juli 12	6.23	1	31.20	− 6.6	0.3
	56.5	2		17 41 31.100	2	−18 44 4.00
723	56 Juli 12	6.38	1	17 41 37.63	− 6.1	−21 53 11.2

[1] Quadr. N.

Nr.	Tag	Rectascension Red. 1755	F.	α 1755 G.	Declination Red. 1755	δ 1755
		—			—	
724	56 Jun. 21	6ˢ.00	1	17ʰ42ᵐ14ˢ.25	6″.5	−15° 44′ 38″.8
	Juli 15	6.10	1	14.17	7.2	38.7
	56.5	2		17 42 14.210	2	−15 44 38.75
725	56 Jun. 21				6.7	−23 46 1.0
	Juli 4	6.45	2	17 44 50.79 1/2	6.5	2.6
	» 5	6.46	1	50.78	6.5	1.3
	» 12	6.47	1	50.99	6.5	0.9
	56.5	3		17 44 50.873	4	−23 46 1.45
726	56 Juli 12	6.50	1	17 45 11.13	6.3	−24 14 14.0
727	56 Juli 15	6.31	1	17 45 26.16	7.0	−20 17 42.5
728	56 Juli 5	6.41	1	17 47 4.46	6.9	−22 44 51.6
	» 15	6.43	1	4.24	6.9	51.3
	56.5	2		17 47 4.350	2	−22 44 51.45
729	56 Juli 4	6.48	1	17 47 51.18	6.9	−24 15 15.1
	» 12	6.50	1	51.05	6.7	14.1
	56.5	2		17 47 51.115	2	−24 15 14.60
730	56 Juli 5	6.41	1	17 48 12.05	7.1	−22 41 31.2
	» 15	6.43	1	11.93	7.0	28.8
	56.5	2		17 48 11.990	2	−22 41 30.00
731	56 Juli 5	6.49	1	17 48 51.72	7.0	−24 20 18.7
	» 12	6.51	1	51.86	6.9	18.8
	56.5	2		17 48 51.790	2	−24 20 18.75
732	56 Juli 4	6.82	2	17 50 4.66 1/2	6.7	−30 23 59.0
	57 Aug. 24	9.99	4	4.73 [2]	1.4	55.5
	57.1	2		17 50 4.688	2	−30 23 57.25
733	56 Juli 11	3.93	2	17 50 55.47 1/4	15.0	+51 31 33.5
	» 12	3.93	1	55.41 1/4	15.2	33.7
	» 15	3.89	3	55.60 1/4	16.1	34.7
	» 22	3.80	1		17.9	*36.0* [1]
	» 23	3.78	1		18.2	*40.5* [1]
	» 24				18.4	*42.4* [1]
	» 29	3.68	2		19.7	*41.1* [1]
	Aug. 7	3.19	1		21.6	*41.3*
	» 8	3.46	1	55.86 1/4	21.8	39.1
	» 14	3.30	2	55.74 3/4	22.9	*40.5*
	57 Aug. 6	4.78	5	55.45 1/4	18.7	40.1
	56.7	6 (2)		17 50 55.626	(11)	+51 31 38.45
734	56 Juli 5	6.35	1	17 52 30.16	7.9	−21 26 35.6
735	56 Juli 5	6.71	1	17 52 34.35	7.2	−28 27 18.8
736	56 Juli 4	6.82	2	17 54 17.93 1/2	7.3	−30 44 23.7
	» 12	6.86	1	18.56	6.9	18.1
	56.5	2		17 54 18.182	2	−30 44 20.90
737	56 Juli 5	6.46	1	17 56 46.51	8.3	−23 43 28.1
	» 12	6.49	1	46.82	8.2	23.7
	» 15	6.49	1	46.25	8.2	27.9
	56.5	3		17 56 46.527	3	−23 43 26.57

[1] Quadr. N.

Nr.	Tag	Rectascension Red. 1755	F.	α 1755 G.	Declination Red. 1755	δ 1755
		—			—	
738	56 Juli 4	6ˢ.33	1	17ʰ59ᵐ 7ˢ.08	8″.9	−21° 5′ 49″.6
	» 5	6.34	1	7.13	8.9	49.7
	» 12	6.36	1	7.12	8.9	45.2
	57 Aug. 6	9.54	1	7.04 1/2	6.7	50.2
	» 24	9.33	2	7.08 3/2	6.5	49.3
	56.9	5		17 59 7.094	5	−21 5 48.80
739	56 Juli 12	6.39	1	17 59 33.26	8.9	−21 45 7.3
	» 15	6.40	1	32.92	8.9	7.3
	56.5	2		17 59 33.090	2	−21 45 7.30
740	56 Juli 4	6.32	1	18 0 36.42	9.1	−20 46 32.1
	» 5	6.32	2	36.13 3/2	9.0	31.3
	» 11	6.35	2	36.05 3/2	9.2	32.6
	» 12	6.35	1	36.40	9.1	31.5
	» 15	6.35	1	36.09	9.0	30.9
	57 Aug. 6	9.52	1	35.95 1/2	7.1	33.4
	» 24	9.32	3	36.58 2	6.9	34.2
	56.8	7		18 0 36.266	7	−20 46 32.28
741	56 Juli 5	6.31	2	18 0 38.11 5/4	9.2	−20 26 6.7
	» 12	6.33	1	38.36	9.2	6.2
	» 15	6.34	1::	37.79 1/4	9.2	4.8
	56.5	3 (2 1/2)		18 0 38.178	3	−20 26 5.90
742	56 Juli 4	6.79	1	18 5 18.61	9.2	−29 54 15.2
	» 5	6.79	1	18.46	9.2	14.6
	» 11	6.82	1	18.28	8.9	17.4
	» 12	6.82	1	18.59	8.8	14.6
	» 15	6.83	1	18.77	8.7	13.8
	Spt. 15	6.12	1	19.13 1/4	6.0	20.1
	57 Aug. 6	10.12	1	18.89 1/2	6.0	16.9
	56.6; 56.7	5 (3 3/4)		18 5 18.598	7	−29 54 15.51
743	56 Juli 29	3.66	1	18 5 45.33 1/4	20.8	+54 13 *20.6* [1]
744	56 Juli 4	7.07	2	18 7 54.30 1/4	9.3	−34 28 18.9
	» 5	7.07	2	54.50 1/4	9.2	16.6
	» 11	7.10	1	54.85 1/4	8.8	12.9
	» 12	7.11	1	54.99 1/4	8.7	8.0
	» 15	7.12	1	54.88 1/4	8.5	12.2
	Spt. 15	6.37	1	55.12 1/4	4.8	29.6
	57 Aug. 14	10.57	1	55.29 1/4	5.0	22.1
	56.7	7 (2 1/4)		18 7 54.847	7	−34 28 16.47
745	56 Juli 5	6.32	1	18 10 45.58	10.7	−20 38 48.4
	» 15	6.36	1	45.61	10.7	49.1
	56.5	2		18 10 45.595	2	−20 38 48.75
746	56 Juli 4	6.55	2	18 12 51.11 3/2	9.3	−25 31 48.2
	» 5	6.55	1	50.99	10.7	46.6
	» 11	6.59	1	50.91	10.5	47.6
	» 15	6.60	1	51.11	10.4	49.7
	Spt. 15	5.95	1	51.55	8.6	56.7
	57 Aug. 14	9.83	1	51.25	8.4	50.0
	60 Aug. 21	20.62	3:	50.73 1/2		
	Spt. 17	20.19	4	51.30	2.1	53.0
	» 18	20.18	5	51.15	2.1	51.4
	57.8; 57.7	9		18 12 51.143	8	−25 31 50.40
747	56 Juli 4	6.54	1	18 14 15.43 [2]	10.9	−25 23 7.1
	» 5	6.55	1	14.98	10.9	8.5
	» 11	6.58	1	15.31	10.8	9.1
	56.5	3		18 14 15.240	3	−25 23 8.23

[1] Quadr. N. — [2] Dgzt. +1ᵐ corr.

Nr.	Tag	Rectascension Red. 1755	F.	α 1755 G.	Declination Red. 1755	δ 1755
		—			—	
748	56 Juli 5	6ˢ.24	1	18ʰ15ᵐ47ˢ.79	11″.6	−18° 51′ 31″.7
	» 11	6.27	1	47.73	11.7	34.6
	Spt. 3	5.89	2	47.31 5/4	11.5	39.9
	57 Aug. 14	9.36	1	47.35	11.0	34.3
	56.8	**4**		**18 15 47.531**	**4**	**−18 51 35.12**
749	56 Juli 4	6.24	1	18 16 56.45	11.7	−19 2 19.3
	» 5	6.23	1	56.61 1	11.7	15.9
	» 11	6.28	1	56.88	11.8	22.6
	56.5	**3**		**18 16 56.647**	**3**	**−19 2 19.27**
750	56 Juli 5	6.25	1	18 17 5.06	11.8	−18 32 39.3
	» 11	6.26	1	4.82	11.9	44.1
	Spt. 3	5.88	1	4.73	11.8	47.5
	57 Aug. 14	9.35	1	4.52	11.4	40.7
	56.8	**4**		**18 17 4.782**	**4**	**−18 32 42.90**
751	56 Juli 4	6.24	2	18 18 3.94 3/2	11.9	−19 7 20.4
	» 5	6.25	1:	3.56 2/3	11.9	20.9
	» 11	6.28	1	3.93 2	12.0	26.2
	56.5	**3**		**18 18 3.857**	**3**	**−19 7 22.50**
752	56 Spt. 3	5.82	1	18 18 43.77	14.4	−15 1 11.8
753	56 Juli 11	6.26	1	18 18 48.48	12.1	−18 31 18.2
754	57 Aug. 14	9.75	1	18 18 55.32	10.3	−24 11 22.4
755	57 Aug. 14	9.77	1	18 19 33.49	10.4	−24 22 58.3
756	56 Spt. 3	5.75	1	18 19 39.19	13.3	−15 0 43.6
757	56 Juli 4	6.26	2	18 20 56.34 5/4	12.3	−19 26 4.4
	» 5	6.26	1	56.31	12.3	8.2
	» 11	6.30	1	56.15	12.4	7.4
	56.5	**3**		**18 20 56.272**	**3**	**−19 26 6.67**
758	56 Juli 4	6.26	1::	18 22 40.33 1/4	12.5	−19 23 16.1
	» 5	6.26	1	40.62	12.5	15.2
	» 11	6.30	1	40.95	12.6	13.7
	56.5	**3 (2 1/4)**		**18 22 40.734**	**3**	**−19 23 15.00**
759	56 Juli 11	6.40	1	18 23 13.88	12.5	−21 34 26.3
	Spt. 3	6.04	1	13.28 1/2	11.7	27.6
	57 Aug. 14	9.58	1	13.69	12.4	31.1
	57.0; 56.9	**3 (2 1/2)**		**18 23 13.684**	**3**	**−21 34 28.33**
760	56 Spt. 3	5.92	1	18 23 36.79	11.0	−23 41 17.7
761	56 Juli 4	6.17	1	18 23 37.88	12.8	−17 24 52.3
	» 5	6.18	1	37.49	12.8	50.3
	» 11	6.21	1	37.89	12.9	50.4
	56.5	**3**		**18 23 37.753**	**3**	**−17 24 51.00**
762	56 Juli 5	6.34	1:	18 24 16.44 2/3	12.7	−21 13 44.3
	» 11	6.38	2	16.32 3/2	12.7	43.2
	Spt. 3	6.01	1	16.84	11.9	46.2
	56.6	**3**		**18 24 16.509**	**3**	**−21 13 44.57**
763	56 Juli 15	4.12	1	18 26 36.02 1/4	18.1	+51 56 30.3
	» 22				20.1	27.8 3
	» 29	3.96	::		22.1	29.3 3

[1] F. 5 st. 3 ang. — [2] 4ˢ.93 − 1ˢ ang. — [3] Quadr. N.

Nr.	Tag	Rectascension Red. 1755	F.	α 1755 G.	Declination Red. 1755	δ 1755
		—			—	
763	56 Aug. 8				24″.6	+51° 56′ 35″.3:: 1/4
	Spt. 15	2ˢ.68	1	18ʰ26ᵐ35ˢ.06 1/4	30.4	33.2
	56.6	**2 (1/2)**		**18 26 35.54**	**5 (4 1/4)**	**+51 56 30.45**
764	56 Juli 22				20.2	+52 10 5.8 1
	» 23				20.5	6.7 1
	» 29	3.96	1:	18 28 23.27 1/2	22.2	7.5 1
	Aug. 6	3.82	1::		24.2	2.9
	» 8				24.7	3.1
	Spt. 15	2.68	1	24.56 1/4	30.6	7.3
	56.6	**2 (3/4)**		**18 28 23.70**	**6**	**+52 10 5.55**
765	56 Juli 4	4.54	3	18 28 39.05 1/4	14.8	+38 31 3.7
	» 5	4.54	5	38.74 1/4	15.1	6.0
	» 11	4.55	4	38.31 1/4	16.8	4.6
	» 15	4.54	1	38.51 1/4	17.9	6.4
	Aug. 6	4.37	1		23.3	7.9
	» 8	4.34	1	38.33 1/4	23.8	9.8
	» 16	4.21	1	39.05 1/4	25.3	11.5
	Spt. 3	3.84	1	39.34 1/4	28.0	13.0
	» 15	3.55	1	39.21 1/4	29.0	11.7
	» 30	3.15	5	38.95 1/4	29.4	11.2
	Oct. 18	2.69	4		28.4	5.2
	Dec. 24	1.91	5		13.2	11.0
	57 Aug. 6	6.18	5	38.64 1/4	23.6	11.0
	» 14	6.06	5	38.51 1/4	25.3	13.5
	» 24	5.88	4	38.78 1/4		
	56.84; 56.78	**12 (3)**		**18 28 38.785**	**14**	**+38 34 9.04**
766	56 Juli 4	6.62	1	18 30 20.36	13.3	−27 12 55.3
	» 5	6.63	2	20.47 3/2	13.3	58.4
	» 11	6.67	2	20.42 3/2	13.1	59.2
	Aug. 16				11.6	59.5
	Spt. 15				10.5	13 5.3
	» 30	5.81	1	20.94	10.1	12 59.0
	57 Aug. 14	10.01	1	20.13	12.2	56.8
	60 Aug. 21	20.96	5	20.81 3/2	10.9	56.6
	Spt. 17	20.54	5	20.37	9.9	53.9
	» 18	20.53	5	20.53	9.8	54.0
	58.2; 57.9	**8**		**18 30 20.556**	**10**	**−27 12 57.80**
767	56 Spt. 3	6.00	1	18 31 32.76	13.4	−19 50 14.4
768	56 Juli 4	6.30	1	18 33 20.09 2	14.0	−20 30 51.2
	» 11	6.35	1	19.70	14.1	50.8
	56.5	**2**		**18 33 19.895**	**2**	**−20 30 51.00**
769	56 Juli 4	6.30	1	18 35 7.20	14.3	−20 34 39.3
	» 5	6.30	1	7.26	14.3	39.8
	Aug. 16	6.27	1	7.34	14.0	39.8
	Spt. 3	6.04	1	7.40	13.7	43.1
	» 15	5.83	1	7.51	13.4	44.9
	» 30	5.55	1	7.48	13.1	39.9
	57 Aug. 14	9.54	1	7.27	14.9	39.6
	60 Jun. 29	19.90	3	7.44	15.5	43.9
	Spt. 17	19.56	3	7.16	14.4	41.0
	57.5; 57.6	**9**		**18 35 7.350**	**9**	**−20 34 41.25**
770	56 Aug. 16	6.36	1	18 36 6.98	13.8	−22 25 5.3
	Spt. 3	6.12	1	6.37	13.2	5.9
	56.7	**2**		**18 36 6.675**	**2**	**−22 25 5.60**

[1] Quadr. N. — [2] 18ˢ.09 + 2ˢ ang.

Nr.	Tag	Rectascension Red. 1755	F.	α 1755 G.	Declination Red. 1755	δ 1755
		—			—	
771	56 Aug.16	6ˢ.35	1	18ʰ37ᵐ25ˢ.02	13″.9	−22° 11′ 1″.8
	Spt. 3	6.12	1	25.35	13.5	10 54.3
	56.7	**2**		**18 37 25.185**	**2**	**−22 10 58.05**
772	56 Spt. 11	5.97	1	18 39 20.93	13.7	−21 38 7.5
773	56 Juli 4	6.40	2	18 39 22.62 3/2	14.8	−23 1 16.4
	» 5	6.46	1	22.24	14.8	13.8
	» 11	6.46	2	22.50 3/2	14.8	15.1
	Aug.16	6.39	1	22.32	14.0	15.5
	Spt. 3	6.16	1	22.26	13.5	18.3
	» 30	5.67	1	22.46	12.8	16.0
	57 Aug.14	9.72	1	22.14 [1]	15.3	14.9
	56.7	**7**		**18 39 22.388**	**7**	**−23 1 15.71**
774	56 Juli 4	6.57	1	18 40 3.77	14.8	−26 34 24.5
	» 11	6.63	1	3.73	14.7	28.0
	Aug.16	6.66	1	3.73	13.2	29.5
	Spt. 3	6.33	1	3.85	12.5	32.8
	» 30	5.82	1	4.05	11.6	29.4
	57 Aug.14	9.98	1	4.06	14.6	30.0
	60 Aug.21	20.88	5	3.96 3/2	15.8	29.1
	Spt. 17	20.49	4	3.73	14.7	27.6
	» 18	20.47	5	3.74	14.7	28.8
	58.2; 58.1	**9**		**18 40 3.853**	**9**	**−26 34 28.85**
775	56 Juli 4	6.40	1	18 40 17.92	15.0	−22 57 7.7
	» 5	6.41	1	18.06	15.0	6.8
	» 11	6.45	1	18.54	14.9	6.2
	Aug.16	6.39	1	18.14	14.2	5.7
	Spt. 3	6.16	1	18.07	13.6	8.9
	» 30	5.67	1	18.07	13.0	6.9
	57 Aug.14	9.72	2	17.90 3/2	15.5	9.7
	56.8; 56.7	**7**		**18 40 18.087**	**7**	**−22 57 7.43**
776	56 Juli 4	6.30	1	18 42 46.14	15.4	−20 57 6.4
	» 11	6.36	1	46.28	15.4	6.7
	Aug.16	6.31	1	46.35	14.8	9.4
	56.6	**3**		**18 42 46.257**	**3**	**−20 57 7.50**
777	56 Juli 4	6.32	1	18 43 6.28	15.4	−21 24 9.8
	» 11	6.38	1	6.25	15.4	11.3
	Aug.16	6.33	1	6.37	15.0	13.2
	Spt. 3	6.10	1	6.31	14.5	12.1
	» 30	5.72	1	6.38	13.8	12.1
	57 Aug.14	9.61	1	6.25	16.6	11.1
	60 Jun.29	20.01	4	6.26 2	19.4	16.9
	57.7; 57.3	**7**		**18 43 6.295**	**7**	**−21 24 12.40**
778	56 Aug.16	6.30	1:	18 43 38.66 1/2	15.2	−20 43 33.2
779	56 Juli 4	6.39	1	18 46 51.24	15.9	−23 0 57.3
780	56 Juli 4	6.75	1	18 47 0.29	15.8	−30 12 8.7
	» 11	6.81	1	0.21	15.5	11.3
	Aug.16	6.77	1	0.51	13.4	18.5
	Spt. 3	6.53	1	0.32	12.3	13.8
	» 11	6.39	2	0.57 5/4	11.9	15.4
	» 30	6.01	1	0.75	11.4	12.8
	57 Aug.13	10.30	1	0.50	15.4	13.6
	» 14	10.29	1	0.49	15.3	13.0
	60 Aug.21	21.51	5	0.18 3/2	18.2	18.4
	57.4; 57.3	**9**		**18 47 0.385**	**9**	**−30 12 13.95**
781	56 Aug.16	6.51	1	18 47 27.58 [2]	14.7	−25 9 32.5

[1] Dgzt. +1ᵐ corr. — [2] F. 5 st. 3 ang.

Nr.	Tag	Rectascension Red. 1755	F.	α 1755 G.	Declination Red. 1755	δ 1755
		—			—	
782	56 Juli 4	6ˢ.34	1	18ʰ49ᵐ59ˢ.52	16″.4	−22° 4′ 32″.7
	» 11	6.41	1	59.53	16.4	32.6
	Aug.16	6.38	1	59.74	15.8	32.7
	Spt. 3	6.16	1	59.36	15.3	31.7
	» 11	6.03	1	59.44	15.0	34.0
	» 30	5.68	1	59.53	14.5	32.0
	57 Aug.13	9.68	1	59.32	17.9	34.6
	» 14	9.68	1	59.31	17.9	31.4
	60 Jun.29	20.09	5	59.10	22.7	31.7
	57.6; 57.3	**9**		**18 49 59.395**	**9**	**−22 4 32.60**
783	56 Juli 22				20.2	+86 30 *50.1*
	» 23				20.5	*48.5*
	» 29				20.5	*48.6*
	56.6				**3**	**+86 30 49.07**
784	56 Juli 4	6.62	1	18 51 37.44	16.6	−28 0 7.7
	» 11	6.69	1	37.76	16.3	8.4
	Aug.16	6.66	1	38.04	14.6	8.8
	Spt. 3	6.43	1	38.15 [1]	13.7	8.5
	» 30	5.93	1	38.16	12.6	6.1
	57 Aug.13	10.12	1	38.05	17.0	9.2
	» 14	10.11	1	37.95	16.9	6.1
	56.9	**7**		**18 51 37.936**	**7**	**−28 0 7.83**
785	56 Juli 11	6.74	1	18 52 4.21	17.5	−28 59 12.5
786	56 Spt. 11	6.07	1	18 52 13.48	15.1	−22 50 56.4
787	56 Juli 4	6.47	1	18 53 15.78	16.8	−25 0 45.3
	» 11	6.54	1	15.47	16.7	50.2
	Spt. 3	6.30	1	16.13	14.8	51.7
	56.6	**3**		**18 53 15.793**	**3**	**−25 0 49.07**
788	56 Juli 4	6.30	1	18 55 10.82	17.1	−21 23 19.4
	» 11	6.37	1	11.02	17.2	16.6
	Aug.16	6.36	1	11.00	16.7	20.6
	Spt. 3	6.14	1	10.83	16.2	20.6
	» 11	6.02	1	10.80	16.0	20.8
	» 30	5.67	1	10.98	15.4	19.8
	57 Aug.13	9.64	1	10.82	19.1	17.5
	» 14	9.64	1	10.87	19.2	20.4
	60 Aug.22	20.10	5	10.73	24.5	19.2
	57.3	**9**		**18 55 10.874**	**9**	**−21 23 19.43**
789	56 Juli 4	6.25	1	18 55 20.39	17.1	−20 9 52.5
	Aug.16	6.30	1:	20.28 2/3	17.0	59.3
	Spt. 3	6.10	1	20.26	16.6	59.6
	56.6	**3 (2 2/3)**		**18 55 20.314**	**3**	**−20 9 57.13**
790	56 Spt. 11	6.05	1	18 57 48.95	16.1	−22 2 24.9
791	56 Spt. 3	5.90	1	18 57 58.08	18.5	−14 58 2.6
792	56 Juli 11	6.58	1	18 58 7.59	17.4	−26 17 27.5
	57 Aug.13	10.00	1	7.53	18.8	35.1
	57.1	**2**		**18 58 7.560**	**2**	**−26 17 31.30**
793	56 Juli 11	6.55	1	19 0 30.18	17.8	−25 39 11.9
	Aug.16	6.56	1:	30.50 2/3	16.5	11.6
	Spt. 3	6.35	1	30.38	15.6	13.3
	» 30				14.6	15.9
	57 Aug.13	9.95	1	30.10	19.5	17.4
	» 24	9.85	1	30.32	19.0	15.4
	60 Jan.29	20.59	4	29.99 2	27.8	10.5
	Aug.22	20.75	4	30.10	25.9	12.5
	58.4; 57.8	**7**		**19 0 30.182**	**8**	**−25 39 13.57**

[1] Dgzt. +1ᵐ corr.

Nr.	Tag	Rectascension Red. 1755	F.	α 1755 G.	Declination Red. 1755	δ 1755
		—			—	
794	56 Juli 4	6ˢ.43	I	19ʰ 0ᵐ36ˢ.79	17″.9	−24° 34′ 17″.0
795	56 Spt. 11	5.90	I:	19 0 38.17 11/2	17.3	−17 44 42.6
796	56 Juli 4	6.20	I	19 3 17.14	18.2	−19 21 54.7
	» 11	6.27	I	17.28	18.4	55.0
	Aug.16	6.28	I	17.35	18.3	58.5
	Spt. 11	5.96	I	16.80	17.7	57.9
	57 Aug.13	9.52	I	16.94	21.5	55.7
	» 24	9.43	I	17.13	21.2	22 2.9
	56.9	6		19 3 17.107	6	−19 21 57.45
797	56 Juli 4	6.20	I	19 3 50.23	18.3	−19 16 41.7
	Aug.16	6.28	I	50.76	18.4	48.4
	56.6	2		19 3 50.495	2	−19 16 45.05
798	56 Juli 11	6.13	I	19 5 1.35	17.8	−15 56 19.8
799	56 Spt. 11	6.12	I	19 5 56.27	16.9	−22 50 2.7
	Oct. 1	5.75	I	56.67	16.3	2.6
	56.7	2		19 5 56.470	2	−22 50 2.65
800	56 Juli 11	6.22	I	19 7 27.09	18.9	−18 17 3.5
	Aug.16	6.25	I	26.80	19.1	5.6
	Spt. 11				18.6	7.9
	» 30	5.60	I	26.92	18.1	4.1
	57 Aug.13	9.46	I	26.64 2	22.6	7.7
	» 24	9.37	I	26.46 2	22.4	6.3
	57.0	5		19 7 26.782	6	−18 17 5.85
801	56 Juli 11	6.24	I	19 7 32.49 3	19.0	−18 44 23.7
	Aug.16	6.27	I	32.68	19.0	22.5
	Spt. 11				18.5	23.7
	» 30	5.62	I	32.22	18.0	22.6
	57 Aug.13	9.48	2	32.16 23/2	22.5	22.3
	» 24	9.40	I	32.16 2	22.3	21.3
	57.1; 57.0	5		19 7 32.325	6	−18 44 22.68
802	56 Juli 11	6.15	I	19 7 41.04	19.0	−16 23 31.0
	Aug.16	6.17	I	41.02	19.6	32.1
	57 Aug.24	9.25			22.9	29.2
	56.5; 56.9	2		19 7 41.030	3	−16 23 30.77
803	56 Aug.16	6.54	I	19 10 20.98	18.1	−24 57 35.7
	Spt. 11	6.22	I	21.15	16.9	36.6
	57 Aug.13	9.91	I	20.94	21.9	36.5
	60 Jun.29	20.44	4	20.56 2	32.4	34.7
	58.4; 57.8	4		19 10 20.838	4	−24 57 35.88
804	56 Juli 11	6.48	I	19 19 39.18	19.2	−24 24 58.1
	Aug.16	6.52	I	39.28	18.2	25 4.2
	Spt. 11	6.20	I	38.90	17.1	5.0
	57 Aug.13	9.87	I	39.22	22.0	3.5
	» 24	9.78	I	38.70	21.5	5.5
	57.0	5		19 10 39.056	5	−24 25 3.26
805	56 Aug.16	6.56	I	19 11 41.20 4	18.8	−22 14 15.7
	Spt. 11	6.11	I	41.40	17.9	14.1
	56.7	2		19 11 41.300	2	−22 14 14.90
806	56 Spt. 9	5.96	I:	19 12 13.89 2/3	20.1	−15 30 57.0 5

[1] Dgzt. −1ᵐ corr. — [2] Dgzt. +5ˢ corr. — [3] Dgzt. st. 48ˢ.8 gel. 44ˢ.8. — [4] F. 5 st. 3 ang. — [5] Abl. −1ᵖ corr.

Nr.	Tag	Rectascension Red. 1755	F.	α 1755 G.	Declination Red. 1755	δ 1755
		—			—	
807	56 Spt. 9	5ˢ.89	I	19ʰ 14ᵐ 38ˢ.88	20″.4	−15° 34′ 42″.7
	» 11	5.86	I	38.44	20.4	41.3
	56.7	2		19 14 38.660	2	−15 34 42.00
808	56 Juli 11	6.61	I	19 14 41.61	19.8	−27 27 40.2
809	56 Spt. 11	5.87	I:	19 14 35.52 1/2	20.4	−15 50 23.2
810	56 Spt. 9	6.14	I:	19 16 19.99 11/2	18.7	−21 47 [48.3±]
	» 11	6.11	I	19.93 2	18.7	53.8
	56.7	2 (1 1/2)		19 16 19.950	1	−21 47 53.80
811	56 Aug.16	6.52	2	19 19 45.50	19.5	−24 21 56.6
	Spt. 9	6.26	I	45.80	18.4	52.9
	» 11	6.22	I	45.27	18.3	51.1
	» 28	5.92	I	45.87	17.6	56.8
	56.7	4		19 19 45.610	4	−24 21 54.35
812	56 Aug.16	6.56	I	19 21 7.74	19.5	−25 13 52.0
	Spt. 3	6.38	I	8.11	18.6	52.7
	» 11	6.26	I	7.99	18.2	54.1
	» 28	5.96	I	7.89	17.4	58.6
	57 Aug.13	9.93	2	7.84 3/2	24.2	57.8
	56.9	5		19 21 7.907	5	−25 13 55.04
813	56 Aug.16	6.57	I	19 21 46.81	19.6	−25 24 0.0
	Spt. 3	6.39	I	46.57	18.7	2.0
	» 11	6.27	I	46.96	18.2	3.1
	» 28	5.97	I	46.75	17.4	4.2
	57 Aug.13	9.94	2	46.61 3/2	24.3	6.1
	» 24				23.7	4.3
	60 Jun.29	20.44	4	46.68 2	37.8	1.3
	Aug.22	20.71	4	46.71	36.1	4.4
	58.2; 57.9	7		19 21 46.715	8	−25 24 3.17
814	56 Spt. 11	6.03	I	19 22 6.99 3	20.2	−19 22 6.0 3
	Oct. 1				19.5	17.9
	56.7	1		19 22 6.990	2	−19 22 18.60
815	56 Spt. 11	6.00	I	19 22 49.24	20.4	−18 45 10.6
816	56 Aug.16	6.51	2	19 25 4.68	20.3	−23 57 44.3
817	56 Aug.16	6.51	2	19 25 22.32	20.4	−23 57 55.3
818	56 Juli 11	6.14	I	19 26 40.34	21.4	−16 49 54.1
	Aug.16	6.22	I	40.16	22.0	56.5
	» 29	6.11	I	40.26	21.8	59.9
	» 30	6.10	I	40.42	21.8	58.5
	Spt. 9	5.98	I	40.50	21.6	50 0.2
	» 11	5.95	I	40.15	21.5	49 56.2
	» 28	5.66	2	40.06 43/2	21.0	54.8
	Oct. 1	5.61	I	40.44	20.9	57.3
	» 2	5.59	I	40.55	20.9	58.1
	» 28	5.13	I	40.30 1/2	20.1	58.4
	57 Aug.13	9.38	I	40.09	26.9	56.3
	» 24	9.31	I	39.97	26.8	57.5
	» 26	9.29	I	39.98 1/2		
	Spt. 22	8.93	I	40.33 1/2	26.1	58.9
	56.9	14 (13)		19 26 40.252	13	−16 49 57.44
819	56 Juli 11	6.13	I	19 28 29.35	21.7	−16 40 33.7
	Aug.16	6.22	I	29.30	22.2	35.3

[1] 20ˢ.99 − 1ˢ ang. — [2] F. 5 st. 4 ang. — [3] α ist 1ˢ zu klein, und ZD. scheint einer Corr. von +1ᵛ = +13″.3 zu bedürfen, welche bei Ansatz des Declinationsmittels hier angenommen ist. S. Cat.-Vgl. — [4] 19ʰ 23ᵐ 31ˢ.3 ist Dgzt. an F. 2, 22ᵐ zu lesen.

Nr.	Tag	Rectascension Red. 1755	F.	α 1755 G.	Declination Red. 1755	δ 1755
		—			—	
(819)	56 Aug. 29	6ˢ.11	1	19ʰ 28ᵐ 29ˢ.40	22″.1	− 16° 40′ 36″.3
	Spt. 3	6.06	1	29.04	22.0	32.9
	» 9	5.98	1	29.33	21.8	37.3
	» 11	5.95	1	29.08	21.8	34.0
	» 28	5.66	1	29.12	21.3	32.1
	Oct. 1	5.61	1	29.37	21.2	33.3
	» 2				21.2	35.2
	» 28	5.13	1	29.23 1/2	20.4	36.2
	57 Aug. 13	9.38	1	29.11	27.3	34.9
	» 24	9.31	1	29.03	27.2	34.1
	Spt. 22	8.92	1	29.21 1/2	26.5	36.5
	60 Jun. 1	18.57	4	29.51	38.2	33.8
	57.2	13 (12)		19 28 29.238	14	− 16 40 34.67
820	56 Juli 11	6.10	1	19 29 34.03	21.8	− 16 0 56.0
	Aug. 16	6.20	1	33.86	22.5	56.7
	» 29	6.09	1	34.30	22.4	59.3
	Spt. 3	6.04	1	33.76	22.3	1 0.1
	» 9	5.96	1	34.43	22.2	0 58.7
	» 11	5.93	1	34.09	22.1	57.5
	» 28	5.65	1	34.22	21.7	59.6
	Oct. 1	5.59	1	34.30	21.6	58.7
	» 28	5.12	1	34.22 1/2	20.7	58.1
	57 Aug. 13	9.34	1	34.10	27.7	56.5
	Spt. 22	8.89	1	34.15 1/2	26.9	1 0.9
	56.8; 56.9	11 (10)		19 29 34.128	11	− 16 0 58.38
821	56 Aug. 30	5.25	1	19 31 2.81 1/2	28.8	+ 11 6 3.1
	Spt. 2	5.22	1	2.69 1/2	29.1	4.8
	56.7	2 (1)		19 31 2.750	2	+ 11 6 3.95
822	56 Aug. 16	6.36	1	19 32 2.88	22.0	− 20 19 38.4
	» 29	6.26	1	3.05	21.6	42.5
	Spt. 3	6.20	1	2.94	21.5	40.6
	» 9	6.12	1	3.02	21.2	41.7
	» 11	6.09	1	2.77	21.1	40.2
	» 28	5.81	1	3.09	20.5	42.3
	» 30	5.77	1	2.83	20.4	39.5
	Oct. 1	5.76	1	3.33	20.4	41.2
	» 28	5.27	1	3.08 1/2	19.5	39.8
	57 Aug. 13	9.60	1	2.72	27.4	39.1
	» 24	9.53	1	2.57	27.1	40.8
	Spt. 22	9.15	5	2.98	26.0	41.4
	60 Jun. 29	19.65	3	2.91 2	42.1	45.3
	57.5; 57.2	13		19 32 2.929	13	− 20 19 40.98
823	56 Aug. 16	6.41	1	19 33 32.39	22.0	− 21 32 17.2
824	56 Aug. 29	6.04	1	19 34 16.14	23.4	− 14 17 7.2
825	56 Aug. 30	5.30	1	19 34 36.69 1/2	28.9	+ 10 2 1.9
	Spt. 2	5.27	1	36.87 1/2	29.2	4.1
	» 3	5.26	1	36.78 1/2	29.3	5.9
	» 9	5.18	1	36.89	29.7	4.1
	» 11	5.15	1	37.03 1/2	29.9	3.8
	» 16				30.1	3.8
	» 28	4.86	1	36.95 1/2	30.5	3.3
	Oct. 1	4.81	1	36.85 1/2	30.6	1.3
	» 2				30.6	3.6
	» 6	4.72	1		30.6	1.6
	» 28	4.32	5	36.86	29.9	1.7
	Nov. 14	4.07	5	36.87	28.5	4.1
	» 15	4.05	4	36.84 2	28.3	2.2
	56.8	10 (8)		19 34 36.861	13	+ 10 2 3.18
826	56 Aug. 29	6.00	1	19 35 11.40	23.9	− 12 54 24.3
827	56 Juli 11	5.42	5	19 38 50.13 1/2	22.0	+ 8 14 21.6
	Aug. 8	5.52	2:	49.26 1/2	26.5	22.9

Nr.	Tag	Rectascension Red. 1755	F.	α 1755 G.	Declination Red. 1755	δ 1755
		—			—	
(827)	56 Aug. 16	5ˢ.49	3	19ʰ 38ᵐ 49ˢ.89 1/2	27″.6	+ 8° 14′ 22″.9
	» 24	5.38	4	49.69 1/2	28.9	23.1
	» 30	5.37	3	49.72	29.0	22.9
	Spt. 2	5.34	4	49.68	29.3	22.4
	» 3	5.32	5	49.69	29.3	23.7
	» 9	5.25	5	49.71	29.7	23.4
	» 11	5.22	5	49.64	29.8	22.9
	» 16	5.14	4	49.79	30.1	23.7
	» 28	4.94	5	49.73	30.5	24.6
	Oct. 1	4.89	5	49.63	30.5	22.0
	» 2	4.87	5	49.70	30.5	23.5
	» 6	4.80	4	49.77	30.5	22.9
	» 11	4.71	5	49.74	30.5	21.6
	» 28	4.41	5	49.74	29.8	23.0
	Nov. 14	4.16	2	49.72 3/4	28.5	26.2
	» 15	4.14	5	49.66 2	28.4	21.2
	Dec. 11	3.93	5		25.1	24.6
	» 12	3.93	4		24.9	23.3
	57 Jan. 30	4.24	5		16.8	23.3
	Fbr. 15	4.52	5		14.6	25.0
	» 19	4.60	5		14.1	25.1
	» 20	4.62	5		13.9	25.3
	Aug. 13	8.13	5	49.75 1/2	33.0	26.3
	» 24	8.06	5	49.73 1/2	34.2	24.8
	» 26	8.04	5	49.69	34.4	22.3
	Spt. 22	7.68	2	50.02 1/2		
	Oct. 19	7.20	5	49.44 1/2	36.0	23.5
	» 23	7.13	5	49.46 1/2	35.8	23.8
	58 Jan. 9	6.65	3			
	» 10	6.66	5		25.8	
	60 Jun. 1	15.70	5	48.95	36.8	27.9
	57.15; 57.07	25 (21 1/4)		19 38 49.665	30	+ 8 14 23.75
828	56 Aug. 16	6.65	1	19 40 47.99	21.9	− 26 55 32.9
	» 29	6.55	1	48.16	21.1	36.0
	60 Jun. 29	20.53	4	48.07 2	46.6	38.0 [1]
	58.6; 57.9	3		19 40 48.072	3	− 26 55 35.63
829	56 Aug. 16	6.69	1	19 41 53.15	21.9	− 27 47 45.9
	» 29	6.59	1	52.69	21.0	46.2
	Oct. 28	5.56	1	53.20 1/2	18.0	44.0
	57 Spt. 22	9.65	1	52.94 1/2	25.5	46.5
	Oct. 19	9.14	2	52.92 3/4	24.2	46.0
	» 23	9.07	3	52.75	24.1	44.0 [2]
	57.2	6 (4 3/4)		19 41 52.916	6	− 27 47 45.43
830	56 Spt. 2	5.36	1	19 42 22.33 1/2	29.3	+ 7 50 42.1
	» 16	5.17	1	22.35 1/2	30.4	42.4
	» 28				30.7	42.5
	56.7	2		19 42 22.340	3	+ 7 50 42.33
831	56 Aug. 30	5.43	1	19 42 41.82 [3]	28.9	+ 6 31 1.8
832	56 Aug. 30	5.46	1	19 43 16.68 1/2	28.9	+ 5 48 45.8
	Spt. 2	5.42	1	16.45 [4] »	29.2	44.1
	» 9	5.34	2	16.58 3/4	29.6	46.8
	» 11	5.31	1	16.53 1/2	29.7	45.8
	» 16	5.23	1	16.56 1/2	29.9	46.0
	» 28	5.04	1	16.41 1/2	30.2	44.7
	Oct. 1	4.98	1	16.70 1/2	30.3	44.8
	» 2	4.97	1	16.71 1/2	30.3	46.3
	» 6	4.90	1	16.56 1/2	30.2	45.0
	» 10	4.82	2	16.38 1/2	30.2	45.2
	» 11	4.81	5	16.65	30.2	46.8
	» 28	4.51	4	16.53	29.6	44.3

[1] ZD. + 1ᵛ corr. — [2] Dgl. — [3] Dgzt. + 1ᵐ corr. — [4] Dgzt. − 10ˢ corr.

Nr.	Tag	Rectascension Red. 1755	F.	α 1755 G.	Declination Red. 1755	δ 1755
		—			—	
(832)	56 Nov. 14	4ˢ.26	5	19ʰ43ᵐ16ˢ.55	28″.3	+ 5°48′47″.8
	» 15	4.25	4	16.50 2		
	57 Aug. 26	5.17	5	16.72	34.8	[51.6]
	56.8	15(11 1/4)		19 43 16.567	13	+ 5 48 45.63
833	56 Aug. 16	6.64	1	19 43 59.97	22.4	−26 50 9.7
	» 29	6.55	1	44 0.02	21.5	9.0
	57 Oct. 19	9.08	1	43 59.70 1/2	24.9	7.5
	» 23	9.01	1	59.74 1/2		
	60 Jun. 29	20.49	2	59.81 3/2	48.0	2.9
	58.2; 57.9	5 (4 1/2)		19 43 59.872	4	−26 50 7.27
834	56 Aug. 16	6.22	1	19 44 2.15	24.3	−16 7 13.7
	» 29	6.13	1	2.03	24.2	13.6
	Oct. 1	5.65	1	1.96	23.2	14.8
	57 Spt. 22	8.94	1	1.74 [1]	29.7	15.0
	Oct. 19	8.47	1	1.70 1/2	28.7	13.7
	60 Jun. 1	18.38	1	2.40 1/2	44.7	14.0
	57.4; 57.6	6 (5)		19 44 1.986	6	−16 7 14.15
835	56 Aug. 16	6.72	1	19 47 33.73	22.6	−28 22 7.5
	» 29	6.62	1	33.86	21.7	5.6
	» 30				21.6	8.5
	Spt. 2	6.55	1	33.73	21.4	6.6
	» 9	6.49	1	34.08	20.9	6.7
	» 16	6.38	2	33.89 3/2	20.4	7.9
	Oct. 1	6.11	1	33.93	19.4	4.4
	» 10	5.94	2	33.91 1/2	19.0	5.0
	» 11	5.92	3	33.71 1/2	18.9	7.2
	57 Aug. 26	10.06	5	33.57	28.4	4.1
	Spt. 22	9.70	1	34.04 1/2	26.5	1.6
	Oct. 19	9.19	5	33.58 [2]	25.0	6.1 [2]
	» 23	9.12	5	33.49	24.9	4.6
	57.0	12 (11)		19 47 33.785	12	−28 22 5.83
836	56 Spt. 2	6.03	1	19 48 13.97	25.0	−14 17 44.5
837	56 Aug. 29	6.40	1	19 49 11.53	23.1	−23 15 42.4
838	56 Aug. 16	6.22	1	19 49 39.62	25.0	−16 4 42.5
839	56 Spt. 30	5.85	1::	19 50 30.77 1/4	22.0	−21 59 1.4:: 1/4
840	56 Oct. 1	5.56	1	19 51 32.63	25.4	−12 16 24.9
	» 11	5.38	1	32.50	25.1	21.3 [3]
	56.8	2		19 51 32.565	2	−12 16 23.10
841	56 Aug. 30	6.04	1	19 51 47.73	25.8	−13 20 17.7
	Spt. 2	6.01	2	47.81 3/2	25.7	18.8
	Oct. 10	5.43	1	47.66	24.7	9.9
	56.7	3		19 51 47.744	3	−13 20 15.47
842	56 Aug. 29	6.26	1	19 54 1.92	24.6	−19 29 29.6
	» 30	6.25	1	2.35	24.6	35.6
	Spt. 2	6.22	2:	1.83 5/4	24.5	35.2
	» 30	5.82	1	1.91	23.3	29.7
	Oct. 1	5.80	1	1.85	23.2	22.7:: 1/2
	56.7	5		19 54 1.965	5(4 1/2)	−19 29 31.43
843	56 Aug. 16	6.21	1	19 54 38.23	25.6	−15 42 49.0
844	56 Oct. 11	5.35	1	19 55 6.92	26.0	−10 45 8.6
845	56 Spt. 30	5.88	1	19 55 12.54	22.8	−21 16 59.8:4 1/2

[1] Dgzt. st. 31ˢ.9 gel. 39ˢ.9. — [2] Dgzt. +1ᵐ corr.; ZD. st. 85 2 4.2 gel. 85 2 0.2. — [3] Abl. −2ᵖ corr. — [4] Abl. 77 9 11.0:; ang. 77 9 12.0.

Nr.	Tag	Rectascension Red. 1755	F.	α 1755 G.	Declination Red. 1755	δ 1755
		—			—	
846	56 Aug. 29	6ˢ.29	1	19ʰ56ᵐ11ˢ.83	24″.7	−20° 4′33″.9
847	56 Aug. 16	6.12	1	19 58 21.64	26.5	−13 6 1.8
	» 29	6.05	1::	21.84 1/4	26.5	3.3
	» 30	6.04	1	22.01	26.5	1.6
	Spt. 2	6.01	1	22.08	26.5	4.7
	» 9	5.94	1	22.11	26.4	5 58.4
	» 16	5.84	2	22.07 3/2	26.3	59.3
	» 30	5.63	1:	21.34 1/2		
	Oct. 1	5.61	1	22.10	25.8	6 2.1
	» 2	5.59	1	21.84	25.8	2.4
	» 10	5.45	1	22.12	25.5	6.3
	» 11	5.45	1	22.22		
	56.7	11		19 58 21.986	9	−13 6 2.27
848	56 Aug. 16	6.13	1	19 58 45.41	26.5	−13 18 55.3
	» 29	6.06	1	45.63	26.5	59.3
	» 30	6.05	1	45.60	26.5	56.9
	Spt. 2	6.02	1	45.66	26.5	57.9
	» 9	5.95	1	45.60	26.4	58.5
	» 16	5.85	3	45.50 2	26.3	56.7
	» 30	5.63	1	45.46		
	Oct. 1	5.62	1	45.89	25.8	57.5
	» 2	5.60	1	45.56	25.8	55.5
	» 10	5.46	1	45.61	25.5	58.1
	» 11				25.5	57.5
	56.7	10		19 58 45.584	10	−13 18 57.40
849	56 Aug. 16	6.13	1	20 2 47.79	27.0	−13 4 2.6
	» 29	6.06	1	47.75	27.0	2.3
	» 30	6.05	1	47.72	27.0	2.7
	Spt. 2	6.02	1	47.58	27.0	2.4
	» 9	5.95	1	47.51	26.9	1.6
	» 16	5.86	1	47.50	26.8	3 58.6
	Oct. 1	5.62	1	47.59	26.3	4 3.3
	» 2	5.61	1	47.96	26.3	3.4
	» 10	5.47	1	47.90	26.0	2.6
	» 11	5.45	1	47.96	26.0	4.3
	Nov. 4	5.05	1	47.68 1/2	25.0	4.3
	56.7	11(10 1/2)		20 2 47.724	11	−13 4 2.56
850	56 Aug. 16	6.14	1	20 4 2.87	27.1	−13 14 44.8
	» 29	6.06	1	2.84	27.1	45.9
	» 30	6.06	1	3.01	27.1	46.1
	Spt. 2	6.03	1	3.07	27.1	46.5
	» 9	5.96	1	2.60	27.0	45.7
	» 16	5.86	1	2.88 [1]	26.9	45.3
	Oct. 1	5.64	1	2.79	26.4	46.8
	» 2	5.62	1	2.95	26.4	45.4
	» 10	5.48	1	2.99	26.1	46.0
	» 11	5.46	1	3.10	26.1	45.8
	Nov. 4	5.06	1	3.06 1/2	25.1	45.8
	56.7	11(10 1/2)		20 4 2.917	11	−13 14 45.83
851	56 Aug. 16	6.14	1	20 4 26.36	27.1	−13 17 5.9
	» 29	6.07	1	26.34	27.2	7.1
	» 30	6.06	1	26.62	27.2	7.3
	Spt. 2	6.03	1	26.37	27.1	6.9
	» 9	5.96	1	26.50	27.0	6.1
	» 16	5.87	1	26.19	26.9	7.0
	» 30	5.65	1	26.19	26.5	4.6
	Oct. 1	5.64	1	26.38	26.4	7.3
	» 2	5.62	1	26.35	26.4	7.2
	» 10	5.48	1	26.49	26.1	8.2
	» 11	5.47	1	26.39	26.1	7.1
	Nov. 4	5.06	1	26.55 1/2	25.1	7.6
	60 Jun. 1	17.89	5	26.49	52.4	9.1
	57.0	13(12 1/2)		20 4 26.396	13	−13 17 7.03

[1] Dgzt. −10ˢ corr.

Nr.	Tag	Rectascension Red. 1755	F.	α 1755 G.	Declination Red. 1755	δ 1755
852	56 Aug.29	6ˢ.29	1	20ʰ 5ᵐ13ˢ.59	25″.9	−19°51′47″.0
	Spt. 2	6.25	1	13.72	25.7	49.1
	» 16	6.08	1	13.74	25.1	45.4
	Oct. 1	5.85	1	13.86	24.4	46.1
	56.7	**4**		**20 5 13.728**	**4**	**−19 51 46.90**
853	56 Aug.16	6.21	1	20 6 58.69	27.1	−15 32 16.6
	» 29	6.14	1	59.35	27.0	17.4
	» 30	6.14	1	59.57	27.0	16.2
	Spt. 2	6.11	1	59.47	26.9	17.9
	» 9	6.04	1:	59.38½	26.8	20.4
	» 16	5.94	2	59.36½	26.5	17.3
	Oct. 1	5.71	1	59.30	26.0	17.4
	» 10	5.56	2	59.43½	25.6	19.0
	» 11	5.54	1	59.40	25.6	18.4
	56.7	**9**		**20 6 59.328**	**9**	**−15 32 17.84**
854	56 Aug.16	6.14	1	20 7 3.08	27.4	−13 30 41.8
	» 29	6.08	1	2.94	27.4	40.1
	Spt. 9	5.97	1	3.11	27.3	42.9
	» 16	5.88	1	3.06	27.1	39.2
	Oct. 1	5.66	1	3.23	26.7	39.0
	» 2	5.64	1	3.40	26.6	40.2
	57 Oct. 20	8.40	3	2.98 [2]	33.8	41.2
	57.0; 56.9	**7**		**20 7 3.098**	**7**	**−13 30 40.63**
855	56 Aug.16	6.21	1	20 7 13.50	27.2	−15 32 8.0
	» 29	6.14	2	13.22½	27.0	8.2
	» 30	6.14	1	13.82	27.0	7.3
	Spt. 2	6.11	1	13.57	26.9	7.8
	» 9	6.04	1	13.58	26.8	9.2
	» 16	5.94	2	13.42½	26.6	7.3
	Oct. 1	5.72	1	13.59	26.0	6.0
	» 10	5.56	1	13.46	25.6	8.7
	» 11	5.54	1	13.40	25.6	7.1
	56.7	**9**		**20 7 13.488**	**9**	**−15 32 7.73**
856	56 Aug.16	6.19	1::	20 9 41.40[11]/4	27.5	−15 1 23.1
857	56 Aug.16	6.19	1	20 10 31.70 [1]	27.6	−14 53 2.3
858	56 Aug.29	6.30	1	20 10 53.93 [2]	26.5	−20 12 23.2
859	56 Oct. 10	5.49	1	20 11 37.58	27.2	−12 28 51.4
860	56 Aug.16	6.32	1	20 13 16.01	27.3	−18 59 41.3
	» 29	6.26	1	16.10	27.0	40.8
	Spt. 2	6.23	1	16.19	26.8	46.0
	» 16	6.07	1	16.31	26.2	45.5
	Oct. 1	5.84	1	15.97	25.5	44.5
	» 10	5.69	1	16.26	25.1	43.8
	57 Oct. 20	8.70	5	16.21 2	32.9	43.6
	57.0; 56.8	**7**		**20 13 16.157**	**7**	**−18 59 43.64**
861	56 Aug.16	6.31	1	20 14 51.34	27.6	−18 36 18.0
	» 29	6.25	1	51.47	27.2	18.0
	Spt. 2	6.22	1	51.58	27.1	16.9
	» 16	6.06	2	51.28½	26.5	15.4
	Oct. 1	5.84	1	51.69	25.8	17.7
	» 2	5.82	2	51.66½	25.8	17.6
	» 10	5.68	2	51.76½	25.4	18.6
	» 11	5.66	1	51.57	25.3	17.9
	57 Oct. 20	8.68	1	51.48	33.3	16.8
	56.8	**9**		**20 14 51.541**	**9**	**−18 36 17.44**

[1] Dgzt. −1ᵐ corrigirt. — [2] F. 5 st. 3 ang.

Nr.	Tag	Rectascension Red. 1755	F.	α 1755 G.	Declination Red. 1755	δ 1755
862	56 Aug.29	6ˢ.26	1	20ʰ14ᵐ59ˢ.43	27″.3	−18°39′35″.5
	Spt. 2	6.22	1	59.38	27.1	40.0
	» 16	6.07	2	59.25½	26.5	38.5
	Oct. 1	5.84	1	59.57	25.8	37.3
	» 2	5.82	2	59.55½	25.8	36.6
	» 10	5.69	2	59.34½	25.4	41.7
	» 11	5.67	1	59.55	25.3	36.2
	57 Oct. 20	8.68	1	59.20	33.3	38.4
	56.9	**8**		**20 14 59.405**	**8**	**−18 39 38.02**
863	56 Spt. 2	6.21	1	20 15 0.28	27.2	−18 13 34.2
864	56 Aug.29	6.28	1	20 15 47.39	27.2	−19 22 36.3
	Spt. 2				27.0	33.5
	Oct. 1	5.86	1	47.91 [1]	25.7	41.6
	56.7	**2**		**20 15 47.650**	**3**	**−19 22 37.13**
865	56 Aug.16	6.34	1	20 15 48.96	27.6	−19 22 31.3
	» 29	6.28	1	49.20	27.2	30.4
	Spt. 16				26.4	32.9
	Oct. 1	5.86	1	50.41 [2]	25.7	30.4
	» 11	5.69	1	49.39	25.2	30.8
	56.7	**4**		**20 15 49.490**	**5**	**−19 22 31.16**
866	56 Aug.29	6.52	1	20 18 15.06	26.2	−25 45 5.1
867	56 Spt. 2	6.18	1	20 18 37.53	27.8	−17 25 8.8
868	56 Spt. 16	5.83	1	20 18 59.21	29.2	−10 40 15.3 [3]
869	56 Aug.16	6.18	1	20 20 31.50	28.7	−14 32 40.6
	Oct. 11	5.56	1	32.09	27.3	41.4
	56.7	**2**		**20 20 31.795**	**2**	**−14 32 41.00**
870	56 Aug.16	6.26	1:	20 21 38.62⅔	28.5	−17 20 50.5
	» 29	6.22	1	38.97	28.3	53.1
	Spt. 2	6.19	1	38.89	28.1	55.7
	56.7	**3 (2⅔)**		**20 21 38.852**	**3**	**−17 20 53.10**
871	56 Spt. 1	6.33	1	20 22 13.46½	27.4	−21 24 45.0
872	56 Aug.16	6.22	1	20 23 35.07	28.6	−15 58 37.8
	Oct. 11	5.62	1	35.47	27.1	39.7
	56.7	**2**		**20 23 35.270**	**2**	**−15 58 38.75**
873	56 Aug.29	6.24	1	20 23 54.35	28.4	−17 57 21.3
	Spt. 2	6.21	1	54.26	28.2	22.9
	56.7	**2**		**20 23 54.305**	**2**	**−17 57 22.10**
874	56 Spt. 16	6.13	1::	20 25 10.2 ¼	27.2	−20 6 46.1:41½
875	56 Aug.16	6.21	1	20 25 32.85	29.1	−15 47 46.1
	» 29	6.17	1	32.78	29.0	45.2
	Spt. 1	6.15	1	32.74½	28.9	44.2
	» 2	6.14	1	33.09	28.9	46.3
	Nov. 8	5.15	1	32.82	26.0	47.7
	56.7	**5 (4½)**		**20 25 32.869**	**5**	**−15 47 45.90**
876	56 Aug.29	6.27	1	20 26 4.24	28.4	−18 58 58.0
	Spt. 1	6.25	1	4.48½	28.3	58.0
	» 2	6.24	1	4.48	28.2	59.1
	» 9	6.18	1	4.40	28.0	58.1
	Oct. 1	5.88	1	4.30	26.9	56.7

[1] F. 4, +1ᵐ corr. — [2] F. 5, +2ᵐ corr. — [3] Abl. +1ᵖ corr. — [4] Wahrsch. −20° 7′ 11″.4 (76 5 14.9 st. 12.9:), s. Cat.-Vgl.

Nr.	Tag	Rectascension Red. 1755	F.	α 1755 G.	Declination Red. 1755	δ 1755
(876)	56 Oct. 11	5ˢ.71	1	20ʰ26ᵐ 4ˢ.45	26″.3	−18° 58′ 58″.6
	Nov. 8	5.24	1	4.19	25.0	58.1
	57 Oct. 20	8.73	4	4.35 2	35.1	59 0.3
	60 Juli 1	19.12	3	4.33 2	64.9	58 58.5
	» 2	19.14	5	4.24 2	65.0	58.7
	Aug.23	19.65	3	[3.69 2]	65.8	[41.4]
	57.3; 57.6	10		20 26 4.331	10	−18 58 58.43
877	56 Aug.16	6.25	1:	20 26 44.48 2/3	29.1	−16 58 40.8
878	56 Aug.29	6.52	1	20 31 33.15	27.7	−26 7 55.4
	Spt. 2	6.50	1	33.00	34.1	8 2.8
	Oct. 27	5.66	1	32.70 1/2	23.5	7 57.1
	» 29	5.62	1	33.22	23.4	57.0
	» 30	5.60	1	32.91		
	Nov. 8	5.45	1	33.52	23.0	55.2
	60 Juli 1	19.94	3	33.18 2	68.1	55.3
	» 2	19.97	4	32.95 2	68.1	50.2
	Aug.23	20.54	3	32.87 2	66.9	52.0
	58.8; 58.2	9		20 31 33.057	8	−26 7 55.63
879	56 Aug.16	5.11	1	20 33 4.87 1/4	32.7	+44 24 51.8
	» 29	4.98	2	4.93 1/4	36.2	52.9
	Spt. 1	4.94	3	5.18	37.0	54.7
	» 2	4.93	3	5.42 1/4	37.2	55.3
	» 9	4.82	5	5.15 1/4	38.8	54.6
	» 16	4.68	5	4.59	40.2	25 1.8
	» 26	4.46	5	5.22 1/4	41.8	24 54.7
	Oct. 1	4.34	4	5.37 1/4	42.6	52.2
	» 2	4.31	5	4.76 1/4	42.8	55.2
	» 6	4.21	1:	4.78 1/4	43.2	54.2
	» 11	4.08	5	5.35 1/4	43.7	52.9
	» 29	3.59	1	5.05 1/4	44.4	53.4
	» 30	3.56	1	5.48 1/4	44.4	55.1
	Nov. 8	3.32	3	5.18 1/4	44.1	50.3
	57 Jan. 30	2.34	5		25.7	[52.0]
	Oct. 20	5.62	5	4.93 1/4	40.6	[25 5.3]
	60 Jun. 1	11.38	4	5.72 1/4	48.5	24 55.7
	» 2				48.7	
	» 3				49.0	
	» 4				49.3	
	57.0	16		20 33 5.058	15	+44 24 54.31
880	56 Aug.29	6.03	1	20 34 23.54	30.8	−10 22 31.4
	Spt. 1				30.8	32.6
	» 2	6.00	1	23.44	30.9	30.0
	Oct. 27	5.24	1	23.66 1/2	29.3	32.2
	» 29				29.2	32.6
	» 30	5.19	1	23.48	29.2	32.6
	Nov. 8	5.05	1	23.52	28.7	31.1
	56.8	5 (4 1/2)		20 34 23.513	7	−10 22 31.83
881	56 Aug.16	6.30	1	20 35 24.52[1]	29.8	−18 55 20.8
882	56 Aug.29	6.58	1	20 37 9.44	28.0	−27 48 57.8
	Spt. 1	6.57	1	9.36 1/2	27.7	49 0.5
	» 2	6.56	1	9.12	27.7	48 57.0
	Oct. 6	6.11	1	9.45[2]	24.8	57.4
	» 27	5.72	1	9.25 1/2	23.4	58.3
	» 29	5.68	1	9.36	23.2	58.8
	» 30	5.66	1	9.54	23.2	58.4
	60 Juli 1	20.10	3	9.27 2	70.6	49 2.3
	» 2	20.12	3	9.39 2	70.6	48 58.3
	58.3; 57.6	9		20 37 9.353	9	−27 48 58.98

[1] F. 5 st. 3 ang. — [2] Dgzt. 47ˢ.0 F. 4 gäbe für MF. 13ˢ.1, nicht 14ˢ.1 wie M. Obs.; es muss aber 45ˢ.0 gelesen werden.

Nr.	Tag	Rectascension Red. 1755	F.	α 1755 G.	Declination Red. 1755	δ 1755
883	56 Spt. 2	6ˢ.11	1	20ʰ38ᵐ58ˢ.32	30″.6	−14° 6′ 28″.1
884	56 Aug.29	6.02	1	20 39 25.01	31.4	− 9 53 9.3
	Spt. 1	6.00	1	24.85 1/2	31.4	10.6
	» 2	6.00	1	25.03	31.4	7.8
	Oct. 6	5.59	1	24.98	30.9	10.5
	» 27	5.25	1	25.22 1/2	30.0	8.7
	» 29	5.22	1	25.04	29.9	9.3
	» 30	5.21	1	25.06	29.8	7.4
	Nov. 8	5.06	1	24.83	29.3	7.7
	57 Oct. 5	8.59	1	25.28 1/2	41.1	10.2
	56.9	9		20 39 25.017	9	− 9 53 9.06
885	56 Nov. 8	5.12	1	20 39 39.79	28.4	−12 28 56.1
886	56 Aug.16	6.29	1	20 40 55.01	30.4	−18 50 5.5
	» 29	6.27	1	55.41	30.0	6.8
	Spt. 2	6.24	1±		29.9	10.3
	Oct. 29	5.49	1	55.18	26.8	3.4
	» 30	5.43	1	54.99	26.7	5.7
	Nov. 8	5.28	1	55.19	26.3	5.7
	56.8; 56.7	5		20 40 55.156	6	−18 50 6.26
887	56 Aug.29	6.56	1	20 42 11.26	28.7	−27 12 41.9
888	57 Oct. 5	8.64	1	20 43 38.27 1/2	41.5	−10 37 14.9
889	56 Spt. 2	6.17	1	20 43 55.89	30.6	−16 57 26.4
	Oct. 6	5.77	1	56.05	29.0	26.7
	» 29	5.39	1	55.75	27.7	29.0
	56.8	3		20 43 55.897	3	−16 57 27.37
890	56 Aug.29	6.30	1	20 45 38.85	30.3	−19 58 5.1
	Spt. 2	6.28	1	38.63	30.2	4.9
	Oct. 6	5.88	1	38.56	28.2	1.8
	» 29	5.49	1	38.82	26.8	5.0
	Nov. 8	5.32	1	38.68	26.3	5.8
	56.8	5		20 45 38.708	5	−19 58 4.72
891	56 Aug.29	6.26	1	20 47 2.43	30.7	−18 28 9.5
	Spt. 2	6.24	1	2.33	30.6	10.1
	Oct. 6	5.84	1	2.50	28.8	7.9
	» 29	5.45	1	2.33	27.5	11.2
	Nov. 8	5.29	1	2.63	26.9	11.4
	56.8	5		20 47 2.444	5	−18 28 10.02
892	56 Aug.29	6.14	1	20 47 36.76	31.4	−14 28 18.2
893	56 Spt. 1	5.16	1	20 48 3.12 1/2	37.3	+40 14 4.3
	» 16	4.94	3	2.66	40.6	4.5
	» 26				42.3	4.9
	56.7	2 (1 1/2)		20 48 2.813	3	+40 14 4.57
894	56 Spt. 2	6.08	1	20 48 36.13	31.8	−12 38 22.0
895	56 Aug.29	6.33	1	20 50 25.49	30.7	−20 48 23.1
	Spt. 2	6.31	1	25.46	30.5	23.9
	» 16	6.19	1	25.63	29.7	25.1
	Oct. 6	5.91	1	25.49	27.8	22.1
	» 29	5.52	1	25.50	26.9	23.6
	» 30	5.51	1	25.68		
	Nov. 8	5.36	1	25.66	26.4	23.8
	57 Oct. 20	8.86	3	25.49 2	38.3	24.4
	57.0; 56.9	8		20 50 25.543	7	−20 48 23.71
896	57 Oct. 5	8.50	1	20 51 6.07 1/2	43.8	− 6 46 40.8

Nr.	Tag	Rectascension Red. 1755	F.	α 1755 G.	Declination Red. 1755	δ 1755
		—			—	
897	56 Aug.29	6ˢ.25	1	20ʰ52ᵐ 8ˢ.72	31″.2	−18° 11′ 24″.2
	Spt. 2	6.23	1	8.69	31.1	24.6
	» 16	6.11	1	8.58	30.5	26.4
	» 26	5.99	1	8.44	30.0	24.8
	Oct. 6	5.85	1	8.54	29.3	25.3
	» 29	5.46	1	8.40	28.0	23.8
	» 30	5.46	1	8.40	27.9	24.2
	Nov. 8	5.30	1	8.75	27.5	24.7
	57 Oct. 20	8.75	2	8.68 3/2	39.5	24.4
	60 Juli 1	18.78	3	8.45 2	74.6	25.1
	» 2	18.81	5	8.59 2	74.6	22.8
	58.0; 57.5	11		20 52 8.564	11	−18 11 24.57
898	56 Aug.29	6.50	1	20 52 45.70	30.1	−25 58 3.0
	Spt. 2	6.48	1	45.29	29.8	3.7
	» 16	6.36	1	45.78	28.6	6.3
	Oct. 6	6.07	1:	45.39 2/3	26.9	5.0
	» 29	5.67	1	45.34	25.3	2.5
	Nov. 8	5.49	1	45.72	24.7	3.5
	56.8	6 (5 2/3)		20 52 45.545	6	−25 58 4.00
899	56 Aug.29	6.36	1	20 54 29.72	30.9	−22 9 40.6
	Spt. 2	6.35	1	29.59	30.6	41.2
	» 16	6.23	1	29.57	29.7	40.3
	» 26	6.11	1	29.55	29.0	42.2
	Oct. 6	5.96	1	29.51	28.3	39.5
	» 29	5.57	1	29.30	26.8	41.0
	» 31	5.54	1	29.53	26.7	40.1
	Nov. 8	5.40	1	29.46	26.2	38.4
	57 Oct. 20	8.93	1	29.75	38.5	41.8
	56.9	9		20 54 29.553	9	−22 9 40.56
900	56 Aug.29	6.34	1	20 55 30.47	31.1	−21 31 22.8
	Spt. 2	6.33	1	30.34	30.9	23.5
	» 16	6.21	1	30.41	30.0	24.1
	» 26	6.09	1	30.48	29.3	22.7
	Oct. 6	5.94	1	30.54	28.6	20.9
	» 29	5.56	1	30.23	27.1	25.1
	» 31	5.52	1	29.86		
	Nov. 8	5.39	1	30.48	26.5	24.3
	57 Oct. 20	8.90	1	30.38	38.8	22.2
	56.9	9		20 55 30.355	8	−21 31 23.20
901	56 Aug.29	6.09	1	20 56 13.17	32.5	−12 20 53.3
	Spt. 2	6.07	1	13.54	32.5	53.2
	» 15	5.98	2	13.15 3/2	32.3	52.3
	» 16	5.97	2	13.11 3/2	32.3	53.6
	» 26	5.85	1	13.06	32.0	54.5
	Oct. 6	5.71	1	13.21	31.5	54.3
	» 29	5.34	1	13.26	30.4	53.0
	» 31	5.31	2	13.32 3/2	30.3	53.3
	Nov. 8	5.19	2	13.15 5/4	29.8	54.6
	57 Oct. 5	8.74	1	13.55 1/2	42.8	[44.8][1]
	56.8	10		20 56 13.228	9	−12 20 53.57
902	56 Aug.29	6.17	1	20 58 7.74	32.3	−15 27 29.7
903	56 Aug.29	6.39	1	20 59 54.75	31.3	−23 12 20.3
	Spt. 26	6.15	1	54.70	29.2	16.9
	Nov. 8	5.44	1	55.13	26.3	19.9[2]
	56.7	3		20 59 54.860	3	−23 12 19.03
904	56 Aug.29	6.34	1	21 1 39.00	31.7	−21 39 5.6
	Spt. 15	6.23	1	39.10	30.6	9.1

[1] δ wohl 54″.8 (68° 1′ + 1′ 35″.3 st. + 1′ 25″.3 zu les.); α mit Corr. −1ᵐ und F. 4 st. 3 red. — [2] ZD. −1″ corr.

Nr.	Tag	Rectascension Red. 1755	F.	α 1755 G.	Declination Red. 1755	δ 1755
		—			—	
(904)	56 Spt. 16	6ˢ.18	1	21ʰ 1ᵐ39ˢ.06	30″.6	−21° 39′ 9″.9
	» 26	6.10	1	38.99	29.8	5.1
	Oct. 31	5.54	1	39.11	27.4	9.0
	Nov. 8	5.41	3	38.91 7/4	26.0	7.3
	57 Oct. 5	9.16	1	38.89 1/2	40.8	6.2[1]
	60 Juli 1	19.04	3	38.87 2	78.6	7.6
	» 2	19.07	4	39.03 2	78.7	10.7
	58.0; 57.7	9		21 1 38.986	9	−21 39 7.83
905	56 Spt. 15	6.16	1	21 4 10.70	31.5	−18 59 45.3
	» 16	6.15	1	10.83	31.4	45.3
	» 26	6.03	1	10.47	30.8	43.3
	Oct. 31	5.49	1	10.68	28.5	46.1
	Nov. 8	5.36	1	10.30	28.1	46.6
	56.8	5		21 4 10.596	5	−18 59 45.32
906	56 Spt. 15	6.22	1	21 4 30.41	31.0	−21 20 45.0
	» 16	6.21	1	30.36	30.9	47.4
	Nov. 8	5.41	1	30.43	27.3	40.5
	56.8	3		21 4 30.400	3	−21 20 44.30
907	56 Nov. 8	5.32	1	21 5 36.23	28.8	−17 11 34.2
908	56 Spt. 15	6.24	1	21 7 3.59 2	31.1	−21 50 20.9
	» 16	6.23	1::	5.63 1/4		
	56.7	2 (1 1/4)		21 7 5.598	1	−21 50 20.90
909	56 Aug.29	6.23	1	21 8 34 38	32.9	−17 51 47.4
	Spt. 15	6.13	1	34.17	32.1	45.3
	» 16	6.12	1	34.60	32.1	45.7
	» 25	6.02	1	34.66	31.6	45.7
	» 26	6.01	1	34.53	31.5	44.6
	Oct. 31	5.48	1	34.59	29.3	46.0
	Nov. 8	5.35	1	34.29	28.8	45.0
	57 Oct. 5	8.99	1	34.19 1/2	43.0	43.4
	60 Aug.23	19.31	2	34.24 3/2	82.2	47.0
	57.4; 57.3	9		21 8 34.408	9	−17 51 45.57
910	56 Aug.29	6.40	1	21 10 4.26	32.4	−23 46 52.0
911	56 Aug.29	6.34	1	21 10 13.93	32.2	−21 52 40.4
	Spt. 15	6.24	1	13.81	31.4	41.0
	» 16	6.23	1	13.94	31.3	39.5
	» 25	6.13	1	13.90	30.6	38.8
	» 26	6.12	1	13.63	30.6	39.2
	Oct. 31	5.57	1	13.84	28.0	41.8
	56.7	6		21 10 13.842	6	−21 52 40.12
912	56 Nov. 8	5.28	1	21 10 46.41	30.1	−13 54 54.0
913	56 Aug.29	6.38	1	21 12 38.70	32.4	−23 27 26.7
	Spt. 15	6.28	1	38.59	31.2	25.3
	» 16	6.28	1	38.71	31.2	26.6
	» 25	6.18	1	38.77	30.4	25.8
	» 26	6.17	1	38.44	30.3	24.8
	Oct. 31	5.61	1	38.51	27.6	26.1
	Nov. 8	5.48	1	38.46	27.1	24.7
	57 Oct. 5	9.24	1	38.48 1/2	41.9	22.2
	60 Juli 1	19.09	3	38.18 2	82.8	21.0
	»	19.12	4	38.48 2	82.8	22.1
	Aug.23	19.88	4	38.41 2	83.0	24.4
	58.5; 57.9	11		21 12 38.486	11	−23 27 24.52

[1] 1. ZD.-Einst. +10″ corr., α mit F. 3 st. 4 red. — [2] Ang. Corr. +2ˢ, s. Cat.-Vgl.

Nr.	Tag	Rectascension Red. 1755	F.	α 1755 G.	Declination Red. 1755	δ 1755
		—			—	
914	56 Aug.29	6ˢ.36	1	21ʰ14ᵐ42ˢ.98	32″.7	−22° 51′ 32″.4
	Spt. 15	6.27	1	42.94	31.6	32.3
	» 25	6.16	1	42.94	30.8	32.2
	» 26	6.15	1	42.82	30.7	31.1
	Oct. 31	5.61	1	43.15	27.9	31.1
	Nov. 8	5.47	1	43.16	27.4	30.4
	56.8	6		21 14 42.998	6	−22 51 31.57
915	56 Nov. 8	5.27	1	21 14 55.91	31.1	−12 36 55.8
916	56 Aug.29	6.28	1	21 16 12.29	33.2	−20 12 9.8
	Spt. 15	6.19	1	12.06	32.3	7.0
	» 25	6.09	1	12.13	31.6	6.9
	» 26	6.08	1	12.11	31.5	8.7
	Oct. 31	5.55	1	11.65 3/4	29.0	5.3
	56.7	5 (4 3/4)		21 16 12.069	5	−20 12 7.54
917	56 Spt. 25	5.98	1	21 17 13.68	32.9	−15 20 57.2
	» 26	5.97	1	12.95	32.8	59.4
	56.7	2		21 17 13.315	2	−15 20 58.30
918	56 Aug.29	6.28	1	21 17 37.80	33.3	−20 17 53.1
919	56 Aug.29	5.98	1	21 18 38.34	35.0	− 6 38 8.0
	Spt. 15	5.90	1	38.43	35.3	9.1
	» 25	5.80	1	38.74	35.2	8.7
	» 26	5.79	1	38.42	35.2	9.3
	Oct. 31	5.29	1	38.58	33.9	7.5
	Nov. 8	5.17	5	38.36	33.5	9.2
	56.8	6		21 18 38.461	6	− 6 38 8.63
920	56 Aug.29	6.20	1	21 20 5.98	33.9	−17 15 53.3
921	56 Aug.29	6.30	1:	21 21 3.06 2/3	33.5	−21 9 40.8
	Spt. 15	6.22	2	2.86	32.5	41.2
	» 25	6.12	1	3.66	31.8	45.0
	» 26	6.11	1	3.04	31.7	42.6
	Oct. 31	5.59	1	3.10	29.0	47.8
	56.7	5 (4 2/3)		21 21 3.147	5	−21 9 43.48
922	56 Spt. 15	6.22	1	21 21 5.67	32.5	- 21 19 22.6
923	56 Aug.29	6.28	1	21 23 19.70	33.8	−20 32 57.6
	Spt. 15	6.21	1	19.64	32.8	59.3
	» 25	6.11	1	19.76	32.1	58.7
	» 26	6.10	1	19.89	32.0	58.3
	Oct. 31	5.58	1	19.44	29.4	59.0
	60 Juli 1	18.66	4	19.34 2	85.6	33 1.2
	» 2	18.69	5	19.27 2	85.7	32 59.7
	Aug.23	19.48	4	19.63 2	87.0	57.3
	58.8; 58.1	8		21 23 19.537	8	−20 32 58.84
924	56 Aug.29	6.02	1	21 24 41.42	35.2	− 8 56 23.8
	Spt. 15	5.95	1	41.37	35.3	24.1
	» 25	5.86	1	41.39	35.1	22.1
	» 26	5.85	1	41.27	35.1	22.6
	Oct. 31	5.36	1	41.29	33.6	23.1
	60 Juli 31	18.21	4	41.30 2	86.9	25.5
	57.8; 57.4	6		21 24 41.334	6	− 8 56 23.54
925	56 Aug.29	6.21	1	21 26 29.10	34.4	−17 45 18.7
	Spt. 15	6.14	1	29.15	33.7	20.3
	» 25	6.04	1	28.99	33.1	20.7
	» 26	6.03	1	29.07	33.0	21.6
	Oct. 31	5.53	1	28.99	30.6	18.8
	60 Juli 2	18.39	3	28.91 2	86.1	23.4
	57.8; 57.3	6		21 26 29.017	6	−17 45 20.58

Nr.	Tag	Rectascension Red. 1755	F.	α 1755 G.	Declination Red. 1755	δ 1755
		—			—	
926	56 Aug.29	6ˢ.14	1	21ʰ28ᵐ11ˢ.92	34″.8	−15° 7′ 36″.6
	Spt. 15	6.08	1	11.76	34.3	38.0
	» 25	5.99	1	11.90	33 9	35.1
	» 26	5.98	1	11.72	33.8	39.6
	Oct. 31	5.49	1	11.78	31.6	36.8
	56.7	5		21 28 11.816	5	−15 7 37.22
927	56 Aug.29	6.26	1	21 28 56.28	34.3	−19 58 9.1
	Spt. 15	6.19	1	56.23	33.4	10.3
	» 25	6.10	1	56.66	32.7	10.8
	Oct. 31	5.58	1	56.35	30.0	10.3
	60 Juli 1	18.54	4	56.34 2	87.3	11.7 [1]
	» 2	18.56	1	56.13	87.3	10.6 [2]
	58.3; 58.0	6		21 28 56.333	6	−19 58 10.47
928	56 Aug.29	6.28	1	21 29 29.05	34.3	−20 43 27.9
	Spt. 15	6.21	1	28.88	33.3	34.7
	56.7	2		21 29 28.965	2	−20 43 31.30
929	56 Aug.29	6.05	1	21 31 55.10	35.6	−10 11 40.1
	Spt. 15	5.98	1	55.25	35.5	41.7
	» 25	5.90	1	55.04	35.3	42.1
	Oct. 31	5.41	1	55.29	33.6	40.7
	56.7	4		21 31 55.170	4	−10 11 41.15
930	56 Aug.29	6.09	1	21 33 19.13	35.4	−12 29 1.2
	Spt. 15	6.03	1	19.36	35.2	28 59.8
	» 25	5.94	1	19.26	34.8	29 1.0
	Oct. 31	5.46	1	19.10	32.9	28 57.4
	60 Juli 1	17.84	2	19.41 3/2	86.9	59.2
	» 2	17.87	4	19.27 2	87.0	56.4
	» 31	18.46	4	19.13 2	91.8	59.6
	58.9; 58.4	7		21 33 19.238	7	−12 28 59.22
931	56 Aug.29	6.19	1	21 33 29.34	35.0	−17 13 34.4
	Spt. 15	6.13	1	29.37	34.3	36.0
	» 25	6.04	2	29.17 5/4	33.7	32.9
	Oct. 31				31.2	34.5
	60 Aug.21	19.08	2	29.50		
	57.6; 56.7	4		21 33 29.311	4	−17 13 34.45
932	56 Spt. 15	6.06	1	21 36 25.12	35.2	−13 51 9.7
	» 25	5.97	1	25.13	34.7	11.9
	56.7	2		21 36 25.125	2	−13 51 10.80
933	56 Aug.29	6.20	1	21 36 42.41	35.2	−17 58 27.4
	Spt. 15	6.14	1	42.34	34.4	27.5
	56.7	2		21 36 42.375	2	−17 58 27.45
934	56 Aug.29	6.24	1	21 38 3.26	35.1	−19 45 6.6
	Spt. 25	6.10	1	3.29	33.5	7.5
	56.7	2		21 38 3.275	2	−19 45 7.05
935	56 Aug.29	6.12	1	21 39 54.71	36.0	−14 41 34.3
	Spt. 15	6.08	1	54.72	35.2	34.5
	» 24	6.00	1		34.8	35.4
	» 25	6.00	1	54.71	34.8	36.0
	Oct. 31				32.5	35.6
	60 Juli 2	17.98	5	54.76 2	89.4	36.4
	» 31	18.59	5	54.75 2	92.0	33.2
	58.9; 57.8	5		21 39 54.737	7	−14 41 35.06
936	56 Spt. 25	6.03	1	21 41 37.56	34.5	−16 24 7.9

[1] ZD. − 1″ corr. — [2] Dgl.

Nr.	Tag	Rectascension Red. 1755	F.	α 1755 G.	Declination Red. 1755	δ 1755
937	56 Spt. 15	6ˢ.17	1	21ʰ43ᵐ13ˢ.93	34″.7	−19° 2′55″.3
	» 24	6.10	1::		34.1	55.5
	» 25	6.09	1	14.26	34.0	55.1
	57 Oct. 22	8.82	1	14.18	45.8	51.4
	57.1; 57.0	3		21 43 14.123	4	−19 2 54.33
938	56 Spt. 25	6.03	1	21 44 25.55	34.7	−16 16 40.5::¼
939	56 Oct. 31	5.66	1	21 45 1.81	30.1	−22 20 26.0
940	56 Spt. 15	6.06	1	21 45 9.94	35.8	−13 49 34.5
941	56 Spt. 15	6.16	1	21 48 40.45	35.0	−19 4 3.9
	» 25	6.09	1	40.91	34.4	3 59.7
	57 Oct. 22	8.83	5	40.70 2	46.5	4 3.6
	57.2; 57.1	3		21 48 40.690	3	−19 4 2.40
942	56 Spt. 15	5.90	1	21 50 37.94	37.8	− 3 19 40.1
	» 25	5.83	1	37.90	37.9	38.6
	» 26	5.83	1	37.78	37.2	39.7
	Oct. 31	5.39	1	37.96		
	57 Oct. 22	8.37	4	38.02 2	51.7	40.1
	57.1; 57.0	5		21 50 37.937	4	− 3 19 39.63
943	56 Spt. 15	6.08	1	21 53 10.60	36.0	−15 2 51.5
	» 25	6.02	1	10.71	35.6	52.5
	Oct. 31	5.56	1	10.79	33.1	45.8
	57 Oct. 22	8.71	3	10.60 2	48.2	49.4
	60 Juli 1	17.86	4	10.65 2	92.9	51.2
	» 2	17.86	4	10.57 2	93.1	49.3
	» 31	18.50	4	10.78 2	95.7	51.5
	Aug. 21	18.75	3	10.75½	96.4	48.2
	» 23	18.77	4	10.49 2		
	» 24	18.77	5	10.69	96.5	52.1
	59.5; 57.8	10		21 53 10.661	9	−15 2 50.17
944	56 Spt. 15	5.89	1	21 53 11.58	38.1	− 1 29 57.9
	» 25	5.82	1	11.61	38.4	58.4
	» 26	5.81	1	11.77	38.4	30 0.9
	57 Oct. 22	8.33	1	11.62	52.5	29 58.5
	57.0	4		21 53 11.645	4	− 1 29 58.92
945	56 Spt. 25	5.97	1	21 57 25.91	36.5	−12 0 54.1
946	56 Spt. 15	6.04	1	21 57 30.08	36.7	−12 45 32.6
	» 25	5.98	1	30.27	36.3	32.2
	Oct. 31	5.55	1	30.12	34.1	33.4
	57 Oct. 22	8.65	4	30.07 2	49.4	31.0
	60 Juli 31	18.29	3	30.20 2	96.7	33.8
	Aug. 24				97.7	34.3::¼
	58.1; 57.9	5		21 57 30.144	6(5¼)	−12 45 32.68
947	56 Spt. 25	5.99	2	22 0 18.76½	36.4	−13 7 34.1
948	56 Spt. 15	5.99	3	22 3 53.20 2	37.6	− 8 59 35.3
	» 25	5.94	1	53.08	37.4	34.9
	57 Oct. 22	8.56	5	53.29 2	51.2	38.2
	60 Juli 1	17.30	2	53.43½	94.5	35.8
	» 2	17.33	3	53.33 2	94.2	37.0
	Aug. 24	18.26	5	53.29	99.5	34.3
	58.7; 58.6	6		22 3 53.279	6	− 8 59 35.91
949	56 Spt. 25	5.95	2	22 3 55.04½	37.2	−10 15 1.8
950	56 Spt. 15	6.00	1	22 7 17.33	37.7	− 9 2 32.8
	» 25	5.94	1	17.39	37.6	29.4
(950)	57 Oct. 22	8ˢ.57	1	22ʰ 7ᵐ17ˢ.41 [1]	51″.5	− 9° 2′29″.8
	60 Juli 1	17.28	3	17.38 2	94.8	29.6
	58.4; 57.9	4		22 7 17.378	4	− 9 2 30.40
951	56 Spt. 15	5.93	1	22 8 59.52	38.6	− 2 36 47.1
	» 25	5.87	1	59.85	38.8	44.7
	60 Juli 2	16.90	2	59.85½	93.6	43.4
	58.3; 58.0	3		22 8 59.756	3	− 2 36 45.07
952	56 Spt. 15	5.96	1	22 11 20.28	38.3	− 6 4 1.7
953	56 Spt. 15	5.93	1	22 11 56.81	38.8	− 2 25 19.1
954	56 Spt. 15	6.04	1	22 13 39.35	37.6	−12 27 53.1
955	56 Spt. 15	5.92	1	22 16 12.92	39.0	− 1 15 52.0
	» 25	5.88	1	12.72	39.3	50.3
	56.7	2		22 16 12.820	2	− 1 15 51.15
956	56 Spt. 15	6.04	1	22 17 39.37	37.8	−11 55 24.7
	» 25	5.99	1	39.31	37.5	22.3
	57 Oct. 22	8.67	5	39.78 2	51.5	24.6
	57.2; 57.1	3		22 17 39.560	3	−11 55 23.87
957	56 Spt. 25	5.99	1	22 18 40.41	37.5	−12 9 12.1
958	56 Spt. 15	5.94	1	22 22 45.94	39.2	− 1 22 19.5
	» 25	5.90	1	45.63	39.5	16.8
	59 Nov. 22	14.04	1	45.95	86.4	25.4
	57.8	3		22 22 45.840	3	− 1 22 20.57
959	56 Spt. 15	5.97	1	22 25 3.23	38.9	− 5 29 3.8
	» 25	5.93	1	3.02	38.9	1.7
	59 Nov. 22	14.23	1	3.02	85.3	6.8
	57.8	3		22 25 3.090	3	− 5 29 4.10
960	56 Spt. 15	6.02	2	22 27 10.97	38.4	−10 37 49.3
961	56 Spt. 25	5.96	1	22 27 24.67	38.6	− 7 48 4.4
962	56 Spt. 15	6.03	1	22 30 6.73	38.4	−11 22 41.8
963	56 Spt. 15	6.01	1	22 30 12.20	38.6	− 9 35 8.8
964	56 Spt. 25	5.97	1::	22 30 21.99¼	38.6	− 8 29 26.8
965	56 Spt. 25	5.96	1	22 30 25.69	38.6	− 8 14 17.9
966	56 Spt. 25	5.99	2	22 32 27.20¾	38.2	−10 55 37.5::¼
967	56 Spt. 15	6.06	1	22 34 40.79	38.2	−15 20 25.2
	» 25	6.04	1	40.93	37.6	25.3
	Nov. 15	5.48	3	40.90 2	33.4	30.0
	59 Nov. 22	14.66	1	40.67	83.3	27.0
	57.4; 57.6	4		22 34 40.838	4	−15 20 26.87
968	56 Spt. 15	6.06	1	22 36 35.68	38.3	−14 52 44.0
	» 25	6.03	1	35.67	37.7	43 5
	Oct 9	5.93	1	35.99	36.8	45.1
	Nov. 15	5.49	2	35.87 [2]	33.7	45.1
	56.8	4		22 36 35.810	4	−14 52 44.43
969	56 Oct. 15	5.83	1	22 37 59 11	37.9	− 8 36 9.8

[1] F. 5 st. 1 ang. — [2] 2ˢ zu klein, s. Cat.-Vgl.

Nr.	Tag	Rectascension Red. 1755	F.	α 1755 G.	Declination Red. 1755	δ 1755
970	56 Spt. 15	6ˢ.00	1	22ʰ39ᵐ49ˢ.25	39″.0	− 8° 52′ 35″.1
	» 25	5.98	1	49.01	38.8	36.6
	Oct. 9	5.89	1	49.28	38.2	36.5
	» 15	5.83	1	49.01	37.9	36.6
	Nov. 15	5.46	3	49.08 2	35.8	36.9
	59 Nov. 22	14.41	1	49.53	86.3	31.8
	57.2; 57.3	6		22 39 49.177	6	− 8 52 35.58
971	56 Spt. 15	6.07	1	22 41 37.47	38.2	−17 7 0.9
	» 25	6.05	1	37.34	37.5	3.0
	Oct. 9	5.96	1	37.43	36.4	1.2
	» 15	5.90	1	37.44	35.9	3.4
	Nov. 15	2.52	2	37.39 3/2	33.0	7.6
	56.8	5		22 41 37.412	5	−17 7 3.22
972	26 Spt. 15	6.27	5	22 44 3.53 11/4	36.7	−30 54 52.6
	» 25	6.25	5	3.67 1/4	35.4	45.4
	Oct. 9	6.14	5	3.93 1/4	33.2	43.4
	» 15	6.08	5	3.60 1/4	32.3	49.2
	Nov. 15	5.63	5	3.83 1/4	28.4	51.0
	Dec. 12	5.20	4	4.29 1/4	26.6	53.9
	58 Jan. 10	8.02				
	59 Nov. 22	15.31	1	3.50 1/4	79.2	52.2
	57.2	7 (1 3/4)		22 44 3.764	7	−30 54 49.67
973	56 Spt. 25	5.99	1	22 47 31.19	38.8	−10 11 14.0
	Nov. 15	5.50	1	31.15	35.5	12.6
	56.8	2		22 47 31.170	2	−10 11 13.30
974	56 Oct. 9	5.90	1	22 48 38.71	38.5	− 8 22 14.7
	Nov. 15	5.49	1	38.39	36.1	12.8
	56.8	2		22 48 38.550	2	− 8 22 13.75
975	56 Spt. 15	5.96	1	22 51 24.77	40.0	+ 2 30 20.0
	» 25	5.94	1	24.64	40.5	18.6
	Oct. 9	5.87	2	24.13 1/2	40.8	21.5
	» 15	5.82	1	24.68	40.8	21.7
	Nov. 1	5.64	1::			
	Dec. 12	5.14	2	24.63 3/2		
	56.8	5		22 51 24.620	4	+ 2 30 20.45
976	56 Spt. 15	6.05	1	22 51 56.65 1/2	40.4	+26 45 32.5
	» 25	6.02	1	56.51 1/2	42.3	30.7
	Oct. 9	5.93	1	56.31 1/2	44.4	29.3
	» 15	5.87	1	56.75 1/2		
	Nov. 15	5.46	1	56.38 1/2	47.1	32.8
	Dec. 12	5.04	1	56.38 1/2		
	56.8	6 (3)		22 51 56.497	4	+26 45 31.32
977	56 Oct. 9				38.5	− 9 0 40.4
	» 15	5.86	1	22 52 22.47	38.2	40.5
	Dec. 12	5.17	1	22.47		
	59 Nov. 22	14.43	1	22.57	87.8	38.0
	57.9; 57.8	3		22 52 22.503	3	− 9 0 39.63
978	56 Dec. 12	5.17	1	22 52 32.87		
979	56 Spt. 15	5.97	1	22 52 34.99 1/2	40.4	+13 53 33.3
	» 25	5.95	1	34.95 1/2	41.2	29.5
	Oct. 9	5.88	1	34.92	42.7	31.8
	» 15	5.82	2	34.94 1/2	43.0	31.0
	Nov. 15	5.46	2	34.62 1/2	43.4	34.6
	Dec. 12	5.10	1	34.89 1/2		
	56.8	6 (3 1/2)		22 52 34.890	5	+13 53 32.04

[1] F. 4 +1ᵐ corr.

Nr.	Tag	Rectascension Red. 1755	F.	α 1755 G.	Declination Red. 1755	δ 1755
980	56 Dec. 12	5ˢ.18	1	22ʰ53ᵐ 6ˢ.92	33″.9	− 9° 15′ 13″.0
981	56 Spt. 25	5.99	1:	22 54 26.62	39.1	− 9 1
982	56 Spt. 15	5.96	1	22 56 8.04	39.9	+ 0 47 56.5
	» 25	5.96	1	8.09	40.3	54.5
	Oct. 9	5.89	1	8.19	40.3	54.2
	» 15	5.84	2	7.83 3/2	40.4	55.0
	Nov. 1	5.67	3		39.7	58.6
	» 15	5.50	1	7.97	39.3	56.3
	Dec. 12	5.17	1	7.79	37.5	55.4
	59 Nov. 22	14.15	1	7.94	91.7	57.7
	57.2	7		22 56 7.969	8	+ 0 47 56.02
983	56 Dec. 12	5.18	1	22 56 51.78	37.5	+ 0 49 11.7
984	56 Spt. 25	5.98	1±	22 57 59	39.4	− 7 17 9.2
985	56 Spt. 14	5.98	1	23 1 37.49	39.5	− 7 21 55.6
	» 15	5.99	1	37.39	39.5	52.6
	» 25	5.98	1	37.09	39.4	57.5
	Oct. 9	5.92	1	37.36	39.0	56.8
	» 15	5.88	1	37.48	38.7	55.7
	Dec. 11	5.36	1	37.40	34.7	56.6
	» 12	5.21	1	37.40	34.6	56.0
	56.8	7		23 1 37.373	7	− 7 21 55.83
986	56 Spt. 14	5.99	2	23 3 2.50 3/2	39.4	−10 25 7.9
	» 15	6.00	1	2.60	39.4	6.7
	» 25	5.99	1	2.51	39.1	5.6
	Oct. 9	5.93	1	2.71	38.4	5.9
	» 15	5.89	1	2.50	38.0	6.3
	Dec. 11	5.23	1	2.49	33.6	6.2
	» 12	5.22	1	2.67	33.5	6.8
	60 Juli 31	17.59	3	2.82	109.4	5.8
	57.2; 57.3	8		23 3 2.594	8	−10 25 6.40
987	56 Spt. 14	5.99	1	23 4 8.45	39.5	− 9 3 32.9
	» 15	5.99	1	8.44	39.5	32.0
	» 25	5.99	1	8.33	39.3	29.1
	Oct. 9	5.93	1	8.34	38.7	31.1
	» 15	5.89	1	8.33	38.3	31.5
	Dec. 11	5.23	1	8.46	34.1	34.6
	» 12	5.22	1	8.42	34.0	32.5
	56.8	7		23 4 8.396	7	− 9 3 31.96
988	56 Spt. 14				39.9	+ 1 56 53.0
	» 25	5.97	1	23 4 28.31	40.4	53.9
	Oct. 9	5.91	1	28.24	40.7	52.8
	» 15	5.87	1	28.59	40.7	52.4
	Dec. 12	5.22	1	28.06	37.9	52.0
	56.8	4		23 4 28.300	5	+ 1 56 52.82
989	56 Spt. 14	5.99	1	23 5 9.52	39.4	−10 30 59.8
	» 15	5.99	2	9.32 5/4	39.4	58.0
	» 25	6.11	1	8.95	39.1	54.8
	Oct. 9	5.94	1	9.40	38.4	58.7
	» 15	5.89	1	9.29	38.0	58.1
	Dec. 11	5.24	1	9.48	33.6	58.4
	» 12	5.23	1	9.73	33.5	31 0.2
	56.8	7		23 5 9.382	7	−10 30 58.29
990	56 Spt. 14	5.99	1	23 6 12.12	39.4	−10 56 43.5
	» 15	5.99	1	12.28	39.4	46.8
	» 25	6.00	1	12.26	39.1	45.0
	Oct. 9	5.94	1	12.17	38.3	43.1

Nr.	Tag	Rectascension Red. 1755	F.	α 1755 G.	Declination Red. 1755	δ 1755
		—			—	
(990)	56 Oct. 15	5ˢ.90	1	23ʰ 6ᵐ12ˢ.15	37″.9	−10°56′47″.0
	Dec.10	5.26	1	11.89	33.5	44.8
	» 12	5.23	2	11.91 5/4	33.3	44.9
	56.8	7		23 6 12.104	7	−10 56 45.01
991	56 Spt. 14	5.98	1	23 7 51.64	40 0	+ 4 2 51.0
	» 25	5.98	1	51.83	40.6	54.6
	Oct. 9	5.93	1:	51.98 2/3	41.0	52.0
	» 15	5.89	1	52.16	41.1	52.2
	Dec.10	5.26	1	52.01	38.8	52.1
	» 11	5.25	1	51.78	38.7	53.9
	» 12	5.24	1	51.93	38.7	53.6
	56.8	7 (6 2/3)		23 7 51.901	7	+ 4 2 52.77
992	56 Dec.10	5.28	1	23 10 58.02	37.0	− 1 3 5.1
	» 11	5.27	1	58.00	36.9	2 59.8
	» 12	5.26	1	57.79	36.8	3 1.9
	56.9	3		23 10 57.937	3	− 1 3 2.27
993	56 Dec.12	5.25	1	23 11 3.20	33.7	− 9 48 2.9
994	56 Spt. 14	5.97	1	23 14 22.75	39.8	− 0 4 59.8
	» 25	5.99	1	22.50	40.2	59.5
	Oct. 9	5.94	1	22.55	40.3	56.9
	Dec.10	5.30	1	22.75	37.3	58.8
	» 11	5.29	2	22.65 3/2	37.2	57.7
	» 12	5.28	1	22.55	37.2	5 0.1
	56.8	6		23 14 22.627	6	− 0 4 58.80
995	56 Oct. 9	5.94	1	23 14 41.96	40.3	− 0 13 12.0
	Dec.10	5.31	1	42.16	37.3	14.4
	» 11	5.29	1	42.01	37.2	13.7
	56.9	3		23 14 42.043	3	− 0 13 13.37
996	56 Spt. 14	5.99	1	23 15 33.16	39.9	+ 5 2 7.3
	» 25	6.00	1	32.84	40.6	9.0
	Dec.10	5.32	2	32.98 3/2	39.1	6.2
	» 11	5.30	2	32.89 3/2	39.1	9.0
	» 12	5.29	1	33.05	39.0	8.8
	56.9; 56.8	5		23 15 32.976	5	+ 5 2 8.06
997	56 Dec.10	5.31	1	23 16 51.71	35.3	− 5 51 53.5
998	56 Spt. 14	5.97	1	23 16 52.31	39.8	− 3 8 11.8
999	56 Spt. 25	5.99	1	23 16 56.57	40.0	− 2 22 53.5
1000	56 Spt. 25	5.99	1	23 18 51.90	39.7	− 5 25 27.2
	Dec.10	5.32	1	51.84	35.4	24.8
	» 11	5.31	1	51.80	35.3	24.9
	56.8	3		23 18 51.847	3	− 5 25 25.63
1001	56 Spt. 14	5.97	1	23 19 23.47	39.8	− 2 26 12.0
	» 25	5.99	1	23.23	40.0	10.4
	Dec.10	5.33	1	23.17	36.5	9.2
	» 11	5.32	2	23.23	36.4	11.3
	56.8	4		23 19 23.270	3	− 2 26 10.72
1002	56 Spt. 14	5.97	1	23 21 33.29	39.8	− 2 35 53.0
	» 25	5.99	1	33.10	40.0	54.0
	Dec.10	5.34	1	33.34	36.4	53.3
	» 11	5.33	1	33.30	36.3	56.0
	» 12	5.32	1	33.44	36.2	52.1
	56.8	5		23 21 33.294	5	− 2 35 53.68

Nr.	Tag	Rectascension Red. 1755	F.	α 1755 G.	Declination Red. 1755	δ 1755
		—			—	
1003	56 Spt. 14	5ˢ.97	1	23ʰ22ᵐ53ˢ.44	39″.6	− 8°49′ 3″.9
	» 25	5.99	1	53.02	39.4	4.2
	Dec.11	5.32	2	53.15	34.1	2.8
	» 12	5.30	1	53.46	34.0	5.6
	56.8	4		23 22 53.254	4	− 8 49 4.12
1004	56 Nov. 2	5.79	1	23 22 57.40	39.6	− 0 2 13.5
1005	56 Spt. 14	5.98	1	23 23 53.23	39.8	+ 0 44 42.7
	» 25	6.00	1	53.45	40.2	38.4
	Dec.12	5.34	1	53.38	37.4	42.5
	56.8	3		23 23 53.353	3	+ 0 44 41.20
1006	56 Spt. 14	6.00	1	23 27 21.46	39.7	+ 4 18 1.7
	» 25	6.02	1	21.71	40.4	17 59.2
	Nov. 2	5.82	1	21.49	40.7	18 1.4
	Dec.10	5.40	1	21.53	38.8	2.9
	» 11	5.38	5	21.51 2	38.7	2.0
	» 12	5.37	5	21.65 2	38.6	1.3
57	Oct. 23	8.69	5	21.60 2	58.7	0.5
	57.0	7		23 27 21.571	7	+ 4 18 1.29
1007	56 Spt. 14	5.98	1	23 29 33.01	39.7	+ 0 26 0.5
	» 25	6.01	1	33.13	40.1	25 59.3
	Nov. 2	5.82	1	33.00	39.7	59.5
	Dec.10	5.40	3	33.04 2	37.4	57.8
	» 11	5.38	3	33.06 2	37.3	26 1.5
	» 12	5.37	4	33.06 2	37.2	0.7
57	Oct. 23	8.70	4	33.03 2	57.9	0.4
	57.0	7		23 29 33.047	7	+ 0 25 59.96
1008	56 Dec.11	5.42	1	23 32 19.40	39.1	+ 5 50 1.7
	» 12	5.41	1	19.61	39.1	2.0
	56.9	2		23 32 19.505	2	+ 5 50 1.85
1009	56 Spt. 14	5.99	1	23 33 52.71	39.6	+ 2 7 43.3
	» 25	6.02	1	52.93	40.1	43.6
	Dec.11	5.42	1	52.98	37.8	44.3
	» 12	5.40	1	52.90	37.7	42.5
	56.8	4		23 33 52.880	4	+ 2 7 43.42
1010	56 Nov. 2	5.80	1	23 34 38.32	35.9	−13 15 56.1
1011	56 Spt. 14	5.96	1	23 35 21.13	39.6	− 4 7 23.2
1012	56 Nov. 2	5.81	1	23 35 56.64	37.4	− 7 44 22.1
1013	56 Spt. 25	6.02	1	23 36 17.26	40.0	+ 0 51 18.0
	Dec.11	5.42	1	17.39	37.3	20.1
	56.8	2		23 36 17.325	2	+ 0 51 19.05
1014	56 Spt. 14	5.97	1	23 36 55.17	39.6	− 0 17 0.2
	» 25	6.01	1	55.12	39.9	16 58.5
	Dec.11	5.42	1	55.35	36.9	59.0
	56.8	3		23 36 55.213	3	− 0 16 59.23
1015	56 Dec.11	5.37	1	23 37 35.32	32.9	−11 20 25.6
57	Oct. 23	8.75	4	35.39 2	55.3	26.5
	57.5; 57.4	2		23 37 35.367	2	−11 20 26.05
1016	56 Spt. 25	5.99	1	23 40 20.82	39.6	− 4 30 54.6
	Nov. 2	5.84	1	20.49	38.2	54.4
	Dec.11	5.42	1	20.53	35.3	54.9
57	Oct. 23	8.74	4	20.46 2	56.9	53.1
	57.2; 57.0	4		23 40 20.552	4	− 4 30 54.25

Nr.	Tag	Rectascension Red. 1755	F.	α 1755 G.	Declination Red. 1755	δ 1755
		—			—	
1017	56 Spt. 25	6ˢ.01	1	23ʰ42ᵐ14ˢ.69	39″.8	− 1° 15′ 11″.4
	Dec. 11	5.45	1	14.71	36.4	12.9
	57 Oct. 23	8.75	1	14.53	57.6	6.7
	57.1	3		23 42 14.643	3	− 1 15 10.33
1018	56 Spt. 14	6.02	1	23 42 36.20	39.3	+ 5 42 33.3
	» 25	6.06	1	36.00	40.1	33.5
	57 Oct. 18	8.80	1	36.04	58.9	33.6
	57.1	3		23 42 36.080	3	+ 5 42 33.47
1019	56 Spt. 14	5.94	1	23 46 7.81	39.5	− 4 54 54.6
	» 25	5.99	1	7.84	39.5	55.7
	Nov. 2	5.86	1	7.78	38.0	56.6
	Dec. 11	5.44	1	7.97	35.0	54.5
	57 Oct. 18	8.78	1	7.97	57.0	56.6
	» 23	8.75	5	7.76 2	56.8	55.0
	60 Juli 31	17.10	2	8.14 3/2	112.0	52.3
	57.8; 57.6	7		23 46 7.894	7	− 4 54 55.04
1020	56 Spt. 14	6.01	1	23 46 44.81	39.1	+ 5 30 28.0
	» 25	6.06	1	44.80	39.9	23.1
	Nov. 2	5.93	1	44.54	40.6	23.5
	Dec. 11	5.52	1	44.43	38.7	24.2
	57 Oct. 18	8.81	1	44.75	58.8	25.7
	» 23	8.79	1	44.87		
	57.1; 57.0	6		23 46 44.700	5	+ 5 30 24.90
1021	56 Spt. 14	5.94	1	23 49 16.11	39.4	− 4 23 26.8
	» 25	6.00	1	16.43	39.5	30.1
	Nov. 2	5.87	2	16.26 3/2	38.1	30.6
	Dec. 11	5.46	2[1]	16.13 3/2	35.1	28.5
	57 Oct. 18	8.78	1	16.27	57.1	30.5
	» 23	8.76	5	16.31 2	56.9	27.6
	57.2; 57.1	6		23 49 16.252	6	− 4 23 29.02

[1] F. 2 u. 3 beob.

Nr.	Tag	Rectascension Red. 1755	F.	α 1755 G.	Declination Red. 1755	δ 1755
		—			—	
1022	56 Spt. 14	5ˢ.93	1	23ʰ49ᵐ23ˢ.43	39″.4	− 7° 22′ 29″.8
	» 25	5.98	1	23.51	39.3	32.8
	Nov. 2	5.86	2	23.51 3/2	37.3	32.9
	Dec. 11	5.44	1	23.48	34.1	32.2
	56.8	4		23 49 23.486	4	− 7 22 31.93
1023	57 Oct. 18	8.79	1	23 49 28.96	57.2	− 4 7 54.6
1024	56 Spt. 25	6.08	1	23 49 59.32	39.8	+ 7 7 23.6
	Dec. 11	5.56	1	59.22	39.2	27.9
	56.8	2		23 49 59.270	2	+ 7 7 25.75
1025	56 Spt. 14	5.92	1	23 52 47.60	39.4	− 7 4 43.5
	» 25	5.98	1	47.30	39.3	43.2
	Nov. 2	5.87	1	47.59	37.3	43.3
	Dec. 11	5.46	1	47.67	34.1	42.4
	57 Oct. 18	8.78	2	47.45 5/4	56.6	45.7
	» 23	8.76	5	47.45 2		
	60 Juli 31	17.08	3	47.66 3/2	112.8	39.3
	57.8; 57.6	7		23 52 47.527	6	− 7 4 42.90
1026	56 Spt. 14	6.37	1	23 55 47.32 11/2	37.1	+ 27 44 12.9
	» 25	6.43	1	47.23 1/2	39.3	11.8
	Nov. 2	6.30	5	47.05 1/2	44.6	12.5
	Dec. 11	5.83	5	47.12 1/2	45.7	12.9
	57 Oct. 18	9.12	4	46.75 1/2	61.2	13.4
	» 23	9.09	5	47.06 1/2		
	57.1; 57.0	6 (3)		23 55 47.088	5	+ 27 44 12.70
1027	56 Spt. 25	6.00	1	23 57 22.72	39.3	− 3 55 27.4
	57 Oct. 18	8.80	1	22.45	57.1	30.4[2]
	» 23	8.78	2	22.52 3/2	56.8	29.8
	57.5; 57.4	3		23 57 22.557	3	− 3 55 29.20

[1] DZ. − 1ᵐ corr. — [2] ZD. st. 59 1 10.8 gel. 59 1 11.8.

Die vorstehend in den Anmerkungen aufgeführten Berichtigungen geben die in den meisten Fällen sichere, hier und da jedoch nur eine wahrscheinlich erforderliche einstweilen angenommene, Verbesserung der Originalangaben der Beobachtungen, nämlich der Durchgangszeit durch den beobachteten Faden oder der Ablesung der 96-Theilung. Die weiter im Mayer'schen Journal enthaltenen Columnen mit abgeleiteten Werthen stimmen nicht immer zu den Columnen mit diesen Originalwerthen, es war aber auf eine Nichtübereinstimmung nur in einigen wenigen Fällen hinzuweisen, wo dieselbe die Richtigkeit des Drucks der Originalcolumne in Zweifel stellen könnte.

Nicht besonders oben aufgeführt sind solche Fehler in den Originalnotirungen für helle Sterne, deren Verbesserung sich ohne weiteres ergibt. In den Zeiten sind diess ausschliesslich Fehler von Minuten oder Zehnern von Secunden in einzelnen Fadenantritten bei Durchgängen, die an mehreren Fäden beobachtet sind; bei den Ablesungen waren noch die folgenden Berichtigungen erforderlich:

Nr. 224 (ε Orion.) 1757 Jan. 3 st. 56 6 19.0 l. 56 6 10.0
» 227 (ζ Orion.) 1757 Mrz. 6 » 57 1 13.5 · » 57 2 13.5 ·
» 599 u. 600 (8 u. α Libr.) 1756 Juni 9 Ablesungen zu vertauschen
» 659 (σ Scorp.) 1760 Juni 26 st. 8 9 · 0.2 l. 81 9 · 0.2
» 825 (γ Aquil.) 1756 Sept. 2 » 44 2 13.1 » 44 3 13.1
» 897 (0 Capr.) 1760 Juli 2 » 74 14 13.0 » 74 4 13.0

Zu der ausgeschlossenen unter Nr. 876 (υ Capr.) reducirten im Journal ohne Bezeichnung des Sterns vorkommenden Beobachtung 1760 Aug. 23 ist noch zu bemerken, dass die Zwischenzeiten zwischen den 3 beobachteten Antritten auf eine etwa 5° geringere Declination hinweisen und bei der für beide Coordinaten verbleibenden starken Abweichung daher die Ablesung der ZD. verdächtig und die Identificirung des beobachteten Objects fraglich erscheinen könnte, jedoch bietet sich keine wahrscheinlichere Lesung dar.

Catalog von 1027 Sternen

für Aequinoctium und Epoche 1755.0.

Erläuterungen.

Die Grössen sind für die Bradley'schen Sterne wie im neuen Bradley-Catalog angesetzt, für die übrigen nach der Bonner Durchmusterung oder nach Gould's Cordobaer Catalogo General.

Die Oerter sind von der mittleren Epoche der Beobachtungen auf 1755.0 reducirt vermittelst der im Catalog selbst aufgeführten Eigenbewegungen. Die Zahl der Beobachtungen ist für die Declinationen eingeklammert angegeben, wenn die Beobachtungen nur theilweise neu reducirt werden konnten und die Declination unter Mitbenutzung des Mayer'schen Catalogs abzuleiten war. Für diejenigen Declinationen, welche lediglich die reducirten Werthe des Mayer'schen Catalogs selbst sind, ist zu der Beobachtungszahl das Zeichen * zugefügt.

Die Praecessionen sind mit den Struve'schen Constanten für 1755 berechnet. Die Werthe noch für andere Epochen anzugeben oder die Saecularvariation hinzuzufügen war überflüssig, da der Catalog immer nur in Verbindung mit anderen gebraucht werden wird. Die angesetzten Werthe entsprechen nicht überall innerhalb einer halben Einheit der letzten Stelle den Catalogörtern für 1755, indem für die Sterne des Bradley-Catalogs die für diesen berechneten Zahlen unverändert herübergenommen sind, und bei den übrigen Sternen in allen Fällen, wo sich der nach den Mayer'schen Beobachtungen im Catalog angesetzte Ort weiterhin als merklich verfehlt erwies, die erforderliche Verbesserung gleich berücksichtigt wurde.

Die Eigenbewegungen sind für die Bradley'schen Sterne dem Bradley-Catalog entnommen, mit Ausnahme der mit " bezeichneten Werthe, für die bei Bradley nur unvollständig beobachteten und einige wenige andere neu untersuchte Sterne, für welche die hier im folgenden Abschnitt abgeleiteten — in einigen Fällen übrigens die früheren genau wiedergebenden — Werthe angesetzt sind. Ueber die Ableitung der Eigenbewegungen für die nicht bei Bradley vorkommenden Sterne gibt ebenfalls der folgende Abschnitt vollständigen Nachweis; die aufgenommenen Werthe sind zur Unterscheidung hier mit einer Decimale weniger angesetzt als für die Bradley'schen Sterne, im ganzen jedoch als gleichwerthig oder sehr nahe gleichwerthig mit den für diese bestimmten Eigenbewegungen anzusehen.

Die Correctionen des alten Mayer'schen Catalogs sind die Abweichungen der auf Aequinoctium 1756.0 und Epoche 1757.0 übertragenen neuen Oerter von den unmittelbaren Angaben des alten Catalogs und zwar der Baily'schen Ausgabe; in einigen Fällen, wo Baily die Mayer'sche Bestimmung wegen eines derselben anhaftenden, noch nicht sicher lösbaren Zweifels im Catalog unterdrückt hat, bezieht sich die angegebene Correction auf die ursprüngliche, bei Baily in den Noten nachgewiesene Lesart. Einige sogleich als solche kenntliche Druckfehler, die zum Theil dem ursprünglichen Catalog und der Baily'schen Ausgabe gemeinsam sind, zum Theil nur in letzterer vorkommen, sind als zuvor verbessert vorausgesetzt.

Bei der Aufstellung der Synonymik sind die neuen Gothaer Oerter mit Nummern versehen worden, entsprechend ihrer Folge in der Zusammenstellung A. N. 3035.

Nr.	Bezeichn.	Gr.	Æ 1755	B.	Ep.	Decl. 1755	B.	Ep.	Praec. 1755		Eigenbeweg.		Mayer's Catalog alte Nr.	Correction $\Delta\alpha$	$\Delta\delta$
1	88 Pegasi γ	2.6	$0^h\ 0^m 39^s.23$	4	57.1	$+13^\circ 49' 11''.7$	3	57.1	$+3^s.0709$	$+20''.064$	$-0^s.0007$	$-0''.013$	1	$+ 4''.9$	$- 6''.2$
2	35 Piscium	6.0	2 22.78	1	56.7	+ 7 27 30.4	1	56.7	3.0718	-20.064	+0.0054	−0.021	2	− 6.9	− 4.3
3	36 Piscium	6.0	4 0.06	1	56.7	+ 6 52 41.2	1	56.7	3.0728	20.062	−0.0036	−0.009	3	− 7.2	− 5.8
4	$1^\circ 28$	7.5	4 6.32	3	57.3	+ 0 29 15.0	2	57.5	3.0702	20.061	0.000	0.00	4	−12.6	− 4.4
5	$0^\circ 28$	7.0	5 13.31	3	57.2	+ 0 19 28.6	3	57.1	3.0701	20.060	+0.005	+0.02	5	− 9.3	− 4.4
6	41 Piscium d	5.8	0 8 0.63	4	57.5	+ 6 49 38.0	3	56.7	+3.0756	+20.052	−0.0013	+0.019	6	− 7.2	− 6.8
7	$-3^\circ 49$	6.0	11 59.01	2	57.4	− 3 34 34.2	2	57.3	3.0656	20.037	−0.004	−0.02	7	− 7.6	− 6.8
8	44 Piscium	6.0	12 51.16	3	57.2	+ 0 34 49.4	3	57.1	3.0707	20.033	−0.0028	−0.011	8	− 9.6	− 3.4
9	10 Ceti	6.2	14 4.30	4	57.0	− 1 24 31.8	4	57.0	3.0679	20.027	+0.0038	+0.012	9	− 8.2	− 4.8
10	$2^\circ 54$	7.7	14 46.76	2	57.4	+ 1 27 19.2	2	57.3	3.0722	20.023	−0.002	0.00	10	− 9.8	− 6.5
11	12 Ceti	6.0	0 17 32.39	2	57.4	− 5 18 50.9	2	57.3	+3.0605	+20.006	−0.0003	−0.009	11	− 8.7	− 8.1
12	14 Cassiop. λ	5.0	18 23.49	1	56.7	+53 10 0.1	3	56.7	3.2132	20.000	+0.0025	−0.025	S. 1		
13	51 Piscium	6.0	19 46.51	1	57.8	+ 5 35 55.2	1	57.8	3.0813	19.990	+0.0008	+0.022	12	− 6.8	− 4.9
14	$-1^\circ 60$	7.5	20 57.32	1	57.8	− 1 57 40.8	1	57.8	3.0658	19.981	−0.001	−0.03	13	−10.5	− 5.7
15	$53^\circ 102$	6.0	22 38.82	1	56.7	+52 48 53.9	3	56.7	3.2439	19.967	+0.0010	−0.020	S. 2		
16	14 Ceti	6.1	0 22 58.83	2	57.8	− 1 51 17.3	2	57.8	+3.0656	+19.964	+0.0078*	−0.05*	14	− 8.5	− 8.0
17	17 Cassiop. ζ	4.0	23 27.51	3	56.7	+52 32 42.3	4	56.7	3.2484	19.960	+0.0017	−0.012	S. 3		
18	15 Ceti	6.8	25 33.56	2	57.8	− 1 51 15.0	2	57.8	3.0651	19.940	−0.0056	−0.016	15	− 9.2	− 8.1
19	18 Cassiop. α	2–3	26 46.02	3	56.7	+55 11 23.4	3	56.7	3.2941	19.928	+0.0035	−0.038	S. 4		
20	$-5^\circ 101$	6.3	28 14.31	2	57.8	− 5 42 22.8	2	57.8	3.0536	19.912	−0.001	0.00	16	−10.2	− 9.5
21	$-4^\circ 85$	7.5	0 30 32.24	1	57.8	− 5 12 10.9	1	57.8	+3.0538	+19.887	+0.004	0.00	17	−10.2	− 7.0
22	$-0^\circ 109$	6.8	32 34.32	3	57.5	− 1 5 18.6	3	57.4	3.0664	19.862	+0.015	−0.04	18	− 9.2	− 6.9
23	60 Piscium	6.4	34 44.60	1	56.7	+ 5 23 56.2	1	56.7	3.0891	19.834	−0.0010	−0.003	19	− 7.2	− 7.9
24	$4^\circ 123$	6.0	35 32.99	1	57.8	+ 4 0 58.9	2	57.8	3.0845	19.824	+0.051	−1.14	20	− 9.6	− 5.0
25	62 Piscium	6.5	35 36.11	4	57.0	+ 5 57 25.6	4	57.0	3.0916	19.823	+0.0050	+0.004	21	− 3.9	− 5.1
26	63 Piscium δ	4.3	0 35 59.65	5	56.9	+ 6 14 48.0	5	56.9	+3.0929	+19.818	+0.0035	−0.037	22	− 7.8	− 6.1
27	$2^\circ 118$	6.4	38 42.48	3	56.7	+ 2 3 6.0	4	57.0	3.0780	19.779	−0.001*	−0.080*	23	− 9.1	− 6.6
28	20 Ceti	5.1	40 30.09	1	57.8	− 2 28 48.1	2	57.2	3.0598	19.752	−0.0022	−0.009	24	− 8.8	− 7.7
29	$3^\circ 120$	7.3	40 43.58	2	56.7	+ 2 45 8.5	2	56.7	3.0813	19.748	−0.004	−0.02	25	− 8.0	− 4.9
30	$6^\circ 124$	7.7	42 38.73	1	56.7	+ 5 31 13.9	1	56.7	3.0939	19.718	+0.002	0.00	26	− 4.3	− 6.7
31	$13^\circ 127$	6.5	0 43 20.44	1	56.7	+12 37 8.7	1	56.7	+3.1262	+19.707	−0.003	+0.01	27	+ 7.0	− 4.4
32	1 Urs. min. α	2.0	43 43			+87 59 39.7	5	56.6	10.3128	19.701	+0.0746	+0.003	S. 5		
33	$12^\circ 119$	6.0	45 5.71	2	56.7	+12 21 56.4	2	56.7	3.1273	19.677	−0.004	+0.01	28	+ 7.1	− 4.9
34	$6^\circ 135$	7.3	45 38.29	2	56.7	+ 5 30 56.3	2	56.7	3.0955	19.668	+0.0012*	−0.02*	29	− 5.9	− 8.7
35	$5^\circ 131$	6.6	47 9.10	2	56.7	+ 5 9 18.8	2	56.7	3.0946	19.641	−0.0009*	+0.01*	30	− 6.4	− 5.4
36	71 Piscium ε	4.0	0 50 15.07	2	56.7	+ 6 33 54.2	2	56.7	+3.1035	+19.584	−0.0070	+0.039	31	− 6.0	− 7.2
37	$5^\circ 141$	7.2	51 5.64	1	56.7	+ 5 26 36.1	1	56.7	3.0982	19.568	−0.001	0.00	32	− 4.7	− 7.3
38	73 Piscium	6.1	52 12.21	2	56.7	+ 4 20 13.0	2	56.7	3.0929	19.546	+0.0008	−0.004	33	− 6.8	− 5.2
39	77 Piscium	6.4	53 10.24	2	56.7	+ 3 35 49.8	2	56.7	3.0893	19.527	−0.0008	−0.119	34	− 7.7	− 7.5
40	$9^\circ 132$	6.5	55 35.2	1	56.7	+ 8 35 32.4	1	56.7	3.1186	19.477	0.000	+0.02	35	− 2.6	− 7.1
41	80 Piscium e	5.6	0 55 46.24	2	56.7	+ 4 20 49.1	2	56.7	+3.0945	+19.473	−0.0195	−0.174	36	− 5.6	− 6.3
42	$8^\circ 183$	7.2	58 5.96	2	56.7	+ 8 14 11.6	2	56.7	3.1185	19.424	+0.005	+0.25	37	+ 6.3	− 7.1
43	$9^\circ 138$	7.0	0 58 40.83	1	56.7	+ 8 58 56.8	1	56.7	3.1235	19.410	−0.002	0.00	38	− 1.5	− 6.6
44	86 Piscium ζ	4.9	1 0 57.60	2	56.7	+ 6 16 22.0	2	56.7	3.1086	19.359	+0.0075	−0.051	39	− 5.6	− 5.3
45	Com. pris	6.0	0 59.10	2	56.7	+ 6 16 34.2	2	56.7	3.1086	19.358	+0.0072	−0.043	40	− 5.6	− 6.0
46	88 Piscium	6.0	1 1 59.25	1	56.7	+ 5 41 35.6	1	56.7	+3.1056	+19.335	−0.0024	−0.021	41	−455.8	−429.9
47	89 Piscium f	5.1	5 10.77	2	56.7	+ 2 19 0.6	2	56.7	3.0852	19.258	−0.0049	−0.019	42	− 8.9	− 7.0
48	$2^\circ 190$	8.0	6 44.54	1	56.7	+ 1 59 45.2	1	56.7	3.0834	19.220	+0.009	−0.03	43	− 9.4	− 6.6
49	42 Ceti	6.0	7 18.08	1	56.7	− 1 48 10.7	1	56.7	3.0578	19.206	−0.0010	+0.002	44	− 7.0	− 5.7
50	$0^\circ 223$	6.5	10 1.45	1	56.7	+ 0 26 23.7	1	56.7	3.0731	19.135	+0.001	−0.05	45	− 7.8	− 6.1

Bradley Nr.	Bradley Br.—M.	Zach	Piazzi	Taylor	Kbg. 1835	Greenwicher Cataloge 12 y.	6 y.	7 y.	N. 7 y.	9 y.	10 y.	Cap 1880	Cord. C.G.	Gotha	Newc. Zod.	Nr.
1	−0.34 +1.4	—	0h 9	21		9	10	10	6	8	24	56			6	1
5	+0.04 +2.1	1690	16	30		10		12			30				7	2
7	−0.11 −1.6	1692	24	38					11		35				8	3
		1693	26	40										3		4
		1697	33	48	1				16	13	40			4		5
16	−0.05 +0.1	1700	45	62	2	16		19	22		50				10	6
		—	60	78	3							130	316	5		7
25	+0.14 +1.2	1703	64	84	4	21		22	29	23	57				11	8
29	−0.29 −0.6	—	70	90		25	23	25	33	26	61	150	356		14	9
		1706	73	93					34					6		10
38	−0.09 +0.8		80	112	6	28	35	31	42	29	69	178	415		16	11
40	+0.36 +0.2	--	95	122				32			71					12
44	+0.12 +1.1	1712	101	128	7				52	33	74				17	13
		1716	107	130									468	7		14
49	−0.18 +2.1	—	118	153		33	33	39			80					15
51	−0.06 -	1717	120	154	9				57	39		215	508		19	16
52	+0.03 −0.6	-	123	158		34	35			40	52					17
55	+0.20 −0.3	—	133	170	11				63	44	91	231	558		20	18
59	−0.17 0.0	—	139	178		40	40	46	70	48	95				21	19
		—	146	184								251	612	8		20
		—	157	197								270	644	9		21
		1727	167	208								291	675	10		22
80	+0.06 −0.2	1731	183	228	12			55	89						25	23
		1733	189	235	13	47	47		93	63		317		11	27	24
84	+0.06 +2.5	1734	190	236	14				92						26	25
85	+0.09 −0.1	1735	192	238	15	50	48	59	94	65	120	318			28	26
91	- −2.7		207	255						69					29	27
93	−0.09 +1.2	—	213	262	16	56	51	62	100	72	133	343	792		30	28
		1739	216	265					101	73	135			12		29
		1741	227	274										13		30
		1743	231	281										14		31
102	+1.4	—	263	363		81	66	86	171	120	209				44	32
		1747	243	293							149			15		33
105a	+0.18 —	1749	246	296						87						34
107	+0.08 —	1750	252	303	17				114	88	155	383			31	35
113	+0.13 −1.2	1755	264	316	19	66	60	72	119	94	162	400			33	36
		1756	269	321										16		37
120	+0.09 −1.5	1757	273	327					126	96	168	417			35	38
124	−0.13 +1.0	1762	280	333					132	101	174				37	39
		—	297	354										17		40
136	+0.07 −0.3	1768	299	355	21	72	62	76	142	106	184	441			40	41
		1774	1h 4	377										18		42
		1777	8	382										19		43
158	−0.11 0.0	1780	16	394	23	86		82	163	114	199	468			45	44
159	−0.13 −2.6	1781	17	395		87		83	164	115	200					45
162	+0.12 −3.2	1783	23	401	24				166					20	46	46
171	+0.17 +0.8	1784	36	414	25		71	88	175	119	204				47	47
		1786	44	424					181					21		48
175	−0.43 −0.5	—	47	427			73			122		507	1241			49
		—	57	435	26									22		50

Nr.	Bezeichn.	Gr.	Æ 1755	B.	Ep.	Decl. 1755	B.	Ep.	Praec. 1755		Eigenbeweg.		Mayer's Catalog alte Nr.	Correction $\Delta\alpha$	$\Delta\delta$
51	3° 190	7.5	1h10m 3s.57	1	56.7	+ 3°26′55″.1	1	56.7	+3s.0942	+19″.134	−0s.004	0″.00	46	− 8″.2	− 6″.1
52	6° 211	7.7	10 10.12	1	56.7	+ 6 6 52.0	1	56.7	3.1132	19.132	+0.005	+0.24	47	− 5.7	− 5.9
53	93 Piscium ϱ	5.0	13 6.13	3	56.7	+17 53 18.9	3	56.7	3.2053	19.053	−0.0056	+0.029	48	+11.4	− 6.6
54	94 Piscium	6.1	13 30.76	3	56.7	+17 57 42.5	3	56.7	3.2067	19.041	+0.0012	−0.038	49	+11.7	− 7.0
55	16° 154	7.2	15 16.39	1	56.7	+15 48 8.2	1	56.7	3.1921	18.992	+0.006	−0.02	50	+ 9.3	− 5.3
56	98 Piscium μ	5.0	17 22.07	3	56.7	+ 4 52 20.7	3	56.7	+3.1077	+18.932	+0.0177	−0.031	51	− 8.9	− 7.4
57	99 Piscium η	3.6	18 25.11	3	56.7	+14 4 27.8	3	56.7	3.1825	18.902	−0.0002	−0.003	52	+ 7.6	− 5.2
58	10° 197	7.5	18 47.61	1	56.8	+ 9 37 3.6	1	56.8	3.1464	18.890	+0.002	+0.02	53	− 4.1	− 5.2
59	7° 229	6.8	20 29.18	2	56.7	+ 6 56 33.9	2	56.7	3.1260	18.840	0.000	−0.02	54	− 7.6	− 6.7
60	7° 234	7.3	22 3.34	1	56.7	+ 7 0 41.9	1	56.7	3.1276	18.792	−0.002	−0.01	55	− 9.1	− 5.3
61	102 Piscium π	5.8	24 8.77	4	56.8	+10 52 44.4	4	56.8	+3.1622	+18.727	−0.0064	+0.054	56	− 0.2	− 6.1
62	11° 207	7.5	24 40.73	3	56.7	+10 49 10.8	3	56.7	3.1623	18.711	+0.0072*	+0.01*	57	+ 0.9	− 6.0
63	8° 258	6.7	27 42.41	2	56.8	+ 7 30 31.1	2	56.8	3.1358	18.613	+0.005	+0.02	58	− 7.1	− 6.4
64	8° 261	8.0	28 32.95	1	56.7	+ 7 49 23.9	1	56.7	3.1392	18.586	−0.001	+0.02	59	− 5.4	− 7.0
65	106 Piscium ν	4.6	28 42.02	4	56.8	+ 4 14 18.7	4	56.8	3.1074	18.580	−0.0034	+0.005	60	−10.9	− 6.6
66	110 Piscium o	4.1	32 29.09	2	56.8	+ 7 54 54.4	2	56.8	+3.1430	+18.453	+0.0029	+0.057	61	− 6.6	− 5.7
67	52 Ceti ι	3.3	32 41.51	1	56.7	−17 14 8.6	1	56.7	2.9067	18.446	−0.1223	+0.857	S. 6		
68	10° 241	6.8	34 10.94	1	56.7	+ 9 36 29.5	1	56.7	3.1604	18.394	+0.001	+0.02	62	− 1.6	− 6.7
69	54 Ceti	6.0	37 53.97	3	55.7	+ 9 49 11.2	3	56.7	3.1659	18.262	−0.0062	−0.031	63	− 2.2	− 5.9
70	5 Arietis γ	4.4	40 8.41	4	56.8	+18 5 0.2	4	56.8	3.2548	18.180	+0.0035	−0.102	64	+ 8.5	− 6.1
71		4.2	40 8.54	4	56.8	+18 4 51.0	4	56.8	+3.2548	+18.180	+0.0035	−0.095	65	+ 8.5	− 6.2
72	6 Arietis β	2.8	41 9.62	2	56.8	+19 35 56.6	2	56.8	3.2734	18,142	+0.0050	−0.102	66	+ 9.4	− 6.0
73	8 Arietis ι	5.8	44 0.93	4	56.8	+16 36 36.6	3	56.7	3.2449	18.033	+0.0011	−0.019	67	+10.9	− 5.4
74	11° 261	6.2	46 21.24	2	56.8	+11 5 40.7	2	56.8	3.1874	17.943	−0.001	−0.02	68	+ 3.4	− 6.1
75	57 Androm. γ	2.3	48 58.15	4	56.7	+41 8 24.6	4	56.8	3.6049	17.839	+0.0021	−0.051	69	+12.3	− 5.8
76	113 Piscium α	3.3	49 23.51	2	56.7	+ 1 34 10.3	2	56.7	+3.0868	+17.822	+0.0016	−0.009	70	−11.8	− 6.7
77	12 Arietis $\varkappa$	5.6	52 55.00	2	56.7	+21 28 4.4	2	56.8	3.3188	17.678	−0.0002	−0.031	71	+11.8	− 5.9
78	13 Arietis α	2.0	53 25.43	4	56.8	+22 17 27.6	4	56.8	3.3304	17.657	+0.0127	−0.134	72	+10.3	− 5.9
79	17° 315	7.3	54 22.21	2	56.7	+16 51 2.1	2	56.7	3.2639	17.617	−0.004	−0.07	73	+11.2	− 7.1
80	15 Arietis	5.8	57 5.88	1	56.7	+18 19 54.8	1	56.7	3.2867	17.502	+0.0051	−0.031	74	+11.1	− 5.3
81	20° 341	7.5	57 41.79	1	56.7	+20 12 30.3	1	56.7	+3.3119	+17.476	+0.018	+0.01	75	+11.9	− 7.5
82	17 Arietis η	5.3	59 7.95	2	56.7	+20 2 47.4	2	56.7	3.3124	17.414	+0.0092	+0.016	76	+10.2	− 5.1
83	19 Arietis	5.8	59 44.06	1	56.7	+14 7 6.9	1	56.7	3.2379	17.388	+0.0049	−0.016	78	+ 6.1	− 5.9
84	65 Ceti ξ^1	4.3	2 0 2.80	2	56.7	+ 7 41 8.8	2	56.7	3.1603	17.374	−0.0032	−0.001	77	− 7.8	− 6.2
85	22 Arietis o	5.6	4 32.94	2	56.7	+18 45 14.7	2	56.7	3.3048	17.174	−0.0023	+0.010	79	+11.2	− 5.5
86	−5° 438	7.0	7 22.44	2	56.7	− 5 29 7.9	2	56.7	+3.0022	+17.045	+0.005	+0.01	80	−10.9	−14.6
87	24 Arietis ξ	5.3	11 42.94	2	56.7	+ 9 29 12.9	2	56.7	3.1915	16.841	−0.0007	−0.013	81	− 7.8	− 6.7
88	73 Ceti ξ^2	4.0	15 9.71	2	56.7	+ 7 20 53.4	2	56.7	3.1659	16.675	+0.0011	−0.001	82	−10.6	− 6.4
89	26 Arietis	6.0	16 57.19	1	56.7	+18 45 10.1	1	56.7	3.3255	16.588	+0.0043	−0.025	83	+10.8	− 6.7
90	78 Ceti ν	4.8	23 2.37	1	56.7	+ 4 30 36.3	1	56.7	3.1316	16.281	−0.0051	−0.028	84	−11.1	− 7.0
91	32 Arietis ν	5.6	24 57.67	1	56.7	+20 53 11.3	2	56.8	+3.3717	+16.183	−0.0019	−0.011	85	+10.1	− 6.4
92	82 Ceti δ	4.0	26 56.82	1	56.7	− 0 44 31.3	1	56.7	3.0596	16.080	+0.0004	−0.007	86	−11.4	− 7.2
93	34 Arietis μ	5.6	28 36.18	1	56.7	+18 57 8.8	1	56.7	3.3474	15.992	+0.0009	−0.037	87	+10.0	− 5.8
94	37 Arietis o	6.0	31 5.31	2	56.7	+14 15 33.4	2	56.8	3.2782	15.860	−0.0013	−0.022	88	+ 4.7	− 5.3
95	87 Ceti μ	4.0	31 43.75	2	56.8	+ 9 3 53.2	4	56.8	3.2011	15.825	+0.0164	−0.020	89	− 5.8	− 5.0
96	42 Arietis π	5.6	35 39.98	3	56.8	+16 25 44.8	3	56.8	+3.3177	+15.611	−0.0011	+0.001	90	+ 8.4	− 6.8
97	18 Persei τ	4.0	37 3.02	2	56.7	+51 44 21.8	2	56.8	4.1434	15.535	−0.0018	−0.009	S. 8		
98	43 Arietis σ	5.8	38 0.37	2	56.7	+14 3 22.3	2	56.8	3.2830	15.482	−0.0002	−0.039	91	+ 3.9	− 6.4
99	45 Arietis	6.2	42 5.51	1	56.7	+17 19 19.2	1	56.7	3.3410	15.252	−0.0022	−0.005	92	+ 8.8	− 6.7
100	46 Arietis ϱ	5.9	42 39.42	1	56.7	+17 1 47.9	1	56.7	3.3369	15.220	+0.0186	−0.189	93	+ 9.2	− 6.5

Bradley Nr.	Bradley Br.—M.	Zach	Piazzi	Taylor	Kbg. 1835	Greenwicher Cataloge 12 y.	6 y.	7 y.	N. 7 y.	9 y.	10 y.	Cap 1880	Cord. C.G.	Gotha	Newc. Zod.	Nr.
		1783	1h 59	437										23		51
		1789	60	440							211			24	48	52
185	−0s.18 −1″.4	1792	72	457				94	193	127	219				50	53
189	−0.15 +0.1	1794	77	463				95		129	220				51	54
		1797	84	471										25		55
199	+0.41 −1.4	1800	95	483	30	121	82	96	204	136	229	585			55	56
203	−0.22 −1.0	1801	98	488	31	124	84	101	208	138	232	594			56	57
		1803	101	489										26		58
		1805	107	498	32					139				27		59
		1809	114	508						142				28		60
214	+0.04 +0.1	1812	126	526	35	137	97	107	220	150	248				60	61
217	−0.32 —	1814	128	528		138	98	108	221						61	62
		1818	144	549	38									29		63
		1819	149	554										30		64
228	+0.47 −0.3	1820	150	557	39	145	101	112	231	160	260	665			66	65
232	+0.24 −1.5	1823	164	576	40	152	106	117	233	165	268	688			67	66
233	−0.09 −2.7	—	163	575			105	116	232	163	267	685	1688			67
		—	169	581			110							31		68
243	+0.08 +0.2	—	185	601	42		115	120		170	281				71	69
249	−0.33 +2.8	7	196	614		166		123	245		288				73	70
248	−0.33 +2.3	7	197	615		168		124	246		286				72	71
252	−0.12 +0.1	8	202	624		170	120	125	248	176	290	749			74	72
262	−0.19 +0.3	10	214	635	44	173		126	252	180	296				75	73
		1828	223	645	45					185	303	781		32	77	74
276	+0.18 +2.8	—	236	667		181	127	131	264	190	319					75
277	+0.16 +0.8	1830	238	665			123–5		262	187	315	800			78	76
285	−0.21 +0.7	18	250	682					274	194	325					77
287	−0.27 +0.3	20	253	685		186	132	137	277	195	326	830				78
		21	257	687		188								33		79
296	−0.11 +0.4	25	267	702				139	284	198	331				79	80
		27	2h 1	706										34		81
303	+0.41 +0.6	29	11	718		193		141	291		339				81	82
305	+0.06 +0.9	31	15	722	50				292	203	340				82	83
306	+0.08 −2.1	—	16	724	51	195	137	142	293	204	342	872			83	84
320	−0.03 +0.9	37	49	763	52	204		148	308	210	350				85	85
		—	58	774								920	2363	35		86
338	+0.37 +3.0	43	76	801	54		147	153	321	216	363				89	87
347	+0.27 0.0	—	94	827	56	212	151	157	332	224	369	973			92	88
349	−0.06 −0.4	49	98	833	57				333		373				93	89
362	+0.59 +0.8	—	125	864		222	160	166	342	236	387	1034				90
367	−0.19 +0.5	57	136	880	62	226		168	348	240	394				98	91
372	−0.01 −0.5	—	144	886			162	169	349	242	395	1057	2799			92
377	+0.02 −2.5	62	153	902	63	230		173		246	403				99	93
385	+0.15 +0.3	67	164	914	66				359	252	409				104	94
387	+0.41 −1.9	69	167	919	67	238	170	181	361	254	412	1111				95
397	−0.02 −0.6	73	185	945	69	244	176	186	364	260	418	1147			108	96
399	+0.14 +0.5	—	190	958		248				265	427					97
400	+0.20 +3.5	75	192	954	70	247	179	189	367	264	425	1161			109	98
406	−0.21 +0.5	78	212	977	72				376	268	431	1187			111	99
408	−0.34 −3.5	79	213	981	73	249	182			270	432				112	100

Nr.	Bezeichn.	Gr.	Æ 1755	B.	Ep.	Decl. 1755	B.	Ep.	Praec. 1755		Eigenbeweg.		Mayer's Catalog alte Nr.	Correction $\Delta\alpha$	$\Delta\delta$
101	48 Arietis ε	4.3	$2^h45^m15^s.32$	3	56.8	+20° 20′ 37″.8	3	56.8	+3ˢ.3974	+15″.071	−0ˢ.0025	−0″.006	94	+ 9″.0	− 4″.5
102	91 Ceti λ	4.6	46 36.61	2	56.8	+ 7 54 53.6	2	56.8	3.1936	14.992	−0.0014	−0.006	95	− 9.4	− 5.2
103	92 Ceti α	2.3	49 29.54	2	56.8	+ 3 6 48.1	2	56.8	3.1190	14.823	−0.0029	−0.073	96	−13.7	− 6.6
104	26 Persei β	2	52 18.86	3	56.8	+39 59 30.2	4	56.8	3.8364	14.655	−0.0017	+0.010	97	+ 3.4	− 5.1
105	20° 514	6.9	55 20.34	1	56.7	+19 48 20.4:	1	56.7	3.4038	14.470	+0.002	+0.03	98	+ 8.2	−20.3
106	18° 418	7.0	55 41.04	1	57.1	+18 25 37.1	1	57.1	+3.3791	+14.452	0.000	+0.03	99	+ 7.0	− 4.8
107	57 Arietis δ	4.1	57 40.02	3	56.9	+18 46 52.9	3	56.9	3.3883	14.331	+0.0095	+0.005	100	+ 7.0	− 5.9
108	58 Arietis ζ	4.4	3 0 52.00	3	56.9	+20 7 6.8	3	56.9	3.4178	14.134	−0.0032	−0.070	101	+ 6.7	− 6.3
109	33 Persei α	2.0	6 58.54	3	56.8	+48 57 56.3	3	56.9	4.1893	13.750	+0.0015	−0.033	102	+ 0.8	− 2.9
110	61 Arietis τ	5.0	7 7.60	2	56.8	+20 14 43.6	3	56.9	3.4295	13.740	+0.0008	−0.030	103	+ 6.7	− 5.1
111	63 Arietis	5.3	8 41.93	3	56.9	+19 50 47.9	3	56.9	+3.4241	+13.639	−0.0043	−0.007	104	+ 6.8	− 6.3
112	65 Arietis	6.0	10 21.45	1	57.1	+19 54 51.7	1	57.1	3.4278	13.532	−0.0003	+0.001	105	+ 6.2	− 3.0
113	1 Tauri o	3.6	11 39.32	4	56.8	+ 8 8 55.9	(4)	56.8	3.2121	13.448	−0.0052	−0.068	106	−10.2	− 4.4
114	2 Tauri ξ	3.6	13 55.16	3	56.8	+ 8 51 36.1	(3)	56.8	3.2261	13.300	+0.0032	−0.049	107	− 8.4	− 4.7
115	10° 444	7.0	15 15.15	1	56.8	+10 31 30.0	1	56.8	3.2570	13.213	−0.002	−0.05	108	− 4.5	− 5.8
116	16° 450	7.5	15 55.52	1	57.1	+15 53 57.3	1	57.1	+3.3575	+13.168	+0.001	−0.01	109	+ 5.5	− 3.7
117	4 Tauri s	5.0	17 2.93	3	56.8	+10 28 37.7	(3)	56.8	3.2574	13.094	−0.0019	−0.018	110	− 4.4	− 3.7
118	5 Tauri f	4.0	17 22.83	3	56.9	+12 4 44.6	3	56.9	3.2871	13.072	−0.0002	+0.011	111	− 1.6	− 3.7
119	6 Tauri t	6.0	19 22.05	3	56.8	+ 8 31 39.1	(3)	56.8	3.2233	12.939	+0.0008	−0.035	112	− 7.8	− 3.1
120	17° 575	7.0	20 16			+17 0 41.5	1	57.1	3.3838	12.880	+0.006	−0.32	113		− 3.3
121	14° 586	6.5	24 4.91	1	57.1	+14 36 23.7	1	57.1	+3.3410	+12.622	+0.001	−0.03	114	+ 3.1	− 2.8
122	16 Tauri	6.4	30 17.82	2	57.0	+23 29 50.8	1	56.8	3.5318	12.194	+0.0006	−0.055	115	+ 7.0	− 6.5
123	17 Tauri	4.1	30 22.80	5	56.6	+23 19 18.4	(4)	56.7	3.5281	12.188	−0.0001	−0.036	116	+ 6.0	− 5.3
124	18 Tauri	6.3	30 35.47	1	56.8	+24 3			3.5445	12.173	−0.0011	−0.05	117	+ 6.5	
125	19 Tauri q	5.0	30 40.77	4	56.8	+23 40 37.2	(3)	56.8	3.5364	12.168	−0.0008	−0.039	118	+ 7.7	− 6.0
126	20 Tauri	5.0	31 18.08	4	56.7	+23 34 51.7	(3)	56.8	+3.5352	+12.124	+0.0003	−0.036	119	+ 6.4	− 5.2
127	21 Tauri	7.0	31 21.89	1	56.8	+23 46 6.6	1	56.8	3.5394	12.120	+0.0003	−0.037	120	+ 6.7	− 6.9
128	22 Tauri	7.0	31 30.49	1	56.8	+23 44 31.0	1	56.8	3.5391	12.110	+0.0006	−0.039	121	+ 6.8	− 5.5
129	23 Tauri	4.8	31 50.49	1	56.8	+23 9 52.1	1	56.8	3.5268	12.087	−0.0005	−0.042	122	+ 6.5	− 6.7
130	24 Tauri	7.5	32 50.29	1	56.8	+23 20 16.2	1	56.8	3.5321	12.016	−0.0023	−0.058	123	+ 6.6	− 5.2
131	25 Tauri η	3.0	32 58.25	5	56.6	+23 19 34.1	5	56.6	+3.5321	+12.007	−0.0004	−0.040	124	+ 5.4	− 5.7
132	27 Tauri	4.0	34 38.69	3	56.6	+23 16 57.7	(3)	56.8	3.5336	11.890	−0.0003	−0.047	125	+ 5.3	− 4.4
133	28 Tauri	6.3	34 39.51	3	56.5	+23 21 59.7	(3)	56.6	3.5355	11.888	−0.0013	−0.057	126	+ 5.6	− 5.7
134	23° 561	7.5	34 48.76	1	56.8	+23 36 38.4	1	56.8	3.5412	11.878	0.000	−0.02	127	+ 6.2	− 6.8
135	30 Tauri e	5.0	34 52.89	1	56.1	+10 22 11.4	1*	56.1	3.2673	11.874	−0.0005	−0.021	128	+12.7	− 5.3
136	16° 523	6.1	39 11.94	1	56.8	+16 34 34.9	1	56.8	+3.3953	+11.566	+0.010	−0.02	129	+ 7.2	− 5.7
137	32 Tauri	6.0	42 25.93	1	56.1	+21 45 3.9	1*	56.1	3.5104	11.333	+0.004	−0.11	130	+ 1.4	− 4.8
138	35 Tauri λ	4	47 8.36	5	56.4	+11 46 37.3	(3)	56.8	3.3033	10.991	−0.0014	−0.009	131	− 1.9	− 7.3
139	37 Tauri A	4.6	50 15.22	4	56.4	+21 23 24.5	(4)	56.8	3.5122	10.762	+0.0053	−0.058	132	+ 2.7	− 5.1
140	39 Tauri	6.4	50 52.48	3	56.6	+21 19 32.9	(3)	56.8	3.5115	10.716	+0.0122	−0.115	133	+ 4.4	− 4.5
141	42 Tauri ψ	5.8	51 54.60	2	56.9	+28 18 56.5	2	57.0	+3.6810	+10.639	−0.0063	+0.010	134	+ 8.4	− 4.8
142	43 Tauri	6.0	54 55.89	3	56.6	+18 56 22.8	(2)	56.6	3.4623	10.414	+0.0061	−0.033	135	+12.3	− 4.1
143	44 Tauri p	6.0	55 57.54	2	56.5	+25 49 6.9	(2)	56.6	3.6247	10.337	−0.0034	−0.037	136	+ 6.3	− 3.9
144	50 Tauri ω	5.6	4 2 56.30	4	56.3	+19 57 10.9	(4)	56.4	3.4936	9.808	−0.0039	−0.038	137	+ 3.2	− 4.7
145	13° 659	6.5	4 0.10	1	56.1	+13 12 29.4	1	56.1	3.3446	9.728	−0.002	+0.04	S. 9		
146	52 Tauri φ	5.3	5 19.97	4	56.3	+26 44 27.6	(4)	56.4	+3.6613	+ 9.625	−0.0019	−0.066	138	+ 4.8	− 4.1
147	54 Tauri γ	4.0	5 52.87	6	56.2	+15 0 49.8	(5)	56.3	3.3852	9.583	+0.0073	−0.030	139	+ 2.9	− 4.6
148	57 Tauri h	6.0	6 12			+13 25 19.4	1	56.8	3.3506	9.559	+0.0064	−0.018	140		− 5.7
149	58 Tauri	6.2	6 44.68	1	56.1	+14 29 11.9	1*	56.1	3.3742	9.517	+0.0058	−0.013	141	+ 0.1	− 4.9
150	13° 665	6.5	7 7.84	1	56.8	+13 15 22.1	1	56.8	3.3477	9.487	+0.0072	−0.024	142	+ 1.9	− 4.2

Bradley Nr.	Bradley Br.–M.	Zach	Piazzi	Taylor	Kbg. 1835	Greenwicher Cataloge 12 y.	6 y.	7 y.	N. 7 y.	9 y.	10 y.	Cap 1880	Cord. C.G.	Gotha	Newc. Zod.	Nr.
415	−0ˢ.01 −0″.8	81	2ʰ 224	994	76	254	185	194	380	274	444				115	101
419	+0.47 −0.7	—	228	1002			187		382	276						102
428	+0.58 −2.2	—	244	1022		260	191	197	387	280	455	1250			117	103
436	+0.85 −1.2	—	254	1040		265	197	203	391	285	464					104
		—	261	1055	79			206	397					36		105
		91	264	1058										37		106
446	+0.02 +1.0	95	3ʰ 2	1069	80	271	202	208	401	292	475	1295			123	107
451	+0.11 −1.6	97	11	1087	82	275	206	211	406	297	488				124	108
464	−0.55 +1.9	—	41	1141		284	216	220	419	310	513	1392			127	109
465	+0.25 −0.8	105	40	1132	83	282	214	218	417	309	508	1378			126	110
470	+0.20 −0.7	107	45	1143	84				420	311	514	1393			128	111
474	−0.11 +0.6	110	50	1151	86	286		225		315	520				130	112
477	+0.28 −1.0	113	55	1156		289	220	226	423	317	523	1407				113
481	+0.26 +1.8	115	63	1170	88	292	224	230	426	319	526	1425				114
		116	67	1178										38		115
		—	70	1183										39		116
485	+0.18 +1.2	117	75	1189	90		228	238	433	323					133	117
486	+0.19 −3.1	119	77	1191	91.	296	229	239	436	325	539	1450			134	118
489	+0.48 −3.3	122	83	1198			231	241	437	327	546					119
		124	87	1202				243	438		548			40		120
		128	99	1221										41		121
508	−0.49 +2.0	135	129	1257	98	312		256	462						144	122
509	−0.14 −0.3	136	130	1258	99	313	241	258	464	345	576	1551			145	123
510	+0.39	137	131	1262	100	315			465						146	124
511	−0.23 +1.0	138	132	1264	101	316		260	467		577				147	125
512	−0.19 −0.9	139	136	1269	102	318		261			579				148	126
513	−0.17 −2.1	140	137	1271	103				470						149	127
514	−0.21 −0.2	143	141	1273					471						150	128
516	−0.39 −1.8	144	144	1275	104	320		263		348	581				151	129
520	+0.23 −1.8	146	150	1280	105	321	244	264	473		583				152	130
521	+0.03 +0.7	148	152	1282	106	322	245	265	474	349	584	1571			153	131
527	−0.06 +1.4	151	157	1293	108	326		269	482	351	590				157	132
528	+0.24 +0.8	153	158	1294	109	327		270		352	591				158	133
		—	—	—										42		134
529	−0.69 −0.1	152	159	1291		325	248	266	479	350	589					135
		160	187	1328	112						602			43	162	136
		161	197	1344	113		252	278	496	360				44	164	137
548	−0.07 +1.9	170	218	1370	117	342	256	282	503	367	620				169	138
554	−0.01 +0.9	174	232	1389	119	344	258	288	511	373	630	1713			172	139
556	−0.10 −1.7	177	236	1394	120	345	259		512	374	633				173	140
559	−0.02 −0.1	180	245	1406					514	377					175	141
562	+0.01 −0.3	183	252	1423	122			292	518	379	646					142
563	−0.10 +0.5	186	256	1429	123				519	381					178	143
575	+0.20 −1.9	199	4ʰ 27	1474	125	359				392					180	144
		?200	—	—										45		145
582	−0.18 −1.4	205	38	1486	129						681				184	146
583	+0.06 +1.3	206	39	1487	130	362	275	311	537	399	680	1819			185	147
585	+1.7	208	41	1490					538		682				187	148
586	−0.06 −2.4	209	43	1492					539						188	149
587	−0.35 +2.9	—	45	1494					540						189	150

Nr.	Bezeichn.	Gr.	Æ 1755	B.	Ep.	Decl. 1755	B.	Ep.	Praec. 1755		Eigenbeweg.		Mayer's Catalog alte Nr.	Correction $\Delta\alpha$	$\Delta\delta$
151	59 Tauri χ	5.6	$4^h\ 7^m 43^s.04'$	2	56.1	$+25^\circ\ 1'\ 40''.6$	2*	56.1	$+3^s.6210$	$+9''.442$	$+0^s.0017$	$-0''.028$	143	$+10''.4$	$-4''.5$
152	60 Tauri	6.0	8 16.75	2	56.4	+13 28 31.9	2	56.5	3.3532	9.398	+0.0060	−0.024	144	+ 0.9	− 4.6
153	61 Tauri δ	4.0	8 50.43	4	56.3	+16 56 43.0	(5)	56.4	3.4305	9.355	+0.0066	−0.025	145	+ 4.4	− 4.6
154	64 Tauri	5.8	10 0.45	5	56.3	+16 51 14.3	(5)	56.4	3.4294	9.264	+0.0072	−0.020	147	+ 4.5	− 3.5
155	68 Tauri	5.0	11 20.96	4	56.3	+17 20 40.1	(5)	56.4	3.4417	9.160	+0.0065	−0.025	148	+ 4.1	− 4.5
156	69 Tauri υ	4.6	11 40.72	1	56.1	+22 14 8.3	2*	56.1	+3.5568	+9.134	+0.0068	−0.034	149	+ 3.5	− 4.5
157	71 Tauri	6.0	12 24.49	1	56.2	+15 2 25.4	1*	56.1	3.3905	9.077	+0.0067	−0.014	150	+ 0.9	− 4.4
158	72 Tauri	6.0	12 40.59	2	56.1	+22 25 16.3	2*	56.1	3.5624	9.056	−0.0010	−0.003	151	+ 3.2	− 4.5
159	73 Tauri π	5.0	12 47.50	2	56.5	+14 8 14.5	(3)	56.6	3.3707	9.047	−0.0008	−0.023	152	+ 5.5	− 3.5
160	74 Tauri ε	3.6	14 20.55	5	56.5	+18 36 50.5	(5)	56.7	3.4735	8.926	+0.0070	−0.028	154	+ 3.5	− 4.2
161	76 Tauri	6.4	14 32.41	1	56.1	+14 10 23.2	1*	56.1	+3.3727	+8.910	+0.0062	−0.022	155	+ 1.0	− 4.8
162	77 Tauri θ^1	4.0	14 36.56	4	56.4	+15 23 45.4	(2)	56.6	3.4000	8.905	+0.0048	−0.015	156	+ 2.1	− 6.3
163	78 Tauri θ^2	4.2	14 42.47	4	56.3	+15 18 17.6	(2)	56.6	3.3981	8.898	+0.0064	−0.003	157	+ 5.3	− 5.8
164	$19^\circ 731$	7.7	15 57.62	1	57.1	+19 17 1.8	1	57.1	3.4906	8.799	+0.005	−0.04	158	+ 1.0	− 1.3
165	80 Tauri	7.0:	16 11.80:	1	56.1	+15 5			3.3940	8.780	+0.0050	−0.004	159	+ 1.7	
166	$15^\circ 637$	5.0	16 34.12	5	56.5	+15 38 17.7	(5)	56.7	+3.4069	+8.751	+0.0073	−0.020	160	+ 2.7	− 4.8
167	81 Tauri	6.5:	16 42.15	1	56.1	+15 8 14.1	1*	56.1	3.3957	8.741	+0.0069	−0.018	161	+ 1.0	− 4.7
168	$15^\circ 640$	7.5	16 47.43	2	56.9	+15 35 38.6	2	57.0	3.4061	8.733	+0.006	−0.02	162	+ 4.0	− 3.0
169	$16^\circ 621$	7.5	19 38.80	3	56.7	+15 47 2.6	(3)	56.9	3.4124	8.508	−0.0004*	−0.03*	163	+ 1.7	− 3.9
170	86 Tauri ϱ	5.1	19 58.57	1	56.2	+14 18 25.0	1*	56.2	3.3791	8.482	+0.0060	−0.024	164	+ 0.1	− 4.9
171	$19^\circ 742$	6.5	21 23.06	1	56.1	+19 21 5.9	1*	56.1	+3.4970	+8.370	−0.002	−0.01	166	+ 2.6	− 4.6
172	87 Tauri α	1	21 53.56	13	56.5	+15 59 36.7	12	56.7	3.4188	8.329	+0.0035	−0.184	167	+ 2.8	− 3.4
173	89 Tauri	6.5	24 9.71	4	56.4	+15 31 9.1	(4)	56.5	3.4094	8.148	+0.0054	−0.011	168	+ 2.3	− 5.0
174	91 Tauri σ^1	5.6	25 11.52	8	56.5	+15 17 37.6	(7)	56.7	3.4049	8.066	+0.0009	−0.066	169	− 2.7	− 4.1
175	92 Tauri σ^2	5.9	25 17.32	8	56.5	+15 24 34.1	(7)	56.7	3.4076	8.058	+0.0050	−0.022	170	− 0.4	− 4.2
176	94 Tauri τ	4.3	27 34.45	6	56.3	+22 27 49.0	(6)	56.6	+3.5786	+7.874	−0.0010	−0.009	171	+ 3.0	− 2.8
177	$18^\circ 719$	6.5	32 0.08	6	56.4	+18 16 4.0	(6)	56.6	3.4794	7.516	+0.005	−0.06	172	+ 2.5	− 3.8
178	$11^\circ 646$	5.7	32 24.95	1	56.1	+11 14			3.3166	7.481	+0.001	−0.01	S. 10		
179	$18^\circ 734$	7.0	34 23.04	4	56.4	+18 16 37.2	(3)	56.5	3.4813	7.322	+0.013	−0.37	173	+ 4.1	− 4.3
180	97 Tauri i	5.3	37 4.04	7	56.3	+18 23 55.3	(6)	56.6	3.4861	7.103	+0.0047	−0.034	174	+ 1.9	− 5.0
181	4 Orion. o^1	5.0	38 41.88	3	56.6	+13 49 9.2	(3)	56.8	+3.3785	+6.970	−0.0007	−0.059	175	+ 0.6	− 5.0
182	$16^\circ 664$	7.5	39 54.94	1	56.1	+16 35 55.6	1*	56.1	3.4446	6.870	+0.005	0.00	176	+ 2.7	− 4.6
183	$19^\circ 811$	7.0	40 35.78	2	56.2	+19 4			3.5048	6.814	+0.004	−0.01	S. 11		
184	$16^\circ 667$	7.5	40 52.02	1	56.9	+15 57 52.4	1	56.9	3.4301	6.791	−0.002	0.00	177	+ 4.1	− 2.4
185	$12^\circ 673$	7.5	41 3.48	2	56.1	+11 56			3.3361	6.775	0.000	−0.05	S. 12		
186	$16^\circ 668$	7.0	41 15.42	1	56.9	+16 12 6.2	1	56.9	+3.4359	+6.759	−0.002	−0.02	178	+ 4.5	− 2.1
187	99 Tauri	6.0	42 58.60	3	56.4	+23 32 28.4	(3)	56.5	3.6201	6.617	−0.0013*	−0.01*	179	+ 2.5	− 3.6
188	$16^\circ 672$	5.6	43 14.71	4	56.4	+16 44 41.8	(4)	56.6	3.4501	6.595	−0.0015*	+0.01	180	+ 2.8	− 4.9
189	7 Aurig. ε	4	44 26.73	2	56.9	+43 25 51.9	3	56.9	4.2681	6.496	−0.0016	−0.014	S. 14		
190	$14^\circ 796$	6.5	45 6.76	1	56.9	+14 8 42.7	1	56.9	3.3892	6.440	−0.003	0.00	181	+ 1.4	− 1.7
191	8 Aurig. ζ	4.0	45 23.95	2	57.0	+40 41 21.6	3	56.9	+4.1597	+6.416	−0.0005	−0.008	S. 15		
192	101 Tauri	7.0	45 42.19	1	56.2	+15 31 24.5	1*	56.2	3.4222	6.392	+0.0058	−0.023	182	+ 2.1	−17.9
193	$41^\circ 1044$	6.5	46 9.89	(1:)	57.1	+41 3 30.5	1	57.1	4.1752	6.353	+0.001	0.00	S. 16		
194	102 Tauri ι	5.0	48 28.65	5	56.1	+21 12 53.0	5*	56.1	3.5641	6.161	+0.0040	−0.040	183	+ 1.5	− 4.5
195	10 Aurig. η	3.6	49 22.74	4	57.0	+40 52 25.4	5	56.9	4.1731	6.085	+0.0022	−0.061	S. 17		
196	$21^\circ 755$	6.7	49 47.22	3	56.2	+20 54 34.4	3*	56.2	+3.5572	+6.051	0.000	−0.01	184	+ 2.7	− 4.4
197	11 Orionis	5.0	50 35.30	2	56.1	+15 2 24.6	1*	56.1	3.4130	5.984	−0.0002	−0.031	185	− 1.1	− 4.6
198	$19^\circ 847$	6.5	51 6.98	3	56.5	+19 26 41.8	(3)	56.7	3.5210	5.940	−0.001	−0.01	186	+ 3.3	− 4.0
199	104 Tauri m	5.3	52 59.57	6	56.4	+18 17 28.6	(7)	56.6	3.4934	5.783	+0.0375	+0.022	187	+ 6.1	− 3.8
200	106 Tauri l	5.6	53 19.99	2	56.1	+20 4 14.6	2*	56.1	3.5382	5.755	−0.0034	−0.029	188	+ 2.3	− 4.5

[1] Oder $42^s.54$, wenn keine Corr. an die erste Beobachtung angebracht wird.

Bradley Nr.	Bradley Br.—M.	Zach	Piazzi	Taylor	Kbg. 1835	Greenwicher Catalogs 12 y.	6 y.	7 y.	N. 7 y.	9 y.	10 y.	Cap 1880	Cord. C. G.	Gotha	Newc. Zod.	Nr.
588	−0ˢ.05 0″.0	212	4ʰ 51	1504	131			312	541	401	686	1835			190	151
589	+0.30 +1.5	214	54	1506					543						191	152
594	−0.11 +0.7	216	57	1509	133	364	278	314	544	403	692				192	153
597	−0.23 −0.7	221	64	1520		366	279	315		409					196	154
601	−0.09 +0.2	226	73	1531	137	369	281		553	413	703				199	155
604	+0.39 −5.4	228	75	1533		370		317	555	414	704				201	156
605	+0.57 −2.9	229	78	1536		371				415					202	157
606	+0.03 −3.7	231	80	1539	138			319	558	416	707				204	158
608	+0.04 +0.2	230	79	1538					556						203	159
609	+0.03 −0.8	233	87	1547	139	373	284	320	559	419	712	1884			206	160
611	−0.08 +2.1	235	89	1550											208	161
612	+0.18 −1.3	236	90	1551	141	375	285		561	420	713				209	162
613	−0.25 −2.0	237	91	1552	142	378	286		562	421					210	163
		239	95	1562										48		164
617	+0.57	240	97	1564	143	379	288				717				211	165
619	−0.19 +0.4	242	99	1568		380	289			422					212	166
620	−0.09 −3.3	243	100	1569	145	381	290	322	565	423	719				213	167
		244	102	1571			291							49	215	168
625	−0.09 —	250	113	1587					570						218	169
627	−0.19 −0.6	251	114	1590		388					727				220	170
		253	120	1599										50		171
630	−0.07 +0.5	254	125	1602		392	299	327	573	429	734	1962			221	172
638	−0.08 −0.9	256	135	1614	147				580	433	739				223	173
641	+0.03 +2.1	258	143	1624					584	437					224	174
643	−0.02 +0.8	259	145	1625					585	439	742				225	175
648	−0.06 −3.7	264	159	1644	148	400	309	336	589	441	754	2007			227	176
		269	179	1667	150				596	445	769			51	230	177
		—	—	—							770			52		178
		270	190	1684				344	600					53		179
666	+0.10 +1.2	273	208	1705	151	405		348	608	449	785				233	180
672	−0.08 +0.2	274	216	1712		406	320		615		792					181
		276	222	1721										54		182
		—	—	—										55		183
		—	228	1729										57		184
		—	—	—										56		185
		—	231	1736										58		186
684	−0.04 —	—	243	1749	153				622						236	187
686	−0.10 —	281	246	1750	154			355		459					235	188
690	−0.25 +2.6	—	256	1769		413	329		633	463						189
		283	257	1767										59		190
693	+0.15 −1.8	—	262	1773		414	330			464	816					191
694	−0.25 +0.6	284	261	1770					632						238	192
		—	—	—										60		193
698	+0.01 +2.0	286	274	1787	156	417	332	365	637	468	823				239	194
700	0.00 +0.9	—	283	1800		419		367	640	471	828					195
		288	282	1799	157									61		196
702	+0.16 −3.8	289	286	1802		420	334	366	639	470					240	197
		290	288	1810							829			62		198
705	−0.08 +0.8	293	293	1816	158		338	368	642	472	833				241	199
708	−0.17 −0.7	296	296	1818	159		339	369	644	474	835				242	200

† Arg. 110.

Nr.	Bezeichn.	Gr.	Æ 1755	B.	Ep.	Decl. 1755	B.	Ep.	Praec. 1755		Eigenbeweg.		Mayer's Catalog alte Nr.	Correction $\Delta\alpha$	$\Delta\delta$
201	15 Orionis	5.3	$4^h55^m41^s.92$	2	56.6	+15° 15′ 38″.7	(3)	56.9	$+3^s.4206$	+5″.556	$-0^s.0013$	+0″.008	189	+ 3″.4	− 3″.7
202	67 Eridani β	3.0	55 49.1	2	56.1	− 5 25			2.9479	5.546	−0.0066	−0.065	S. 18		
203	13 Aurigae α	1	58 37.81	15	56.9	+45 43 3.7	15	56.9	4.3927	5.308	+0.0079	−0.424	190	− 1.6	− 2.5
204	17 Orionis ϱ	5.0	5 0 29.2	1	56.1	+ 2 33			3.1275	5.151	−0.0013	−0.001	S. 19		
205	108 Tauri	6.5	0 45.47	1	56.9	+21 58 46.8	1	56.9	3.5919	5.129	−0.0022	+0.004	191	+ 5.4	− 3.5
206	19 Orionis β	1	2 46.44	14	56.9	− 8 30 19.2	12	57.1	+2.8761	+4.958	−0.0012	+0.005	192	− 3.7	− 4.7
207	109 Tauri n	5.8	4 34.58	3	56.5	+21 49 4.6	(3)	56.7	3.5899	4.805	+0.0011	−0.082	193	+ 1.4	− 4.5
208	19°893	6.5	4 45.76	2	57.1	+19 51 9.2	2	57.1	3.5390	4.790	−0.002	−0.02	194	+ 3.2	− 4.2·
209	27°758	6.5	5 38	1	56.1	+27 40 55.9	1*	56.1	3.7521	4.716	−0.003	−0.01	197		− 4.1
210	19°898	6.5	5 52.80	2	57.1	+19 18 11.5	1	57.0	3.5255	4.694	−0.003	−0.02	195	+12.3	− 1.6
211	19°902	6.5	6 29.31	3	57.0	+19 32 29.5	3	57.0	+3.5319	+4.643	0.000	−0.01	196	+10.2	− 1.6
212	22 Aurigae	7.0	7 53.16	2	57.1	+28 40 38.9	2	57.1	3.7827	4.523	+0.0004	−0.011	198	+ 1.7	− 1.5
213	112 Tauri β	2.0	10 49.70	14	56.7	+28 22 26.1	6	57.0	3.7759	4.272	+0.0013	−0.180	199	+ 4.5	− 2.3
214	24 Orionis γ	2.0	12 0.27	9	57.1	+ 6 6 18.9	6	57.0	3.2099	4.171	−0.0019	−0.015	200	− 6.4	− 2.2
215	115 Tauri	6.0	12 53.84	2	57.0	+17 43 34.1	2	57.1	3.4885	4.095	−0.0011	−0.003	201	+ 8.2	− 1.4
216	114 Tauri o	5.7	12 56.28	3	56.2	+21 42 7.2	3*	56.2	+3.5911	+4.091	−0.0011	+0.006	202	+ 4.0	− 4.2
217	25 Aurigae χ	5.0	16 48.24	3	56.2	+31 58 58.1	3*	56.2	3.8905	3.759	−0.0008	0.000	203	+ 4.2	− 4.1
218	9 Leporis β	3.1	17 45.19	5	56.8	−20 58 23.9	(5)	56.9	2.5659	3.677	−0.0015	−0.079	204	− 2.8	− 4.8
219	20°989	6.3	19 5.83	2	56.2	+20 16 31.3	2*	56.2	3.5563	3.562	−0.002	0.00	205	+ 1.9	− 4.3
220	34 Orionis δ	2–3	19 30.07	12	57.0	− 0 30 9.7	8	56.9	3.0584	3.527	−0.0014	−0.005	206	− 6.2	− 3.2
221	35 Orionis	6.0	19 59.6	1	57.0	+14 7			+3.4011	+3.485	+0.0001	−0.010	207	+ 5.0	
222	11 Leporis α	3.0	21 55.98	4	56.6	−18 1 2.2	(4)	56.8	2.6409	3.317	−0.0011	+0.010	208	− 1.5	− 5.6
223	123 Tauri ζ	3.3	23 0.97	5	56.2	+20 58 4.3	4	56.7	3.5759	3.224	−0.0007	−0.024	209	+ 2.0	− 3.4
224	46 Orionis ε	2.0	23 47.58	10	57.0	− 1 22 46.1	6	56.8	3.0381	3.157	−0.0018	+0.006	210	− 4.5	− 2.7
225	125 Tauri	6.0	24 34.23	1	56.1	+25 44 0.3	1*	56.1	3.7070	3.090	0.0000	−0.014	211	+ 0.4	− 4.1
226	48 Orionis σ	3.6	26 27.55	8	56.7	− 2 45 47.0	(8)	56.7	+3.0061	+2.926	−0.0018	+0.009	212	− 4.5	− 5.3
227	50 Orionis ζ	2.0	28 24.43	11	57.0	− 2 5 36.9	7	56.9	3.0215	2.757	−0.0008	+0.010	213	− 3.3	− 3.9
228	18°950	7.5	30 49.13	2	56.2	+18 34 24.6	2*	56.2	3.5158	2.549	−0.002	+0.03	214	+ 4.6	− 4.1
229	12 Leporis	6.2	31 56.34	1	57.1	−22 30 38.7	1	57.1	2.5198	2.451	−0.0015	+0.015	S. 20		
230	20°1095	7.4	32 23.89	1	56.1	+20 9 41.3	1*	56.1	3.5576	2.410	0.000	+0.01	215	− 1.7	− 4.2
231	24°962	7.0	32 54.10	1	57.0	+24 34 9.3	1	57.0	+3.6773	+2.367	−0.002	+0.04	216	+ 5.6	+17.6
232	130 Tauri	6.0	33 9.70	2	56.2	+17 36 43.6	2*	56.2	3.4917	2.344	−0.0013	+0.001	217	+ 5.2	− 4.2
233	9°854	6.0	33 25.28	1	56.1	+ 9 24 34.2	1*	56.1	3.2902	2.322	0.000	−0.07	221	−921.9	−848.5
234	20°1105	7.3	33 45.91:	1	56.2	+20 45 33.9	1*	56.1	3.5736	2.292	−0.002	0.00	218	− 1.4	− 4.1
235	132 Tauri	5.3	33 59.79	1	57.0	+24 27 30.8	1	57.0	3.6745	2.272	−0.0009	−0.010	219	+ 5.5	− 2.6
236	22°1210	7.4	34 14.47	2	56.8	−22 31 16.4	1	57.1	+2.5188	+2.252	−0.0242*	−0.34*	S. 21		
237	13 Leporis γ	3.8	34 15.70	4	56.8	−22 32 47.3	(4)	56.9	2.5181	2.249	−0.0230	−0.366	220	+ 1.4	− 5.8
238	53 Orionis κ	2.6	36 8.67	6	56.9	− 9 46 39.4	(5)	56.9	2.8407	2.085	−0.0017	+0.004	222	− 0.9	− 5.9
239	20°1156	7.2	38 46.40	1	56.1	+20 12 56.9	1*	56.1	3.5603	1.857	−0.0005*	0.00*	223	− 1.1	− 4.2
240	54 Orion. χ^1	4.6	39 52.78	4	56.1	+20 12 20.8	4*	56.1	3.5604	1.759	−0.0154	−0.096	224	+ 0.6	− 4.3
241	57 Orionis	6.0	40 26.85	1	57.0	+19 40 33.0	1	57.0	+3.5465	+1.709	−0.0016	+0.009	225	+ 5.6	− 3.8
242	34 Aurigae β	2.0	41 34.38	2	56.8	+44 53 27.9	3	57.0	4.3982	1.612	−0.0065	−0.011	S. 22		
243	58 Orionis α	1	41 54.93	8	57.1	+ 7 20 16.8	6	57.2	3.2417	1.582	+0.0008	+0.024	226	− 4.3	− 0.5
244	139 Tauri	5.3	42 48.13	4	56.7	+25 53 46.8	3*	56.2	3.7176	1.504	0.0000	−0.009	227	+ 5.0	− 4.0
245	140 Tauri	7.0	45 37.27	1	56.2	+22 51 35.4	1*	56.2	3.6328	1.258	0.000*	−0.002*	228	+ 3.4	− 4.1
246	141 Tauri	6.7	46 54.39	1	56.2	+22 22 3.1	1*	56.2	+3.6195	+1.146	−0.0021	−0.012	229	+ 3.6	− 4.1
247	64 Orionis	6.0	48 57.51	3	56.9	+19 40 7.5	(2)	56.6	3.5475	0.966	+0.0016	−0.012	230	+ 7.4	− 6.6
248	1 Gemin.	5.0	49 14.10	3	56.1	+23 15 2.0	3*	56.1	3.6441	0.942	−0.0010	−0.093	232	+ 1.0	− 4.0
249	62 Orionis χ^2	5.0	49 22.54	3	56.1	+20 7 7.7	3*	56.1	3.5594	0.930	0.0000	+0.006	233	+ 3.4	− 4.1
250	22°1180	7.5	52 57.38	1	56.1	+22 43			3.6294	0.617	0.000	+0.03	234	− 1.9	

Bradley Nr.	Bradley Br.—M.	Zach	Piazzi	Taylor	Kbg. 1835	Greenwicher Cataloge 12 y.	6 y.	7 y.	N. 7 y.	9 y.	10 y.	Cap 1880	Cord. C. G.	Gotha	Newc. Zod.	Nr.
714	−0ˢ.11 −3″.7	—	4ʰ313	1842		426	345	376	654	480					247	201
715	−0.1	—	312	1839			343			478	840		5848			202
722	+0.23 +0.5	—	5ʰ 6	1866		428	353	381	659	486	863	2285			248	203
725	+0.6	—	10	1869				380			856					204
726	+0.04 −2.3	301	13	1876					661						249	205
736	+0.10 +1.0	—	18	1879		433	356	383	664	488	865	2292	6004		250	206
741	−0.04 −0.9	305	34	1898	164	436	357	386	670	495	877				251	207
		306	37	1899	165									63		208
		—	41	1912			363	388		498	879	2338		65		209
		307	43	1910	166									64		210
		308	48	1916							882			66		211
746	+0.16 −6.5	—	55	1928	167				675						252	212
756	−0.14 +0.1	315	72	1949		453	374	395	688	506	898	2382			255	213
761	0.00 −0.8	—	80	1959		454	375	397		507		2381				214
767	−0.24 +0.6	317	86	1970	169			399	692						257	215
768	+0.05 −1.1	318	88	1971	170	456	377	400	694	511	902				258	216
776	−0.05 +1.0	—	114	2011		461	385	407		518	915					217
781	+0.21 +0.6	—	113	2002		458	384	405			910	2428	6344			218
		329	125	2022	174						920			67		219
787	+0.01 +2.3	—	126	2021		464	388	409	708	521	918	2454	6401		267	220
788	0.0	—	132	2026		467										221
796	+0.04 +2.2	—	139	2034		470	392	413	712	524	925	2466	6436		269	222
800	+0.10 −0.5	338	152	2058	179	474	400	425	725	530	946				273	223
809	+0.01 −2.8	—	160	2059		473	399	423	724	529	944	2495	6501		272	224
810	−0.13 −1.2	341	165	2071	180	478	402			534	953				276	225
814	−0.07 +0.2	—	172	2077			403				954	2517	6558			226
819	−0.05 −0.5	—	188	2096		481	407	427	731	540	963	2539	6614			227
		351	202	2120										68		228
828	−0.26 −0.2	—	204	2117					738			2565	6681			229
		352	210	2128										69		230
		354	214	2135	183									70		231
832	+0.11 −0.4	356	215	2136	184		412				977				284	232
		—	—													233
		359	222	2143							979			71		234
835	−0.24 +0.2	360	223	2144	185	493	414			551					285	235
836	−1.09 —	—	—	—		488	410	431	742							236
837	−0.18 +1.2	—	219	2132		489	411	432	743	545		2582	6733			237
844	+0.08 +2.0	—	234	2154			415	435	750	552		2601	6788			238
850	−0.78 —	369	251	2183		504	421		759		995				287	239
856	+0.38 −0.9	—	259	2198	188	506	443	442	763	562	998				288	240
857	+0.16 +1.4	—	265	2201					765	564	999				289	241
859	−0.21 +1.0	—	269	2217		514	432	445	768	570	1011					242
860	+0.03 −1.0	—	268	2207		509	427	444	766	566	1001	2672			290	243
862	−0.14 +2.6	372	273	2220	189	515	433	446		569	1010				291	244
867	— −4.1	377	285	2242											292	245
871	+0.08 +1.0	378	296	2254	191	520					1021				293	246
878	−0.14 +0.9	—	304	2263	192			452	778	577	1022				294	247
880	−0.13 −1.3	381	307	2268	193	521	441	454	780	579	1026	2746			295	248
881	−0.07 −1.9	—	308	2270	194	522		453		578	1025				296	249
		379	329	2300										73		250

Nr.	Bezeichn.	Gr.	AR 1755	B.	Ep.	Decl. 1755	B.	Ep.	Praec. 1755		Eigenbeweg.		Mayer's Catalog alte Nr.	Correction $\Delta\alpha$	$\Delta\delta$
251	22° 1198	6.5	$5^h54^m46^s.91$	1	57.0	+22° 12′ 11″.4	1	57.0	+3ˢ.6158	+0″.457	−0ˢ.004	+0″.01	235	+5″.0	− 3″.0
252	3 Gemin.	6.4	54 51.81	2	56.1	+23 7 39.1	1*	56.1	3.6411	0.450	+0.0001	−0.002	236	+2.2	− 4.1
253	4 Gemin.	7.4	55 39.06	1	56.1	+23 0 55.9	1*	56.1	3.6381	0.382	−0.0010	0.000	237	−2.3	−17.2
254	5 Gemin.	6.7	56 31.07	1	57.0	+24 26 53.9	1	57.0	3.6780	0.305	−0.0007	−0.046	238	+5.1	− 3.2
255	6 Gemin.	6.7	57 28.25	3	56.1	+22 56 17.3	3*	56.1	3.6360	0.222	−0.0009	+0.010	239	+2.1	− 4.0
256	68 Orionis	6.0	57 31.03	1	57.0	+19 49 8.2	1	57.0	+3.5520	+0.218	+0.0014	−0.002	240	+4.7	− 2.7
257	7 Gemin. η	3.3	6 0 5.44	5	56.3	+22 33 7.2	(5)	56.4	3.6255	−0.008	−0.0050	−0.003	241	+2.5	− 4.3
258	71 Orionis	5.8	0 25.99	1	57.0	+19 12 51.4	1	57.0	3.5362	0.038	−0.0082*	−0.18*	242	+5.2	− 2.7
259	8 Gemin.	6.5	1 21.00	1	56.2	+24 1 24.4	1*	56.2	3.6662	0.118	−0.0028	−0.027	243	+2.6	− 4.0
260	9 Gemin.	6.5	2 1.91	2	56.2	+23 48			3.6598	0.178	−0.0014	+0.002	244	+3.5	
261	10 Gemin.	7.0	3 58.86	2	56.2	+23 40 20.8	2*	56.2	+3.6563	−0.348	−0.0024	−0.049	245	+2.7	− 3.9
262	11 Gemin.	7.3	4 24.71	1	56.1	+23 32 22.7	1*	56.1	3.6526	0.386	+0.0003	+0.020	246	+2.5	− 3.8
263	12 Gemin.	7.5	4 29.01	1	56.1	+23 20 41.1	1*	56.1	3.6472	0.392	+0.002*	+0.024*	247	+2.7	− 3.8
264	21° 1202	7.5	6 35	1	56.2	+21 12 57.8	1*	56.2	3.5890	0.577	−0.007	0.00	248		− 3.9
265	21° 1203	7.7	6 42.87	1	56.2	+21 17 7.0	1*	56.2	3.5909	0.588	−0.005	−0.01	249	+2.2	− 3.9
266	23° 1322	7.7	6 51.64	1	56.1	+23 50 56.1	1*	56.1	+3.6611	−0.602	−0.002	−0.03	250	+3.1	− 4.0
267	13 Gemin. μ	3.0	8 7.96	3	56.1	+22 36 50.5	3*	56.1	3.6268	0.712	+0.0037	−0.101	251	+2.9	− 4.0
268	14 Gemin.	7.2	11 0.54	2	56.2	+21 45 16.8	2*	56.2	3.6032	0.963	−0.0026	−0.014	252	+1.4	− 3.9
269	15 Gemin.	7.0	13 10.24	3	56.2	+20 54 55.8	1*	56.2	3.5803	1.153	−0.0035	−0.031	253	+0.2	− 4.0
270	16 Gemin.	6.8	13 22.23	3	56.1	+20 37 4.0	3*	56.2	3.5724	1.170	−0.0031	+0.005	254	+1.1	− 3.9
271	18 Gemin. ν	4.6	14 24.73	4	56.1	+20 20 32.8	3*	56.1	+3.5649	−1.261	−0.0022	−0.006	255	+1.2	− 3.9
272	Com. seq^{is}	7.7	17 59.43	3	56.2	+17 55 38.5	2*	56.2	3.5014	1.574	+0.0025	+0.025	256	+3.2	− 3.8
273	20 Gemin.	6.8	18 0.50	2	56.2	+17 55 54.9	2*	56.2	3.5015	1.575	+0.0013	+0.041	257	+3.0	− 3.8
274	16° 1201	7.3	20 46.34	2	56.2	+16 22 15.6	2*	56.2	3.4613	1.816	−0.003	+0.01	258	+2.6	− 4.0
275	24 Gemin. γ	2.3	23 33.26	5	56.1	+16 35 2.6	5*	56.1	3.4662	2.058	+0.0023	−0.035	259	+3.3	− 4.0
276	19° 1430	7.5	25 33.24	2	56.1	+19 51 28.9	2*	56.2	+3.5501	−2.233	−0.002	−0.08	260	+1.3	− 4.0
277	16° 1242	7.3	27 13.73	2	56.2	+16 36 4.3	2*	56.2	3.4660	2.378	−0.002	+0.02	261		− 3.9
278	26 Gemin.	5.6	28 7.98	5	56.3	+17 51 36.8	(6)	56.5	3.4977	2.457	−0.0009	−0.080	262	+5.7	− 4.2
279	27 Gemin. ε	3.3	28 51.04	5	56.3	+25 20 50.6	(5)	56.5	3.6986	2.519	−0.0018	−0.005	263	+3.7	− 3.5
280	30 Gemin.	5.0	30 10.10	3	56.2	+13 27 5.6	(4)	56.2	3.3871	2.634	−0.0012	−0.060	264	−1.1	− 4.1
281	31 Gemin. ξ	3.6	31 32.00	5	56.1	+13 8 11.0	5*	56.1	+3.3792	−2.752	−0.0087	−0.195	265	−2.7	− 4.1
282	†9 Can. maj. α	1	34 21.23	21	56.8	−16 23 54.4	15	56.7	2.6807	2.996	−0.0372	−1.199	266	+2.0	− 5.1
283	35 Gemin.	6.4	36 35			+13 40 18.6	1*	56.1?	3.3912	3.190	+0.0001	0.000	267		− 4.0
284	36 Gemin. d	6.0	36 51.30	3	56.5	+22 1 28.8	(3)	56.7	3.6041	3.213	−0.0015	−0.038	268	+2.7	− 3.7
285	38 Gemin. e	5.0	40 48.89	6	56.3	+13 27 53.5	(5)	56.7	3.3852	3.554	+0.0035	−0.071	269	−1.6	− 4.5
286	17° 1447	7.0	42 1.03	3	56.2	+18 1 50.3	(3)	56.2	+3.4981	−3.658	−0.002	−0.03	270	+1.7	− 3.8
287	18° 1423	7.1	43 26.33	3	56.2	+18 11 59.7	2*	56.2	3.5019	3.780	−0.002	+0.03	271	+1.6	− 3.7
288	39 Gemin.	7.1	43 40.51	1	57.1	+26 22 42.0	1	57.1	3.7213	3.801	−0.0134	+0.083	272	+6.3	− 4.8
289	40 Gemin.	7.1	44 19.47	1	57.1	+26 13 16.1	1	57.1	3.7165	3.856	−0.0021	−0.013	273	+6.2	− 2.9
290	23° 1566	8.0	45 48.18	1	56.2	+23 45 22.2	1*	56.2	3.6470	3.983	+0.001	−0.01	274	+2.4	− 3.7
291	41 Gemin.	6.0	46 10.31	1	57.1	+16 23 38.6	1	57.1	+3.4555	−4.015	−0.0021	+0.013	275	+2.1	− 2.7
292	42 Gemin. ω	5.8	47 28.20	7	56.5	+24 32 22.0	(7)	56.6	3.6676	4.126	−0.0016	+0.004	276	+2.8	− 4.3
293	43 Gemin. ζ	4	49 33.74	8	56.6	+20 54 18.1	(8)	56.7	3.5690	4.306	−0.0011	+0.001	277	+1.6	− 4.4
294	44 Gemin.	6.3	50 32.56	6	56.5	+22 58 47.5	(6)	56.7	3.6234	4.389	−0.0010	−0.005	278	+2.7	− 3.7
295	17° 1492	7.1	52 2.54	1	57.1	+18 5 32.9	1	57.1	3.4957	4.517	−0.002	0.00	279	+2.3	− 2.8
296	45 Gemin.	5.8	54 18.25	1	57.2	+16 17 53.6	1	57.2	+3.4502	−4.710	−0.0016	−0.104	280	+1.0	− 6.4
297	46 Gemin. τ	4.6	55 31.34	6	56.5	+30 37 15.7	(6)	56.7	3.8386	4.813	−0.0034	−0.047	281	+3.8	− 3.3
298	48 Gemin.	6.0	57 31.83	6	56.6	+24 30 46.5	(6)	56.9	3.6608	4.984	−0.0025	−0.037	282	+3.9	− 4.2
299	51 Gemin.	5.8	59 17.45	7	56.7	+16 33 3.5	(6)	57.0	3.4543	5.133	+0.0003	−0.033	283	+1.5	− 4.3
300	52 Gemin.	6.3	59 41.58	7	56.7	+25 17 6.9	(6)	56.8	3.6805	5.167	+0.0027	−0.105	284	+0.9	− 3.8

† Ort des Schwerpuncts, aus dem S. 63 angegebenen Ort des hellen Sterns abgeleitet nach Publ. A. G. XVII. S. 48.

Bradley Nr.	Bradley Br.—M.	Zach	Piazzi	Taylor	Kbg. 1835	Greenwicher Cataloge 12 y.	6 y.	7 y.	N. 7 y.	9 y.	10 y.	Cap 1880	Cord. C. G.	Gotha	Newc. Zod.	Nr.
		380	5^h338	2312	196						1042			74		251
891	−0.31 −1.6	384	340	2314	197	529	450	462		589	1043				299	252
895	−0.60 +2.4	385	344	2324	198				788						300	253
896	−0.12 −2.7	386	350	2335	199		452	465		590	1048				302	254
899	−0.19 −2.5	387	6^h 3	2346	201				791	593	1052				304	255
900	−0.43 +1.2	—	2	2345	200	532				592					303	256
909	−0.03 −0.9	388	22	2372	202	535	455	467	796	600	1057	2853			307	257
911	+0.13 —	—	23	2374	203	536	456	469	798	602	1059				308	258
914	+0.14 +0.2	391	30	2382	204				801						310	259
917	+0.14	392	33	2389	205				804						311	260
922	−0.03 −2.4	394	51	2406					807						312	261
923	−0.33 −0.8	395	52	2408	207				809						313	262
924	— +2.1	396	53	2410							1070				314	263
		398	62	2429										75		264
		399	64	2431										76		265
		400	67	2435										77		266
929	+0.25 −2.9	401	74	2443	208	550	468	477	813	610	1082				315	267
934	−0.02 +1.3	405	91	2467					819		1092				317	268
940	+0.11 −5.6	407	100	2478		555	477			618	1098				318	269
941	+0.06 +2.2	408	101	2482					822	619					320	270
942	+0.20 −2.5	409	109	2494	212	560	482	488	825	623	1104	2994			321	271
955	+0.21 −0.4	415	134	2526					832						324	272
956	+0.04 −0.8	416	135	2527	214				833						325	273
		419	152	2552										78		274
969	−0.01 −1.0	422	169	2575	215	579	499	501	851	645	1139	3087			331	275
		424	181	2594										79		276
		—	—	—										80		277
982	+0.05 −0.1	426	202	2624	218	584			859	651	1155				334	278
983	−0.05 +0.6	427	204	2632	219	587	505	511	860	652	1159				335	279
987	0.00 −0.4	429	211	2638					862		1162					280
989	+0.04 −0.4	430	217	2650		589		515	865	656	1168	3165				281
994	+0.01 −0.9	—	227	2665		592	509	517	867	657	1169	3176	8348		337	282
1002?	−3.8	432	243	2697					870							283
1004	+0.13 +1.1	434	247	2699	220			521			1181				339	284
1009	+0.06 +0.6	437	266	2732			516	527		669	1185					285
		438	270	2746	222									81		286
		439	281	2758	223									82		287
1013	+0.06 −2.9	440	283	2761	224				882	676	1193				341	288
1015	0.00 +0.2	442	288	2766	225	611				679					342	289
		—	296	2776										83		290
1020	+0.30 −4.0	443	297	2779					883						343	291
1021	−0.01 −0.4	446	302	2791	226	617				682	1197				345	292
1024	+0.12 +0.4	448	312	2806	227	626	529	537	886	684	1206				347	293
1025	−0.04 −2.6	450	317	2816	228				888		1208				348	294
		451	322	2827										84		295
1030	+0.07 +0.7	452	333	2846			535	545		690	1218				349	296
1033	−0.07 −2.2	453	341	2854		638	539	549		693	1221				350	297
1038	+0.24 +0.9	456	7^h 3	2873	230			552		697	1227				354	298
1046	−0.11 −0.4	459	17	2891		647	545	555	902	698	1233	3467			357	299
1049	+0.20 +1.9	460	21	2896	231				905	700	1237				359	300

Nr.	Bezeichn.	Gr.	Æ 1755	B.	Ep.	Decl. 1755	B.	Ep.	Prace. 1755	Eigenbeweg.		Mayer's Catalog alte Nr.	Correction $\Delta\alpha$	$\Delta\delta$
301	26° 1508	6.5	7h 1m 52s.70	1	57.1	+27° 6′ 21″.2	1	57.1	+3s.7299	− 5″.350	0s.000 −0″.15	285	− 6″.1	− 2″.3
302	16° 1433	7.5	2 40.38	1	57.2	+16 33 9.9	1	57.2	3.4528	5.419	−0.002 +0.05	286	+ 0.8	− 6.0
303	54 Gemin. λ	3.8	3 59.99	9	56.7	+16 57 31.7	(9)	56.7	3.4621	5.530	−0.0039 −0.026	287	+ 1.3	− 4.0
304	55 Gemin. δ	3.3	5 28.22	7	56.7	+22 24 32.5	(7)	57.0	3.5992	5.654	−0.0025 +0.003	288	+ 2.4	− 3.4
305	56 Gemin.	5.6	7 28.23	7	56.7	+20 52 54.4	(7)	57.0	3.5583	5.822	−0.0053 −0.008	289	+ 0.6	− 2.9
306	57 Gemin. A	5.5	8 31.16	7	56.7	+25 29 47.9	(7)	57.0	+3.6796	− 5.910	−0.0063 −0.017	290	+ 2.4	− 3.9
307	18° 1593	7.0	8 48.94	1	57.2	+18 43 16.5	1	57.2	3.5030	5.934	−0.004 −0.05	292	+ 4.5	− 5.7
308	59 Gemin.	6.9	9 17.32	1	57.1	+28 5 7.8	1	57.1	3.7514	5.974	−0.0007 +0.026	291	+ 4.5	− 1.9
309	60 Gemin. ι	4.0	10 29.06	6	56.6	+28 15 34.9	(6)	56.9	3.7553	6.074	−0.0097 −0.075	293	+ 2.5	− 3.9
310	21° 1596	6.8	12 20.05	1	57.2	+22 0 4.1	1	57.2	3.5838	6.228	−0.022 −0.01	294	+ 4.1	− 4.6
311	63 Gemin.	5.6	13 10.51	7	56.7	+21 55 19.2	(7)	57.0	+3.5811	− 6.298	−0.0049 −0.101	295	+ 2.5	− 4.3
312	62 Gemin. ϱ	4.8	13 18.93	7	56.7	+32 14 42.7	(7)	56.8	3.8710	6.310	+0.0093 +0.194	296	+ 1.4	− 3.3
313	64 Gemin. b^1	5.1	14 2.90	6	56.8	+28 35 52.3	(6)	57.0	3.7615	6.371	−0.0039 −0.053	297	+ 0.9	− 3.8
314	65 Gemin. b^2	5.0	14 32.69	6	56.8	+28 23 47.7	(7)	57.0	3.7552	6.412	−0.0022 −0.018	298	+ 1.8	− 4.1
315	66 Gemin. α	1.6	18 55.40	11	56.9	+32 23 56.8	13	57.2	3.8690	6.774	−0.0151 −0.079	299	+ 3.8	− 3.2
316	68 Gemin.	5.6	19 36.45	6	56.6	+16 19 49.9	5	56.9	+3.4385	− 6.830	−0.0023 −0.005	300	+ 2.2	− 3.1
317	69 Gemin. υ	4.1	20 47.67	5	56.5	+27 24 56.0	(5)	56.8	3.7211	6.928	−0.0023 −0.101	301	+ 4.3	− 3.6
318	19° 1784	7.0	23 12.82	1	56.2	+19 26 50.7	1*	56.2	3.5115	7.126	−0.002 −0.06	302	+ 1.3	− 3.6
319	24° 1727	7.0	23 23.3	1	57.1	+24 53 6.2	1	57.1	3.6498	7.140	0.000 +0.04	303	+ 6	− 1.2
320	24° 1730	7.0	24 22.3	1	57.1	+24 45 17.3	1	57.1	3.6454	7.221	−0.001 +0.02	304	+ 6	− 0.7
321	74 Gemin. f	6.0	25 18.45	4	56.8	+18 12 36.7	(3)	56.7	+3.4799	− 7.297	−0.0019 +0.018	305	+ 2.9	− 4.3
322	10 Can. min.† α	1	26 27.45	11	57.0	+ 5 49 58.8	16	57.3	3.1970	7.392	−0.0474 −1.027	306	−10.7	− 1.6
323	5° 1742	7.2	27 5.49	1	56.2	+ 5 46			3.1956	7.443	−0.0029 −0.014	307	−17.4	
324	75 Gemin. σ	5.0	27 57.94	4	56.4	+29 27 7.5	(3)	56.6	3.7703	7.513	+0.0045 −0.223	308	+ 2.6	− 3.6
325	22° 1756	6.8	28 45.0	1	57.1	+22 57 11.6	1	57.1	3.5945	7.577	−0.001 +0.03	309	+ 4	− 1.3
326	76 Gemin. c	6.0	29 8.55	7	56.7	+26 20 38.1	5	57.1	+3.6829	− 7.609	−0.0028 −0.026	310	+ 3.4	− 3.7
327	77 Gemin. κ	3.6	29 37.71	2	56.2	+24 57 38.1	2*	56.2	3.6456	7.648	−0.0034 −0.055	311	+ 3.4	− 3.5
328	78 Gemin. β	1.3	30 17.50	13	56.9	+28 35 40.8	11	57.3	3.7433	7.702	−0.0481 −0.051	312	+ 4.5	− 3.6
329	81 Gemin. g	5.4	31 55.40	2	56.2	+19 5 7.9	3*	56.2	3.4961	7.833	−0.0062 −0.044	313	+ 9.1	− 3.5
330	19° 1854	6.5	37 40.3	1	57.1	+19 55 45.9	1	57.1	3.5116	8.295	−0.006 −0.01	314	− 3	− 3.4
331	83 Gemin. φ	5.0	38 28.26	2	56.2	+27 22 33.2	2*	56.2	+3.6997	− 8.358	−0.0023 −0.028	315	+ 3.8	− 3.3
332	85 Gemin.	5.8	41 20.38	3	56.2	+20 30 30.8	3*	56.2	3.5222	8.586	−0.0028 −0.035	316	+ 2.3	− 3.6
333	2 Cancri ω	6.0	46 4.46	4	56.6	+26 2 24.4	(4)	56.9	3.6548	8.959	−0.0011 +0.013	317	+ 4.8	− 2.8
334	Gemin. χ	5.0	48 25.98	5	56.6	+28 27 29.6	(5)	56.8	3.7154	9.143	−0.0025 −0.039	318	+ 3.8	− 1.8
335	8 Cancri	6.0	51 24.36	5	56.6	+13 47 43.4	(4)	56.9	3.3604	9.374	−0.0024 −0.062	319	− 0.5	− 3.6
336	13° 1832	7.7	51 50.78	1	57.2	+14 10 48.7	1	57.2	+3.3685	− 9.408	−0.002 0.00	320	+ 1.5	− 3.4
337	10 Cancri μ	5.6	53 18.88	5	56.6	+22 16 15.9	(5)	56.8	3.5522	9.521	+0.0012 −0.059	321	+ 3.4	− 3.2
338	13 Cancri	6.8	55 22.24	1	57.2	+26 32 33.9	1	57.2	3.6553	9.680	−0.0041 −0.044	322	+12.3	− 4.6
339	14 Cancri ψ	5.8	55 39.38	3	56.5	+26 13 43.6	(3)	56.7	3.6469	9.701	−0.0072 −0.351	323	+ 5.4	− 3.1
340	17° 1778	7.5	56 0.12	1	57.1	+17 42 56.2	1	57.1	3.4437	9.727	−0.001 −0.01	324	+ 1.0	− 3.2
341	10° 1746	6.5	57 53.69	1	57.2	+10 31 42.7	1	57.2	+3.2864	− 9.872	−0.001 −0.01	328	− 2.0	− 2.8
342	Gem. 38 H. ψ	5.8	57 55.32	2	56.2	+30 22 5.9	3*	56.2	3.7523	9.874	−0.0010 −0.012	325	+ 7.3	− 3.2
343	16 Cancri ζ	4.6	58 8.05	1	57.1	+18 21 50.6	1	57.1	3.4563	9.891	+0.006 −0.09	327	+ 0.5	− 7.8
344			58 8.14	6	56.6	+18 21 52.3	7	56.7	3.4563	9.891	+0.0033 −0.104	326	+ 3.2	− 3.1
345	18° 1882	7.4	8 0 8.06	1	57.1	+18 23 35.9	1	57.1	3.4551	10.042	−0.001 +0.03	329	+ 0.7	+205.8
346	17 Cancri β	3.6	3 12.37	7	56.7	+ 9 55 15.0	(7)	56.9	+3.2709	−10.275	−0.0044 −0.041	330	− 5.6	− 3.3
347	9° 1921	7.5	4 14.43	1	57.2	+ 9 36 16.5	1	57.2	3.2639	10.352	−0.001 0.00	331	− 1.7	− 3.5
348	18 Cancri χ	5.8	5 8.29	5	56.6	+27 59 22.3	(7)	56.9	3.6775	10.419	−0.0018 −0.374	332	+ 3.8	− 3.2
349	19 Cancri λ	5.8	5 55.81	7	56.6	+24 46 22.3	(7)	56.9	3.5964	10.478	−0.0024 −0.028	333	+ 2.6	− 3.7
350	20 Cancri d^1	6.0	9 18.31	6	56.6	+19 5 55.2	(6)	56.8	3.4613	10.729	−0.0053 −0.022	334	+ 3.2	− 3.5

Mittelpunct der Bahn, aus dem S. 65 aufgeführten Ort abgeleitet nach Publ. A. G. XIV. S. 53.

Bradley Nr.	Bradley Br.–M.	Zach	Piazzi	Taylor	Kbg. 1835	Greenwicher Cataloge 12 y.	6 y.	7 y.	N. 7 y.	9 y.	10 y.	Cap 1880	Cord. C.G.	Gotha	Newc. Zod.	Nr.
		462	7^h 35	2921										85		301
		463	39	2927							1246			86		302
1058	−0.s07 −0.″1	464	50	2941	233	659	548	562	911	706	1250				361	303
1062	+0.04 −0.8	465	57	2954	234	661	552	566	914	711	1256	3551			362	304
1065	+0.15 −0.1	466	69	2972	235				919	716					363	305
1068	−0.14 −0.9	467	75	2987	236				921	719	1265				364	306
		—	77	2988										87		307
1071	−0.07 +1.5	469	83	2997	238	663	554	568		721					367	308
1072	−0.16 −0.2	471	90	3007	239	664	556	570		724	1271				368	309
		472	97	3028							1278			88		310
1077	−0.03 −0.4	474	101	3041	240	673		572	930	727	1281				370	311
1078	+0.42 +0.8	475	105	3045		675	562		932	729	1284					312
1080	+0.05 +0.8	476	107	3046				574			1287				371	313
1082	−0.11 −0.6	477	111	3052				575		733	1289				372	314
1087	+0.14 −0.1	480	127 8	3083		677/8	563 4	579 80	940 1	738-40	1298/9	3696			376	315
1091	+0.08 +0.8	482	131	3085	241	679	565	578	939	737	1297				377	316
1094	−0.02 +0.9	483	138	3096		680		581	945	742	1303				378	317
		486	146	3117										89		318
		488	153	3119							1308			90		319
		490	161	3133							1310			91		320
1103	+0.03 −3.3	491	166	3138		685			953	748	1311				379	321
1106	+0.38 −0.8	—	168	3142		686	567	585	954	749	1313	3760			380	322
1107	+0.26	—	170	3147					955	750				92		323
1108	−0.18 −0.5	493	178	3172					961	757					381	324
		494	179	3174		689								93		325
1109	−0.05 +0.3	495	183	3181		691			962	758					382	326
1111	−0.07 +5.1	496	184	3185		692	570	590	963	759	1323				383	327
1112	−0.15 −0.8	497	191	3190		693	571	592	964	760	1324	3823			384	328
1115	−0.44 −2.2	499	194	3199		694		593	967	763	1327				386	329
		502	224	3261	243			598						94		330
1128	−0.29 +2.2	504	233	3274	244	707	579	599		774	1343				389	331
1137	+0.08 +0.1	505	246	3296	245				987		1349				390	332
1140	−0.05 +2.7	509	270	3336	248			608		781	1363				392	333
1149	−0.17 +0.8	514	285	3359	252	716	587	613	999	786	1371	4052			397	334
1156	−0.10 +0.9	516	296	3386		717	590		1003						399	335
		517	297	3392										95		336
1161	−0.03 +0.6	519	304	3415	254			617	1007	792	1383				403	337
1166	+0.32 +2.2	522	312	3426					1011						406	338
1167	+0.17 +0.7	523	314	3432			597	620	1012	795	1390	4134			408	339
		524	317	3435							1389			96		340
		525	8^h 3	3446		728								97		341
1173	−0.40 −0.9	526	4	3451		731	600			802	1397					342
		—	6	3449		730	599	624	1018	799	1396			98		343
1175	−0.09 +1.1	527	5	3448	256	729	598	623	1017	798	1395				409	344
		528	14	3468	257	733								99		345
1180	+0.27 +0.6	529	28	3497							1402					346
		530	33	3504										100		347
1181	−0.10 −0.1	531	37	3514							1405				410	348
1182	+0.01 +1.0	532	41	3519	258	745	608	633	1031	811	1407				412	349
1185	+0.04 −0.5	534	50	3541	260	751	610	638	1033	812	1411	4290			413	350

Nr.	Bezeichn.	Gr.	Æ 1755	B.	Ep.	Decl. 1755	B.	Ep.	Praec. 1755		Eigenbeweg.		Mayer's Catalog alte Nr.	Correction $\Delta\alpha$	$\Delta\delta$
351	22 Cancri φ^1	6.0	$8^h11^m31^s.04$	5	56.4	+28°40′43″.0	(5)	56.6	+3ˢ.6845	−10″.892	−0ˢ.0048	−0″.117	335	+ 4″.5	−2″.5
352	23 Cancri φ^2	5.8	11 55.77	5	56.5	+27 42 51.6	(5)	56.6	3.6594	10.923	−0.0009	−0.008	337	+ 4.2	−3.3
353	25 Cancri d^2	6.0	11 56.09	2	57.2	+17 49 59.4	2	57.2	3.4309	10.923	−0.0144	−0.143	336	+ 5.9	−2.7
354	24 Cancri	6.5	12 2.97	1	57.2	+25 19 10.3	1	57.2	3.6006	10.932	−0.0053	−0.080	338	+ 2.7	−3.4
355	28 Cancri	6	14 2.81	6	56.8	+24 56 13.5	(6)	56.9	3.5885	11.078	−0.0042	−0.057	339	+ 2.1	−3.4
356	26° 1789	7.0	15 4.28	2	56.3	+26 59 17.7	2*	56.3	+3.6365	−11.153	−0.005	0.00	340	+ 3.6	−3.1
357	24° 1934	7.0	15 5.22	1	57.1	+25 8 26.8	1	57.1	3.5918	11.154	−0.003	−0.02	341	+ 3.0	−4.5
358	30 Cancri v^1	6.0	16 59.09	4	56.4	+24 53 13.1	(4)	56.6	3.5829	11.291	−0.0072	−0.059	342	+ 4.1	−2.5
359	31 Cancri θ	5.8	17 35.54	5	56.6	+18 54 12.6	(6)	56.8	3.4479	11.335	−0.0051	−0.050	343	+ 3.8	−2.9
360	19° 2027	7.2	17 35.92	2	57.2	+19 47 38.1	2	57.2	3.4672	11.336	−0.002	−0.01	344	+ 2.7	−3.3
361	32 Cancri v^2	5.8	18 29.08	2	56.7	+24 53 56.1	1	57.1	+3.5809	−11.399	−0.0074	−0.037	345	+ 2.9	−4.0
362	33 Cancri η	5.8	18 30.51	4	56.4	+21 15 13.0	(4)	56.6	3.4981	11.401	−0.0039	−0.047	346	+ 4.0	−3.0
363	13° 1940	6.8	20 9.27	2	56.3	+14 4 33.1	2*	56.3	3.3446	11.520	−0.002	−0.02	347	+ 2.4	−3.6
364	35 Cancri	6.8	21 12.21	5	56.8	+20 24 46.6	(5)	57.1	3.4762	11.595	−0.0049	+0.007	348	+ 1.7	−3.3
365	20° 2123	8.2	21 37.54[1]	2	57.2	+20 35 41.0	2	57.2	3.4796	11.625	−0.004	+0.03	349	+10.0	−8.8
366	15° 1851	6.5	22 21.71	2	56.8	+16 8 33.7	(2)	56.7	+3.3848	−11.677	0.000	−0.03	350	+ 5.4	−3.2
367	19° 2053	7.2	23 42.06	6	56.6	+20 6 5.4	(6)	56.8	3.4664	11.772	−0.003	+0.01	351	+ 2.1	−2.9
368	36 Cancri c	6.0	23 47.26	2	56.2	+10 29 15.9	2*	56.2	3.2704	11.779	−0.0042	−0.011	352	− 3.6	−3.7
369	37 Cancri	7.4	24 47.57	4	56.2	+10 24 44.9	4*	56.2	3.2683	11.850	−0.0044	+0.008	353	− 4.7	−3.7
370	38 Cancri	7.0	25 36.31	4	56.7	+20 37 17.1	(3)	57.1	3.4751	11.907	−0.006*	+0.018*	354	+ 3.7	−2.9
371	20° 2150	7.2	25 45.34	3	56.6	+20 23 5.1	(2)	56.8	+3.4699	−11.917	−0.004	+0.02	355	+ 2.0	−4.1
372	39 Cancri	7.0	25 58.61	2	56.8	+20 51 14.4	1	57.2	3.4796	11.934	−0.0075	+0.018	356	+ 0.9	−3.1
373	40 Cancri	7.3	26 3.86	2	56.8	+20 49 2.3	1	57.2	3.4787	11.940	−0.0043	+0.024	358	+ 1.0	−3.3
374	20° 2166	7.3	26 16.23	3	56.7	+20 31 1.5	(3)	56.8	3.4720	11.954	−0.004*	0.00*	359	+ 1.9	−3.0
375	41 Cancri	7.2	26 22.00	3	56.6	+20 23 28.4	(2)	57.0	3.4692	11.961	−0.005*	+0.008*	360	+ 2.4	−5.2
376	42 Cancri	7.1	26 37.21	2	56.8	+20 34 4.3	(2)	57.0	+3.4726	−11.978	−0.004*	−0.002*	361	+ 1.4	−3.9
377	20° 2175	7.7	26 51.32	2	56.8	+20 25 47.1	(2)	57.0	3.4694	11.995	−0.006*	−0.007*	362	+ 0.8	−3.3
378	20° 2185	7.5	27 43.64	3	56.9	+20 43 41.0	(4)	57.1	3.4746	12.056	−0.0038*	−0.01*	363	+ 1.1	−4.5
379	43 Cancri γ	4.3	29 4.32	6	56.4	+22 19 49.3	(6)	56.5	3.5072	12.150	−0.0087	−0.033	364	+ 1.4	−3.3
380	45 Cancri A^1	6.0	29 40.86	4	56.2	+13 32 27.9	4*	56.2	3.3258	12.192	−0.0012	+0.010	365	− 0.1	−3.5
381	47 Cancri δ	4.0	30 43.77	9	56.5	+19 2 11.4	(9)	56.6	+3.4352	−12.265	−0.0026	−0.226	366	+ 2.4	−3.3
382	49 Cancri b	5.8	31 25.63	8	56.6	+10 57 3.0	(7)	56.7	3.2743	12.314	−0.0021	+0.007	367	− 5.2	−3.6
383	48 Cancri ι	4.0	31 49.26	2	56.2	+29 38 11.0	2*	56.2	3.6700	12.340	−0.0016	−0.033	368	+ 0.3	−3.2
384	50 Cancri A^2	6.0	33 28.79	4	56.7	+12 59 26.0	(4)	57.0	3.3119	12.455	−0.0063	−0.034	369	+ 1.5	−1.7
385	13° 1994	7.2	35 9.83	2	56.3	+13 25 51.5	2*	56.3	3.3190	12.570	−0.002	+0.04	370	− 0.4	−3.4
386	18° 2057	7.0	36 45.1	1	56.2	+18 53 50.3	2*	56.2	+3.4249	−12.678	0.000	+0.01	371	+ 1	−3.4
387	19° 2110	6.5	36 46.07	1	57.2	+19 43 38.3	1	57.2	3.4417	12.679	−0.004	+0.01	372	+ 1.5	−2.0
388	54 Cancri	6.5	37 21.07	7	56.5	+16 14 29.2	(6)	56.7	3.3713	12.719	−0.0100	+0.077	373	+ 2.1	−3.9
389	17° 1966	7.7	39 21.66	5	56.7	+18 16 35.6	(5)	56.9	3.4092	12.854	−0.006	−0.03	374	+ 3.1	−4.1
390	20° 2150	7.2	39 51.91	2	56.9	+20 52 32.3	(2)	57.0	3.4609	12.888	−0.001	0.00	375	+ 2.3	−3.5
391	18° 2075	7.5	39 59.03	1	56.2	+18 27 14.4	1*	56.2	+3.4120	−12.896	−0.002	0.00	376	+ 4.5	−3.2
392	14° 1988	7.7	40 6.64	1	56.2	+15 19 6.9	1*	56.2	3.3506	12.904	0.000	0.00	377	− 2.4	−3.3
393	14° 1992	8.2	40 49.5	1	56.2	+15 11 0.4::	1*	56.2	3.3473	12.953	−0.002	+0.04	378	− 3.3	−3
394	17° 1973	6.5	41 32.82	3	56.2	+18 8 46.3	3*	56.2	3.4039	13.001	−0.001	+0.01	380	+ 3.8	−3.2
395	14° 1996	7.8	42 0.6	1	56.2	+15 6 7.5:	1*	56.2	3.3444	13.034	−0.001	−0.01	381	− 3	−3.4
396	60 Cancri	6.0	42 31.38	3	56.9	+12 32 41.4	(3)	57.1	+3.2959	−13.066	−0.0019	−0.005	382	+ 2.0	−2.5
397	17° 1979	6.8	43 19.73	2	56.3	+18 4 8.7	2*	56.2	3.4002	13.119	−0.003	−0.03	383	+ 3.0	−3.3
398	62 Cancri o^1	5.8	43 33.38	8	56.5	+16 14 41.5	(8)	56.6	3.3646	13.134	+0.0029	+0.033	384	+ 6.5	−3.7
399	63 Cancri o^2	6.0	43 52.62	8	56.5	+16 30 15.4	(6)	56.8	3.3692	13.155	+0.0031	+0.036	386	+ 3.8	−2.9
400	65 Cancri α	4.0	45 3.67	10	56.4	+12 47 21.6	(10)	56.6	3.2982	13.234	+0.0010	−0.022	387	− 0.6	−3.5

[1] Vielleicht 37ˢ.04. S. Vgl. II.

Bradley Nr.	Br.—M.	Zach	Piazzi	Taylor	Kbg. 1835	Greenwicher Cataloge 12 y.	6 y.	7 y.	N. 7 y.	9 y.	10 y.	Cap 1880	Cord. C. G.	Gotha	Newc. Zod.	Nr.
1190	+0ˢ.02 +2″.5	536	8ʰ 59	3550					1039		1414					351
1191	−0.13 +0.8	538	64	3574		754–6	611/2			820	1416/7				417	352
1192	−0.04 +1.6	537	62	3568	261	752									416	353
1193	+0.17 −1.6	539	65/6	3575	262		613/4		1040		1418/9				418	354
1198	+0.05 +2.4	541	76	3594	264		617			825	1425				420	355
		544	80	3602										102		356
		543	79	3601										101		357
1201	−0.21 +2.7	545	84	3617	266		619		1050	833	1432	4396			422	358
1203	+0.16 −2.1	546	85	3621	267	758	620	645	1051	834	1434				423	359
		547	86	3622	268						1435			103		360
1205	−0.27 −2.9	549	89	3635			623			839					425	361
1207	−0.20 +1.3	548	88	3633	269	762	622	646	1052	837	1436	4411			424	362
		551	98	3650							1439			104		363
1210	+0.29 −0.4	552	101	3663					1056	842	1442				426	364
		553	104	3667	270									105		365
		554	106	3672										106		366
		556	112	3688										107	427	367
1213	+0.46 +3.9	555	111	3685				650	1060		1449					368
1218	+0.17 −0.8	557	116	3693					1061							369
1220	— 0.0	559	122	3708	271					849					429	370
		—	124	3709	272						1456			108	430	371
1222	+0.53 −4.2	560	126	3712	273	769	628		1066	850	1459				431	372
1223	+0.15 −3.6	561	127	3713	274	770		655	1067	851					432	373
(1224)	— —	562	129	3716	275										433	374
1225	— +1.9	563	130	3718							1461				434	375
1226	— −1.1	564	132	3720					1069	852					435	376
1227	— +0.1	565	134	3726							1463				436	377
1228	+0.03 —	566	136	3732					1071						437	378
1230	−0.11 +0.3	567	142	3739	276	775	631	659	1074	855	1465	4546			438	379
1232	−0.17 +0.5	569	144	3745				660	1075	856	1466				440	380
1236	−0.03 −0.4	571	150	3758	277	777	635	666	1078	859	1470				441	381
1237	+0.20 −0.7	572	154	3768					1081						442	382
1239	−0.27 −0.7	574	158	3778				669	1084	863	1474					383
1242	+0.07 +1.8	575	163	3792		780	637	670	1085		1476				443	384
		576	170	3812										109		385
		—	179	3831	278									110		386
		—	180	3833	279									111		387
1250	+0.02 −0.2	577	182	3837	280				1092		1482				445	388
		—	191	3858	281									112		389
		—	195	3861										113		390
		—	196	3862										115		391
		—	197	3864										114		392
		583	203	3871										116		393
		—	206	3877	282									117		394
		—	208	3880	283									118		395
1262	−0.03 +0.8	587	211	3884		787		678	1103	873	1494				447	396
		—	217	3894										119		397
1265	−0.14 −1.4	590	218	3897	284	792					1498				448	398
1266	−0.22 +0.2	591	219	3899	285	793		682	1111		1500				450	399
1269	+0.08 −0.6	593	222	3905	286	794	648	683	1113	878	1504	4752			451	400

Nr.	Bezeichn.	Gr.	Æ 1755	B.	Ep.	Decl. 1755	B.	Ep.	Praec. 1755		Eigenbeweg.		Mayer's Catalog alte Nr.	Correction $\Delta\alpha$	$\Delta\delta$
401	18° 2093	7.0	$8^h45^m18^s.49$	1	56.3	+19° 4′15″.1	1*	56.3	$+3^s.4172$	−13″.249	$-0^s.004$	−0″.05	388	+ 3″.6	− 3″.2
402	13° 2021	7.5	45 57.02	2	56.2	+14 0 37.6	2*	56.2	3.3200	13.292	0.000	−0.05	389	− 1.3	− 3.4
403	69 Cancri ν	5.6	48 22.17	8	56.2	+25 23 54.1	7*	56.2	3.5413	13.450	−0.0007	−0.010	390	+ 3.8	− 3.1
404	11° 1976	7.8	51 16.52	3	56.2	+11 48 24.8	2*	56.2	3.2751	13.637	0.000	−0.01	391	− 7.0	− 3.6
405	76 Cancri κ	5.0	54 26.95	6	56.2	+11 38 14.3	5*	56.2	3.2694	13.840	−0.0028	+0.009	392	− 3.1	− 3.5
406	77 Cancri ξ	5.0	55 14.04	5	56.2	+23 1 11.2	5*	56.2	+3.4801	−13.890	−0.0011	+0.025	393	+ 2.3	− 3.0
407	79 Cancri	6.4	56 13.98	5	56.2	+22 58 25.7	5*	56.2	3.4775	13.952	−0.0004	+0.018	394	+ 2.6	− 3.0
408	12° 1979	7.0	56 26			+12 32 50.4	1*	56.2	3.2838	13.965	−0.003	−0.05	395		− 3.4
409	81 Cancri	6.6	58 51.41	3	56.2	+15 58 3.2	3*	56.2	3.3419	14.117	−0.0382	+0.249	396	+ 0.4	− 3.0
410	82 Cancri π	6.0	9 1 40.47	6	56.2	+15 56 30.1	6*	56.2	3.3382	14.291	−0.0029	+0.020	397	+ 3.0	− 3.2
411	12° 2009	7.0	4 32.23	2	56.2	+12 30 46.2	2*	56.2	+3.2757	−14.468	−0.002	−0.02	398		− 3.3
412	26° 1927	6.7	4 52.88	1	56.2	+27 23 2.6	1*	56.2	3.5470	14.487	−0.004	−0.01	399	+ 8.9	− 2.9
413	10° 1972	7.2	6 18.0	1	56.2	+10 48 27.2	1*	56.2	3.2455	14.573	−0.003	+0.04	400	− 9	− 3.4
414	19° 2198	7.5	6 48.34	1	56.2	+20 6 45.2	1*	56.2	3.4059	14.603	−0.002	+0.01	401	+ 3.0	− 3.1
415	26° 1938	7.0	9 49.39	1	56.2	+26 57 20.0	2*	56.2	3.5299	14.783	−0.0048	−0.016	402	− 2.7	− 2.9
416	1 Leonis κ	4.7	10 20.04	5	56.2	+27 13 14.2	6*	56.2	+3.5341	−14.813	−0.0034	−0.036	403	+ 3.0	− 3.0
417	8° 2215	7.2	10 24.6	1	56.2	+ 8 45 2.6	1*	56.2	3.2088	14.817	−0.006	−0.03	404	−15	− 3.8
418	2 Leonis ω	5.8	15 18.58	7	56.4	+10 6 33.2	(5)	56.5	3.2270	15.103	+0.0024	+0.018	405	− 4.8	− 2.7
419	30 Hydrae α	2.0	15 32.72	4	56.5	− 7 36 36.3	(4)	56.7	2.9524	15.117	−0.0019	+0.052	406	− 4.2	− 5.2
420	4 Leonis λ	4.6	17 41.86	9	56.4	+24 1 58.6	(7)	56.5	3.4580	15.240	−0.0023	−0.034	407	+ 5.6	+ 2.2
421	5 Leonis ξ	5.6	18 42.87	8	56.3	+12 22 13.1	(6)	56.2	+3.2598	−15.298	−0.0076	−0.060	408	+ 0.6	− 3.3
422	6 Leonis h	5.8	18 47.89	6	56.3	+10 46 54.5	(5)	56.6	3.2347	15.303	−0.0005	+0.009	409	− 4.0	− 4.0
423	13° 2117	6.5	21 39.89	2	56.2	+13 43 58.4	2*	56.2	3.2783	15.464	−0.001	−0.02	410	+ 2.3	− 3.3
424	8 Leonis	5.8	23 29.62	1	56.3	+17 31			3.3365	15.565	−0.0025	−0.002	411	+ 5.9	
425	1 Sextant.	6.0	24 15.00	7	56.3	+ 7 55 14.5	(8)	56.5	3.1869	15.607	−0.0058	+0.019	412	− 8.6	− 3.8
426	13° 2131	7.0	25 57.23	1	56.2	+14 24 17.9	1*	56.2	+3.2839	−15.700	−0.005	0.00	413	+ 1.9	− 3.3
427	14 Leonis o	3.6	28 2.96	9	56.4	+10 59 36.4	(10)	56.5	3.2299	15.814	−0.0104	−0.018	414	− 1.8	− 3.5
428	16 Leonis ψ	6.0	30 21.71	11	56.3	+15 7 46.1	(11)	56.4	3.2897	15.937	−0.0009	−0.002	415	+ 5.3	− 3.2
429	17 Leonis ε	3.0	31 53.80	8	56.4	+24 53 18.5	(8)	56.5	3.4437	16.019	−0.0043	−0.008	416	+ 5.5	− 2.8
430	18 Leonis	6.0	33 9.60	3	56.2	+12 55 32.1	3*	56.2	3.2535	16.085	−0.0016	+0.029	417	+ 1.9	− 3.1
431	21° 2108	7.7	33 56.14	1	56.2	+21 43 29.5	1*	56.2	+3.3871	−16.126	+0.007	0.00	418	+ 2.5	+10.3
432	19 Leonis	7.0	34 13.79	3	56.2	+12 41 19.0	3*	56.2	3.2488	16.141	−0.0064	+0.032	419	+ 0.4	− 3.9
433	Leonis (R)	5..10	34 21			+12 33 12.8[1]	1	57.2	3.2467	16.148	−0.0020*	0.00*	420		− 7.4
434	21 Leonis	6.8	37 36.63	3	56.6	+12 58 31.7	2*	56.5	3.2493	16.315	−0.0026	+0.025	421	− 0.8	− 3.3
435	23 Leonis	6.4	37 44.96	6	56.2	+14 11 56.7	5*	56.2	3.2668	16.322	+0.0023	−0.004	422	+ 3.9	− 3.3
436	8° 2285	7.2	41 6.97	1	56.2	+ 9 13 6.1	1*	56.2	+3.1936	−16.492	0.000	+0.01	423	− 7.4	− 3.4
437	9° 2262	6.1	43 25.24	2	56.2	+10 4 55.3	2*	56.2	3.2035	16.606	−0.0077	+0.028	424	− 3.7	− 3.3
438	27 Leonis ρ	5.1	45 1.01	11	56.2	+13 36 3.5	11*	56.3	3.2498	16.684	−0.0034	−0.004	425	+ 2.6	− 3.2
439	9° 2269	6.3	45 7.28	2	56.6	+ 9 28 18.3	(2)	57.1	3.1938	16.689	−0.0003	−0.015	426	− 4.0	− 3.9
440	29 Leonis π	5.0	47 14.46	14	56.3	+ 9 12 27.7	(12)	57.1	3.1887	16.792	−0.0040	−0.011	427	− 4.2	− 3.6
441	10° 2100	7.2	50 29.84	3	56.5	+11 4 18.0	(3)	56.7	+3.2101	−16.946	−0.001	+0.02	428	− 0.9	− 4.0
442	12° 2138	7.5	50 59.40	2	56.6	+12 48 10.6	(2)	57.1	3.2322	16.968	0.000	0.00	429	+ 1.4	− 1.9
443	8° 2316	7.5	52 6.32	2	56.2	+ 9 10 8.4	2*	56.2	3.1843	17.021	+0.002	−0.01	430	− 6.1	− 3.5
444	16° 2077	6.9	52 21.33	3	56.9	+16 56 15.1	2	57.3	3.2853	17.032	−0.006	−0.02	431	+ 7.3	+ 7.0
445	30 Leonis η	3.3	53 56.62	15	56.6	+17 56 44.9	(12)	56.7	3.2964	17.105	+0.0013	+0.002	432	+ 5.9	− 3.2
446	31 Leonis A	4.8	54 52.74	7	56.2	+11 11 13.3	7*	56.3	+3.2073	−17.148	−0.0082	−0.038	433	− 1.1	− 3.5
447	32 Leonis α	1.3	55 18.03	24	56.7	+13 9 14.9	9	57.0	3.2318	17.167	−0.0182	+0.018	434	+ 2.7	− 2.2
448	10° 2116	7.5	56 30.17	1	56.2	+10 46 59.8	1*	56.2	3.2007	17.222	−0.002	+0.01	435	− 0.7	− 3.4
449	34 Leonis	6.6	58 25.77	2	56.2	+14 33 15.9	2*	56.2	3.2457	17.307	+0.0031*	−0.05*	436	+ 5.8	− 3.2
450	21° 2165	6.5	10 0 58.51	4	56.2	+22 22 38.1	4*	56.2	3.3433	17.419	−0.014	−0.07	437	+ 6.8	− 2.9

[1] Decl. 8″ zu gross.

Bradley Nr.	Bradley Br.—M.	Zach	Piazzi	Taylor	Kbg. 1835	Greenwicher Cataloge 12 y.	6 y.	7 y.	N. 7 y.	9 y.	10 y.	Cap 1880	Cord. C. G.	Gotha	Newc. Zod.	Nr.
		594	8h 224	3907	287									120		401
		595	225	3911										121		402
1275	−0.s13 +2.″4	599	234	3932			651	687		881	1511				453	403
		602	244	3953										122		404
1287	+0.26 +1.4	607	255	3973	288	803	655	696	1128	888	1522	4839			458	405
1289	−0.20 −2.9	611	259	3983	290	804	656	698		889	1524	4847			460	406
1291	−0.19 +1.0	612	262	3982	291	805	657	699	1132	891	1529				461	407
		613	263	3990							1526			123		408
1298	−0.03 −1.6	615	9h 6	4011	292			702			1533				463	409
1304	−0.16 −2.0	616	20	4036	293			708	1138	897	1541				465	410
		620	35	4064	294									124		411
		621	38	4075										125		412
		622	46	4080										126		413
		619	50	4088						903				127		414
1319	+0.13 −5.1	—	62	4114					1151							415
1320	−0.04 +0.6	624	67	4120			667	716		906	1555					416
		623	66	4117										128		417
1328	+0.24 −1.4	626	88	4157	298			724	1158						471	418
1330	0.00 −0.3	-	89	4155		824	669	722	1157	910	1559	5055	12862		470	419
1335	−0.10 +1.5	628	100	4183	299	831	673	729		918	1571	5100				420
1338	−0.01 −0.4	629	106	4191	300	832	674	730	1166	919	1572	5114			475	421
1339	+0.12 −0.9	630	108	4192	301	833		731	1167		1573				476	422
		631	120	4216	302									129		423
1347	−0.11	633	127	4228	304				1175	923	1583				478	424
1349	+0.45 −1.3	635	130	4234				742	1178		1584				479	425
		639	141	4255										130		426
1360	+0.06 −0.6	641	151	4272	306	841	681	747	1190	930	1596	5227			481	427
1366	−0.11 −0.7	644	160	4287	307	843		750		936	1603				482	428
1368	−0.03 +1.0	645	164	4300		845	684	751	1197	939	1606	5263			483	429
1370	+0.15 −0.8	646	168	4306	308	847		753	1199	940	1611				484	430
		647	173	4315										131		431
1372	+0.46 −2.7	648	175	4317	309			755							485	432
1373	—	—	176	4318				756	1201		1614				486	433
1379	+0.16 −6.8	650	185	4340					1206						488	434
1381	−0.35 +0.5	651	188	4341					1207						489	435
		654	202	4371										132		436
1393	+0.21 0.0	—	212	4394	310				1217		1628				492	437
1395	+0.01 +1.8	657	216	4410	311	855	689	767	1219	948	1632				494	438
1396	+0.33 −1.1	—	218	4411	312				1220						495	439
1398	+0.36 +1.0	661	225	4433	313	857	691	768	1222	950	1636	5411			496	440
		662	234	4451										133		441
		663	237	4456	314									134		442
		664	239	4471										135		443
		665	240	4473	315									136		444
1403	−0.12 +1.2	666	245	4492	316	863		771		955	1648				498	445
1405	+0.18 −0.4	667	248	4501		864		772	1229	956	1650				499	446
1406	−0.12 −1.9	668	251	4505		866	694	775	1230	958	1652	5490			500	447
		670	255	4509										137		448
1411	+0.09 —	672	10h 3	4524	317		695	779		962					503	449
		673	10	4542										138		450

Nr.	Bezeichn.	Gr.	Æ 1755	B.	Ep.	Decl. 1755	B.	Ep.	Praec. 1755		Eigenbeweg.		Mayer's Catalog alte Nr.	Correction $\Delta\alpha$	$\Delta\delta$
451	16°2098	7.2	10h 1m 12s.84	1	56.2	+17° 20′ 36″.4	1*	56.2	+3s.2770	−17″.429	−0s.001	0″.00	438	+ 5″.9	−2″.9
452	18°2338	7.0	2 53.13	3	56.5	+18 56 56.7	3.	56.8	3.2946	17.501	0.000	+0.01	439	+ 7.9	−2.9
453	37 Leonis	5.7	3 30.20	3	56.2	+14 56 24.7	3*	56.2	3.2437	17.528	−0.0033	−0.025	440	+ 5.7	−3.1
454	13°2237	7.5	5 18.27	1	56.2	+13 50 19.8	1*	56.2	3.2281	17.604	−0.017	−0.03	441	+ 3.0	−3.2
455	40 Leonis	6.2	6 21.87	10	56.6	+20 42 13.4	10)	56.6	3.3105	17.648	−0.0182	−0.201	442	+ 7.8	−3.3
456	41 Leonis γ	2.0	6 25.69	12	56.7	+21 4 14.7	10)	56.7	+3.3150	−17.651	+0.0208	−0.136	443	+ 7.3	−3.0
457	42 Leonis	6.3	8 38.15	3	56.6	+16 12 5.8	3.	56.8	3.2515	17.742	−0.0051	−0.022	444	+ 9.6	−4.0
458	9°2344	7.0	9 17.65	4	56.5	+10 11 27.0	4	56.7	3.1817	17.769	−0.002	0.00	445	− 4.9	−3.2
459	11°2217	7.3	11 19.52	3	56.5	+11 49 9.5	3	56.8	3.1978	17.850	−0.003	−0.01	446	+ 0.2	−3.1
460	44 Leonis	6.0	12 19.21	5	56.2	+10 1 14.9	4*	56.2	3.1770	17.890	0.000	−0.02	447	− 6.9	−3.3
461	45 Leonis	6.0	14 41.17	5	56.4	+11 0 8.3	(5)	56.6	+3.1853	−17.983	−0.0011	+0.015	448	− 0.9	−3.7
462	15°2206	7.2	15 40.75	1	56.3	+15 35 7.8	1*	56.3	3.2340	18.022	−0.005	+0.01	449	+ 4.5	−3.0
463	10°2160	7.7	16 13.24	2	56.2	+11 24 2.6	2*	56.3	3.1880	18.042	0.000	−0.02	450	− 1.6	−3.4
464	46 Leonis	5.8	19 5.58	5	56.5	+15 23 9.4	5)	56.6	3.2269	18.151	−0.0040	+0.024	451	+ 5.1	−3.1
465	47 Leonis ϱ	4.0	19 53.38	6	56.7	+10 33 30.8	6	56.8	3.1754	18.180	−0.0012	+0.011	452	− 4.3	−3.3
466	48 Leonis	5.8	21 59.62	4	56.2	+ 8 12 25.2	4*	56.3	+3.1500	−18.258	−0.0086	+0.067	453	− 9.6	−3.4
467	49 Leonis	6.1	22 9.58	3	56.2	+ 9 54 26.7	3*	56.2	3.1667	18.264	−0.0043	+0.007	454	− 4.1	−3.2
468	18°2384	7.7	24 35.6:	1	56.2	+18 32 40.3:	1*	56.2	3.2514	18.350	−0.007	−0.02	455	+ 8.3	−62.9
469	50 Leonis	6.2	25 44.47	1	56.3	+17 23 40.6	1*	56.3	3.2375	18.391	+0.0019	−0.008	456	+ 6.8	−2.9
470	9°2382	8.0	26 50.83	2	56.3	+10 6 37.5	2*	56.3	3.1643	18.430	−0.007	+0.01	457	+ 2.7	−3.3
471	35 Sextant.	6.1	30 36.94	1	56.3	+ 6 1 31.2	1*	56.3	+3.1236	−18.558	0.0000	−0.009	458	−10.8	−3.6
472	8°2409	8.0	32 44.63	1	56.3	+ 8 47 47.0	1*	56.3	3.1469	18.628	+0.001	−0.01	459	− 7.9	−3.4
473	37 Sextant.	6.6	33 20			+ 7 39 27.2	1*	56.3	3.1364	18.647	−0.0029	−0.028	460		−3.6
474	52 Leonis k	5.8	33 25.49	2	56.3	+15 28 47.8	1*	56.3	3.2066	18.650	−0.0109	−0.064	461	+ 4.7	−3.0
475	38 Sextant.	7.8	34 33.4	1	56.3	+ 7 37 55.0	1*	56.3	3.1352	18.687	−0.0057	+0.013	462	−10.1	−3.5
476	53 Leonis l	5.1	36 21.44	1	56.3	+11 50 5.0	1*	56.3	+3.1700	−18.743	−0.0015	−0.020	463	− 1.1	−3.3
477	6°2368	8.0	42 1.67	1	56.3	+ 7 8 42.5	1*	56.3	3.1259	18.915	−0.001	+0.02	464	−10.3	−3.4
478	58 Leonis d	4.8	47 53.72	2	56.3	+ 4 55 36.7	1*	56.3	3.1056	19.080	−0.0018	−0.012	465	−11.4	−3.6
479	59 Leonis c	5.1	48 1.83	1	56.3	+ 7 24 43.9	1*	56.3	3.1237	19.084	−0.0057	0.000	466	−10.3	−3.4
480	4°2415	7.5	51 19.89	1	56.3	+ 4 57 11.6	1*	56.3	3.1042	19.171	−0.003	0.00	467	−11.5	−3.6
481	63 Leonis χ	4.8	52 21.74	3	56.3	+ 8 39 13.6	3*	56.3	+3.1292	−19.197	−0.0255	−0.022	468	− 7.6	−3.3
482	Hydr. 26 H. χ	4.5	53 34			−25 58 32.6	1	59.3	2.8837	19.227	−0.0173	−0.008	s. 24		
483	20°2572	7.5	11 0 46.68	1	56.3	+21 27 55.4	1*	56.3	3.2044	19.399	−0.028	−0.13	469	+ 4.3	−2.8
484	68 Leonis δ	2.3	1 2.85	4	56.3	+21 51 38.9	3*	56.3	3.2065	19.404	+0.0102	−0.115	470	+ 9.6	−2.8
485	70 Leonis θ	3.3	1 21.69	3	56.3	+16 45 50.7	3*	56.3	3.1719	19.411	−0.0059	−0.063	471	+ 4.0	−2.9
486	73 Leonis n	5.8	3 1.74	3	56.3	+14 38 21.1	3*	56.3	+3.1559	−19.448	−0.0020	−0.015	472	+ 5.7	−3.1
487	74 Leonis φ	4.6	4 13.01	2	56.3	− 2 18 59.7	2*	56.3	3.0569	19.473	−0.0083	−0.024	473	− 6.6	−4.3
488	77 Leonis σ	4.1	8 29.64	2	56.3	+ 7 22 4.8	3	57.6	3.1085	19.560	−0.0071	0.000	474	−10.4	−3.3
489	78 Leonis ι	4.0	11 8.43	2	56.3	+11 52 28.6	3)	57.6	3.1295	19.610	+0.0085	−0.063	475	− 1.5	−2.7
490	79 Leonis	5.8	11 27.89	2	56.3	+ 2 44 57.0	2*	56.3	3.0835	19.616	−0.0034	+0.008	476	−12.0	−3.8
491	83 Leonis	6.7	14 21.03	1	56.3	+ 4 20 43.3	1*	56.3	+3.0901	−19.668	−0.0514	+0.181	477	−12.8	−3.4
492	84 Leonis τ	5.0	15 19.99	3	56.3	+ 4 12 8.4	3*	56.3	3.0890	19.685	−0.0010	−0.006	478	−11.5	−3.6
493	8°2512	7.5	16 59.6	1	60.2	+ 8 56 53.5	1	60.2	3.1093	19.712	−0.003	−0.01	s. 25		
494	87 Leonis e	5.0	17 48.24	3	56.3	− 1 39 18.0	3*	56.3	3.0629	19.725	−0.0005	0.000	479	− 7.6	−4.2
495	−5°3307	6.5	19 29.95	1	56.3	− 5 6 54.5	1*	56.3	3.0489	19.752	−0.004	−0.08	480	− 5.5	−4.7
496	−7°3250	6.3	20 21.09	1	56.3	− 6 28 42.3	2*	56.3	+3.0438	−19.765	−0.001	+0.01	481	− 5.4	−4.7
497	91 Leonis v	4.8	24 24.43	3	56.3	+ 0 31 33.0	2*	56.3	3.0719	19.823	−0.0018	+0.047	482	− 9.3	−4.0
498	1 Virginis ω	6.0	25 48.90	3	56.3	+ 9 29 17.2	2*	56.3	3.1032	19.842	−0.0020	−0.001	483	− 6.6	−3.2
499	5°2530	7.7	29 35.45	1	56.3	+ 6 6 5.9:	1*	56.3	3.0889	19.889	−0.017	+0.04	484	−10.6	−3.5
500	2 Virginis ξ	4.6	32 38.61	2	56.3	+ 9 37 3.1	2*	56.3	3.0970	19.922	+0.0035	−0.008	485	− 6.1	−3.2

Bradley Nr.	Bradley Br.—M.	Zach	Piazzi	Taylor	Kbg. 1835	Greenwicher Cataloge 12 y.	6 y.	7 y.	N. 7 y.	9 y.	10 y.	Cap 1880	Cord. C.G.	Gotha	Newc Zod.	Nr.
		674	10h 13	4545										139		451
		675	23	4563				783		967				140	506	452
1426	−0.19 −0.5	678	27	4569	318		701	787		970	1667				507	453
		682	34	4583										141		454
1431	−0.03 −0.7	683	36	4591		871					1672					455
1432	−0.04 −2.2	684	38	4593	319	872–4	704	791–3	1250/1	975	1673/4	5620			508	456
1436	+0.02 −1.9	685	47	4612	320		707	797		980	1681				510	457
		686	51	4620						982	1683			142		458
		688	60	4641										143		459
		689	64	4649	322	885					1687			144	512	460
1453	+0.11 −2.5	691	76	4671	323	890		808	1271		1691				513	461
		692	83	4682			713	811		989				145	514	462
		—	85	4686										146		463
1463	−0.21 +0.2	694	97	4713	324			816		996	1703				517	464
1467	0.00 −0.3	695	102	4722	326	896	716	819	1282	997	1705	5763			519	465
1468	+0.62 −1.7	697	110	4742	327	899		821	1284		1708				520	466
1469	+0.10 +1.1	698	112	4745	328				1285						521	467
		700	119	4765										148		468
1478	+0.15 −1.2	701	125	4777					1292	1004	1714				522	469
		703	128	4787										149		470
1487	−0.15 −0.9	—	141	4821	330				1307		1725/6				524	471
		705	148	4839										150		472
1493	−2.3	—	150	4846	332	912		836			1729				526	473
1494	−0.30 +3.5	707	152	4851	333	914	724	838		1014	1731				527	474
1495	+0.6 −4.0	—	154	4857	334	915									529	475
1500	+0.08 −0.8	708	162	4874	335	916	725	840	1313	1015	1732	5974			530	476
		709	186	4925										151		477
1526	+0.36 +0.8	717	210	4977	337	925	731	851	1337	1027	1758	6077			534	478
1527	+0.36 −3.0	719	211	4979	338	926		852	1338	1030	1759				535	479
		—	229	5012										152		480
1535	+0.31 +2.1	724	236	5025	341	934	733	860	1351	1036	1769	6126			538	481
1536	−2.0	—	237	5037				861			1772	6139	15166			482
		—	11h 9	5100					1361					153		483†
1546	−0.36 +0.8	735	10	5105		939	736	873	1363	1046	1791	6228			542	484
1548	−0.15 −1.7	738	13	5109			738	876		1048	1793					485
1550	−0.08 +1.4	741	20	5123		941	739	878		1049						486
1551	−0.44 −0.6	743	23	5131		942		879	1366		1795		15429		544	487
1558	−0.06 −0.4	748	42	5175	347	948	745	885	1369	1057	1807	6312			548	488
1560	−0.07 +1.3	752	54	5196	349	949	747	888		1060	1810/1				549	489
1562	+0.10 −1.8	753	56	5199	350	950			1374		1812				550	490
											1817				553	491
1568	+0.11 −0.5	761	70	5223		953	749	895								
1570	+0.11 −0.3	763	76	5231	352	955	751	897	1380	1062	1819				554	492
		769	85	5251				900						154		493
1576	−0.13 +0.1	771	89	5260		959		903	1384		1826	6394	15716		556	494
		—	94	5272								6408	15751	155		495
		—	98	5281		962						6418	15769	156		496
1586	+0.07 +2.7	778	116	5318	355	964	758	915	1396	1076	1842	6462	15861		558	497
1590	+0.15 +1.3	796	125	5338	356			917	1399	1078	1844				559	498
		797	144	5372				923		1083				157		499
1599	+0.09 +2.1	800	151	5388	358		762	926	1408	1085					560	500

† Arg. 245, Str. 1288.

Nr.	Bezeichn.	Gr.	Æ 1755	B.	Ep.	Decl. 1755	B.	Ep.	Praec. 1755		Eigenbeweg.		Mayer's Catalog alte Nr.	Correction $\Delta\alpha$	$\Delta\delta$
501	3 Virginis ν	4.3	$11^h33^m15^s.55$	2	56.3	+ 7°53′59″.9	2*	56.3	+3ˢ.0916	−19″.928	−0ˢ.0026	−0″.165	486	− 9″.8	− 3″.6
502	4 Virginis A^1	6.0	35 19.17	2	56.3	+ 9 36 16.0	2*	56.3	3.0943	19.948	−0.0048	+0.024	487	− 6.2	− 3.2
503	94 Leonis β	2.0	36 32.90	3	56.3	+15 56 22.5	(4)	56.4	3.1090	19.960	−0.0356	−0.098	488	+ 1.3	− 3.7
504	5 Virginis β	3.3	37 55.96	2	56.3	+ 3 8 32.2	3*	56.3	3.0770	19.972	+0.0481	−0.262	489	−11.8	− 4.0
505	6 Virginis A^2	6.0	42 27.88	1	56.3	+ 9 48 17.0	2*	56.3	3.0876	20.006	−0.0037	+0.013	490	− 5.8	− 3.2
506	1°2628	7.8	42 51.44	1	56.3	+ 2 27 37.3	1*	56.3	+3.0743	−20.009	−0.003	−0.03	491	−12.4	− 3.9
507	4°2553	7.5	45 40.57	1	57.3	+ 4 50 47.4	1	57.3	3.0771	20.025	+0.0002	−0.005	492	− 7.3	− 2.7
508	1°2636	6.8	46 31.55	1	56.3	+ 1 53 28.7	1*	56.3	3.0726	20.030	−0.006	+0.04	493	−12.2	− 3.9
509	7 Virginis b	5.8	47 23.97	4	56.5	+ 5 1 9.8	(4)	56.7	3.0764	20.034	−0.0022	+0.015	494	− 8.7	− 3.0
510	8 Virginis π	4.3	48 18.62	4	56.7	+ 7 58 47.8	(4)	56.7	3.0795	20.039	−0.0028	−0.017	495	− 6.8	− 3.0
511	−0°2520	6.8	48 30			− 0 24 0.2	1*	56.3	+3.0695	−20.040	−0.003	−0.04	496		+ 9.1
512	6°2543	7.2	51 14.01	1	57.3	+ 6 55 39.7	1	57.3	3.0762	20.050	−0.013	−0.07	497	− 4.6	− 3.1
513	9 Virginis o	4.0	52 43.65	3	56.6	+10 5 37.6	(3)	56.7	3.0775	20.054	−0.0159	+0.049	498	− 2.2	− 2.6
514	−2°3460	6.5	53 27.86	1	56.3	− 1 45 57.1	1*	56.3	3.0688	20.056	−0.004	0.00	499	−458.3	− 4.2
515	1°2656	7.5	55 27.83	1	56.3	+ 1 59 16.6	1*	56.3	3.0709	20.061	−0.001	−0.03	500	−12.1	− 3.9
516	10 Virginis	5.8	57 8.18	2	56.3	+ 3 16 30.4	1*	56.3	+3.0709	−20.063	+0.0008	−0.187	501	−17.2	
517	11 Virginis	6.0	57 33.56	2	56.3	+ 7 10 7.0	2*	56.3	3.0718	20.063	−0.0125	+0.039	502	− 7.4	− 3.3
518	−4°3235	6.9	12 1 43.5	1	56.3	− 4 21 42.6	1*	56.3	3.0707	20.064	−0.008	+0.14	503	− 7.5	− 4.4
519	13 Virginis	6.2	6 7.25	1	56.3	+ 0 34 33.4	1*	56.3	3.0696	20.057	−0.0001	−0.029	504	−10.3	− 4.0
520	15 Virginis η	3.3	7 22.91	3	56.6	+ 0 41 44.9	(3)	56.7	3.0694	20.054	−0.0056	−0.022	505	− 8.2	− 2.8
521	16 Virginis c	5.0	7 54.55	3	56.6	+ 4 40 43.5	(2)	56.7	+3.0662	−20.053	−0.0213	−0.063	506	− 9.1	− 2.9
522	17 Virginis	6.8	10 4.66	1	56.3	+ 6 40 10.0	1*	56.3	3.0631	20.045	−0.0126	−0.054	507	− 5.2	− 3.6
523	−4°3268	6.5	10 40.40	1	57.3	− 3 36 41.2	1	57.3	3.0739	20.043	+0.001	−0.04	508	− 4.4	−214.3
524	−9°3490	8.0	11 44.96	1	56.3	− 9 7 3.3	1*	56.3	3.0810	20.038	−0.001	+0.05	509	− 2.5	+ 8.2
525	−3°3298	6.5	15 18.41	1	56.3	− 3 15 23.9	1*	56.3	3.0750	20.020	−0.006	−0.02	510	− 6.3	− 4.5
526	5°2631	7.3	15 49.18	1	56.3	+ 5 45 14.8	1*	56.3	+3.0607	−20.017	−0.004	+0.02	511	− 5.6	− 3.6
527	−12°3647	6.5	17 28.99	1	56.3	−12 1 57.9	1*	56.3	3.0917	20.006	−0.019	−0.04	512	− 0.1	− 5.4
528	−3°3309	6.7	18 17.10	1	56.3	− 2 42 18.5	1*	56.3	3.0750	20.001	−0.006	+0.02	513	− 4.8	− 4.4
529	−4°3296	6.3	19 4.05	2	56.3	− 3 41 55.9	2*	56.3	3.0772	19.996	−0.006	+0.03	514	− 5.2	− 4.4
530	21 Virginis q	6.0	21 9.55	3	56.7	− 8 5 52.4	(3)	56.7	3.0875	19.979	−0.0082	+0.008	515	− 4.7	− 4.7
531	−0°2590	6.5	21 50.88	1	56.3	− 0 3 16.4	1*	56.3	+3.0701	−19.973	−0.005	+0.02	516	− 6.1	− 4.0
532	25 Virginis f	6.0	24 11.48	3	56.6	− 4 28 43.4	3	56.7	3.0810	19.953	−0.0035	−0.019	517	− 5.0	− 3.5
533	26 Virginis χ	5.0	26 37.41	3	56.7	− 6 38 38.5	3	56.7	3.0880	19.929	−0.0069	−0.021	518	− 6.1	− 4.6
534	−5°3542	6.5	26 53.06	1	56.3	− 4 44 58.4	1*	56.3	3.0830	19.926	+0.002	−0.01	519	− 3.9	− 4.5
535	29 Virginis γ	3.3	29 15.49	2	56.3	− 0 6 9.4	2*	56.3	3.0703	19.901			520	− 7.7	− 4.0
536		3.3	29 15.74	2	56.3	− 0 6 14.7	2*	56.3	+3.0703	−19.901	−0.0385	+0.015	521	− 7.7	− 4.0
537	−5°3569	6.3	34 54.73	1	56.3	− 4 57 31.2	1*	56.3	3.0876	19.832	0.000	0.00	522	− 5.7	− 4.5
538	−6°3659	7.0	37 28.69	1	56.3	− 6 18			3.0940	19.797	−0.016	+0.02	523	− 5.8	
539	−9°3569	6.5	38 39.64	1	56.3	− 8 59 58.3	1*	56.3	3.1055	19.780	−0.003	+0.01	524	− 3.2	− 5.0
540	38 Virginis	6.3	40 39.79	1	56.3	− 2 13 0.6	1*	56.3	3.0791	19.750	−0.0174	−0.007	525	− 5.6	− 4.3
541	40 Virginis ψ	5.0	41 38.42	1	56.3	− 8 12 13.7	1*	56.3	+3.1048	−19.734	−0.0035	−0.017	526	− 3.9	− 5.0
542	43 Virginis δ	3.0	43 16.25	1	56.3	+ 4 43 56.7	1*	56.3	3.0492	19.708	−0.0336	−0.047	527	− 8.0	− 3.5
543	44 Virginis k	6.0	47 3.70	1	56.3	− 2 29 8.3	1*	56.3	3.0818	19.643	−0.0036	+0.010	528	− 8.4	− 4.2
544	47 Virginis ε	2.6	49 59.08	2	56.3	+12 16 51.9	2*	56.3	3.0070	19.589	−0.0192	+0.029	529	+ 1.9	− 2.8
545	48 Virginis	6.0	51 18.22	1	56.3	− 2 20 18.1	1*	56.3	3.0821	19.564	−0.0060	−0.018	530	− 5.4	− 4.2
546	49 Virginis	6.0	55 5.72	2	56.3	− 9 25 30.0	2*	56.3	+3.1228	−19.488	−0.0002	+0.008	531	− 2.5	− 5.0
547	51 Virginis θ	4.3	57 17.50	1	56.3	− 4 13 31.4	1*	56.3	3.0944	19.441	−0.0043	−0.037	532	− 7.7	− 4.6
548	53 Virginis	5.0	59 3.98	2	56.3	−14 52 10.6	2*	56.3	3.1605	19.402	+0.0039	−0.279	533	+ 1.4	− 5.7
549	2°2646	7.0	13 1 29.24	1	56.3	+ 2 45 49.5	1*	56.3	3.0528	19.347	−0.005	−0.03	534	−11.1	− 3.9
550	61 Virginis	5.0	5 38.13	6	56.7	−16 56 32.5	6	56.9	3.1851	19.247	−0.0762	−1.055	535	− 0.7	− 5.4

Bradley Nr.	Bradley Br.—M.	Zach	Piazzi	Taylor	Kbg. 1835	Greenwicher Cataloge 12 y.	6 y.	7 y.	N. 7 y.	9 y.	10 y.	Cap 1880	Cord. C. G.	Gotha	Newc. Zod.	Nr.
1601	0ˢ.00 +1″.9	801	11ʰ153	5393	359	970	764	927	1409	1086	1857				561	501
1602	−0.06 +1.8	802	158	5409			765	928		1089	1861				562	502
1605	−0.20 +1.4	788	163	5415		972	768	931	1411	1090	1865	6593			563	503
1606	+0.08 +6.8	803	166	5424		975	769	932	1413	1092	1867	6605			564	504
1611	+0.68 +3.8	807	185	5458					1422						567	505
		808	187	5461												
1616	−0.26 −1.7	810	203	5489	360				1429	1102				158		506
		—	207	5497				943		1103					568	507
1617	−0.03 +0.3	812	208	5505	361	983	776	945	1433	1104	1879	6686		159		508
1618	+0.36 +0.5	813	211	5509	362	984	777	947	1436	1106	1882	6692			569	509
		—	213	5512	363	985									570	510
		815	222	5532	364								16409	160		511
		817	228	5542	365	989	783	951	1442	1110	1888	6736		161		512
1623	−0.31 +1.5	—	230	5547	366						1890				571	513
		820	238	5561									16517	162		514
														163		515
1625	+0.17 −2.0	822	246	5575	367		785	956	1445	1112	1892				573	516
1627	+0.60 +2.9	—	249	5577	368				1446	1113					574	517
		827	12ʰ 17	5611	369								16713	164		518
1643	+0.05 +2.6	830	38	5642	370	1000	794	969	1461	1131	1919		16791		579	519
1647	−0.08 +3.3	833	44	5652	371	1002	796	972	1464	1135	1925	6852			581	520
1652	+0.07 +0.6	835	50	5658	372	1005	798	973		1136	1926				582	521
1657	+0.01 +2.6	837	58	5672					1470						583	522
		838	65	5681									16886	165		523
		839	69	5689									16906	166		524
		842	91	5723	373					1146	1944		16984	167		525
		843	95	5730										168		526
		845	104	5746									17038	169		527
		—	108	5752									17055	170		528
		848	111	5761	374					1153	1956		17077	171		529
1683	+0.06 +0.7	851	119	5775	375	1013	811	986	1488		1960	6978	17120		585	530
		—	125	5783				989		1157			17131	172		531
1690	−0.11 +2.0	854	136	5799	376			994	1499	1162	1969		17166		588	532
1694	+0.05 +1.5	860	146	5817	379			995	1504		1976		17223		590	533
		861	152	5823									17233	173		534
1698			157	5836			817	999	1507	1170	1983	7028	17292			535
	−0.08 +4.8	863				1020	818	998		1169					591	
1699			158	5835	380		819	997	1508	1168	1982	7027	17291			536
		875	183	5881	382					1177	1995		17422	174		537
		878	193	5901	383			1011					17467	175		538
		879	196	5904	384					1185			17485	176		539
1718	−0.41 +0.3	881	208	5930	385	1029	826	1014	1526	1187	2006		17527		593	540
1721	−0.03 +2.3	885	214	5938	386	1031		1016	1528	1190	2011		17557		594	541
1723	+0.15 +5.1	888	223	5952	387	1033	831	1017	1531	1194	2017	7123				542
1729	−0.34 +2.9	889	237	5981	388			1024	1537	1199	2025		17683		597	543
1735	−0.27 +1.0	892	249	5995			837	1029	1541	1203	2032	7178				544
1738	+0.15 −4.6	893	254	6004	390			1030	1542	1206	2035	7188	17772		599	545
1742	−0.18 +2.8	894	272	6036	391	1047	840	1035	1546		2040		17864		600	546
1747	−0.14 +3.8	896	281	6050	393	1049	841	1039	1549	1213	2045	7228	17912		603	547
1752	−0.22 −2.3	899	13ʰ 9	6069		1052	843	1042	1555		2049		17955			548
		903	21	6088										177		549
1763	−0.20 +3.2	—	44	6123		1056	848	1054	1565		2064	7295	18112			550

† Arg. 267.

Nr.	Bezeichn.	Gr.	Æ 1755	B.	Ep.	Decl. 1755	B.	Ep.	Praec. 1755		Eigenbeweg.		Mayer's Catalog alte Nr.	Correction $\Delta\alpha$	$\Delta\delta$
551	46 Hydrae γ	3.3	$13^h\ 5^m\ 39^s.64$	1	56.4	$-21°\ 52'\ 19''.3$	1*	56.4	$+3^s.2217$	$-19''.247$	$+0^s.0024$	$-0''.033$	536	$-\ 0''.6$	$-\ 5''.4$
552	62 Virginis	7.1	7 30.24	1	59.3	$-10\ \ 1$			3.1385	19.201	−0.0109	+0.009	S.26		
553	$-11°3498$	6.7	9 13.03	1	56.4	$-11\ 17\ 19.2$	1*	56.4	3.1494	19.156	0.000	0.00	537	− 7.0	− 5.3
554	63 Virginis	6.0	9 56.55	6	56.7	$-16\ 26\ 39.6$	(6)	57.0	3.1886	19.137	−0.0053	−0.039	538	+ 0.5	− 5.1
555	67 Virginis α	1	12 19.14	9	57.1	$-\ 9\ 52\ 29.4$	7	57.7	3.1422	19.074	−0.0044	−0.018	539	− 4.0	− 3.3
556	68 Virginis i	6.0	13 48.63	4	56.4	$-11\ 25\ 31.8$	4*	56.4	+3.1555	−19.033	−0.0121	−0.023	540	− 4.7	− 5.4
557	69 Virginis	5.3	14 25.47	4	56.4	$-14\ 41\ 41.5$	4*	56.4	3.1819	19.016	−0.0106	+0.027	541	− 0.8	− 5.5
558	$-0°2694$	7.0	16 41.75	1	56.3	$-\ 0\ \ 5\ \ 6.1$	1*	56.3	3.0706	18.951	−0.005	−0.04	542	− 9.6	− 4.0
559	72 Virginis	6.6	17 40.48	3	56.4	$-\ 5\ 11\ 50.6$	3*	56.4	3.1104	18.923	+0.0009	+0.042	543	− 7.7	− 4.7
560	74 Virginis l	5.0	19 15.31	4	56.4	$-\ 4\ 58\ 57.5$	4*	56.4	3.1095	18.877	−0.0081	−0.030	544	− 7.3	− 4.6
561	76 Virginis h	5.0	20 5.85	4	56.4	$-\ 8\ 53\ 38.9$	4*	56.4	+3.1416	−18.852	−0.0044	−0.023	545	− 5.0	− 5.1
562	79 Virginis ζ	3.3	22 13.88	5	56.4	$+\ 0\ 39\ 53.6$	(5)	56.4	3.0645	18.787	−0.0205	+0.056	546	− 9.2	− 3.6
563	80 Virginis	6.0	22 48.19	4	56.4	$-\ 4\ \ 8\ 21.0$	4*	56.4	3.1042	18.769	−0.0006	+0.096	547	− 7.2	− 4.5
564	82 Virginis m	6.0	28 47.03	4	56.4	$-\ 7\ 27\ 27.2$	4*	56.4	3.1361	18.578	−0.0085	+0.046	548	− 6.6	− 4.9
565	$-4°3540$	7.0	31 10.88	1	56.3	$-\ 4\ 15\ 19.0$	1*	56.3	3.1085	18.497	−0.004	−0.01	549	− 5.5	− 4.6
566	$-13°3761$	6.8	31 38.97	1	56.4	$-12\ 58\ 23.3$	1*	56.4	+3.1899	−18.482	−0.001	−0.16	550	− 3.3	− 5.6
567	86 Virginis	6.0	32 55.35	3	56.3	$-11\ 11\ 22.3$	4*	56.3	3.1743	18.438	−0.0028	+0.013	551	− 3.8	− 5.2
568	87 Virginis	6.1	34 8.65	2	56.4	$-16\ 37\ 21.4$	2*	56.4	3.2294	18.395	+0.0011	−0.028	552	− 1.7	− 5.7
569	89 Virginis	5.0	36 36.45	2	56.4	$-16\ 54\ 12.2$	2*	56.4	3.2363	18.308	−0.0087	−0.033	553	− 1.8	− 5.9
570	85 Urs. maj. η	2.0	37 51.29	9	56.4	$+50\ 32\ 38.5$	7	56.6	2.3969	18.263	−0.0115	−0.014	554	− 9.9	− 0.5
571	90 Virginis p	5.6	42 8.93	6	56.4	$-\ 0\ 17\ 15.2$	(6)	56.4	+3.0729	−18.105	−0.0068	−0.012	555	− 8.5	− 4.1
572	$-7°3748$	6.5	47 11.64	1	56.3	$-\ 6\ 57\ 31.8$	1*	56.3	3.1436	17.910	−0.001	−0.03	556	− 8.9	− 4.9
573	$-8°3689$	6.5	51 24.92	1	56.3	$-\ 8\ \ 4\ 13.5$	1*	56.3	3.1586	17.740	−0.004	0.00	557	− 7.6	− 5.0
574	5 Centauri θ	2.7	52 21.90	3	56.4	$-35\ \ 9$			3.5134	17.701	−0.0442	−0.613	558	+ 1.3	
575	94 Virginis	6.8	53 21.49	1	56.3	$-\ 7\ 42\ 40.3$	1*	56.3	3.1559	17.660	−0.0032	+0.012	559	− 8.4	− 4.8
576	95 Virginis	6.0	53 47.29	2	56.3	$-\ 8\ \ 8\ \ 0.6$	2*	56.3	+3.1610	−17.642	−0.0122	+0.015	560	− 5.4	− 5.0
577	$-15°3809$	7.5	53 55.81	1	56.4	$-15\ \ 0\ 36.2$	2*	56.4	3.2410	17.636	−0.005	−0.01	561	− 3.2	−18.8
578	$-15°3817$	5.0	57 30.44	6	56.4	$-15\ \ 7\ 57.8$	(6)	56.4	3.2474	17.485	−0.002	+0.01	562	− 1.2	− 5.7
579	98 Virginis $\varkappa$	4.3	59 51.80	6	56.4	$-\ 9\ \ 7\ 17.2$	(6)	56.4	3.1772	17.383	−0.0004	+0.141	563	− 5.6	− 4.9
580	$-5°3837$	6.5	14 1 37.62	4	56.4	$-\ 4\ 47\ 48.6$	(3)	56.4	3.1268	17.305	−0.0225*	+0.10*	564	− 8.3	− 4.7
581	99 Virginis ι	4.0	3 12.05	5	56.4	$-\ 4\ 49\ 11.5$	(6)	56.4	+3.1277	−17.235	−0.0031	−0.417	565	− 7.4	− 5.5
582	16 Bootis α	1	4 30.25	10	56.4	$+20\ 28\ \ 4.5$	18	56.8	2.8119	17.176	−0.0799	−1.977	566	+12.2	− 3.8
583	100 Virginis λ	4.6	5 53.51	5	56.4	$-12\ 13\ 48.3$	(6)	56.4	3.2214	17.113	−0.0025	+0.029	567	− 5.2	− 4.7
584	$-6°3972$	6.5	7 2.63	2	56.4	$-\ 5\ 36\ 17.4$	2*	56.4	3.1390	17.060	−0.007	−0.01	568	− 7.2	− 4.8
585	$-7°3834^1$	7.0	9 42.76	1	56.4	$-\ 6\ 37\ 48.0$	1	56.4	3.1534	16.936	0.000	−0.12	569	− 9.6	− 4.4
586	2 Librae	6.3	10 17.05	4	56.4	$-10\ 34\ 54.3$	(4)	56.4	+3.2045	−16.909	−0.0031	−0.059	570	− 6.9	− 4.8
587	$-11°3736$	6.7	11 33.20	4	56.4	$-10\ 32\ 39.0$	(4)	56.4	3.2052	16.849	−0.008*	−0.017*	571	− 6.2	− 4.1
588	$-12°4042$	6.7	12 3.77	4	56.4	$-12\ 13\ 53.3$	(4)	56.4	3.2280	16.825	−0.006	+0.01	572	− 5.8	− 5.9
589	$-12°4055$	6.8	14 30.51	4	56.4	$-12\ 14\ 40.9$	(4)	56.4	3 2307	16.707	−0.005	0.00	573	− 6.6	− 4.8
590	$-9°3945$	6.5	15 28.59	4	56.4	$-\ 8\ 53\ 30.0$	(4)	56.4	3.1866	16.660	−0.005	−0.03	574	− 6.8	− 5.8
591	$-19°3903$	6.7	21 6.10	4	56.4	$-19\ 20\ 59.0$	(4)	56.4	+3.3412	−16.381	+0.002	+0.01	575	− 6.3	− 5.5
592	$-11°3770$	6.0	23 59.82	5	56.4	$-11\ 15\ \ 0.7$	(5)	56.4	3.2264	16.233	−0.059	+0.39	576	− 5.5	− 5.2
593	$-9°3975$	7.0	25 52.34	5	56.4	$-\ 9\ 28\ 54.6$	(5)	56.4	3.2028	16.136	−0.002	+0.01	577	− 6.9	− 4.8
594	$-11°3789$	7.0	28 46.96	6	56.6	$-11\ 10\ 21.2$	(6)	56.4	3.2297	15.983	−0.001	+0.01	578	− 7.2	− 5.4
595	107 Virginis μ	4.0	30 10.93	7	57.1	$-\ 4\ 34\ 43.7$	5	57.4	3.1352	15.909	+0.0056	−0.305	579	− 9.4	− 6.3
596	$-20°4087$	6.4	32 20.39	1	56.4	$-20\ \ 7\ 13.1$	1*	56.4	+3.3722	−15.793	−0.006	−0.10	580	− 1.4	− 5.8
597	$-20°4093$	6.3	33 21.38	1	56.4	$-20\ 16\ 47.0$	1*	56.4	3.3766	15.738	−0.002	0.00	581	− 1.2	− 5.7
598	7 Librae μ	6.0	35 55.71	6	57.2	$-13\ \ 6\ 45.7$	5	57.4	3.2660	15.597	−0.0066	−0.016	582	− 6.1	− 6.8
599	8 Librae	6.1	37 10.90	5	56.6	$-14\ 57\ 44.8$	4	56.4	3.2964	15.528	−0.0098	−0.090	583	− 1.6	− 6.0
600	9 Librae α	2.3	37 22.30	7	56.6	$-15\ \ 0\ 28.9$	5	56.6	3.2973	15.517	−0.0093	−0.072	584	− 2.7	− 6.1

[1] Dpl.; der Ort wird für die Mitte gelten.

Bradley Nr.	Bradley Br.—M.	Zach	Piazzi	Taylor	Kbg. 1835	Greenwicher Cataloge 12 y.	6 y.	7 y.	N. 7 y.	9 y.	10 y.	Cap 1880	Cord. C. G.	Gotha	Newc. Zod.	Nr.
1764	−0.18 +1.1	—	13h 45	6124			849				2065		18121			551
1766	−0.22	912	55	6141	395			1058					18155		606	552
		913	62	6155									18196	179		553
1771	−0.07 +2.5	915	68	6165					1568				18214			554
1774	+0.06 +0.1	918	75	6181		1061	851	1063	1571	1226	2076	7352	18262		609	555
1775	+0.27 +3.2	920	80	6196				1066		1230	2080	7371	18298		610	556
1778	+0.16 −0.1	922	82	6201		1065					2081		18316		611	557
		925	95	6224									18359	180		558
1782	+0.02 −2.4	927	101	6231				1073					18379		612	559
1784	−0.06 −0.2	930	115	6253	396	1070	854	1076	1583	1239	2097		18417		613	560
1786	−0.01 −1.1	932	118	6264	398	1072	855	1079	1586	1242	2103		18445		615	561
1789	−0.14 +0.4	937	128	6282	400	1075	856	1083	1589	1245	2106	7441			617	562
1790	−0.09 −0.7	939	130	6286	401			1084		1246			18495		618	563
1796	+0.04 +1.2	944	162	6347	402	1082	861	1096	1594	1253	2126	7506	18613		620	564
		946	174	6370	403					1255			18664	181		565
		948	177	6375									18683	182		566
1805	−0.06 +1.4	950	186	6387	406	1091	864	1104		1258	2137		18711		623	567
1806	+0.05 −1.2	951	191	6395				1105	1600		2140		18737		624	568
1811	+0.03 0.0	955	204	6419		1102		1112	1606		2149		18793		628	569
1815	+0.10 −0.6	—	209	6420		1101	870	1109	1604	1264	2147				627	570
1819	−0.26 +1.6	961	237	6472			875	1120			2163		18910			571
		966	270	6520	409								19021	183		572
		969	287	6550	411								19092	184		573
1831	−0.54	—	293	6563		1120	880	1126	1626		2190	7719	19129			574
1833	+0.04 +2.6	970	297	6568	412	1122	881		1628	1284	2191	7724	19141		633	575
1834	+0.19 +0.9	971	299	6569	413		883	1128		1285	2192		19152		634	576
		972	300	6575				1129					19161	185		577
		977	317	6600	415			1131	1634	1291	2199		19222	186	637	578
1842	−0.13 +1.8	980	14h 14	6622	417	1131	887	1136	1641	1295	2203	7771	19272		639	579
1843	−0.20 —	981	19	6633			888						19301		640	580
1846	−0.07 +1.5	983	28	6646		1135	890		1646	1301	2212		19324		642	581
1847	−0.55 +1.2	—	32	6653		1138	891	1141	1647	1304	2214	7795			643	582
1850	+0.14 −0.8	985	37	6669		1146	896	1143	1650	1308	2223	7815	19372		644	583
		987	44	6681									19399	187		584
		1006	62	6705									19458/9	188/9		585
1860	−0.03 +0.7	1007	64	6713	420	1151		1145	1657	1313	2229		19475		645	586
1861	— +1.5	1008	70	6721		1155							19509		646	587
		990	76	6728									19524	190		588
		992	85	6750									19579	191		589
		993	89	6757									19594	192		590
		—	116	6803	422						2253		19744	193		591
		1009	127	6825	423						2259		19808	194		592
		1001	137	6844									19845	195		593
		1012	146	6866									19912	196		594
1880	−0.18 +0.5	1002	158	6876	424	1176	914	1164	1675	1329	2272	8013	19941			595
		1015	166	6890									20010	197		596
		1017	171	6900		1186							20037	198		597
1891	+0.17 +0.1	1018	183	6914	426	1189	924	1174	1681	1337	2287	8069	20088		654	598
1893	+0.03 +0.2	1020	186	6919		1191	926	1176		1338	2291		20117		655	599
1894	−0.07 +1.1	1021	187	6921		1192	927	1177	1683	1339	2292	8084	20119		656	600

Nr.	Bezeichn.	Gr.	Æ 1755	B.	Ep.	Decl. 1755	B.	Ep.	Praec. 1755		Eigenbeweg.		Mayer's Catalog alte Nr.	Correction $\Delta\alpha$	$\Delta\delta$
601	13 Librae	6.0	$14^h41^m\ 6^s.96$	6	56.6	$-10°\ 52'\ 57''.5$	(6)	56.6	$+3^s.2362$	$-15''.307$	$-0^s.0061$	$-0''.011$	585	$-\ 6''.6$	$-4''.8$
602	15 Librae	6.0	43 30.72	6	56.6	−10 24 17.4	(6)	56.6	3.2307	15.171	−0.0019	+0.006	586	− 6.1	−5.3
603	17 Librae	6.8	44 59.02	3	56.4	−10 9 19.6	(3)	56.4	3.2279	15.086	−0.0041	−0.001	587	− 7.4	−6.3
604	18 Librae	6.2	45 40.87	4	56.4	−10 8 33.9	(4)	56.4	3.2283	15.046	−0.0084	−0.072	588	− 5.4	−5.0
605	19 Librae δ	5–6	47 55.11	5	56.4	− 7 31 50.9	(5)	56.4	3.1882	14.916	−0.0064	−0.009	589	− 7.1	−5.2
606	Scorp. 1 H. γ	3.4	49 47.61	3	56.4	−24 18 3.1	(3)	56.4	+3.4776	−14.806	−0.0070	−0.033	590	+ 1.9	−6.0
607	21 Librae ν	6.0	53 0.30	4	57.9	−15 17 22.4	(4)	57.9	3.3205	14.614	−0.0052	−0.030	591	− 4.1	−6.9
608	22 Librae	6.7	53 11.20	2	56.4	−15 31 5.8	(2)	56.4	3.3247	14.603	−0.0078	−0.012	592	− 3.6	−5.6
609	24 Librae	4.6	58 18.18	3	56.4	−18 50 46.6	(3)	56.4	3.3904	14.292	−0.0037	−0.042	593	− 4.9	−6.7
610	25 Librae	6.4	59 24.51	2	56.4	−18 42 27.6	(2)	56.4	3.3894	14.224	−0.0052	−0.022	594	− 5.2	−7.1
611	−21°4065	6.0	15 2 14.24	1	56.4	−21 28 24.8	1*	56.4	+3.4456	−14.048	−0.005	−0.02	595	− 0.4	−5.8
612	27 Librae β	2.0	3 51.39	7	58.5	− 8 27 41.8	6	58.4	3.2130	13.947	−0.0079	−0.017	596	− 9.4	−4.2
613	−8°3947	7.0	6 11.53	1	56.4	− 8 14 2.0	1*	56.4	3.2105	13.799	0.000	−0.05	597	− 5.7	−5.3
614	28 Librae	6.4	7 2.63	1	56.4	−17 15 2.8	1	56.4	3.3726	13.745	−0.0018	−0.061	598	− 6.5	−6.5
615	29 Librae o	6.0	7 22.11	4	56.4	−14 38 48.2	(4)	56.4	3.3250	13.724	+0.0007	+0.038	599	− 3.3	−5.4
616	−11°3940	6.0	10 28			−11 28 37.2	(2)	56.4	+3.2706	−13.526	−0.005	−0.03	600		−5.6
617	31 Librae ε	5.0	10 57.16	6	57.7	− 9 25 24.8	(6)	57.4	3.2343	13.494	−0.0077	−0.153	601	− 6.8	−5.2
618	32 Librae	6.2	14 28.99	4	56.4	−15 50 36.9	(4)	56.4	3.3548	13.263	−0.0010	−0.046	602	− 2.2	−6.1
619	33 Librae	7.1	15 45.66	1	56.4	−16 34 30.3	1	56.4	3.3702	13.179	−0.0068	+0.010	603	− 4.6	−5.9
620	34 Librae	6.0	16 53.77	4	56.4	−15 44 58.5	(4)	56.4	3.3556	13.104	−0.0006	−0.010	604	− 2.0	−5.6
621	−19°4128	6.7	17 40.0	1	56.4	−19 18 28.8	1*	56.4	+3.4259	−13.053	−0.006	−0.02	605	− 3.2	−5.8
622	−19°4135	5.5	18 35.15	1	56.4	−18 48 58.2	1*	56.4	3.4173	12.982	−0.003	−0.04	606	− 2.8	−5.8
623	35 Librae ζ	6.0	19 7.37	4	56.4	−16 0 11.3	(4)	56.4	3.3629	12.956	−0.0028	−0.016	607	− 2.1	−6.1
624	Lac. 6430†	5.9	19 49.92	3	56.4	−27 12 0.6	(3)	56.4	3.5963	12.908	−0.0021	−0.038	608	− 0.7	−5.6
625	38 Librae γ	4.3	21 51.52	5	58.7	−13 57 13.3	(5)	58.0	3.3263	12.772	+0.0037	+0.019	609	− 4.5	−7.0
626	Scorp. 3 H.	4.3	22 12.73	4	56.4	−27 18 7.1	(4)	56.4	+3.6032	−12.748	−0.0035	+0.002	610	− 1.8	−5.3
627	Lac. 6450	6.6	22 50.30	1	56.4	−25 26 48.6	1*	56.4	3.5626	12.706	−0.002	−0.05	611	+ 5.5	−5.3
628	−14°4247	7.5	24 21.2	1	56.4	−13 42			3.3238	12.601	−0.004	−0.02	612	− 7.1	
629	41 Librae	5.8	24 50.88	1	56.4	−18 28 27.8	1*	56.4	3.4183	12.569	+0.0057	−0.078	613	− 2.5	−5.9
630	−14°4250	7.0	24 51.72	1	56.4	−13 41 21.0	1	56.4	3.3238	12.569	−0.004	−0.07	614	−15.0	−7.3
631	42 Librae	5.7	25 51.28	2	56.4	−23 0 2.9	(2)	56.4	+3.5141	−12.501	−0.0031	−0.012	615	+ 1.6	−6.2
632	43 Librae κ	5.0	27 52.61	4	56.4	−18 51 52.2	(4)	56.4	3.4300	12.361	−0.0046	−0.097	616	− 4.6	−6.0
633	−15°4165	7.3	29 2.07	1	56.4	−15 12 26.9	1*	56.4	3.3575	12.281	−0.011	−0.05	617	− 0.8	−5.9
634	44 Librae η	6.0	30 19.93	5	57.7	−14 52 20.5	(5)	57.1	3.3521	12.192	−0.0045	−0.063	618	− 2.5	−6.1
635	24 Serpent. α	2.3	32 13.30	4	56.4	+ 7 12 48.0	(4)	56.4	2.9347	12.060	+0.0079	+0.056	619	− 5.6	−4.6
636	1 Scorpii b	5.1	36 18.03	4	56.4	−24 59 4.3	(4)	56.4	+3.5747	−11.772	−0.0058	−0.038	620	+ 3.8	−5.6
637	2 Scorpii A	5.1	38 57.39	4	56.4	−24 34 22.6	(4)	56.4	3.5694	11.583	−0.0035	−0.014	621	+ 3.5	−5.1
638	45 Librae λ	5.0	39 9.04	4	56.4	−19 24 48.2	(4)	56.4	3.4551	11.569	−0.0026	−0.013	622	− 4.8	−6.7
639	46 Librae θ	4.6	39 54.82	6	58.3	−15 59 22.3	5	58.0	3.3839	11.515	+0.0067	+0.131	623	− 2.2	−6.6
640	3 Scorpii	6.8	40 0.03	1	56.4	−24 29 41.5	1*	56.4	3.5692	11.508	−0.0038*	−0.03*	624	+ 5.2	−5.5
641	47 Librae	6.3	40 53			−18 38 16.8	1*	56.4	+3.4405	−11.445	−0.0040	−0.014	625		−6.1
642	5 Scorpii ϱ	4.7	41 48.89	3	56.4	−28 28 31.1	(5)	56.4	3.6676	11.378	−0.0031	−0.015	626	+ 3.1	−5.1
643	6 Scorpii π	3.1	44 5.12	5	56.5	−25 23 9.3	(5)	56.4	3.5963	11.214	−0.0034	−0.033	627	+ 7.0	−5.8
644	48 Librae	5.0	44 30.33	3	56.4	−13 33 8.8	(4)	56.4	3.3377	11.183	−0.0028	−0.014	628	− 3.8	−6.9
645	7 Scorpii δ	2.3	45 53.80	7	58.1	−21 54 7.0	5	58.0	3.5183	11.082	−0.0018	−0.028	629	+ 3.6	−5.3
646	Lac. 6659	5.7	48 35.47	2	56.5	−25 9 33.7	3	56.5	+3.5978	−10.886	−0.007	−0.05	630	+ 3.8	−6.3
647	Scorpii ξ	4.3	50 55.68	5	56.4	−10 40 37.9	(5	56.5	3.2832	10.712	−0.0065	−0.019	631	− 5.2	−6.6
648	8 Scorpii β	2.0	51 13.93	7	58.2	−19 6 46.6	5	58.0	3.4622	10.689	−0.0026	−0.027	632	+ 0.3	−5.2
649	Com. pris	4	51 14.40	5	56.4	−19 6 34.9	(5)	56.5	3.4622	10.689	»	»	633	− 1.5	−6.0
650	9 Scorpii ω¹	4.5	52 30.91	2	56.4	−19 59 0.2	(2)	56.4	3.4831	10.594	−0.0029	−0.020	634	− 4.8	−6.8

† Fl. 36 Librae, liegt aber nach Argelander's Uranometrie im Scorpius.

Bradley Nr.	Bradley Br.—M.	Zach	Piazzi	Taylor	Kbg. 1835	Greenwicher Cataloge 12 y.	6 y.	7 y.	N. 7 y.	9 y.	10 y.	Cap 1880	Cord. C.G.	Gotha	Newc. Zod.	Nr.
1901	+0ˢ.27 −0″.2	1026	14ʰ206	6951	427				1688	1345	2305		20193		660	601
1903	+0.10 +0.2	1029	214	6964	428	1201	939	1185	1690	1347	2308	8137	20249		661	602
1907	+0.22 +2.5	1031	225	6979	430				1694		2315		20301		663	603
1909	−0.17 +0.1	1032	228	6984	431				1696		2318		20318		664	604
1911	−0.10 +0.8	1033	238	6998		1210	947	1189		1352			20363			605
1913	−0.17 −2.7	1037	251	7012	432	1212		1194	1701		2326	8192	20431		666	606
1919	+0.16 +0.3	1039	267	7040	433		951	1197	1705	1359			20498		668	607
1920	+0.15 −1.0	1040	269	7043	434			1198		1360	2335		20504		669	608
1927	+0.08 −0.9	1046	15ʰ 3	7084	436	1225		1205	1710	1365	2347	8261	20601		670	609
1928	+0.23 +0.1	1047	6	7091	438			1207					20633		671	610
		—	19	7119	440			1213		1366	2351	8301	20700	199		611
1934	+0.04 −0.3	1050	26	7129		1232	960	1215	1719	1368	2354	8313	20723		673	612
		1051	32	7141									20765	200		613
1938	+0.32 +1.7	1052	37	7154	441	1238		1221			2360		20792	201	674	614
1939	−0.06 −1.4	1053	41	7156	442	1239					2362		20799		675	615
		1055	54	7178	444				1733		2373		20855	202	677	616
1944	+0.20 −1.0	1056	57	7182					1735				20866			617
1949	+0.01 +2.0	1058	75	7211	445	1251	975	1226	1739	1381	2383	8414	20960	203	679	618
1951	+0.27 −5.9	1060	80	7219		1254	977				2388		20987		681	619
1953	−0.02 +0.4	1061	84	7232	446				1744	1384	2390		21014		682	620
		1062	91	7239				1229					21034	204		621
		1063	96	7242	447			1231		1385	2395		21053	205	683	622
1956	−0.05 +2.2	1064	97	7244	448	1260					2397		21066		684	623
1958	+0.09 −2.8	1065	102	7253		1261	981				2400	8467	21090			624
1964	+0.07 +0.9	1067	111	7265	449	1264	983	1236	1750	1389	2405		21127		685	625
1966	+0.10 −2.7	1068	116	7272		1265	986	1237	1751			8484	21146			626
		1085	118	7274		1267						8489	21162	206		627
		—	125	7282									21189	207		628
1975	0.00 −1.8	1071	133	7291	450	1274	989				2417		21202		687	629
		1070	132	7289									21200	208		630
1978	−0.20 −0.5	1072	138	7298	451	1276		1241		1395	2424	8516	21234		688	631
1981	+0.01 −0.5	1073	145	7314		1279		1243	1757	1398		8532	21276		689	632
		1074	150	7320			992						21305	209		633
1985	−0.07 +0.4	1075	157	7328	452	1283	994	1249	1762		2435		21327	210	692	634
1990	−0.16 +0.1	—	168	7333		1286	996	1251	1764	1405	2438				693	635
2000	+0.11 +0.5	1086	177	7360	453	1291		1257		1412	2449	8608	21469		694	636
2006	−0.05 −3.9	1087	189	7376		1295		1264		1416	2458	8628	21521	211	696	637
2007	+0.32 −1.2	1078	190	7377	454	1296	1004	1263			2457		21520		697	638
2011	−0.04 +0.3	1079	193	7384	455	1298	1008	1266	1781	1419	2462		21534		701	639
2012	+0.35 —	1090	195	7385		1299				1421	2463	8640	21546		702	640
2015	−0.7	1080	197	7390	456	1300				1422	2464		21561		703	641
2017	+0.06 −3.5	1092	207	7398		1303		1273	1789		2470	8659	21592			642
2020	−0.06 −0.7	1094	216	7413		1307		1279	1795	1429	2480	8676	21638		706	643
2022	+0.08 +2.3	1081	218	7414	458	1308	1015	1278	1794	1428	2478		21634		707	644
2024	−0.26 −1.9	1095	225	7427	459	1312	1017	1281	1799	1432	2483	8696	21685		709	645
		1096	237	7443	461					1437	2492	8721	21748	212	711	646
																647
2033	+0.10 +0.7	1084	245	7456		1316			1811	1442	2495		21786			
2034	+0.09 −0.4	1097	251	7464	462	1318	1018	1285	1813	1444	2497	8743	21805		712	648
		1098	252	7465									21806	213		649
2039	+0.22 −1.3	1099	259	7475	463		1021	1289	1816	1447	2503		21841		713	650

Nr.	Bezeichn.	Gr.	Æ 1755	B.	Ep.	Decl. 1755	B.	Ep.	Praec. 1755	Eigenbeweg.		Mayer's Catalog alte Nr.	Correction $\Delta\alpha$	$\Delta\delta$
651	10 Scorpii ω^2	4.8	$15^h53^m\ 4^s.77$	3	56.4	$-20^\circ 11'\ 4''.0$	(3)	56.4	$+3^s.4882\ -10''.552$	$+0^s.0010$	$-0''.046$	635	$-4''.0$	$-6''.4$
652	12 Scorpii	6.1	57 10.85	4	56.4	−27 45 19.9	(5)	56.4	3.6752 10.245	−0.0065	−0.053	636	+5.4	−5.4
653	13 Scorpii c^1	5.1	57 15.88	5	56.4	−27 15 59.7	(4)	56.4	3.6629 10.239	+0.0002	−0.022	637	+4.3	−6.7
654	−19°4333	4.5	57 46.51	4	56.4	−18 47 28.7	(4)	56.5	3.4619 10.200	−0.001	−0.03	638	−3.1	−6.9
655	14 Scorpii ν	4.0	57 47.74	4	56.4	−18 48 8.2	(5)	56.4	3.4622 10.199	−0.0028	−0.013	639	−3.0	−6.5
656	Lac. 6755	6.4	16 0 5.50	2	56.5	−24 49 57.2	2	56.5	+3.6062 −10.026	−0.004	−0.01	640	+8.1	−6.4
657	Scorpii d	5.5	3 9.42	5	56.4	−27 58 47.5	(5)	56.4	3.6902 9.792	−0.005	−0.13	641	+4.6	−6.4
658	19 Scorpii	5.5	5 56.51	2	56.5	−23 33 19.0	3	56.5	3.5824 9.578	−0.0041	−0.025	642	−0.6	−4.5
659	20 Scorpii σ	3.3	6 20.74	6	56.4	−24 58 52.8	5	57.3	3.6181 9.548	−0.0022	−0.007	643	+3.6	−7.3
660	Lac. 6826	6.2	9 19.36	2	56.5	−29 6 17.7	1	56.5	3.7295 9.318	+0.004	−0.11	644	+3.5	−3.7
661	4 Ophiuchi ψ	5.0	9 48.12	7	56.5	−19 26 28.9	5	56.5	+3.4886 − 9.280	−0.0028	−0.062	645	−4.5	−7.4
662	5 Ophiuchi ϱ	5.0	10 56.42	6	56.4	−22 51 31.9	(6)	56.4	3.5712 9.192	−0.0032	−0.009	646	+1.4	−5.4
663	7 Ophiuchi χ	6.0	12 51.55	7	56.5	−17 52 40.3	(6)	56.5	3.4551 9.042	−0.0038	−0.018	647	−3.3	−4.8
664	21 Scorpii α	1.3	14 25.86	8	56.6	−25 51 51.5	8	56.7	3.6509 8.919	−0.0022	−0.028	648	+3.1	−5.7
665	Lac. 6866	6.5	16 23.29	1	56.5	−25 58 51.3	1	56.5	3.6564 8.765	−0.004	−0.02	649	+1.8	−2.7
666	8 Ophiuchi φ	5.0	17 9.05	6	56.5	−16 3 21.4	5)	56.5	+3.4168 − 8.705	−0.0051	−0.028	650	−2.3	−6.5
667	9 Ophiuchi ω	4.9	17 38.99	6	56.5	−20 55 6.4	(5)	56.5	3.5311 8.666	+0.0001	+0.047	651	−3.1	−6.4
668	23 Scorpii τ	3.3	20 40.53	6	56.5	−27 40 56.9	(6)	56.5	3.7069 8.426	−0.0022	−0.023	652	+2.7	−7.1
669	−17°4606	7.2	24 17.90	1	56.5	−17 42 16.1	1	56.5	+3.4603 8.137	−0.002	−0.01	653	−3.6	−3.5
670	21 Urs. min. η	5.1	24 59			+76 18 30.1	1	56.6	−1.9557 8.082	−0.019	+0.254	S. 27		
671	−20°4537	6.5	26 9.99	1	56.5	−19 54 25.9	1	56.5	+3.5143 − 7.988	−0.001	+0.04	654	−1.8	−7.7
672	−17°4616	7.3	27 7.69	1	56.5	−17 33 37.0	1	56.5	3.4590 7.910	+0.001	+0.02	655	−3.6	−6.9
673	24 Scorpii	5.0	27 26.18	3	56.5	−17 14 41.4	3	56.5	3.4518 7.885	−0.0027	+0.018	656	−2.3	−6.3
674	−19°4406	6.0	27 31.56	1	56.5	−19 25 55.0	1	56.5	3.5040 7.878	−0.001*	+0.057*	657	−5.5	−4.4
675	Lac. 6966	6.4	29 43.19	3	56.5	−28 1 43.8	3	56.5	3.7275 7.701	−0.003	+0.01	658	−2.2	−4.6
676	26 Scorpii ε	2.8	34 20.46	2	56.5	−33 49			+3.9043 − 7.326	−0.0501	−0.271	659	−1.1	
677	18 Ophiuchi	6.8	34 51.54	2	56.5	−24 11 7.0	2	56.5	3.6298 7.285	−0.002*	−0.02*	660	+3.1	−7.5
678	−16°4360	6.9	36 51.79	1	56.5	−16 6 6	1	56.5	3.4310 7.120	0.000	0.00	661	−0.4	−6.4
679	−20°4572	6.6	38 58.95	2	56.5	−19 58 54.9	2	56.5	3.5263 6.946	−0.004	−0.02	662	−4.7	−6.2
680	27 Scorpii	6.0	41 16.09	2	56.5	−32 50 34.7:	2	56.5	3.8830 6.758	−0.003	−0.04	663	−1.5	−0.3
681	24 Ophiuchi	6.1	42 3.54	1	56.5	−22 44 10.9	1	56.5	+3.5984 − 6.693	−0.0004*	−0.01*	664	−0.4	−6.7
682	−19°4471	6.9	42 41.63	1	56.5	−19 7 45.4	1	56.5	3.5078 6.640	−0.001	+0.01	665	−5.6	−7.0
683	Lac. 7082	6.3	44 59.87	2	56.5	−24 41 39.4	2	56.5	3.6524 6.450	−0.0024*	−0.04*	666	+1.7	−5.1
684	26 Ophiuchi	6.1	45 11.15	2	56.5	−24 35 23.4	2	56.5	3.6498 6.435	+0.002*	−0.064*	667	+1.6	−3.1
685	29 Ophiuchi	6.8	47 32.97	1	56.5	−18 30 5.6	1	56.5	3.4954 6.238	−0.0051	+0.004	668	−5.0	−4.5
686	28 Ophiuchi	6.5	48 57.91	2	56.5	−25 19 26.6	2	56.5	+3.6728 − 6.120	−0.003*	0.00*	669	+3.8	−7.4
687	31 Ophiuchi†	6.7	49 41.11	2	56.5	−25 16 14.0	2	56.5	3.6719 6.060	−0.0003*	−0.09*	670	+3.7	−6.1
688	−20°4627	6.5	50 16.31	1	56.5	−20 7 36.3	1	56.5	3.5377 6.011	−0.002	0.00	671	−5.3	−5.2
689	−21°4512	6.7	51 35.76	1	56.5	−21 12 0.5	2	56.5	3.5658 5.900	−0.0048	−0.098	672	−3.8	−6.6
690	Lac. 7137	6.6	51 44.16	3	56.5	−26 9 19.0	3	56.5	3.6979 5.889	−0.001	−0.02	673	+2.5	−4.9
691	−17°4717	6.2	54 2.47	3	56.5	−17 15 38.1	3	56.5	+3.4685 − 5.695	−0.001	−0.01	674	−2.8	−6.1
692	35 Ophiuchi η	2.3	56 21.28	3	56.5	−15 23 51.6	3	56.5	3.4242 5.501	+0.0003	+0.097	675	−1.8	−6.5
693	36 Ophiuchi	5.0	17 0 18.87	4	56.5	−26 13 0.2	4	56.5	3.7064 5.167	−0.0386	−1.138	676	+1.5	
694	Lac. 7203	6.8	1 11.74	1	56.5	−26 9 57.9	1	56.5	3.7057 5.092	−0.040*	−1.139*	677	+1.4	−4.5
695	39 Ophiuchi	5.8	3 5.85	3	56.5	−23 59 36.1	3	56.5	3.6471 4.931	−0.0061	−0.017	678	+2.9	−3.5
696	Lac. 7225	7.1	3 10.96	3	56.5	−23 46 34.5	3	56.5	+3.6412 − 4.924	+0.0051*	−0.08*	679	+2.0	−6.1
697	40 Ophiuchi ξ	5.0	6 20.41	2	56.5	−20 49 31.1	2	56.5	3.5649 4.655	+0.0165	−0.201	680	−4.1	−5.3
698	Lac. 7250	6.9	6 41.83	1	56.5	−24 37 55.8	1	56.5	3.6668 4.625	−0.0071	−0.039	681	+5.2	−6.0
699	42 Ophiuchi o	3.5	6 59.41	4	56.5	−24 43 44.0	4	56.5	3.6696 4.600	−0.0024	−0.035	682	+1.6	−6.5
700	43 Ophiuchi	5.9	7 58.02	1	56.5	−27 52 44.0	1	56.5	3.7594 4.516	−0.0018	−0.031	683	+1.5	−2.1

† Im Bradley-Catalog ist aus Versehen die Fl.-Nr. 31 fortgeblieben.

Bradley Nr.	Bradley Br.–M.	Zach	Piazzi	Taylor	Kbg. 1835	Greenwicher Cataloge 12 y.	6 y.	7 y.	N.7 y.	9 y.	10 y.	Cap 1880	Cord. C. G.	Gotha	Newc. Zod.	Nr.
2040	+0ˢ.05 −1″.4	1100	15ʰ263	7481	464	1324	1022	1290	1817	1449	2505	8764	21849		714	651
2051	+0.28 −2.4	1103	287	7517					1827			8806	21948		717	652
2052	−0.25 −2.2	1104	16ʰ 2	7518		1329		1293			2515	8807	21949		718	653
		1105	3	7520		1330	1028		1829	1456	2516		21953	214		654
2055	+0.06 0.0	1106	4	7521	465	1331	1029	1295	1830	1457	2517	8809	21954	215	719	655
		—	14	7541								8830	22004	216		656
		1111	31	7562							2532	8857	22078	217	724	657
2076	0.00 −0.9	1112	46	7583	469				1849	1471		8881	22146		725	658
2077	−0.24 −1.6	1113	50	7589	470	1346	1039	1311	1851	1472	2538	8887	22158	218	726	659
		—	60	7607							2549	8921	22222	219		660
2082	+0.04 +1.9	—	64	7610	471	1349	1044	1318	1856	1477	2548		22219		728	661
2083	−0.21 −1.6	1116	71	7620	472			1321/2		1480–2			22250/1		729	662
2088	+0.18 −0.3	—	80	7633	474	1354		1325	1860	1484			22280		730	663
2091	−0.13 +1.2	1117	84	7640		1356	1045	1330	1864	1487	2558	8954	22314		731	664
		1119	93	7648	476							8964	22353	220		665
2094	−0.13 −1.5	—	94	7650	477	1365	1052	1337	1872	1494	2565		22358		734	666
2095	+0.02 −1.6	—	96	7654	478	1366	1053	1339	1874	1496	2569		22374		735	667
2103	−0.01 −1.3	—	113	7678	479	1371	1057	1343	1879	1500	2580	8999	22451	221	737	668
		1121	128	7702									22512	222		669
2111	+0.7	—	114	7658		1364	1050	1332	1866	1486	2556					670
		1122	137	7714									22562	223		671
		1123	142	7722									22578	224		672
2114	−0.13 −1.7	1124	143	7723	480	1386	1061		1886	1516	2598	9060	22588		741	673
2115	— +2.4	1125	145	7724						1517	2600		22592		742	674
		1127	159	7745							2609	9081	22634	225		675
2132	+0.01	1130	184	7777		1402	1070	1359	1899	1527	2618	9123	22731	226		676
2135ᵃ	−0.89: —	—	185	7779	482					1528		9124	22733	227	746	677
		1135?	196	7792									22768	228		678
		1136	214	7816	483						2627		22837	229		679
		1138	228	7840								9213	22931	230		680
2148	−0.30 —	—	234	7846	486				1910	1537	2635	9215	22935	231	748	681
		1139	236	7850	487								22944	232		682
2153	−0.20 —	—	248	7864	488			1372	1914	1540	2644	9241	23004	233	750	683
2155	+0.54 +2.1	—	249	7867	489			1373			2645	9244	23009		751	684
2158	+0.08 +0.2	—	261	7883	491				1917	1543	2649		23054		752	685
2159ᵃ	+0.64: —	—	269	7891	492					1548		9282	23092	234		686
2160	−0.45 —	—	271	7898						1550		9291	23106	235	753	687
		1143	273	7903	493	1428	1092						23115	236		688
2162	+0.29 +3.2	1144	281	7916	494				1921	1553		9306	23147		755	689
		—	284	7918								9309	23154	237		690
		—	297	7931	495						2672		23194	238		691
2171	−0.21 0.0	—	306	7948	496	1442	1096	1384	1925	1562	2681	9344	23251		757	692
2176	−0.02 +0.1	1149	17ʰ 17	7978	498	1452/3	1101	1388–90	1930	1569	2692–4	9382	23354 5		759	693
2179	— −2.1	1150	21	7979		1454		1393	1932		2696	9391	23370	239	760	694
2181	−0.06 −2.2	—	32	7989	500	1463	1107			1577	2703	9419	23419		764	695
2182	−0.11 —	—	33	7990		1465				1578		9424	23423		765	696
2186	+0.08 +1.8	—	47	8010	502	1471	1114	1401	1938	1582	2715		23481		766	697
2188	−0.03 −1.3	1153	51	8017				1404	1941	1583		9445	23490		767	698
2189	−0.09 +1.1	1154	53	8020	503	1474	1118	1405	1942	1584	2719	9452	23500		768	699
2192	+0.02 +1.9	—	60	8030	504			1406		1587	2723	9464	23530		769	700

Nr.	Bezeichn.	Gr.	Æ 1755	B.	Ep.	Decl. 1755	B.	Ep.	Praec. 1755		Eigenbeweg.		Mayer's Catalog alte Nr.	Correction $\Delta\alpha$	$\Delta\delta$
701	−21°4597	6.5	17h10m 4s.37	1	56.5	−21°11′15″.4	1	56.5	+3s.5762	−4″.336	−0s.003	−0″.01	684	− 3″.1	− 6″.6
702	Lac. 7279	7.2	10 8.97	2	56.5	−23 59 35.8	2	56.5	3.6513	4.330	−0.0002	+0.004	685	− 0.8	− 4.0
703	44 Ophiuchi	4.9	11 25.83	4	57.1	−23 55 26.0	4	57.5	+3.6501	4.220	−0.0028	−0.120	686	− 0.1	− 4.5
704	22 Urs. min. ε	4.3	11 58			+82 23 51.5	2	56.6	−6.7326	4.175	+0.0090	−0.003	S. 28		
705	51 Ophiuchi	5.1	16 29.27	3	56.5	−23 44 48.2	3	56.5	+3.6479	3.786	−0.0023	−0.012	687	+ 0.9	− 5.1
706	35 Scorpii λ	2.4	17 0	1	56.5	−36 54			+4.0565	−3.743	−0.0013	−0.048	688	− 5	
707	−17°4841	7.0	18 44.72	1	56.5	−17 17 39.9	1	56.5	3.4797	3.592	0.000	+0.03	689	− 3.9	− 6.2
708	52 Ophiuchi	6.5	20 35.27	1	56.5	−21 51 8.9	1	56.5	3.5985	3.433	−0.0028	−0.042	690	− 2.9	− 4.6
709	−15°4622	6.5	23 33.79	2	56.5	−15 23 49.5	2	56.5	3.4337	3.176	−0.003	+0.03	691	− 2.2	− 6.2
710	55 Serpent. ξ	3.6	23 34.46	3	57.8	−15 13 11.7	3	57.8	3.4293	3.176	−0.0050	−0.047	693	− 3.4	− 5.1
711	55 Ophiuchi α	2.0	23 35.00	4	56.5	+12 45 25.7	4	56.5	+2.7709	−3.176	+0.0066	−0.217	692	− 0.4	− 5.3
712	23 Dracon. β	2.6	24 54.91	3	56.6	+52 29 31.8	7	56.6	1.3476	3.060	−0.0020	+0.004	694	−34.4	− 2.6
713	−15°4655	7.3	28 37.27	1	56.5	−15 24 48.7	1	56.5	3.4353	2.738	−0.001	0.00	695	− 2.5	− 6.6
714	58 Ophiuchi	5.2	28 46			−21 32 17.0	1	56.5	3.5930	2.726	−0.0071	−0.043	696	−18	− 6.8
715	3 Sagittar.(X)	4–6	32 9.47	3	56.5	−27 42 36.8	4	56.5	3.7674	2.432	−0.0033	−0.014	697	+ 3.2	− 3.3
716	Lac. 7450	6.7	33 9.22	1	56.5	−26 51 30.6	1	56.5	+3.7427	−2.346	−0.001	−0.04	698	+ 1.3	− 4.7
717	−22°4436	7.0	36 16.75	1	56.5	−22 49 5.8	1	56.5	3.6298	2.073	0.000	−0.08	699	+ 3.8	− 4.4
718	17°3334	5.5	36 20.50	1	56.5	+17 48 20.7	1	56.5	2.6427	2.068	−0.008	0.00	S. 29		
719	−19°4728	6.7	37 53.49	1	56.5	−19 1 53.3	1	56.5	3.5292	1.932	−0.001	−0.02	700	− 0.8	− 5.6
720	−10°4560	6.5	39 27.57	1	56.5	−10 48 55.1	1	56.5	3.3245	1.796	+0.002	−0.03	701	− 1.5	− 8.6
721	−11°4475	6.5	40 29.50	1	56.5	−11 15 43.2	1	56.5	+3.3354	−1.706	−0.002	+0.01	702	− 1.9	− 8.8
722	−18°4686	6.0	41 31.10	2	56.5	−18 44 4.0	2	56.5	3.5222	1.616	−0.001	+0.01	703	− 2.7	− 6.6
723	−21°4779	7.2	41 37.63	1	56.5	−21 53 11.1	1	56.5	3.6056	1.607	−0.003	−0.08	704	− 2.3	−15.7
724	−15°4722	5.9	42 14.21	2	56.5	−15 44 38.6	2	56.5	3.4460	1.553	−0.003	−0.07	705	− 0.1	− 7.8
725	4 Sagittar.	5.2	44 50.87	3	56.5	−23 46 1.4	4	56.5	3.6577	1.326	−0.0013	−0.054	706	+ 1.1	− 4.8
726	5 Sagittar.	7.1	45 11.13	1	56.5	−24 14 13.9	1	56.5	+3.6709	−1.296	−0.0008*	−0.05*	707	+ 5.4	− 8.4
727	−20°4940	6.5	45 26.16	1	56.5	−20 17 42.5	1	56.5	3.5636	1.274	−0.001	0.00	708	0.0	− 8.2
728	−22°4503	6.0	47 4.35	2	56.5	−22 44 51.5	2	56.5	3.6300	1.131	−0.002	+0.01	709	+ 1.1	− 5.5
729	7 Sagittar.	6.0	47 51.12	2	56.5	−24 15 14.6	2	56.5	3.6718	1.063	−0.0029	−0.004	710	+ 2.2	− 4.8
730	−22°4516	7.3	48 11.99	2	56.5	−22 41 30.0	2	56.5	3.6286	1.033	−0.001	−0.01	711	+ 1.0	− 5.9
731	9 Sagittar.	6	48 51.79	2	56.5	−24 20 18.7	2	56.5	+3.6743	−0.975	−0.0031	−0.005	712	+ 2.7	− 4.5
732	10 Sagittar. γ	3.2	50 4.70	2	57.1	−30 23 56.8	2	57.1	3.8540	0.868	−0.0054	−0.211	713	+ 0.4	− 1.8
733	33 Dracon. γ	2.3	50 55.63	6	56.7	+51 31 38.5	11	56.7	1.3880	0.794	−0.0017	−0.028	714	−19.8	− 4.5
734	−21°4855	6.4	52 30.16	1	56.5	−21 26 35.6	1	56.5	3.5951	0.656	−0.002	0.00	715	− 4.1	− 5.4
735	Lac. 7579	5.4	52 34.35	1	56.5	−28 27 18.7	1	56.5	3.7945	0.650	+0.001	−0.06	716	+ 0.8	− 3.2
736	Lac. 7590	6.2	54 18.18	2	56.5	−30 44 20.8	2	56.5	+3.8652	−0.499	−0.001	−0.04	717	+ 2.4	− 3.9
737	Lac. 7613	5.9	56 46.53	3	56.5	−23 43 26.5	3	56.5	3.6578	0.282	+0.0011*	−0.05*	718	+ 3.6	− 5.3
738	13 Sagittar. μ	4.1	59 7.10	5	56.9	−21 5 48.8	3	56.9	3.5860	0.077	−0.0014	+0.001	719	− 3.1	− 4.4
739	14 Sagittar.	6.0	59 33.09	2	56.5	−21 45 7.3	2	56.5	3.6037	−0.039	−0.0032	−0.021	720	+ 1.8	− 6.6
740	15 Sagittar.	5.5	18 0 36.27	7	56.8	−20 46 32.3	3	56.8	3.5774	+0.053	−0.0018	+0.009	721	− 2.1	− 6.9
741	16 Sagittar.	6.3	0 38.18	2	56.5	−20 26 5.9	3	56.5	+3.5684	+0.056	−0.0018	−0.014	722	− 4.6	− 6.5
742	19 Sagittar. δ	3.1	5 18.60	5	56.6	−29 54 15.5	7	56.7	3.8391	0.465	+0.0014	−0.029	723	+ 4.6	− 5.1
743	54°1950	6.0	5 31			+54 13 20.2	1	56.6	1.2144	0.482	+0.013	+0.23	S. 30		
744	20 Sagittar. ε	2.4	7 54.85	7	56.7	−34 28			3.9877	0.692	−0.0043	−0.149	724	+ 4.7	
745	21 Sagittar.	4.9	10 45.60	1	56.5	−20 38 48.7	2	56.5	3.5735	0.942	−0.0019	−0.004	725	− 2.9	− 5.6
746	22 Sagittar. λ	2.9	12 51.16	9	57.8	−25 31 49.9	8	57.7	+3.7079	+1.125	−0.0052	−0.198	726	+ 3.7	− 5.4
747	Lac. 7738	7.0	14 15.24	3	56.5	−25 23 8.2	3	56.5	3.7035	1.247	−0.001	−0.02	727	+ 1.2	− 7.2
748	−18°4982	6.5	15 47.53	4	56.8	−18 51 35.0	4	56.8	3.5258	1.382	+0.002	−0.08	728	− 6.0	− 6.4
749	−18°4986	7.5	16 56.66	3	56.5	−19 2 19.0	2	56.5	3.5303	1.482	−0.011	−0.20	729	− 5.7	− 8.1
750	−18°4988	6.0	17 4.78	4	56.8	−18 32 42.9	4	56.8	3.5175	1.494	−0.001	−0.02	730	− 4.6	− 5.9

Bradley Nr.	Bradley Br.−M.	Zach	Piazzi	Taylor	Kbg. 1835	Greenwicher Cataloge 12 y.	6 y.	7 y.	N. 7 y.	9 y.	10 y.	Cap 1880	Cord. C. G.	Gotha	Newc. Zod.	Nr.
		1157	17h 76	8047	505						2725		23577	240		701
2196	+0s.22 +0″.1	1158	77	8049	506	1478						9483	23583	241	770	702
2198	+0.14 −0.1	1159	83	8055	507	1482	1120	1407	1946	1592	2728	9503	23614	242	771	703
2201	−0.1	—	36	7959		1444	1095	1383	1924	1556	2661				756	704
2209	+0.08 −2.4	—	115	8093	508	1496	1128	1411		1597	2747	9544	23739	243	773	705
2210		1162	121	8103		1498	1129			1600		9562	23778			706
		—	128	8109									23797	244		707
2212	+0.16 +1.0	1166	140	8125	510				1954				23836	245	774	708
		—	156	8138		1510							23880	246		709
2217	−0.01 −1.2	—	157	8139		1509	1140	1420	1959	1606		9601	23879			710
2218	−0.60 +2.0	—	153	8134		1508	1139	1416	1957	1604	2766	9591			776	711
2221	−0.18 +1.0	—	155	8130		1504	1135	1415	1955	1603	2759				775	712
		—	188	8181									24015	247		713
2226	−0.1	1171	192	8184	513	1522	1146	1427	1967	1613	2782	9653	24030	248	780	714
2230	−0.05 −0.2	1173	217	8215	515	1527		1431		1625	2800	9679	24120	249	782	715
		1174	223	8226	516							9691	24156	250		716
		1177	247	8244									24235	252		717
		—	—	—							2806			251		718
		1180	257	8255									24261	253		719
		—	265	8263				1437					24291	254		720
		—	270	8271									24311	255		721
		1183	277	8283							2826		24337	256	786	722
		1184	279	8285									24345	257		723
		—	281	8288					1979				24357	258		724
2246	−0.18 +0.2	1187	299	8306	518	1541	1158	1440	1983	1636	2836	9803	24438		788	725
2247	−0.12 —	1188	302	8309	519				1984			9805	24449		789	726
		1189	304	8310	520						2837		24451	259		727
		1191	312	8322		1548				1640			24498	260		728
2255	−0.08 +0.3	1193	321	8332		1556			1988			9820	24526		792	729
		1194	326	8336									24528	261		730
2260	+0.06 −1.3	1196	332	8342	522	1559	1169			1646	2855	9827	24550		795	731
2266	−0.08 +0.8	1201	343	8358		1562	1172	1455	1996	1650		9852	24596		798	732
2267	−0.01 +0.7	—	335	8333		1552	1166	1445	1985	1639	2840				791	733
		—	356	8374	524	1568	1175						24638	262		734
		1202	359	8376	525			1458		1656	2871	9869	24649	263	799	735
		1204	367	8393				1461	2001	1661		9891	24708	264		736
2276	+0.10 —	1205	386	8410	526					1664	2884	9907	24755		800	737
2284	−0.12 −1.5	1206	18h 7	8419	527	1578	1181	1464	2010	1666	2890	9932	24812		801	738
2286	+0.06 −2.1	1207	8	8422	528	1579	1182				2891		24817		802	739
2288	+0.03 +0.1	1209	14	8428	529	1582	1183	1466	2012		2895		24850		803	740
2289	+0.45 +0.3	1210	15	8429	530				2013		2897		24854		804	741
2294	+0.02 −1.1	1213	32	8449		1587		1473	2019	1675	2916	9992	24987		808	742
		—	—	—		1585					2896			265		743
2297	−0.37	1216	46	8471		1595	1197	1480		1681	2925	10015	25060			744
2303	+0.12 −3.9	1218	58	8483	534	1598			2031	1685	2935		25108		811	745
2310	−0.09 +0.7	1219	66	8494	535	1602	1201	1487	2033	1691	2943	10049	25171		812	746
		1221	75	8504								10064	25217	266		747
		1224	82	8517	536						2956		25257	267	814	748
		1225	88	8523	537						2959		25283	268		749
		1226	92	8527		1611					2960		25285	269	815	750

Nr.	Bezeichn.	Gr.	Æ 1755	B.	Ep.	Decl. 1755	B.	Ep.	Praec. 1755		Eigenbeweg.		Mayer's Catalog alte Nr.	Correction $\Delta\alpha$	$\Delta\delta$
751	−19° 5059	8.0	18h18m 3s.86	3	56.5	−19° 7′22″.5	3	56.5	+3s.5323	+1″.580	0s.000	+0″.01	731	−10″.6	− 6″.3
752	−14° 5099	6.0	18 43.77	1	56.7	−15 1 11.8	1	56.7	3.4277	1.638	−0.0020*	+0.02*	732	− 3.3	− 5.8
753	−18° 4994	7.1	18 48.48	1	56.5	−18 31 18.2	1	56.5	3.5166	1.645	0.000	−0.02	733	− 3.1	− 8.6
754	24 Sagittar.	6.0	18 55.33	1	57.6	−24 11 22.4	1	57.6	3.6688	1.655	−0.0022	+0.004	734	+ 5.2	− 1.3
755	25 Sagittar.	6.6	19 33.50	1	57.6	−24 22 58.3	1	57.6	3.6741	1.710	−0.004*	+0.001*	735	+ 5.4	+ 1.4
756	−14° 5106	6.0	19 39.19	1	56.7	−15 0 43.6	1	56.7	+3.4274	+1.719	−0.0014*	0.00*	736	− 1.5	− 3.9
757	−19° 5077	7.0	20 56.27	3	56.5	−19 26 6.7	3	56.5	3.5400	1.831	+0.001	−0.01	737	− 6.1	− 6.8
758	−19° 5097	7.6	22 40.74	2	56.5	−19 23 15.0	3	56.5	3.5384	1.982	−0.001	+0.02	738	− 6.2	− 7.1
759	−21° 5076	6.5	23 13.69	3	57.0	−21 34 28.2	3	56.9	3.5962	2.031	−0.0021*	−0.08*	739	− 3.9	− 4.9
760	Lac. 7806	6.1	23 36.79	1	56.7	−23 41 17.7	1	56.7	3.6537	2.063	−0.0024	−0.009	740	+ 3.9	− 5.7
761	−17° 5271	7.0	23 37.76	3	56.5	−17 24 51.0	3	56.5	+3.4873	+2.065	−0.002	+0.01	741	− 5.1	− 6.2
762	−21° 5081	6.2	24 16.52	3	56.6	−21 13 44.3	3	56.6	3.5867	2.122	−0.0066*	−0.15*	742	− 3.6	−16.7
763	52° 2232	6.5	26 35.54	3	56.6	+51 56 30.5	4	56.6	1.3729	2.323	−0.002	−0.04	S. 31		
764	52° 2238	5.5	28 23.70	2	56.6	+52 10 5.6	6	56.6	1.3606	2.478	+0.003	0.00	S. 32		
765	3 Lyrae α	1	28 38.75	12	56.8	+38 34 8.5	14	56.8	2.0116	2.501	+0.0173	+0.295	743	+ 9.4	− 4.8
766	27 Sagittar. φ	3.6	30 20.55	8	58.2	−27 12 57.7	10	57.9	+3.7519	+2.649	+0.0014	−0.019	744	+ 1.6	− 4.1
767	−19° 5154	6.8	31 32.76	1	56.7	−19 50 14.5	1	56.7	3.5480	2.753	−0.002	+0.03	745	− 4.8	− 6.0
768	−20° 5268	7.7	33 19.90	2	56.5	−20 30 51.0	2	56.5	3.5652	2.908	−0.0013*	−0.03*	746	+10.4	− 7.8
769	29 Sagittar.	5.9	35 7.35	10	57.5	−20 34 41.4	9	57.6	3.5663	3.063	−0.0017	+0.043	747	− 4.6	− 6.1
770	30 Sagittar.	6.3	36 6.69	2	56.7	−22 25 5.6	2	56.6	3.6149	3.149	−0.0060	−0.028	748	− 1.3	− 6.3
771	31 Sagittar.	6.6	37 25.19	2	56.7	−22 10 58.0	2	56.6	+3.6082	+3.262	−0.0008	−0.033	749	− 2.3	− 6.7
772	33 Sagittar.	6.2	39 20.93	1	56.7	−21 38 7.5	1	56.7	3.5927	3.428	−0.0017	+0.016	750	− 4.7	− 5.9
773	32 Sagittar. ν^1	5.1	39 22.39	7	56.7	−23 1 15.7	7	56.7	3.6300	3.430	−0.0028	−0.019	751	0.0	− 5.2
774	34 Sagittar. σ	2.3	40 3.86	9	58.2	−26 34 28.6	9	58.1	3.7289	3.490	−0.0012	−0.067	752	+ 1.5	− 5.6
775	35 Sagittar. ν^2	5.1	40 18.08	7	56.8	−22 57 7.4	7	56.7	3.6277	3.510	+0.0050	−0.010	753	− 0.8	− 6.6
776	36 Sagittar.	6.0	42 46.26	3	56.5	−20 57 7.5	3	56.5	+3.5732	+3.723	−0.0033	−0.015	754	− 4.5	− 8.1
777	37 Sagittar. ξ	3.9	43 6.30	7	57.7	−21 24 12.4	7	57.3	3.5850	3.752	−0.0005	−0.006	755	− 3.6	− 7.7
778	−20° 5344	7.8	43 38.7	1	56.6	−20 43 33.3	1	56.6	3.5670	3.798	−0.001	+0.04	756	− 4	− 7.9
779	−22° 4946	6.5	46 51.24	1	56.5	−23 0 57.3	1	56.5	3.6264	4.074	−0.003	+0.02	757	− 2.4	− 6.0
780	38 Sagittar. ζ	3.2	47 0.39	9	57.4	−30 12 14.0	9	57.3	3.8323	4.087	−0.0040	+0.009	758	+ 0.3	− 5.9
781	Lac. 7968	6.1	47 27.59	1	56.6	−25 9 32.2	1	56.6	+3.6849	+4.126	−0.005	−0.18	759		− 6.8
782	39 Sagittar. ο	4.0	49 59.39	9	57.6	−22 4 32.5	9	57.3	+3.5996	4.342	+0.0029	−0.057	760	− 4.0	− 6.0
783	23 Urs. min. δ	4.3	50 36			+86 30 49.0	3	56.6	− 18.3550	4.394	+0.0328	+0.034	S. 33		
784	40 Sagittar. ι	3.7	51 37.95	7	56.9	−28 0 7.3	7	56.9	+3.7633	4.482	−0.0072	−0.255	761	+ 2.4	− 4.2
785	Lac. 7996	6.5	52 4.21	1	56.5	−28 59 12.5	1	56.5	3.7920	4.520	−0.003	−0.02	762	+ 2.9	− 9.7
786	−22° 4977	7.2	52 13.48	1	56.7	−22 50 56.4	1	56.7	+3.6190	+4.533	−0.001	+0.02	763	− 1.9	− 6.3
787	Lac. 8009	6.7	53 15.79	3	56.6	−25 0 49.0	3	56.6	3.6773	4.621	−0.003	−0.03	764	+ 1.1	− 7.4
788	41 Sagittar. π	3.1	55 10.88	9	57.3	−21 23 19.4	9	57.3	3.5788	4.785	−0.0022	−0.034	765	− 3.9	− 6.9
789	−20° 5415	6.5	55 20.31	3	56.6	−20 9 57.0	3	56.6	3.5470	4.798	+0.001	−0.08	766	− 6.2	− 5.8
790	−21° 5292	7.0	57 48.95	1	56.7	−22 2 24.9	1	56.7	3.5944	5.008	0.000	+0.01	767	− 3.3	− 6.3
791	−14° 5317	6.8	57 58.08	1	56.7	−14 58 2.7	1	56.7	+3.4162	+5.022	−0.001	+0.04	768	− 1.7	− 5.2
792	Lac. 8033	6.3	58 7.57	2	57.1	−26 17 31.3	2	57.1	3.7097	5.035	−0.004	−0.01	769	− 0.7	−12.5
793	42 Sagittar. ψ	5.8	19 0 30.18	7	58.4	−25 39 13.5	8	57.8	3.6901	5.235	+0.0004	−0.029	770	− 0.9	− 5.6
794	Lac. 8054	6.7	0 36.78	1	56.5	−24 34 16.8	1	56.5	3.6603	5.245	+0.007	−0.13	771	− 0.1	− 6.0
795	−17° 5535	6.8	0 38.2	1	56.7	−17 44 42.7	1	56.7	3.4831	5.247	−0.001	+0.03	772	− 5	− 5.6
796	43 Sagittar. d	5.0	3 17.11	6	56.9	−19 21 57.4	6	56.9	+3.5223	+5.471	−0.0024	−0.004	773	− 6.6	− 8.7
797	−19° 5387	8.0	3 50.50	3	56.6	−19 16 45.0	2	56.6	3.5198	5.517	−0.001	−0.01	774	− 6.6	− 7.3
798	−15° 5310	6.0	5 1.36	1	56.5	−15 56 19.4	1	56.5	3.4367	5.616	−0.009	−0.26	775	− 2.2	− 8.7
799	−22° 5063	6.4	5 56.48	2	56.7	−22 50 2.7	2	56.7	3.6100	5.694	−0.004	+0.05	776	+ 0.3	− 7.1
800	44 Sagittar. ρ	4.0	7 26.79	5	57.0	−18 17 5.9	6	57.0	3.4930	5.820	−0.0033	+0.026	777	− 6.4	− 7.7

Bradley Nr.	Br.—M.	Zach	Piazzi	Taylor	Kbg. 1835	Greenwicher Cataloge 12 y.	6 y.	7 y.	N. 7 y.	9 y.	10 y.	Cap 1880	Cord. C. G.	Gotha	Newc. Zod.	Nr.
		1227	18h 95	8533									25316	270		751
2323	+0s.27 —	—	101	8541		1613					2964		25328			752
		1230	102	8543		1615							25331	271		753
2324	+0.03 +2″.4	1229	105	8546				1497	2047		2965	10107	25344		817	754
2326	(—1.04) —2.3	1232	108	8549				1498				10110	25355		818	755
2327	+0.33 —	—	107	8548		1616					2966		25347			756
		1233	112	8556	538								25376	273		757
		1234	121	8567									25410	274		758
2332	+0.70 —	1236	125	8569		1624					2974		25424		820	759
2333	—0.30 +1.0	1238	129	8571		1627				1702		10145	25435		821	760
		—	128	8570		1625							25427	275		761
2335	+0.21 —	1239	131	8575		1628					2981		25455		822	762
		—	—	—												763
		—	—	—				1500								764
2341	+0.05 +1.2	—	143	8584		1634	1212	1501	2050	1703	2984	10163			823	765
2344	+0.01 +1.7	1244	159	8610	540	1637	1214	1503	2053	1711	2995	10204	25614		826	766
		1245	162	8616									25639	277		767
2347	—0.10 —	1247	175	8628						1715	3008		25688		828	768
2352	+0.10 —0.2	1248	185	8644	542	1649			2063	1717	3016		25735		829	769
2353	+0.05 +2.0	1249	196	8653	543				2065				25767		830	770
2359	+0.01 —4.2	1250	202	8658	544	1650				1719			25803		831	771
2363	+0.23 —0.2	1251	210	8674	545				2073		3028		25849		833	772
2364	—0.14 +1.5	1252	211	8676	546	1654	1222	1520	2074			10278	25853		834	773
2365	—0.05 +1.1	1253	218	8679	547	1655	1223	1521	2076	1723	3029	10284	25874		835	774
2366	—0.10 —1.2	1254	219	8680	548	1656		1522	2077			10287	25876		836	775
2372	+0.32 +2.4	1257	231	8694	550						3038		25919		839	776
2373	+0.07 —0.8	1258	233	8698	551	1661	1225	1533	2088	1727	3046	10308	25927		840	777
		1259	238	8706									25943	278		778
		1261	255	8727	552							10341	26022	279		779
2384	+0.12 +0.6	1262	257	8730		1671	1230	1540			3065	10349	26041		842	780
		1263	261	8733	553						3066	10352	26045	280		781
2393	+0.12 +0.4	1265	278	8754	554	1674	1232		2101	1738	3077	10365	26102		811	782
2395	+1.2	—	178	8554		1610	1202	1484	2030	1677	2908				813	783
2397	—0.17 —1.4	1266	292	8766	555	1679		1544		1741	3084	10381	26149		846	784
		1267	293	8771		1681						10386	26161	282		785
		1268	294	8770	556						3085	10383	26154	281		786
		1269	301	8778	557	1685						10397	26182	283		787
2406	+0.05 +0.1	1270	315	8791	558	1687	1237	1548	2107	1747	3096	10411	26225		849	788
		1271	316	8793	559								26228	284		789
		1272	19h 4	8810	560						3105		26296	286		790
		1273	5	8809									26291	285		791
		1274	7	8816	561						3106	10430	26309	287		792
2418	—0.10 —0.3	1276	21	8831	562		1243	1550	2112	1752	3115	10446	26371		850	793
		1277	22	8832	563						3116	10447	26373	289		794
		—	20	8829									26363	288		795
2423	+0.14 +1.9	1278	35	8843	564	1694	1244	1555	2117	1756	3124	10458	26414		851	796
		1279	39	8850		1697	1246						26426	290		797
		1280	50	8861		1701		1557					26446	291		798
		1281	61	8872/4	566					1762		10480	26474	292	853	799
2434	+0.17 —0.5	1283	69	8884	568	1716	1252	1563	2124	1766	3141	10493	26508		855	800

† Str. 2119.

Nr.	Bezeichn.	Gr.	Æ 1755	B.	Ep.	Decl. 1755	B.	Ep.	Praec. 1755	Eigenbeweg.		Mayer's Catalog alte Nr.	Correction $\Delta\alpha$	$\Delta\delta$
801	45 Sagittar.	6.4	$19^h\ 7^m 32^s.31$	5	57.1	$-18°44'22''.6$	6	57.0	$+3^s.5042$	$+0^s.0055$	$-0''.065$	778	$-6''.6$	$-7''.2$
802	46 Sagittar. v	4.6	7 41.03	2	56.5	−16 23 30.8	3	56.9	3.4464 + 5″.840	−0.0013	−0.009	779	− 4.4	− 7.6
803	47 Sagittar. χ	5.7	10 20.83	4	58.4	−24 57 35.7	4	57.8	3.6635 + 6.062	+0.0023	−0.049	780	− 2.5	− 6.7
804	49 Sagittar.	6.0	10 39.06	5	57.0	−24 25 3.3	5	57.0	3.6486 + 6.089	−0.0034	−0.005	781	− 0.1	− 8.7
805	50 Sagittar.	6.0	11 41.30	2	56.7	−22 14 14.9	2	56.7	3.5903 + 6.175	−0.0002	−0.001	782	− 4.8	− 5.7
806	−15°5348	6.5	12 13.89	1	56.7	−15 30 57.0	1	56.7	+3.4230 + 6.220	+0.001	+0.02	783	+ 1.3	+204.1
807	−15°5362	7.2	14 38.66	2	56.7	−15 34 42.0	2	56.7	3.4233 + 6.420	−0.003	+0.02	785	− 0.6	− 7.7
808	Lac. 8123	6	14 41.61	1	56.5	−27 27 40.1	1	56.5	3.7286 + 6.424	−0.002	−0.06	786	+ 2.6	− 7.1
809	−15°5366	7.1	15 35.5	1	56.7	−15 50 23.2	1	56.7	3.4290 + 6.499	0.000	0.00	787	− 4	− 7.0
810	−21°3410	6.5	16 19.95	2	56.7	−21 47 53.8	1	56.7	3.5755 + 6.560	0.000	−0.01	788	−13.1	− 9.4
811	Lac. 8154	6.9	19 45.62	4	56.7	−24 21 54.3	4	56.7	+3.6395 + 6.843	−0.003	−0.03	790	+ 0.5	− 7.6
812	51 Sagittar.	5 var?	21 7.91	5	56.9	−25 13 55.0	5	56.9	3.6612 + 6.955	−0.0007	−0.021	791	− 0.8	− 7.4
813	52 Sagittar. h	4.6	21 46.71	7	58.2	−25 24 3.1	8	57.9	3.6651 + 7.008	+0.0016	−0.010	792	− 1.2	− 5.4
814	−19°5521	5.8	22 6.99	1	56.7	−19 22 18.7	2	56.7	3.5104 + 7.038	0.000	+0.03	793	− 6.7	−14.8
815	−18°5432	5.4	22 49.24	1	56.7	−18 45 10.6	1	56.7	3.4948 + 7.094	0.000	0.00	794	− 6.0	− 6.3
816	53 Sagittar.	6.9	25 4.68	1	56.6	−23 57 44.2	1	56.6	+3.6239 + 7.279	−0.0029	−0.046	795	+ 0.3	− 8.4
817	Lac. 8183	6.4	25 22.32	1	56.6	−23 57 55.3	1	56.6	3.6238 + 7.302	+0.0001	+0.007	796	+ 0.4	− 8.8
818	54 Sagittar.	6.0	26 40.25	14	56.9	−16 49 57.4	13	56.9	3.4461 + 7.408	+0.0026	−0.039	797	− 2.7	− 6.3
819	55 Sagittar. e	5.0	28 29.23	13	57.2	−16 40 34.7	14	57.2	3.4412 + 7.556	+0.0027	−0.007	798	− 2.2	− 7.0
820	−15°5444	6.0	29 34.11	11	56.8	−16 0 58.1	11	56.9	3.4250 + 7.644	+0.008	−0.17	799	− 1.8	− 7.5
821	47 Aquilae χ	5.8	31 2.75	2	56.7	+11 6 3.9	2	56.7	+2.8242 + 7.763	−0.0018	+0.017	S. 34		
822	56 Sagittar. f	5.1	32 2.96	13	57.5	−20 19 40.8	13	57.2	3.5261 + 7.844	−0.0114	−0.078	800	− 5.7	− 8.1
823	−21°5522	6.8	33 32.39	1	56.6	−21 32 17.2	1	56.6	3.5546 + 7.964	−0.003	0.00	801	− 3.7	− 9.6
824	−14°5555	6.4	34 16.14	1	56.7	−14 17 7.2	1	56.7	3.3822 + 8.022	0.000	−0.01	802	− 4.8	− 8.9
825	50 Aquilae γ	3.0	34 36.86	10	56.8	+10 2 3.2	13	56.8	2.8532 + 8.050	−0.0005	+0.008	S. 35		
826	−12°5541	6.5	35 11.40	1	56.7	−12 54 24.3	1	56.7	+3.3504 + 8.096	−0.001	+0.01	803	− 6.3	− 7.8
827	53 Aquilae α	1.3	38 49.59	25	57.1	+ 8 14 23.0	30	57.1	2.8940 + 8.387	+0.0351	+0.384	804	− 2.6	− 4.4
828	58 Sagittar. ω	5.1	40 48.03	3	58.6	−26 55 35.9	3	57.9	3.6847 + 8.543	+0.0127	+0.093	805	− 1.4	− 9.9
829	59 Sagittar. b	5.0	41 52.92	6	57.2	−27 47 45.4	6	57.2	3.7066 + 8.629	−0.0023	−0.024	806	− 0.6	− 7.3
830	59 Aquilae ξ	5.1	42 22.33	2	56.7	+ 7 50 42.4	3	56.7	2.9037 + 8.667	+0.0056	−0.068	S. 37		
831	6°4351	7.0	42 41.83	1	56.7	+ 6 31 1.8	1	56.7	+2.9323 + 8.693	−0.004	+0.02	S. 36		
832	60 Aquilae β	4.0	43 16.57	15	56.8	+ 5 48 46.5	14	56.8	2.9474 + 8.739	+0.0007	−0.473	S. 38		
833	60 Sagittar. A	5.1	43 59.87	5	58.2	−26 50 7.4	4	57.9	3.6782 + 8.795	0.0000	+0.034	807	− 1.6	− 5.9
834	61 Sagittar. g	5.6	44 1.99	6	57.4	−16 7 13.9	6	57.6	3.4174 + 8.799	−0.0014	−0.081	808	− 3.6	− 8.8
835	62 Sagittar. c	5.0	47 33.78	12	57.0	−28 22 5.9	13	57.0	3.7142 + 9.074	+0.0004	+0.024	809	+ 2.5	− 5.4
836	63 Sagittar.	6.0	48 13.97	1	56.7	−14 17 44.5	1	56.7	+3.3735 + 9.127	+0.0002	+0.025	810	+ 2.1	− 4.1
837	−22°5318	6.8	49 11.54	1	56.7	−23 15 42.5	1	56.7	3.5810 + 9.202	−0.006	+0.04	811	− 2.4	− 8.2
838	−15°5541	7.2	49 39.62	1	56.7	−16 4 42.5	1	56.6	3.4122 + 9.238	0.000	+0.01	812	− 3.3	− 9.9
839	−21°5609	7.0	50 31			−21 59 1	1	56.7	3.5484 + 9.305	−0.001	−0.01	813	+ 1	− 4
840	64 Sagittar.	6.4	51 32.57	2	56.8	−12 16 23.1	2	56.8	3.3272 + 9.385	−0.0025	−0.009	814	− 2.5	− 7.6
841	65 Sagittar.	6.3	51 47.75	3	56.7	−13 20 15.4	3	56.7	+3.3501 + 9.404	−0.0027	−0.018	815	− 0.7	− 7.2
842	−19°5721	7.0	54 1.96	5	56.7	−19 29 31.4	5	56.7	3.4860 + 9.577	0.000	+0.01	816	− 3.8	− 6.4
843	−15°5564	6.6	54 38.23	1	56.6	−15 42 48.8	1	56.6	3.4002 + 9.623	+0.001	−0.12	817	− 2.6	− 9.8
844	−10°5285	6.0	55 6.93	1	56.8	−10 45 8.6	1	56.8	3.2926 + 9.660	−0.003	−0.02	818	− 1.3	− 7.0
845	−21°5629	7.2	55 12.54	1	56.7	−21 16 59.7:	1	56.7	3.5266 + 9.667	0.000	−0.06	819	− 3.0	−18.2
846	−19°5731	7.0	56 11.83	1	56.7	−20 4 33.8	1	56.7	+3.4974 + 9.743	+0.001	−0.08	820	− 7.2	− 9.2
847	1 Capric.	6.7	58 21.99	11	56.7	−13 6 2.2	9	56.7	3.3406 + 9.908	−0.0028	−0.012	821	− 2.9	− 7.4
848	2 Capric. ξ	6.0	58 45.57	10	56.7	−13 18 57.1	10	56.7	3.3450 + 9.938	+0.0108	−0.180	822	− 2.8	− 7.0
849	3 Capric.	6.7	20 2 47.73	10	56.7	−13 4 2.6	11	56.7	3.3369 + 10.244	−0.0014	+0.002	823	− 2.3	− 7.4
850	5 Capric. α^1	4.3	4 2.92	10	56.7	−13 14 45.9	11	56.7	3.3398 + 10.338	−0.0008	+0.026	824	− 2.8	− 7.7

Bradley Nr.	Bradley Br.−M.	Zach	Piazzi	Taylor	Kbg. 1835	Greenwicher Cataloge 12 y.	6 y.	7 y.	N. 7 y.	9 y.	10 y.	Cap 1880	Cord. C. G.	Gotha	Newc. Zod.	Nr.
2436	+0ˢ.26 −0″.9	1284	19ʰ 70	8886	569	1717					3144		26509		856	801
2437	−0.02 +0.9	1285	71	8887	570	1718		1564	2125		3145		26510		857	802
2445	−0.07 +1.1	1287	93	8911	572	1723		1566	2129	1770	3153	10514	26592		859	803
2446	−0.29 −1.2	1289	96	8915	573			1567			3156	10517	26601		861	804
2448	+0.15 −1.6	1291	103	8918	574				2132	1773		10520	26613		862	805
		1292	107	8923	575	1728					3161		26619	293	863	806
		1295	124	8946									26668	294		807
		1296	126	8948	576			1573		1778		10537	26682	295	867	808
		1297	132	8954									26695	296		809
		1298	138	8959	577					1780	3180		26724	297		810
		1301	159	8984	578							10569	26802	298	868	811
2475	−0.27 −1.2	1302	168	8993	581	1750		1581	2151			10580	26827		869	812
2478	−0.17 +1.0	1303	174	8996	582	1751	1271	1582	2152	1790	3197	10584	26843			813
		1304	176	8998	583						3198		26844	299	870	814
		1305	180	9005	584						3201		26855	300	871	815
2486	+0.03 +3.9	1306	199	9025	585				2159			10606	26915		873	816
2488	−0.37 −4.1	1307	201	9029	586				2160			10608	26921		874	817
2490	+0.07 −1.4	1308	214	9038	587	1758	1274		2164	1800	3219	10613	26949		875	818
2494	+0.05 +1.3	1309	222	9051	588	1763	1279		2168	1804	3226	10623	26989		876	819
		1310	230	9058							3229		27016	301	877	820
2501	−0.29 −2.8	—	242	9066		1764	1281				3230					821
2504	+0.04 +0.3	1312	249	9079	589	1766	1284	1598	2176	1809	3237		27075		878	822
		1316	260	9092									27105	302		823
		1317	265	9097									27114	303		824
2511	−0.13 −1.0	—	264	9094		1770	1285	1600	2179	1810	3239	10650			879	825
		1318	271	9103									27129	304		826
2524	+0.06 −0.2	—	294	9127		1776	1288	1610	2189	1820	3253	10682			880	827
2528	−0.06 +0.8	1320	311	9150	591	1780		1616	2206	1825	3269	10707	27272		882	828
2533	−0.05 −0.5	1321	322	9158	592	1783	1293	1619	2209		3275	10715	27289		883	829
2536	+0.06 +0.9	—	319	9154		1781	1292	1617	2207		3268	10706				830
		—	—	—										305		831
2538	+0.11 −0.4	—	324	9159		1784	1294	1620	2212	1829	3274	10712			884	832
2539	−0.18 −0.5	1323	331	9169		1787		1623		1832	3282	10731	27332		887	833
2540	+0.18 −1.1	1322	329	9165	593	1786	1295	1622	2216		3279		27321		886	834
2549	−0.38 +0.2	1326	355	9194	595	1792	1297	1627	2224	1843	3301	10762	27430		888	835
2551	+0.11 +0.5	1327	360	9199	596				2225				27431		889	836
		1328	369	9210	597						3305	10773	27461	306		837
		1334	372	9211									27469	307		838
		1320	377	9221	598			1632					27492	308		839
2560	+0.16 +2.7	1330	382	9227					2231				27502			840
2563	+0.32 −1.6	1331	384	9229					2233		3317		27505		891	841
		1335	402	9246									27554	309		842
		1336	404	9247	599								27566	310		843
		1337	406	9250									27573	311		844
		—	410	9255					2240				27580	312		845
		1338	417	9264									27606	313		846
2575	+0.23 +1.2	1339	20ʰ 7	9282					2250				27657		892	847
2577	+0.18 +0.8	1340	16	9287					2251				27670		893	848
2589	+0.06 −2.4	1341	49	9322					2259				27770		894	849
2593	+0.05 −1.0	1343	54	9334		1814	1308	1657	2267	1877	3357	10861	27796		896	850

Nr.	Bezeichn.	Gr.	$\mathfrak{R}$ 1755	B.	Ep.	Decl. 1755	B.	Ep.	Praec. 1755		Eigenbeweg.		Mayer's Catalog alte Nr.	Correction $\Delta\alpha$	$\Delta\delta$
851	6 Capric. α^2	3.3	$20^h\ 4^m 26^s.39$	13	57.0	$-13^\circ\ 17'\ 7''.1$	13	57.0	$+3^s.3404$	$+10''.367$	$+0^s.0022$	$+0''.017$	825	$-\ 2''.5$	$-\ 7''.7$
852	7 Capric. σ	5.6	5 13.73	4	56.7	$-19\ 51\ 46.9$	4	56.7	3.4829	10.426	−0.0013	+0.008	826	− 4.6	− 8.3
853	-15° 5626	6.7	6 59.33	9	56.7	$-15\ 32\ 17.9$	9	56.7	3.3863	10.557	+0.0006*	+0.02*	827	− 0.3	− 7.3
854	8 Capric. ν	5.1	7 3.10	7	57.0	$-13\ 30\ 40.6$	7	56.9	3.3432	10.562	−0.0016	−0.005	828	− 3.4	− 7.7
855	9 Capric. β	3.0	7 13.49	9	56.7	$-15\ 32\ 7.8$	9	56.7	3.3860	10.575	+0.0008	+0.022	829	− 0.6	− 7.9
856	-14° 5732	7.0	9 41			$-15\ 1\ 23.1$	1	56.6	+3.3730	+10.758	−0.003	+0.03	830	− 9	− 9.8
857	-14° 5734	7.3	10 31.70	1	56.6	$-14\ 53\ 2.3$	1	56.6	3.3694	10.820	−0.002	−0.01	831	− 2.4	− 9.4
858	-19° 5809	7.0	10 53.93	1	56.7	$-20\ 12\ 23.2$	1	56.7	3.4842	10.847	0.000	0.00	833	−66.3	− 8.0
859	-12° 5721	7.7	11 37.58	1	56.8	$-12\ 28\ 51.4$	1	56.8	3.3186	10.900	0.000	+0.02	832	− 3.3	− 6.9
860	10 Capric. π	5.0	13 16.16	7	57.0	$-18\ 59\ 43.7$	7	56.8	3.4548	11.021	−0.0009	+0.012	834	− 4.0	− 7.5
861	11 Capric. ϱ	5.1	14 51.55	9	56.8	$-18\ 36\ 17.4$	9	56.8	+3.4445	+11.137	−0.0028	−0.007	835	− 1.4	− 8.0
862	-18° 5691	7.0	14 59.40	8	56.9	$-18\ 39\ 37.8$	8	56.9	3.4456	11.147	+0.0018*	−0.10*	836	− 3.5	− 7.2
863	-17° 5992	7.3	15 0.28	1	56.7	$-18\ 13\ 34.2$	1	56.7	3.4362	11.148	0.000	−0.01	837	− 0.5	− 4.9
864	Com. seq^{is}	7.2	15 47.65	2	56.8	$-19\ 22\ 37.0$	3	56.7	3.4602	11.206	−0.0007*	−0.10*	838	− 5.8	− 6.6
865	12 Capric. o	5.8	15 49.49	4	56.7	$-19\ 22\ 31.0$	5	56.7	3.4601	11.207	−0.0006	−0.077	839	− 1.2	− 8.0
866	Lac. 8480	6.4	18 15.06	1	56.7	$-25\ 45\ 5.0$	1	56.7	+3.6014	+11.383	−0.001	−0.04	840	− 1.3	− 7.4
867	-17° 6014	7.0	18 37.53	1	56.7	$-17\ 25\ 8.8$	1	56.7	3.4152	11.410	+0.002	+0.01	841	+ 0.3	− 4.9
868	-10° 5423	6.2	18 59.18	1	56.7	$-10\ 40\ 15.5$	1	56.7	3.2771	11.436	+0.015	+0.12	842	− 5.4	− 6.7
869	-14° 5781	6.0	20 31.79	2	56.7	$-14\ 32\ 41.2$	2	56.7	3.3539	11.546	+0.004	+0.09	843	− 0.9	−68.2
870	-17° 6027	6.2	21 38.85	3	56.7	$-17\ 20\ 53.1$	3	56.7	3.4106	11.626	+0.003	−0.02	844	− 2.1	− 7.7
871	-21° 5768	6.8	22 13.5	1	56.7	$-21\ 24\ 45.0$	1	56.7	+3.4967	+11.668	0.000	−0.01	845	− 3	− 5.7
872	13 Capric.	7.0	23 35.27	2	56.7	$-15\ 58\ 38.7$	2	56.7	3.3802	11.765	+0.0020	−0.036	846	− 0.7	− 9.2
873	-17° 6039	7.2	23 54.31	2	56.7	$-17\ 57\ 22.1$	2	56.7	3.4208	11.787	−0.001	−0.01	847	− 2.7	− 7.1
874	-19° 5877	7.8	25 10			$-20\ 7\ 11.4$:	1	56.7	3.4649	11.876	0.000	0.00	S. 39		
875	14 Capric. τ	5.4	25 32.87	5	56.7	$-15\ 47\ 45.9$	5	56.7	3.3746	11.903	−0.0012	−0.012	848	− 1.0	− 7.4
876	15 Capric. v	5.6	26 4.34	10	57.3	$-18\ 58\ 58.5$	10	57.6	+3.4398	+11.940	−0.0034	+0.013	849	− 3.5	− 8.3
877	-16° 5663	6.0	26 44.49	1	56.6	$-16\ 58\ 40.9$	1	56.6	3.3975	11.988	−0.008	+0.08	850	− 2.8	−11.0
878	16 Capric. ψ	4.4	31 33.08	9	58.8	$-26\ 7\ 55.1$	8	58.2	3.5879	12.322	−0.0061	−0.154	851	+ 1.5	− 6.1
879	50 Cygni α	1.6	33 5.06	16	57.0	$+44\ 24\ 54.3$	16	57.0	2.0410	12.428	−0.0003	−0.003	852	+ 9.8	− 4.9
880	2 Aquarii ε	3.6	34 23.51	5	56.8	$-10\ 22\ 31.8$	7	56.8	3.2614	12.518	−0.0002	−0.027	853	− 2.5	− 5.7
881	-18° 5783	6.7	35 24.52	1	56.6	$-18\ 55\ 20.8$	1	56.6	+3.4271	+12.587	−0.002	−0.02	854		−10.8
882	18 Capric. ω	4.4	37 9.36	9	58.3	$-27\ 48\ 59.0$	9	57.2	3.6162	12.705	−0.0027	+0.003	855	+ 1.3	− 5.8
883	-13° 5779	7.0	38 58.32	1	56.7	$-14\ 6\ 28.2$	1	56.7	3.3285	12.828	−0.001	+0.03	856	+ 0.9	− 5.7
884	6 Aquarii μ	4.6	39 25.02	9	56.9	$-\ 9\ 53\ 9.0$	9	56.9	3.2489	12.858	+0.0008	−0.031	857	− 2.5	− 6.8
885	-12° 5855	6.5	39 39.78	1	56.8	$-12\ 28\ 56.2$	1	56.9	3.2971	12.874	+0.003	+0.05	858	− 5.7	− 4.2
886	19 Capric.	6.0	40 55.17	5	56.7	$-18\ 50\ 6.3$	6	56.8	+3.4183	+12.959	−0.0058	−0.003	859	− 4.9	− 6.3
887	Lac. 8621	6.1	42 11.25	1	56.7	$-27\ 12\ 41.8$	1	56.7	3.5926	13.043	+0.005	−0.08	860	− 2.2	− 8.7
888	7 Aquarii	5.4	43 38.3	1	57.8	$-10\ 37\ 14.9$	1	57.8	3.2595	13.140	−0.0022	−0.007	S. 40		
889	-16° 5741	5.8	43 55.89	3	56.8	$-16\ 57\ 27.4$	3	56.8	3.3779	13.159	+0.002	+0.02	861	+ 1.6	− 6.4
890	20 Capric.	6.2	45 38.71	5	56.8	$-19\ 58\ 4.7$	5	56.8	3.4345	13.272	0.0000	−0.010	862	− 4.9	− 6.5
891	21 Capric.	6.3	47 2.45	5	56.8	$-18\ 28\ 10.0$	5	56.8	+3.4032	+13.364	−0.0041	+0.012	863	− 3.5	− 6.7
892	9 Aquarii	6.8	47 36.76	1	56.7	$-14\ 28\ 18.2$	1	56.7	3.3269	13.401	−0.0029	−0.006	864	− 4.2	− 8.2
893	58 Cygni ν	4.0	48 2.81	2	56.7	$+40\ 14\ 4.6$	3	56.7	2.2291	13.429	0.0000	+0.001	S. 41		
894	-12° 5890	7.0	48 36.13	1	56.7	$-12\ 38\ 22.0$	1	56.7	3.2924	13.465	−0.001	−0.02	865	− 1.9	− 6.4
895	22 Capric. γ	5.3	50 25.55	8	57.0	$-20\ 48\ 23.6$	7	56.9	3.4441	13.583	−0.0050	−0.037	866	− 4.1	− 7.6
896	12 Aquarii	5.3	51 6.1	1	57.8	$-\ 6\ 46\ 40.8$	1	57.8	+3.1867	+13.626	−0.0003	+0.003	S. 42		
897	23 Capric. θ	4.0	52 8.55	11	58.0	$-18\ 11\ 24.4$	9	56.9	3.3912	13.693	+0.0040	−0.054	867	− 4.2	− 6.3
898	24 Capric. Δ	4.9	52 45.55	6	56.7	$-25\ 58\ 4.0$	6	56.8	3.5450	13.732	−0.0051	−0.021	868	+ 1.4	− 6.3
899	25 Capric. χ	5.6	54 29.55	9	56.9	$-22\ 9\ 40.5$	9	56.9	3.4644	13.843	−0.0004	−0.053	869	− 1.4	− 6.9
900	27 Capric.	6.3	55 30.34	9	56.9	$-21\ 31\ 23.0$	8	56.9	3.4502	13.907	+0.0070	−0.131	870	− 2.4	− 6.6

Bradley Nr.	Bradley Br.−M.	Zach	Piazzi	Taylor	Kbg. 1835	Greenwicher Cataloge 12 y.	6 y.	7 y.	N. 7 y.	9 y.	10 y.	Cap 1880	Cord. C. G.	Gotha	Newc. Zod.	Nr.
2595	+0.14 +1.1	1344	20h 58	9336		1816	1309	1660	2270	1878	3358	10864	27800		897	851
2597	+0.03 −1.0	1345	67	9346	602	1818	1310	1663	2272	1881	3363		27827		898	852
2607	+0.06 (−4.6)	1346	79	9356	604	1821	1312	1666	2278		3367		27873		900	853
2608	+0.17 +1.6	1347	81	9357	605	1820		1665			3366		27872		899	854
2609	−0.05 −1.5	1348	83	9362	606	1822	1313	1667	2280	1886	3369	10888	27880		901	855
		1349	102	9381							3375		27938	314		856
		1350	107	9389									27962	315		857
		1351	109	9391	607								27975	316		858
		1352	114	9393									27986	317		859
2623	+0.05 −1.6	1353	131	9412	608	1831	1316	1677	2294	1898			28036		906	860
2626	−0.03 +1.2	1354	142	9423	609	1833	1320	1680	2297	1899	3396	10934	28073		907	861
2627	+0.30 —	1355	144	9424		1834	1321		2298		3398		28080		909	862
		—	145	9425	610						3397		28078	318	908	863
2630	+0.50 —	1356	153	9433	612				2300				28099			864
2631	+0.04 +2.4	1357	154	9434	613				2301				28100		911	865
		1360	170	9454	614			1687		1908	3410	10954	28144	320	913	866
		1361	172	9455	615								28145	319		867
		—	174	9460							3411		28149	321		868
		1362	187	9470	616						3418		28183	322	914	869
		1363	194	9478	617	1837					3423		28206	323		870
		1364	200	9490	618								28224	324		871
2646	+0.13 −1.9	1365	209	9496	619				2321				28254		916	872
		1366	213	9499									28267	325		873
		—	—	—										326		874
2652	−0.09 +1.2	1367	225	9515	620	1847	1328	1700	2325	1917	3436		28298		918	875
2657	+0.03 −2.3	1368	233	9523	621	1848	1329	1701		1920	3440		28317		919	876
		1369	240	9533	622								28335	327		877
2676	−0.24 −0.7	1371	282	9575	623	1857	1337	1708		1932		11053	28455		921	878
2679	+0.16 +2.4	—	285	9571		1854	1335	1706	2341	1929	3453				920	879
2681	+0.18 −0.4	1437	299	9595		1859	1339	1709	2347	1938	3464	11066	28511			880
		—	310	9609	626					1945	3477		28550	328		881
2690	−0.23 −0.2	1377	328	9630		1868		1716			3483	11093	28598			882
		1441	341	9638									28627	329		883
2696	+0.18 +0.6	1443	345	9644		1869	1345	1718	2355	1951	3485	11107	28640		924	884
		1444	351	9647	630						3487		28645	330		885
2700	+0.12 +1.5	1379	362	9658	631			1719			3490		28675		925	886
		1381	370	9668							3495	11132	28702	331		887
2706	+0.1 +1.6	1447	380	9679	632				2362				28715		926	888
		1382	386	9684	633						3499		28725	332	927	889
2713	−0.03 +1.5	1383	395	9697	634			1727			3505		28753		929	890
2718	+0.06 −1.3	1384	409	9708	636			1731			3512		28789		932	891
2722	−0.01 +1.7	1451	415	9717	637				2374		3513		28805		933	892
2724	+0.23 −0.8	—	410	9704		1875	1349	1728	2365							893
		1452	423	9723									28826	333		894
2729	+0.02 +0.4	1386	436	9740	638	1881	1353	1735		1969		11187	28879		935	895
2730	−0.1 +1.7	1453	441	9742					2383				28885			896
2733	+0.01 +0.8	1387	451	9759	639	1882	1355	1737	2387	1972	3525	11204	28921		936	897
2737	−0.35 −0.9	1388	456	9764				1739			3527	11214	28951			898
2741	−0.25 0.0	1389	469	9778	641	1885		1741			3533		28990		938	899
2743	−0.13 −2.1	1391	478	9790					2397				29014		941	900

Nr.	Bezeichn.	Gr.	Æ 1755	B.	Ep.	Decl. 1755	B.	Ep.	Praec. 1755		Eigenbeweg.		Mayer's Catalog alte Nr.	Correction $\Delta\alpha$	$\Delta\delta$
901	13 Aquarii ν	4.3	$20^h56^m13^s.22$	10	56.8	$-12°20'53''.6$	9	56.8	$+3^s.2804$	$+13''.952$	$+0^s.0043$	$-0''.007$	871	$-5''.2$	$-6''.8$
902	$-15°5908$	6.3	58 7.74	1	56.7	−15 27 29.7	1	56.7	3.3337	14.072	−0.001	+0.02	872	− 3.2	− 8.8
903	$-22°5630$	7.0	59 54.86	3	56.7	−23 12 19.0	3	56.8	3.4756	14.182	−0.001	−0.01	873	− 1.4	− 6.3
904	28 Capric. φ	5.5	21 1 38.99	9	58.0	−21 39 7.8	9	57.7	3.4427	14.290	−0.0016	+0.004	874	− 4.3	− 6.0
905	30 Capric.	6.0	4 10.60	5	56.7	−18 59 45.3	5	56.8	3.3896	14.444	−0.0005	−0.003	875	− 7.2	− 6.4
906	$-20°6178$	6.8	4 30.41	4	56.7	−21 20 44.2	3	56.8	+3.4322	+14.464	−0.004	−0.03	876	− 4.8	− 6.0
907	$-16°5840$	6.8	5 36.23	1	56.8	−17 11 34.2	1	56.9	3.3554	14.530	−0.001	−0.02	877	− 4.0	− 3.6
908	$-21°5992$	7.2	7 5.59	2	56.7	−21 50 20.8	1	56.7	3.4371	14.620	+0.002	−0.06	878	+23.4	− 7.9
909	32 Capric. ι	4.3	8 34.41	9	57.4	−17 51 45.6	9	57.3	3.3632	14.708	−0.0003	+0.013	879	− 5.7	− 8.0
910	Lac. 8802	6.8	10 4.27	1	56.7	−23 46 52.0	1	56.7	3.4681	14.798	−0.006	+0.01	880	− 1.0	− 8.1
911	33 Capric.	5.6	10 13.85	6	56.7	−21 52 39.9	6	56.7	+3.4325	+14.807	−0.0032	−0.115	881	− 3.8	− 7.4
912	18 Aquarii	6.0	10 46.40	1	56.8	−13 54 54.0	1	56.9	3.2930	14.839	+0.0048	+0.002	882	− 5.1	− 5.5
913	34 Capric. ζ	4.0	12 38.49	11	58.5	−23 27 24.6	11	57.9	3.4572	14.948	−0.0013	+0.013	883	− 2.8	−18.8
914	36 Capric. b	4.7	14 42.98	6	56.7	−22 51 31.5	6	56.8	3.4423	15.069	+0.0077	−0.012	884	− 2.0	− 6.7
915	$-12°6005$	7.0	14 55.91	1	56.8	−12 36 55.7	1	56.9	3.2674	15.081	0.000	−0.06	885	− 6.6	− 3.9
916	$-19°6107$	6.5	16 12.07	5	56.7	−20 12 7.5	5	56.7	+3.3926	+15.154	+0.001	−0.04	886	− 6.0	− 7.5
917	$-14°6047$	7.0	17 13.32	2	56.7	−15 20 58.3	2	56.7	3.3094	15.213	−0.001	−0.02	887	− 3.4	− 7.0
918	$-19°6113$	7.3	17 37.80	1	56.7	−20 17 53.1	1	56.7	3.3919	15.237	+0.003	−0.01	888	− 6.0	− 8.5
919	22 Aquarii β	3.0	18 38.46	6	56.7	− 6 38 8.6	6	56.8	3.1707	15.294	−0.0006	−0.001	889	− 8.3	− 6.7
920	$-16°5885$	7.2	20 5.98	1	56.7	−17 15 53.1	1	56.7	3.3371	15.376	0.000	−0.10	890	− 4.1	−16.4
921	37 Capric.	6.0	21 3.15	5	56.7	−21 9 43.5	5	56.7	+3.4010	+15.429	−0.0026	+0.033	891	− 4.6	− 7.5
922	38 Capric.	6.9	21 5.67	1	56.7	−21 19 22.5	1	56.7	3.4037	15.432	+0.0007	−0.050	892	− 7.1	− 7.2
923	39 Capric. ε	4.7	23 19.54	8	58.8	−20 32 58.8	8	58.1	3.3867	15.556	−0.0009	−0.003	893	− 8.1	− 8.4
924	23 Aquarii ξ	4.8	24 41.32	6	57.8	− 8 56 23.5	6	57.4	3.2019	15.631	+0.0058	−0.022	894	− 6.8	− 7.3
925	40 Capric. γ	3.6	26 28.98	6	57.8	−17 45 20.6	6	57.3	3.3359	15.729	+0.0119	−0.013	895	− 5.9	− 8.4
926	42 Capric.	5.4	28 11.83	5	56.7	−15 7 36.7	5	56.7	+3.2923	+15.822	−0.0106	−0.299	896	− 3.8	− 7.7
927	43 Capric. $\varkappa$	5.1	28 56.31	6	58.3	−19 58 10.5	6	58.0	3.3676	15.862	+0.0072	−0.003	897	− 7.7	− 7.3
928	$-20°6270$	6.5	29 28.96	2	56.7	−20 43 31.3	2	56.7	3.3790	15.891	+0.004	−0.02	898	− 6.3	− 8.1
929	46 Capric. c^1	4.8	31 55.17	4	56.7	−10 11 41.2	4	56.7	3.2148	16.020	−0.0023	+0.020	899	− 6.6	− 6.1
930	48 Capric. λ	5.3	33 19.23	7	58.9	−12 28 59.2	7	58.4	3.2468	16.094	+0.0009	−0.013	900	− 6.5	− 6.3
931	49 Capric. δ	3.0	33 29.27	4	57.6	−17 13 33.9	4	56.7	+3.3174	+16.102	+0.0166	−0.297	901	− 6.1	− 7.8
932	$-13°6027$	6.5	36 25.13	2	56.7	−13 51 10.9	2	56.7	3.2634	16.254	−0.002	+0.04	902	− 6.5	− 7.8
933	$-17°6389$	6.7	36 42.37	2	56.7	−17 58 27.4	2	56.7	3.3240	16.268	+0.001	−0.01	903	− 6.2	− 7.4
934	$-19°6176$	6.6	38 3.26	2	56.7	−19 45 6.9	2	56.7	3.3488	16.338	+0.008	−0.08	904	− 7.0	− 8.1
935	51 Capric. μ	5.0	39 54.67	5	58.9	−14 41 35.1	6	58.0	3.2713	16.432	+0.0181	+0.013	905	− 4.7	− 8.2
936	$-15°6092$	7.0	41 37.57	1	56.7	−16 24 7.9	1	56.7	+3.2935	+16.518	−0.003	−0.02	906	− 4.2	− 7.5
937	$-18°6037$	6.8	43 14.12	3	57.1	−19 2 54.4	3	57.1	3.3295	16.596	+0.001	+0.01	907	− 7.1	− 5.8
938	$-15°6103$	6.8	44 25.55	1	56.7	−16 16 40 ::	1	56.7	3.2878	16.655	−0.001	−0.03	908	− 4.7	− 7
939	$-21°6131$	6.2	45 1.81	1	56.8	−22 20 26.0	1	56.8	3.3753	16.685	0.000	+0.01	909	− 1.7	− 6.6
940	$-13°6060$	7.3	45 9.93	1	56.7	−13 49 34.6	1	56.7	3.2527	16.691	+0.004	+0.07	910	− 7.1	− 6.4
941	$-18°6056$	6.8	48 40.68	3	57.2	−19 4 2.3	3	57.1	+3.3206	+16.860	+0.006	−0.06	911	− 7.9	− 6.6
942	31 Aquarii o	4.6	50 37.94	5	57.1	− 3 19 39.6	3	57.0	3.1116	16.952	−0.0011	−0.002	912	− 5.8	− 6.2
943	33 Aquarii ι	4.0	53 10.66	10	59.5	−15 2 50.0	9	57.8	3.2590	17.070	0.0000	−0.049	913	− 4.5	− 7.3
944	34 Aquarii α	3.0	53 11.65	4	57.0	− 1 29 58.9	4	57.0	3.0884	17.071	−0.0008	+0.002	914	− 8.1	− 5.5
945	37 Aquarii	6.9	57 25.91	1	56.7	−12 0 54.2	1	56.7	3.2151	17.263	+0.0018	+0.047	915	− 7.4	− 6.1
946	38 Aquarii e	5.3	57 30.14	5	58.1	−12 45 32.7	6	57.9	+3.2243	+17.266	+0.0008	+0.010	916	− 6.3	− 7.0
947	40 Aquarii	7.1	22 0 18.76	1	56.7	−13 7 34.1	1	56.7	3.2256	17.390	−0.0007	−0.003	917	− 6.0	− 6.0
948	43 Aquarii θ	4.3	3 53.26	6	58.7	− 8 59 35.8	6	58.6	3.1727	17.544	+0.0057	−0.019	918	− 5.5	− 6.8
949	$-9°5948$	6.1	3 55.04	1	56.7	−10 15 1.8	1	56.7	3.1873	17.545	−0.0012	−0.011	919	− 5.8	− 5.5
950	46 Aquarii ϱ	5.3	7 17.38	4	58.4	− 9 2 30.4	4	57.9	3.1705	17.687	−0.0008	+0.007	920	− 7.0	− 6.3

Bradley Nr.	Bradley Br.−M.	Zach	Piazzi	Taylor	Kbg. 1835	Greenwicher Cataloge 12 y.	6 y.	7 y.	N. 7 y.	9 y.	10 y.	Cap 1880	Cord. C.G.	Gotha	Newc. Zod.	Nr.
2747	+0.s28 +0.″5	1455	20h485	9795	642	1888	1359	1745	2398	1977	3535	11238	29024		942	901
		1458	21h 7	9811									29065	334		902
		1392	18	9827								11264	29118	335		903
2758	−0.04 −1.0	1393	33	9840	643			1750		1985			29161		944	904
2765	+0.21 −0.3	1395	52	9864	645				2411				29215		947	905
		1397	57	9867									29224	336		906
		1464	66	9873	647								29236	337		907
		1398	75	9886									29276	338		908
2772	0.00 −0.4	1399	84	9897	648	1900	1367	1763	2421	1993	3561	11330			949	909
		1401	97	9913								11339	29322	339		910
2778	−0.21 −1.5	1402	99	9915	651				2426	1999		11343	29326		954	911
2781	+0.20 +2.4	1469	104	9918	652				2427		3573		29332		955	912
2785	−0.34 +0.1	1403	118	9934	654	1902		1775		2001		11360	29382		957	913
2790	−0.26 +0.4	1405	132	9958					2435	2004			29426		959	914
		1475	134	9957	656								29421	340		915
		1406	145	9968	657								29464	341		916
		1476	154	9976	658								29478	342		917
		1407	158	9978									29485	343		918
2797	+0.24 +0.4	1477	162	9981		1907	1377	1777	2439	2009	3593	11389	29491		960	919
		1409	171	9994									29522	344		920
2800	−0.12 +0.9	1410	180	10005	660	1913				2014			29544		961	921
2801	−0.14 −4.8	1411	181	10006	661	1914							29545		962	922
2806	−0.03 +0.9	1412	197	10022	662	1922	1387	1787	2451	2021		11417	29598		964	923
2808	+0.09 +0.6	1480	209	10037	663	1923	1388	1788	2452	2022	3608	11421	29613		965	924
2815	0.00 +1.0	1413	223	10052	664	1926	1394	1790	2457	2024	3613	11441	29656		966	925
2820	+0.12 −0.7	1415	235	10070	665			1793	2461		3616		29681		967	926
2821	+0.17 +1.0	1416	238	10075	666	1931	1395	1798	2464	2027			29708		968	927
		1417	243	10082						2028			29717	345	969	928
2834	+0.17 −2.5	1420	258	10098	669			1805	2475		3629		29752		975	929
2844	+0.04 +0.3	1422	270	10112	671	1941		1810	2480		3638		29774		977	930
2847	−0.08 +0.8	1424	276	10116	673	1942	1403	1811	2482	2037	3641	11484	29788		979	931
		1491	291	10138	674								29856	346		932
		1425	294	10140									29869	347		933
		1427	303	10148									29903	348		934
2860	+0.09 +2.0	1428	315	10160	675	1952	1411	1822	2494	2045	3654	11528	29938		981	935
		1429	323	10169									29973	349		936
		1430	332	10183									30016	350		937
		1431	338	10187									30041	351		938
		1499	343	10196							3665		30055	353		939
		1500	344	10195		1960							30051	352		940
		1503	361	10215							3672		30141	354		941
2883	+0.04 +1.1	1506	376	10228				1838	2513			11592				942
2889	+0.11 +0.3	1510	389	10249	679	1969	1430	1842	2521	2064	3683	11609	30229		990	943
2890	−0.10 −0.6	1509	387	10244		1968	1429	1840	2519	2063	3680	11608	30221		988	944
2908	+0.43 −4.0	1513	418	10280	681			1850			3698		30313		996	945
2909	0.00 −1.9	1514	420	10282	682			1851			3700		30315		998	946
2921	+0.23 −3.5	1520	22h 20	10307	685	1989							30375		1003	947
2929	+0.05 −0.4	1523	44	10336	687	1993	1452	1860	2551	2088	3722	11682	30430		1006	948
2930	−0.32 −1.1	1524	46	10337	688						3723		30431		1007	949
2939	+0.02 −0.3	1527	63	10354	691	1997		1865	2555	2094	3731		30498		1010	950

Nr.	Bezeichn.	Gr.	Æ 1755	B.	Ep.	Decl. 1755	B.	Ep.	Praec. 1755		Eigenbeweg.		Mayer's Catalog alte Nr.	Correction $\Delta\alpha$	$\Delta\delta$
951	48 Aquarii γ	3.4	$22^h\ 8^m 59^s.73$	3	58.3	$-\ 2^\circ 36' 45''.1$	3	58.0	$+3^s.0984$	$+17''.757$	$+0^s.0068$	$+0''.017$	921	$-\ 6''.9$	-2.4
952	51 Aquarii	6.0	11 20.28	1	56.7	$-\ 6\ 4\ 1.7$	1	56.7	3.1349	17.851	−0.0010	+0.002	922	− 8.4	−7.6
953	$-1^\circ 4290$	7.5	11 56.80	1	56.7	$-\ 2\ 25\ 19.2$	1	56.7	3.0957	17.876	+0.007	+0.04	923	− 7.5	−7.0
954	54 Aquarii	7.1	13 39.35	1	56.7	$-12\ 27\ 53.1$	1	56.7	3.2023	17.943	+0.0022	+0.008	924	− 7.0	−8.2
955	55 Aquarii ζ	3.3	16 12.80	2	56.7	$-\ 1\ 15\ 51.2$	2	56.7	3.0829	18.042	+0.0110	+0.042	925	− 8.0	−5.7
956	57 Aquarii σ	4.8	17 39.56	3	57.2	$-11\ 55\ 23.8$	3	57.1	+3.1919	+18.097	−0.0011	−0.037	926	− 4.5	−7.3
957	58 Aquarii	6.5	18 40.40	1	56.7	$-12\ 9\ 12.1$	1	56.7	3.1932	18.135	+0.0030	−0.023	927	− 7.6	−6.6
958	62 Aquarii η	3.8	22 45.83	3	57.8	$-\ 1\ 22\ 20.4$	3	57.8	3.0832	18.286	+0.0042	−0.053	928	− 7.5	−7.2
959	63 Aquarii $\varkappa$	5.1	25 3.11	3	57.8	$-\ 5\ 29\ 3.8$	3	57.8	3.1217	18.367	−0.0060	−0.108	929	− 8.8	−8.8
960	$-10^\circ 5966$	7.0	27 10.95	1	56.7	$-10\ 37\ 49.4$	1	56.7	3.1689	18.441	+0.011	+0.04	930	− 9.3	−7.6
961	$-7^\circ 5827$	7.5	27 24.68	1	56.7	$-\ 7\ 48\ 4.3$	1	56.7	+3.1420	+18.449	−0.007	−0.03	931	− 9.8	−4.5
962	65 Aquarii	7.0	30 6.73	1	56.7	$-11\ 22\ 41.8$	1	56.7	3.1729	18.541	−0.0016	+0.018	932	− 7.9	−6.1
963	$-9^\circ 6038$	7.0	30 12.20	1	56.7	$-\ 9\ 35\ 8.8$	1	56.7	3.1562	18.544	+0.001	−0.01	933	− 6.8	−7.2
964	$-7^\circ 5837$	8.0	30 22			$-\ 8\ 29\ 26.8$	1	56.7	3.1461	18.550	+0.002	+0.01	934	−18	−5.2
965	67 Aquarii	6.0	30 25.69	1	56.7	$-\ 8\ 14\ 17.9$	1	56.7	3.1437	18.552	−0.0029	+0.023	935	− 7.9	−6.2
966	$-10^\circ 5982$	7.3	32 27.20	1	56.7	$-10\ 55\ (38)$			+3.1662	+18.618	+0.001	−0.01	936	− 3.2	−7
967	69 Aquarii	6.0	34 40.84	4	57.4	$-15\ 20\ 26.8$	4	57.6	3.2034	18.690	0.0000	−0.019	937	+ 1.8	−8.5
968	71 Aquarii τ	4.0	36 35.82	4	56.8	$-14\ 52\ 44.4$	4	56.8	3.1965	18.751	−0.0030	−0.040	938	− 2.5	−8.0
969	$-8^\circ 5964$	7.7	37 59.12	1	56.8	$-\ 8\ 36\ 9.8$	1	56.8	3.1409	18.793	−0.004	+0.01	939	− 6.4	−7.2
970	73 Aquarii λ	4.0	39 49.18	6	57.2	$-\ 8\ 52\ 35.7$	6	57.3	3.1416	18.849	−0.0016	+0.040	940	− 5.0	−6.0
971	76 Aquarii δ	3.0	41 37.42	5	56.8	$-17\ 7\ 3.2$	5	56.8	+3.2081	+18.903	−0.0051	−0.010	941	− 2.7	−8.4
972	24 Pisc. aust. α	1.3	44 3.71	7	57.2	$-30\ 54\ 49.3$	7	57.2	3.3306	18.973	+0.0232	−0.159	942	+ 0.3	−5.7
973	$-9^\circ 6100$	7.0	47 31.17	2	56.8	$-10\ 11\ 13.2$	2	56.8	3.1447	19.070	0.000	−0.03	943	− 5.1	−5.0
974	81 Aquarii	6.5	48 38.56	2	56.8	$-\ 8\ 22\ 13.7$	2	56.8	3.1303	19.100	−0.0030	−0.002	944	− 6.7	−5.2
975	4 Piscium β	4.6	51 24.62	5	56.8	$+\ 2\ 30\ 20.5$	4	56.8	3.0527	19.173	−0.0003	−0.015	945	− 9.0	−6.6
976	53 Pegasi β	2.4	51 56.47	3	56.8	$+26\ 45\ 31.1$	4	56.8	+2.8726	+19.186	+0.0130	+0.133	946	+12.8	−5.8
977	83 Aquarii h	5.9	52 22.48	3	57.9	$-\ 9\ 0\ 39.7$	3	57.8	3.1317	19.197	+0.0071	+0.022	947	− 4.4	−8.2
978	84 Aquarii	7.4	52 32.87	1	56.9	$-\ 9\ 4$.			3.1319	19.202	+0.0002	+0.011	948	− 3.0	
979	54 Pegasi α	2.0	52 34.88	6	56.8	$+13\ 53\ 32.1$	5	56.8	2.9740	19.203	+0.0028	−0.030	949	+ 6.4	−3.6
980	85 Aquarii	7.5	53 6.92	1	56.9	$-\ 9\ 15\ 13.0$	1	56.9	3.1327	19.216	−0.0004	+0.003	950	− 3.4	−3.0
981	87 Aquarii	7.9	54 26.6	1	56.7	$-\ 9\ 1$			+3.1298	+19.249	+0.0024	−0.045	951	− 8	
982	5 Piscium A	5.8	56 7.95	7	57.2	$+\ 0\ 47\ 55.8$	7	57.2	3.0648	19.291	+0.0075	+0.119	952	− 9.4	−5.0
983	$1^\circ 4687$	8.0	56 51.78	1	56.9	$+\ 0\ 49\ 11.6$	1	56.9	3.0648	19.308	−0.0012*	+0.03*	953	− 8.0	−5.0
984	$-6^\circ 6157$	7.0	57 59			$-\ 7\ 17\ 9.2$	1	56.7	3.1157	19.334	−0.001	+0.02	954	− 8	−6.6
985	90 Aquarii φ	4.3	23 1 37.37	7	56.8	$-\ 7\ 21\ 55.5$	7	56.8	3.1135	19.417	+0.0009	−0.184	955	− 7.7	−7.1
986	91 Aquarii ψ^1	4.6	3 2.54	7	57.2	$-10\ 25\ 6.4$	7	57.3	+3.1305	+19.448	+0.0237	−0.005	956	− 5.7	−8.5
987	92 Aquarii χ	5.3	4 8.40	7	56.8	$-\ 9\ 3\ 32.0$	7	56.8	3.1214	19.471	−0.0031	−0.003	957	− 6.0	−7.8
988	6 Piscium γ	4.0	4 28.21	4	56.8	$+\ 1\ 56\ 52.8$	5	56.5	3.0591	19.478	+0.0487	+0.017	958	−10.0	−5.8
989	93 Aquarii ψ^2	4.6	5 9.38	7	56.8	$-10\ 30\ 58.3$	3	56.8	3.1288	19.493	+0.0004	−0.015	959	− 6.6	−8.4
990	95 Aquarii ψ^3	5.0	6 12.10	7	56.8	$-10\ 56\ 45.0$	7	56.8	3.1301	19.514	+0.0015	+0.008	960	− 6.9	−9.0
991	7 Piscium b	5.8	7 51.90	7	56.8	$+\ 4\ 2\ 52.9$	7	56.8	+3.0486	+19.548	+0.0032	−0.074	961	− 9.2	−6.7
992	$-0^\circ 4509$	6.7	10 57.93	3	56.9	$-\ 1\ 3\ 2.3$	3	56.9	3.0752	19.607	+0.002	+0.02	962	− 7.7	−7.1
993	$-9^\circ 6183$	7.2	11 3.21	1	56.9	$-\ 9\ 48\ 2.9$	1	56.9	3.1190	19.609	−0.004	+0.01	963	− 3.3	−7.4
994	8 Piscium $\varkappa$	5.0	14 22.62	6	56.8	$-\ 0\ 4\ 58.6$	6	56.8	3.0704	19.668	+0.0041	−0.102	965	− 8.7	−6.0
995	9 Piscium	6.9	14 42.04	3	56.9	$-\ 0\ 13\ 13.3$	3	56.9	3.0710	19.674	+0.0017	−0.023	966	− 8.8	−6.6
996	10 Piscium θ	4.4	15 33.00	5	56.9	$+\ 5\ 2\ 8.1$	5	56.8	+3.0472	+19.688	−0.0104	−0.045	967	− 8.4	−6.4
997	$-5^\circ 5999$	6.2	16 51.69	1	56.9	$-\ 5\ 51\ 53.1$	1	56.9	3.0957	19.710	+0.010	−0.21	968	− 8.9	−9.0
998	11 Piscium	6.6	16 52.32	1	56.7	$-\ 3\ 8\ 11.8$	1	56.7	3.0837	19.710	−0.0034	+0.008	970	− 7.6	−8.8
999	12 Piscium	6.7	16 56.57	1	56.7	$-\ 2\ 22\ 53.5$	1	56.7	3.0804	19.712	−0.0023	−0.002	969	− 9.2	−6.2
1000	$-4^\circ 5896$	6.8	18 51.83	3	56.8	$-\ 5\ 25\ 25.3$	3	56.8	3.0926	19.742	+0.009	−0.18	971	− 8.6	−8.5

Bradley Nr.	Bradley Br.−M.	Zach	Piazzi	Taylor	Kbg. 1835	Greenwicher Cataloge 12 y.	6 y.	7 y.	N. 7 y.	9 y.	10 y.	Cap 1880	Cord. C. G.	Gotha	Newc. Zod.	Nr.
2943	−0ˢ.10 −0″.9	1529	22ʰ 72	10366		1999	1456	1868	2556	2096	3737	11711	30529			951
2950	+0.18 −1.8	1531	85	10379	693	2003					3743		30580		1012	952
		1533	89	10384									30590	355		953
2955	+0.01 −1.3	1538	98	10396					2564				30622		1017	954
2960	−0.17 −4.0	1539	111	10411		2015–7		1878–80	2567		3759/60	11750	30662/3			955
2966	+0.03 +1.5	1541	122	10423	696	2018	1466	1882	2573	2111	3769	11769	30696		1020	956
2967	+0.32 +2.7	1542	130	10434	697			1887		2115	3778	11780	30720		1022	957
2979	−0.15 −0.1	1546	151	10457		2026	1475	1892	2584	2121	3787	11800	30800		1024	958
2983	+0.32 +0.6	1547	166	10475	699	2027		1894	2591		3790		30842		1026	959
		1551	176	10487		2031	1477						30886	356		960
		1552	178	10489									30887	357		961
2998	−0.12 −2.3	1553	198	10513	701				2600				30938		1030	962
		1554	200	10514	702								30941	358		963
		1555	201	10515									30944	359		964
3001	+0.33 −1.3	1556	202	10516	703			1903		2135	3812		30945		1031	965
		1558	209	10528									30987	360		966
3009	−0.08 +0.6	1560	218	10539					2606				31047		1032	967
3013	−0.03 +1.2	1562	225	10547	705	2046	1485	1908	2609	2142	3822	11897	31082		1035	968
		1563	230	10553									31103	361		969
3019	0.00 −0.7	1564	235	10559	706	2054	1492	1913	2614	2147	3830	11922	31130		1037	970
3025	−0.13 +0.2	1567	245	10572	708	2056	1494	1917		2152		11935	31163			971
3032	−0.26 −2.5	1570	253	10581		2063	1497	1920	2621	2157	3844	11951	31213		1044	972
		1575	272	10604									31274	362		973
3040	+0.38 −3.0	1576	278	10610	711			1923	2627	2162	3859		31293		1049	974
3046	+0.03 +2.2	1632	287	10622		2073		1927	2632		3866	12001				975
3047	−0.57 +0.6	—	288	10623		2074	1500	1928	2633	2166	3867					976
3048	−0.07 −0.4	1580	289	10625	713			1930		2168	3870	12008	31367		1053	977
3049	−0.05	1581	291	10626					2636				31371		1054	978
3050	−0.39 −2.2	—	290	10624		2075	1501	1929	2634	2167	3869				1052	979
3051	−0.10 −1.6	1582	294	10630	714				2638				31375		1056	980
3055		1584	302	10639					2642				31404		1057	981
3059	+0.16 −1.1	1634	310	10648	715			1935	2646						1058	982
3066	+0.02 —	1635	316	10653					2648						1059	983
		1588	23ʰ 2	10662									31462	363		984
3076	+0.13 −1.0	1589	19	10682	717	2086	1508	1942	2656	2177	3895	12060	31521		1060	985
3078	−0.09 −0.1	1590	22	10687	718	2087		1944	2658	2179	3901		31545		1062	986
3081	−0.09 +1.0	1591	30	10695	719		1510	1945		2182			31565		1063	987
3082	−0.07 −1.1	1638	31	10696		2088	1511	1947	2661	2183	3904	12088			1064	988
3083	−0.03 +0.6	1592	33	10700	720	2089	1512	1948	2662	2186		12094	31585		1065	989
3087	+0.02 −2.1	1593	40	10708	721	2092	1514	1952	2664	2187	3911	12101	31601		1066	990
3092	+0.23 +0.3	1640	49	10721					2672							991
		—	68	10743	723						3928		31694	364		992
		1601	69	10744									31700	365/6		993
3116	−0.11 +2.2	1644	83	10764	724	2100	1526	1962	2683	2200	3937	12151			1069	994
3117	−0.14 +0.2	1645	84	10766	725	2101					3938				1070	995
3120	+0.06 +2.4	1646	92	10773		2103		1963	2685			12158			1071	996
		1648	96	10781	727			1966		2204	3947		31795	367	1073	997
3123	+0.13 −1.0	1647	95	10780	726				2687		3946		31794		1072	998
3124	−0.15 −0.3	1649	97	10782	728				2688				31796		1074	999
		1650	103	10789				1969					31837	368		1000

Nr.	Bezeichn.	Gr.	Æ 1755	B.	Ep.	Decl. 1755	B.	Ep.	Praec. 1755		Eigenbeweg.		Mayer's Catalog alte Nr.	Correction $\Delta\alpha$	$\Delta\delta$
1001	13 Piscium	6.1	$23^h19^m23^s.27$	4	56.8	$-2^\circ26'10''.8$	4	56.8	$+3^s.0800$	$+19''.750$	$-0^s.0014$	$+0''.029$	972	$-8''.1$	$-8''.1$
1002	14 Piscium	6.0	21 33.28	5	56.8	− 2 35 53.7	5	56.8	3.0801	19.783	+0.0060	−0.004	973	− 7.6	− 7.6
1003	$-8^\circ6142$	6.3	22 53.26	4	56.8	− 8 49 4.2	4	56.8	3.1034	19.802	−0.002	+0.02	974	− 7.8	− 6.4
1004	15 Piscium	6.6	22 57.41	1	56.8	− 0 2 13.4	1	56.8	3.0701	19.803	−0.0049	−0.031	975	− 9.8	− 5.7
1005	16 Piscium	6.0	23 53.37	3	56.8	+ 0 44 41.1	3	56.8	3.0672	19.816	−0.0091	+0.061	976	− 9.0	− 6.6
1006	17 Piscium ι	4.3	27 21.52	7	57.0	+ 4 18 2.2	7	56.8	+3.0557	+19.861	+0.0234	−0.443	977	− 8.4	− 7.6
1007	18 Piscium λ	5.0	29 33.07	8	57.0	+ 0 26 0.2	7	57.0	3.0686	19.888	−0.0107	−0.137	978	− 8.9	− 6.5
1008	$6^\circ5197$	7.4	32 19.50	2	56.9	+ 5 50 1.9	2	56.9	3.0535	19.919	0.000	−0.03	979	− 7.9	− 6.9
1009	19 Piscium	6.0	33 52.89	4	56.8	+ 2 7 43.5	4	56.8	3.0643	19.934	−0.0050	−0.023	980	−10.0	− 6.5
1010	$-12^\circ6559$	6.0	34 38.33	1	56.8	−13 15 56.0	1	56.8	3.1048	19.942	−0.007	−0.07	981	− 7.0	− 7.3
1011	20 Piscium	5.8	35 21.12	1	56.7	− 4 7 23.2	1	56.7	+3.0803	+19.949	+0.0048	+0.003	982	− 7.6	
1012	$-7^\circ6086$	6.3	35 56.64	1	56.8	− 7 44 22.1	1	56.8	3.0890	19.954	−0.002	−0.02	983	− 8.6	− 6.5
1013	$1^\circ4773$	7.7	36 17.33	2	56.8	+ 0 51 19.1	2	56.8	3.0677	19.957	−0.001	−0.02	984	− 9.9	− 4.6
1014	21 Piscium	6.0	36 55.22	3	56.8	− 0 16 59.2	3	56.8	3.0706	19.963	−0.0016	−0.030	985	− 9.3	− 5.3
1015	$-10^\circ6177$	6.5	37 35.35	2	57.4	−11 20 26.2	2	57.4	3.0962	19.969	+0.009	+0.07	986	− 8.3	−16.1
1016	24 Piscium	6.4	40 20.54	4	57.2	− 4 30 54.2	4	57.0	+3.0790	+19.991	+0.0040	−0.019	987	− 8.6	− 5.6
1017	$-0^\circ4585$	6.2	42 14.65	3	57.1	− 1 15 10.3	3	57.1	3.0722	20.005	−0.005	−0.01	988	− 8.9	− 3.8
1018	26 Piscium	6.2	42 36.08	3	57.1	+ 5 42 33.5	3	57.1	3.0598	20.007	+0.0005	−0.009	989	− 8.2	− 7.0
1019	27 Piscium	5.3	46 7.91	7	57.8	− 4 54 54.9	7	57.6	3.0769	20.028	−0.0050	−0.057	990	− 7.7	− 6.3
1020	28 Piscium ω	4.0	46 44.68	6	57.1	+ 5 30 25.1	5	57.0	3.0625	20.031	+0.0087	−0.108	991	− 7.8	− 4.9
1021	29 Piscium	5.3	49 16.25	6	57.2	− 4 23 29.0	6	57.1	+3.0748	+20.043	−0.0002	−0.002	992	− 8.5	− 7.6
1022	30 Piscium	4.8	49 23.48	4	56.8	− 7 22 31.9	4	56.8	3.0780	20.043	+0.0019	−0.031	993	− 8.2	− 6.8
1023	$-3^\circ5750$	7.6	49 28.95	1	57.8	− 4 7 54.6	1	57.8	3.0744	20.043	+0.0028*	0.00*	994	− 8.4	−12.6
1024	32 Piscium c	6.0	49 59.28	2	56.8	+ 7 7 25.8	2	56.8	3.0627	20.045	−0.0057	−0.027	995	− 7.0	− 6.1
1025	33 Piscium	5.0	52 47.53	7	57.8	− 7 4 43.1	5	57.6	3.0752	20.055	−0.0019	+0.096	996	− 8.7	− 7.4
1026	21 Androm. α	2.0	55 47.07	6	57.1	+27 44 13.0	5	57.0	+3.0570	+20.061	+0.0095	−0.156	997	+12.1	− 4.9
1027	$-3^\circ9$	7.4	57 22.56	3	57.5	− 3 55 29.2	3	57.4	3.0710	20.063	0.000	−0.01	998	− 9.1	− 8.7

Bradley Nr.	Bradley Br.–M.	Zach	Piazzi	Taylor	Kbg. 1835	Greenwicher Cataloge 12 y.	6 y.	7 y.	N. 7 y.	9 y.	10 y.	Cap 1880	Cord. C. G.	Gotha	Newc. Zod.	Nr.
3129	+0ˢ.09 −0″.6	1651	23ʰ108	10794	729				2694				31847		1075	1001
3133	−0.17 +0.2	1652	116	10802	730				2696	2208	3958		31893		1076	1002
		1609	126	10815	731					2211	3964		31918	369		1003
3138	−0.15 −1.5	1653	127	10816	732				2700		3963				1077	1004
3139	+0.17 +0.8	1655	132	10821	733	2114		1973	2701		3969				1078	1005
3148	+0.04 −0.2	1656	145	10839	734	2119	1538	1978	2708	2217	3977	12234			1079	1006
3153	−0.01 −0.4	1658	158	10854	735	2122	1541	1985	2713	2220	3985	12250			1081	1007
		1659	170	10867										370		1008
3162	+0.08 +0.6	1661	182	10879	736			1990	2721		3993				1082	1009
		1621	185	10883						2224		12286	32134	371		1010
3165	−0.25 +3.4	1662	188	10886	737	2127	1544	1992	2723	2225	3996		32147		1083	1011
		1622	190	10888	738					2227			32154	373	1084	1012
		1663	193	10891						2229	3999			374		1013
3167	−0.13 +0.3	1664	197	10895	739			1995	2727	2232	4002				1085	1014
		—	200	10898			1549		2730	2235	4006	12306	32188	375		1015
3179	−0.11 −1.3	1667	215	10919	741				2738	2238		12330	32231		1087	1016
		1669	227	10932	743					2241			32262	376		1017
3183	+0.54 −1.0	1670	228	10933				1999	2741		4019				1089	1018
3189	−0.06 −0.3	1672	244	10957	744	2136	1554	2003	2749	2246		12375	32330		1091	1019
3191	+0.01 −0.4	1673	246	10960		2138	1556	2004	2750	2247	4036	12380			1092	1020
3196	−0.08 −0.3	1676	255	10977	746	2143	1559	2008	2752	2250	4046	12406	32379		1094	1021
3197	+0.03 −1.1	1677	256	10979	747	2144	1560	2009		2251		12409	32383		1095	1022
3199	+0.02 —	1678	258	10981					2753			12411	32385		1096	1023
3201	−0.09 −0.5	1680	261	10984				2013	2755		4049				1097	1024
3208	+0.01 +0.6	1683	272	11001	749	2153	1570	2019	2758	2259		12431	32431		1098	1025
3215	−0.58 −0.5	—	281	11015		2	4	3	3	1	5	19			3	1026
		1685	286	7					5		13		64	2		1027

Vergleichung der Mayer'schen Oerter mit neueren Bestimmungen

und

Ableitung der Eigenbewegungen

für

bei Bradley nicht vorkommende oder ungenügend beobachtete Sterne.

In den folgenden Zusammenstellungen sind die Oerter zunächst wie sie in den Catalogen vorkommen — jedoch auf die Epoche der Beobachtung zurückreducirt, wo der Catalogort bereits Eigenbewegung enthält — auf Aeq. 1885 mit der Struve'schen Praecession, soweit erforderlich mit Berücksichtigung der höheren Potenzen der Zeit, übertragen aufgeführt.

Weiter sind in der ersten Abtheilung die Reductionen auf das System des Bradley-Vergleichscatalogs und die damit reducirten Oerter angegeben, welche zur Bestimmung der Eigenbewegung nach den oben S. 45 mitgetheilten Regeln, oder wie in Ausnahmefällen aus den aufgeführten Differenzen ohne weiteres ersehen werden kann, verglichen worden sind. Wegen der systematischen Reductionen ist zu bemerken, dass dieselben für Zach, Piazzi und Taylor ursprünglich nicht aus den oben S. 43—45 gegebenen Tafeln, sondern etwas verschiedenen entnommen, und die kleinen Unterschiede zwischen den definitiven und den vorläufigen Tafeln nur in summarischer Form nachgetragen wurden. Die aufgeführten Werthe können deshalb $0^s.01$ bez. $0''.1$, ausnahmsweise bei weiter von der Ekliptik entfernten Sternen doppelt so viel von den obigen Tafeln abweichen. Praktisch ist diese kleine Ungenauigkeit der Rechnung natürlich von gar keiner Bedeutung; sie ist aber auch bloss rechnungsmässig ganz unerheblich und war hier nur der Controle halber zu erwähnen. Denn man darf nicht vergessen, dass wenn auch die systematischen Reductionen sich für die meisten Cataloge und so für die drei genannten sicher nachweisen lassen und im ganzen und grossen reelle, im Durchschnitt für eine grosse Zahl von Sternen aus einer Gegend zutreffende Verbesserungen ergeben, doch bei der Anwendung auf den einzelnen Fall, eines jeden besondern Sterns, eine je nach der geringeren oder grösseren Homogenität des dem Catalog zu Grunde liegenden Materials und seiner Bearbeitung mehr oder weniger erhebliche Unsicherheit zurückbleibt.

Die erste Abtheilung gibt ausser den Mayer'schen und den neuen Gothaer Oertern einen vollständigen Nachweis der Oerter nach Zach's Zodiacalcatalog, Piazzi's zweitem Catalog, Taylor's General Catalogue und dem Königsberger Zodiacalcatalog für die bei Bradley gar nicht oder nur mit einer beobachteten Coordinate vorkommenden, und einige bei Bradley zwar vollständig aber in einer Coordinate nur unsicher bestimmten Sterne. Da in den drei erstgenannten unter diesen vier Catalogen die genauen Epochen nicht angegeben sind und dafür nur beiläufig, wahrscheinlich 1793, 1800 und 1835 angenommen werden kann, ist die Columne »Epoche« für diese Cataloge in der ersten Abtheilung im allgemeinen offen gelassen, und nur dann ausgefüllt, wenn der betr. Catalog zur Bestimmung der am Fuss der für den Stern aufgestellten Tafel angeführten Differenz und Eigenbewegung mit benutzt ist, um auf diese Mitbenutzung sogleich hinzuweisen, ausserdem für Piazzi noch bei einigen stärker bewegten Sternen, für welche die Epoche aus der Storia Celeste besonders ermittelt wurde. Die nur beiläufigen Epochenannahmen sind in diesem Fall in (.) eingeschlossen.

In den letzten Columnen dieser Abtheilung sind die Abweichungen der zusammengestellten reducirten Oerter von den der Bestimmung der Eigenbewegung zu Grunde gelegten Annahmen aufgeführt. Diesen Annahmen selbst gegenüber sind, wo dieselben nicht auf einer Verbindung mehrerer Einzelbestimmungen beruhen, die bezeichneten Columnen mit der Angabe »o« ausgefüllt.

Für die wenigen Sterne, welche in keinem der vier für die Zwischenvergleichung ausgewählten Cataloge vorkommen, sind an Stelle derselben Lalande's und Bessel's Zonenbeobachtungen, ausnahmsweise andere Quellen benutzt.

Für eine grössere Anzahl von Sternen, bei welchen Zweifel hinsichtlich des Mayer'schen Orts oder der Zwischenvergleichungen, zum Theil nur in einem frühern Stadium der Bearbeitung, zurückgeblieben waren, ist eine ausführlichere Vergleichung des vorhandenen Beobachtungsmaterials vorgenommen, welche in der zweiten Abtheilung der folgenden Zusammenstellung wiedergegeben ist. Dieselbe beansprucht nicht durchaus vollständig zu sein, u. a. sind absichtlich die an Lalande's Quadranten bestimmten und die Bessel'schen Zonenörter in der Regel übergangen, weil dieselben für die vielfach in den Catalogen der helleren Sterne vorkommenden Objecte ihrer geringeren Sicherheit halber nicht in Betracht kommen; sie wurden nur für die bei Piazzi nicht vorkommenden Sterne, D'Agelet's und Lalande's Bestimmungen aus besonderen Gründen noch für einige andere, mit aufgenommen. Dass die Resultate anderer Zonenbeobachtungen alter Art durchweg mit aufgeführt sind, ist eine zufällige Inconsequenz, daraus entstanden, dass nur der Ausschluss der Lalande'schen und Bessel'schen Zonen ausdrücklich erwähnt worden war, als der Rechner mit der Sammlung des Materials beauftragt wurde; die dann einmal mit abgeleiteten Oerter habe ich nachträglich nicht wieder streichen wollen.

Die Anordnung dieser zweiten Abtheilung ist in einigen Stücken von der ersten verschieden. Die Epochen sind durchweg aufgeführt, die nur genähert bekannten mit dem Zusatz :. Die Reductionen und die reducirten Oerter beziehen sich auf das AGC.-System, sind jedoch in manchen Fällen nur die Reductionen der den betr. Catalogen zu Grunde liegenden, bez. bei den mit aufgeführten Resultaten vereinzelt vorkommender Beobachtungen der vermuthlich von den Beobachtern benutzten Fundamentalcataloge. An Stelle der die Abweichungen enthaltenden Columnen der ersten Abtheilung ist hier eine Zusammenstellung der mit der angenommenen Eigenbewegung auf 1885.0 reducirten Oerter selbst gegeben. Für die Bestimmung der Eigenbewegung sind in dieser Abtheilung ebenfalls nur die an den beiden Enden der Reihe stehenden Autoritäten benutzt, jedoch regelmässig jederseits mehrere derselben zu Normalörtern verbunden; die benutzten Cataloge sind jedesmal bereits in der ersten Abtheilung, in welche für die Sterne der zweiten Abtheilung das für EB. gefundene Resultat auf das Bradley-Vergleichssystem reducirt überzuschreiben war, namentlich aufgeführt.

I. Vergleichung mit Zach, Piazzi, Taylor, dem Königsberger Zodiacalcatalog und den neuen Gothaer Bestimmungen (aushülfsweise mit anderen Catalogen).

a. Sterne, die bei Bradley nicht vorkommen.

Nr.	Aut.	Ep.	Æ 1885	Beob.	Red. BVC.	red. Æ	Ep.	Decl. 1885	Beob.	Red. BVC.	red. Decl.	Abweich.
4	M	1757.3	$0^h10^m45^s.67$	$2^3/_4$	$0^s.00$	$45^s.67$	1757.5	$+ 1^\circ 12' 41''.1$	$1^1/_4$	$0''.0$	$41''.1$	0 $+1''.5$
	Z		45.47		+ 18	45.65						$-0^s.02$
	P		45.54	9	+ 14	45.68	(1800)	40.8	9	−2.8	38.0	+0.01 −1.4
	T		45.91	3	− 10	45.81		39.5	3	−1.5	38.0	+0.13 −1.3
	Go	1885.9	45.73	4	− 5	45.68	1886.1	38.8	4	+0.3	39.1	0 0
		$128^a.6$	$+0^s.0001$			$+0^s.01$	$107^a.3$	$-0''.004$			$-0''.4$	
5	M	1757.2	$0^h11^m52^s.66$	3	$0^s.00$	$52^s.66$	1757.1	$+ 1^\circ 2' 54''.4$	3	$0''.0$	$54''.4$	0 0
	Z		52.41		+ 18	52.59						$-0^s.24$
	P	1801.9	52.86	15	+ 14	53.00	1800.9	57.8	10	−2.8	55.0	+0.13 $-0''.3$
	T		53.17	6	− 10	53.07		3 5.7	5	−1.5	4.2	+0.04 +8.1
	Kbg	1832.0	52.95	7	+ 6	53.01	1832.0	2 56.7	7	0.0	56.7	0.00 +0.7
	Go	1886.2	53.32	5	− 5	53.27	1886.6	56.8	4	+0.3	57.1	0 0
		$129^a.0$	$+0^s.0047$			$+0^s.61$	$129^a.5$	$+0''.021$			$+2''.7$	
7	M	1757.4	$0^h18^m37^s.61$	2	$0^s.00$	$37^s.61$	1757.3	$- 2^\circ 51' 12''.5$	2	$0''.0$	$12''.5$	$0^s.00$ $+2''.7$
	P	(1800)	37.31	13	+ 12	37.43	(1800)	16.1	21	−2.6	18.7	+0.01 −2.6
	T		37.43	8	− 10	37.33		15.0	6	−1.4	16.4	+0.06 +0.5
	Kbg	1832.0	37.25	5	+ 6	37.31	1832.0	18.5	5	0.0	18.5	+0.03 −1.6
	Go	1885.8	37.10	5	− 5	37.05	1885.3	18.5	5	+0.4	18.1	0 0
		$107^a.1$	$-0^s.0044$			$-0^s.47$	$106^a.7$	$-0''.023$			$-2''.5$	
10	M	1757.4	$0^h21^m26^s.46$	2	$0^s.00$	$26^s.46$	1757.3	$+ 2^\circ 10' 38''.6$	2	$0''.0$	$38''.6$	$+0^s.07$ 0
	Z	(1793)	25.94		+ 18	26.12						−0.21
	P	(1800)	26.27	5	+ 13	26.40		43.3	8	−2.8	40.5	+0.08 $+1''.9$
	T		26.39	4	− 10	26.29		40.3	4	−1.5	38.8	+0.03 +0.3
	Go	1885.7	26.22	7	− 5	26.17	1886.0	38.2	5	+0.3	38.5	0 0
		$108^a.7$	$-0^s.0017$			$-0^s.19$	$128^a.7$	$-0''.001$			$-0''.1$	
14	M	1757.8	$0^h27^m36^s.07$	1	$0^s.00$	$36^s.07$	1757.8	$- 1^\circ 14' 28''.0$	1	$0''.0$	$28''.0$	$-0^s.07$ $+1''.8$
	Z	(1793)	36.00		+ 18	36.18						+0.06
	P	(1800)	36.00	7	+ 13	36.13	(1800)	30.4	8	−2.6	33.0	+0.01 −1.8
	T		36.33	1	− 10	36.23		31.9	3	−1.4	33.3	+0.13 −1.0
	Go	1885.9	36.12	4	− 5	36.07	1885.6	34.4	4	+0.4	34.0	0 0
		$102^a.3$	$-0^s.0006$			$-0^s.06$	$106^a.7$	$-0''.033$			$-3''.5$	
20	s. Vergl. II; MP vgl. Go $107^a.0$ $-0^s.14$ ($-0^s.0013$) PGo 86^a $-0''.1$ ($-0''.001$)											
21	M	1757.8	$0^h37^m\ 9^s.34$	1	$0^s.00$	$9^s.34$	1757.8	$- 4^\circ 29' 11''.7$	1	$0''.0$	$11''.7$	$+0^s.04$ $+1''.3$
	P	(1800)	9.32	9	+ 12	9.44	(1800)	11.9	9	−2.5	14.4	−0.02 −1.3
	T		9.95	2	− 11	9.84		13.1	4	−1.3	14.4	+0.24 −1.2
	Go	1885.9	9.87	4	− 6	9.81	1886.1	13.8	4	+0.5	13.3	0 0
		$100^a.0$	$+0^s.0040$			$+0^s.40$	$107^a.2$	$-0''.002$			$-0''.2$	
22	M	1757.5	$0^h39^m13^s.27$	3	$0^s.00$	$13^s.27$	1757.4	$- 0^\circ 22' 23''.1$	3	$0''.0$	$23''.1$	$-0^s.28$ 0
	Z	(1793)	14.16		+ 19	14.35						+0.27
	P	1802.8	14.10	7	+ 13	14.23	1802.8	21.8	7	−2.7	24.5	0.00 $+0''.4$
	T		14.98	3	− 10	14.88		25.4	4	−1.4	26.8	+0.16 −0.6
	Go	1886.2	15.54	6	− 5	15.49	1886.8	28.7	4	+0.4	28.3	0 0
		$101^a.8$	$+0^s.0151$			$+1^s.54$	$129^a.4$	$-0''.040$			$-5''.2$	
24	M	1757.8	$0^h42^m14^s.63$	1	$0^s.00$	$14^s.63$	1757.8	$+ 4^\circ 43' 45''.7$	2	$0''.0$	$45''.7$	$+0^s.06$ 0
	Z	(1793)	16.27		+ 19	16.46						+0.10
	P	1806.6	16.74	13	+ 14	16.88	1806.6	42 59.0	13	−2.8	56.2	−0.17 $+6''.0$
	T		18.74	8	− 9	18.65		17.5	9	−1.4	16.1	+0.16 −1.7
	Kbg	1833.7	18.45	8	+ 6	18.51	1833.7	19.4	8	0.0	19.4	−0.01 +0.1
	Go	1885.8	21.12	3	− 5	21.07	1885.9	41 19.7	3	+0.2	19.9	0 0
		$100^a.0$	$+0^s.0508$			$+5^s.08$	$128^a.1$	$-1''.138$			$-145''.8$	

Nr.	Aut.	Ep.	Æ 1885	Beob.	Red. BVC.	red. Æ	Ep.	Decl. 1885	Beob.	Red. BVC.	red. Decl.	Abweich.	
29	M	1756.7	$0^h47^m24^s.64$	2	$0^s.00$	$24^s.64$	1756.7	$+\ 3^\circ27'47''.9$	2	0″.0	47″.9	$+0^s.02$	0
	Z	(1793)	24.33		+ 19	24.52						+0.04	
	P	(1800)	24.23	7	+ 14	24.37		50.7	7	−2.8	47.9	−0.08	+1″.0
	T		24.70	3	− 10	24.60		47.1	3	−1.5	45.6	+0.28	−0.4
	Go	1885.6	24.17	5	− 5	24.12	1885.7	44.5	5	+0.3	44.8	0	0
		109ª.0	$-0^s.0039$			$-0^s.42$	129ª.0	−0″.024			−3″.1·		
30	M	1756.7	$0^h49^m21^s.56$	1	$0^s.00$	$21^s.56$	1756.7	$+\ 6^\circ13'49''.1$	1	0″.0	49″.1	$+0^s.06$	+0″.8
	Z		22.02		+ 19	22.21						+0.62	
	P	(1800)	21.43	12	+ 14	21.57	(1800)	50.5	12	−2.9	47.6	−0.03	−0.8
	T		21.79·	3	− 9	21.70·		50.9	4	−1.6	49.3	+0.02	+0.8
	Go	1885.6	21.86	4	− 5	21.81	1885.7	48.4	5	+0.2	48.6	0	0
		100ª.0	$+0^s.0024$			$+0^s.24$	106ª.4	+0″.002			+0″.2·		
31	M	1756.7	$0^h50^m\ 7^s.80$	1	$0^s.00$	$7^s.80$	1756.7	$+13^\circ19'42''.2$·	1	0″.0	42″.2·	$+0^s.35$	−0″.1
	Z	(1793)	7.05		+ 19	7.24						−0.11	
	P	(1800)	6.94	7	+ 16	7.10	(1800)	45.8	9	−2.8	43.0	−0.23	+0.1
	T		7.20	5	− 8	7.12		44.1	5	−1.6	42.5	−0.12	−0.9
	Go	1886.2	7.15	5	− 5	7.10	1886.6	44.0	4	+0.1	44.1	0	0
		103ª.0	$-0^s.0027$			$-0^s.28$	108ª.3	+0″.014			+1″.5		
33	M	1756.7	$0^h51^m53^s.20$	2	$0^s.00$	$53^s.20$	1756.7	$+13^\circ\ 4'25''.8$	2	0″.0	25″.8	$+0^s.33$	0
	Z	(1793)	52.40		+ 19	52.59						−0.14	
	P	(1800)	52.36	9	+ 16	52.52		28.6	9	−2.7	25.9	−0.18	−0″.2
	T		52.62	5	− 7	52.55		28.7	5	−1.6	27.1	−0.02	+0.8
	Go	1886.1	52.42	4	− 5	52.37	1886.1	26.5	4	+0.1	26.6	0	0
		102ª.9	$-0^s.0039$			$-0^s.40$	129ª.4	+0″.006			+0″.8		
37	M	1756.7	$0^h57^m49^s.06$	1	$0^s.00$	$49^s.06$	1756.7	$+\ 6^\circ\ 8'50''.4$	1	0″.0	50″.4	$-0^s.11$	0″.0
	Z	(1793)	48.93		+ 20	49.13						0.00	
	P	(1800)	49.10	6	+ 14	49.24	(1800)	53.2	8	−2.8	50.4	+0.12	0.0
	T		49.23	4	− 9	49.14		51.9	4	−1.5	50.4	+0.07	0.0
	Go	1886.1	49.05	4	− 5	49.00	1885.9	50.2	4	+0.2	50.4	0	0
		102ª.9	$-0^s.0014$			$-0^s.14$	107ª.6	0″.000			0″.0		
40	M	1756.7	$1^h\ 2^m21^s.41$	1/4	$0^s.00$	$21^s.41$	1756.7	$+\ 9^\circ17'34''.1$	1	0″.0	34″.1	$+0^s.40$	−0″.8
	P	(1800)	20.68	6	+ 15	20.83	(1800)	39.4	7	−2.8	36.6	−0.20	+0.8
	T	(1835)	21.33	3	− 9	21.24		36.8	3	−1.5	35.3	+0.20	−1.1
	Go	1886.1	21.11	4	− 5	21.06	1885.9	37.4	4	+0.1	37.5	0	0
		69ª	$+0^s.0004$			$+0^s.02$·	107ª.6	+0″.020			+2″.1·		
42	M	1756.7	$1^h\ 4^m52^s.19$	2	$0^s.00$	$52^s.19$	1756.7	$+\ 8^\circ56'\ 6''.3$	2	0″.0	6″.3	$-0^s.01$	0
	Z	(1793)	52.18		+ 20	52.38						+0.01	
	P	1802.5	52.27	6	+ 15	52.42	1802.5	19.5	6	−2.8	16.7	+0.01	−1″.2
	T		52.55	3	− 9	52.46		27.3	3	−1.7	25.6	−0.10	−0.5
	Go	1886.1	52.84	4	− 5	52.79	1886.1	38.9	4	+0.1	39.0	0	0
		108ª.9	$+0^s.0045$			$+0^s.49$·	129ª.4	+0″.253			+32″.7		
43	M	1756.7	$1^h\ 5^m27^s.73$	1	$0^s.00$	$27^s.73$	1756.7	$+\ 9^\circ40'49''.3$	1	0″.0	49″.3	$-0^s.04$	+0″.4
	Z	(1793)	27.47		+ 20	27.67						−0.01	
	P	(1800)	27.56	4	+ 15	27.71	(1800)	51.3	6	−2.8	48.5	+0.05	−0.4
	T		27.27	3	− 9	27.18		49.0	4	−1.7	47.3	−0.40	−1.5
	Go	1886.2	27.50	5	− 5	27.45	1886.8	48.6	5	+0.1	48.7	0	0
		103ª.0	$-0^s.0024$			$-0^s.25$	108ª.5	−0″.002			−0″.2		
48	M	1756.7	$1^h13^m25^s.96$	1	$0^s.00$	$25^s.96$	1756.7	$+\ 2^\circ41'11''.6$·	1	0″.0	11″.6·	$-0^s.03$	+1″.8
	Z	(1793)	26.05		+ 20	26.25						−0.06	
	P	(1800)	26.33	6	+ 14	26.47	(1800)	9.6	6	−2.8	6.8	+0.09	−1.8
	T		26.80	2	− 10	26.70		8.6	4	−1.5	7.1	+0.11	−0.5
	Go	1886.1	27.20	4	− 5	27.15	1886.1	5.9	4	+0.3	6.2	0	0
		102ª.9	$+0^s.0090$			$+0^s.92$	107ª.8	−0″.028			−3″.0		

Nr.	Aut.	Ep.	Æ 1885	Beob.	Red. BVC.	red. Æ	Ep.	Decl. 1885	Beob.	Red. BVC.	red. Decl.	Abweich.
50	M	1756.7	$1^h16^m41^s.46$	1	$0^s.00$	$41^s.46$	1756.7	+ 1° 7′ 38″.7	1	0″.0	38″.7	$-0^s.14$ +1″.2
	P	(1800)	41.63	5	+ 13	41.76	(1800)	37.1	7	−2.7	34.4	+0.14 −1.2
	T		41.63	5	− 10	41.53		36.5	5	−1.4	35.1	−0.11 +1.1
	Kbg	1834.1	41.54	5	+ 6	41.60	1834.1	33.5	5	−0.5	33.0	−0.04 −1.0
	Go	1886.6	41.72	4	− 5	41.67	1886.8	31.3	4	+0.3	31.6	0 0
		$107^a.8$	$+0^s.0006$			$+0^s.06$	$108^a.5$	−0″.046			−4″.9	
51	M	1756.7	$1^h16^m46^s.45$	1	$0^s.00$	$46^s.45$	1756.7	+ 4° 8′ 10″.0	1	0″.0	10″.0	$-0^s.17$ −2″.1
	Z		48.31[1]		+ 20	[48.51]						
	P	1810	46.38	7	+ 14	46.52	1810	17.2	8	−2.8	14.4	+0.09 +2.1
	T		46.49	4	− 10	46.39		14.0	4	−1.5	12.5	+0.05 +0.2
	Go	1886.3	46.21	4	− 5	46.16	1886.4	12.1	4	+0.3	12.4	0 0
		$94^a.1$	$-0^s.0036$			$-0^s.34$	$103^a.0$	+0″.002			+0″.2	
52	M	1756.7	$1^h16^m55^s.60$	1	$0^s.00$	$55^s.60$	1756.7	+ 6° 48′ 6″.9	1	0″.0	6″.9	$+0^s.19$ +0″.8
	Z	(1793)	55.23		+ 20	55.43						−0.15
	P	1803.5:	55.44	4	+ 15	55.59	1801.9	19.1	10	−2.9	16.2	−0.04 −0.8
	T		56.25	2	− 9	56.16		23.7	5	−1.6	22.1	+0.38 −2.8
	Go	1886.6	56.07	4	− 5	56.02	1886.4	37.0	4	+0.2	37.2	0 0
		$102^a.2$	$+0^s.0047$			$+0^s.48$	$107^a.1$	+0″.239			+25″.6	
55	M	1756.7	$1^h22^m12^s.61$	1	$0^s.00$	$12^s.61$	1756.7	+16° 29′ 3″.4	1	0″.0	3″.4	$+0^s.31$ −0″.5
	Z	(1793)	11.98		+ 20	12.18						−0.34
	P	(1800)	12.42	5	+ 17	12.59	(1800)	6.5	5	−2.8	3.7	+0.03 +0.5
	T		12.97	5	− 7	12.90		3.2	5	−1.5	1.7	+0.12 −0.9
	Go	1886.1	13.13	4	− 4	13.09	1886.2	1.6	4	+0.1	1.7	0 0
		$102^a.9$	$+0^s.0061$			$+0^s.63$	$107^a.9$	−0″.017			−1″.8	
58	M	1756.8	$1^h25^m37^s.59$	1	$0^s.00$	$37^s.59$	1756.8	+10° 17′ 45″.2	1	0″.0	45″.2	$-0^s.07$ +1″.5
	Z	(1793)	37.47		+ 20	37.67						−0.07
	P	(1800)	37.74	7	+ 15	37.89	(1800)	45.7	7	−2.8	42.9	+0.13 −1.5
	T		37.96	3	− 9	37.87		46.1	3	−1.7	44.4	+0.03 −0.5
	Go	1886.3	38.01	5	− 5	37.96	1886.4	45.6	4	+0.1	45.7	0 0
		$103^a.0$	$+0^s.0023$			$+0^s.24$	$108^a.0$	+0″.015			+1″.6	
59	M	1756.7	$1^h27^m16^s.39$	2	$0^s.00$	$16^s.39$	1756.7	+ 7° 37′ 8″.8	2	0″.0	8″.8	$-0^s.06$ 0
	Z	(1793)	16.25		+ 20	16.45						−0.01
	P	(1800)	16.44	11	+ 15	16.59		10.6	11	−2.8	7.8	+0.13 −0″.3
	T		16.56	6	− 9	16.47		10.9	5	−1.6	9.3	+0.01 +1.8
	Kbg	1832.9	16.40	5	+ 6	16.46	1832.9	6.6	5	−0.5	6.1	0.00 −1.5
	Go	1885.9	16.51	4	− 5	16.46	1885.9	6.5	4	+0.2	6.7	0 0
		$109^a.3$	$0^s.0000$			$+0^s.00$	$129^a.2$	−0″.016			−2″.1	
60	M	1756.7	$1^h28^m50^s.77$	1	$0^s.00$	$50^s.77$	1756.7	+ 7″ 41′ 10″.3	1	0″.0	10″.3	$-0^s.18$ +1″.0
	Z	(1793)	50.70		+ 20	50.90						+0.03
	P	(1800)	50.85	8	+ 15	51.00	(1800)	10.7	8	−2.8	7.9	+0.15 −1.0
	T		50.92	4	− 9	50.83		8.6	4	−1.6	7.0	+0.05 −1.5
	Go	1885.9	50.72	5	− 5	50.67	1886.2	7.7	4	+0.2	7.9	0 0
		$102^a.7$	$-0^s.0021$			$-0^s.22$	$107^a.9$	−0″.011			−1″.2	
63	M	1756.8	$1^h34^m30^s.95$	2	$0^s.00$	$30^s.95$	1756.8	+ 8° 10′ 35″.3	2	0″.0	35″.3	$+0^s.13$ 0
	Z	(1793)	30.65		+ 20	30.85						−0.17
	P	(1800)	30.82	4	+ 15	30.97		38.6	4	−2.8	35.8	−0.08 −0″.5
	T		31.50	5	− 9	31.41		39.4	3	−1.6	37.8	+0.17 +0.7
	Kbg	1833.8	31.07	5	+ 6	31.13	1833.8	37.7	5	−0.5	37.2	−0.10 +0.1
	Go	1886.1	31.56	5	− 5	31.51	1886.0	38.1	5	+0.2	38.3	0 0
		$109^a.5$	$+0^s.0053$			$+0^s.58$	$129^a.2$	+0″.023			+3″.0	
64	M	1756.7	$1^h35^m21^s.94$	1	$0^s.00$	$21^s.94$	1756.7	+ 8° 29′ 24″.3	1	0″.0	24″.3	$-0^s.04$ +0″.9
	Z	(1793)	21.58		+ 20	21.78						−0.17
	P	(1800)	22.02	4	+ 15	22.17	(1800)	26.0	5	−2.8	23.2	+0.22 −0.9
	T		22.14	3	− 9	22.05		25.2	4	−1.6	23.6	+0.12 −1.1
	Go	1886.1	21.95	5	− 5	21.90	1886.2	25.4	4	+0.2	25.6	0 0
		$102^a.9$	$-0^s.0006$			$-0^s.06$	$107^a.9$	+0″.017			+1″.8	

[1] Wohl -2^s zu corr.

Nr.	Aut.	Ep.	α 1885	Beob.	Red. BVC.	red. α	Ep.	Decl. 1885	Beob.	Red. BVC.	red. Decl.	Abweich.	
68	M	1756.7	$1^h41^m\ 2^s.79$	1	$0^s.00$	$2^s.79$	1756.7	$+10^\circ16'\ 4''.1$	1	$0''.0$	$4''.1$	$-0^s.16$	$-2''.0$
	P	(1800)	2.91	6	+ 15	3.06	(1800)	11.8	6	-2.8	9.0	+0.08	+2.0
	T		3.13	4	− 8	3.05		10.8	4	-1.6	9.2	+0.05	+1.6
	Go	1885.4	3.08	5	− 5	3.03	1885.6	8.5	4	+0.1	8.6	0	0
		$98^a.8$	+0.0006			+0.06	$107^a.3$	+0.019			+2.0		
74	M	1756.8	$1^h53^m16^s.68$	2	$0^s.00$	$16^s.68$	1756.8	$+11^\circ44'\ 14''.6$	2	$0''.0$	$14''.6$	$+0^s.08$	0
	Z	(1793)	16.34		+ 19	16.53						−0.02	
	P	(1800)	16.24	11	+ 16	16.40		18.2	11	-2.9	15.3	−0.14	+1.8
	T		16.56	5	− 8	16.48		13.2	5	-1.6	11.6	−0.02	−1.1
	Kbg	1831.7	16.50	6	+ 6	16.56	1831.7	13.5	6	-0.5	13.0	+0.06	+0.3
	Go	1885.9	16.48	4	− 5	16.43	1885.9	11.3	4	+0.1	11.4	0	0
		$109^a.3$	−0.0013			−0.14	$129^a.1$	−0.025			−3.2		
79	M	1756.7	$2^h\ 1^m27^s.88$	2	$0^s.00$	$27^s.88$	1756.7	$+17^\circ29'\ 2''.0$	2	$0''.0$	$2''.0$	$+0^s.22$	0
	Z	(1793)	27.09		+ 19	27.28						−0.25	
	P	(1800)	27.13	4	+ 18	27.31		3.1	7	-2.7	0.4	−0.19	+1.5
	T		27.29	3	− 6	27.23		28 52.1	4	-1.5	50.6	−0.13	−5.7
	Go	1886.4	27.20	4	− 4	27.16	1886.1	52.5	4	+0.1	52.6	0	0
		$109^a.8$	−0.0039			−0.43	$129^a.4$	−0.073			−9.4		
81	M	1756.7	$2^h\ 4^m53^s.94$	1	$0^s.00$	$53^s.94$	1756.7	$+20^\circ50'\ 1''.0$	1	$0''.0$	$1''.0$	$+0^s.29$	$-2''.7$
	Z	(1793)	54.07		+ 19	54.26						−0.06	
	P	1800.8	54.04	7	+ 19	54.23	1800.8	9.5	7	-2.6	6.9	−0.23	+2.6
	T		55.05	2	− 5	55.00		6.2	5	-1.4	4.8	−0.09	+0.1
	Go	1886.2	56.06	4	− 3	56.03	1886.3	5.4	4	0.0	5.4	0	0
		$102^a.7$	+0.0184			+1.89	$107^a.5$	+0.013			+1.4		
86	M	1756.7	$2^h13^m53^s.21$	2	$0^s.00$	$53^s.21$	1756.7	$-\ 4^\circ52'\ 32''.6$	2	$0''.0$	$32''.6$	$-0^s.22$	0
	P	(1800)	53.72	4	+ 13	53.85		28.9	5	-2.5	31.4	+0.21	+0.7
	T		53.58	3	− 10	53.48		31.1	4	-1.2	32.3	−0.12	−0.7
	Go	1886.1	54.11	4	− 5	54.05	1885.9	31.5	5	+0.5	31.0	0	0
		$107^a.8$	+0.0049			+0.52	$129^a.2$	+0.012			+1.6		
105	M	1756.7	$3^h\ 2^m44^s.31$	1	$0^s.00$	$44^s.31$	1756.7	$+20^\circ19'(25''.6:)$	1/2	$0''.0$	$12''.0$:[1]	$+0^s.06$	$+0''.5$
	P	(1800)	44.07	5	+ 20	44.27	(1800)	15.2	5	-2.6	12.6	−0.06	−0.2
	T		44.38	6	− 2	44.36		15.5	6	-1.3	14.2	−0.02	+0.3
	Kbg	1835.5	44.34	7	+ 6	44.40	1835.5	14.5	7	-0.3	14.2	+0.02	+0.3
	Go	1886.3	44.49	5	− 2	44.47	1886.3	15.4	4	0.0	15.4	0	0
		$108^a.0$	+0.0017			+0.18	$100^a.7$	+0.030			+3.0		
106	M	1757.1	$3^h\ 3^m\ 1^s.76$	1	$0^s.00$	$1^s.76$	1757.1	$+18^\circ56'26''.2$	1	$0''.0$	$26''.2$	$-0^s.39$	$+1''.6$
	Z	(1793)	2.31		+ 10	2.41						+0.25	
	P	(1800)	2.10	6	+ 20	2.30	(1800)	27.0	8	-2.7	24.3	+0.13	−1.6
	T		2.21	4	− 2	2.19		28.0	4	-1.3	26.7	+0.01	−0.1
	Go	1886.9	2.23	5	− 3	2.20	1887.0	28.3	4	0.0	28.3	0	0
		$103^a.5$	+0.0004			+0.04	$108^a.5$	+0.028			+3.0		
115	M	1756.8	$3^h22^m19^s.60$	1	$0^s.00$	$19^s.60$	1756.8	$+10^\circ59'36''.6$	1	$0''.0$	$36''.6$	$+0^s.02$	$+0''.5$
	Z	(1793)	19.37		+ 8	19.45						−0.05	
	P	(1800)	19.32	8	+ 19	19.51	(1800)	36.3	8	-2.8	33.5	+0.03	−0.5
	T		19.23	3	− 4	19.19		32.5	4	-1.4	31.1	−0.20	−1.3
	Go	1886.8	19.30	4	− 3	19.27	1887.0	29.8	4	+0.1	29.9	0	0
		$103^a.5$	−0.0024			−0.25	$108^a.6$	−0.047			−5.1		
116	M	1757.1	$3^h23^m13^s.24$	1	$0^s.00$	$13^s.24$	1757.1	$+16^\circ21'57''.2$	1	$0''.0$	$57''.2$	$+0^s.24$	$+0''.9$
	P	(1800)	12.72	7	+ 20	12.92	(1800)	57.7	7	-2.8	54.9	−0.13	−0.9
	T		13.02	10	− 2	13.00		55.9	8	-1.3	54.6	−0.08	−0.7
	Go	1886.8	13.16	5	− 3	13.13	1887.0	54.6	4	+0.1	54.7	0	0
		$101^a.1$	+0.0010			+0.10	$108^a.5$	−0.012			−1.3		

[1] Corr. $+1^v$ für ZD. ang.

Nr.	Aut.	Ep.	Æ 1885	Beob.	Red. BVC.	red. Æ	Ep.	Decl. 1885	Beob.	Red. BVC.	red. Decl.	Abweich.	
120	M	1757.1	$3^h27^m36^s.79$	1/2	0s.00	[36s.79]	1757.1	+17° 2S′ 2″.6	1	0″.0	2″.6	[+2s.34]	+2″.7
	Z	(1793)	34.52		+ 8	34.60						−0.08	
	P	1802.5	34.63	8	+ 20	34.83	1803.2	27 44.9	4	−2.7	42.2	+0.09	−2.8
	T		34.95	3	− 2	34.93		33.8	4	−1.3	32.5	−0.05	−2.1
	Go	1886.2	35.29	5	− 2	35.27	1886.4	17.8	5	+0.1	17.9	0	0
		88a.4	+0s.0063			+0s.55	106a.3	−0″.325			−34″.5		
121	M	1757.1	$3^h31^m20^s.40$	1	0s.00	20s.40	1757.1	+15° 3′ 11″.6	1	0″.0	11″.6	−0s.01	+1″.0
	Z	(1793)	20.32		+ 8	20.40						−0.05	
	P	(1800)	20.35	6	+ 20	20.55	(1800)	11.2	6	−2.8	8.4	+0.08	−1.0
	T		20.62	3	− 2	20.60		8.2	4	−1.3	6.9	+0.09	−1.4
	Go	1886.8	20.60	4	− 3	20.57	1886.2	6.7	7	+0.1	6.8	0	0
		103a.4	+0s.0012			+0s.12	107a.7	−0″.030			−3″.2		
134	M	1756.8	$3^h42^m30^s.63$	1	0s.00	30s.63	1756.8	+24° 1′46″.5	1	0″.0	46″.5	0	0
	Bess.	1840.0	30.57	Hel.	+ 4	30.61	1840.0	45.4	Hel.	0.0	45.4	−0s.01	+0″.7
	Go	1886.2	30.62	6	− 1	30.61	1886.4	43.7	5	0.0	43.7	0	0.0
		129a.4	−0s.0002			−0s.02	129a.6	−0″.022			−2″.8		
136	M	1756.8	$3^h46^m34^s.54$	1	0s.00	34s.54	1756.8	+16° 59′ 3″.5	1	0″.0	3″.5	+0s.37	0″.0
	Z	(1793)	34.30		+ 8	34.38						−0.15	
	P	1807.8	34.24	7	+ 21	34.45	1804.0	5.3	6	−2.7	2.6	−0.23	0.0
	T		35.01	5	− 2	34.99		2.9	11	−1.2	1.7	+0.03	−0.2
	Kbg	1831.7	35.00	7	+ 6	35.06	1831.7	2.9	7	−0.3	2.6	+0.14	+0.6
	Go	1886.4	35.49	6	− 2	35.47	1887.0	0.8	4	+0.1	0.9	0	0
		100a.5	+0s.0100			+1s.01	106a.6	−0″.020			−2″.1		
137	s. Vgl. II; MZP vgl. Go Gl_2 104a.8 +0s.40 (+0″.0038) 102a.7 −11″.0 (−0″.107)												
145	s. Vgl. II; Lal BZ vgl. GlGo 71a.6 −0s.11 (−0s.0015) MGo 125a.0 +4″.7 (+0″.038)												
164	M	1757.1	$4^h23^m32^s.46$	1	0s.00	32s.46	1757.1	+19° 35′ 26″.3	1	0″.0	26″.3	−0s.04	+2″.4
	Z	(1793)	32.65		+ 7	32.72						+0.03	
	P	(1800)	32.53	5	+ 22	32.75	(1800)	22.6	6	−2.7	19.9	+0.02	−2.4
	T		33.00	3	0	33.00		22.7	4	−1.0	21.7	+0.08	+0.7
	Go	1886.3	33.21	5	− 1	33.20	1886.3	19.1	4	0.0	19.1	0	0
		102a.9	+0s.0054			+0s.56	107a.8	−0″.037			−4″.0		
168	M	1757.0	$4^h24^m11^s.18$	2	0s.00	11s.18	1757.0	+15° 53′ 55″.5	2	0″.0	55″.5	+0s.01	0
	Z	(1793)	11.35		+ 7	11.42						+0.03	
	P	(1800)	11.17	6	+ 21	11.38		58.1	6	−2.8	55.3	−0.06	+0″.7
	T		11.67	2	− 1	11.66		54 4.3	6	−1.1	3.2	0.00	+9.3
	Go	1886.3	11.99	5	− 1	11.98	1886.3	53 52.8	4	+0.1	52.9	0	0
		109a.5	+0s.0063			+0s.69	129a.3	−0″.020			−2″.6		
171	M	1756.1	$4^h28^m58^s.68$	1	0s.00	58s.68	1756.1	+19° 38′ 34″.3	1**	0″.0	34″.3	+0s.31	−3″.4
	Z	1793)	58.09		+ 7	58.16						−0.13	
	P	(1800)	57.91	7	+ 22	58.13	(1800)	41.5	8	−2.6	38.9	−0.15	+1.7
	T		58.27	3	0	58.27		37.3	4	−1.0	36.3	+0.06	−0.6
	Go	1886.6	58.12	5	− 1	58.11	1887.1	36.3	4	0.0	36.3	0	0
		103a.6	−0s.0020			−0s.21	101a.7	−0″.011			−1″.1		
177	M	1756.4	$4^h39^m33^s.31$	6	0s.00	33s.31	1756.6	+18° 31′ 40″.7	6*	0″.0	40″.7	0	0
	Z		33.30		+ 8	33.38						−0.10	
	P		33.42	12	+ 23	33.65		41.1	10	−2.7	38.4	+0.13	+0″.5
	T		33.73	6	0	33.73		35.4	5	−1.0	34.4	+0.05	−1.2
	Kbg	1832.3	33.60	5	+ 8	33.68	1832.3	33.8	5	−0.3	33.5	+0.01	−2.3
	Go	1886.9	33.94	5	− 1	33.93	1887.1	32.2	4	+0.1	32.3	0	0
		130a.5	+0s.0048			+0s.62	130a.5	−0″.064			−8″.4		
178	s. Vgl. II; Lal BZ vgl. 10y Go 73a.8 +0s.07 −1″.1 (+0s.0009 −0″.015)												

Nr.	Aut.	Ep.	Æ 1885	Beob.	Red. BVC.	red. Æ	Ep.	Decl. 1885	Beob.	Red. BVC.	red. Decl.	Abweich.	
179	M	1756.4	$4^h41^m56^s.49$	3¹/₄	$0^s.00$	$56^s.49$	1756.5	+18°31′48″.0	3*	0″.0	48″.0	0	−0″.1
	Z	(1793)	57.23		+ 8	57.31						+0ˢ.35	
	P	1802.0	56.85	7	+ 23	57.08	1803.1	33.6	5	−2.7	30.9	+0.01	+0.2
	T		57.58	4	0	57.58		20.8	4	−1.0	19.8	+0.07	+1.1
	Go	1886.3	58.21	5	− 1	58.20	1886.3	30 59.4	4	+0.1	59.5	0	0
		129ª.9	+0ˢ.0132			+1ˢ.71	114ª.3	−0″.374			−42″.8		
182	M	1756.1	$4^h47^m23^s.55\cdot$	1	$0^s.00$	$23^s.55\cdot$	1756.1	+16°50′ 8″.2	1**	0″.0	8″.2	−0ˢ.18	−1″.5
	Z	(1793)	23.91		+ 8	23.99						+0.07	
	P	(1800)	23.85	7	+ 22	24.07	(1800)	13.3	8	−2.7	10.6	+0.12	+0.7
	T		24.15	3	0	24.15		10.5	4	−1.0	9.5	+0.02	−0.5
	Go	1886.1	24.39	4	− 1	24.38	1886.3	10.2	4	+0.1	10.3	0	0
		103ª.1	+0ˢ.0049			+0ˢ.51	100ª.9	+0″.005			+0″.5		
183	M	1756.1	$4^h48^m12^s.26$	2	$0^s.00$	$12^s.26$		+19°17′				0	
	Lal(HC)	1797.1	12.33	1	+ 23	12.56	1797.1	57″.0	1	−2″.7	54″.3	+0ˢ.12	−0″.3
	BZ	1823.0	12.47	1	+ 6	12.53	1823.0	54.5	1	+0.1	54.6	−0.02	+0.3
	Go	1886.8	12.82	4	0	12.82	1887.1	53.8	4	0.0	53.8	0	0
		130ª.7	+0ˢ.0043			+0ˢ.56	77ª.0	−0″.008			−0″.6		
184	M	1756.9	$4^h48^m18^s.71$	1	$0^s.00$	$18^s.71$	1756.9	+16°11′55″.1	1	0″.0	55″.1	−0ˢ.04	+0″.3
	Z	(1793)	18.74		+ 8	18.82						+0.14	
	P	(1800)	18.36	6	+ 22	18.58	(1800)	57.3	6	−2.8	54.5	−0.09	−0.3
	T		18.49	4	0	18.49		54.8	4	−1.0	53.8	−0.12	−0.9
	Go	1886.8	18.53	4	− 1	18.52	1887.1	54.6	4	+0.1	54.7	0	0
		103ª.5	−0ˢ.0017			−0ˢ.18	108ª.6	−0″.001			−0″.1		
185	s. Vgl. II; ML vgl. Go 116ª.0 +0ˢ.02 (+0ˢ.0002) LBZ vgl. Go 75ª.5 −4″.1 (−0″.054)												
186	M	1756.9	$4^h48^m42^s.87$	1	$0^s.00$	$42^s.87$	1756.9	+16°26′ 4″.6	1	0″.0	4″.6	+0ˢ.07	+0″.8
	Z	(1793)	42.68		+ 8	42.76						+0.03	
	P	(1800)	42.39	4	+ 22	42.61	(1800)	4.8	5	−2.7	2.1	−0.11	−0.8
	T		42.81	2	0	42.81		7.4	4	−1.0	6.4	+0.15	+4.2
	Go	1886.8	42.58	4	− 1	42.57	1887.1	1.1	4	+0.1	1.2	0	0
		103ª.5	−0ˢ.0017			−0ˢ.18	108ª.6	−0″.020			−2″.1		
190	M	1756.9	$4^h52^m28^s.06$	1	$0^s.00$	$28^s.06$	1756.9	+14°21′59″.9	1	0″.0	59″.9	−0ˢ.19	+0″.9
	Z	(1793)	28.12		+ 8	28.20						+0.05	
	P	(1800)	28.06	9	+ 22	28.28	(1800)	60.6	8	−2.8	57.8	+0.15	−1.0
	T		27.75	5	− 1	27.74		62.3	1	−1.1	61.2	−0.30	+2.5
	Go	1886.3	27.91	5	− 1	27.90	1886.2	58.4	4	+0.1	58.5	0	0
		103ª.0	−0ˢ.0027			−0ˢ.28	107ª.7	−0″.004			−0″.4		
193	s. Vgl. II; Gbr Go 75ª.1 +0ˢ.06 (+0ˢ.0008) M Go 130ª.0 −0″.2 (−0″.002)												
196	M	1756.2	$4^h57^m30^s.48$	3	$0^s.00$	$30^s.48$	1756.2	+21° 6′58″.9	3**	0″.0	58″.9	0	+1″.5
	Z		30.31		+ 8	30.39						−0ˢ.08	
	P		30.28	13	+ 24	30.52	(1800)	58.2	12	−2.6	55.6	+0.05	−1.5
	T		30.37	6	+ 1	30.38		57.4	5	−0.8	56.6	−0.08	−0.3
	Kbg	1832.9	30.32	5	+ 8	30.40	1832.7	57.8	5	−0.3	57.5	−0.06	+0.6
	Go	1886.1	30.45	4	0	30.45	1886.1	56.6	3	0.0	56.6	0	0
		129ª.9	−0ˢ.0002			−0ˢ.03	108ª.0	−0″.006			−0″.6		
198	M	1756.5	$4^h58^m45^s.48$	3	$0^s.00$	$45^s.48$	1756.7	+19°38′52″.2	3*	0″.0	52″.2	0	0
	Z		45.08		+ 8	45.16						−0ˢ.29	
	P		45.25	15	+ 23	45.48		53.2	12	−2.6	50.6	+0.03	−1″.2
	T		45.55	4	+ 1	45.56		51.9	4	−0.9	51.0	+0.13	−0.5
	Go	1886.4	45.39	8	0	45.39	1886.7	51.0	7	0.0	51.0	0	0
		129ª.9	−0ˢ.0007			−0ˢ.09	130ª.0	−0″.009			−1″.2		
208	M	1757.1	$5^h12^m26^s.49$	2	$0^s.00$	$26^s.49$	1757.1	+20° 0′49″.1	2	0″.0	49″.1	−0ˢ.24	0
	Z	(1793)	26.65		+ 9	26.74						+0.08	
	P	(1800)	26.81	5	+ 23	27.04		49.5	5	−2.6	46.9	+0.40	−1″.3
	T		26.76	6	+ 1	26.77		48.0	5	−0.9	47.1	+0.21	−0.4
	Kbg	1836.3	26.52	5	+ 11	26.63	1836.3	49.0	5	−0.3	48.7	+0.07	+1.3
	Go	1886.1	26.45	5	0	26.45	1886.1	46.4	4	0.0	46.4	0	0
		109ª.3	−0ˢ.0022			−0ˢ.24	129ª.0	−0″.021			−2″.7		

Nr.	Aut.	Ep.	Æ 1885	Beob.	Red. BVC.	red. Æ	Ep.	Decl. 1885	Beob.	Red. BVC.	red. Decl.	Abweich.	
209	M	1756.2	$5^h13^m44^s.4$::				1756.2	+27°50′23″.7	1**	0″.0	23″.7		−0″.8
	P	(1800)	46.19	6	+0^s.25	46^s.44	(1800)	26.5	7	−2.2	24.3	+0^s.05	+0.4
	T	(1835)	46.21	4	+ 2	46.23		22.9	4	−0.3	22.6	−0.05	−0.8
	Go	1887.1	46.12	4	0	46.12	1887.1	22.5	4	+0.1	22.6	0	0
		70^a	−0^s.0031			−0^s.21	101^a.7	−0″.015			−1″.5		
Die bei M notirte Durchgangszeit $6^h52^m20^s$:: ist offenbar nur die geschätzte runde Zeit des Antritts an F. 5.													
210	s. Vgl. II; MZP vgl. Go 104^a.1 −0^s.28 −2″.1 (−0^s.0027 −0″.020)												
211	s. Vgl. II; MGo 129^a.6 −0^s.05 (−0^s.0004) 130^a.1 −1″.5 (−0″.012)												
219	M	1756.2	$5^h26^m48^s.67$	2	0^s.00	48^s.67	1756.2	+20°23′31″.0	2**	0″.0	31″.0	−0^s.21	+1″.1
	Z	(1793)	48.89		+ 9	48.98						+0.16	
	P	(1800)	48.85	12	+ 23	49.08	(1800)	31.4	12	−2.6	28.8	+0.27	−1.1
	T		48.64	6	+ 1	48.65		29.0	5	−0.8	28.2	−0.10	−1.8
	Kbg	1833.6	48.63	7	+ 11	48.74	1833.6	29.5	7	−0.3	29.2	−0.01	−0.8
	Go	1886.1	48.66	5	0	48.66	1886.1	30.1	4	0.0	30.1	0	0
		109^a.7	−0^s.0017			−0^s.19	108^a.0	+0″.002			+0″.2		
228	M	1756.2	$5^h38^m26^s.58$	1½	0^s.00	26^s.58	1756.2	+18°39′12″.7	2**	0″.0	12″.7	−0^s.01	+2″.6
	Z	(1793)	26.28:		+ 9	26.37:						−0.16	
	P	(1800)	26.39	4	+ 23	26.62	(1800)	11.6	5	−2.7	8.9	+0.10	−2.6
	T		26.51	4	0	26.51		13.2	4	−0.9	12.3	+0.06	−0.3
	Go	1886.6	26.36	5	0	26.36	1887.1	14.3	4	0.0	14.3	0	0
		109^a.7	−0^s.0018			−0^s.20	109^a.0	+0″.032			+3″.5		
230	M	1756.1	$5^h40^m\ 6^s.76$	1	0^s.00	6^s.76	1756.1	+20°14′11″.0	1**	0″.0	11″.0	−0^s.05	+1″.6
	Z	(1793)	6.78		+ 9	6.87						+0.07	
	P	(1800)	6.53·	6	+ 23	6.76·	(1800)	11.4	7	−2.6	8.8	−0.03	−0.8
	T		6.86	3	+ 1	6.87		9.1	4	−0.8	8.3	+0.09	−1.6
	Go	1886.3	6.76	4	0	6.76	1886.3	10.2	4	0.0	10.2	■	■
		103^a.3	−0^s.0004			−0^s.04	100^a.9	+0″.007			+0″.7		
231	M	1757.0	$5^h40^m52^s.57$	1	0^s.00	52^s.57	1757.0	+24°38′(10″.8·)	1	0″.0	32″.0[1]	−0^s.06	−0″.9
	Z	(1793)	52.49		+ 10	52.59						+0.02	
	P	(1800)	52.34	10	+ 25	52.59	(1800)	37.7	7	−2.4	35.3	+0.04	+0.9
	T		52.35	2	+ 2	52.37		38.7	4	−0.6	38.1	−0.13	+2.5
	Kbg	1851.9	52.44	5	+ 11	52.55	1851.9	35.2	5	−0.3	34.9	+0.08	−1.3
	Go	1886.6	52.40	6	+ 1	52.41	1886.8	37.4	4	0.0	37.4	0	0
		103^a.3	−0^s.0017			−0^s.17	108^a.3	+0″.035			+3″.8		
[1] Die Ablesung der ZD. 28^{p}12^p 1″.7 gibt δ 23″ zu klein. Eine Aenderung dieser Ablesung um −2″ ist ausgeschlossen; da die Identität des Sterns nicht zweifelhaft ist, muss sehr wahrscheinlich 28 12 0.^{1}3/4 gelesen werden.													
233	s. Vgl. II.												
234	s. Vgl. II; MZP vgl. Go 98^a.9 −0^s.16 (−0^s.0016) PT vgl. Go 70^a +0″.3· (+0″.005)												
250	M	1756.1	$6^h\ 0^m49^s.40$·	1	0^s.00	49^s.40·						+0^s.21	
	Z	(1793)	49.06		+ 11	49.17						−0.02	
	P	(1800)	48.77	7	+ 24	49.01	(1800)	+22°43′10″.5	7	−2″.5	8″.0	−0.18	−0″.8
	T		49.05	4	+ 1	49.06	(1835)	11.4	4	−0.7	10.7	−0.13	+0.8
	Go	1886.3	49.17	4	+ 1	49.18	1885.9	11.5	4	0.0	11.5	0	0
		103^a.3	−0^s.0001			−0^s.01·	68^a	+0″.032			+2″.1·		
251	M	1757.0	$6^h\ 2^m37^s.12$	1	0^s.00	37^s.12	1757.0	+22°12′26″.3	1	0″.0	26″.3	+0^s.14	+0″.9
	Z	(1793)	36.54		+ 11	36.65						−0.18	
	P	(1800)	36.59	12	+ 24	36.83	(1800)	27.4	11	−2.5	24.9	+0.03	−0.9
	T		36.47	6	+ 1	36.48		27.0	5	−0.7	26.3	−0.17	+0.1
	Kbg	1832.1	36.38	6	+ 11	36.49	1832.1	26.1	6	−0.3	25.8	−0.17	−0.4
	Go	1885.9	36.43	4	0	36.43	1885.9	26.8	4	0.0	26.8	0	0
		102^a.6	−0^s.0043			−0^s.44	107^a.4	+0″.011			+1″.2		

Nr.	Aut.	Ep.	Æ 1885	Beob.	Red. BVC.	red. Æ	Ep.	Decl. 1885	Beob.	Red. BVC.	red. Decl.	Abweich.	
264	M		$6^h14^m22^s::$				1756.2	+21° 10′ 58″.7	1**	0″.0	58″.7		+2″.1
	Z	(1793)	21.94		+0^s.11	22^s.05						+0^s.08	
	P	(1800)	21.60	8	+ 24	21.84	(1800)	58.2	11	−2.6	55.6	−0.08	−1.0
	T		21.94	3	+ 1	21.95		53.6	3	−0.8	52.8	+0.28	−3.8
	Go	1886.3	21.30	4	0	21.30	1886.3	56.6	4	0.0	56.6	0	0
		90^a	−0^s.0072			−0^s.64·	100^a.9	0″.000			0″.0		
265	M	1756.2	$6^h14^m29^s.71$	1	0^s.00	29^s.71	1756.2	+21° 15′ 6″.4·	1**	0″.0	6″.4·	−0^s.11	+4″.1
	Z	(1793)	29.68		+ 11	29.79						+0.14	
	P	(1800)	29.26	10	+ 24	29.50	(1800)	2.4	10	−2.6	−0.2	−0.12	−2.1
	T		29.40	4	+ 1	29.41		1.6	3	−0.8	0.8	−0.04	−0.7
	Go	1886.1	29.22	4	0	29.22	1886.1	1.0	4	0.0	1.0	0	0
		103^a.0	−0^s.0046			−0^s.47	100^a.7	−0″.010			−1″.0		
266	s. Vgl. II; ZP vgl. Go 90^a −0^s.14 (−0^s.0016) MP vgl. Go 101^a.5 −2″.8 (−0″.028)												
274	M	1756.2	$6^h28^m16^s.25$	2	0^s.00	16^s.25	1756.2	+16° 17′ 37″.2	2**	0″.0	37″.2	−0^s.05	+0″.2
	Z	(1793)	16.09		+ 13	16.22						+0.03	
	P	(1800)	16.02	5	+ 23	16.25	(1800)	40.1	6	−2.8	37.3	+0.08	−0.2
	T		15.78	3	− 1	15.77		39.8	3	−1.0	38.8	−0.30	+0.9
	Go	1886.6	15.92	4	0	15.92	1886.6	38.3	4	+0.1	38.4	0	0
		110^a.2	−0^s.0029			−0^s.32	108^a.5	+0″.011			+1″.1·		
276	M	1756.2	$6^h33^m14^s.60$	2	0^s.00	14^s.60	1756.2	+19° 45′ 55″.3	2**	0″.0	55″.3	−0^s.13	+1″.6
	Z	(1793)	14.64		+ 13	14.77						+0.12	
	P	(1800)	14.55	11	+ 24	14.79	(1800)	51.5	8	−2.6	48.9	+0.15	−1.6
	T		14.60	3	0	14.60		47.0	4	−0.9	46.1	+0.03	−1.7
	Go	1885.7	14.47	5	0	14.47	1885.9	44.0	4	0.0	44.0	0	0
		109^a.3	−0^s.0020			−0^s.22	107^a.8	−0″.075			−8″.1		
277	M	1756.2	$6^h34^m44^s.18$	2	0^s.00	44^s.18	1756.2	+16° 30′ 12″.9·	2**	0″.0	12″.9·	+0^s.08	+2″.5
	Lal(uc)	1797.1	43.63	1	+ 23	43.86	1797.1	11.5	1	−2.8	8.7	−0.16	−2.4
	BZ	1825.2	43.74	1	+ 6	43.80	1825.2	14.3	1	0.0	14.3	−0.17	+2.7
	Go	1886.5	43.85	5	0	43.85	1886.7	12.5	4	+0.1	12.6	0	0
		116^a.7	−0^s.0019			−0^s.22	109^a.0	+0″.016			+1″.8		
286	M	1756.2	$6^h49^m35^s.51$	3	0^s.00	35^s.51	1756.2	+17° 53′ 12″.6	3**	0″.0	12″.6	0	+1″.7
	Z		35.55		+ 13	35.68						+0^s.23	
	P		35.25	14	+ 24	35.49	(1800)	10.4	14	−2.7	7.7	+0.05	−1.7
	T		35.44	9	− 1	35.43		7.8	5	−0.9	6.9	+0.05	−1.3
	Kbg	1831.8	35.19	6	+ 6	35.25	1831.8	6.9	6	−0.3	6.6	−0.14	−1.7
	Go	1886.4	35.30	4	0	35.30	1886.3	6.4	4	+0.1	6.5	0	0
		130^a.2	−0^s.0016			−0^s.21	108^a.2	−0″.034			−3″.6·		
287	M	1756.2	6^h51^m 1^s.30	2	0^s.00	1^s.30	1756.2	+18° 3′ 6″.1	2**	0″.0	6″.1	−0^s.07	−0″.6
	Z	(1793)	1.34		+ 13	1.47						+0.18	
	P	(1800)	1.01	11	+ 24	1.25	(1800)	11.1	8	−2.7	8.4	−0.03	+0.6
	T		1.15	4	− 1	1.14		8.5	5	−0.9	7.6	−0.06	−1.1
	Kbg	1832.9	0.91	5	+ 6	0.97	1832.9	8.3	5	−0.3	8.0	−0.24	−0.7
	Go	1886.3	1.09	5	0	1.09	1886.6	10.1	4	0.0	10.1	0	0
		110^a.0	−0^s.0022			−0^s.24	108^a.5	+0″.026			+2″.8·		
290	M	1756.2	$6^h53^m41^s.88$	1	0^s.00	41^s.88	1756.2	+23° 36′ 0″.5	1**	0″.0	0″.5	−0^s.26	+3″.0
	Z	(1793)	42.20		+ 13	42.33						+0.17	
	P	(1800)	42.01	8	+ 25	42.26	(1800)	35 58.0	8	−2.5	55.5	+0.09	−1.5
	T		42.42	4	0	42.42		57.6	4	−0.6	57.0	+0.23	+0.3
	Go	1886.5	42.21	5	+ 1	42.22	1886.9	56.2	4	0.0	56.2	0	0
		103^a.4	+0^s.0006			+0^s.06	101^a.5	−0″.010			−1″.0		
295	M	1757.1	$6^h59^m36^s.64$	1	0^s.00	36^s.64	1757.1	+17° 55′ 4″.0	1	0″.0	4″.0	−0^s.06	−1″.7
	Z	(1793)	36.50		+ 13	36.63						−0.01	
	P	(1800)	36.46	10	+ 24	36.70	(1800)	10.1	8	−2.7	7.4	+0.07	+1.7
	T		36.69	3	− 1	36.68		4.6	1	−0.9	3.7	+0.11	−2.0
	Go	1886.3	36.49	5	0	36.49	1886.6	5.6	4	+0.1	5.7	0	0
		102^a.9	−0^s.0016			−0^s.17	108^a.0	0″.000			0″.0		

Nr.	Aut.	Ep.	$\mathcal{A}$ 1885	Beob.	Red. BVC.	red. $\mathcal{A}$	Ep.	Decl. 1885	Beob.	Red. BVC.	red. Decl.	Abweich.
301	s. Vgl. II; ZP vgl. Go 90^a $-0^s.04$· ($-0^s.0005$) MP vgl. Go $108^a.5$ $-16''.6$ ($-0''.153$)											
302	M	1757.2	7^h10^m $8^s.83$	1	$0^s.00$	$8^s.83$	1757.2	$+16°20'45''.0$	1	$0''.0$	$45''.0$	$-0^s.16$ $-1''.4$
	Z	(1793)	8.82		+ 13	8.95						+0.04
	P	(1800)	8.79	8	+ 23	9.02	(1800)	52.5	7	−2.8	49.7	+0.12 +1.4
	T		8.83	6	− 2	8.81		50.4	7	−1.0	49.4	−0.02 −0.5
	Go	1886.3	8.72	4	0	8.72	1886.3	52.2	4	+0.1	52.3	0 0
		$102^a.9$	$-0^s.0021$			$-0^s.21$	$107^a.7$	$+0''.046$			$+4''.9$·	
307	M	1757.1	$7^h16^m23^s.80$	1	$0^s.00$	$23^s.80$	1757.1	$+18°29'44''.1$	1	$0''.0$	$44''.1$	$-0^s.14$ $+2''.5$
	Z	(1793)	23.62		+ 13	23.75						−0.07
	P	(1800)	23.75	7	+ 24	23.99	(1800)	39.7	6	−2.7	37.0	+0.20 −2.5
	T		24.05	8	− 2	24.03		37.9	4	−1.1	36.8	+0.37 −0.9
	Go	1886.5	23.48	5	0	23.48	1886.8	35.1	4	0.0	35.1	0 0
		$103^a.1$	$-0^s.0036$			$-0^s.37$	$108^a.3$	$-0''.050$			$-5''.4$·	
310	M	1757.2	7^h20^m $5^s.26$·	1	$0^s.00$	$5^s.26$·	1757.2	$+21°45'53''.1$	1	$0''.0$	$53''.1$	$+0^s.03$ $-0''.2$
	Z	(1793)	4.06		+ 13	4.19						−0.25
	P	1803.8	4.17	5	+ 25	4.42	1803.8	55.6	6	−2.5	53.1	+0.22 +0.2
	T		4.02	3	− 2	4.00		53.7	4	−0.8	52.9	+0.48 +0.2
	Go	1886.3	2.38	5	+ 1	2.39	1886.6	52.3	4	0.0	52.3	0 0
		$101^a.6$	$-0^s.0220$			$-2^s.23$·	$106^a.1$	$-0''.008$			$-0''.8$	
318	M	1756.2	$7^h30^m48^s.66$	1	$0^s.00$	$48^s.66$	1756.2	$+19°10'44''.2$·	1**	$0''.0$	$44''.2$·	$-0^s.18$ $+2''.2$
	Z	(1793)	48.91		+ 13	49.04						+0.27
	P	(1800)	48.43	7	+ 24	48.67	(1800)	41.3	7	−2.7	38.6	−0.09 −1.1
	T		48.83	4	− 2	48.81		38.8	4	−0.9	37.9	+0.12 +0.2
	Go	1886.3	48.59	4	0	48.59	1886.3	34.7	4	+0.1	34.8	0 0
		$103^a.2$	$-0^s.0019$			$-0^s.20$	$100^a.9$	$-0''.056$			$-5''.7$	
319	M	1757.1	$7^h31^m16^s.92$	1/2	$0^s.00$	$[16^s.92]$	1757.1	$+24°36'56''.6$	1	$0''.0$	$56''.6$	$[+0^s.15]$ $-0''.6$
	Z	(1793)	16.54		+ 13	16.67						−0.10
	P	(1800)	16.61	5	+ 26	16.87	(1800)	61.7	5	−2.4	59.3	+0.10 +0.3
	T		16.73	3	− 1	16.72		61.7	4	−0.6	61.1	−0.05 +1.1
	Go	1886.5	16.77	5	+ 1	16.78	1886.9	61.8	4	0.0	61.8	0 0
		90^a	$+0^s.0001$			$+0^s.01$	$108^a.3$	$+0''.036$			$+3''.8$·	
320	M	1757.1	$7^h32^m15^s.34$	1/2	$0^s.00$	$[15^s.34]$	1757.1	$+24°28'57''.2$	1	$0''.0$	$57''.2$	$[+0^s.17]$ $+2''.4$
	Z	(1793)	14.76		+ 13	14.89						−0.25
	P	(1800)	15.13	6	+ 26	15.39	(1800)	55.4	6	−2.4	53.0	+0.25 −2.4
	T		15.07	4	− 1	15.06		56.0	4	−0.6	55.4	−0.05 −0.6
	Go	1886.3	15.06	5	+ 1	15.07	1886.6	56.8	4	0.0	56.8	0 0
		90^a	$-0^s.0008$			$-0^s.07$	$108^a.0$	$+0''.016$			$+1''.7$	
325	M	1757.1	$7^h36^m31^s.54$	1/2	$0^s.00$	$[31^s.54]$	1757.1	$+22°40'$ $6''.2$	1	$0''.0$	$6''.2$	$[+0^s.18]$ $-0''.4$
	Z	(1793)	31.09		+ 13	31.22						−0.08
	P	(1800)	31.13	5	+ 25	31.38	(1800)	10.6	5	−2.5	8.1	+0.08 +0.4
	T		31.33	6	− 2	31.31		12.4	5	−0.8	11.6	+0.07 +3.0
	Go	1886.8	31.16	4	+ 1	31.17	1886.6	9.9	4	0.0	9.9	0 0
		90^a	$-0^s.0014$			$-0^s.13$	$108^a.0$	$+0''.025$			$+2''.7$·	
330	M	1757.1	$7^h45^m16^s.06$	1/2	$0^s.00$	$[16^s.06]$	1757.1	$+19°37'$ $8''.8$	1	$0''.0$	$8''.8$	$[-0^s.10]$ $-0''.3$
	Z	(1793)	15.83		+ 12	15.95						−0.01
	P	(1800)	15.68	6	+ 24	15.92	(1800)	11.5	6	−2.6	8.9	0.00 +0.3
	T		15.65	6	− 3	15.62		9.2	5	−0.9	8.3	−0.10 +0.2
	Kbg	1829.9	15.54	7	+ 13	15.67	1829.9	7.4	7	+0.6	8.0	−0.08 −0.2
	Go	1885.4	15.43	4	0	15.43	1885.4	7.5	4	0.0	7.5	0 0
		89^a	$-0^s.0057$			$-0^s.50$·	$106^a.8$	$-0''.013$			$-1''.3$·	
336	M	1757.2	7^h59^m $8^s.01$	1	$0^s.00$	$8^s.01$	1757.3	$+13°49'49''.6$	1	$0''.0$	$49''.6$	$+0^s.14$ $+0''.4$
	Z	(1793)	7.50		+ 10	7.60						−0.20
	P	(1800)	7.63	12	+ 22	7.85	(1800)	51.6	12	−2.8	48.8	+0.06 −0.4
	T		7.96·	4	− 5	7.91·		49.8	4	−1.1	48.7	+0.19 −0.4
	Go	1886.6	7.63	4	0	7.63	1886.6	48.9	4	+0.1	49.0	0 0
		$103^a.2$	$-0^s.0018$			$-0^s.19$	$108^a.0$	$-0''.002$			$-0''.2$	

Nr.	Aut.	Ep.	$\mathcal{A}$ 1885	Beob.	Red. BVC.	red. $\mathcal{A}$	Ep.	Decl. 1885	Beob.	Red. BVC.	red. Decl.	Abweich.	
340	M	1757.1	$8^h\ 3^m 26^s.98$	1	$0^s.00$	$26^s.98$	1757.1	$+17^\circ 21' 15''.1$	1	0″.0	15″.1	$-0^s.22$	+2″.5
	Z	(1793)	27.23		+ 10	27.33						+0.16	
	P	(1800)	26.99	7	+ 23	27.22	(1800)	12.5	7	−2.7	9.8	+0.05	−2.5
	T		27.18·	4	− 5	27.13·		11.5	4	−1.0	10.5	−0.02	−1.5
	Go	1885.5	27.12	3	0	27.12	1885.4	11.4	4	+0.1	11.5	0	0
		102ª.1	−0ˢ.0006			−0ˢ.06	106ª.8	−0″.009			−0″.9·		
341	M	1757.2	$8^h\ 5^m\ 0^s.33$	1	$0^s.00$	$0^s.33$	1757.2	$+10^\circ\ 9' 44''.6$	1	0″.0	44″.6	$-0^s.07$	+1″.3
	Z	(1793)	0.30		+ 10	0.40						+0.03	
	P	(1800)	0.22	13	+ 19	0.41	(1800)	44.6	12	−2.9	41.7	+0.04	−1.3
	T		0.36	14	− 6	0.30		42.0	10	−1.2	40.8	−0.05	−2.0
	Go	1885.4	0.33	4	− 1	0.32	1885.4	42.4	4	+0.1	42.5	0	0
		102ª.0	−0ˢ.0006			−0ˢ.06	106ª.8	−0″.006			−0″.6·		
345	M	1757.1	$8^h\ 7^m 36^s.35$	1	$0^s.00$	$36^s.35$	1757.1	$+18^\circ\ 1' 14''.3^1$	1	0″.0	14″.3	$+0^s.04$	−0″.1
	Z	(1793)	36.04		+ 10	36.14						−0.12	
	P	(1800)	36.13	9	+ 20	36.33	(1800)	18.4	9	−2.7	15.7	+0.08	+0.1
	T		36.26	4	− 5	36.21		16.2	5	−1.0	15.2	+0.02	−1.4
	Kbg	1831.9	36.06	8	+ 19	36.25	1831.9	17.1	8	0.0	17.1	+0.05	+0.6
	Go	1886.9	36.12	4	0	36.12	1886.9	18.0	4	0.0	18.0	0	0
		103ª.5	−0ˢ.00014			−0ˢ.15	108ª.3	+0″.028			+3″.0		

[1] Zl). -2^p corr.

347	M	1757.2	$8^h 11^m 18^s.15$	1	$0^s.00$	$18^s.15$	1757.2	$+\ 9^\circ 13' 16''.9$	1	0″.0	16″.9	$-0^s.03$	+1″.0
	Z	(1793)	18.09		+ 10	18.19						+0.06	
	P	(1800)	17.91	8	+ 19	18.10	(1800)	18.0	8	−2.9	15.1	−0.02	−1.0
	T		18.04	4	− 7	17.97		15.5	4	−1.2	14.3	−0.11	−1.9
	Go	1886.6	18.02	4	− 1	18.01	1886.6	16.2	4	+0.1	16.3	0	0
		103ª.2	−0ˢ.0013			−0ˢ.14	108ª.0	+0″.003			+0″.3		
356	M	1757.1	$8^h 22^m 55^s.63$	2	$0^s.00$	$55^s.63$	1756.3	$+26^\circ 34' 31''.4$	1**	0″.0	31″.4	$-0^s.08$	+2″.1
	Z	(1793)	55.62		+ 10	55.72						+0.17	
	P	(1800)	55.30	6	+ 22	55.52	(1800)	30.5	9	−2.2	28.3	0.00	−1.1
	T		55.41	4	− 3	55.38		30.0	4	−0.5	29.5	+0.02	+0.1
	Go	1886.6	55.12	4	+ 1	55.13	1886.6	29.4	4	+0.1	29.5	0	0
		109ª.8	−0ˢ.0045			−0ˢ.49·	101ª.2	+0″.002			+0″.2		
357	M	1757.1	$8^h 22^m 50^s.88$	1	$0^s.00$	$50^s.88$	1757.1	$+24^\circ 43' 40''.8$	1	0″.0	40″.8	$0^s.00$	+1″.1
	Z	(1793)	50.79		+ 10	50.89						+0.10	
	P	(1800)	50.45	7	+ 21	50.66	(1800)	40.3	7	−2.4	37.9	−0.11	−1.1
	T		50.97	2	− 4	50.93		37.1	3	−0.7	36.4	+0.25	−1.9
	Go	1886.6	50.54	4	+ 1	50.55	1886.6	37.4	4	0.0	37.4	0	0
		103ª.2	−0ˢ.0025			−0ˢ.26	108ª.0	−0″.018			−1″.9·		
360	M	1757.2	$8^h 25^m\ 5^s.63$	2	$0^s.00$	$5^s.63$	1757.2	$+19^\circ 22' 29''.9$	2	0″.0	29″.9	$-0^s.12$	0
	Z	(1793)	5.62		+ 10	5.72						+0.04	
	P	(1800)	5.66	6	+ 21	5.87		31.1	6	−2.6	28.5	+0.10	−1″.0
	T		5.52	2	− 5	5.47		30.2	4	−1.0	29.2	−0.13	+0.1
	Kbg	1851.1	5.61	5	+ 19	5.80	1851.1	25.8	5	0.0	25.8	+0.23	−3.2
	Go	1886.5	5.50	5	0	5.50	1886.6	28.5	4	+0.1	28.6	0	0
		109ª.7	−0ˢ.0019			−0ˢ.21	129ª.4	−0″.010			−1″.3		
363	M	1756.3	$8^h 27^m 23^s.27$	1	$0^s.00$	$23^s.27$	1756.3	$+13^\circ 39'$ 2″.6	2**	0″.0	2″.6	$+0^s.15$	−0″.1
	Z	(1793)	22.73		+ 9	22.82						−0.22	
	P	(1800)	22.89	10	+ 20	23.09	(1800)	4.8	11	−2.8	2.0	+0.07	+0.1
	T		22.96	3	− 7	22.89		2.1	4	−1.2	0.9	−0.05	−0.1
	Go	1886.5	22.82	5	0	22.82	1886.6	0.0	4	+0.1	0.1	0	0
		103ª.4	−0ˢ.0023			−0ˢ.24	108ª.5	−0″.020			−2″.2		

365 s. Vgl. II; MZL vgl. Go $104^a.3$ $-0^s.44$ oder $-0^s.27$ ($-0^s.0042$ oder $-0^s.0026$) $108^a.0$ +2″.9· (+0″.027)

Nr.	Aut.	Ep.	Æ 1885	Beob.	Red. BVC.	red. Æ	Ep.	Decl. 1885	Beob.	Red. BVC.	red. Decl.	Abweich.
366	M	1756.8	$8^h29^m40^s.85$	$1^1/_2$	$0^s.00$	$40^s.85$	1756.7	$+15°42'42''.5$	2*	0″.0	42″.5	$+0^s.05$ +0″.7
	Z	(1793)	40.65		+ 9	40.74						−0.05
	P	(1800)	40.59	12	+ 20	40.79	(1800)	42.8	12	−2.8	40.0	0.00 −0.7
	T		40.80	3	− 7	40.73		39.4	4	−1.1	38.3	−0.05 −1.4
	Go	1886.1	40.76	5	0	40.76	1886.1	38.2	5	+0.1	38.3	0 0
		$102^a.8$	$-0^s.0003$			$-0^s.03$	$107^a.7$	−0″.027			−2″.9·	
367	M	1756.6	$8^h31^m11^s.62$	6	$0^s.00$	$11^s.62$	1756.8	$+19°40'$ 1″.1	6*	0″.0	1″.1	0 0
	Z		11.40		+ 9	11.49						$-0^s.02$
	P		11.51	5	+ 21	11.72		1.3	5	−2.6	− 1.3	+0.24 −2″.8
	T		11.10	3	− 5	11.05		2.9	4	−1.0	1.9	−0.32 +0.1
	Go	1886.4	11.22	5	− 1	11.21	1886.3	2.1	5	+0.1	2.2	0 0
		$129^a.8$	$-0^s.0032$			$-0^s.41$	$129^a.5$	+0″.008			+1″.1	
371	M	1756.6	$8^h33^m15^s.33$	$2^2/_3$	$0^s.00$	$15^s.33$	1756.8	$+19°56'42''.2$	2*	0″.0	42″.2	0 −0″.2
	P		14.72	5	+ 21	14.93	(1800)	45.8	5	−2.6	43.2	$-0^s.23$ +0.2
	T		15.23	10	− 5	15.18		46.0	7	−1.0	45.0	+0.17 +1.4
	Kbg	1832.2	14.80	6	+ 19	14.99	1832.2	44.8	6	0.0	44.8	−0.04 +1.3
	Go	1885.6	14.81	4	0	14.81	1885.6	44.4	4	0.0	44.4	0 0
		$129^a.0$	$-0^s.0040$			$-0^s.52$	$107^a.2$	+0″.016			+1″.7	
374	s. Vgl. II; $125^a.7$ $-0^s.50$ $(-0^s.0040)$ EB. in Decl. = 0											
385	M	1756.3	$8^h42^m20^s.47$	2	$0^s.00$	$20^s.47$	1756.3	$+12°58'$ 6″.4	2**	0″.0	6″.4	$+0^s.01$ −1″.6
	Z	(1793)	20.22		+ 9	20.31						−0.07
	P	(1800)	20.22	7	+ 20	20.42	(1800)	14.2	7	−2.9	11.3	+0.06 +1.6
	T		20.78	5	− 7	20.71		12.4	4	−1.2	11.2	+0.42 +0.1
	Go	1886.6	20.17	4	0	20.17	1886.6	13.0	4	+0.1	13.1	0 0
		$110^a.2$	$-0^s.0023$			$-0^s.25$	$108^a.5$	+0″.039			+4″.2·	
386	M	1756.3	$8^h44^m\ 9^s.31$	$1^1/_4$	$0^s.00$	$9^s.31$	1756.2	$+18°25'50''.2$	2**	0″.0	50″.2	$-0^s.19$ +2″.2
	P	(1800)	9.47	4	+ 20	9.67	(1800)	48.8	5	−2.7	46.1	+0.19 −2.2
	T		9.83	6	− 6	9.77		48.1	7	−1.1	47.0	+0.30 −1.4
	Kbg	1830.5	9.29	6	+ 19	9.48	1832.2	48.4	5	0.0	48.4	0.00 −0.1
	Go	1886.7	9.46	5	0	9.46	1886.7	48.8	5	0.0	48.8	0 0
		$108^a.6$	$-0^s.0003$			$-0^s.03$	$108^a.6$	+0″.006			+0″.6·	
387	s. Vgl. II; MD'AgP vgl. ParGo $103^a.3$ $-0^s.39$ $(-0^s.0038)$ $103^a.0$ +1″.1· (+0″.011)											
389	M	1756.8	$8^h46^m43^s.80$	4	$0^s.00$	$43^s.80$	1756.9	$+17°48'$ 13″.1	5*	0″.0	13″.1	0 0
	P		43.41	10	+ 18	43.59		13.3	10	−2.8	10.5	$+0^s.04$ −1″.1
	T		43.40	7	− 6.·	43.33·		9.4	5	−1.1	8.3	−0.02 −2.1
	Kbg	1833.6	43.23	5	+ 19	43.42	1833.6	10.5	5	0.0	10.5	+0.06 0.0
	Go	1887.2	43.07	4	0	43.07	1887.2	8.5	4	+0.1	8.6	0 0
		$130^a.4$	$-0^s.0056$			$-0^s.73$	$130^a.3$	−0″.035			−4″.5	
390	M	1756.2	$8^h47^m20^s.66$	$1^1/_2$	$0^s.00$	$20^s.66$	1757.0	$+20°24'$ 4″.9	2*	0″.0	4″.9	$-0^s.07$ +1″.0
	Lal(IIC.)	1796.7	20.42	2	+ 18	20.74	1796.7	4.3	2	−2.7	0.2	+0.07 −3.8
	(S.)	1801.2	20.93	1	+ 8		1801.2	−0.5	1	−2.0		
	P		21.05	6	+ 18	21.23	(1800)	5.7	6	−2.7	3.0	+0.56 −1.0
	T		20.79	3	− 6	20.73		5.1	4	−1.0	4.1	+0.11 +0.1
	Go	1885.7	20.55	4	0	20.55	1885.7	4.1	4	0.0	4.1	0 0
		$108^a.1$	$-0^s.0014$			$-0^s.15$	$107^a.2$	+0″.001			+0″.1·	

Die Æ des Piazzi'schen Catalogs ist zu gross, vielleicht mit einem Fehler von +5″ oder +10″ behaftet.

391	M	1756.3	$8^h47^m21^s.52$	1	$0^s.00$	$21^s.52$	1756.3	$+17°58'46''.5$	1**	0″.0	46″.5	$-0^s.10$ +0″.9
	P	(1800)	21.38	6	+ 18	21.56	(1800)	47.9	6	−2.8	45.1	+0.05 −0.4
	T		21.58	8	− 6.·	21.51·		46.4	5	−1.1	45.3	+0.09 −0.2
	Go	1885.8	21.31	5	0	21.31	1885.8	45.3	5	+0.1	45.4	0 0
		$100^a.4$	$-0^s.0024$			$-0^s.24$	$100^a.4$	−0″.002			−0″.2	

Nr.	Aut.	Ep.	Æ 1885	Beob.	Red. BVC.	red. Æ	Ep.	Decl. 1885	Beob.	Red. BVC.	red. Decl.	Abweich.
392	M	1756.2	$8^h47^m21^s.29$	1	$0^s.00$	$21^s.29$	1756.2	$+14°50'38''.5$	1**	0″.0	38″.5	$+0^s.30$ $+3''.3$
	P	(1800)	20.66	4	+ 18	20.84	(1800)	36.3	6	−2.9	33.4	−0.15 −1.6
	T		21.35	4	− 7	21.28		35.6	4	−1.2	34.4	+0.29 −0.5
	Go	1887.2	21.00	4	0	21.00	1887.2	34.5	4	+0.1	34.6	0 0
		$101^a.8$	$+0^s.0001$			$+0^s.01$	$101^a.8$	−0″.005			−0″.5	
393	M	1756.2	$8^h48^m\ 3^s.67:$	1/2	$0^s.00$	$[3^s.67:]$	1756.2	$+14°42'25''.7::$	1**	0″.0		$[-1^s.64]$
	Z	(1793)	5.02		+ 9	5.11						−0.10
	P	(1800)	5.12	10	+ 18	5.30	(1800)	45.1	13	−2.9	42″.2	+0.10 0
	T		5.15	4	− 7	5.08		43.0	4	−1.2	41.8	−0.04 −1″.7
	Go	1886.2	5.00	4	0	5.00	1886.0	45.3	4	+0.1	45.4	0 0
		90^a	$-0^s.0023$			$-0^s.20\cdot$	86^a	+0″.037			+3″.2	

Die nur im Mayer'schen Catalog erhaltene Declination ist vermuthlich $+1^v$ zu corrigiren und wird dann für 1885 = $+14°42'38''.9$. Die Beobachtung hat aber überhaupt keinen Werth, der Stern ($8^m.2$) ist für Mayer's Instrument schon zu schwach gewesen.

394	M	1756.2	$8^h48^m54^s.27\cdot$	2 1/2	$0^s.00$	$54^s.27\cdot$	1756.2	$+17°40'$ 5″.1	3**	0″.0	5″.1	$-0^s.06$ $+0''.9$
	P	(1800)	54.17	5	+ 18	54.35	(1800)	6.6	5	−2.8	3.8	+0.06 −0.8
	T		54.34	8	− 7	54.27		5.3	5	−1.1	4.2	+0.03 −0.8
	Kbg	1830.7	54.09	6	− 3	54.06	1830.7	4.0	6	+0.5	4.5	−0.19 −0.5
	Go	1885.9	54.18·	6	0	54.18	1885.9	5.4	6	+0.1	5.5	0 0
		$107^a.8$	$-0^s.0012$			$-0^s.13$	$107^a.8$	+0″.010			+1″.1	
395	M	1756.2	$8^h49^m14^s.47:$	1/2	$0^s.00$	$[14^s.47:]$	1756.2	$+14°37'22''.5:$	1**	0″.0	[22″.5:]	$[-2^s.60:]$ [+10″.0]
	P	(1800)	16.86	6	+ 18	17.04	(1800)	15.0	6	−2.9	12.1	0.00 −0″.3
	T	(1835)	17.07	3	− 7	17.00	(1835)	13.6	4	−1.2	12.4	0.00 +0.3
	Kbg	1851.8	17.20	5	+ 19	17.39	1851.8	11.7	5	0.0	11.7	+0.40 −0.3
	Go	1887.0	16.96	5	0	16.96	1887.0	11.7	5	+0.1	11.8	0 0
		70^a	$-0^s.0009$			$-0^s.06$	70^a	−0″.006			−0″.4·	

Unsichere Mayer'sche Beobachtung, deren Original fehlt. Auch dieser Stern (B.D. $7^m.8$) ist für Mayer wohl schon zu schwach gewesen.

397	M	1756.3	$8^h50^m40^s.70$	1 1/2	$0^s.00$	$40^s.70$	1756.2	$+17°35'12''.4$	2**	0″.0	12″.4	$+0^s.01$ $+1''.4$
	Z	(1793)	40.42		+ 9	40.51						−0.07
	P	(1800)	40.45	6	+ 18	40.63	(1800)	11.2	7	−2.8	8.4	+0.07 −1.4
	T		40.55	3	− 7	40.48		9.4	4	−1.1	8.3	+0.02 −0.4
	Go	1886.2	40.31	4	0	40.31	1886.2	7.1	4	+0.1	7.2	0 0
		$103^a.1$	$-0^s.0029$			$-0^s.30$	$108^a.1$	−0″.030			−3″.2	
401	M	1756.3	$8^h52^m41^s.62$	1	$0^s.00$	$41^s.62$	1756.3	$+18°35'$ 1″.8·	1**	0″.0	1″.8·	$+0^s.08$ $-0''.3$
	Z	(1793)	41.25		+ 9	41.34						−0.05
	P	(1800)	41.14	5	+ 18	41.32	(1800)	2.8	6	−2.8	0.0	−0.04 +0.2
	T		41.25	6	− 7	41.18		34 59.2	5	−1.1	58.1	−0.04 +0.1
	Kbg	1832.8	41.12	5	+ 19	41.31	1832.8	57.9	5	0.0	57.9	+0.08 −0.2
	Go	1886.9	41.01	4	0	41.01	1886.9	55.1	4	+0.1	55.2	0 0
		$103^a.8$	$-0^s.0040$			$-0^s.42$	$101^a.5$	−0″.053			−5″.4	
402	M	1756.2	$8^h53^m\ 7^s.74$	1 1/2	$0^s.00$	$7^s.74$	1756.2	$+13°31'19''.7$	2**	0″.0	19″.7	$+0^s.20$ $+1''.8$
	Z	(1793)	7.37		+ 9	7.46						−0.07
	P	1805.0	7.22	6	+ 18	7.40	1805.0	16.8	6	−3.0	13.8	−0.13 −1.8
	T		7.57	3	− 8	7.49		10.8	4	−1.2	9.6	−0.04 −4.6
	Go	1885.2	7.52	5	0	7.52	1885.2	11.7	5	+0.1	11.8	0
		$100^a.5$	$-0^s.0001$			$-0^s.01$	$104^a.6$	−0″.047			−4″.9·	

Argelander vermuthet (B.B. VII S. 126), dass Mayer eine der beiden Declinationen 1^v falsch beobachtet oder reducirt habe, so dass für 1885 richtig zu lesen sein würde: $+13°31'13''.1$. Für diese Annahme ist aber kein genügender Grund vorhanden, vielmehr eine negative Eigenbewegung wahrscheinlich, da Pi. durch 2 Lalande'sche Beobachtungen bestätigt wird (nach Baily für 1885 $+13°31'14''.6$ Ep. 1796.7).

404	M	1756.2	$8^h58^m21^s.48$	2 1/4	$0^s.00$	$21^s.48$	1756.2	$+11°18'23''.1$	2*	0″.0	23″.1	$-0^s.12$ $-1''.2$
	Z	(1793)	21.69		+ 9	21.78						+0.18
	P	(1800)	21.48	6	+ 18	21.66	(1800)	28.0	6	−2.9	25.1	+0.06 +1.2
	T		21.94	3	− 8	21.86		24.7	4	−1.3	23.4	+0.27 −0.3
	Go	1885.5	21.59	5	− 1	21.58	1885.5	23.2	5	+0.1	23.3	0 0
		$109^a.1$	$-0^s.0002$			$-0^s.02$	$107^a.4$	−0″.007			−0″.8	

Nr.	Aut.	Ep.	Æ 1885	Beob.	Red. BVC.	red. Æ	Ep.	Decl. 1885	Beob.	Red. BVC.	red. Decl.	Abweich.
408	M						1756.2	+12° 2′ 6″.6	1**	0″.0	6″.6	+4″.4
	Z	(1793)	9h 3m 31s.41		+0s.09	31s.50						−0s.13
	P	(1800)	31.58	15	+ 18	31.76	(1800)	0.7	10	−3.0	1′ 57.7	+0.14 −2.2
	T		31.63	6	− 9	31.54		1 58.3	4	−1.3	57.0	+0.05 −1.1
	Go	1886.8	31.33	5	− 1	31.32	1886.8	55.4	5	+0.1	55.5	0 0
		90a	−0s.0033			−0s.31	101a.4	−0″.051			−5″.2	
411	M	1756.2	9h 11m 37s.22	2	0s.00	37s.22	1756.2	+11° 58′ 58″.5	2**	0″.0	58″.5	+0s.04 +1″.4
	Z	(1793)	37.00		+ 9	37.09						−0.03
	P	(1800)	36.89	17	+ 18	37.07	(1800)	58.1	16	−3.0	55.1	−0.04 −1.4
	T		37.12	6	− 9	37.03		56.8	5	−1.3	55.5	−0.02 −0.4
	Kbg	1832.4	36.93	8	+ 15	37.08	1832.4	55.5	8	+0.2	55.7	+0.03 −0.2
	Go	1886.4	36.97	5	− 1	36.96	1886.4	55.0	5	+0.1	55.1	0 0
		110a.0	−0s.0017			−0s.19	108a.3	−0″.016			−1″.7	
412	M	1756.2	9h 12m 32s.35·	1	0s.00	32s.35·	1756.2	+26° 44′ 8″.1	1**	0″.0	8″.1	+0s.02 −2″.0
	Z	(1793)	32.03		+ 9	32.12						−0.08
	P	(1800)	32.06	8	+ 18	32.24	(1800)	12.9	12	−2.4	10.5	+0.07 +1.0
	T		31.95	7	− 5	31.90		9.6	7	−0.6	9.0	−0.13 −0.1
	Go	1886.9	31.81	4	+ 1	31.82	1886.9	8.3	4	+0.1	8.4	0 0
		103a.8	−0s.0040			−0s.42	101a.5	−0″.013			−1″.3	
413	s. Vgl. II; ZP vgl. Go 89a −0s.26 (−0s.0029) 86a +3″.4 (+0″.040)											
414	M	1756.3	9h 14m 9s.89	1	0s.00	9s.89	1756.3	+19° 34′ 39″.0	1**	0″.0	39″.0	+0s.07 +3″.1
	Z	(1793)	9.75		+ 9	9.84						+0.08
	P	(1800)	9.43	5	+ 18	9.61	(1800)	37.6	5	−2.9	34.7	−0.14 −1.5
	T		9.85	4	− 7	9.78		37.3	4	−1.1	36.2	+0.09 −0.3
	Go	1885.7	9.61	4	0	9.61	1885.7	36.9	4	0.0	36.9	0 0
		102a.6	−0s.0017			−0s.17	100a.3	+0″.008			+0″.8	
417	M	1756.2	9h 17m 21s.01	1/2	0s.00	[21s.01]	1756.2	+ 8° 12′ 30″.4	1**	0″.0	30″.4	[−2s.20] +2″.5
	Z	(1793)	22.84		+ 9	22.93						−0.06
	P	(1800)	22.83	7	+ 18	23.01	(1800)	28.4	12	−3.1	25.3	+0.06 −1.2
	T		22.56	3	− 9	22.47		24.9	4	−1.3	23.6	−0.28 −1.8
	Go	1886.8	22.46	5	− 1	22.45	1886.7	23.6	6	+0.2	23.8	0 0
		90a	−0s.0058			−0s.52	101a.3	−0″.032			−3″.2	
423	M	1756.3	9h 28m 45s.14	2	0s.00	45s.14	1756.3	+13° 10′ 3″.3	2**	0″.0	3″.3	−0s.14 +1″.6
	Z		45.25		+ 9	45.34						+0.10
	P	(1800)	45.24	16	+ 18	45.42	(1800)	2.3	12	−3.1	9′ 59.2	+0.18 −1.6
	T		44.98	4	− 9	44.89		1.1	4	−1.3	59.8	−0.31 −0.3
	Kbg	1850.9	45.37	5	+ 15	45.52	1850.9	9 54.5	5	+0.2	54.7	+0.33 −5.1
	Go	1886.6	45.15	5	0	45.15	1886.6	59.0	5	+0.1	59.1	0 0
		110a.2	−0s.0010			−0s.11	108a.5	−0″.020			−2″.1·	
426	s. Vgl. II; α M vgl. QPar3Gl Go, δ MP vgl. Go 118a.6 −0s.58 (−0s.0049) 101a.8 +0″.5 (+0″.005)											
431	s. Vgl. II; MZP vgl. Go 103a.5 +0s.68 (+0s.0066 101a.2 −0″.4 (−0″.004											
436	M	1756.3	9h 48m 1s.43	1	0s.00	1s.43	1756.3	+ 8° 37′ 0″.7	1	0″.0	0″.7	+0s.06 +0″.2
	Z	(1793)	1.33		+ 9	1.42						+0.06
	P	(1800)	1.07	7	+ 18	1.25	(1800)	3.9	8	−3.2	0.7	−0.11 −0.2
	T		1.59	4	− 10	1.49		1.9	4	−1.4	0.5	+0.14 −0.6
	Go	1886.8	1.35	5	− 1	1.34	1886.8	1.3	5	+0.2	1.5	0 0
		103a.7	−0s.0003			−0s.03	108a.7	+0″.007			+0″.8	
441	M	1756.5	9h 57m 26s.37·	3	0s.00	26s.37·	1756.7	+10° 27′ 14″.9	3*	0″.0	14″.9	0 −0″.4
	Z		26.34		+ 9	26.43						+0s.09
	P		26.34	10	+ 18	26.52	(1800)	19.5	11	−3.2	16.3	+0.19 +0.4
	T		26.58	4	− 10	26.48		18.1	4	−1.5	16.6	+0.18 +0.1
	Go	1886.9	26.26	4	− 1	26.25	1886.9	17.2	4	+0.1	17.3	0 0
		130a.4	−0s.0010			−0s.12·	108a.5	+0″.016			+1″.7	

Nr.	Aut.	Ep.	Æ 1885	Beob.	Red. BVC.	red. Æ	Ep.	Decl. 1885	Beob.	Red. BVC.	red. Decl.	Abweich.	
442	M	1756.6	$9^h57^m58^s.71$	$1^I/_2$	$0^s.00$	$58^s.71$	1757.1	$+12^\circ11'\ 4''.5$	2*	$0''.0$	$4''.5$	$-0^s.11$	$+1''.1$
	Z	(1793)	58.75		+ 9	58.84						0.00	
	P	(1800)	58.77	7	+ 18	58.95	(1800)	5.5	8	−3.2	2.3	+0.11	−1.1
	T		59.08	9	− 9	58.98		3.8	5	−1.4	2.4	+0.13	−1.1
	Kbg	1832.1	58.77	6	+ 15	58.92	1832.1	0.1	6	+0.2	0.3	+0.06	−3.1
	Go	1887.0	58.89	4	− 1	58.88	1887.0	3.4	4	+0.1	3.5	0	0
		$103^a.8$	$+0^s.0004$			$+0^s.04$	$108^a.5$	$+0''.001$			$+0''.1$		
443	M	1756.2	$9^h58^m59^s.58$	2	$0^s.00$	$59^s.58$	1756.2	$+\ 8^\circ32'\ 55''.9$	2**	$0''.0$	$55''.9$	$-0^s.05$	$+2''.3$
	Z	(1793)	59.46		+ 9	59.55						−0.16	
	P	(1800)	59.81	6	+ 18	59.99	(1800)	54.4	6	−3.3	51.1	+0.26	−2.2
	T		59.83	4	− 10	59.73		51.5	4	−1.5	50.0	−0.07	−3.2
	Go	1887.1	59.92	4	− 1	59.91	1887.0	52.7	4	+0.2	52.9	0	0
		$110^a.8$	$+0^s.0021$			$+0^s.23$	$108^a.9$	$-0''.006$			$-0''.6$		
444	M	1756.9	$9^h59^m27^s.34$	$2^I/_2$	$0^s.00$	$27^s.34$	1757.3	$+16^\circ19'\ 0''.6$	2	$0''.0$	$0''.6$	$+0^s.09$	0
	Z	(1793)	26.78		+ 9	26.87						−0.17	
	P	(1800)	26.81	7	+ 18	26.99		1.5	7	−3.2	18′ 58.3	−0.01	$-1''.6$
	T		26.92	7	− 8	26.83		18 59.2	5	−1.4	57.8	+0.04	−1.5
	Kbg	1832.2	26.46	5	+ 15	26.61	1832.2	57.0	5	+0.2	57.2	−0.21	−2.1
	Go	1887.0	26.50	5	0	26.50	1887.0	58.3	5	+0.1	58.4	0	0
		$110^a.3$	$-0^s.0058$			$-0^s.63$	$129^a.7$	$-0''.017$			$-2''.2$		
448	M	1756.2	$10^h\ 3^m25^s.50$	1	$0^s.00$	$25^s.50$	1756.2	$+10^\circ\ 9'21''.8$	1**	$0''.0$	$21''.8$	$-0^s.26$	$+0''.5$
	Z	(1793)	25.62		+ 8	25.70						0.00	
	P	(1800)	25.79	5	+ 17	25.96	(1800)	24.8	6	−3.2	21.6	+0.27	−0.2
	T		25.93	3	− 10	25.83		22.0	4	−1.4	20.6	+0.19	−1.7
	Go	1886.6	25.57	5	− 1	25.56	1886.6	22.8	5	+0.1	22.9	0	0
		$103^a.5$	$-0^s.0015$			$-0^s.16$	$101^a.2$	$+0''.012$			$+1''.2$		
450	M	1756.2	$10^h\ 8^m11^s.75$	4	$0^s.00$	$11^s.75$	1756.2	$+21^\circ44'\ 34''.2$	4**	$0''.0$	$34''.2$	0	0
	Z		10.86		+ 8	10.94						$-0^s.29$	
	P	1804.6	10.65	7	+ 17	10.82	1804.6	33.0	7	−3.0	30.0	−0.25	$-0''.7$
	T		10.65	6	− 7	10.58		26.9	5	−1.1	25.8	−0.06	−2.8
	Go	1885.4	9.93	4	+ 0	9.93	1885.4	25.0	4	0.0	25.0	0	0
		$129^a.2$	$-0^s.0140$			$-1^s.81$	$129^a.2$	$-0''.071$			$-9''.2$		
451	M	1756.3	$10^h\ 8^m17^s.76$	1	$0^s.00$	$17^s.76$	1756.3	$+16^\circ42'\ 31''.6$	1**	$0''.0$	$31''.6$	$+0^s.10$	$+1''.0$
	Z	(1793)	17.40		+ 8	17.48						−0.16	
	P	(1800	17.53	7	+ 17	17.70	(1800	33.3	7	−3.2	30.1	+0.06	−0.5
	T		17.76	3	− 8	17.67		32.8	4	−1.3	31.5	+0.06	+0.9
	Go	1886.9	17.59	4	0	17.59	1886.9	30.5	4	+0.1	30.6	0	0
		$103^a.8$	$-0^s.0005$			$-0^s.06$	$101^a.5$	$0''.000$			$0''.0$		
452	M	1756.5	$10^h10^m\ 0^s.25$	3	$0^s.00$	$0^s.25$	1756.8	$+18^\circ18'\ 42''.7$	3*	$0''.0$	$42''.7$	0	0
	Z		9 59.90		+ 8	59.98						$-0^s.26$	
	P		59.81	5	+ 17	59.98		46.3	6	−3.1	43.2	−0.26	$+0''.3$
	T		10 0.45	6	− 8	0.37		44.6	5	−1.3	43.3	+0.14	+0.2
	Go	1887.0	0.22	5	0	0.22	1887.0	43.4	5	0.0	43.4	0	0
		$130^a.5$	$-0^s.0002$			$-0^s.03$	$130^a.5$	$+0''.005$			$+0''.7$		
454	M	1756.2	$10^h12^m17^s.01$	1	$0^s.00$	$17^s.01$	1756.2	$+13^\circ11'\ 53''.3$	1**	$0''.0$	$53''.3$	$+0^s.30$	$-0''.2$
	Z	(1793)	15.92		+ 8	16.00						−0.08	
	P	1804.6	15.50	7	+ 17	15.67	1803.8	55.2	6	−3.2	51.9	−0.21	+0.1
	T		15.79	4	− 9	15.70		51.1	4	−1.4	49.7	+0.34	−1.2
	Go	1885.4	14.50	5	− 0	14.49	1885.4	49.1	5	+0.1	49.2	0	0
		$100^a.8$	$-0^s.0172$			$-1^s.73$	$97^a.5$	$-0''.033$			$-3''.2$		
458	M	1756.5	$10^h16^m10^s.55$	4	$0^s.00$	$10^s.55$	1756.7	$+\ 9^\circ32'\ 39''.9$	4*	$0''.0$	39.9	0	0
	Z		10.16		+ 8	10.24						$-0^s.24$	
	P		10.01	7	+ 18	10.19		41.1	7	−3.3	37.8	−0.28	$-2''.0$
	T		10.57	3	− 10	10.47		38.9	4	−1.5	37.4	+0.07	−2.4
	Go	1886.7	10.31	4	− 1	10.30	1886.7	39.6	4	+0.1	39.7	0	0
		$130^a.2$	$-0^s.0019$			$-0^s.25$	$130^a.0$	$-0''.002$			$-0''.2$		

Nr.	Aut.	Ep.	Æ 1885	Beob.	Red. BVC.	red. Æ	Ep.	Decl. 1885	Beob.	Red. BVC.	red. Decl.	Abweich.	
459	M	1756.5	$10^h18^m14^s.44$	3	$0^s.00$	$14^s.44$	1756.8	$+11^\circ10'12''.0$	3*	0″.0	12″.0	0	0
	Z		14.05		+ 8	14.13						−0ˢ.21	
	P		13.94	6	+ 17	14.11		10.8	7	−3.2	7.6	−0.21	−4″.0
	T		13.92	3	− 10	13.82		13.0	3	−1.5	11.5	−0.40	+0.2
	Go	1886.0	14.08	5	− 1	14.07	1886.0	10.8	5	+0.1	10.9	0	0
		129ª.5	−0ˢ.0029			−0ˢ.37	129ª.2	−0″.009			−1″.1		
460	M	1756.2	$10^h19^m11^s.52$	5	$0^s.00$	$11^s.52$	1756.2	$+9^\circ22'12''.5$	4**	0″.0	12″.5	0	+0″.6
	Z		11.44		+ 8	11.52						0ˢ.00	
	P		11.53	12	+ 17	11.70	(1800)	13.1	8	−3.3	9.8	+0.18	−1.2
	T		11.63	10	− 10	11.53		10.6	8	−1.5	9.1	0.00	−1.2
	Kbg	1832.2	11.40	5	+ 11	11.51	1832.2	9.9	5	−0.2	9.7	−0.02	−0.7
	Go	1885.4	11.54	4	− 1	11.53	1885.4	9.2	4	+0.1	9.3	0	0
		129ª.2	+0ˢ.0001			+0ˢ.01	114ª.6	−0″.020			−2″.3		
462	M	1756.3	$10^h22^m40^s.20$	1	$0^s.00$	$40^s.20$	1756.3	$+14^\circ55'48''.5$	1**	0″.0	48″.5	−0ˢ.09	−1″.5
	Z	(1793)	39.94		+ 8	40.02						−0.09	
	P	(1800)	40.09	12	+ 17	40.26	(1800)	54.3	8	−3.3	51.0	+0.18	+0.7
	T		40.05	3	− 9	39.96		52.0	4	−1.4	50.6	+0.05	+0.1
	Go	1885.7	39.67	4	0	39.67	1885.7	50.8	4	+0.1	50.9	0	0
		102ª.6	−0ˢ.0048			−0ˢ.49	100ª.3	+0″.007			+0″.7		
463	M	1756.3	$10^h23^m\ 6^s.92\cdot$	2	$0^s.00$	$6^s.92\cdot$	1756.3	$+10^\circ44'41''.0$	2**	0″.0	41″.0	+0ˢ.15	+0″.9
	Z	(1793)	6.31		+ 8	6.39						−0.38	
	P	(1800)	6.68	6	+ 17	6.85	(1800)	41.7	6	−3.3	38.4	+0.08	−0.9
	T		6.50	3	− 10	6.40		40.4	4	−1.5	38.9	−0.36	+0.3
	Go	1886.7	6.75	4	− 1	6.74	1886.7	37.5	4	+0.1	37.6	0	0
		100ª.3	−0ˢ.0003			−0ˢ.03	108ª.6	−0″.019			−2″.1		
468	M	1756.2	$10^h31^m37^s.14\cdot$	1/4	$0^s.00$	$[37^s.14\cdot]$	1756.2	$+17^\circ52'39''.6$:[1]	1**	0″.0	39″.6:	[+0ˢ.21]	+3″.0
	Z	(1793)	36.49		+ 9	36.58						−0.09	
	P	(1800)	36.52·	8	+ 17	36.70	(1800)	37.4	8	−3.2	34.2	+0.09	−1.5
	T		36.74	3	− 8	36.66		34.9	6	−1.4	33.5	+0.31	−1.5
	Go	1886.4	35.97	6	0	35.97	1886.7	33.9	4	+0.1	34.0	0	0
		90ª	−0ˢ.0074			−0ˢ.67	101ª.3	−0″.020			−2″.0		
470	M	1756.3	$10^h33^m41^s.51\cdot$	2	$0^s.00$	$41^s.51\cdot$	1756.3	$+9^\circ26'27''.3$	2**	0″.0	27″.3	−0ˢ.07	+0″.1
	Z	(1793)	41.32		+ 9	41.41						+0.07	
	P	(1800)	41.18	9	+ 17	41.35	(1800)	30.9	9	−3.3	27.6	+0.06	−0.2
	T		40.80	3	− 10	40.70		30.3	4	−1.5	28.8	−0.35	+0.5
	Go	1884.6	40.72	5	− 1	40.71	1884.6	28.7	5	+0.2	28.9	0	0
		108ª.2	−0ˢ.0068			−0ˢ.74	108ª.2	+0″.013			+1″.4·		
472	M	1756.3	$10^h39^m33^s.14$	1	$0^s.00$	$33^s.14$	1756.3	$+8^\circ\ 7'12''.0$	1**	0″.0	12″.0	−0ˢ.01	+2″.5
	Z	(1793)	33.02		+ 9	33.11						−0.09	
	P	(1800)	33.15	6	+ 17	33.32	(1800)	11.2	7	−3.3	7.9	+0.11	−1.3
	T		33.72	3	− 10	33.62		7.6	4	−1.5	6.1	+0.36	−2.7
	Go	1885.4	33.35	5	− 1	33.34	1885.4	8.2	5	+0.2	8.4	0	0
		102ª.3	+0ˢ.0015			+0ˢ.15	100ª.0	−0″.009			−0″.9		
477	M	1756.3	$10^h48^m47^s.56$	1	$0^s.00$	$47^s.56$	1756.3	$+6^\circ27'31''.8$	1**	0″.0	31″.8	+0ˢ.01	−0″.9
	Z	(1793)	47.38		+ 9	47.47						−0.05	
	P	(1800)	47.38·	5	+ 17	47.56	(1800)	37.4	5	−3.3	34.1	+0.04	+0.5
	T		47.98	3	− 10·	47.87·		35.4	4	−1.5	33.9	+0.38	−0.5
	Go	1886.5	47.47	4	− 1	47.46	1886.5	35.3	4	+0.2	35.5	0	0
		103ª.4	−0ˢ.0007			−0ˢ.07	101ª.1	+0″.022			+2″.2		
480	M	1756.3	$10^h58^m\ 3^s.09$	1	$0^s.00$	$3^s.09$	1756.3	$+4^\circ15'29''.2$	1**	0″.0	29″.2	−0ˢ.39	+0″.1
	P	(1800)	3.36	6	+ 17	3.53	(1800)	32.1	7	−3.3	28.8	+0.19	−0.1
	T		3.62	3	− 11	3.51		29.1	3	−1.4	27.7	+0.29	−1.0
	Go	1886.7	3.06	5	− 1	3.05	1886.3	28.3	5	+0.2	28.5	0	0
		101ª.3	−0ˢ.0033			−0ˢ.33	100ª.9	−0″.004			−0″.4		

[1] Mit Corr. −1′ für die nur in dem alten Mayer'schen Catalog erhaltene Declination.

Nr.	Aut.	Ep.	Æ 1885	Beob.	Red. BVC.	red. Æ	Ep.	Decl. 1885	Beob.	Red. BVC.	red. Decl.	Abweich.	
483	M	1756.3	$11^h\ 7^m 42^s.08$	1	$0^s.00$	$42^s.08$	1756.3	$+20°45'44''.4$	1**	0″.0	44″.4	$-0^s.07$	−1″.7
	Z	(1793)	41.06		+ 10	41.16						+0.05	
	P	1804.7	40.62	8	+ 17	40.79	1804.7	44.0	8	−3.1	40.9	+0.01	+0.9
	T		40.05	3	− 7	39.98		35.0	4	−1.3	33.7	+0.06	−2.5
	Go	1886.3	38.46	4	+ 1	38.47	1886.3	29.7	4	0.0	29.7	0	0
		101ª.6		−0ˢ.0283		−2ˢ.87	97ª.7		−0″.127		−12″.4		
493	M	1760.2	$11^h23^m43^s.34$	1/4	$0^s.00$	[43ˢ.34]	1760.2	$+\ 8°14'\ 4''.7$	1	0″.0	4″.7	[−0ˢ.60]	+1″.5
	Z	(1793)	43.65		+ 10	43.75						−0.08	
	P	(1800)	43.72	5	+ 17	43.89	(1800)	4.6	7	−3.3	1.3	+0.08	−1.5
	T		43.83	3	− 10	43.73		2.0	4	−1.5	0.5	+0.04	−1.9
	Go	1885.9	43.54	5	− 1	43.53	1886.0	1.6	4	+0.2	1.8	0	0
		89ª.4		−0ˢ.0032		−0ˢ.29	105ª.9		−0″.011		−1″.2		
495	M	1756.3	$11^h26^m\ 6^s.51$	1	$0^s.00$	$6^s.51$	1756.3	$-\ 5°49'47''.9$	1**	0″.0	47″.9	$+0^s.29$	+1″.9
	P	(1800)	5.71	9	+ 17	5.88	(1800)	51.1	9	−3.0	54.1	−0.14	−0.9
	T		5.71	9	− 12	5.59		52.2	5	−1.2	53.4	−0.28	+2.5
	Go	1885.8	5.66	4	− 2	5.64	1885.8	60.4	4	+0.5	59.9	0	0
		100ª.4		−0ˢ.0045		−0ˢ.45	100ª.4		−0″.078		−7″.9		
496	M	1756.3	$11^h26^m57^s.06$	1	$0^s.00$	$57^s.06$	1756.3	$-\ 7°11'37''.1$	1**	0″.0	37″.1	$+0^s.04$	−2″.1
	P	(1800)	56.77	7	+ 16	56.93	(1800)	30.7	7	−2.9	33.6	−0.02	+1.0
	T		57.21	8	− 12	57.09		32.4	5	−1.1	33.5	+0.19	+0.8
	Go	1886.8	56.84	4	− 2	56.82	1886.8	34.4	4	+0.5	33.9	0	0
		101ª.4		−0ˢ.0015		−0ˢ.15	101ª.4		+0″.009		+0″.9		
499	s. Vgl. II; MZP vgl. Go 102ª.7 −1ˢ.70 (−0ˢ.0166) 100ª.4 +3″.6 (+0″.036)												
506	M	1756.3	$11^h49^m31^s.09$	1	$0^s.00$	$31^s.09$	1756.3	$+\ 1°44'14''.5$	1**	0″.0	14″.5	$-0^s.10$	−1″.9
	Z	(1793)	31.10		+ 11	31.21						+0.15	
	P	(1800)	30.81	8	+ 17	30.98	(1800)	19.4	8	−3.2	16.2	−0.06	+1.0
	T		31.36	4	− 11	31.25		16.3	3	−1.3	15.0	+0.34	+0.7
	Go	1885.8	30.75	4	− 1	30.74	1885.8	12.6	4	+0.3	12.9	0	0
		102ª.7		−0ˢ.0034		−0ˢ.35	100ª.4		−0″.027		−2″.7		
508	s. Vgl. II; MP vgl. Alb Go Gl 107ª.7 −0ˢ.66 (−0ˢ.0062) 100ª.4 +4″.4 (+0″.044)												
511	s. Vgl. II; α PTK vgl. Go Gl_2 66ª −0ˢ.17· (−0ˢ.0027); δ M corr. vgl. Go Gl_2 132ª.2 −5″.4 (−0″.041)												
512	M	1757.3	$11^h57^m53^s.72$	1	$0^s.00$	$53^s.72$	1757.3	$+\ 6°12'12''.6$	1	0″.0	12″.6	$-0^s.16$	+0″.7
	Z	(1793)	53.42		+ 11	53.53						+0.10	
	P	1805.5	53.15	15	+ 18	53.33	1804.3	11.0	18	−3.3	7.7	+0.06	−0.7
	T		52.89	10	− 10	52.79		8.2	5	−1.5	6.7	−0.11	+0.5
	Kbg	1832.5	52.72	5	+ 9	52.81	1832.5	6.0	5	−0.1	5.9	−0.12	−0.5
	Go	1886.8	52.25	4	− 1	52.24	1886.8	2.2	4	+0.2	2.4	0	
		101ª.5		−0ˢ.0127		−1ˢ.29	106ª.0		−0″.073		−7″.7·		
514	M	1756.3	$12^h\ 0^m\ 7^s.02$	1	$0^s.00$	$7^s.02$	1756.3	$-\ 2°29'24''.4$	1**	0″.0	24″.4	$-0^s.03$	+0″.9
	P	(1800)	6.72	12	+ 16	6.88	(1800)	22.8	12	−3.0	25.8	+0.01	−0.4
	T		6.84	4	− 11	6.73		26.4	3	−1.2	27.6	+0.01	−2.2
	Go	1886.3	6.51	4	− 1	6.50	1886.3	25.9	4	+0.4	25.5	0	0
		100ª.9		−0ˢ.0042		−0ˢ.43	100ª.9		−0″.002		−0″.2		
515	M	1756.3	$12^h\ 2^m\ 7^s.12$	1	$0^s.00$	$7^s.12$	1756.3	$+\ 1°15'49''.1$	1**	0″.0	49″.1	$-0^s.26$	+0″.6
	Z	(1793)	7.40		+ 11	7.51						+0.16	
	P	(1800)	7.27	7	+ 17	7.44	(1800)	49.8	7	−3.1	46.7	+0.10	−0.3
	T		7.50	3	− 10·	7.39·		45.5	4	−1.3	44.2	+0.08	−1.6
	Go	1885.8	7.29	4	− 1	7.28	1885.8	43.8	4	+0.3	44.1	0	0
		102ª.7		−0ˢ.0007		−0ˢ.08	100ª.4		−0″.034		−3″.4		

Nr.	Aut.	Ep.	$\mathcal{A}$ 1885	Beob.	Red. BVC.	red. $\mathcal{A}$	Ep.	Decl. 1885	Beob.	Red. BVC.	red. Decl.	Abweich.
518	M	1756.3	$12^h\ 8^m 23^s.07$	1/4	$0^s.00$	$[23^s.07]$	1756.3	$-\ 5^\circ\ 5'\ 9''.3$	1**	0″.0	5′ 9″.3	[+0s.02] −0″.9
	Z	(1793)	22.61		+ 11	22.72						−0.03
	P	(1800)	22.55·	6	+ 16	22.71·	(1800)	4 59.0	6	−2.9	1.9	+0.03 +0.5
	T		22.33	3	− 12	22.21		55.7	4	−1.1	4 56.8	−0.19 +0.7
	Kbg	1850.5	22.23	5	+ 6	22.29	1850.5	55.4	5	+0.9	54.5	+0.02 +0.9
	Go	1886.3	21.99	4	− 2	21.97	1886.3	51.0	4	+0.5	50.5	0 0
		90^a	−0s.0083			−0s.75	$100^a.9$	+0″.137			+13″.9	
523	M	1757.3	$12^h 17^m 20^s.40$	1	$0^s.00$	$20^s.40$	1757.3	$-\ 4^\circ 20'\ 4''.0$	1	0″.0	4″.0	−0s.13 +0″.4
	Z	(1793)	20.39		+ 12	20.51						−0.04
	P	(1800)	20.57	10	+ 16	20.73	(1800)	3.4	10	−2.9	6.3	+0.18 −0.4
	T		20.85	3	− 11	20.74		6.0	4	−1.1	7.1	+0.17 +0.1
	Go	1885.8	20.61	4	− 1	20.60	1885.8	9.5	4	+0.5	9.0	0 0
		$100^a.0$	+0s.0005			+0s.05	$107^a.2$	−0″.036			−3″.8·	
524	s. Vgl. II; MZP vgl. Go $103^a.3$ −0s.15 (−0s.0015) $108^a.2$ +5″.8 (+0″.054)											
525	M	1756.3	$12^h 21^m 58^s.55$	1	$0^s.00$	$58^s.55$	1756.3	$-\ 3^\circ 58'\ 42''.9$	1**	0″.0	42″.9	+0s.19 −1″.3
	Z	(1793)	57.84		+ 12	57.96						−0.17
	P	(1800)	57.90	6	+ 16	58.06	(1800)	38.8	6	−2.9	41.7	−0.02 +0.6
	T		58.05	4	− 11	57.94		43.3	5	−1.1	44.4	+0.09 −1.5
	Kbg	1831.8	57.89	9	+ 6	57.95	1831.8	44.3	9	+0.9	43.4	+0.08 −0.5
	Go	1886.5	57.53	5	− 1	57.52	1886.8	44.3	4	+0.5	43.8	0 0
		$103^a.4$	−0s.0065			−0s.67	$101^a.4$	−0″.017			−1″.7	
526	M	1756.3	$12^h 22^m 27^s.06$	1	$0^s.00$	$27^s.06$	1756.3	$+\ 5^\circ\ 1'\ 56''.3$	1**	0″.0	56″.3	−0s.11 −2″.7
	Z	(1793)	26.88		+ 12	27.00						−0.03
	P	(1800)	26.96·	17	+ 18	27.14·	(1800)	2 4.3	17	−3.1·	1.1·	+0.14 +1.3
	T		27.32	6	− 9	27.23		2.0	6	−1.3	0.7	+0.35 +0.2
	Go	1886.3	26.70	2	− 1	26.69	1886.3	1.2	2	+0.2	1.4	0 0
		$103^a.2$	−0s.0037			−0s.38	$100^a.9$	+0″.019			+1″.9	
527	M	1756.3	$12^h 24^m 11^s.70$	1	$0^s.00$	$11^s.70$	1756.3	$-12^\circ 45'\ 14''.7$	1**	0″.0	14″.7	+0s.08 +1″.2
	Z	(1793)	10.65		+ 12	10.77						−0.14
	P	1804.2	10.61	8	+ 14	10.75	1804.2	16.0	8	−2.5	18.5	+0.06 −0.6
	T		10.11	6	− 13	9.98		15.0	5	−0.9	15.9	−0.11 +3.3
	Go	1886.3	9.12	4	− 2	9.10	1886.3	21.9	4	+0.6	21.3	0 0
		$101^a.8$	−0s.0194			−1s.97	$98^a.1$	−0″.042			−4″.1	
528	M	1756.3	$12^h 24^m 57^s.23$	1	$0^s.00$	$57^s.23$	1756.3	$-\ 3^\circ 25'\ 34''.5$	1**	0″.0	34.5	+0s.25 −1″.3
	P	(1800)	56.42	14	+ 16	56.58	(1800)	29.0	14	−2.9	31.9	−0.12 +0.6
	T		56.81	3	− 11	56.70		29.5	3	−1.1	30.6	+0.22 +1.4
	Go	1885.8	56.17	4	− 1	56.16	1885.6	31.7	3	+0.5	31.2	0 0
		$100^a.4$	−0s.0063			−0s.64	$100^a.2$	−0″.016			+1″.6	
529	M	1756.3	$12^h 25^m 44^s.51$	2	$0^s.00$	$44^s.51$	1756.3	$-\ 4^\circ 25'\ 11''.0$	2**	0″.0	11″.0	−0s.15 −1″.0
	Z	(1793)	44.54		+ 12	44.66						+0.21
	P	(1800)	44.34	9	+ 16	44.50	(1800)	4.7	9	−2.9	7.6	+0.09 +1.0
	T		44.59	5	− 11	44.48		7.3	5	−1.1	8.4	+0.27 −1.0
	Kbg	1831.7	44.09	7	+ 6	44.15	1831.7	7.5	7	+0.9	6.6	−0.08 +0.8
	Go	1886.1	43.94	5	− 1	43.93	1886.3	6.1	5	+0.5	5.6	0 0
		$109^a.7$	−0s.0056			−0s.61·	$108^a.2$	+0″.034			+3″.7	
531	M	1756.3	$12^h 28^m 30^s.27$	1	$0^s.00$	$30^s.27$	1756.3	$-\ 0^\circ 46'\ 28''.3$	1**	0″.0	28″.3	+0s.05 +0″.2
	P	(1800)	29.81	13	+ 17	29.98	(1800)	24.6	9	−2.9	27.5	−0.03 −0.1
	T		30.11	2	− 10	30.01		24.9	4	−1.2	26.1	+0.18 +0.5
	Go	1886.3	29.58	6	− 1	29.57	1886.7	25.8	5	+0.4	25.4	0 0
		$100^a.9$	−0s.0050			−0s.51	$101^a.3$	+0″.024			+2″.4	
534	M	1756.3	$12^h 33^m 34^s.37$	1	$0^s.00$	$34^s.37$	1756.3	$-\ 5^\circ 28'\ 3''.3$	1**	0″.0	3″.3	−0s.12 +1″.4
	Z	(1793)	34.56		+ 12	34.68						+0.12
	P	(1800)	34.41	13	+ 16	34.57	(1800)	2.9	11	−2.8	5.7	0.00 −0.7
	T		34.77	3	− 11	34.66		4.1	4	−1.0	5.1	+0.02 +0.2
	Go	1885.8	34.74	6	− 1	34.73	1885.8	6.2	4	+0.5	5.7	0 0
		$102^a.7$	+0s.0019			+0s.19	$100^a.4$	−0″.008			−0″.8	

Nr.	Aut.	Ep.	Æ 1885	Beob.	Red. BVC.	red. Æ	Ep.	Decl. 1885	Beob.	Red. BVC.	red. Decl.	Abweich.	
537	M	1756.3	$12^h41^m36^s.68$	1	$0^s.00$	$36^s.68$	1756.3	$-5^\circ40'22''.5$	1**	0″.0	22″.5	$-0^s.18$	−3″.1
	Z	(1793)	36.76		+ 12·	36.88·						+0.03	
	P	(1800)	36.84	14	+ 15·	36.99·	(1800)	15.2	10	−2.8	18.0	+0.15	+1.6
	T		37.03	8	− 10·	36.92·		17.0	5	−1.0	18.0	+0.08	+1.7
	Kbg	1830.9	36.87	7	+ 6	36.93	1830.9	17.8	7	+0.9	16.9	+0.08	+2.8
	Go	1885.5	36.85	5	− 1	36.84	1885.6	20.5	4	+0.5	20.0	0.	0
		$102^a.4$	$-0^s.0001$			$-0^s.01$	$100^a.2$	−0″.005			−0″.5		
538	M	1756.3	$12^h44^m11^s.52$	1	$0^s.00$	$11^s.52$						$-0^s.04$	
	Z	(1793)	10.83		+ 12·	10.95·						−0.03	
	P	1802.9	10.75	9	+ 15·	10.90·	1802.9	$-7^\circ0'19''.0$	9	−2″.7	21″.7	+0.07	+0″.3
	T		10.71	3	− 11	10.60	(1835)	20.6	3	−0.9	21.5	+0.27	−0.3
	Kbg	1850.8	10.28	5	+ 6	10.34	1850.8	22.2	5	+0.9	21.3	+0.26	−0.4
	Go	1886.1	9.54	5	− 1·	9.52·	1886.3	20.6	5	+0.5	20.1	0	0
		$102^a.0$	$-0^s.0157$			$-1^s.60$	67ª	+0″.022			+1″.5		
539	M	1756.3	$12^h45^m24^s.12·$	1	$0^s.00$	$24^s.12·$	1756.3	$-9^\circ42'42''.1$	1**	0″.0	42″.1	$-0^s.14$	+1″.2
	Z	(1793)	24.22		+ 12·	24.34·						+0.20	
	P	(1800)	23.92	7	+ 14·	24.06·	(1800)	41.1	8	−2.5	43.6	−0.07	−0.6
	T		24.25	6	− 11	24.14		42.2	4	−0.9	43.1	+0.12	−0.3
	Kbg	1832.1	23.97	6	+ 6	24.03	1832.1	44.9	6	+0.9	44.0	0.00	−1.2
	Go	1886.3	23.89	5	− 2	23.87	1886.9	43.1	3	+0.6	42.5	0	0
		$103^a.2$	$-0^s.0030$			$-0^s.31$	$101^a.5$	+0″.006			+0″.6		
549	M	1756.3	$13^h\ 8^m\ 6^s.44·$	1	$0^s.00$	$6^s.44·$	1756.3	$+2^\circ\ 4'\ 5''.4·$	1**	0″.0	5″.4·	$-0^s.14$	−2″.2
	Z	(1793)	6.35		+ 13	6.48						+0.06	
	P	(1800)	6.30	18	+ 17	6.47	(1800)	10.3	14	−2.9	7.4	+0.08	+1.1
	T		6.27	7	− 10	6.17		8.2	5	−1.0	7.2	−0.06	+2.0
	Go	1886.6	6.00	5	− 1	5.99	1886.3	3.4	6	+0.3	3.7	0	0
		$103^a.5$	$-0^s.0046$			$-0^s.47·$	$100^a.9$	−0″.030			−3″.0·		
553	M	1756.4	$13^h16^m\ 3^s.44·$	1	$0^s.00$	$3^s.44·$	1756.4	$-11^\circ58'36''.8$	1**	0″.0	36″.8	$-0^s.05$	+0″.1
	Z	(1793)	3.39		+ 13	3.52						+0.03	
	P	(1800)	3.37·	16	+ 13	3.50·	(1800)	34.6	13	−2.4	37.0	+0.02	0.0
	T		3.87	3	− 10	3.77		33.8	4	−0.6	34.4	+0.29	+2.6
	Go	1885.1	3.49	5	− 2	3.47	1885.5	37.7	5	+0.6	37.1	0	0
		$102^a.0$	$-0^s.0002$			$-0^s.02$	$100^a.0$	−0″.002			−0″.2		
558	M	1756.3	$13^h23^m21^s.44·$	1	$0^s.00$	$21^s.44·$	1756.3	$-0^\circ45'56''.4$	1**	0″.0	56″.4	$+0^s.07$	−0″.5
	Z	(1793)	21.04		+ 13	21.17						−0.04	
	P	(1800)	20.99	19	+ 16	21.15	(1800)	54.7	15	−2.8·	57.5·	−0.03	+0.3
	T		21.14	10	− 9	21.05		46 0.7[1]	5	−0.8	1.5	+0.03	−1.1
	Go	1885.6	20.81	4	− 1·	20.79·	1886.1	2.1	4	+0.4	1.7	0	0
		$102^a.5$	$-0^s.0045$			$-0^s.46$	$100^a.7$	−0″.045			−4″.5		
565	M	1756.3	$13^h37^m55^s.72$	1	$0^s.00$	$55^s.72$	1756.3	$-4^\circ55'\ 7''.7·$	1**	0″.0	7″.7·	$-0^s.02$	−0″.1
	Z	(1793)	55.35·		+ 13	55.48·						−0.11	
	P	(1800)	55.55·	22	+ 15	55.70	(1800)	5.2	17	−2.8·	8.0·	+0.13	+0.1
	T		55.54	5	− 9	55.45		7.1	5	−0.6	7.7	+0.01	+0.8
	Kbg	1832.8	55.44	5	+ 4	55.48	1832.8	8.5	5	+1.2	7.3	+0.03	+1.2
	Go	1885.6	55.27	4	− 2	55.25	1886.1	9.6	4	+0.5	9.1	0	0
		$102^a.5$	$-0^s.0038$			$-0^s.38·$	$100^a.7$	−0″.011			−1″.1·		
566	M	1756.4	$13^h38^m34^s.81$	1	$0^s.00$	$34^s.81$	1756.4	$-13^\circ38'\ 9''.7$	1**	0″.0	9″.7	$-0^s.14$	−2″.0
	Z	(1793)	34.79		+ 13	34.92						+0.01	
	P	(1800)	34.90	16	+ 13	35.03	(1800)	11.5	11	−2.3	13.8	+0.13	+1.0
	T		35.26	3	− 10	35.16		17.0	4	−0.4	17.4	+0.30	+3.0
	Go	1886.6	34.83	5	− 2	34.81	1886.6	29.3	5	+0.6	28.7	0	0
		$103^a.5$	$-0^s.0011$			$-0^s.11$	$101^a.1$	−0″.161			−16″.3		

[1] T. −2′ corr.

Nr.	Aut.	Ep.	Æ 1885	Beob.	Red. BVC.	red. Æ	Ep.	Decl. 1885	Beob.	Red. BVC.	red. Decl.	Abweich.
572	M	1756.3	13^h54^m 1ˢ.21	1	0ˢ.00	1ˢ.21	1756.3	− 7°36′ 1″.6	1**	0″.0	1″.6	+0ˢ.03 −0″.1
	Z	1793	0.95		+ 13	1.08						−0.05
	P	1800	1.00	17	+ 13	1.13	(1800)	0.3	14	−2.5	2.8	+0.01 +0.1
	T		1.27	6	− 9	1.18		3.1	5	−0.4	3.5	+0.12 +0.5
	Kbg	1832.1	1.14	8	+ 4	1.18	1832.1	3.7	8	+1.2	2.5	+0.11 +1.4
	Go	1885.9	1.01	5	− 2	0.99	1886.1	6.2	4	+0.6	5.6	0 0
		102ª.8	−0ˢ.0015			−0ˢ.15	100ª.7	−0″.032			−3″.2	
573	M	1756.3	$13^h58^m16^s48$.	1	0ˢ.00	16ˢ.48.	1756.3	− 8°42′20″.5	1**	0″.0	20″.5	−0ˢ.08 −2″.8
	Z	1793	16.32		+ 13	16.45						+0.02
	P	1800	16.33	17	+ 13	16.46	(1800)	14.0	16	−2.4	16.4	+0.06 +1.4
	T		16.35	8	− 9	16.26		16.6	5	−0.3	16.9	−0.01 +1.0
	Kbg	1832.9	16.33	6	+ 4	16.37	1832.9	18.0	6	+1.2	16.8	+0.09 +1.1
	Go	1885.9	16.10	4	− 2	16.08	1886.1	18.6	4	+0.6	18.0	0 0
		102ª.8	−0ˢ.0037			−0ˢ.38.	100ª.7	−0″.002			−0″.2	
577	s. Vgl. II; MZP vgl. Go 102ª.8 −0ˢ.47 (−0ˢ.0046) 107ª.6 −1″.0. (−0″.010)											
578	M	1756.4	$14^h\ 4^m33^s.90$	6	0ˢ.00	33ˢ.90	1756.4	−15°45′30″.1	6*	0″.0	30″.1	0 0
	Z		33.80		+ 13	33.93						+0ˢ.11
	P		33.30	19	+ 11	33.41		26.5	16	−2.2	28.7	−0.40 +1″.0
	T		33.79	6	− 10.	33.68.		28.4	6	−0.2	28.6	−0.05 +0.8
	Kbg	1833.3	33.69	5	+ 1	33.70	1833.3	30.4	5	+1.1	29.3	−0.04 +0.1
	Go	1885.6	33.66	6	− 3	33.63	1885.7	29.5	6	+0.6	28.9	0 0
		129ª.2	−0ˢ.0021			−0ˢ.27	129ª.3	+0″.009			+1″.2	
584	M	1756.4	$14^h13^m51^s.58$	2	0ˢ.00	51ˢ.58	1756.4	− 6°12′53″.9	2**	0″.0	53″.9	+0ˢ.01 +0″.9
	Z	(1793)	51.15		+ 13	51.28						−0.02
	P	(1800)	51.10	12	+ 14	51.24	(1800)	53.6	9	−2.6	56.2	−0.01 −0.9
	T		51.20	3	− 9	51.11		55.7	3	−0.3	56.0	+0.12 −0.2
	Go	1884.9	50.65	4	− 3	50.62	1885.1	56.9	4	+0.5	56.4	0 0
		108ª.4	−0ˢ.0074			−0ˢ.80	106ª.9	−0″.013			−1″.3.	
585	s. Vgl. II; MP vgl. PuCoGo 101ª.7 −0ˢ.01. (−0ˢ.0001) 101ª.7 −12″.2 (−0″.120)											
588	M	1756.4	14^h19^m 4ˢ.57	4	0ˢ.00	4ˢ.57	1756.4	−12°49′57″.8	4*	0″.0	57″.8	0 0
	Z		4.70		+ 14	4.84						+0ˢ.48
	P		4.21	4	+ 12	4.33		54.5	7	−2.3	56.8	+0.02 +0″.5
	T		4.18	3	− 10	4.08		55.4	4	−0.2	55.6	−0.03 +1.2
	Go	1885.7	3.84	4	− 3	3.81	1886.4	56.8	4	+0.6	56.2	0 0
		129ª.3	−0ˢ.0059			−0ˢ.76	130ª.0	+0″.012			+1″.6	
589	s. Vgl. II; α MZP vgl. CoGo 98ª.7 −0ˢ.48 (−0ˢ.0049); δ MGo 129ª.7 +0″.5 (+0″.004)											
590	s. Vgl. II; α MZP vgl. CoGo 98ª.6 −0ˢ.53 (−0ˢ.0054); δ M vgl. CoGo 125ª.3 −3″.3 (−0″.026)											
591	M	1756.4	$14^h28^m21^s.99$	4	0ˢ.00	21ˢ.99	1756.4	−19°56′ 3″.7	4*	0″.0	3″.7	−0ˢ.19 0
	P	(1800)	22.35	9	+ 10	22.45		1.5	6	−2.4	3.9	+0.19 −0″.6
	T		22.48	5	− 11	22.37		8.0	5	−0.3.	8.3.	+0.06 −5.3
	Kbg	1836.7	22.47	5	+ 1	22.48	1836.7	3.5	5	+1.1	2.4	+0.16 +0.6
	Go	1886.4	22.43	4	− 3	22.40	1886.7	3.2	4	+0.6	2.6	0 0
		108ª.2	+0ˢ.0017			+0ˢ.18	130ª.3	+0″.008			+1″.1	
592	M	1756.4	14^h31^m 0ˢ.27	$4^3/_4$	0ˢ.00	0ˢ.27	1756.4	−11°49′46″.5	5*	0″.0	46″.5	0 0
	P	1799.8	30 57.89	25	+ 12	58.01	1799.8	26.2	18	−2.4	28.6	+0ˢ.29 +1″.1
	T		55.72	5	− 10	55.62		12.9	7	−0.1	13.0	−0.03 +3.0
	Kbg	1832.7	55.82	8	+ 1	55.83	1832.7	17.4	8	+1.1	16.3	+0.05 +0.6
	Go	1886.6	52.64	5	− 3	52.61	1887.2	48 56.4	5	+0.6	55.8	0 0
		130ª.2	−0ˢ.0588			−7ˢ.66	130ª.8	+0″.388			+50″.7	
593	M	1756.4	$14^h32^m49^s.75$	$4^1/_4$	0ˢ.00	49ˢ.75	1756.4	−10° 3′27″.8	5*	0″.0	27″.8	0 0
	Z		49.51		+ 13.	49.64.						−0ˢ.03
	P		49.52	20	+ 12.	49.64.		24.3	16	−2.4	26.7	−0.01 +0″.5
	T		49.66	2	− 10	49.56		24.5	4	−0.1	24.6	−0.02 +2.2
	Go	1885.2	49.51	6	− 3.	49.47.	1885.4	26.7	5	+0.6	26.1	0 0
		128ª.8	−0ˢ.0021			−0ˢ.27.	129ª.0	+0″.013			+1″.7	

Nr.	Aut.	Ep.	Æ 1885	Beob.	Red. BVC.	red. Æ	Ep.	Decl. 1885	Beob.	Red. BVC.	red. Decl.	Abweich.
594	M	1756.6	$14^h35^m47^s.94$	$5^1/_4$	$0^s.00$	$47^s.94$	1756.4	$-11°44'34''.0$	6*	0″.0	34″.0	0 0
	P		47.84	16	+ 11·	47.96		31.0	13	−2.4	33.4	$+0^s.06$ +0″.2
	T		51.62	2	− 10	*47.52		32.7	4	−0.1	32.8	−0.35* +0.4
	Go	1886.4	47.87	4	− 4	47.83	1886.7	33.3	4	+0.6	32.7	0 0
		$129^a.8$	$-0^s.0008$			$-0^s.11$	$130^a.3$	+0″.010			+1″.3	* -4^s corr.
596	M	1756.4	$14^h39^m40^s.34$	1	$0^s.00$	$40^s.34$	1756.4	$-20°40'59''.6$·	1**	0″.0	59″.6·	$+0^s.08$ +2″.3
	P	(1800)	39.89	12	+ 9	39.98	(1800)	41 5.3	11	−2.0	7.3	−0.04 −1.1
	T		40.06	8	− 10·	39.95·		9.0	5	−0.3	9.3	+0.13 +0.3
	Go	1886.0	39.58	5	− 4	39.54	1886.6	15.2	5	+0.6	14.6	0 0
		$100^a.5$	$-0^s.0056$			$-0^s.56$	$101^a.1$	−0″.097			−9″.8·	
597	M	1756.4	$14^h40^m41^s.90$	1	$0^s.00$	$41^s.90$	1756.4	$-20°50'26''.1$·	1**	0″.0	26″.1·	$+0^s.16$ +3″.0
	P	(1800)	41.46	17	+ 9	41.55	(1800)	28.6	15	−2.0	30.6	−0.08 −1.5
	T		41.79	5	− 10	41.69		29.1	5	−0.2	29.3	+0.14 −0.3
	Go	1886.0	41.46	5	− 4	41.42	1886.4	29.5	4	+0.6	28.9	0 0
		$100^a.5$	$-0^s.0025$			$-0^s.25$	$100^a.9$	+0″.002			+0″.2	
611	M	1756.4	$15^h\ 9^m43^s.73$	1	$0^s.00$	$43^s.73$	1756.4	$-21°58'19''.9$	1**	0″.0	19″.9	$+0^s.06$ +1″.6
	P	(1800)	43.36	26	+ 8	43.44	(1800)	21.1	22	−2.1	23.2	−0.03 −0.8
	T		43.48	1	− 10	43.38		24.4	3	−0.3	24.7	+0.08 −1.5
	Kbg	1834.7	43.33	6	+ 1	43.34	1834.7	24.9	6	+0.6	24.3	+0.04 −1.1
	Go	1886.2	43.10	5	− 4	43.06	1887.4	24.9	4	+0.6	24.3	0 0
		$100^a.7$	$-0^s.0047$			$-0^s.48$	$101^a.9$	−0″.022			−2″.2	
613	M	1756.4	$15^h13^m\ 9^s.87$	1	$0^s.00$	$9^s.87$	1756.4	− 8°43′26″.4·	1**	0″.0	26″.4·	$-0^s.15$ −1″.1
	Z	(1793)	9.98		+ 17	10.15						+0.13
	P	(1800)	9.92	24	+ 12	10.04	(1800)	24.3	20	−2.6	26.9	+0.02 +0.5
	T		10.06	3	− 9	9.97		27.4	3	0.0	27.4	−0.05 +1.7
	Go	1885.9	10.06	4	− 4	10.02	1887.2	32.1	4	+0.6	31.5	0 0
		$102^a.8$	$0^s.0000$			$0^s.00$	$101^a.7$	−0″.047			−4″.7·	
616	M	1756.4	$15^h17^m33^s.07$	$^1/_4$	$0^s.00$	[$33^s.07$]	1756.4	$-11°57'24''.9$·	2*	0″.0	24″.9·	[$-1^s.13$] +0″.7
	Z	1793.	33.88		+ 17	34.05						+0.02
	P	(1800)	33.86	28	+ 11	33.97	(1800)	25.1	21	−2.6	27.7	−0.02 −0.7
	T		33.93	5	− 9	33.84		28.1	2	0.0	28.1	+0.01 0.0
	Kbg	1833.6	33.85	5	+ 1	33.86	1833.6	28.8	5	+0.6	28.2	+0.02 −0.2
	Go	1885.9	33.64	4	− 5	33.59	1886.7	30.3	4	+0.6	29.7	0 0
		89^a	$-0^s.0047$			$-0^s.42$	$108^a.5$	−0″.031			−3″.4	
621	M	1756.4	$15^h25^m\ 6^s.76$	$^1/_2$	$0^s.00$	[$6^s.76$]	1756.4	$-19°46'12''.8$	1**	0″.0	12″.8	[$-0^s.47$] −1″.7
	Z	1793.	6.88		+ 17·	7.05·						+0.05
	P	(1800)	6.83	15	+ 8·	6.91·	(1800)	8.9	11	−2.2	11.1	−0.05 +0.8
	T		7.22	3	− 9	7.13		12.2	3	−0.2	12.4	+0.38 +0.2
	Go	1886.2	6.49	5	− 5	6.44	1887.2	14.2	5	+0.6	13.6	0 0
		90^a	$-0^s.0061$			$-0^s.54$·	$101^a.7$	−0″.019			−1″.9	
622	M	1756.4	$15^h26^m\ 0^s.77$	1	$0^s.00$	$0^s.77$	1756.4	$-19°16'34''.0$	1**	0″.0	34″.0	$+0^s.12$ +1″.8
	Z	(1793)	0.25		+ 17	0.42						−0.14
	P	(1800)	0.48	12	+ 8	0.56	(1800)	36.0	13	−2.2	38.2	+0.02 −0.9
	T		0.58	3	− 9	0.49		36.0	2	−0.2	36.2	+0.04 +2.4
	Kbg	1833.3	0.56	6	+ 1	0.57	1833.3	40.0	6	+0.6	39.4	+0.12 −0.9
	Go	1885.9	0.37	4	− 5	0.32	1887.5	41.0	4	+0.6	40.4	0 0
		$102^a.8$	$-0^s.0026$			$-0^s.26$	$102^a.0$	−0″.035			−3″.6	
627	M	1756.4	$15^h30^m35^s.11$·	1	$0^s.00$	$35^s.11$·	1756.4	$-25°53'45''.7$	1**	0″.0	45″.7	$+0^s.26$ +2″.6
	Z	(1793)	34.49		+ 18	34.67						−0.11
	P	(1800)	34.55	5	+ 6	34.61	(1800)	49.8	6	−2.1	51.9	−0.15 −1.3
	T		34.78	2	− 10	34.68		51.7	3	−0.6	52.3	−0.01 +0.1
	Go	1886.2	34.63	5	− 4	34.59	1887.5	55.6	4	+0.5	55.1	0 0
		$103^a.1$	$-0^s.0020$			$-0^s.21$	$102^a.0$	−0″.052			−5″.3	

628 s. Vgl. II; Pi Cp 1850 vgl. Co Go 56^a $-0^s.25$ −1″.2· (− $0^s.0045$ −0″.022

Nr.	Aut.	Ep.	AR 1885	Beob.	Red. BVC.	red. AR	Ep.	Decl. 1885	Beob.	Red. BVC.	red. Decl.	Abweich.
630	M	1756.4	15^h32^m 4^s.96	1	0^s.00	4^s.96	1756.4	−14° 8′ 2″.3	1	0″.0	2″.3	+0^s.09 −0″.7
	Z	(1793)	4.35		+ 18	4.53						−0.19
	P	(1800)	4.70	10	+ 9	4.79	(1800)	1.5	6	−2.5	4.0	+0.10 +0.7
	T		4.98	2	− 9	4.89		5.2	4	0.0	5.2	+0.34 +2.0
	Go	1886.3	4.39	5	− 5	4.34	1887.4	11.5	5	+0.6	10.9	0 0
		103^a.2	−0^s.0041			−0^s.42	109^a.2	−0″.071			−7″.7·	
633	M	1756.4	$15^h36^m19^s.70$	1	0^s.00	19^s.70	1756.4	−15°38′30″.2	1**	0″.0	30″.2	+0^s.04 +0″.7
	Z	(1793)	19.09		+ 18	19.27						+0.02
	P	1800.1	19.00	22	+ 9	19.09	1800.1	30.7	17	−2.5	33.2	−0.07 −0.3
	T		18.63	3	− 9	18.54		35.9	3	−0.1	36.0	−0.22 −1.6
	Go	1885.9	18.23	4	− 5	18.18	1886.7	37.4	4	+0.6	36.8	0 0
		102^a.7	−0^s.0114			−1^s.17	101^a.2	−0″.045			−4″.6	
646	M	1756.5	$15^h56^m24^s.66$	2	0^s.00	24^s.66	1756.5	−25°32′30″.9	3	0″.0	30″.9	+0^s.05 0
	Z	(1793)	24.21		+ 21	24.42						+0.09
	P	(1800)	24.02·	11	+ 6	24.09		32.0	12	−2.3	34.3	−0.19 −1″.1
	T		24.25	5	− 9	24.16		32.8	3	−0.6	33.4	+0.14 +1.7
	Kbg	1838.8	23.93	5	+ 1	23.94	1838.8	36.6	5	+0.6	36.0	−0.05 −0.7
	Go	1885.9	23.69	4	− 5	23.64	1887.5	38.4	5	+0.5	37.9	0 0
		109^a.4	−0^s.0075			−0^s.82	131^a.0	−0″.053			−7″.0	
654	M	1756.4	$16^h\ 5^m17^s.72$	4	0^s.00	17^s.72	1756.4	−19° 8′57″.3·	4*	0″.0	57″.3·	0 0
	Z		17.75		+ 22	17.97						+0^s.30
	P		17.93	7	+ 8	18.01		56.6	8	−2.5	59.1	+0.35 −0″.4
	T		18.80	3	− 9	*17.71		9 0.7	3	−0.4	1.1	+0.10* −1.4
	Go	1886.4	17.59	5	− 5	17.54	1887.1	1.8	5	+0.6	1.2	0 0
		130^a.0	−0^s.0014			−0^s.18	130^a.7	−0″.029			−3″.8·	* −1^s corr.
656	M	1756.5	$16^h\ 7^m55^s.68$	2	0^s.00	55^s.68	1756.5	−25°11′ 1″.3·	2	0″.0	1″.3·	−0^s.11 0
	Z	(1793)	55.71		+ 22	55.93						+0.28
	P	(1800)	55.50	14	+ 6	55.56		10 58.8	14	−2.4	1.2	−0.06 +0″.8
	T		55.39	3	− 9	55.30		11 0.5	4	−0.7	1.2	−0.19 +1.2
	Go	1885.9	55.35	4	− 5	55.30	1887.5	3.6	5	+0.5	3.1	0 0
		109^a.4	−0^s.0038			−0^s.41	131^a.0	−0″.013			−1″.7·	
657	M	1756.4	$16^h11^m10^s.65$	5	0^s.00	10^s.65	1756.4	−28°19′20″.3	5*	0″.0	20″.3	0 0
	Z		10.35		+ 22	10.57						+0^s.12
	P		10.30	12	+ 5	10.35		24.8	12	−2.3	27.1	−0.06 −0″.9
	T		10.11	5	− 8	10.03		32.3	6	−0.9	33.2	−0.20 −2.3
	Go	1886.0	10.00	6	− 4	9.96	1887.3	38.4	6	+0.5	37.9	0 0
		129^a.6	−0^s.0053			−0^s.69	130^a.9	−0″.134			−17″.6	
660	M	1756.5	$16^h17^m25^s.71$	2	0^s.00	25^s.71	1756.5	−29°25′47″.7	1	0″.0	47″.7	−0^s.18 +2″.2
	P	(1800)	26.20	18	+ 5	26.25	(1800)	54.5	12	−2.3	56.8	+0.18 −2.2
	T		26.35	3	− 9	26.26		58.3	4	−1.1	59.4	+0.03 −1.0
	Go	1885.8	26.49	5	− 4	26.45	1887.4	26 4.5	6	+0.5	4.0	0 0
		107^a.6	+0^s.0044			+0^s.47	109^a.2	−0″.108			−11″.7·	
665	M	1756.5	$16^h24^m19^s.89$	1	0^s.00	19^s.89	1756.5	−26°17′ 9″.6	1	0″.0	9″.6	−0^s.01 −1″.6
	Z	(1793)	19.54		+ 23	19.77						+0.03
	P	(1800)	19.62	26	+ 6	19.68	(1800)	4.8	27	−2.4	7.2	−0.03 +1.6
	T		19.56	3	− 9	19.47		4.9	3	−0.8	5.7	−0.09 +3.6
	Kbg	1835.9	19.55	5	+ 3	19.58	1835.9	9.5	5	+1.0	8.5	+0.03 +0.8
	Go	1887.2	19.37	7	− 4	19.33	1887.5	10.7	7	+0.5	10.2	0 0
		104^a.0	−0^s.0043			−0^s.45	109^a.3	−0″.016			−1″.8	
669	M	1756.5	$16^h31^m48^s.69$	1	0^s.00	48^s.69	1756.5	−17°59′14″.4	1	0″.0	14″.4	−0^s.06 +1″.4
	Z	(1793)	48.41		+ 24	48.65						−0.01
	P	(1800	48.63	23	+ 8	48.71	(1800)	14.9	20	−2.7	17.6	+0.07 −1.4
	T		48.67	2	− 8	48.59		15.8	4	−0.3	16.1	+0.03 +0.3
	Go	1886.5	48.48	5	− 5	48.43	1887.2	17.4	4	+0.6	16.8	0 0
		103^a.3	−0^s.0024			−0^s.25	109^a.0	−0″.007			−0″.8	

Nr.	Aut.	Ep.	Æ 1885	Beob.	Red. BVC.	red. Æ	Ep.	Decl. 1885	Beob.	Red. BVC.	red. Decl.	Abweich.	
671	M	1756.5	$16^h33^m47^s.85$	1	$0^s.00$	$47^s.85$	1756.5	$-20°11'\ 3''.9$	1	0″.0	3″.9	$-0^s.03$	+0″.2
	Z	(1793)	47.58		+ 24	47.82						−0.01	
	P	(1800)	47.79	8	+ 8	47.87	(1800)	0.0	9	−2.6	2.6	+0.05	−0.2
	T		47.59	2	− 8	47.50		10 56.0	3	−0.1	56.1	−0.27	+4.8
	Go	1887.0	47.75	4	− 5	47.70	1887.5	59.4	4	+0.6	58.8	0	0
		$103^a.8$	$-0^s.0014$			$-0^s.15$	$109^a.3$	+0″.041			+4″.4		
672	M	1756.5	$16^h34^m38^s.28$	1	$0^s.00$	$38^s.28$	1756.5	$-17°50'\ 5''.6$	1	0″.0	50′ 5″.6	$+0^s.12$	−2″.2
	Z	(1793)	37.82		+ 24	38.06						−0.13	
	P	(1800)	38.12	24	+ 8	38.20	(1800)	49 57.4	21	−2.7	0.1	+0.01	+2.2
	T		38.22	3	− 8	38.14		50 1.2	3	−0.3	1.5	−0.07	0.0
	Go	1886.5	38.29	4	− 5	38.24	1887.0	0.8	4	+0.6	0.2	0	0
		$103^a.3$	$+0^s.0006$			$+0^s.06$	$108^a.7$	+0″.024			+2″.6		
675	s. Vgl. II; α M corr. vgl. Co 9y 10y St Go $122^a.9$ $-0^s.32$ ($-0^s.0026$) δ M Go $130^a.6$ +1″.7(+0″.013)												
678	M	1756.4	$16^h44^m18^s.63$	1	$0^s.00$	$18^s.63$	1756.4	$-16°20'\ 52''.0::$	1/4	0″.0	[52″.0::]	$-0^s.36$	[−1″.2]
	P	(1800)	19.06	31	+ 9	19.15	(1800)	48.1	27	−2.8	50.9	+0.18	0
	T		18.92	3	− 8	18.84		44.2	2	−0.3	44.5	−0.12	+6.4
	Go	1886.8	18.99	6	− 5	18.94	1887.1	51.6	7	+0.6	51.0	0	0
		$101^a.3$	$-0^s.0004$			$-0^s.04$	87^a	−0″.001			−0″.1		
	Lal ($-16°20'\ 50''.3$ 1 B., By.) stimmt mit Piazzi; T. scheint also etwa 6″ zu nördlich.												
679	M	1756.5	$16^h46^m38^s.25$	2	$0^s.00$	$38^s.25$	1756.5	$-20°13'\ 16''.7$	2	0″.0	16″.7	$-0^s.08$	0
	Z	(1793)	37.96		+ 25	38.21						+0.03	
	P	(1800)	38.19	33	+ 8	38.27	(1800)	15.1	23	−2.7	17.8	+0.12	−0″.3
	T		38.19	5	− 8	38.11		18.5	2	−0.4	18.9	+0.11	−0.8
	Kbg	1832.5	38.04	6	+ 3	38.07	1832.5	18.5	6	+1.0	17.5	+0.06	+0.5
	Go	1886.7	37.84	4	− 4	37.80	1887.2	19.6	4	+0.6	19.0	0	0
		$110^a.2$	$-0^s.0040$			$-0^s.44$	$130^a.7$	−0″.018			−2″.3		
680	M	1756.5	$16^h49^m42^s.16$	3/4	$0^s.00$	$42^s.16$	1756.5	$-33°\ 4'\ 27''.8$	2	0″.0	27″.8	$+0^s.38$	+1″.5
	Z	(1793)	40.93		+ 25	41.18						−0.47	
	P	(1800)	41.68	17	+ 4	41.72	(1800)	30.4	17	−2.3	32.7	+0.09	−1.5
	T		41.61	3	− 9	41.52		30.6	3	−1.6	32.2	+0.01	+0.5
	Go	1887.5	41.37	3	− 4	41.33	1887.5	35.3	3	+0.4	34.9	0	0
		$104^a.3$	$-0^s.0034$			$-0^s.36$	$109^a.3$	−0″.043			−4″.6		
682	M	1756.5	$16^h50^m18^s.48$	1	$0^s.00$	$18^s.48$	1756.5	$-19°21'\ 27''.4$	1	0″.0	27″.4	$-0^s.15$	−1″.5
	Z	(1793)	18.39		+ 25	18.64						+0.05	
	P	(1800)	18.60	11	+ 8	18.68	(1800)	21.1	10	−2.8	23.9	+0.09	+1.5
	T		18.64	2	− 8	18.56		23.8	3	−0.4	24.2	+0.01	+0.7
	Kbg	1834.7	18.64	5	+ 3	18.67	1834.7	24.9	5	+1.0	23.9	+0.12	+1.0
	Go	1886.5	18.55	5	− 4	18.50	1886.8	24.9	6	+0.6	24.3	0	0
		$102^a.3$	$-0^s.0009$			$-0^s.09$	$108^a.6$	+0″.012			+1″.3		
688	M	1756.5	$16^h57^m57^s.00$	1	$0^s.00$	$57^s.00$	1756.5	$-20°19'\ 55''.8$	1	0″.0	55″.8	$+0^s.23$	−2″.3
	Z	1793.	56.16		+ 24	56.40						−0.31	
	P	(1800)	56.71	7	+ 8	56.79	(1800)	48.6	7	−2.7	51.3	+0.09	+2.3
	T		57.83	3	− 8	*56.75		54.3	3	−0.5	54.8	+0.11*	−1.2
	Kbg	1832.0	56.62	6	+ 3	56.65	1832.0	55.5	6	+1.0	54.5	0.00	−0.9
	Go	1887.2	56.60	4	− 4	56.55	1887.3	54.2	5	+0.6	53.6	0	0
		$104^a.0$	$-0^s.0017$			$-0^s.17$	$109^a.0$	0″.000			−0″.0		
												* -1^s corr.	
690	M	1756.5	$16^h59^m45^s.82$	3	$0^s.00$	$45^s.82$	1756.5	$-26°21'\ 20''.5$	3	0″.0	20″.5	0	0
	P		45.84	17	+ 6	45.90		17.3	17	−2.6	19.9	$+0^s.11$	+1″.3
	T		45.66	2	− 8	45.58		20.9	3	−0.9	21.8	−0.18	0.0
	Go	1887.5	45.75	4	− 4	45.71	1887.5	23.1	4	+0.5	22.6	0	0
		$131^a.0$	$-0^s.0009$			$-0^s.11$	$131^a.0$	−0″.016			−2″.1		

Nr.	Aut.	Ep.	Æ 1885	Beob.	Red. BVC.	red. Æ	Ep.	Decl. 1885	Beob.	Red. BVC.	red. Decl.	Abweich.	
691	M	1756.5	$17^h\ 1^m 34^s.08$	3	$0^s.00$	$34^s.08$	1756.5	$-17°27'17''.1$	3	0″.0	17″.1	$-0^s.18$	0
	P	1800	34.31	17	+ 8	34.39		16.2	16	−2.9	19.1	+0.18	−1″.5
	T		34.42	6	− 8	34.34		24.5	4	−0.4	24.9	+0.16	−7.0
	Kbg	1832.2	34.26	7	+ 6	34.32	1832.2	18.1	7	+0.6	17.5	+0.14	+0.4
	Go	1887.3	34.17	4	− 4	34.12	1887.3	19.0	4	+0.6	18.4	0	0
		$109^a.0$	$-0^s.0010$			$-0^s.11$	$130^a.8$	−0″.010			−1″.3		
701	M	1756.5	$17^h17^m49^s.91$	1	$0^s.00$	$49^s.91$	1756.5	$-21°19'55''.9$	1	0″.0	55″.9	$+0^s.21$	+1″.0
	Z	(1793)	49.18		+ 23	49.41						−0.18	
	P	1800	49.47	17	+ 7	49.54	(1800)	55.5	12	−2.8	58.3	−0.03	−1.0
	T		49.57	3	− 8	49.49		56.9	4	−0.6	57.5	+0.02	+0.2
	Kbg	1831.5	49.51	5	+ 6	49.57	1831.5	59.4	5	+0.6	58.8	+0.09	−1.2
	Go	1887.3	49.37	4	− 5	49.32	1887.3	58.8	4	+0.6	58.2	0	0
		$104^a.1$	$-0^s.0029$			$-0^s.30$	$109^a.0$	−0″.010			−1″.1		
707	M	1756.5	$17^h26^m17^s.58$	1	$0^s.00$	$17^s.58$	1756.5	$-17°24'44''.5$	1	0″.0	44″.5	$-0^s.05$	+1″.4
	P	(1800)	17.57	21	+ 8	17.65	(1800)	43.0	18	−2.9	45.9	+0.03	−1.4
	T		17.66	3	− 8	17.58		42.6	3	−0.5	43.1	−0.04	+0.3
	Go	1886.9	17.66	5	− 5	17.61	1886.8	42.4	7	+0.6	41.8	0	0
		$101^a.4$	$-0^s.0002$			$-0^s.02$	$108^a.5$	+0″.031			+3″.4		
709	M	1756.5	$17^h31^m\ 0^s.59$	2	$0^s.00$	$0^s.59$	1756.5	$-15°30'\ 0''.5$	2	0″.0	0″.5	$-0^s.02$	0
	P	(1800)	0.42	11	+ 9	0.51		29 55.7	13	−3.0	58.7	+0.02	+0″.6
	T		0.46	5	− 7	0.38		57.8	4	−0.4	58.2	0.00	+0.2
	Go	1886.9	0.29	5	− 5	0.24	1886.8	57.6	6	+0.6	57.0	0	0
		$108^a.7$	$-0^s.0029$			$-0^s.31$	$130^a.3$	+0″.027			+3″.5		
713	M	1756.5	$17^h36^m\ 4^s.25$	1	$0^s.00$	$4^s.25$	1756.5	$-15°30'\ 2''.6$	1	0″.0	2″.6	$+0^s.06$	+1″.5
	P	(1800)	4.01	18	+ 9	4.10	(1800)	2.7	11	−3.0	5.7	−0.03	−1.5
	T		4.37	4	− 7	4.29		5.2	5	−0.5	5.7	+0.20	−1.4
	Go	1887.0	4.09	4	− 5	4.04	1887.0	5.0	4	+0.6	4.4	0	0
		$101^a.5$	$-0^s.0011$			$-0^s.11$	$108^a.7$	−0″.002			−0″.2		
716	M	1756.5	$17^h41^m16^s.22$	1	$0^s.00$	$16^s.22$	1756.5	$-26°55'49''.6$	1	0″.0	49″.6	$-0^s.29$	+3″.6
	Z	1793	16.43		+ 21	16.64						+0.17	
	P	1800	16.52	26	+ 6	16.58	(1800)	53.8	19	−2.7	56.5	+0.12	−1.8
	T		16.40	3	− 8	16.32		55.4	4	−1.1	56.5	−0.10	−0.5
	Kbg	1832.4	16.37	5	+ 6	16.43	1832.4	57.8	5	+0.6	57.2	0.00	−1.3
	Go	1887.2	16.41	4	− 4	16.36	1887.2	58.3	4	+0.5	57.8	0	0
		$104^a.0$	$-0^s.0011$			$-0^s.11$	$101^a.7$	−0″.035			−3″.6		
717	M	1756.5	$17^h44^m\ 9^s.00$	1	$0^s.00$	$9^s.00$	1756.5	$-22°52'50''.7$	1	0″.0	50″.7	$+0^s.04$	+1″.6
	Z	(1793)	8.83		+ 21	9.04						+0.07	
	P	1800	8.78	17	+ 7	8.85	(1800)	54.3	14	−2.8	57.1	−0.12	−1.6
	T		9.24	3	− 8	9.16		59.9	1	−0.8	53′ 0.7	+0.18	−2.5
	Go	1887.0	9.04	4	− 5	8.99	1887.0	53 2.7	4	+0.6	2.1	0	0
		$103^a.8$	$+0^s.0003$			$+0^s.03$	$108^a.8$	−0″.075			−8″.2		
718	s. Vgl. II; α M D'A vgl. Go Gr $112^a.3$ $-0^s.85$ ($-0^s.0076$,; δ M D'A L vgl. Go Gr $104^a.2$ +0″.5 (+0″.005												
719	M	1756.5	$17^h45^m32^s.62$	1	$0^s.00$	$32^s.62$	1756.5	$-19°\ 5'21''.0$	1	0″.0	21″.0	$-0^s.24$	0″.0
	Z	(1793)	32.66		+ 21	32.87						+0.05	
	P	(1800)	32.92	21	+ 8	33.00	(1800)	19.0	16	−2.9	21.9	+0.19	0.0
	T		33.12	2	− 8	33.04		23.7	2	−0.6	24.3	+0.27	−1.6
	Go	1885.8	32.76	4	− 5	32.71	1885.8	24.5	4	+0.6	23.9	0	0
		$102^a.6$	$-0^s.0012$			$-0^s.12$	$107^a.6$	−0″.023			−2″.4		
720	M	1756.5	$17^h46^m40^s.04$	1	$0^s.00$	$40^s.04$	1756.5	$-10°52'\ 7''.6$	1	0″.0	7″.6	$+0^s.13$	+1″.0
	P	(1800)	39.83	18	+ 10	39.93	(1800)	7.8	13	−3.2	11.0	−0.07	−1.0
	T		40.13	2	− 7	40.06		13.1	1	−0.5	13.6	−0.01	−2.5
	Go	1887.1	40.23	3	− 5	40.18	1887.1	13.3	3	+0.6	12.7	0	0
		$101^a.6$	$+0^s.0021$			$+0^s.21$	$108^a.9$	−0″.031			−3″.4		

Nr.	Aut.	Ep.	Æ 1885	Beob.	Red. BVC.	red. Æ	Ep.	Decl. 1885	Beob.	Red. BVC.	red. Decl.	Abweich.	
721	M	1756.5	$17^h47^m43^s.37$	1	$0^s.00$	$43^s.37$	1756.5	$-11°18'43''.9$	1	0″.0	43″.9	$-0^s.17$	+0″.5
	P	(1800)	43.42	17	+ 10	43.52	(1800)	41.3	18	−3.2	44.5	+0.09	−0.5
	T		43.39	2	− 7	43.32		43.1	3	−0.5	43.6	−0.03	+0.2
	Go	1886.2	43.27	3	− 5	43.22	1886.2	44.0	3	+0.6	43.4	0	0
		100ª.7	$-0^s.0025$			$-0^s.25$	108ª.0	+0″.007			+0″.8		
722	M	1756.5	$17^h49^m\ 9^s.27$	2	$0^s.00$	$9^s.27$	1756.5	$-18°46'50''.8$	2	0″.0	50″.8	$+0^s.05$	0
	Z	(1793)	8.91		+ 20	9.11						−0.08	
	P	(1800)	9.14	18	+ 8	9.22		46.5	14	−2.9	49.4	+0.03	+1″.1
	T		9.18	3	− 8	9.10		49.6	2	−0.6	50.2	−0.06	+0.1
	Go	1885.9	9.17	3	− 5	9.12	1885.9	50.6	3	+0.6	50.0	0	0
		102ª.7	$-0^s.0008$			$-0^s.08$	129ª.4	+0″.006			+0″.8		
723	M	1756.5	$17^h49^m26^s.67$	1	$0^s.00$	$26^s.67$	1756.5	$-21°55'55''.7$·	1	0″.0	55″.7·	$+0^s.38$	+1″.8
	Z	(1793)	25.70		+ 20	25.90						−0.30	
	P	(1800)	26.02	15	+ 7	26.09	(1800)	56 0.1	12	−2.8	2.9	−0.09	−1.7
	T		26.28	4	− 8	26.20		55 54.8	1	−0.8	55.6	+0.11	+8.5
	Go	1886.5	26.01	3	− 5	25.96	1886.5	56 9.0	3	+0.6	8.4	0	0
		103ª.3	$-0^s.0025$			$-0^s.26$	108ª.3	−0″.084			−9″.1		
724	M	1756.5	$17^h49^m42^s.47$	2	$0^s.00$	$42^s.47$	1756.5	$-15°47'18''.3$	2	0″.0	18″.3	$+0^s.05$	0
	P	(1800)	42.15	16	+ 9	42.24		20.3	17	−3.1	23.4	−0.05	−2″.1
	T		42.26	8	− 8	42.18		24.9	7	−0.5	25.4	0.00	−1.8
	Go	1886.2	42.08	3	− 5	42.03	1886.2	27.7	3	+0.6	27.1	0	0
		108ª.0	$-0^s.0030$			$-0^s.32$·	129ª.7	−0″.068			−8″.8		
727	M	1756.5	$17^h53^m\ 9^s.70$	1	$0^s.00$	$9^s.70$	1756.5	$-20°19'44''.2$	1	0″.0	44″.2	$+0^s.04$	+1″.0
	Z	(1793)	9.37		+ 20	9.57						−0.07	
	P	(1800)	9.59	22	+ 8	9.67	(1800)	43.2	13	−3.1	46.3	+0.03	−1.0
	T		9.86	4	− 8	9.78		44.4	6	−0.7	45.1	+0.17	+0.2
	Kbg	1832.4	9.61	9	+ 6	9.67	1833.1	46.0	8	+0.6	45.4	+0.06	−0.1
	Go	1886.8	9.63	4	− 5	9.58	1886.8	46.0	4	+0.6	45.4	0	0
		103ª.6	$-0^s.0006$			$-0^s.07$	108ª.6	−0″.001			−0″.1·		
728	M	1756.5	$17^h54^m56^s.49$	2	$0^s.00$	$56^s.49$	1756.5	$-22°46'33''.7$	2	0″.0	33″.7	$-0^s.07$	0
	Z	(1793)	56.41		+ 20	56.61						+0.12	
	P	(1800)	56.43·	17	+ 7	56.50·		30.8	18	−2.8	33.6	+0.02	−0″.5
	T		56.67	8	− 8	56.59		37.3	3	−0.9	38.2	+0.17	−5.5
	Go	1887.0	56.37	4	− 5	56.32	1887.0	32.6	4	+0.6	32.0	0	0
		110ª.5	$-0^s.0018$			$-0^s.20$	130ª.5	+0″.013			+1″.7		
730	M	1756.5	$17^h56^m\ 3^s.94$	2	$0^s.00$	$3^s.94$	1756.5	$-22°42'59''.5$	2	0″.0	59″.5	$-0^s.09$	0
	Z	(1793)	3.94		+ 20	4.14						+0.16	
	P	(1800)	3.91	19	+ 7	3.98		59.9	14	−2.8	43′ 2.7	+0.01	−2″.7
	T		3.97	3	− 8	3.89		43 1.8	3	−0.9	2.7	−0.02	−2.3
	Go	1886.5	3.89	4	− 5	3.84	1886.5	1.6	4	+0.6	1.0	0	0
		110ª.0	$-0^s.0015$			$-0^s.16$	130ª.0	−0″.012			−1″.5		
734	M	1756.5	$18^h\ 0^m17^s.71$	1	$0^s.00$	$17^s.71$	1756.5	$-21°27'16''.6$	1	0″.0	16″.6	$-0^s.07$	+0″.5
	P	(1800)	17.65	24	+ 7	17.72	(1800)	14.5	21	−2.9	17.4	+0.04	−0.5
	T		17.87	5	− 8	17.79		14.7	6	−0.8	15.5	+0.19	+1.3
	Kbg	1832.1	17.48	7	− 1	17.47	1833.0	16.5	6	+0.9	15.6	−0.14	+1.2
	Go	1887.0	17.54	4	− 5	17.49	1887.0	17.2	4	+0.6	16.6	0	0
		101ª.5	$-0^s.0022$			$-0^s.23$	108ª.8	+0″.004			+0″.4		
735	M	1756.5	$18^h\ 0^m47^s.84$	1	$0^s.00$	$47^s.84$	1756.5	$-28°27'56''.5$	1	0″.0	56″.5	$+0^s.02$	+4″.3
	Z	1793.	47.58		+ 19	47.77						−0.08	
	P	(1800)	47.87	11	+ 5	47.92	(1800)	28 2.9	12	−2.7	5.6	+0.06	−2.1
	T		47.76	5	− 8	47.68		3.7	5	−1.4	5.1	−0.20	+0.5
	Kbg	1833.7	47.91	7	− 1	47.90	1833.7	7.1	7	+0.9	6.2	+0.02	−0.7
	Go	1886.5	47.97	4	− 5	47.92	1886.5	9.2	4	+0.5	8.7	0	0
		103ª.3	$+0^s.0007$			$+0^s.08$	101ª.0	−0″.061			−6″.1		

Nr.	Aut.	Ep.	Æ 1885	Beob.	Red. BVC.	red. Æ	Ep.	Decl. 1885	Beob.	Red. BVC.	red. Decl.	Abweich.
736	M	1756.5	$18^h\ 2^m40^s.83$	2	$0^s.00$	$40^s.83$	1756.5	$-30^\circ 44' 38''.0$	2	$0''.0$	$38''.0$	$-0^s.10$ $+0''.5$
	Z	(1793)	40.74		+ 19	40.93						+0.02
	P	(1800)	41.03	25	+ 5	41.08	(1800)	38.4	20	−2.6	41.0	+0.18 −0.5
	T		41.12	5	− 8	41.04		42.0	3	−1.6	43.6	+0.16 −1.6
	Go	1885.8	40.89	4	− 4	40.84	1886.2	44.8	3	+0.5	44.3	0 0
		$109^a.3$	$-0^s.0007$			$-0^s.07$	$108^a.0$	$-0''.044$			$-4''.8$	
743	s. Vgl. II; α Gbr vgl. Ca Pu Go $69^a.5$ $+0^s.87$ ($+0^s.0125$); δ M L vgl. Ca Pu Go $104^a.6$ $+24''.1$ ($+0''.230$)											
747	M	1756.5	$18^h22^m16^s.63$	3	$0^s.00$	$16^s.63$	1756.5	$-25^\circ 19' 40''.7$	3	$0''.0$	$40''.7$	$+0^s.11$ 0
	Z	(1793)	16.19		+ 17	16.36						−0.11
	P	(1800)	16.30	15	+ 5	16.35		39.8	9	−2.8	42.6	−0.11 −1.2
	T		16.52	3	− 8	16.44		41.7	3	−1.1	42.8	+0.03 −0.8
	Go	1885.9	16.38	5	− 5	16.33	1886.3	43.3	4	+0.5	42.8	0 0
		$109^a.4$	$-0^s.0015$			$-0^s.16$	$129^a.8$	$-0''.016$			$-2''.1$	
748	M	1756.8	$18^h23^m25^s.85$	4	$0^s.00$	$25^s.85$	1756.8	$-18^\circ 47' 52''.2$	4	$0''.0$	$52''.2$	$-0^s.14$ 0
	Z	(1793)	26.12		+ 17	26.29						+0.23
	P	(1800)	26.06	15	+ 7	26.13		52.7	12	−3.0	55.7	+0.06 0.0
	T		26.22	3	− 8	26.14		56.4	4	−0.7	57.1	+0.01 +1.3
	Kbg	1834.2	26.23	6	− 1	26.22	1834.2	59.9	6	+0.9	59.0	+0.09 −0.6
	Go	1885.8	26.28	4	− 6	26.22	1885.8	48 3.1	4	+0.6	2.5	0 0
		$109^a.1$	$+0^s.0017$			$+0^s.19$	$129^a.0$	$-0''.080$			$-10''.3$	
749	M	1756.5	$18^h24^m35^s.55$	3	$0^s.00$	$35^s.55$	1756.5	$-18^\circ 58' 23''.4$	3	$0''.0$	$23''.4$	$-0^s.06$ 0
	Z	(1793)	35.11		+ 17	35.28						+0.07
	P	1799.5	35.11	15	+ 7	35.18	1802.0	32.5	8	−2.8	35.3	+0.05 −2.7
	T		34.90	3	− 8	34.82		39.3	2	−0.7	40.0	+0.08 −0.6
	Kbg	1833.3	34.91	5	− 1	34.90	1833.3	42.2	5	+0.9	41.3	+0.14 −2.3
	Go	1885.5	34.24	4	− 6	34.18	1885.9	50.3	3	+0.6	49.7	0 0
		$109^a.1$	$-0^s.0111$			$-1^s.21$	$129^a.4$	$-0''.203$			$-26''.3$	
750	M	1756.8	$18^h24^m42^s.01$	4	$0^s.00$	$42^s.01$	1756.8	$-18^\circ 28' 45''.5$	4	$0''.0$	$45''.5$	$-0^s.02$ 0
	Z	(1793)	41.78		+ 17	41.95						−0.05
	P	(1800)	42.00	21	+ 7	42.08		42.5	16	−3.0	45.5	+0.09 +0.9
	T		42.29	8	− 8	42.21		47.7	8	−0.7	48.4	+0.25 −1.3
	Go	1885.9	41.98	3	− 6	41.92	1885.9	48.8	3	+0.6	48.2	0 0
		$109^a.2$	$-0^s.0008$			$-0^s.09$	$129^a.1$	$-0''.021$			$-2''.7$	
751	M	1756.5	$18^h25^m43^s.00$	3	$0^s.00$	$43^s.00$	1756.5	$-19^\circ\ 3' 13''.8$	3	$0''.0$	$13''.8$	$-0^s.08$ 0
	Z	(1793)	43.05		+ 17	43.22						+0.12
	P	(1800)	43.06	14	+ 7	43.14		9.8	10	−3.0	12.8	+0.04 +0.5
	T		43.23	3	− 8	43.15		11.2	4	−0.7	11.9	+0.04 +0.9
	Go	1885.6	43.19	3	− 6	43.13	1885.6	12.8	2	+0.6	12.2	0 0
		$109^a.1$	$+0^s.0004$			$+0^s.04$	$129^a.1$	$+0''.012$			$+1''.6$	
753	M	1756.5	$18^h26^m25^s.58$	1	$0^s.00$	$25^s.58$	1756.5	$-18^\circ 27'\ 1''.2$	1	$0''.0$	$1''.2$	$-0^s.21$ $+0''.7$
	Z	(1793)	25.70		+ 17	25.87						+0.06
	P	(1800)	25.90	15	+ 7	25.97	(1800)	0.5	9	−3.0	3.5	+0.15 −0.7
	T		26.13	4	− 7	26.06		4.5	4	−0.7	5.2	+0.23 −1.7
	Go	1886.3	25.92	4	− 6	25.86	1887.0	5.1	4	+0.6	4.5	0 0
		$103^a.1$	$+0^s.0005$			$+0^s.05$	$108^a.8$	$-0''.020$			$-2''.1$	
757	M	1756.5	$18^h28^m36^s.38$	3	$0^s.00$	$36^s.38$	1756.5	$-19^\circ 21' 25''.3$	3	$0''.0$	$25''.3$	$-0^s.05$ 0
	Z	(1793)	36.20		+ 17	36.37						−0.10
	P	(1800)	36.62	13	+ 7	36.69		23.2	14	−3.0	26.2	+0.21 −0.6
	T		36.62	3	− 8	36.54		25.7	5	−0.8	26.5	+0.02 −0.7
	Kbg	1833.5	36.62	5	− 1	36.61	1833.5	26.6	5	+0.9	25.7	+0.09 +0.1
	Go	1885.6	36.64	5	− 6	36.58	1886.1	26.8	4	+0.6	26.2	0 0
		$109^a.1$	$+0^s.0011$			$+0^s.12$	$129^a.6$	$-0''.007$			$-0''.9$	

Nr.	Aut.	Ep.	Æ 1885	Beob.	Red. BVC.	red. Æ	Ep.	Decl. 1885	Beob.	Red. BVC.	red. Decl.	Abweich.	
758	M	1756.5	$18^h30^m20^s.62$	$2^1/_4$	$0^s.00$	$20^s.62$	1756.5	$-19°18'14''.0$	3	$0''.0$	$14''.0$	$0^s.00$	0
	Z	(1793)	20.52		+ 17	20.69						+0.10	
	P	(1800)	20.41	10	+ 7	20.48		8.7	7	−3.0	11.7	−0.10	+1".6
	T		20.83	5	− 8	20.75		10.9	5	−0.8	11.7	+0.19	+1.0
	Go	1885.9	20.58	6	− 6	20.52	1885.7	12.4	5	+0.6	11.8	0	0
		$109^a.4$	$-0^s.0008$			$-0^s.08$	$129^a.2$	+0".017			+2".2		
761	M	1756.5	$18^h31^m11^s.01$	3	$0^s.00$	$11^s.01$	1756.5	$-17°19'39''.9$	3	$0''.0$	$39''.9$	0	0
	P		11.00	13	+ 7	11.08		38.0	8	−3.0	41.0	$+0^s.15$	−1".5
	T		10.98	3	− 8	10.90		38.7	4	−0.7	39.4	+0.03	−0.2
	Go	1885.7	10.84	5	− 6	10.78	1886.0	39.3	4	+0.6	38.7	0	0
		$129^a.2$	$-0^s.0018$			$-0^s.23$	$129^a.5$	+0".009			+1".2		
763	s. Vgl. II; Gr Ca $61^a.1$ $-0^s.12$ ($-0^s.0020$) M Ca $115^a.1$ $-4''.6$ ($-0''.040$)												
764	s. Vgl. II; M L Gbr vgl. 10y $87^a.3$ $+0^s.23$ ($+0^s.0026$) M 10y $128^a.2$ $+0''.6$ ($+0''.005$)												
767	M	1756.7	$18^h39^m13^s.79$	1	$0^s.00$	$13^s.79$	1756.7	$-19°43'33''.4$	1	$0''.0$	$33''.4$	$-0^s.18$	+0".1
	Z	(1793)	13.81		+ 16	13.97						+0.08	
	P	(1800)	13.90	12	+ 7	13.97	(1800)	29.4	7	−3.0	32.4	+0.10	−0.1
	T		13.70	2	− 9	13.61		30.4	4	−0.8	31.2	−0.18	0.0
	Go	1885.8	13.74	5	− 6	13.68	1885.8	30.3	5	+0.6	29.7	0	0
		$102^a.6$	$-0^s.0023$			$-0^s.23$	$107^a.5$	+0".030			+3".2		
778	M	1756.6	$18^h51^m22^s.03:$	$^1/_2$	$0^s.00$	$[22^s.03:]$	1756.6	$-20°34'36''.7$	1	$0''.0$	$36''.7$	$[+0^s.54]$	−1".0
	Z	(1793)	21.43		+ 16	21.59						+0.14	
	P	(1800)	21.24	4	+ 7	21.31	(1800)	30.0	4	−2.9	32.9	−0.14	+1.0
	T		21.48	3	− 9	21.39		29.8	4	−0.9	30.7	−0.02	+1.6
	Go	1886.0	21.42	4	− 6	21.35	1886.6	30.7	4	+0.6	30.1	0	0
		$89^a.5$	$-0^s.0011$			$-0^s.09$	$108^a.3$	+0".043			+4".7		
779	M	1756.5	$18^h54^m42^s.26$	1	$0^s.00$	$42^s.26$	1756.5	$-22°51'24''.3$	1	$0''.0$	$24''.3$	$+0^s.21$	+1".1
	Z	(1793)	41.58		+ 16	41.74						−0.21	
	P	(1800)	41.88	8	+ 6	41.94	(1800)	22.7	8	−2.9	25.6	0.00	−1.1
	T		41.96	8	− 9	41.87		21.1	7	−1.1	22.2	+0.03	+1.6
	Kbg	1830.3	41.78	8	− 1	41.77	1830.3	24.2	8	+0.9	23.3	−0.08	+0.6
	Go	1885.6	41.77	5	− 6	41.70	1885.8	23.4	4	+0.6	22.8	0	0
		$102^a.4$	$-0^s.0027$			$-0^s.27$	$107^a.5$	+0".020			+2".1		
781	M	1756.6	$18^h55^m26^s.16$	1	$0^s.00$	$26^s.16$	1756.6	$-24°59'52''.1$	1	$0''.0$	$52''.1$	$+0^s.19$	+0".4
	Z	(1793)	25.48		+ 16	25.64						−0.15	
	P	(1800)	25.66	23	+ 5	25.71	(1800)	58.1	18	−2.8	0′ 0.9	−0.04	−0.4
	T		25.72	3	− 9	25.63		25 0 5.4	6	−1.2	6.6	+0.06	+0.2
	Kbg	1833.8	25.44	6	− 1	25.43	1833.8	7.4	6	+0.9	6.5	−0.14	+0.1
	Go	1885.6	25.36	5	− 6	25.30	1885.8	16.6	4	+0.5	16.1	0	0
		$102^a.4$	$-0^s.0053$			$-0^s.54$	$107^a.5$	−0".182			−19".6		
785	M	1756.5	$19^h\ 0^m16^s.57$	1	$0^s.00$	$16^s.57$	1756.5	$-28°48'39''.8$	1	$0''.0$	$39''.8$	$-0^s.19$	+4".1
	Z	(1793)	16.76		+ 16	16.92						+0.29	
	P	(1800)	16.46	18	+ 4	16.50	(1800)	44.1	7	−2.7	46.8	−0.11	−2.1
	T		16.54	8	− 9	16.45		45.4	6	−1.6	47.0	−0.04	−1.6
	Go	1886.1	16.37	4	− 6	16.31	1886.8	46.9	4	+0.5	46.4	0	0
		$102^a.9$	$-0^s.0034$			$-0^s.35$	$101^a.3$	−0".019			−1".9		
786	M	1756.7	$19^h\ 0^m\ 3^s.51$	1	$0^s.00$	$3^s.51$	1756.7	$-22°40'24''.0$	1	$0''.0$	$24''.0$	$+0^s.12$	−1".0
	Z	(1793)	2.91		+ 16	3.07						−0.27	
	P	(1800)	3.42	17	+ 6	3.48	(1800)	18.4	12	−2.9	21.3	+0.15	+1.0
	T		3.39	5	− 9	3.30		21.6	1	−1.1	22.7	+0.02	−0.9
	Kbg	1832.5	3.33	7	− 1	3.32	1832.5	23.6	7	+1.2	22.4	+0.04	−0.6
	Go	1885.5	3.27	3	− 6	3.21	1885.9	21.6	4	+0.6	21.0	0	0
		$102^a.3$	$-0^s.0014$			$-0^s.14$	$107^a.5$	+0".015			+1".6		

Nr.	Aut.	Ep.	Æ 1885	Beob.	Red. BVC.	red. Æ	Ep.	Decl. 1885	Beob.	Red. BVC.	red. Decl.	Abweich.	
787	M	1756.6	$19^h\ 1^m 13^s.33$	3	$0^s.00$	$13^s.33$	1756.6	$-24°50'\ 4''.6$	3	0″.0	4″.6	0	0
	Z		12.94		+ 16	13.10						−0.12	
	P		13.02	6	+ 5	13.07		6.3	8	−2.8	9.1	−0.13	−3″.1
	T		13.10	5	− 9	13.01		7.5	4	−1.2	8.7	−0.08	−1.5
	Kbg	1835.4	12.95	5	− 1	12.94	1835.4	11.0	5	+1.2	9.8	−0.15	−2.0
	Go	1886.1	13.00	4	− 6	12.94	1886.8	9.4	4	+0.5	8.9	0	0
		129ª.5	−0ˢ.0030			−0ˢ.39	130ª.2	−0″.033			−4″.3		
789	M	1756.6	$19^h\ 3^m\ 1^s.00$	$2^2/_3$	$0^s.00$	$1^s.00$	1756.6	$-19°58'\ 51''.3$	3	0″.0	51″.3	0	0
	Z		0.68		+ 16	0.84						−0ˢ.19	
	P		0.99	13	+ 7	1.06		52.8	11	−3.0	55.8	+0.02	−1″.0
	T		1.09	5	− 9	1.00		59 1.0	8	−0.9	1.9	−0.07	−4.3
	Kbg	1834.4	1.10	5	− 1	1.09	1834.4	1.4	5	+1.2	0.2	+0.02	−2.6
	Go	1886.4	1.19	4	− 7	1.12	1887.0	2.4	3	+0.6	1.8	0	0
		129ª.8	+0ˢ.0009			+0ˢ.12	130ª.4	−0″.080			−10″.5		
790	M	1756.7	$19^h\ 5^m 35^s.72$·	1	$0^s.00$	$35^s.72$·	1756.7	$-21°50'\ 51''.3$·	1	0″.0	51″.3·	+0ˢ.11	0″.0
	Z	(1793)	35.32		+ 16	35.48						−0.14	
	P	(1800)	35.59	20	+ 6	35.65	(1800)	48.3	15	−2.9	51.2	+0.03	0.0
	T		35.75	5	− 9	35.66		50.0	5	−1.0	51.0	+0.04	0.0
	Kbg	1832.2	35.79	6	− 1	35.78	1832.4	51.5	5	+1.2	50.3	+0.16	+0.7
	Go	1885.8	35.70	4	− 7	35.63	1886.4	51.3	4	+0.6	50.7	0	0
		102ª.6	+0ˢ.0001			+0ˢ.01	108ª.0	+0″.006			+0″.6		
791	s. Vgl. II; P T vgl. Co Go 65ª −0ˢ.02· (−0ˢ.0004) M P vgl. Co Go 104ª.6 +4″.2 (+0″.040)												
792	M	1757.1	$19^h\ 6^m\ 9^s.22$	2	$0^s.00$	$9^s.22$	1757.1	$-26°\ 5'\ 53''.1$	2	0″.0	53″.1	+0ˢ.09	0
	Z	(1793)	8.79		+ 16	8.95						−0.04	
	P	(1800	8.79	15	+ 5	8.84		51.6	12	−2.8	54.4	−0.13	−1″.0
	T		9.00	5	− 9	8.91		52.5	6	−1.3	53.8	+0.08	−0.2
	Kbg	1830.7	8.78	6	− 1	8.77	1830.7	54.9	6	+1.2	53.7	−0.08	−0.1
	Go	1886.1	8.69	4	− 6	8.63	1886.1	54.5	4	+0.5	54.0	0	0
		109ª.3	−0ˢ.0039			−0ˢ.43	129ª.0	−0″.007			−0″.9		
794	M	1756.5	$19^h\ 8^m 32^s.05$	1	$0^s.00$	$32^s.05$	1756.5	$-24°22'\ 11''.9$	1	0″.0	11″.9	+0ˢ.17	−0″.3
	Z	(1793)	31.92		+ 16	32.08						−0.06	
	P	(1800)	32.02	10	+ 5	32.07	(1800)	14.1	10	−2.8	16.9	−0.11	+0.3
	T		32.60	5	− 9	32.51		22.5	4	−1.2	23.7	+0.08	−1.9
	Kbg	1833.6	32.44	7	− 1	32.43	1835.3	24.8	6	+1.2	23.6	+0.02	−1.8
	Go	1885.8	32.84	6	− 6	32.78	1886.1	28.9	4	+0.5	28.4	0	
		102ª.6	+0ˢ.0070			+0ˢ.71	107ª.8	−0″.130			−14″.0		
795	M	1756.5	$19^h\ 8^m 10^s.55$	1/2	$0^s.00$	$10^s.55$	1756.5	$-17°32'\ 39''.3$	1	0″.0	39″.3	−0ˢ.67	−0″.1
	P	(1800)	10.87	15	+ 7	10.94	(1800)	34.8	15	−3.1	37.9	−0.23	+0.1
	T	(1835)	11.46	3	− 9	11.37		35.1	3	−0.8	35.9	+0.23	+1.1
	Go	1886.1	11.15	4	− 7	11.08	1886.2	36.1	4	+0.6	35.5	0	0
		69ª	−0ˢ.0011			−0ˢ.07·	108ª.0	+0″.029			+3″.1		
797	M	1756.6	$19^h 11^m 27^s.59$	2	$0^s.00$	$27^s.59$	1756.6	$-19°\ 4'\ 6''.5$	2	0″.0	6″.5	+0ˢ.06	0
	Z	(1793)	27.16		+ 17	27.33						−0.15	
	P	(1800	27.43	18	+ 8	27.51		3.2	21	−3.0	6.2	+0.04	+0″.6
	T		27.77	3	− 9	27.68		6.7	3	−0.9	7.6	+0.25	−0.6
	Go	1885.6	27.43	6	− 7	27.36	1885.8	8.0	4	+0.6	7.4	0	0
		109ª.0	−0ˢ.0013			−0ˢ.14·	129ª.2	−0″.007			−0″.9		
798	M	1756.5	$19^h 12^m 27^s.72$	1	$0^s.00$	$27^s.72$	1756.5	$-15°43'\ 29''.4$	1	0″.0	29″.4	0ˢ.00	+1″.4
	Z	(1793)	27.15		+ 17	27.32						−0.08	
	P	1801.1	27.31	12	+ 9	27.40	1801.1	44.7	12	−3.1	47.8	+0.08	−2.2
	T		27.09·	4	− 9	27.00·		53.6	8	−0.8	54.4	−0.02	+0.1
	Go	1886.1	26.64	4	− 7	26.57	1885.8	44 8.5	6	+0.6	7.9	0	0
		102ª.6	−0ˢ.0089			−0ˢ.91	99ª.6	−0″.263			−26″.2		

Nr.	Aut.	Ep.	AR 1885	Beob.	Red. BVC.	red. AR	Ep.	Decl. 1885	Beob.	Red. BVC.	red. Decl.	Abweich.	
799	M	1756.7	$19^h13^m45^s.18$	2	$0^s.00$	$45^s.18$	1756.7	$-22^\circ37'\ 0''.3$	2	0″.0	0″.3	$+0^s.11$	0
	Z	(1793)	44.60		+ 17	44.77						−0.15	
	P	(1800)	44.76	21	+ 7	44.83		36 54.6	15	−2.8	57.4	−0.07	+0″.5
	T		45.01	1	− 9	44.92		56.9	1	−1.1	58.0	+0.16	−2.0
	Go	1885.5·	44.63	5	− 6·	44.56·	1885.6	53.9	5	+0.6	53.3	0	0
		$108^a.9$		$-0^s.0039$		$-0^s.42$·	$128^a.9$		+0″.054		+7″.0		
806	M	1756.7	$19^h19^m38^s.42$	2/3	$0^s.00$	$38^s.42$	1756.7	$-15^\circ16'48''.81$	1	0″.0	48″.8	$+0^s.13$	−0″.1
	Z	(1793)	38.08		+ 17	38.25						−0.06	
	P	(1800)	38.15	10	+ 9	38.24	(1800)	44.8	9	−3.1	47.9	−0.07	+0.1
	T		38.37	7	− 9	38.28		45.8	2	−0.8	46.6	−0.06	+0.7
	Kbg	1835.4	38.47	6	− 1	38.46	1835.4	50.9	6	+1.2	49.7	+0.12	−2.4
	Go	1885.8	38.44	4	− 7	38.37	1885.8	47.0	4	+0.6	46.4	0	0
		$102^a.6$		$+0^s.0006$		$+0^s.07$	$107^a.5$		+0″.018		+1″.9·		
807	M	1756.7	$19^h22^m\ 3^s.21$	2	$0^s.00$	$3^s.21$	1756.7	$-15^\circ20'\ 7''.9$	2	0″.0	7″.9	$+0^s.04$	0
	Z	(1793)	2.98		+ 17	3.15						+0.07	
	P	(1800)	2.83	15	+ 9	2.92		3.3	15	−3.1	6.4	−0.14	+0″.5
	T		3.13	3	− 9	3.04		8.4	2	−0.8	9.2	+0.07	−3.1
	Go	1885.6	2.91	6	− 7	2.84	1885.8	5.5	4	+0.6	4.9	0	0
		$109^a.0$		$-0^s.0026$		$-0^s.28$	$129^a.1$		+0″.023		+3″.0		
808	M	1756.5	$19^h22^m45^s.50$	1	$0^s.00$	$45^s.50$	1756.5	$-27^\circ13'\ 2''.0$	1	0″.0	2″.0	$-0^s.05$	+2″.4
	Z	(1793)	45.19		+ 17	45.36						−0.11	
	P	(1800)	45.56	9	+ 6	45.62	(1800)	5.4	10	−2.8	8.2	+0.16	−1.2
	T		45.27	4	− 9	45.18		10.6	5	−1.5	12.1	−0.20	−3.0
	Kbg	1834.0	45.27	6	− 1	45.26	1834.0	13.2	6	+1.2	12.0	−0.12	−2.9
	Go	1886.1	45.33	4	− 6	45.27	1886.1	12.7	4	+0.5	12.2	0	0
		$102^a.9$		$-0^s.0022$		$-0^s.22$	$100^a.6$		−0″.060		−6″.1		
809	M	1756.7	$19^h23^m\ 0^s.79$·	1/2	$0^s.00$	$[0^s.79·]$	1756.7	$-15^\circ35'38''.9$	1	0″.0	38″.9	$[+0^s.22]$	−0″.2
	Z	(1793)	0.53		+ 17	0.70						+0.11	
	P	(1800)	0.39	7	+ 9	0.48	(1800)	35.4	8	−3.1	38.5	−0.11	+0.2
	T		0.56	3	− 9	0.47		39.7	3	−0.8	40.5	−0.13	−1.9
	Go	1886.1	0.69	4	− 7	0.62	1886.1	39.2	4	+0.6	38.6	0	0
		$89^a.6$		$+0^s.0003$		$+0^s.03$	$107^a.8$		+0″.001		+0″.1		
810	M	1756.7	$19^h24^m\ 4^s.11$	1 1/2	$0^s.00$	$4^s.11$	1756.7	$-21^\circ32'59''.8$	1	0″.0	32′ 59″.8	$-0^s.28$	−0″.5
	Z	(1793)	4.32		+ 17	4.49						+0.10	
	P	(1800)	4.50	13	+ 7	4.57	(1800)	56.4	13	−2.9	59.3	+0.18	+0.5
	T		4.54·	7	− 9	4.45		33 0.2	5	−1.0	33 1.2	+0.06	−1.0
	Kbg	1832.0	4.37·	6	− 1	4.36	1832.0	0.4	6	+1.2	32 59.2	−0.02	+1.0
	Go	1886.1	4.46	4	− 7	4.39	1886.1	1.4	4	+0.6	33 0.8	0	0
		$102^a.9$		$0^s.0000$		$0^s.00$	$107^a.8$		−0″.012		−1″.2·		
811	M	1756.7	$19^h27^m37^s.97$	4	$0^s.00$	$37^s.97$	1756.7	$-24''\ 0'23''.2$	4	0″.0	23″.2	$+0^s.28$	0
	Z	(1793)	37.15		+ 17	37.32						−0.27	
	P	(1800)	37.22	6	+ 6	37.28		20.6	7	−2.6	23.2	−0.29	+1″.1
	T		37.35	3	− 9	37.26		23.1	5	−1.2	24.3	−0.21	+0.9
	Kbg	1830.6	37.50	7	− 1	37.49	1830.6	24.5	7	+1.2	23.3	+0.01	+1.8
	Go	1885.9	37.39	4	− 6	37.33	1886.8	27.1	2	+0.6	26.5	0	0
		$109^a.3$		$-0^s.0028$		$-0^s.30$·	$130^a.1$		−0″.025		−3″.3		
814	s. Vgl. II; EB. in $\mathfrak{A} = 0$; ♂ M vgl. Grw Go $129^a.1$ +3″.4 (+0″.026)												
815	M	1756.7	$19^h30^m22^s.93$·	1	$0^s.00$	$22^s.93$·	1756.7	$-18^\circ29'\ 8''.6$	1	0″.0	8″.6	$+0^s.04$	−1″.6
	Z	(1793)	22.68		+ 17	22.85						−0.05	
	P	(1800)	22.82	15	+ 8	22.90	(1800)	2.5	10	−3.0	5.5	0.00	+1.6
	T		23.10	4	− 9	23.01		6.2	4	−0.9	7.1	+0.11	+0.1
	Kbg	1835.3	23.03	6	− 1	23.02	1835.3	9.2	6	+1.2	8.0	+0.12	−0.8
	Go	1886.4	22.97	3	− 7	22.90	1887.2	7.9	2	+0.6	7.3	0	0
		$103^a.2$		$0^s.0000$		$+0^s.00$·	$108^a.8$		−0″.002		−0″.2·		

[1] ZD. −1ᵖ corrig.

Nr.	Aut.	Ep.	Æ 1885	Beob.	Red. BVC.	red. Æ	Ep.	Decl. 1885	Beob.	Red. BVC.	red. Decl.	Abweich.
820	M	1756.8	$19^h36^m58^s.79$	10	$0^s.00$	$58^s.79$	1756.9	$-15^\circ43'46''.1$	11	0″.0	46″.1	0 0
	Z		58.72·		+ 17	58.89·						−0ˢ.20
	P	1800.0	59.11	14	+ 9	59.20	1802.0	50.6	8	−3.1	53.7	+0.05 −0″.1
	T		59.39	5	− 9	59.30		58.8	4	−0.8	59.6	−0.14 −0.5
	Go	1885.8	59.94	6	− 7	59.87	1885.8	44 8.2	5	+0.6	7.6	0 0
		129ª.0	+0ˢ.0084			+1ˢ.08	128ª.9	−0″.167			−21″.5	
823	M	1756.6	$19^h41^m13^s.68$	1	$0^s.00$	$13^s.68$	1756.6	$-21^\circ14'22''.3$	1	0″.0	22″.3	+0ˢ.10 +1″.1
	Z	(1793)	12.15		+ 17	*13.32						−0.15*
	P	(1800)	13.43	12	+ 7	13.50	(1800)	21.4	13	−2.9	24.3	+0.05 −1.1
	T		13.40	2	− 9	13.31		22.6	4	−1.1	23.7	−0.03 −0.7
	Go	1886.2	13.26	4	− 7	13.19	1885.9	23.4	5	+0.6	22.8	0 0
		103ª.0	−0ˢ.0030			−0ˢ.31	107ª.6	+0″.005			+0″.5	* +1ˢ corr.
824	M	1756.6	$19^h41^m35^s.24$	1	$0^s.00$	$35^s.24$	1756.6	$-13^\circ59'\ 6''.6$	1	0″.0	6″.6	+0ˢ.05 −0″.4
	Z	(1793)	34.94		+ 17	35.11						−0.10
	P	(1800)	35.18	21	+ 9	35.27	(1800)	3.0	19	−3.2	6.2	+0.05 +0.4
	T		35.29	3	− 9	35.20		5.6	5	−0.8	6.4	−0.03 +0.4
	Go	1886.2	35.33	4	− 7	35.26	1886.2	7.8	4	+0.6	7.2	0 0
		103ª.0	+0ˢ.0005			+0ˢ.05	107ª.9	−0″.007			−0″.8	
826	M	1756.7	$19^h42^m26^s.41$	1	$0^s.00$	$26^s.41$	1756.6	$-12^\circ36'14''.5$·	1	0″.0	14″.5·	+0ˢ.09 −1″.3
	P	(1800)	26.09	8	+ 10	26.19	(1800)	8.4	8	−3.2	11.6	−0.09 +1.3
	T		26.30	5	− 8	26.22		12.2	5	−0.8	13.0	−0.02 −0.4
	Go	1886.1	26.25	4	− 7	26.18	1886.1	12.7	4	+0.6	12.1	0 0
		107ª.7	−0ˢ.0011			−0ˢ.12	107ª.8	+0″.009			+1″.0	
831	s. Vgl. II; M D'A vgl. Go 116ª.6 −0ˢ.51· +2″.2· −0ˢ.0044 +0″.019											
837	M	1756.7	$19^h56^m56^s.07$	1	$0^s.00$	$56^s.07$	1756.7	$-22^\circ55'\ 7''.6$	1	0″.0	7″.6	−0ˢ.04 +0″.1
	P	(1800)	55.78	7	+ 7	55.85	(1800)	3.1	8	−2.9	6.0	+0.02 −0.1
	T		55.67	4	− 9	55.58		3.9	5	−1.2	5.1	−0.03 −0.7
	Kbg	1834.7	55.44	5	− 1	55.43	1834.7	5.8	5	+1.2	4.6	−0.18 −0.2
	Go	1885.8	55.35	5	− 6	55.29	1886.1	2.8	4	+0.6	2.2	0 0
		100ª.2	−0ˢ.0063			−0ˢ.63	107ª.8	+0″.043			+4″.6	
838	M	1756.6	$19^h57^m\ 2^s.48$	1	$0^s.00$	$2^s.48$	1756.6	$-15^\circ44'\ 4''.7$	1	0″.0	44′ 4″.7	−0ˢ.18 −1″.0
	Z	(1793)	2.59		+ 17	2.76						+0.09
	P	(1800)	2.67	12	+ 9	2.76	(1800)	43 59.1	12	−3.1	2.2	+0.09 +1.0
	T		2.78	3	− 9	2.69		44 1.8	3	−0.9	2.7	+0.01 +0.1
	Go	1886.2	2.75	4	− 6	2.69	1886.2	2.8	4	+0.6	2.2	0 0
		103ª.0	+0ˢ.0002			+0ˢ.02	107ª.9	+0″.012			+1″.2·	
839	M	1756.7	$19^h58^m11^s.11$	1/4	$0^s.00$	[$11^s.11$]	1756.7	$-21^\circ38'13''.6$::	1/4	0″.0	[13″.6::]	[−0ˢ.99] [−0″.7]
	Z	(1793)	12.11		+ 17	12.28						+0.21
	P	(1800)	11.78	8	+ 7	11.85	1800)	8.0	8	−2.9	10.9	−0.21 +2.3
	T		11.92	3	− 9	11.83	(1835)	14.7	3	−1.1	15.8	−0.20 −2.3
	Kbg	1851.0	11.99	5	− 1	11.98	1851.0	14.4	5	+1.2	13.2	−0.03 +0.4
	Go	1885.9	12.04	5	− 6·	11.97·	1886.2	14.5	4	+0.6	13.9	0 0
		89ª.4	−0ˢ.0010			−0ˢ.09	69ª	−0″.008			−0″.5·	
842	M	1756.7	$20^h\ 1^m34^s.28$	5	$0^s.00$	$34^s.28$	1756.7	$-19^\circ\ 8'\ 9''.4$	4½	0″.0	9″.4	0 0
	Z		33.80		+ 17	33.97						−0ˢ.31
	P		33.99	8	+ 8	34.07		4.8	9	−3.0	7.8	−0.21 +1″.0
	T		34.39	2	− 9	34.30		9.6	3	−1.0	10.6	+0.02 −2.3
	Go	1886.2	34.35	4	− 6·	34.28·	1886.2	8.2	4	+0.6	7.6	0 0
		129ª.5	0ˢ.0000			+0ˢ.00·	129ª.5	+0″.014			+1″.8	
843	M	1756.6	$20^h\ 1^m59^s.52$	1	$0^s.00$	$59^s.52$	1756.6	$-15^\circ21'21''.9$	1	0″.0	21″.9	−0ˢ.14 +0″.6
	Z	(1793)	59.67		+ 17	59.84						+0.14
	P	(1800)	59.61	11	+ 9	59.70	(1800)	25.1	11	−3.1	28.2	0.00 −0.6
	T		59.84	9	− 9	59.75		31.3	9	−0.9	32.2	+0.01 −0.4
	Kbg	1831.8	59.80	8	+ 5·	59.85·	1831.8	32.7	8	+1.4	31.3	+0.12 +0.1
	Go	1886.3	59.85	4	− 6	59.79	1886.3	38.5	4	+0.6	37.9	0 0
		103ª.1	+0ˢ.0010			+0ˢ.10	108ª.0	−0″.119			−12″.8·	

Nr.	Aut.	Ep.	Æ 1885	Beob.	Red. BVC.	red. Æ	Ep.	Decl. 1885	Beob.	Red. BVC.	red. Decl.	Abweich.	
844	M	1756.8	$20^h\ 2^m 14^s.38$	1	0ˢ.00	$14^s.38$	1756.8	$-10°23'37''.9$	1	0″.0	37″.9	0ˢ.00	+0″.4
	Z	(1793)	14.13		+ 17	14.30						+0.02	
	P	(1800)	14.14	18	+ 10	14.24	(1800)	36.2	13	−3.3	39.5	−0.02	−0.4
	T		14.16	5	− 8	14.08		38.4	9	−0.9	39.3	−0.09	+0.5
	Go	1886.0	14.09	3	− 6	14.03	1886.1	41.3	3	+0.6	40.7	0	0
		$102^a.7$	**−0ˢ.0027**			−0ˢ.28	$108^a.7$	**−0″.018**			−2″.0		
845	M	1756.7	$20^h\ 2^m 50^s.05$	1	0ˢ.00	50ˢ.05	1756.7	$-20°55'12''.7$:	½	0″.0	25″.6:[1]	−0ˢ.02	[+0″.8]
	Z	1793	49.90		+ 17	50.07						−0.01	
	P	1800	50.05	11	+ 7	50.12	(1800)	26.6	11	−2.9	29.5	+0.04	−0.5
	T		50.62	3	− 9	50.53	(1835)	29.4	4	−1.1	30.5	+0.44	+0.5
	Go	1886.1	50.17	4	− 6	50.10	1886.1	34.7	4	+0.6	34.1	0	0
		$102^a.9$	**+0ˢ.0002**			+0ˢ.02	69^a	**−0″.060**			−4″.1		

[1] Zl. +1ᵛ corr.

846	M	1756.7	$20^h\ 3^m 45^s.58$	1	0ˢ.00	45ˢ.58	1756.7	$-19°42'50''.3$	1	0″.0	50″.3	+0ˢ.16	−0″.7
	Z	(1793)	45.20		+ 17	45.37						−0.07	
	P	(1800)	45.28	12	+ 8	45.36	(1800)	49.6	11	−2.9	52.5	−0.09	+0.7
	T		45.59	2	− 9	45.50		53.4	4	−1.0	54.4	+0.03	+1.8
	Go	1886.0	45.57	5	− 6	45.50	1886.7	43 1.1	4	+0.6	0.5	0	0
		$102^a.8$	**+0ˢ.0007**			+0ˢ.07	$108^a.3$	**−0″.084**			−9″.1		
856	M	1756.6	$20^h16^m59^s.10$	¼	0ˢ.00	[59ˢ.10]	1756.6	$-14°37'30''.0$	1	0″.0	30″.0	[−1ˢ.59]	−0″.2
	Z	(1793)	17 0.40		+ 17	0.57						0.00	
	P	(1800)	0.45	16	+ 9	0.54	(1800)	25.2	17	−3.1	28.3	0.00	+0.2
	T		0.63	3	− 9	0.54		26.9	1	−0.9	27.8	+0.11	−0.3
	Go	1885.7	0.33	4	− 6	0.27	1886.0	26.7	3	+0.6	26.1	0	0
		89^a	**−0ˢ.0032**			−0ˢ.28	$107^a.7$	**+0″.028**			+3″.0		
857	s. Vgl. II; MZP vgl. Go $103^a.1$ −0ˢ.18 (−0ˢ.0017) $100^a.8$ −1″.3 (−0″.013												
858	M	1756.7	$20^h18^m25^s.87$	1	0ˢ.00	25ˢ.87	1756.7	$-19°48'17''.6$	1	0″.0	17″.6	−0ˢ.12	+1″.2
	Z	(1793	25.80		+ 17	25.97						−0.03	
	P	(1800)	26.07	13	+ 8	26.15	(1800)	17.1	12	−2.9	20.0	+0.15	−1.2
	T		26.11	3	− 9	26.02		19.8	3	−1.0	20.8	+0.02	−2.0
	Kbg	1850.6	26.08	5	+ 5	26.13	1850.6	21.6	5	+1.4	20.2	+0.13	−1.5
	Go	1885.9	26.07	5	− 6	26.01	1885.9	19.3	5	+0.6	18.7	0	0
		$102^a.7$	**+0ˢ.0001**			+0ˢ.01	$107^a.6$	**+0″.001**			+0″.1		
859	s. Vgl. II; MZP vgl. Go $102^a.8$ +0ˢ.05 (+0ˢ.0005) $100^a.7$ +2″.5 +0″.025)												
863	M	1756.7	$20^h22^m26^s.05$	1	0ˢ.00	26ˢ.05	1756.7	$-17°48'50''.5$	1	0″.0	50″.5	+0ˢ.02	−0″.5
	Z	(1793)	25.76		+ 17	25.93						−0.11	
	P	(1800)	26.05	13	+ 8	26.13	(1800)	46.9	17	−3.0	49.9	+0.09	+0.5
	T		26.31	6	− 9	26.22		48.9	5	−1.0	49.9	+0.17	+0.7
	Kbg	1830.0	26.21	8	+ 5	26.26	1830.7	50.5	7	+1.4	49.1	+0.21	+1.5
	Go	1885.7	26.13	4	− 6	26.07	1885.7	51.6	4	+0.6	51.0	0	0
		$102^a.5$	**+0ˢ.0003**			+0ˢ.03	$107^a.3$	**−0″.007**			−0″.8		
866	s. Vgl. II; MZP vgl. 10y Go $100^a.1$ −0ˢ.12 (−0ˢ.0012) $97^a.5$ −3″.7 (−0″.038)												
867	M	1756.7	$20^h26^m\ 0^s.58$	1	0ˢ.00	0ˢ.58	1756.7	$-16°59'51''.6$	1	0″.0	51″.6	+0ˢ.12	−0″.1
	Z	(1793)	0.22		+ 17	0.39						−0.15	
	P	(1800)	0.50	12	+ 8	0.58	(1800)	48.1	12	−3.0	51.1	+0.03	+0.1
	T		0.45	2	− 9	0.36		51.1	3	−1.0	52.1	−0.27	−1.1
	Kbg	1844.8	0.72	5	+ 5	0.78	1844.8	51.3	5	+1.4	49.9	+0.12	+1.0
	Go	1885.9	0.81	5	− 6	0.75	1886.3	51.2	4	+0.6	50.6	0	0
		$102^a.7$	**+0ˢ.0023**			+0ˢ.23	$108^a.0$	**+0″.007**			+0″.7		

Nr.	Aut.	Ep.	$\mathcal{A}$ 1885	Beob.	Red. BVC.	red. $\mathcal{A}$	Ep.	Decl. 1885	Beob.	Red. BVC.	red. Decl.	Abweich.	
868	M	1756.7	20^h26^m $4^s.55$	1	$0^s.00$	$4^s.55$	1756.7	$-10°14'56''.1$	1	0″.0	56″.1	$+0^s.44$	−0″.1
	Z	(1793)	4.47		+ 17	4.64						−0.04	
	P	1800.1	4.29	12	+ 10	4.39	1802.2	47.2	9	−3.3	50.5	−0.40	+0.2
	T		5.28	5	− 8	5.20		45.4	5	−0.9	46.3	−0.13	+0.5
	Pu	1875.2	6.01	6	− 6	5.95	1875.2	42.7	6	+0.6	42.1	0.00	+0.1
	Go	1885.9	6.18	4	− 6	6.12	1886.0	41.5	4	+0.6	40.9	0	0
		$102^a.6$	$+0^s.0155$			$+1^s.59$	$106^a.5$	$+0''.116$			$+12''.4$		

Argelander vermuthet (B.B. VII S. 97), dass Mayer's $\mathcal{A}$ 1^s zu gross sei. Diess scheint indess nicht der Fall, vielmehr nur ein zufälliger Fehler von $+0^s.5$ vorzuliegen und Piazzi's $\mathcal{A}$ 5″ zu klein zu sein.

869	M	1756.7	$20^h27^m46^s.96$	2	$0^s.00$	$46^s.96$	1756.7	$-14°\ 7'\ 6''.8$	2	0″.0	7′ 6″.8	$-0^s.05$	0
	Z	(1793)	47.06		+ 17	47.23						+0.08	
	P	(1800)	47.11	9	+ 9	47.20		6 57.7	9	−3.2	0.9	+0.02	+1″.9
	T		47.61	5	− 9	47.52		58.0	4	−0.9	6 58.9	+0.21	+0.7
	Kbg	1831.8	47.38	8	+ 5	47.43	1831.8	7 0.4	8	+1.4	59.0	+0.14	+0.9
	Go	1885.7	47.56	4	− 6	47.50	1885.7	6 55.6	4	+0.6	55.0	0	0
		$109^a.1$	$+0^s.0038$			$+0^s.41$	$129^a.0$	$+0''.091$			$+11''.8$		
870	M	1756.7	20^h29^m $1^s.29$	$2^2/_3$	$0^s.00$	$1^s.29$	1756.7	$-16°55'\ 8''.1$	3	0″.0	8″.1	0	0
	Z		1.26		+ 17	1.43						$+0^s.04$	
	P		1.27	17	+ 8	1.35		6.5	17	−3.0	9.5	−0.06	−0″.5
	T		1.60	4	− 9	1.51		10.6	5	−1.0	11.6	0.00	−1.8
	Kbg	1831.1	1.50	9	+ 5	1.55	1831.1	11.5	9	+1.4	10.1	+0.05	−0.4
	Go	1885.8	1.72	5	− 6	1.66	1886.2	11.5	4	+0.6	10.9	0	0
		$129^a.1$	$+0^s.0029$			$+0^s.37$	$129^a.5$	$-0''.022$			$-2''.8$		
871	M	1756.7	$20^h29^m46^s.92$	1	$0^s.00$	46.92	1756.7	$-20°58'53''.9$	1	0″.0	53″.9	$-0^s.17$	+0″.2
	Z	(1793)	47.04		+ 17	47.21						+0.13	
	P	(1800)	47.04	15	+ 8	47.12	(1800)	51.7	17	−2.9	54.6	+0.04	−0.2
	T		47.32	3	− 9	47.23		53.5	4	−1.1	54.6	+0.16	+0.2
	Kbg	1843.9	47.14	5	+ 5	47.19	1843.9	56.6	5	+1.4	55.2	+0.13	−0.4
	Go	1886.2	47.12	4	− 6	47.06	1885.7	55.8	4	+0.6	55.2	0	0
		$103^a.0$	$-0^s.0002$			$-0^s.02$	$107^a.3$	$-0''.009$			$-0''.9$		
873	M	1756.7	$20^h31^m18^s.04$	2	$0^s.00$	18.04	1756.7	$-17°31'16''.4$	2	0″.0	16″.4	$+0^s.06$	0
	Z	(1793	17.72		+ 17	17.89						−0.05	
	P	(1800	17.78	27	+ 8	17.86		16.5	29	−3.0	19.5	−0.07	−2″.5
	T		18.31	4	− 9	18.22		17.4	4	−1.0	18.4	+0.34	−1.0
	Go	1885.7	17.87	4	− 6	17.81	1886.2	18.7	4	+0.6	18.1	0	0
		$109^a.1$	$-0^s.0014$			$-0^s.15$	$129^a.5$	$-0''.013$			$-1''.7$		

874 s. Vgl. II; EB. = 0

877 s. Vgl. II; Z P vgl. Co Go $85^a.2$ $-0^s.72$ ($-0^s.0083$) M P vgl. Co Go $96^a.5$ +7″.7 (+0″.080)

881	M	1756.6	$20^h42^m48^s.98$	1	$0^s.00$	$48^s.98$	1756.6	$-18°27'32''.4$	1	0″.0	32″.4	$-0^s.31$	−0″.9
	Z	(1793)	49.21		+ 17	49.38						+0.16	
	P	(1800)	49.27	6	+ 8	49.35	(1800)	28.5	13	−2.9	31.4	+0.15	+0.9
	T		49.22	3	− 9	49.13		31.1	5	−1.1	32.2	+0.01	+0.8
	Kbg	1833.2	49.18	6	+ 5	49.23	1833.2	33.9	6	+1.4	32.5	+0.10	+0.5
	Go	1885.7	49.08	4	− 6	49.02	1885.5	34.6	5	+0.6	34.0	0	0
		$102^a.5$	$-0^s.0021$			$-0^s.22$	$107^a.2$	$-0''.020$			$-2''.1$		
883	M	1756.7	$20^h46^m10^s.15$	1	$0^s.00$	$10^s.15$	1756.7	$-13°38'\ 9''.7$	1	0″.0	9″.7	$-0^s.09$	−2″.0
	Z	(1793)	10.09		+ 17	10.26						+0.05	
	P	(1800)	10.16	10	+ 9	10.25	(1800)	1.3	10	−3.1	4.4	+0.04	+2.0
	T		10.43	3	− 9	10.34		4.1	4	−1.0	5.1	+0.16	+0.1
	Go	1885.7	10.21	4	− 6	10.15	1885.7	4.2	4	+0.6	3.6	0	0
		$102^a.5$	$-0^s.0007$			$-0^s.07$	$107^a.3$	$+0''.032$			$+3''.4$		

Nr.	Aut.	Ep.	AR 1885	Beob.	Red. BVC.	red. AR	Ep.	Decl. 1885	Beob.	Red. BVC.	red. Decl.	Abweich.	
885	M	1756.9	$20^h46^m47^s.61$	1	$0^s.00$	$47^s.61$	1756.9	$-12^\circ\ 0'32''.0$	1	0″.0	32″.0	$-0^s.13$	+1″.4
	Z	(1793)	47.75·		+ 17	47.92·						+0.09	
	P	(1800)	47.79·	9	+ 10	47.89·	(1800)	29.6	11	−3.2	32.8	+0.04	−1.4
	T		48.18	4	− 8·	48.09·		28.8	3	−1.0	29.8	+0.15	−0.1
	Kbg	1832.2	48.04	8	+ 5·	48.09·	1832.2	31.6	8	+1.4	30.2	+0.16	−0.4
	Go	1885.9	48.13	5	− 6	48.07	1885.7	27.8	4	+0.6	27.2	0	0
		$102^a.6$	$+0^s.0025$			$+0^s.26$	$107^a.2$	+0″.049			+5″.2		
887	M	1756.7	$20^h49^m56^s.76$	1	$0^s.00$	$56^s.76$	1756.7	$-26^\circ43'53''.5$	1	0″.0	53″.5	$+0^s.12$	+0″.2
	Z	(1793)	56.49		+ 17	56.66						−0.15	
	P	(1800)	56.82	12	+ 6	56.88	(1800)	54.5	15	−2.7	57.2	+0.04	−0.2
	T		57.08	5	− 9	56.99		58.1	5	−1.6	59.7	−0.02	−0.1
	Go	1885.7	57.30	4	− 6	57.24	1885.7	44 3.9	4	+0.5	3.4	0	0
		$102^a.5$	$+0^s.0046$			$+0^s.47$	$107^a.4$	−0″.075			−8″.0·		
889	M	1756.8	$20^h51^m14^s.02$	3	$0^s.00$	$14^s.02$	1756.8	$-16^\circ28'26''.1$	3	0″.0	26″.1	0	0
	Z		13.96		+ 17	14.13						$+0^s.05$	
	P		14.11	14	+ 9	14.20		21.2	12	−3.0	24.2	+0.11	+1″.2
	T		14.30	3	− 9	14.21		23.0	4	−1.0	24.0	+0.06	+0.9
	Kbg	1829.2	14.10	8	+ 5·	14.15·	1829.2	26.9	8	+1.4	25.5	+0.01	−0.5
	Go	1885.7	14.30	4	− 6	14.24	1885.4	24.7	6	+0.6	24.1	0	0
		$128^a.9$	$+0^s.0017$			$+0^s.22$	$128^a.6$	+0″.016			+2″.0		
894	M	1756.7	$20^h55^m43^s.31$	1	$0^s.00$	$43^s.31$	1756.7	$-12^\circ\ 8'42''.3$	1	0″.0	42″.3	$-0^s.18$	+0″.2
	Z	(1793)	43.36		+ 17	43.53						+0.06	
	P	(1800)	43.48	9	+ 10	43.58	(1800)	40.5	9	−3.2	43.7	+0.12	−0.2
	T		43.55	3	− 8·	43.46·		42.4	4	−1.0	43.4	+0.03	+0.8
	Go	1885.9	43.46	5	− 6	43.40	1885.7	45.9	6	+0.6	45.3	0	0
		$102^a.7$	$-0^s.0007$			$-0^s.07$	$107^a.4$	−0″.021			−2″.3		
902	M	1756.7	$21^h\ 5^m20^s.14$	1	$0^s.00$	$20^s.14$	1756.7	$-15''56'32''.0$	1	0″.0	32″.0	$+0^s.02$	+0″.6
	Z	(1793)	19.92		+ 17	20.09						0.00	
	P	(1800)	19.97·	10	+ 9	20.06·	(1800)	29.1	10	−3.0	32.1	−0.02	−0.6
	T		20.23	3	− 9	20.14		29.3	4	−1.0	30.3	+0.09	+0.4
	Go	1885.7	20.07	4	− 6	20.01	1885.7	30.0	4	+0.6	29.4	0	0
		$102^a.5$	$-0^s.0009$			$-0^s.09$	$107^a.4$	+0″.025			+2″.6·		
903	M	1756.7	$21^h\ 7^m25^s.32$	3	$0^s.00$	$25^s.32$	1756.7	$-22^\circ41'\ 5''.9$·	3	0″.0	5″.9·	0	0
	Z		24.91		+ 16	25.07						$-0^s.22$	
	P		25.22	11	+ 7	25.29		4.4	14	−2.8	7.2	+0.01	−0″.8
	T		25.31	3	− 9	25.22		6.9	4	−1.4	8.3	−0.03	−1.5
	Go	1885.4	25.27	6	− 6	25.21	1885.5	7.9	5	+0.6	7.3	0	0
		$128^a.7$	$-0^s.0009$			$-0^s.11$	$128^a.8$	−0″.010			−1″.3·		
906	M	1756.8	$21^h11^m55^s.32$	3	$0^s.00$	$55^s.32$	1756.8	$-20^\circ48'55''.6$	3	0″.0	48′55″.6	0	0
	Z		55.14		+ 16	55.30						$+0^s.13$	
	P		55.02	7	+ 7	55.09		55.3	9	−2.8	58.1	−0.06	−1″.2
	T		55.09	2	− 9	55.00		57.7	4	−1.2	58.9	0.00	−0.9
	Go	1885.7	54.86	4	− 6	54.80	1885.7	49 0.1	4	+0.6	59.5	0	0
		$128^a.9$	$-0^s.0040$			$-0^s.52$	$128^a.9$	−0″.030			−3″.9		
907	M	1756.9	$21^h12^m51^s.36$·	1	$0^s.00$	$51^s.36$·	1756.9	$-16^\circ39'37''.6$	1	0″.0	37″.6	$-0^s.27$	+2″.0
	Z	1793	51.61		+ 16	51.77						+0.15	
	P	1800	51.65	9	+ 9	51.74	(1800)	39.6	10	−2.9	42.5	+0.12	−2.0
	T		51.83	6	− 9	51.74		41.8	5	−1.1	42.9	+0.14	−1.6
	Kbg	1829.7	51.58	7	+ 5	51.63	1829.7	41.8	7	+1.1	40.7	+0.03	+0.5
	Go	1885.7	51.63	4	− 6	51.57	1885.4	43.1	6	+0.6	42.5	0	0
		$102^a.4$	$-0^s.0005$			$-0^s.05$·	$107^a.0$	−0″.023			−2″.4·		

Nr.	Aut.	Ep.	Æ 1885	Beob.	Red. BVC.	red. Æ	Ep.	Decl. 1885	Beob.	Red. BVC.	red. Decl.	Abweich.	
908	M	1756.7	$21^h14^m31^s.11$	1¼	$0^s.00$	$31^s.11$(?)	1756.7	$-21^\circ 18' 12''.2$	1	0″.0	12″.2	$+0^s.33$	+0″.6
	Z	(1793)	30.42		+ 16	30.58						−0.26	
	P	(1800)	30.71	9	+ 7	30.78	(1800)	13.2	10	−2.8	16.0	−0.07	−0.6
	T		31.10	2	− 9	31.01		15.7	3	−1.3	17.0	+0.11	+0.5
	Go	1885.9	31.04	5	− 6	30.98	1885.5	21.1	5	+0.6	20.5	0	0
			$102^a.7$		$+0^s.0015$	$+0^s.16$		$107^a.2$		−0″.060	−6″.4		

Die beiden Mayer'schen Beobachtungen geben 1756 Sept. 15 $21^h14^m29^s.11$ f. 1885, Sept. 16 $31^s.15$::. Es ist fraglich, ob die erste $+1^s$, oder wie hier auf Grund der nur beiläufigen zweiten angenommen $+2^s$ corrigirt werden muss. Im erstern Falle erhielte man die EB. in $102^a.7 = +0^s.49$ und die Abweichungen: M $-0^s.26$ Z $+0^s.04$ P $+0^s.21$ T $+0^s.27$.

910	M	1756.7	$21^h17^m33^s.68$	1	$0^s.00$	$33^s.68$	1756.7	$-23^\circ 14' 20''.5$	1	0″.0	20″.5	$+0^s.09$	+0″.3
	Z	(1793)	33.16		+ 16	33.32						−0.06	
	P	(1800)	33.23	10	+ 7	33.30	(1800)	18.0	10	−2.7	20.7	−0.03	−0.2
	T		33.32	3	− 9	33.23		19.1	4	−1.4	20.5	+0.10	−0.3
	Go	1885.7	32.89	4	− 6	32.83	1885.5	20.5	5	+0.6	19.9	0	0
			$102^a.5$		$-0^s.0059$	$-0^s.60$		$107^a.2$		+0″.007	+0″.7		

915	M	1756.9	$21^h21^m59^s.81$	1	$0^s.00$	$59^s.81$	1756.9	$-12^\circ 3' 49''.5$	1	0″.0	3′ 49″.5	$-0^s.34$	+2″.1
	Z	(1793)	22 0.02		+ 16	0.18						+0.02	
	P	(1800)	0.39	9	+ 10	0.49	(1800)	53.3	9	−3.1	56.4	+0.32	−2.1
	T		0.37	3	− 9	0.28		55.7	4	−1.0	56.7	+0.10	−0.2
	Kbg	1844.4	0.42	5	+ 5	0.47	1849.4	4 1.5	4	+1.1	4 0.4	+0.29	−3.0
	Go	1886.3	0.26	4	− 6	0.20	1885.7	0.2	4	+0.6	3 59.6	0	0
			$103^a.0$		$+0^s.0004$	$+0^s.04$		$107^a.3$		−0″.062	−6″.6		

916	M	1756.7	$21^h23^m31^s.86$	4¾	$0^s.00$	$31^s.86$	1756.7	$-19^\circ 38' 51''.0$	5	0″.0	51″.0	$-0^s.21$	0
	Z	(1793)	32.22		+ 16	32.38						+0.27	
	P	(1800)	32.20	15	+ 8	32.28		51.6	14	−2.8	54.4	+0.16	−1″.8
	T		32.34	5	− 16	32.18		54.1	5	−0.3	54.4	+0.02	−0.6
	Kbg	1832.8	32.16	8	+ 5	32.21	1832.8	56.5	8	+1.1	55.4	+0.05	−1.6
	Go	1885.7	32.28	4	− 6	32.22	1886.2	56.3	4	+0.6	55.7	0	0
			$109^a.1$		$+0^s.0011$	$+0^s.12$·		$129^a.5$		−0″.036	−4″.7		

917	M	1756.7	$21^h24^m22^s.54$·	2	$0^s.00$	$22^s.54$·	1756.7	$-14^\circ 47' 35''.0$	2	0″.0	35″.0	$+0^s.09$	0
	Z	(1793)	21.92		+ 16	22.08						−0.34	
	P	(1800)	22.48	22	+ 9	22.57		33.4	17	−3.0	36.4	+0.16	−0″.7
	T		22.55	6	− 15	22.40		36.8[1]	5	−0.2	37.0	+0.02	−0.7
	Kbg	1831.5	22.41	8	+ 5	22.46	1831.5	38.0	8	+1.1	36.9	+0.08	−0.6
	Go	1886.1	22.39	3	− 6	22.33	1885.4	37.8	3	+0.6	37.2	0	0
			$109^a.5$		$-0^s.0010$	$-0^s.10$·		$128^a.7$		−0″.017	−2″.2		

[1] δ +5′ corr.

918	M	1756.7	$21^h24^m57^s.50$	1	$0^s.00$	$57^s.50$	1756.7	$-19^\circ 11' 26''.1$	1	0″.0	26″.1	−0.19	+3″.2
	Z	(1793)	57.75		+ 16	57.91						+0.11	
	P	(1800)	57.82	10	+ 8	57.90	(1800)	30.4	12	−2.8	33.2	+0.08	−3.2
	T		57.94	2	− 16	57.78		29.5	4	−0.3	29.8	−0.14	+0.7
	Go	1886.3	58.13	5	− 6	58.07	1885.9	31.8	5	+0.6	31.2	0	0
			$103^a.1$		$+0^s.0029$	$+0^s.30$		$107^a.6$		−0″.014	−1″.5·		

920	M	1756.7	$21^h27^m18^s.71$	1	$0^s.00$	$18^s.71$	1756.7	$-16^\circ 42' 8''.9$	1	0″.0	8″.9	$-0^s.17$	+0″.7
	Z	(1793)	18.91·		+ 16	19.07·						+0.19	
	P	(1800)	18.79	12	+ 8	18.87	(1800)	11.7	12	−2.9	14.6	−0.02	−0.7
	T		19.30	2	− 15	19.15		19.0	4	−0.2	19.2	+0.25	−1.9
	Go	1885.7	18.98	5	− 6	18.92	1885.7	22.9	4	+0.6	22.3	0	0
			$102^a.5$		$+0^s.0003$	$+0^s.03$·		$107^a.4$		−0″.098	−10″.5·		

928	M	1756.7	$21^h36^m46^s.95$	2	$0^s.00$	$46^s.95$	1756.7	$-20^\circ 8' 41''.0$	2	0″.0	41″.0	$+0^s.07$	0
	Z	(1793)	46.85		+ 16	47.01						−0.03	
	P	(1800)	46.88·	12	+ 8	46.96·		39.3	14	−2.7	42.0	−0.11	−0″.1
	T		47.46	4	− 16	47.30		41.8	5	−0.3	42.1	+0.07	+0.5
	Go	1885.5	47.51	4	− 6	47.45	1885.7	44.3	4	+0.6	43.7	0	0
			$108^a.9$		$+0^s.0044$	$+0^s.48$		$129^a.0$		−0″.021	−2″.7		

Nr.	Aut.	Ep.	$\mathcal{A}$ 1885	Beob.	Red. BVC.	red. $\mathcal{A}$	Ep.	Decl. 1885	Beob.	Red. BVC.	red. Decl.	Abweich.	
932	M	1756.7	$21^h43^m28^s.44$	2	$0^s.00$	$28^s.44$	1756.7	$-13^\circ15'35''.2$	2	0″.0	35″.2	$+0^s.06$	0
	Z	(1793)	28.08		+ 16	28.24						−0.06	
	P	(1800)	28.13	9	+ 9	28.22		29.5	9	−2.9	32.4	−0.06	+1″.1
	T		28.26	6	− 15	28.11		30.0	5	−0.2	30.2	−0.09	+1.8
	Kbg	1831.1	28.24	7	+ 5	28.29	1831.1	33.1	7	+1.1	32.0	+0.08	+0.2
	Go	1885.4	28.14	5	− 5	28.08	1885.7	30.6	4	+0.6	30.0	0	0
		$108^a.8$	$-0^s.0023$			$-0^s.25$	$129^a.0$	+0″.040			+5″.2		
933	M	1756.7	$21^h43^m53^s.35$	2	$0^s.00$	$53^s.35$	1756.7	$-17^\circ22'49''.5$	2	0″.0	49″.5	$+0^s.06$	0
	Z	(1793)	53.05		+ 16	53.21						−0.12	
	P	(1800)	53.26	9	+ 8	53.34		48.5	8	−2.8	51.3	0.00	−1″.5
	T		53.45	3	− 16	53.29		49.7	4	−0.2	49.9	−0.08	+0.1
	Go	1885.7	53.47	4	− 5	53.41	1885.7	50.9	4	+0.6	50.3	0	0
		$109^a.1$	$+0^s.0009$			$+0^s.10$	$129^a.0$	−0″.006			−0″.8		
934	M	1756.7	$21^h45^m17^s.39$	2	$0^s.00$	$17^s.39$	1756.7	$-19^\circ\ 9'20''.1$	2	0″.0	20″.1	$-0^s.04$	0
	Z	(1793)	17.63		+ 17	17.80						+0.07	
	P	(1800)	17.71	9	+ 9	17.80		20.8	9	−2.7	23.5	+0.01	+0″.1
	T		18.42	3	− 16	18.26		25.1	4	−0.3	25.4	+0.19	+1.0
	Go	1885.0	18.54	4	− 5	18.48	1885.7	31.0	4	+0.6	30.4	0	0
		$108^a.4$	$+0^s.0082$			$+0^s.89$	$129^a.0$	−0″.080			−10″.3		
936	M	1756.7	$21^h48^m44^s.67$	1	$0^s.00$	$44^s.67$	1756.7	$-15^\circ47'58''.6$	1	0″.0	47′58″.6	$+0^s.03$	−1″.3
	Z	(1793)	44.38		+ 17	44.55						+0.02	
	P	(1800)	44.35	8	+ 10	44.45	(1800)	54.0	9	−2.8	56.8	−0.06	+1.3
	T		44.45	3	− 15	44.30		57.6	4	−0.2	57.8	−0.10	+1.0
	Go	1885.0	44.30	4	− 5	44.25	1885.2	48 0.3	4	+0.6	59.7	0	0
		$101^a.8$	$-0^s.0030$			$-0^s.31$	$106^a.8$	−0″.019			−2″.0		
937	M	1757.1	$21^h50^m25^s.77$	3	$0^s.00$	$25^s.77$	1757.0	$-18^\circ26'34''.7$	4	0″.0	34″.7	$-0^s.03$	0
	Z	(1793)	25.72		+ 17	25.89						+0.04	
	P	(1800)	25.80	9	+ 9	25.89		29.7	9	−2.7	32.4	+0.03	+1″.9
	T		26.30	3	− 16	26.14		32.0	4	−0.3	32.3	+0.23	+1.6
	Go	1885.7	26.03	4	− 5	25.98	1885.7	34.0	4	+0.6	33.4	0	0
		$108^a.9$	$+0^s.0014$			$+0^s.15$	$128^a.7$	+0″.010			+1″.3		
938	M	1756.7	$21^h51^m31^s.92$	1	$0^s.00$	$31^s.92$	1756.7	$-15^\circ40'13''.7::$	1/4	0″.0	[13″.7::]	$-0^s.06$	[−7″.4]
	Z	(1793)	31.90		+ 17	32.07						+0.13	
	P	(1800)	31.76	12	+ 10	31.86	(1800)	5.3	9	−2.8	8.1	−0.07	−0.7
	T		32.16	3	− 9	32.07	(1835)	6.6	4	−1.1	7.7	+0.18	+0.7
	Go	1885.3	31.88	4	− 5	31.83	1885.7	10.3	4	+0.6	9.7	0	0
		$102^a.1$	$-0^s.0012$			$-0^s.12$	68^a	−0″.026			−1″.8		
939	M	1756.8	$21^h52^m19^s.22$	1	$0^s.00$	$19^s.22$	1756.8	$-21^\circ43'55''.0$	1	0″.0	55″.0	$+0^s.36$	−1″.0
	Z	(1793)	18.48		+ 17	18.65						−0.19	
	P	(1800)	18.59	6	+ 8	18.67	(1800)	49.9	6	−2.6	52.5	−0.17	+1.0
	T		18.99	6	− 9	18.90		50.7	5	−1.4	52.1	+0.07	+1.0
	Go	1885.3	18.86	4	− 5	18.81	1885.8	53.1	4	+0.6	52.5	0	0
		$102^a.0$	$-0^s.0004$			$-0^s.04$	$107^a.4$	+0″.012			+1″.2		
940	M	1756.7	$21^h52^m11^s.86$	1	$0^s.00$	$11^s.86$	1756.7	$-13^\circ13'\ 3''.3$	1	0″.0	3″.3	$+0^s.09$	−1″.2
	Z	1793.	11.61		+ 17	11.78						−0.13	
	P	(1800)	11.86	7	+ 11	11.97	(1800)	12 55.0	9	−2.9	57.9	+0.03	+1.2
	T		12.45	3	− 9	12.36		55.6	4	−1.1	56.7	+0.29	−0.1
	Go	1885.9	12.31	6	− 5	12.26	1886.6	53.6	4	+0.6	53.0	0	0
		$102^a.7$	$+0^s.0038$			$+0^s.39$	$108^a.2$	+0″.070			+7″.6		
941	M	1757.2	$21^h55^m51^s.18$	3	$0^s.00$	$51^s.18$	1757.1	$-18^\circ27'\ 9''.4$	3	0″.0	9″.4	0	0
	Z		51.26		+ 17	51.43						$+0^s.03$	
	P		51.41	13	+ 10	51.51		8.6	8	−2.7	11.3	+0.07	+0″.7
	T		51.93	3	− 9	51.84		12.9	3	−1.2	14.1	+0.20	+0.1
	Go	1885.0	51.99	4	− 5	51.94	1885.1	17.9	6	+0.6	17.3	0	0
		$127^a.8$	$+0^s.0059$			$+0^s.75$	$128^a.0$	−0″.062			−7″.9		

Nr.	Aut.	Ep.	AR 1885	Beob.	Red. BVC.	red. AR	Ep.	Decl. 1885	Beob.	Red. BVC.	red. Decl.	Abweich.
953	M	1756.7	$22^h18^m38^s.88$	1	$0^s.00$	$38^s.88$	1756.7	$-1°46'18''.9$	1	0″.0	18″.9	$-0^s.06$ $-0''.4$
	Z	(1793)	38.95		+ 17	39.12						−0.07
	P	(1800)	39.25	13	+ 12	39.37	(1800)	12.9	14	−3.2	16.1	+0.13 +0.4
	T		39.56	5	− 8	39.48		15.0	5	−1.3	16.3	0.00 −1.3
	Go	1885.3	39.88	4	− 4	39.83	1885.2	13.2	5	+0.4	12.8	0 0
		$102^a.1$	+0.0070			+0.71	$106^a.8$	+0″.044			+4″.7	
960	M	1756.7	22^h34^m 2.24	1	0.00	2.24	1756.7	$-9°57'37''.5$	1	0″.0	37″.5	−0.18 +1″.9
	Z	(1793)	2.75		+ 17	2.92						+0.09
	P	1799.5	2.88	10	+ 11	2.99	1799.9	36.8	11	−2.8	39.6	+0.09 −1.9
	T		3.56	5	− 9	3.47		35.6	6	−1.1	36.7	+0.16 −0.3
	Go	1885.3	3.93	4	− 5	3.88	1886.1	35.1	4	+0.6	34.5	0 0
		$102^a.2$	+0.0114			+1.16	$107^a.8$	+0″.038			+4″.0	
961	s. Vgl. II; M corr. P vgl. Go $107^a.5$ $-0^s.77$ ($-0^s.0072$) MP vgl. Go $107^a.4$ $-3''.6$ ($-0''.034$)											
963	M	1756.7	22^h37^m 1.88	1	0.00	1.88	1756.7	$-8°54'44''.3$	1	0″.0	44″.3	+0.26 +1″.4
	Z	(1793)	1.36		+ 17	1.53						−0.14
	P	(1800)	1.43	7	+ 12	1.55	(1800	44.7	7	−2.8	47.5	−0.13 −1.4
	T		2.08	7	− 9	1.99		46.1	6	−1.1	47.2	+0.26 −0.7
	Kbg	1833.6	1.85	7	+ 3	1.88	1833.6	50.4	7	+0.9	49.5	+0.15 −3.0
	Go	1885.6	1.85	5	− 5	1.80	1885.6	47.6	4	+0.6	47.0	0 0
		$102^a.4$	+0.0014			+0.15	$107^a.3$	−0″.010			−1″.1	
964	M	1756.7	$22^h37^m10^s.40$	1/4	0.00	[10.40]	1756.7	$-7°49'$ 1″.5	1	0″.0	1″.5	[−1.68] +0″.9
	Z	(1793)	11.79		+ 17	11.96						−0.18
	P	(1800)	12.21	11	+ 12	12.33	(1800	0.2	9	−2.8	3.0	+0.18 −0.9
	T		12.37	2	− 9	12.28		48 58.5	4	−1.2	59.7	+0.07 +2.2
	Go	1885.8	12.34	4	− 5	12.29	1786.3	49 2.2	4	+0.6	1.6	0 0
		89^a	+0.0016			+0.14	$108^a.0$	+0″.006			+0″.7	
966	M	1756.7	$22^h39^m18^s.12$	3/4	0.00	18.12	1756.7	$-10°15'$ 3″.7::	1/4	0″.0	[3″.7::]	+0.07 [−10″.9]
	Z	(1793)	17.79		+ 17	17.96						−0.12
	P	(1800)	18.03	8	+ 11	18.14	(1800)	14 50.1	8	−2.7	52.9	+0.05 +0.3
	T		18.45	2	− 9	18.36	(1835)	52.7	4	−1.1	53.8	+0.24 −0.3
	Go	1885.5	18.21	7	− 5	18.16	1885.8	54.6	5	+0.6	54.0	0 0
		$102^a.3$	+0.0008			+0.09	68^a	−0″.010			−0″.6	
	Beide Fäden bei der einzigen Mayer'schen Beobachtung 1756 Sept. 25 sind als nicht ganz sicher bezeichnet; bei der ZD. findet sich der Vermerk noch grösserer Unsicherheit. Offenbar ist der von Mayer 9^m geschätzte Stern ($7^m.3$ BD.) für das Göttinger Instrument schon zu schwach gewesen, und deshalb die Einstellung der ZD. ganz verfehlt.											
969	M	1756.8	$22^h44^m46^s.86$	1	0.00	46.86	1756.8	$-7°55'14''.2$	1	0″.0	14″.2	−0.20 −0″.7
	Z	(1793)	46.85		+ 17	47.02						+0.08
	P	(1800)	46.92	12	+ 12	47.04	(1800)	9.7	10	−2.8	12.5	+0.12 +0.7
	T		46.85	2	− 9	46.76		10.5	4	−1.2	11.7	−0.03 +1.3
	Go	1885.6	46.66	6	− 5	46.61	1885.8	13.2	5	+0.6	12.6	0 0
		$102^a.3$	−0.0036			−0.36	$107^a.4$	+0″.007			+0″.7	
973	M	1756.8	$22^h54^m19^s.38$	2	0.00	19.38	1756.8	$-9°29'43''.3$	2	0″.0	43″.3	−0.09 0
	Z	(1793)	19.35		+ 17	19.52						+0.03
	P	(1800)	19.52	25	+ 12	19.64		41.2	21	−2.6	43.8	+0.15 +0″.6
	T		19.62	3	− 9	19.53		44.8	4	−1.1	45.9	+0.03 −0.5
	Go	1885.3	19.56	4	− 4	19.51	1885.3	47.3	6	+0.6	46.7	0 0
		$108^a.6$	+0.0003			+0.03	$128^a.5$	−0″.026			−3″.4	
984	M		23^h 4^m43^s				1756.7	$-6°35'$ 6″.6	1	0″.0	6″.6	−0″.1
	Z	(1793)	42.09		+0.17	42.26						−0.12
	P	(1800)	42.31	33	+ 12	42.43	(1800)	2.6	18	−2.8	5.4	+0.06 +0.1
	T		42.41	2	− 9	42.32		0.4	3	−1.2	1.6	0.00 +3.1
	Go	1885.4	42.28	6	− 4	42.24	1885.4	4.1	5	+0.5	3.6	0 0
		88ª	−0.0015			−0.13	$107^a.0$	+0″.022			+2″.4	

Nr.	Aut.	Ep.	AR 1885	Beob.	Red. BVC.	red. AR	Ep.	Decl. 1885	Beob.	Red. BVC.	red. Decl.	Abweich.	
992	M	1756.9	$23^h17^m37^s.62$	3	$0^s.00$	$37^s.62$	1756.9	$-\ 0^\circ 20' 26''.4$	3	0″.0	26″.4	0	0
	P		37.55	6	+ 14·	37.69·		22.7	6	−3.0	25.7	$-0^s.03$	−0″.3
	T		37.84	5	− 8·	37.75·		22.8	5	−1.4	24.2	−0.05	+0.3
	Kbg	1830.9	37.77	12	+ 3	37.80	1830.9	26.5	12	+0.7	25.8	0.00	−1.2
	Go	1885.9	37.97	5	− 4	37.93	1885.6	23.7	4	+0.4	23.3	0	0
		$129^a.0$		$+0^s.0024$		$+0^s.31$	$128^a.7$		$+0''.024$		$+3''.1$		
993	s. Vgl. II; MZP vgl. Co Go $100^a.2$ $-0^s.39$ $(-0^s.0039)$ $105^a.2$ $+1''.1$ $(+0''.010)$												
997	M	1756.9	$23^h23^m33^s.87$	1	$0^s.00$	$33^s.87$	1756.9	$-\ 5^\circ\ 9'\ 5''.1$	1	0″.0	5″.1	$-0^s.19$	−0″.2
	Z	(1793)	34.52		+ 18	34.70						+0.29	
	P	1800.3	34.25	8	+ 14	34.39	1800.3	11.1	8	−2.7	13.8	−0.10	+0.2
	T		34.92	8	− 9	34.83		21.3	8	−1.3	22.6	+0.01	−1.4
	Kbg	1835.8	34.79	5	+ 3	34.82	1835.8	22.4	5	+0.7	21.7	−0.01	−0.4
	Go	1885.3	35.36	4	− 4·	35.31·	1885.6	32.2	4	+0.5	31.7	0	0
		$101^a.9$		$+0^s.0098$		$+0^s.99·$	$107^a.0$		$-0''.208$		$-22''.2·$		
1000	M	1756.8	$23^h25^m33^s.64$	3	$0^s.00$	$33^s.64$	1756.8	$-\ 4^\circ 42' 33''.4$	3	0″.0	33″.4	$-0^s.17$	0
	Z	(1793)	34.32·		+ 18	34.50						+0.35	
	P	1799.8	34.08·	9	+ 14	34.22	1800.2	38.2	10	−2.8	41.0	0.00	0″.0
	T		34.45	5	− 9	34.36		47.4	6	−1.3	48.7	−0.19	−1.6
	Go	1885.6	35.07	5	− 4·	35.02·	1885.6	56.5	4	+0.5	56.0	0	0
		$109^a.0$		$+0^s.0094$		$+1^s.02·$	$128^a.8$		$-0''.175$		$-22''.6$		
1003	M	1756.8	$23^h29^m36^s.31$	4	$0^s.00$	$36^s.31$	1756.8	$-\ 8^\circ\ 6'\ 4''.8$	4	0″.0	4″.8	0	0
	Z		36.04		+ 18	36.22						$-0^s.02$	
	P		36.01	7	+ 13	36.14		3.4	8	−2.5	5.9	−0.08	−1″.8
	T		36.33	6	− 10	36.23		2.8	3	−1.2	4.0	+0.08	−0.4
	Kbg	1833.8	36.17	6	+ 3	36.20	1833.8	4.7	6	+0.7	4.0	+0.05	−0.4
	Go	1885.2	36.10	5	− 5	36.05	1885.3	3.3	4	+0.6	2.7	0	0
		$128^a.4$		$-0^s.0020$		$-0^s.26$	$128^a.5$		$+0''.016$		$+2''.1$		
1008	M	1756.9	$23^h38^m56^s.76$	2	$0^s.00$	$56^s.76$	1756.9	$+\ 6^\circ 33' 14''.7$	2	0″.0	14″.7	$+0^s.03$	−3″.0
	Z	(1793)	56.71		+ 18	56.89						+0.15	
	P	(1800)	56.38	8	+ 16	56.54	(1800)	16.4	9	−3.0	19.4	−0.21	+3.0
	T		56.87	7	− 8	56.79		15.8	5	−1.6	17.4	+0.03	+2.2
	Go	1885.3	56.82	4	− 4	56.78	1886.3	13.8	4	+0.2	13.6	0	0
		$108^a.6$		$+0^s.0004$		$+0^s.04$	$107^a.8$		$-0''.032$		$-3''.4·$		
1010	M	1756.8	$23^h41^m21^s.40$	1	$0^s.00$	$21^s.40$	1756.8	$-12^\circ 32' 40''.5$	1	0″.0	40″.5	$0^s.00$	−0″.3
	Z	(1793)	21.08		+ 17	21.25						+0.10	
	P	(1800)	20.90	13	+ 11	21.01	(1800)	40.7	13	−2.3	43.0	−0.10	+0.3
	T		21.03	7	− 11	20.92		43.3	5	−1.2	44.5	+0.05	+1.3
	Go	1885.8	20.57	6	− 5	20.52	1886.4	50.1	5	+0.6	49.5	0	0
		$102^a.5$		$-0^s.0068$		$-0^s.70$	$108^a.0$		$-0''.072$		$-7''.7·$		
1012	M	1756.8	$23^h42^m37^s.93$	1	$0^s.00$	$37^s.93$	1756.8	$-\ 7^\circ\ 1'\ 5''.2$	1	0″.0	5″.2	$-0^s.18$	+0″.4
	P	(1800)	37.99	8	+ 12	38.11	(1800)	4.4	8	−2.5·	6.9·	+0.09	−0.4
	T		38.03	5	− 10	37.93		4.1	6	−1.2	5.3	−0.02	+2.0
	Kbg	1833.2	37.90	6	+ 3	37.93	1833.2	7.6	6	+0.7	6.9	−0.02	+0.4
	Go	1885.6	37.90	5	− 5	37.85	1885.9	8.9	4	+0.5	8.4	0	0
		$100^a.0$		$-0^s.0020$		$-0^s.20$	$107^a.5$		$-0''.022$		$-2''.3$		
1013	s. Vgl. II; MZP vgl. 10y Go Gl_2 $103^a.8$ $-0^s.14$ $(-0^s.0013)$ $108^a.8$ $-2''.2·$ $(-0''.021)$												
1015	M	1757.5	$23^h44^m17^s.43$	2	$0^s.00$	$17^s.43$	1757.1	$-10^\circ 37'\ 7''.5$	2	0″.0	7″.5	$-0^s.02$	0
	P	(1800)	17.75	12	+ 11	17.86		3.3	12	−2.4	5.7	+0.02	−1″.2
	T		18.46	3	− 11	18.35		2.2	5	−1.2	3.4	+0.19	−1.3
	Go	1885.6	18.67	5	− 5	18.62	1886.2	36 59.1	3	+0.6	58.5	0	0
		$106^a.8$		$+0^s.0091$		$+0^s.97·$	$128^a.8$		$+0''.070$		$+9''.0$		

Nr.	Aut.	Ep.	Æ 1885	Beob.	Red. BVC.	red. Æ	Ep.	Decl. 1885	Beob.	Red. BVC.	red. Decl.	Abweich.	
1017	M	1757.1	$23^h48^m54^s.07$	3	$0^s.00$	$54^s.07$	1757.1	$-0^\circ31'47''.9$	3	$0''.0$	$47''.9$	$-0^s.03$	0
	Z	(1793)	53.69		+ 17	53.86						−0.05	
	P	(1800)	53.85	11	+ 14	53.99		47.1	14	−2.7·	49.8·	+0.11	−1″.7
	T		53.81	6	− 9	53.72		47.4	5	−1.3	48.7	+0.03	−0.3
	Kbg	1833.2	53.66	6	+ 3	53.69	1833.2	48.3	6	+0.7	47.6	−0.01	+0.8
	Go	1885.0	53.47	5	− 4	53.43	1885.0	49.1	6	+0.4	48.7	0	0
		$108^a.2$	−0.0052			−0.57	$127^a.9$	−0″.006			−0″.8		
1027	M	1757.5	$0^h\ 4^m\ 1^s.79$	3	$0^s.00$	$1^s.79$	1757.4	$-3^\circ12'\ 1''.6$·	3	$0''.0$	$1''.6$·	0	0
	Z		1.88		+ 18	2.06						+0.28	
	P		1.50·	12	+ 13	1.63·		1.7	12	−2.6	4.3	−0.14	−2″.2
	T		1.80	5	− 10	1.70		2.8	5	−1.3	4.1	−0.07	−1.6
	Go	1885.4	1.80	4	− 5	1.75	1885.4	3.5	4	+0.5	3.0	0	0
		$127^a.9$	−0.0003			−0.04	$128^a.0$	−0″.011			−1″.3·		

b. Sterne, die bei Bradley nur mit einer sicher beobachteten Coordinate vorkommen.

16	Br	1755.1	$0^h29^m37^s.51$	6	$0^s.00$	$37^s.51$						0	
	M	1757.8	37.59·	2	0	37.59·	1757.8	$-1^\circ\ 8'\ 7''.0$	2	$0''.0$	$7''.0$	+0.06	0
	Z		38.77		+ 20	38.97						+1.16	
	P		38.03	10	+ 13	38.16		7.7	10	−2.6	10.3	+0.30	−1″.1
	T		38.18	4	− 10	38.08		10.2	5	−1.3	11.5	−0.05	−0.4
	Kbg	1845.3	38.09	13	+ 6	38.15	1845.3	12.7	13	0.0	12.7	−0.06	−1.1
	Cap	1878.9	38.48	2	− 1	38.47	1878.9	13.7	2	+0.3	13.4	0	0
		$123^a.8$	+0.0078			+0.96	$121^a.1$	−0″.053			−6″.4		
27	M	1756.7	$0^h45^m23^s.08$	3	$0^s.00$	$23^s.08$	1757.0	$+2^\circ45'49''.6$	4	$0''.0$	$49''.6$	0	+0″.5
	Br						1761.6	46.7	1	0.0	46.7		−2.0
	P		22.85	9	+ 14	22.99		47.1	10	−2.7	44.4	−0.07	−1.2
	T		23.43	2	− 10	23.33		45.8	4	−1.5	44.3	+0.29	+1.5
	AG	1880.2	23.06	3	− 5	23.01	1880.2	38.9	3	+0.3	39.2	0	0
		$123^a.5$	−0.0006			−0.07	$122^a.3$	−0″.080			−9″.8		
34	Br	1755.0	$0^h52^m21^s.52$	1	$0^s.00$	$21^s.52$						+0.09	
	M	1756.7	21.35	2	0	21.35	1756.7	$+6^\circ13'24''.5$	2	$0''.0$	$24''.5$	−0.09	0
	Z		21.17		+ 20	21.37						−0.11	
	P		21.34	23	+ 15	21.49		24.2	14	−2.9	21.3	0.00	−2″.4
	T		21.72	4	− 9	21.63		22.9	4	−1.5	21.4	+0.10	−1.7
	AG	1885.9	21.64	2	− 5	21.59	1885.9	22.0	2	+0.2	22.2	0	0
		$130^a.1$	+0.0012			+0.15·	$129^a.2$	−0″.018			−2″.3		
35	Br	1754.6	$0^h53^m52^s.11$	6	$0^s.00$	$52^s.11$						+0.01	
	M	1756.7	52.03	2	0	52.03	1756.7	$+5^\circ51'43''.2$·	2	$0''.0$	$43''.2$·	−0.07	0
	Z		51.80		+ 20	52.00						−0.06	
	P		51.69·	7	+ 14	51.84		47.6	8	−2.9	44.7	−0.22	+0″.8
	T		52.03	5	− 9	51.94		46.2	8	−1.5	44.7	−0.08	+0.3
	Kbg	1834.7	51.99	5	+ 6	52.05	1834.7	46.0	5	0.0	46.0	+0.03	+1.6
	Cap	1877.9	52.01	6	− 1	52.00	1877.9	45.2	6	−0.1	45.1	+0.02	+0.1
	10y	1885.9	51.96	3	0	51.96	1886.2	45.0	7	0.0	45.0	−0.02	−0.1
		$127^a.0$	−0.0009			−0.12	$125^a.3$	+0″.014			+1″.8		
62	Br	1754.9	$1^h31^m32^s.53$	4	$0^s.00$	$32^s.53$						−0.08	
	M	1756.8	32.86	3	0	32.86	1756.8	$+11^\circ29'28''.1$	3	$0''.0$	$28''.1$	+0.24	0
	Z		32.91		+ 21	33.12						+0.24	
	P		32.70	9	+ 16	32.86		32.2	8	−2.8	29.4	−0.07	+0″.7
	T		33.52	4	− 8	33.44		29.5	4	−1.6	27.9	+0.25	−1.2
	AG	1869.9	33.49	2	− 5	33.44	1869.9	29.5	2	+0.1	29.6	0	0
		$114^a.5$	+0.0072			+0.83	$113^a.1$	+0″.013			+1″.5		

Nr.	Aut.	Ep.	AR 1885	Beob.	Red. BVC.	red. AR	Ep.	Decl. 1885	Beob.	Red. BVC.	red. Decl.	Abweich.	
169	M	1756.7	$4^h27^m\ 3^s.34$	3	$0^s.00$	$3^s.34$	1756.9	$+16^\circ\ 4'\ 49''.9$	3*	$0''.0$	$49''.9$	$+0^s.07$	0
	Br	1756.9	3.24	4	0	3.24						−0.02	
	Z		3.25		+ 10	3.35						+0.10	
	P		3.21	14	+ 21	3.42		50.5	13	−2.8	47.7	+0.17	$-1''.1$
	T		3.27	4	− 1	3.26		49.1	4	−1.1	48.0	+0.03	+0.2
	AG	1871.0	3.23	4	− 1	3.22	1871.0	46.8	4	+0.1	46.9	0	0
		$114^a.2$	$-0^s.0004$			$-0^s.04$	$114^a.1$	$-0''.026$			$-3''.0$		
187	Br	1754.1	$4^h50^m50^s.13$	1	$0^s.00$	$50^s.13$						$-0^s.03$	
	M	1756.4	50.17	3	0	50.17	1756.5	$+23^\circ46'\ 6''.1$	3*	$0''.0$	$6''.1$	+0.01	0
	Z		50.05		+ 11	50.16						+0.05	
	P		49.91	11	+ 24	50.15		6.8	12	−2.5	4.3	+0.05	$-1''.3$
	Kbg	1831.1	49.95	6	+ 8	50.03	1831.1	4.1	6	−0.2	3.9	−0.03	−1.4
	T		50.09	5	+ 1	50.10		5.0	6	−0.7	4.3	+0.04	−1.0
	AG	1880.0	50.00	2	0	50.00	1880.0	4.8	2	0.0	4.8	0	0
		$124^a.4$	$-0^s.0013$			$-0^s.16$	$123^a.5$	$-0''.011$			$-1''.3$		
188	Br	1755.1	$4^h50^m43^s.90$	1	$0^s.00$	$43^s.90$						$-0^s.07$	
	M	1756.4	44.00	4	0	44.00	1756.6	$+16^\circ58'\ 18''.5$	4*	$0''.0$	$18''.5$	+0.03	0
	Z		43.99		+ 11	44.10						+0.19	
	P		43.94	6	+ 22	44.16		22.2	8	−2.7	19.5	+0.26	$+0''.4$
	T		43.86	5	0	43.86		19.6	5	−1.0	18.6	+0.01	−1.0
	Kbg	1833.5	43.80	7	+ 8	43.88	1833.5	18.9	7	−0.3	18.6	+0.03	−1.0
	AG	1871.1	43.80	4	− 1	43.79	1871.1	20.1	4	0.0	20.1	0	0
		$115^a.1$	$-0^s.0015$			$-0^s.18$	$114^a.5$	$+0''.014$			$+1''.5$		
235	s. Vgl. II; M Br corr. vgl. Be Ci $137^a.4$ $-3^s.32$ ($-0^s.0242$) M vgl. St Pu Ci $126^a.5$ $-43''.1$ ($-0''.341$)												
239	Br	1752.1	$5^h46^m28^s.79$	1	$0^s.00$	$28^s.79$						$-0^s.27$	
	M	1756.1	29.58	1	0	29.58	1756.1	$+20^\circ16'\ 14''.4$	1**	$0''.0$	$14''.4$	+0.53	$-0''.8$
	Z		28.91		+ 13	29.04						0.00	
	P		28.80	8	+ 23	29.03	(1800)	18.9	6	−2.6	16.3	0.00	+0.8
	T		29.01	4	+ 1	29.02		16.2	5	−0.8	15.4	+0.01	−0.2
	10y	1884.8	28.99	1	0	28.99	1884.8	15.8	1	0.0	15.8	0	0
		$131^a.4$	$-0^s.0005$			$-0^s.06$	$106^a.8$	$+0''.004$			$+0''.4$		
245	Br						1755.2	$+22^\circ53'\ 30''.0$	3	$0''.0$	$30''.0$		$-1''.0$
	M	1756.2	$5^h53^m29^s.80$	1	$0^s.00$	$29^s.80$	1756.2	34.1	1**	0.0	34.1	$-0^s.17$	$+3''.1$
	Z	(1793)	29.92		+ 11	30.03						+0.07	
	P	(1800)	29.82	8	+ 24	30.06		32.5	8	−2.5	30.0	+0.10	−0.9
	T		30.05	4	+ 1	30.06		29.4	4	−0.7	28.7	+0.11	−2.2
	AG	1882.0	29.92	3	+ 1	29.93	1882.0	30.8	3	0.0	30.8	0	0
		$98^a.9$	$-0^s.0003$			$-0^s.03$	$126^a.5$	$-0''.002$			$-0''.2$		
258	Br	1755.3	$6^h\ 8^m\ 5^s.92$	4	$0^s.00$	$5^s.92$						$+0^s.02$	
	M	1757.0	5.77	1	0	5.77	1757.0	$+19^\circ12'\ 2''.6$	1	$0''.0$	$2''.6$	−0.12	$+0''.2$
	P		5.56	5	+ 23	5.79	(1800)	11 57.1	6	−2.7	54.4	+0.25	−0.2
	T		5.21	6	− 1	5.20		48.2	5	−0.9	47.3	−0.05	−1.0
	Kbg	1833.3	5.09	5	+ 5	5.14	1833.3	48.0	5	−0.3	47.7	−0.12	−0.9
	10y	1884.8	4.84	4	0	4.84	1884.8	39.3	4	0.0	39.3	0	0
		$129^a.3$	$-0^s.0082$			$-1^s.06$	$106^a.3$	$-0''.181$			$-19''.2$		
263	Br						1754.7	$+23^\circ19'\ 7''.3$	3	$0''.0$	$7''.3$		$+0''.5$
	M	1756.1	$6^h12^m23^s.21$	1	$0^s.00$	$23^s.21$	1756.1	5.2	1**	0.0	5.2	$+0^s.22$	−1.6
	Z	(1793)	22.89		+ 11	23.00						−0.05	
	P	(1800)	22.66	5	+ 24	22.90		9.7	5	−2.5	7.2	−0.17	−0.7
	T		23.34	3	+ 1	23.35		10.2	4	−0.6	9.6	+0.22	+0.9
	10y	1878.1	23.20	1	0	23.20	1878.1	9.7	1	0.0	9.7	0	0
		$95^a.1$	$+0^s.0017$			$+0^s.16$	$123^a.1$	$+0''.024$			$+3''.0$		

Nr.	Aut.	Ep.	Æ 1885	Beob.	Red. BVC.	red. Æ	Ep.	Decl. 1885	Beob.	Red. BVC.	red. Decl.	Abweich.	
370	Br						1754.1	+20° 10′ 55″.5	1	0″.0	55″.5		0″.0
	M	1756.7	8h 33m 6s.97	3 2/3	0s.00	6s.97	1757.1	55.6	3*	0.0	55.6	0	0.0
	Z		6.38		+ 9	6.47						−0s.28	
	P		6.36	7	+ 21	6.57		59.0	7	−2.6	56.4	−0.14	0.0
	Kbg	1832.1	6.24	5	+ 19	6.43	1832.1	56.5	5	0.0	56.5	−0.09	−0.4
	T		6.39	9	− 5	6.34		58.6	9	−1.0	57.6	−0.16	+0.6
	AG	1870.7	6.21	2	0	6.21	1870.7	57.9	2	0.0	57.9	−0.07	+0.3
	»	1881.2	6.22	2	0	6.22	1881.2	57.8	2	0.0	57.8	0	0
		124a.5	−0s.0060			−0s.75	124a.9	+0″.018			+2″.2		
375	Br						1755.2	+19° 57′ 1″.9	2	0″.0	1″.9		+0″.9
	M	1756.6	8h 33m 51s.90	2 2/3	0s.00	51s.90	1757.0	0.1	2*	0.0	0.1	+0s.07	−0.9
	Z	(1793)	51.30		+ 9	51.39						−0.26	
	P	(1800)	51.52	10	+ 21	51.73		4.3	11	−2.6	1.7	+0.12	+0.4
	T		51.45	14	− 5	51.40		2.6	6	−1.0	1.6	−0.04	0.0
	Ioy	1880.2	51.22	5	0	51.22	1880.2	1.9	5	0.0	1.9	0	0
		103a.6	−0s.0049			−0s.51	124a.1	+0″.008			+0″.9		
376	Br						1755.5	+20° 7′ 32″.5	3	0″.0	32″.5		−0″.6
	M	1756.8	8h 34m 7s.54	2	0s.00	7s.54	1757.0	33.6	2*	0.0	33.6	0	+0.6
	Z		7.23		+ 9	7.32						−0s.07	
	P		6.94	6	+ 21	7.15		34.1	8	−2.6	31.5	−0.22	−1.5
	T		7.17	3	− 5	7.12		32.3	4	−1.0	31.3	−0.10	−1.7
	AG	1870.7	7.00	2	0	7.01	1870.7	33.0	2	0.0	33.0	−0.06	+0.1
	»	1880.6	7.02	3	0	7.03	1880.6	32.9	3	0.0	32.9	0	0
		123a.8	−0s.0042			−0s.51	124a.4	−0″.002			−0″.2		
377	Br						1754.2	+19° 59′ 14″.4	2	0″.0	14″.4		0″.0
	M	1756.7	8h 34m 21s.23	2	0s.00	21s.23	1757.0	14.3	2*	0.0	14.3	+0s.01	0.0
	Z		20.27		+ 9	20.36						−0.66	
	P	(1800)	20.76	5	+ 21	20.97		16.5	6	−2.6	13.9	−0.01	−0.1
	T		20.79	3	− 5	20.74		13.0	1	−1.0	12.0	−0.01	−1.8
	Ioy	1880.5	20.53	3	0	20.53	1880.5	13.5	3	0.0	13.5	0	0
		102a.1	−0s.0056			−0s.57	124a.9	−0″.007			−0″.8		
378	M	1756.9	8h 35m 14s.21	3	0s.00	14s.21	1757.1	+20° 17′ 0″.3	2*	0″.0	17′ 0″.3	−0s.01	0
	Br	1757.3	14.24	1	0	14.24						+0.01	
	Z		13.99		+ 9	14.08						−0.01	
	P		13.86	6	+ 21	14.07		0.5	8	−2.6	16 57.9	+0.01	−1″.9
	T		13.92	7	− 5	13.87		0.7	5	−1.0	59.7	−0.06	+0.3
	AG	1871.1	13.74	3	0	13.74	1870.9	16 59.0	3	+0.0	59.1	−0.05	+0.1
	»	1881.8	13.75	3	0	13.75	1881.8	58.8	3	+0.0	58.9	0	0
		124a.7	−0s.0038			−0s.48	124a.7	−0″.011			−1″.4		
433	s. Vgl. II; Br vgl. Ioy Gl_2 132a.0 −0s.27 (−0s.0020); EB. in Decl. = 0												
449	Br	1755.2	10h 5m 26s.85	3	0s.00	26s.85						+0s.01	
	M	1756.3	26.77	1 1/2	0	26.77	1756.2	+13° 55′ 26″.6	2**	0″.0	26″.6	−0.07	0
	Z		26.94		+ 9	27.03						+0.07	
	P		26.71	6	+ 18	26.89		25.0	6	−3.3	21.7	−0.09	−2″.8
	Kbg	1827.8	26.90	8	+ 11	27.01	1828.9	22.0	7	−0.2	21.8	−0.05	−1.4
	T		27.22	6	− 9	27.13		23.0	5	−1.4	21.6	+0.05	−1.3
	AG	1869.3	27.19	2	0	27.19	1869.3	21.2	2	+0.1	21.3	0	0
		113a.9	+0s.0031			+0s.35	113a.1	−0″.047			−5″.3		
580	Br	1756.4	14h 8m 24s.71	2	0s.00	24s.71						−0s.10	
	M	1756.4	24.91	3 2/3	0	24.91	1756.4	− 5° 21′ 57″.7	3*	0″.0	57″.7	+0.10	−0″.3
	Z		23.64		+ 13	23.77						−0.22	
	P		23.61	27	+ 14	23.75	(1800)	50.0	25	−2.6	52.6	−0.08	+0.3
	T		23.06	3	− 9	22.97		49.8	3	−0.3	50.1	−0.07	−0.8
	Be	1876.3	22.11	5	0	22.11	1876.3	45.0	5	0.0	45.0	0	0
		119a.9	−0s.0225			−2s.70	98a.1	+0″.103			+10″.1		

Nr.	Aut.	Ep.	Æ 1885	Beob.	Red. BVC.	red. Æ	Ep.	Decl. 1885	Beob.	Red. BVC.	red. Decl.	Abweich.	
587	Br						1754.4	−11° 8′ 45″.4	3	0″.0	45″.4		+0″.9
	M	1756.4	14h18m30s.96	3 2/3	0s.00	30s.96	1756.4	47.0	4*	0.0	47.0	0	−0.7
	P		30.30	11	+ 12	30.42		44.1	12	−2.4	46.5	−0s.21	+0.5
	T		30.41	1	− 10	30.31		43.6	4	−0.2	43.8	−0.05	+3.8
	Be	1876.4	30.05	4	0	30.05	1876.4	48.3	4	0.0	48.3	0	0
		120a.0	−0s.0076			−0s.91	120a.9	−0″.017			−2″.0		
640	Br.	1756.1	15h47m45s.90	1	0s.00	45s.90						+0s.12	
	M	1756.4	45.54	1	0	45.54	1756.4	−24° 54′ 0″.8	1**	0″.0	0″.8	−0.24	+0″.4
	Z		45.31		+ 20	45.51						−0.14	
	P		45.42	11	+ 6	45.48	1800)	1.1	7	−2.1	3.2	−0.14	−0.4
	T		45.58	6	− 9·	45.48·		3.6·	5	−0.6	4.2	0.00	−0.2
	Cap	1878.5	45.27	3	+ 2	45.29	1878.5	5.8	3	−0.2	6.0	−0.03	−0.5
	10y	1878.8	45.35·	3	0	45.35·	1878.8	5.5	3	0.0	5.5	+0.03	0
		122a.4	−0s.0038			−0s.46	100a.6	−0″.035			−3″.5		
674	M	1756.5	16h35m 8s.04·	1	0s.00	8s.04·	1756.5	−19° 42′ 18″.8	1	0″.0	18″.8	−0s.14	−1″.2
	Br						1759.3	16.3	1	0.0	16.3		+1.2
	Z	(1793)	7.94		+ 25	8.19						+0.03	
	P	(1800)	8.19	11	+ 8	8.27		11.2	11	−2.6	13.8	+0.12	+1.4
	T		7.82	3	− 8·	7.73·		14.1	3	−0.4	14.5	−0.39	−1.5
	10y	1881.4	8.09	2	0	8.09	1884.4	10.4	2	0.0	10.4	0	0
		98a.9	−0s.0008			−0s.07·	126a.5	+0″.057			+7″.2		
677	Br	1755.5	16h42m43s.56·	1:	0s.00	43s.56·:						[−1s.13]	
	M	1756.5	44.46	2	0	44.46	1756.5	−24° 26′ 11″.8	2	0″.0	11″.8	−0.23	0
	P	(1800)	44.75	6	+ 6	44.81		10.5	7	−2.5	13.0	+0.23	−0″.3
	Kbg	1831.7	44.47	11	+ 3	44.50	1831.7	13.4	11	+1.0	12.4	−0.01	+1.0
	T		44.38	1	− 8·	44.29·		6.6	1	−0.7	7.3	−0.21	+6.1
	Cap	1878.6	44.38	3	+ 1	44.39	1878.6	14.5	3	−0.2	14.7	−0.01	−0.4
	Go	1886.5	44.43	4	− 4	44.39	1887.1	14.7	4	+0.6	14.1	+0.01	+0.4
		104a.3	−0s.0023			−0s.24·	126a.3	−0″.021			−2″.6		
681	Br	1756.1	16h49m51s.97	4	0s.00	51s.97						−0s.03	
	M	1756.5	52.27	1	0	52.27	1756.5	−22° 57′ 58″.7	1	0″.0	58″.7	+0.27	+0″.1
	P		51.96	21	+ 7	52.03	(1800)	56.7	19	−2.6	59.3	+0.05	−0.2
	T		52.11	3	− 8	52.03		58 0.4	4	−0.7	1.1	+0.06	−1.7
	Kbg	1834.9	51.95	5	+ 3	51.98	1834.9	57 58.6	5	+1.0	57.6	+0.01	+1.8
	10y	1878.3	51.94	5	0	51.94	1878.3	58 0.3	5	0.0	0.3	−0.01	−0.6
	Cap	1879.3	52.01	2	+ 1	52.02	1879.3	57 59.5	2	−0.2	59.7	+0.07	0.0
	Go	1884.5	51.89	1	− 4	51.85	1884.5	59.6	1	+0.6	59.0	−0.10	+0.7
		123a.8	−0s.0004			−0s.05	101a.7	−0″.007			−0″.7		
683	M	1756.5	16h52m55s.64	2	0s.00	55s.64	1756.5	−24° 54′ 54″.9	2	0″.0	54′54″.9	+0s.10	0
	Br	1758.4	55.44	1 corr.	0	55.44						−0.10	
	P		55.23	37	+ 6	55.29		55.8	31	−2.5	58.3	−0.15	−1″.8
	Kbg	1831.2	55.26	7	+ 3	55.29	1831.2	57.8	7	+1.0	56.8	−0.08	+0.8
	T		55.54	6	− 8	55.46		57.4	7	−0.8	58.2	+0.10	−0.5
	Cap	1878.5	55.25·	3	+ 1	55.26·	1878.5	59.8	3	−0.3	55 0.1	+0.01	−0.8
	10y	1883.0	55.28	4	0	55.28	1883.0	58.3·	4	0.0	54 58.3·	+0.04	+1.1
	Go	1886.5	55.23	4	− 4	55.19	1887.5	55 0.3	4	+0.5	59.8	−0.05	−0.2
		125a.2	−0s.0024			−0s.29·	126a.2	−0″.036			−4″.5		
684	M	1756.5	16h53m 6s.59	2	0s.00	6s.59	1756.5	−24° 48′ 36″.8	2	0″.0	36″.8	0	−0″.7
	Br	1758.4	7.12	1	0	7.12	1758.4	34.8	1	0.0	34.8	[+0s.53]	+1.4
	P		6.34	23	+ 6	6.40		39.6	26	−2.5	42.1	−0.26	−3.2
	Kbg	1832.8	6.77	10	+ 3	6.80	1832.8	44.3	10	+1.0	43.3	+0.09	−2.3
	T		6.94	2	− 8	6.86		43.2	4	−0.8	44.0	+0.14	−2.9
	Cap	1878.5	6.74	3	+ 1·	6.76	1878.5	44.3	3	−0.3	44.6	−0.04	−0.7
	10y	1879.5	6.84	3	0	6.84	1879.5	43.3	3	0.0	43.3	+0.04	+0.7
		122a.5	+0s.0017			+0s.21	121a.9	−0″.064			−7″.8		

Nr.	Aut.	Ep.	Æ 1885	Beob.	Red. BVC.	red. Æ	Ep.	Decl. 1885	Beob.	Red. BVC.	red. Decl.	Abweich.	
686	Br	1755.5	$16^h56^m56^s.94$	1:	$0^s.00$	$56^s.94$						$+0^s.43$	
	M	1756.5	56.30	2	0	56.30	1756.5	$-25°31'58''.7$	2	0″.0	58″.7	−0.21	0
	P		56.31	37	+ 6	56.37		54.3	30	−2.7	57.0	−0.03	+1″.6
	Kbg	1833.5	56.16	5	+ 3	56.19	1833.5	57.4	5	+1.0	56.4	−0.13	+2.0
	T		56.40	3	− 7	56.33		55.1	5	−0.8	55.9	+0.02	+2.5
	Cap	1878.7	56.21	2	+ 2	56.23	1878.7	56.3	2	−0.3	56.6	+0.03	+1.7
	Go	1887.0	56.19	4	− 4	56.15	1887.0	32 0.6	4	+0.5	0.1	−0.03	−1.7
		$126^a.7$	$-0^s.0026$			$-0^s.32$	$126^a.3$	+0″.003			+0″.3·		
687	Br	1754.0	$16^h57^m38^s.94$	2	$0^s.00$	$38^s.94$						$-0^s.15$	
	M	1756.5	39.39	2	0	39.39	1756.5	$-25°28'38''.4$	2	0″.0	38″.4	+0.30	0
	P		39.40	22	+ 6	39.46		39.3	22	−2.7	42.0	+0.38	+0″.3
	T		39.32	7	− 8	39.24		42.4	4	−0.8	43.2	+0.17	+2.2
	Go	1884.5	39.09	1	− 4	39.05	1884.5	50.3	1	+0.5	49.8	0	0
		$129^a.7$	$-0^s.0003$			$-0^s.04$	$128^a.0$	−0″.089			−11″.4		
694	Br						1754.5	$-26°29'17''.4$	1	0″.0	17″.4		−0″.7
	M	1756.5	$17^h\ 9^m14^s.32$	1	$0^s.00$	$14^s.32$	1756.5	17.5	1	0.0	17.5	$+0^s.06$	+1.4
	Z	(1793)	12.49		+ 23	12.72						−0.09	
	P	1800.3	12.48	9	+ 6	12.54	1800.3	21 7.0	9	−2.7	9.7	+0.02	−0.9
	T		10.81	5	− 8	10.73		49.7	7	−0.9	50.6	−0.40	−2.2
	Cap	1878.7	9.24	2	+ 2	9.26	1878.7	22 38.0	2	−0.3	38.3	−0.13	−0.1
	10y	1883.5	9.31	4	0	9.31	1883.5	43.2	4	0.0	43.2	+0.10	+0.4
	Go	1884.5	9.13	1	− 4	9.09	1884.5	45.9	1	+0.5	45.4	−0.07	−0.6
		$99^a.3$	$-0^s.0398$			$-3^s.95$	$127^a.3$	−1″.139			−145″.1		
696	Br	1755.5	$17^h11^m\ 4^s.97$	1	$0^s.00$	$4^s.97$						$-0^s.04$	
	M	1756.5	5.08	3	0	5.08	1756.5	$-23°56'30''.7$	3	0″.0	30″.7	+0.07	0
	P		5.07	24	+ 7	5.14		31.4·	18	−2.6	34.1	−0.09	−0″.2
	T		5.65	2	− 8	5.57		40.7	4	−0.8	41.5	+0.16	−4.9
	Cap	1879.0	5.62	2	+ 1	5.63	1879.0	39.6	2	−0.2·	39.8·	0	0
		$123^a.2$	$+0^s.0051$			$+0^s.62$	$122^a.5$	−0″.075			−9″.1·		
726	M	1756.5	$17^h53^m\ 8^s.63$	1	$0^s.00$	$8^s.63$	1756.5	$-24°16'17''.3$	1	0″.0	17″.3	$+0^s.08$	+1″.9
	Br	1756.9	8.51	1	0	8.51						−0.04	
	Z		8.31		+ 19	8.50						−0.02	
	P		8.77·	13	+ 6	8.84	(1800)	20.4	13	−2.8	23.2	+0.32	−1.9
	T		8.61	5	− 8	8.53		22.3	6	−1.0	23.3	+0.04	−0.2
	Kbg	1833.5	8.41	5	+ 6	8.47	1833.5	23.2	5	+0.6	22.6	−0.02	+0.4
	Cap	1878.5	8.44·	3	+ 1	8.45·	1878.5	24.9	3	−0.3	25.2	0	0
		$121^a.7$	$-0^s.0008$			$-0^s.09$·	$100^a.3$	−0″.049			−4″.9·		
737	Br	1753.6	$18^h\ 4^m42^s.28$	1	$0^s.00$	$42^s.28$						$+0^s.06$	
	M	1756.5	42.18	3	0	42.18	1756.5	$-23°43'18''.1$·	3	0″.0	18″.1·	−0.04	0
	Z		42.27		+ 19	42.46						+0.20	
	P		42.27	49	+ 7	42.34		18.3	29	−2.8	21.1	+0.07	−0″.7
	Kbg	1830.6	42.28	7	− 1	42.27	1830.6	21.6	7	+0.9	20.7	−0.04	+1.2
	T		42.20	5	− 8	42.12		22.2	6	−1.0	23.2	−0.19	−1.0
	Cap	1878.6	42.36	3	0	42.36	1878.6	24.1	3	−0.3	24.4	0	0
		$123^a.3$	$+0^s.0011$			$+0^s.14$	$122^a.1$	−0″.051			−6″.2·		
752	Br	1755.6	$18^h26^m\ 9^s.60$	1	$0^s.00$	$9^s.60$						$+0^s.09$	
	M	1756.7	9.33·	1	0	9.33·	1756.7	$-14°56'56''.9$	1	0″.0	56″.9	−0.18	−1″.8
	P		9.44	11	+ 8	9.52	(1800)	49.4	13	−3.1	52.5	+0.10	+1.8
	T		9.47	6	− 8	9.39		51.4	5	−0.6	52.0	+0.04	+1.5
	10y	1884.8	9.25	21	0	9.25	1884.7	52.5	32		52.5	0	0
		$128^a.8$	$-0^s.0020$			$-0^s.26$	$106^a.4$	+0″.021			+2″.2		
755	Br	1754.6	$18^h27^m29^s.96$	1	$0^s.00$	[$29^s.96$]	1754.6	$-24°18'33''.3$	3	0″.0	33″.3	[−1.04]	−0″.6
	M	1757.6	30.99	1	0	30.99	1757.6	31.0	1	0.0	31.0	0	+1.7
	Z		30.59		+ 17	30.76						−0.10	
	P		30.72	11	+ 5	30.77		29.4	12	−2.8	32.2	−0.06	+0.5
	T		30.75	4	− 8	30.67		31.1	3	−1.1	32.2	−0.03	+0.4
	Cap	1878.6	30.54	3	0	30.54	1878.6	32.3	3	−0.3	32.6	0	0
		$121^a.0$	$-0^s.0037$			$-0^s.45$	$123^a.3$	+0″.001			+0″.1		

Nr.	Aut.	Ep.	Æ 1885	Beob.	Red. BVC.	red. Æ	Ep.	Decl. 1885	Beob.	Red. BVC.	red. Decl.	Abweich.	
756	Br	1755.6	$18^h27^m\ 5^s.03$	2	$0^s.00$	$5^s.03$						$+0^s.06$	
	M	1756.7	4.71	1	0	4.71	1756.7	$-14°56'18''.4$	1	0″.0	18″.4	−0.25	−0″.9
	P		4.59	11	+ 8	4.67	(1800)	13.5	11	−3.1	16.6	−0.24	+0.9
	T		4.95	5	− 8	4.87		15.0	3	−0.6	15.6	+0.01	+1.8
	10y	1884.9	4.79	20	0	4.79	1884.9	17.3	19	0.0	17.3	·0	0
		129ª.1	−0ˢ.0014			−0ˢ.18	106ª.6	+0″.002			+0″.2		
759	Br	1755.6	$18^h31^m\ 1^s.76$	2	$0^s.00$	$1^s.76$						$+0^s.23$	
	M	1757.0	1.06	2½	0	1.06	1756.9	$-21°29'20''.4$	3	0″.0	20″.4	−0.46	0
	Z		1.60		+ 17	1.77						+0.32	
	P		1.42	10	+ 6	1.48		18.9	11	−2.9	21.8	+0.05	+1″.9
	T		1.38	5	− 8	1.30		25.7	4	−0.9	26.6	−0.06	−0.2
	10y	1880.9	1.26	6	0	1.26	1880.9	29.9	6	0.0	29.9	0	0
		124ª.8	−0ˢ.0021			−0ˢ.27	124ª.0	−0″.077			−9″.5		
762	Br	1755.6	$18^h32^m\ 2^s.86$	2	$0^s.00$	$2^s.86$						$+0^s.09$	
	M	1756.6	2.64	3	0	2.64	1756.6	$-21°\ 8'25''.0$	3	0″.0	25″.0	−0.13	0
	Z		2.48		+ 17	2.65						+0.12	
	P		2.42	20	+ 6	2.48		29.8	16	−2.9	32.7	0.00	−1″.0
	T		2.40	6	− 8	2.32		36.1	4	−0.9	37.0	+0.07	+0.1
	10y	1881.0	1.95	5	0	1.95	1881.0	44.2	5	0.0	44.2	0	0
		125ª.0	−0ˢ.0066			−0ˢ.82	124ª.4	−0″.154			−19″.2		
768	M	1756.5	$18^h41^m\ 3^s.15$	2	$0^s.00$	$3^s.15$	1756.5	$-20°23'49''.7$	2	0″.0	49″.7	$+0^s.05$	0
	Br	1756.6	3.05	1	0	3.05						−0.05	
	Z		2.87		+ 16	3.03						−0.02	
	P		3.12	17	+ 7	3.19		48.1	11	−2.9	51.0	+0.15	+0″.1
	T		3.15	3	− 9	3.06		51.4	4	−0.9	52.3	+0.06	−0.2
	10y	1881.9	2.94	3	0	2.94	1881.9	53.6	3	0.0	53.6	0	0
		125ª.3	−0ˢ.0013			−0ˢ.16	125ª.4	−0″.031			−3″.9		
853	Br	1753.9	$20^h14^m18^s.81$	4	$0^s.00$	$18^s.81$						$+0^s.03$	
	M	1756.7	18.75	9	0	18.75	1756.7	$-15°\ 8'50''.5$·	9	0″.0	50″.5·	−0.03	0
	Z		18.43		+ 17	18.60						−0.20	
	P		18.67	38	+ 9	18.76		44.3	20	−3.1	47.4	−0.04	+ 2″.4
	T		18.87	5	− 8	18.79		38.0	5	−0.9	38.9	−0.03	+10.4
	Kbg	1835.0	18.81	6	+ 5·	18.86·	1835.0	50.1	6	+1.4	48.7	+0.04	+ 0.6
	10y	1882.5	18.85	5	0	18.85	1882.5	48.5	6	0.0	48.5	0	0
		127ª.2	+0ˢ.0006			+0ˢ.07	125ª.8	+0″.016			+2″.0·		
862	Br	1751.8	$20^h22^m26^s.68$	1	$0^s.00$	$26^s.68$						$+0^s.25$	
	M	1756.9	26.38	8	0	26.38	1756.9	$-18°14'54''.4$	8	0″.0	54″.4	−0.06	0
	Z		26.54		+ 17	26.71						+0.21	
	P		26.43	30	+ 8	26.51		53.6	31	−3.0	56.6	−0.01	+2″.3
	T		26.64	3	− 9	26.55		15 1.0	4	−1.0	2.0	−0.03	+0.5
	10y	1881.6	26.66	3	0	26.66	1881.9	7.4	4	0.0	7.4	0	0
		125ª.7	+0ˢ.0018			+0ˢ.22	125ª.0	−0″.104			−13″.0		
864	Br	1754.1	$20^h23^m16^s.99$	6	$0^s.00$	$16^s.99$						$+0^s.07$	
	M	1756.7	16.48	2	0	16.48	1756.7	$-18°57'45''.7$	3	0″.0	45″.7	−0.44	0
	Z		16.67		+ 17	16.84						−0.05	
	P		17.11	4	+ 8	17.19		46.3	3	−3.0	49.3	+0.30	+ 0″.8
	T		17.10	2	− 9	17.01		41.4	5	−1.1	42.5	+0.15	+11.2
	Kbg	1835.4	16.89	6	+ 6	16.95	1835.5	54.8	5	+1.4	53.4	+0.09	+ 0.4
	Grw	1865.6	16.84	3	0	16.84	1865.6	56.9	3	0.0	56.9	0	0
		111ª.1	−0ˢ.0007			−0ˢ.08	108ª.9	−0″.103			−11″.2		
983	Br	1754.9	$23^h\ 3^m30^s.15$	2	$0^s.00$	$30^s.15$						$0^s.00$	
	M	1757.0	30.13	1	0	30.13	1757.0	$+\ 1°31'10''.9$	1	0″.0	10″.9	−0.01	−0″.9
	Z		29.73		+ 18	29.91						−0.19	
	P		29.90	5	+ 14	30.04		17.2	5	−3.1	14.1	−0.05	+0.9
	T		29.98	2	− 8	29.90		14.4	3	−1.4	13.0	−0.15	−1.3
	AG	1878.8	30.04	3	− 4	30.00	1878.8	15.5	3	+0.3	15.8	0	0
		123ª.5	−0ˢ.0012			−0ˢ.15	100ª.3	+0″.033			+3″.3		

1023 s. Vgl. II; Br M vgl. St Co 123ª.3 $+0^s.34$ ($+0^s.0028$); EB. in Decl. = 0.

II. Ausgedehntere Vergleichungen für besonders untersuchte Sterne.

Autor.	Rectascension Ep.	Cat.-Angabe für 1885	B.	Red.	red. α	Declination Ep.	Cat.-Angabe für 1885	B.	Red.	red. δ	red. Ort für Ep. 1885.0	
Mayer 20	1757.8	$0^h34^m51^s.34$	2	$0^s.00$	$51^s.34$	1757.8	$-4^\circ59'20''.0$	2	$0''.0$		$51^s.21$	?
d'Agel. 119	84.7	51.02	1	+ 14	51.16	84.7	58 57.5	1	−2.1	59″.6	06	59″.6
Lal. H.C.	96.0	51.04	1	+ 17	51.21	96.0	59 3.4	1	−3.1	6.5	12	6.5
Pi. 0^h.146	1800:	50.89	14	+ 17	51.06	1800:	58 55.5	15	−3.1	58.6	50.97	58.6
Arg. C.A. 16	30	51.18	8	+ 6	51.24	30	57.9	8	−1.8	59.7	51.19	59.7
Wrott. 37	33:	51.16	10	+ 6	51.22						17	—
Taylor 184	35:	51.26	5	− 6	51.20	35:	58.0	5	−1.8	59.8	15	59.8
Sant. II. -6°.11	41.0	51.00	3	+ 6	51.06	41.0	59 1.0	3	+0.8	0.2	02	0.2
Rob. 133	31.4	51.10	2	+ 8	51.18	52.4	58 57.2	5	−1.5	58.7	13	58.7
Wrott. II. 30	50.9	51.14	5	+ 7	51.21						18	—
Cap (1850) 87	52.2	51.16	2	+ 6	51.22	50.6	59 0.8	1	−0.9	1.7	19	1.7
Pulk. 77	54.8	51.10	4	+ 3	51.13	54.8	58 59.0	4	0.0	59.0	10	59.0
II. Radcl. 66	56.9	51.22	3	0	51.22	58.2	59.7	3	+0.4	59.3	19	59.3
Paris 846 II	57.8	51.09	1	+ 2·	51.11·	57.8	57.4	1	−0.5	57.9	09	57.9
Quet. 260	63.6	51.10	3	+ 6·	51.16·	65.3	59.4	4	−0.4	59.8	14	59.8
Yarn. 334*	62.8	51.18	3	+ 2	51.20	68.8	57.9	2	−0.7	58.6	18	58.6
Glasg. 183	75.8	51.11	4	+ 10	51.21	77.7	58.4	8	−0.9	59.3	20	59.3
Cord. 612	78.8	51.10	4	+ 1	51.11	78.8	58.2	4	−1.1	59.3	10	59.3
Stone 251	78.9	51.08	2	+ 3	51.11	78.9	59.0	2	−0.1	59.1	10	59.1
Paris 846 III	79.8	51.03	1	+ 1	51.04·	79.8	59.5	1	−0.3	59.8	04	59.8
Gotha	85.9	51.09	4	0	51.09	85.7	58.6	4	0.0	58.6	09	58.6
	$107^a.0$	$-0^s.0010$			$-0^s.11$	86^a	$0''.000$			$0''.0$		

Die EB. in Declination ist nach der Gesammtheit der Beobachtungen 1800—1886 völlig unmerklich, die Mayer'sche Declination ist also 21″ zu südlich und beide Beobachtungen sind mit uncorrigirbaren Fehlern behaftet. Die Ablesung ist beidemal 61^p 0^p 2′.0, und am zweiten Tage ist zu derselben noch ausdrücklich bemerkt »accurate« — vielleicht wurde der Beobachter gewahr, dass nicht dieselbe Differenz mit der vorangehenden Beobachtung gefunden wurde wie bei einer Reihe vorher beobachteter Sterne, und controlirte die Ablesung noch. Die Ablesungen hätten aber sein sollen: 1757 Oct. 18 61 0 0.1, Oct. 23 61 0 0.6.

Mayer 137	1756.1	3^h50^m $3^s.65$	1	$0^s.00$	$3^s.65$	1756.1	$+22^\circ$ 9′ 0″.6	1**	0″.0	0″.6	$4^s.13$	46″.8
Zach 161	1793:	4.01		+ 9	4.10						45	—
Pi. 3^h.197	1800:	3.83	11	+ 24	4.07	1800:	8 55.1	8	−2.5	52.6	39	43.5
Wrott. 225	33:	4.11	12	+ 6	4.17						37	—
Tayl. 1344	35:	4.34	5	+ 1	4.35	1835:	57.1	8	−1.0	56.1	54	50.8
Rob. 835	36.0	4.13	3	− 2	4.11	52.6	47.8	5	−0.8	47.0	30	43.5
Paris 4596 I	43.9	4.31	2	+ 4·	4.35	43.9	48.8	2	−0.4	48.4	51	44.0
Pulk. 573	43.9	4.16	4	+ 2	4.18	43.9	48.3·	4	−0.0·	48.3	34	43.9
Rümk. N.F. 2022	45	4.19	4	+ 11	4.30	45	49.9	4	0	49.9	45	45.6
Wrott. II. 166	50.1	4.12	5	+ 6	4.18						31	—
Grw. 6 y. 252	52.7	4.27	5	− 0·	4.26	52.8	48.7	4	−0.2	48.5	38	45.1
Cambr. Obs.	55.0	4.17	1	+ 5	4.22	55.0	50.2	1	−1	49.2	33	46.0
Grw. 7 y. 278	55.1	4.29	3	+ 2	4.31	55.1	47.9	3	0.0	47.9	42	44.7
Cap (1860) 137	57.8	4.27	1	+ 1	4.28	57.8	48.1	1	−0.4	47.7	38	44.8
Paris 4596 II	61.9	4.28	1	+ 5	4.33	64.2	47.8	5	−0.4	47.4	42	45.2
Grw. N. 7 y. 496	67.9	4.19	1	+ 2	4.21	67.9	47.6	1	0.0	47.6	27	45.8
Quet. 1510	70.3	4.24	4	+ 5	4.29	67.9	46.3	3	−0.1	46.2	34	44.4
Glasg. 923	67.8	4.38	12	− 1	4.37	79.9	45.8	3	0.0	45.8	44	45.3
Paris 4596 III	79.0	4.25	2	+ 4	4.29	79.0	45.3	2	−0.2	45.1	31	44.5
Gotha	86.3	4.39	6	0	4.39	87.0	44.4	4	0.0	44.4	39	44.6
II. Glasg. 334	89.2	4.27	3	+ 2	4.29	89.2	43.8	4	+0.3	44.1	27	44.5
	$104^a.8$	$+0^s.0038$			$+0^s.40$	$102^a.7$	$-0''.107$			$-11''.0$		

Mayer 145	1756.1	$4^h11^m17^s.42$	1	$0^s.00$	$17^s.42$	1756.1	$+13^\circ32'57''.2$·	1	0″.0	32′57″.2·	$17^s.23$	2″.0
Zach 200 ?	93:	15.13		+ 8	15.21						15.07	—
Lal. H.C.	96.0	15.43	1	+ 21	15.64	96.0	33 1.0	1	−2.9	58.1	51	1.4
Bess. Z. 131	1823.0	15.65	1	+ 3	15.68	1823.0	0.2	1	+0.1	33 0.3	59	2.6
Schjell. 1351	62.1	15.42	1	+ 4	15.46	62.1	1.6	1	0.0	1.6	43	2.4
Glasg. 1023	70.9	15.44	2	+ 1	15.45	73.6	1.4	3	−0.1	1.3	43	1.7
Gotha	86.2	15.60	6	0	15.60	86.0	2.1	5	0.0	2.1	60	2.1
	$71^a.6$	$-0^s.0015$			$-0^s.11$	$125^a.0$	$+0''.037$			$+4''.6$		

Die Identität des Zach'schen Sterns ist, da keine Declination angegeben ist, etwas zweifelhaft. Mayer's Æ ist $1^s.7$ zu gross; die Originalbeobachtung ist nicht erhalten.

* Für Yarnall sind die Nummern der dritten Ausgabe aufgeführt.

Autor.	Rectascension Ep.	Cat.-Angabe für 1885	B.	Red.	red. α	Declination Ep.	Cat.-Angabe für 1885	B.	Red.	red. δ	red. Ort für Ep. 1885.0
Mayer 178	1756.1	$4^h39^m36^s.83$	1	$0^s.00$	$36^s.83$						$36^s.95$ —
Lal. H.C.	98.1	37.39	1	+ 21	37.60	1798.1	+11°29′43″.0	1	−2″.9	40″.1	37.68 38″.8
Bess. Z. 137	1823.0	38.27	1	+ 4	38.31	1823.0	40.0	1	+0.1	40.1	38.37 39.2
Rümk. N.F. 2390	44	37.83	1	+ 11	37.94	44	40.8	1	0	40.8	37.98 40.2
Pulk. 721	48.0	37.91	7	+ 2	37.93	48.0	38.9	7	−0.1	38.8	96 38.2
Paris 5452 II	57.0	37.90	1	+ 4	37.94	57.0	40.5	1	−0.4	40.1	97 39.7
Berlin (Rbg.)	65	38.03	2	− 6	37.97	65	41.5	2	0	41.5	99 41.2
II. Arm. 588	71.0	37.88	4	− 3	37.85	71.0	38.5	4	+0.1	38.6	86 38.4
Glasg. 1154	75.9	37.99	4	+ 1	38.00	71.0	39.4	3	−0.1	39.3	38.01 39.1
Rogers 217	78.0	38.00	6	0	38.00	78.0	38.5	6	0.0	38.5	01 38.4
Paris 5452 III	79.0	37.97	2	+ 3	38.00	79.0	39.2	2	−0.2	39.0	01 38.9
Grw. 10y. 770	82.4	37.98	6	+ 3	38.01	82.4	38.8	6	+0.3	39.1	01 39.1
Gotha	86.1	38.05	5	0	38.05	86.1	38.9	4	0.0	38.9	05 38.9
	$73^a.8$	$+0^s.0009$			$+0^s.07$	$73^a.8$	−0″.015			−1″.1	

Da Mayer's Æ 1^s abweicht und die Declination fehlt, bleibt die Identificirung des Sterns etwas zweifelhaft.

Mayer 185	1756.1	$4^h48^m17^s.87$	2	$0^s.00$	$17^s.87$						$17^s.87$ —
Lal. H. C.	98.1	17.02	1	+ 21	17.23	1798.1	+12°10′ 3″.0	1	−2″.9	0″.1	23 55″.4
Bess. Z. 137	1823.0	17.51	1	+ 4	17.55	1823.0	9 55.6	1	+0.1	55.7	55 52.4
Rümk. 1315	40:	17.26	2	+ 5	17.31	40:	54.4	2	0	54.4	31 52.0
Paris 5615 II	57.0	17.57	1	+ 4	17.61	57.0	56.5	1	−0.4	56.1	61 54.6
Glasg. 1192	70.0	17.48	2	+ 1	17.49	72.6	53.7	4	−0.1	53.6	49 52.9
Paris 5615 III						80.1	54.5	1	−0.2	54.3	— 54.0
Gotha	86.1	17.66	5	0	17.66	86.1	53.8	4	0.0	53.8	66 53.9
	$116^a.0$	$0^s.0000$			$0^s.00$	$75^a.5$	−0″.054			−4″.1	

Mayer 193	1757.1	$4^h55^m14^s.26$	1/4	$0^s.00$	$14^s.26$	1757.1	+41°16′27″.0	1	0″.0	27″.0	$14^s.36$ 26″.6
Lal. H. C.	91.7	13.30	1	+ 31	13.61	91.7	26.7	1	−1.0	25.7	13.68 25.4
Groombr. 915	1812.0	14.40	5	+ 23	14.63	1812.0	28.1	5	−0.2	27.9	14.69 27.7
Bess. Z. 519	32.1	14.61	1	+ 5	14.66	32.1	24.4	1	−0.2	24.2	70 24.0
Radcl. 1378	47.5	14.67	4	+ 2	14.70	44.3	27.6	4	−1.2	26.4	73 26.3
Rob. 1086	51.1	14.61	1	+ 7	14.68	52.4	26.4	5	−1.0	25.4	71 25.3
Paris 5769 III	71.6	14.74	2	+ 6	14.80	71.6	26.3	2	−0.2	26.1	81 26.1
Gotha	87.1	14.69	4	0	14.69	87.1	26.6	4	0.0	26.6	69 26.6
	$75^a.1$	$+0^s.0008$			$+0^s.06$	$130^a.0$	−0″.003			−0″.4	

Lalande's Æ ist 1^s zu klein.

Mayer 210	1757.1	$5^h13^m31^s.73$	2	$0^s.00$	$31^s.73$	1757.1	+19°27′39″.2	2	0″.0	39″.2	$31^s.38$ 36″.6
D'Agel. 826	84.8	31.56	1	+ 14	31.70	84.8	34.9	1	−2.5	32.4	70 32.4
Zach 307	93:	30.62		+ 8	30.70						30.45 —
Pi. $5^h.43$	1800:	31.25	8	+ 23	31.48	1800:	35.1	9	−2.7	32.4	31.25 30.7
Wrott. 307	33:	31.34	5	+ 5	31.39						25 —
Tayl. 1910	35:	31.53	6	+ 1	31.54	35:	33.3	5	−0.9	32.4	40 31.4
Kgb. 166	38.4	31.43	7	+ 8	31.51	38.4	32.5	7	−0.3	32.2	38 31.3
Rümk. 1406	40:	31.23	3	+ 5	31.28	40:	34.2	4	0	34.2	16 33.3
» N.F. 2572	44	31.27	1	+ 11	31.38	44	31.1	1	0	31.1	27 30.3
Rob. 1159	42.8	31.26	4	+ 9	31.35	53.6	42.6	2	−1.0	41.6	24 41.0
Paris 6116 II	56.1	31.27	1	+ 4	31.32	56.1	32.2	1	−0.4	31.8	24 31.2
Cambr. Obs.	57.1	31.53	2	+ 1	31.54						46 —
Quet. 2055	67.3	31.37	4	+ 1	31.38	66.1	31.6	2	−0.1	31.5	33 31.1
Glasg. 1297	63.4	31.32	8	− 2	31.30	71.5	32.4	9	+0.1	32.5	24 32.2
A. G. Berlin	70.3	31.32	3	0	31.32	70.4	33.3	3	0.0	33.3	28 33.0
Paris 6116 III	81.5	31.37	2	+ 3	31.40	81.5	32.1	2	−0.2	31.9	39 31.8
Gotha	86.3	31.34	5	0	31.34	86.3	33.0	4	0.0	33.0	34 33.0
	$104^a.1$	$-0^s.0027$			$-0^s.28$	$104^a.1$	−0″.020			−2″.1	

Da die Beobachtungen 1784—1886 keine Spur von Eigenbewegung in Declination zeigen, wird es wahrscheinlich, dass Mayer's Declination 6″ zu gross ist, obwohl die beiden Beobachtungen sonst zu keinem Zweifel Anlass geben und bis auf 2″ übereinstimmen. Die ZD. 1757 Jan. 3 findet sich zwar gedruckt $34^D56^P13^U.1$, diess ist aber augenscheinlich nur ein Versehen des Herausgebers der Beobachtungen; entweder ist die Ablesung lediglich 34 6 13.1 gewesen und später, wahrscheinlich von Lichtenberg, nachdem er die Abweichung von der zweiten Beobachtung 1757 Febr. 19 (34 5 13.6) bemerkt hatte, die 5 zugeschrieben, oder der Theil ist gleich bei der Beobachtung zweifelhaft geblieben und von Mayer als 5 oder 6 notirt, die Berichtigung der Ablesung: 34 5 13.1 ist aber in keiner Weise unsicher. Nach den späteren Beobachtungen hätten aber die Einstellungen sein sollen 34 5 13.6 und 34 5 13.9; wahrscheinlich sind zufällig beide in gleichem Sinne verfehlt ausgefallen, obwohl der Stern auch für Mayer's Instrument hell genug war.

Autor.	Rectascension Ep.	Cat.-Angabe für 1885	B.	Red.	red. α	Declination Ep.	Cat.-Angabe für 1885	B.	Red.	red. δ	red. Ort für Ep. 1885.0	
Mayer 211	1757.0	5^h14^m 9ˢ.09	3	0ˢ.00	9ˢ.09	1757.0	+19°41′50″.3	3	0″.0	50″.3	9ˢ.04	48″.8
Zach 308	93:	9.02		+ 9	9.11						07	—
Pi. 5^h.48	1800:	8.97	11	+ 23	9.20	1800:	49.3	10	−2.7	46.6	17	45.6
Tayl. 1916	35:	9.01	4	+ 1	9.02	35:	49.0	4	−0.9	48.1	00	47.5
Rümk. 1408	40:	9.16	2	+ 5	9.21	40:	48.8·	2	0	48.8·	19	48.3
Paris 6142 II	56.1	8.82·	1	+ 4·	8.87	56.1	49.5	1	−0.3·	49.1·	8.86	48.8
Quet. 2060	67.8	8.98	4	+ 1	8.99	69.7	48.4	3	−0.1	48.3	98	48.1
Glasg. 1302	66.0	8.98·	3	− 2	8.97	75.6	48.2·	3	+0.1	48.3	96	48.2
A. G. Berlin	70.8	9.01	2	0	9.01	70.8	48.6	2	0.0	48.6	9.00	48.4
Paris 6142 III	79.0	9.14	1	+ 4	9.18	79.0	50.6	1	−0.2	50.4	18	50.3
Grw. 10y. 882	82.4	8.98	3	+ 2·	9.00·	82.4	48.3	3	+0.3	48.6	00	48.6
Gotha	86.6	9.04	7	0	9.04	87.1	48.8	4	0.0	48.8	04	48.8
	129ª.6	−0ˢ.0004			−0ˢ.05	130ª.1	−0″.012			−1″.5		

Die drei Mayer'schen Beobachtungen geben die Secunde der Æ 1755 28.99 28.98 29.96, so dass die Vermuthung entsteht, die letzte (1757 Febr. 19) sei mit einem Fehler von +1ˢ behaftet. Diess scheint aber nach vorstehender Vergleichung nicht der Fall zu sein, die Abweichungen sind vielmehr als zufällige anzusehen, indem das Mittel der ungeänderten Beobachtungen sich als gerade richtig erweist; mit der Aenderung −1ˢ für die letzte Beobachtung würde es für Aeq. 1885 $5^h14^m8ˢ.76$ werden.

Mayer 233	1756.1	$5^h40^m33ˢ.33$	1	0ˢ.00	33ˢ.33	1756.1	+ 9°28′55″.3	1**	0″.0	55″.3		46″.3
Durham (K. 1018)	1846.1	33.39	8	− 1	33.38	1846.1	45.8	3	−1.1:	44.7		42.0
Wrott. II. 233	50.2	33.46	6	+ 2	33.48							—
Pulk. 914	58.3	33.39	4	+ 2	33.41	58.3	45.4	4	0.0	45.4		43.5
Bonn B. VI	64.0	33.47	4	− 2	33.45	64.0	45.0	4	−0.2	44.8		43.3
Quet. 2275	63.5	33.46	3	− 1	33.45	66.4	44.5	4	−0.2	44.3		43.0
Rogers 259	78.1	33.38	6	0	33.38	78.1	43.8	6	0.0	43.8		43.3
Grw. 10y. 974	81.2	33.36	6	+ 3	33.39	81.2	43.5	6	+0.3	43.8		43.5
A. G. Leipzig	84.1	33.34	2	0	33.34	84.1	44.3	2	0.0	44.3		44.2

In Mayer's Reduction der Durchgangsbeobachtungen findet sich der Stern 1756 Febr. 24 als 8^m mit der Durchgangszeit $7^h20^m0ˢ.3$, die zugehörige Declination ist nur aus dem Catalog zu entnehmen = +9°38′44″.9 für 1756. Mit diesen Daten ergibt sich der reducirte Ort 1755.0 = $5^h34^m26ˢ.16$ +9°38′38″.1. Hierzu findet sich aber kein Stern am Himmel, und man muss einen doppelten Fehler in der Beobachtung annehmen, um auf einen vorhandenen Stern zu kommen: der Durchgang wird $7^h20^m0ˢ.3$ nicht, wie Mayer annahm, am Mittelfaden, sondern am letzten Faden beobachtet und damit die scheinb. Æ $1^m0ˢ.88$ kleiner zu berechnen,* und die Ablesung vom Quadranten um +4ᵖ zu corrigiren sein. Dann wird der Stern = BD. 9°.854, 6^m0, und diese Identificirung ist sehr wahrscheinlich. Die Abweichung in der Grösse ist kaum auffallend, wenngleich über den gewöhnlichen Unterschied zwischen M und BD hinausgehend, und die Abweichung von 11″, welche bei der Declination anscheinend übrig bleibt, wird zum Theil durch EB. zu erklären sein. Auch die neueren Beobachtungen deuten eine Abnahme der Declination an: Pu B Q geben 1862.9 44″.8, Ro Gr L 1881.1 44″.0, Aenderung in 18ª.2 = −0″.8 oder jährlich −0″.044, während die Vergleichung von Mayer mit dem letzten Mittel in 125ª.0 −11″.3 oder jährlich −0″.090 geben würde. Die Annahme des Mittels: $\mu(\delta) = -0''.07$, womit die letzte Columne aufgestellt ist, lässt in der ganzen Reihe keine auffällige Abweichung zurück.

Mayer 234	1756.1	$5^h41^m30ˢ.87$	½	0ˢ.00	30ˢ.87	1756.1	+20°49′47″.9·	1**	0″.0	47″.9·	30ˢ.67	48″.6
Zach 359	93:	30.53		+ 10	30.63						48	—
Pi. 5^h.222	1800:	30.36	4	+ 23	30.59	1800:	43.7	7	−2.6	41.1	45	41.5
Tayl. 2143	35:	30.80	4	+ 1	30.81	35:	41.4	4	−0.8	40.6	73	40.8
Rümk. Nachtr. 5^h	41:	30.33	1	+ 5	30.38	41:	42.8	1	0	42.8	31	43.0
Kremsm. (K. 1022)	46.5	30.34	6			46.5	41.3	5				
Pu. II. 528	46.7	30.49	3	+ 2	30.51	46.7	41.1	3	0.0	41.1	45	41.3
Rümk. N.F. 2736	47	30.34	1	+ 11	30.45						39	—
Rob. 1299	48.4	30.55	4	+ 9	30.64	48.7	41.0	5	−0.7	40.3	58	40.5
Cambr. Obs.	55.1	30.41	1	− 1	30.40						35	—
Paris 6763 II	63.1	30.45	1	+ 5	30.50	58.2	41.8	1	−0.3	41.5	46	41.6
Bonn B. VI	62.5	30.46	2	− 2	30.44	62.5	41.2	2	−0.2	41.0	40	41.1
Quet. 2288	67.6	30.45	2	− 1	30.44	69.1	41.0	1	−0.1	40.9	41	41.0
Romb. 1325	75.4	30.44	4	0	30.44	75.4	40.4	4	0.0	40.4	42	40.4
Paris 6763 III	81.0	30.51	2	+ 4	30.55	81.0	41.4	2	−0.2	41.2	54	41.2
Grw. 10y. 979	83.6	30.47	4	+ 3	30.50	83.6	40.4	4	+0.3	40.7	50	40.7
Gotha	86.3	30.53	4	0	30.53	86.1	41.8	5	0.0	41.8	53	41.8
II. Glasg. 511	91.9	30.46	3	+ 1	30.47	91.9	38.5	2	+0.5	39.0	48	39.0
	98ª.9	−0ˢ.0016			−0ˢ.16	70ª	+0″.005			+0″.3·		

Mayer's Declination ist 7″.4 zu gross. Da das Orig. nicht vorliegt, kann nicht entschieden werden, ob ein Reductionsfehler gemacht ist, oder welches sonst der Grund der Abweichung sein kann.

* S. 61 ist die Beobachtung als am Mittelfaden gemacht mit Corr. -1^m reducirt; es wurde erst später bemerkt, dass diese Annahme, welche α 0ˢ.76 grösser gibt als die hier eingeführte, noch keine Uebereinstimmung mit den späteren Beobachtungen des wahrscheinlich mit dem Mayer'schen zu identificirenden Sterns hervorbringt.

Autor.	Rectascension Ep.	Cat.-Angabe für 1885	B.	Red.	red. α	Declination Ep.	Cat.-Angabe für 1885	B.	Red.	red. δ	red. Ort für Ep. 1885.0	
Mayer 236	1756.8	$5^h39^m42^s.07$	$1^r/_2$	$0^s.00$	$42^s.07$	1757.1	$-22^\circ26'55''.2$	1	0″.0	55″.2	$38^s.99$	39″.3
Bradl. 836	52.1	41.03	1	0	41.03						37.84	—
Lal. H. C.	99.9	40.95	1	+ 12	41.07	99.1	27 6.3	1	−2.4	8.7	39.03	38.1
Bessel	1814.5	40.61	2	0	40.61						38.92	—
Arg. C. A. 129	30:	40.02	5	+ 11	40.13	1830:	20.0	5	−1.2	21.2	81	40.2
Paris 6715 I	42.7	39.80	5	+ 3	39.83						81	—
Grw. 12y. 488	46	39.95	1	+ 1	39.96	42	23.4	1	−1.0	24.4	39.02	39.3
Rob. 1285						51.0	24.6	2	−0.6	25.2	—	36.9
Cap (1850) 875						51.4	27.6	2	−0.6	28.2	—	39.8
Grw. 6y. 410	52.2	39.70	1	0	39.70	50.4	25.8	7	−0.9	26.7	38.91	38.6
» 7y. 431	60.2	39.46	1	+ 3	39.49	60.2	29.2	1	−0.6	29.8	89	38.3
Paris 6715 II						61.1	35.3	1	−0.5	35.8	—	44.0
Pulk. 911	62.2	39.44	1	+ 3	39.47	62.2	30.0	1	+0.1	29.9	92	37.8
Grw. N. 7y. 742	63.1	39.37	1	+ 3	39.40	63.1	30.0	2	−0.6	30.6	87	38.2
Quet. 2270	63.9	39.52	5	+ 5	39.57	65.3	31.2	5	−0.6	31.8	39.07	38.6
Cambr. Obs.						67.1	29.3	1			—	35.5 unred.
Stone 2581	79.0	38.98	2	+ 4	39.02	79.0	36.7	2	−0.8	37.5	38.88	39.6
Romb. 1319	79.9	39.03	4	0	39.03	79.9	37.8	4	0.0	37.8	91	39.6
Berlin (Kü.)	91.1	38.73	2	0	38.73						88	—
Cinc. P. XII. 350	92.0	38.77		0	38.77	92.0	41.2		0.0	41.2	94	38.8
	$137^a.4$	$-0^s.0240$			$-3^s.30$	$126^a.5$	$-0''.345$			$-43''.6$		

Dass Bradley's Beobachtung $+1^s$ corrigirt werden muss, ist nach dieser Vergleichung sicher, und der Bradley-Catalog zu berichtigen: Nr. 836 Æ 1755 = $5^h34^m14^s.38$. Die EB. ist vorstehend mit dieser Correctur abgeleitet und wird nunmehr für beide Coordinaten identisch mit der des 90″ südlich 1^s folgenden hellen Sterns γ Leporis. — Die Bessel'sche Æ für 1814.5 ist aus der beobachteten Differenz mit γ Leporis mit der Æ des AGC. für diesen Stern abgeleitet.

Mayer 266	1756.1	$6^h14^m47^s.60$	1	0.00	$47^s.60$	1756.1	$+23^\circ48'52''.8$	1**	0″.0	52″.8	$47^s.39$	49″.3
Zach 400	93:	48.34		+ 11	48.45						48.30	—
Pi. 6^h.67	1800:	48.11	5	+ 24	48.35	1800:	49.4	4	−2.4	47.0	21	44.7
Tayl. 2435	35:	48.27	2	+ 1	48.28	35:	47.6	4	−0.6	47.0	20	45.6
Cambr. Obs.	52.5	48.20	5	+ 1	48.21	49.3	48.5	6	−1	47.5	16	46.5
Quet. 2591	67.6	48.23	2	− 1	48.22	65.2	45.9	2	−0.1	45.8	19	45.2
Gotha	86.9	48.26	4	0	48.26	86.9	46.2	4	0.0	46.2	26	46.2
	90^a	$-0^s.0016$			$-0^s.14$	$101^a.5$	$-0''.028$			$-2''.8$		

Mayer's Æ ist falsch, vielleicht $+1^s$ zu corrigiren. Auch die Declination, welche dem Catalog entnommen werden muss, erscheint verdächtig, da PT vgl. Go nur eine EB. −0″.011 und für M einen Fehler von +5″.2 geben würden. Indess sind die in der Annahme EB. = −0″.028 übrig bleibenden Abweichungen noch nicht zu gross.

Mayer 301	1757.1	$7^h9^m56^s.91$	1	$0^s.00$	$56^s.91$	1757.1	$+26^\circ54'1''.5$	1	0″.0	1″.5	$56^s.84$	41″.9
Zach 462	93:	55.86		+ 12	55.98						55.93	—
Pi. 7^h.35	1800:	55.62	6	+ 25	55.87	1800:	53 56.3	7	−2.3	54.0	83	41.0
Tayl. 2921	35:	55.80	3	0	55.80	35:	50.7	4	−0.5	50.2	78	42.6
Cambr. Obs.						54.5	49.8	3	−1	48.8	—	44.1
II. Radcl. 778	57.4	55.87	5	− 4	55.83	54.2	49.7	3	−1.5	48.2	82	43.5
Quet. 3018	64.9	55.83	4	0	55.83	70.1	45.1	3	−0.1	45.0	82	42.7
Yarn. 2985	66.2	55.74	2	− 1	55.73	68.8	45.6	3	−0.0	45.5	72	43.1
Paris 8940 III	72.2	55.87	2	+ 4	55.91	72.2	45.6	2	−0.2	45.4	90	43.4
Glasg. 1815	72.9	55.84	6	− 3	55.81	73.5	44.7	5	+0.3	45.0	80	43.2
Gotha	86.6	55.88	5	0	55.88	87.0	41.1	4	0.0	41.1	88	41.4
	90^a	$-0^s.0005$			$-0^s.04$	$108^a.5$	$-0''.153$			$-16''.6$		

Mayer's Æ ist falsch, vielleicht -1^s zu corrigiren.

Mayer 365	1757.2	$8^h29^m8^s.82$	2	$0^s.00$	$8^s.82$	1757.2	$+20^\circ9'55''.7$	2	0″.0	9′55″.7	$8^s.28$ od. $7^s.99$?	9′59″.1
D'Agel. 1546	83.3	7.82	1	+ 14	7.96	83.3	10 6.7	1	−2.0	10 4.7	7.54	70 10 7.4
Zach 553	93:	8.27		+ 10	8.37						98	8.13 —
Lal. H. C.	96.8	8.13	3	+ 21	8.34	96.8	3.9	3	−2.6	1.3	97	11 3.7
Pi. 8^h.104	1800:	8.67	7	+ 21	8.88	1800:	2.4	9	−2.6	9 59.8	8.52	66 2.1
Tayl. 3667	35:	8.28	4	− 5	8.23	35:	0.2	4	−1.0	59.2	02	10 0.5
Kbg. 270	51.6	8.25	5	+ 15	8.40	51.6	0.6	5	+0.2	10 0.8	26	31 1.7
Rob. 1895						53.6	2.5	2	−0.4	2.1	—	— 2.9
Bonn B. VI	59.1	8.18	1	− 2	8.16	59.1	0.5	2	−0.3	0.2	05	09 0.9
Quet. 3609	67.2	8.11	9	+ 2	8.13	58.0	9 59.8	6	−0.2	9 59.6	05	08 0.3
Yarn. 3534	65.3	8.12	4	− 2	8.10	67.2	10 0.9	2	0.0	10 0.9	02	05 1.4
Gotha	86.6	8.07	5	0	8.07	86.6	0.7	5	0.0	0.7	08	07 0.7
	$104^a.3$	$-0^s.0042$			$-0^s.44$	$108^a.0$	$+0''.027$			$+2''.9$		

Die beiden Mayer'schen Beobachtungen unterscheiden sich in Æ $1^s.09$; das Mittel ist angenommen.

Autor.	Rectascension Ep.	Cat.-Angabe für 1885	B.	Red.	red. α	Declination Ep.	Cat.-Angabe für 1885	B.	Red.	red. δ	red. Ort für Ep. 1885.0

Mayer scheint aber das Mittel $0^s.5$ kleiner berechnet zu haben, die Durchgangszeit 1757 März 26 ist also vielleicht nur im Druck 1^s zu gross. Liest man sie 1^s kleiner und im Mittel Æ 1885 $8^s.32$, so ergibt sich die Aenderung in $104^a.3$, aus MZL vgl. Go, = $-0^s.27$ oder EB. = $-0^s.0026$ und damit die zweite Reihe der Æ Ep. 1885.0. Die Beobachtungen gestatten noch keine Entscheidung über die Nothwendigkeit der Correctur.
Piazzi's Æ ist jedenfalls falsch, vielleicht 10″ zu gross gedruckt, und auszuschliessen.

Mayer 374	1756.7	$8^h33^m46^s.48$	3		$0^s.00$	$46^s.48$	1756.8	+20° 4′ 33″.9	3	0″.0	33″.9	$46^s.02$
Zach 562	93:	46.97		+	9	47.06						46.73
Pi. 8^h.129	1800	46.06	8	+	21	46.27	1800	33.1	9	−2.6	30.5	45.96
Wrott. 510	33:	46.08	4	+	7	46.15						96
Str. P.M. 1021	34.6	46.10	3	+	3	46.13	34.6	34.3	3	−0.2	34.1	95
Tayl. 3716	35:	46.37	4	−	5	46.32	35:	33.2	5	−1.0	32.2	46.14
Kbg. 275	38.5	46.18	6	+	15·	46.33·	38.5	32.5	6	+0.2	32.7	17
Paris 10639 I	47.7	46.14	2	+	4	46.18						05
Quet. 3650	60.5	46.05	9	+	2	46.07	58.4	32.7	8	−0.1·	32.5·	45.98
Pulk. 1383	62.9	46.08	10	+	1	46.09	63.3	32.8	9	−0.1	32.7	46.01
A.G. Berlin A.	71.2	45.98	2		0	45.98	71.2	33.1	2	0.0	33.1	45.93
Glasg. 2209	71.1	45.89	2	−	2	45.87	71.7	31.0	2	+0.3	31.3	82
A.G. Berlin B.	82.4	46.03	4		0	46.03	82.4	32.4	3	0.0	32.4	46.02
	$125^a.7$	$-0^s.0036$				$-0^s.45$						

Der Stern steht im Bradley-Catalog unter Nr. 1224, weil er von Bessel in die Fundamenta aufgenommen war, ist aber nicht in Greenwich beobachtet.
Piazzi macht in der Einleitung zu seinem Catalog auf den Unterschied mit der Zach'schen Æ aufmerksam, und gibt an, dass die seinige ein Mittel aus zwei 1^s verschiedenen Jahresresultaten von 1798 und 1802 sei. Diess Mittel scheint aber richtig zu sein, und Zach's Æ ist vermuthlich 10″ zu gross berechnet; die aus M und der letzten Berliner Bestimmung gefolgerte EB. in Æ = $-0^s.0036$ findet sonst in den zwischenliegenden Beobachtungen genaue Bestätigung. Die EB. in Decl. würde in gleicher Weise = −0″.012 abzuleiten sein, damit aber für Piazzi ein Fehler von 3″ übrig bleiben, und eine negative Bewegung in Decl. ist deshalb nicht wahrscheinlich, weil der Stern in dem Haufen der Praesepe steht, dessen Bewegung nach allen vergleichbaren Sternen $-0^s.0044$ +0″.007 beträgt. Es ist am räthlichsten für M. 374 die Decl.-Bew. geradezu = 0 anzunehmen.

Mayer 387	1757.3	$8^h44^m12^s.38$	1		$0^s.00$	$12^s.38$	1757.3	+19° 15′ 37″.9	1	0″.0	37″.9	$11^s.89$	39″.3
D'Agel. 1607	83.3	12.81	1	+	14	12.95	84.3	36.1	2	−2.0	34.1	12.56	35.2
Pi. 8^h.180	1800:	12.70	6	+	20·	12.90·	1800:	39.5	6	−2.7	36.8	58	37.7
Kbg. 279	32.6	12.30	6	+	15·	12.45·	32.6	37.0	6	+0.2	37.2	26	37.8
Wrott. 522	33:	12.32	7	+	8	12.40						20	—
Tayl. 3833	35:	12.56	5	−	6	12.50	35:	38.3	4	−1.1	37.2	31	37.8
Par. 10854 I	37.2	12.36	1	+	4	12.40						22	—
Rümk. 2667	40:	12.32	2	+	5	12.37	40:	37.6	2	0	37.6	21	38.1
Rob. 1957	32.6	12.33	3	+	7	12.40	54.1	38.6	2	−0.4	38.2	20	38.5
Cambr. Obs.							55.2	40.6	2	−1	39.6	—	39.9
Yarn. 3795	60.0	12.34	2	−	1	12.33	54.2	36.4	3	0.0	36.4	23	36.7
Par. 10854 II	58.6	12.25	2	+	4	12.29	58.0	37.7	1	−0.4	37.3	19	37.6
Kbg. (Kam 1471)	61.9	12.37	2	−	2	12.35	61.9	37.3	2	0	37.3	26	37.5
Glasg. 2259	64.0	12.39	8	−	1	12.38	64.9	37.5	4	+0.3	37.8	30	38.0
A.G. Berlin	70.0	12.35	3		0	12.35	70.0	37.2	3	0.0	37.2	29	37.4
Quet. 3730	72.9	12.35	3	+	3	12.38	71.7	37.3	2	−0.2	37.1	33	37.2
Par. 10854 III	80.3	12.36	6	+	4	12.40	80.3	37.9	6	−0.2	37.7	38	38.0
Gotha	86.7	12.31	4		0	12.31	86.7	37.2	4	0.0	37.2	32	37.2
	$103^a.3$	$-0^s.0038$				$-0^s.39$	$103^a.0$	+0″.011			+1″.1·		

Die übereinstimmenden grossen Æ von D'Ag und Pi könnten zu der Vermuthung Anlass geben, dass Mayer's Æ $+1^s$ zu corrigiren wäre. Diess ist aber nicht der Fall, vielmehr der Unterschied auf die drei ältesten Bestimmungen wie oben zu vertheilen, oder sogar noch zu grösserm Theil D'Ag und Pi zur Last zu legen.

Mayer 413	1756.2	$9^h13^m19^s.08$:	1/2		$0^s.00$	$19^s.08$:	1756.2	+10° 16′ 26″.1	I**	0″.0	26″.1	$18^s.71$:	31″.3
Zach 622	93:	19.60		+	9	19.69						19.42	—
Pi. 9^h.46	1800:	19.61	10	+	18	19.79	1800:	26.7	6	−3.2	23.5	54	26.9
Tayl. 4080	35:	19.67	3	−	8	19.59	35:	26.2	4	−1.4	24.8	44	26.8
Glasg. 2402	73.2	19.41	4	+	2	19.43	72.2	25.6·	4	+0.2	25.9	40	26.4
Gotha	85.5	19.48	4		0	19.48	85.6	26.9	4	0.0	26.9	48	26.9
	89^a	$-0^s.0029$				$-0^s.26$	86^a	+0″.040			+3″.4		

Mayer's Beobachtung ist in beiden Coordinaten verfehlt; das Orig. ist nicht erhalten.

Autor.	Rectascension Ep.	Cat.-Angabe für 1885	B.	Red.	red. α	Declination Ep.	Cat.-Angabe für 1885	B.	Red.	red. δ	red. Ort für Ep. 1885.0
Mayer 426	1756.3	$9^h33^m\ 3^s.17$	1	$0^s.00$	$3^s.17$	1756.3	$+13^\circ49'52''.7$	1**	0″.0	52″.7	$2^s.54$ 53″.3
D'Agel. 1833	85.3	3.29	1	+ 14	3.43	85.3	51.3	1	−1.8	49.5	94 50.0
Zach 639	93:	2.05		+ 9	2.14						1.69 —
Lal. H.C.	96.2	2.89	1	+ 18	3.07	96.2	50.3	1	−3.2	47.1	2.63 47.6
Pi. 9^h.141	1800:	2.29	8	+ 18	2.47	1800:	50.4	9	−3.2	47.2	05 47.6
Tayl. 4255	35:	2.95	4	− 8	2.87	35:	50.1	4	−1.4	48.7	62 49.0
Rümk. 2901	40:	2.73	1	+ 5	2.78	40:	48.3	1	0	48.3	56 48.5
Rob. 2119	45.3	2.68	2	+ 7	2.75	51.2	50.9	3	−0.9	50.0	56 50.2
Cambr. Obs.	51.2	2.82	3	+ 2	2.84	53.3	48.6	3	−1	47.6	67 47.8
Par. 11890 II	56.2	2.61	1	+ 4	2.65	56.0	50.5	1	−0.4	50.1	51 50.2
Quet. 4042	70.5	2.71	4	+ 3	2.74	68.7	50.0	4	−0.2	49.8	67 49.9
Par. 11890 III	69.7	2.64	2	+ 3	2.67	69.7	50.8	2	−0.4	50.4	60 50.5
Glasg. 2505	72.3	2.64	5	+ 1	2.65	70.2	50.6	3	+0.2	50.8	59 50.9
Gotha	87.0	2.57	5	0	2.57	87.2	49.5	3	0.0	49.5	58 49.5
	$118^a.6$	−0.0049			−0.58	$101^a.8$	+0″.005			+0″.5	

Da die neuen *A*R nicht gut übereinstimmen, ist das Mittel der vier letzten Bestimmungen: 1874.9 $2^s.66$ zur Vergleichung gezogen. Die Bestimmungen von 1835—1852 geben für Ep. 1848.7 $2^s.81$; also in 26^a eine Aenderung von $-0^s.15$, die Mayer'sche *A*R findet sich demnach bestätigt, die *A*R von Zach und Piazzi sind falsch, vielleicht beide 10″, oder die Zach'sche 1^s, grösser zu lesen.

Mayer 431	1756.3	$9^h41^m15^s.13$	1	$0^s.00$	$15^s.13$	1756.3	$+21^\circ$ 7′(56″.0)	1**	0″.0	8′9″.2 c.	$15^s.98$ 8″.7
Zach 647	93:	15.68		+ 9	15.77						16.38 —
Pi. 9^h.173	1800:	15.44	7	+ 18	15.62	1800:	8 15.0	8	−2.9	12.1	18 11.8
Arg. C.A. 207	30	15.85	8	+ 3	15.88	30	12.2	8	−0.7	11.5	24 11.3
Tayl. 4315	35:	16.09	7	− 7	16.02	35:	12.3	7	−1.1	11.2	35 11.0
Par. 12021 II	60.5	15.89	4	+ 5	15.94	60.7	11.6	2	−0.3	11.3	10 11.2
Quet. 4083	67.2	16.10	2	+ 4	16.14	62.9	11.7	3	−0.2	11.5	26 11.4
Gotha	86.6	16.19	5	0	16.19	86.6	10.7	5	0.0	10.7	18 11.7
	$103^a.5$	+0.0066			+0.68	$101^a.2$	−0″.004			−0″.4	

Es ist eine Correction von $+1^v$ für die Mayer'sche Declination, deren Orig. nicht vorhanden ist, angenommen.

Mayer 433						1757.2	$+11^\circ57'50''.8$	1	0″.0	50″.8	— 50″.8
Bradl. 1373	1756.1	$9^h41^m22^s.60$	3	$0^s.00$	$22^s.60$						$22^s.35$ —
Pi. 9^h.176	1800:	22.27	9	+ 18	22.45	1800:	47.2	8	−3.3	43.9	28 43.9
Tayl. 4318	35:	22.58	2	− 9	22.49	35:	42.6	4	−1.5	41.1	39 41.1
Rob. 2146	45.8	22.31	2	+ 7	22.38	53.5	43.3	3	−0.9	42.4	30 42.4
II. Radcl. 983	55.6	22.40	9	− 3	22.37	55.2	42.9	5	−0.8	42.1	31 42.1
Bonn B. VI	58.5	22.42	7	− 2	22.40	58.5	44.1	7	−0.7	43.4	35 43.4
Grw. 7 y. 756	58.6	22.38	18	+ 1	22.39	58.6	43.0	18	−0.1	42.9	34 42.9
Yarn. 4166	63.8	22.34	5	0	22.34	58.2	42.3	2	−0.1	42.2	30 42.2
Grw. N. 7 y. 1201	62.5	22.39	6	+ 1	22.40	62.6	42.5	7	−0.1	42.4	36 42.4
Pulk. 1549	63.6	22.32	5	+ 2	22.34	63.6	43.4	5	−0.1	43.3	30 43.3
Quet. 4086	65.3	22.39	2	+ 4	22.43	65.9	42.6	3	−0.2	42.4	39 42.4
Berlin (T.)	73	22.34	2	− 2	22.32	73.	43.9	2	0	43.9	30 43.9
Grw. 10 y. 1614	84.2	22.36	2	+ 3	22.39	84.2	42.2	2	+0.3	42.5	39 42.5
II. Glasg. 835	91.9	22.30	3	− 1	22.29	91.9	40.0	3	+0.6	40.6	30 40.6
	$132^a.0$	$-0^s.0020$			$-0^s.26$	67^a	0″.000			0″.0	

Die EB. in Decl. ist offenbar völlig unmerklich, also Mayer's Decl. 8″ zu gross, eine Correctur der Ablesung $41^p\ 9^p\ 2^t.5$ jedoch ausgeschlossen. Die nur beiläufig beobachtete Durchgangszeit ist 3^s zu gross.

Mayer 499	1756.3	$11^h36^m16^s.75$	1	$0^s.00$	$16^s.75$	1756.3	$+\ 5^\circ22'56''.6$:	1**	0″.0	22′56″.6:	$14^s.61$ 1″.1:
Zach 797	93:	15.85		+ 11	15.96						43 —
Pi. 11^h.144	1800:	15.55	11	+ 19	15.74	1800:	23 3.1	8	−3.5	59.6	33 2.6
Tayl. 5372	35:	15.59	3	− 10	15.49	35:	1.5	5	−1.7	59.8	66 1.6
Rümk. 3702	40:	14.81	1	+ 5	14.86	40:	22 59.3	1	0	59.3	11 0.9
Rob. 2527	38.1	15.18	8	+ 7	15.25	43.9	23 1.9	5	−1.4	23 0.5	47 1.9
Par. 14291 I	41.2	15.19	2	+ 4	15.23						50 —
Münch. I. 7097	42.3	15.13	2	+ 6	15.19	42.3	2.1	2	−0.7	1.4	48 2.9
Grw. 7 y. 923	54.3	15.02	2	+ 1	15.03	54.3	0.7	2	−0.2	0.5	52 1.6
Par. 14291 II	57.3	14.80	2	+ 3	14.84	56.3	1.3	1	−0.5	0.8	38 1.8
II. Radcl. 1125	58.5	14.81	5	− 2	14.80	59.1	0.8	4	−0.4	0.4	53 1.3
Quet. 4814	67.7	14.66	4	+ 6	14.72	68.0	1.5	4	−0.3	1.2	43 1.8
Par. 14291 III	69.3	14.76	1	+ 2	14.78	69.3	0.6	1	−0.3	0.3	52 0.8
Grw. 9 y. 1083	71.3	14.65	8	+ 1	14.66	71.3	2.7	8	−1.0	1.7	43 2.2
Glasg. 3013	74.2	14.65	3	+ 3	14.69	75.4	1.5	4	+0.3	1.8	51 2.1
Berlin (Kn.)	83.2	14.47	1	0	14.47	83.2	5.0	1	0.0	5.0	44 5.6
Gotha	85.8	14.45	4	0	14.45	85.8	2.1	4	0.0	2.1	46 2.1
	$102^a.7$	−0.0166			$-1^s.70$	$100^a.4$	+0″.035			+3″.5	

Autor.	Rectascension Ep.	Cat.-Angabe für 1885	B.	Red.	red. α	Declination Ep.	Cat.-Angabe für 1885	B.	Red.	red. δ	red. Ort für Ep. 1885.0	
Mayer 508	1756.3	$11^h53^m11^s.01$	1	0ˢ.00	11ˢ.01	1756.3	+ 1°10′ 3″.8	1**	0″.0	3″.8	10ˢ.22	9″.3
Pi. $11^h.207$	1800:	10.90	5	+ 18	11.08	1800:	12.3	6	−3.5	8.8	56	12.5
Arg. C. A. 267	30	10.57	8	+ 5	10.62	30	10.8	8	−1.3	9.5	28	11.9
Tayl. 5497	35:	10.83	3	− 10	10.73	35:	11.6	4	−1.6	10.0	42	12.2
Rob. 2575	45.7	10.49	6	+ 7	10.56	45.1	11.6	5	−1.4	10.2	32	11.9
Münch. I. 7449	52.4	10.70	4	+ 6	10.76	52.4	10.7	4	−0.7	10.0	56	11.4
Grw. 7 y. 943	54.3	10.61	3	+ 1	10.62	54.3	10.6	3	−0.3	10.3	43	11.6
II. Radcl. 1148	56.4	10.49	6	− 1	10.48	55.5	10.5	5	−0.1	10.4	30	11.7
Par. 14269 II	57.3	10.47	2	+ 3	10.50	58.0	11.3	3	−0.5	10.8	33	12.0
Klink. 3035	59.3	10.54	3	− 3	10.51	59.3	13.2	3	−1	12.2	36	13.2
Schjell. 4320	62.3	10.31	1	+ 7	10.38	62.3	11.3	1	−0.3	11.0	24	12.0
Quet. 4909	63.0	10.44	6	+ 7	10.51	64.1	11.5	5	−0.3	11.2	38	12.1
Glasg. 3073	63.6	10.48	6	+ 5	10.53	64.8	12.0	4	+0.1	12.1	40	13.0
Yarn. 5098	65.8	10.54	2	0	10.54	66.4	11.6	2	−0.3	11.3	42	12.1
Par. 14629 III	70.2	10.48	1	+ 2	10.50	70.2	12.4	1	−0.3	12.1	41	12.7
Grw. 9 y. 1103	74.8	10.46	4	+ 1	10.48	74.8	12.9	4	−1.1	11.8	42	12.2
Berlin (T.)	76:	10.40	1	− 5	10.35	76:	10.0	1	0	10.0	30	10.4
Romb. 2599	78.8	10.39	8	0	10.39	78.8	12.2	8	0.0	12.2	35	12.5
A.G. Albany	80.3	10.41	3	0	10.41	80.3	11.9	3	0.0	11.9	38	12.1
Gotha	85.8	10.39	4	0	10.39	85.8	11.1	4	0.0	11.1	39	11.1
II. Glasg. 1010	91.2	10.34	3	+ 2	10.36	91.2	10.8	3	+0.3	11.2	39	10.9
	107ˢ.7	−0ˢ.0061			−0ˢ.05	100″.4	+0″.043			+4″.3		
Mayer 511						1756.3	− 1° 7′(39″.4)	1**	0″.0	26″.2 c.	—	31″.9
Pi. $11^h.213$	1800:	11^h55^m 8ˢ.67	22	+0ˢ.18	8ˢ.85	1800:	23.5	17	−3.5	27.0	8ˢ.62	30.7
Kbg. 363	32.0	8.50	7	+ 9	8.59	32.0	28.3	4	+0.1	28.2	45	30.5
Wrott. 661	33:	8.53	10	+ 7	8.60						46	—
Tayl. 5512	35:	8.78	10	− 10	8.68	35:	20.9	4	−1.6	22.6	54	24.8
Par. 14674 I	40.3	8.56	7	+ 4	8.60	40.3	29.4	3	−0.6	30.0	48	32.0
Rümk. 3777	41:	8.47	1	+ 5	8.52	41:	28.3	1	0	28.3	40	30.2
Grw. 12 y. 985	38	8.49	5	+ 13	8.62	45	28.8	3	−0.4	29.2	49	31.0
Sant. II. $-2^o.224$	42.4	8.62	3	+ 7	8.69	42.4	33.8	3	+0.7	33.1	57	35.0
Münch. I. 7496	46.2	8.53	7	+ 6	8.59	46.6	28.0	8	−0.7	28.7	49	30.4
Rob. 2581	42.3	8.49	2	+ 7	8.56	53.7	28.5	2	−1.4	29.9	44	31.3
Cap (1850) 2156	52.4	8.66	2	+ 1	8.67						58	—
Cambr. Obs.	54.3	8.65	1	+ 5	8.70						62	—
Par. 14674 II	61.3	8.48	3	+ 3	8.51	60.5	28.2	4	−0.5	28.7	45	29.8
Klink. 3045	61.4	8.53	2	− 3	8.50	61.4	27.5	2	−1	28.5	44	29.5
Berlin (Kam 2178)	62.3	8.75	2	− 3	8.72	62.3	27.6	2	0	27.6	66	28.6
Quet. 4921	67.5	8.49	4	+ 6	8.55	66.9	31.0	3	−0.3	31.3	50	32.1
Cop. Brg. 3759–60	68.3	8.47	2	+ 6	8.53	68.3	31.3	2	−0.3	31.6	48	32.3
Cord. 16409	77.4	8.62	4	− 4	8.58	77.4	30.6	4	−0.7	31.3	56	31.6
Gotha	85.8	8.52	4	0	8.52	85.8	32.6	4	0.0	32.6	52	32.6
II. Glasg. 1014	91.2	8.52	4	+ 3	8.55	91.2	31.7	3	+0.3	31.4	57	31.1
	66ᵃ	−0ˢ.0027			−0ˢ.17	132ᵃ.2	−0″.044			−5″.8		

Eine schwache Bewegung nach S. ist sicher vorhanden, für die nur im Catalog erhaltene Mayer'sche Declination eine Correction von $+1^r$ anzunehmen.

Mayer 524	1756.3	$12^h18^m26^s.13$	1	0ˢ.00	26ˢ.13	1756.3	− 9°50′(38″.4)	1**	0″.0	25″.2 c.	25ˢ.95	18″.6
Zach 839	93:	25.64		+ 13	25.77						64	—
Lal. H.C.	95.4	26.07	1	+ 16	26.23	95.4	21.5	1	−3.3	24.8	26.10	20.2
Pi. $12^h.69$	1800:	25.89	23	+ 16	26.05	1800:	21.7	16	−3.3	28.0	25.93	23.7
Tayl. 5689	35:	26.00	2	− 11	25.89	35:	20.9	3	−1.5	22.4	82	19.8
Münch. I. 8005	50.3	25.72	10	+ 6	25.78	50.3	21.9	10	−0.7	22.6	73	20.8
Cap 1850 2226	52.4	25.79	2	+ 1	25.80	51.4	22.3	1	−0.6	22.9	75	21.2
Klink. 3167	58.3	25.83	1	− 3	25.80	58.3	20.7	1	−1	21.7	76	20.3
Schjell. 4467	63.4	25.81	1	+ 8	25.89	63.4	21.3	1	−0.5	21.8	86	20.7
Quet. 5071	66.4	25.82	5	+ 8	25.90	66.6	21.4	3	−0.5	21.9	87	21.0
Cord. 16906	79.3	25.79	3	− 3	25.76	79.3	19.0	3	−0.8	19.8	75	19.5
Gotha	86.4	25.84	6	0	25.84	86.4	21.1	5	0.0	21.1	84	21.2
	103ᵃ.3	−0ˢ.0014			−0ˢ.14	108ᵃ.2	+0″.051			+5″.5		

Eine Correction der nur im Catalog erhaltenen Mayer'schen Declination von $+1^r$ ist sehr wahrscheinlich. Piazzi's Decl. scheint erheblich zu südlich zu sein.

Autor.	Rectascension Ep.	Cat.-Angabe für 1885	B.	Red.	red. α	Declination Ep.	Cat.-Angabe für 1885	B.	Red.	red. δ	red. Ort für Ep. 1885.0
Mayer 577	1756.4	$14^h\ 0^m 58^s.42$	1	$0^s.00$	$58^s.42$	1756.9	$-15°38'15''.6$	2**	0″.0	28″.8 c.	$57^s.84$ 30″.4
Zach 972	93:	58.49		+ 16	58.65						58.24 —
Pi. $13^h.300$	1800:	58.44	8	+ 14	58.58	1800:	26.4	8	−2.9	29.3	20 30.4
Tayl. 6575	35:	58.51	6	− 7·	58.43	35:	28.2	7	−0.8	29.0	21 29.6
Münch. I. 9843	46.4	57.94	1	− 8:	57.86	46.4	28.4	1	−1.2:	29.6	57.69 30.1
Arg. Z. (W. 10984)	49.9	58.16	2	+ 7	58.23	49.9	28.7	2	−1.7	30.4	58.07 30.9
Cap (1850) 2512						50.3	29.0	1	−0.6·	29.6·	— 30.1
Cambr. Obs.	56.4	58.25	1	+ 7	58.32						12 —
II. Radcl. 1357	59.4	58.17	2	0	58.17	57.9	30.1	4	+0.1	30.0	16 30.4
Grw. 7y. 1129	60.4	58.24	3	+ 3	58.27	60.4	28.3	3	−0.6	28.9	13 29.2
Yarn. 5932	61.3	58.17	3	+ 1	58.18	68.5	30.0	3	−0.4	30.4	08 30.2
Quet. 5707	64.4	58.11	5	+ 7	58.18	63.7	29.4	3	−0.6	30.0	09 29.7
Cord. 19161	79.5	58.16	3	− 1	58.15	79.5	31.2	3	−0.8	32.0	13 31.3
Gotha	85.9	58.09	5	0	58.09	86.1	30.4	4	0.0	30.4	09 30.4
	$102^a.8$	$-0^s.0045$			$-0^s.46$	$107^a.6$	$-0''.013$			$-1''.3$·	

Obwohl die nur in Mayer's Catalog erhaltene Declination auf 2 Beobachtungen beruht, muss eine Correctur um -1^v ausgeführt werden.

Mayer 585	1756.4	$14^h 16^m 33^s.60$·	1	$0^s.00$	$33^s.60$·	1756.4	$-7°14'8''.0$	1	0″.0	8″.0	$33^s.60$· 23″.8
Com. ad Pi. $14^h.62$	1800:	14 16 33.35		+ 16	33.51	1800:	−7 14 5.6:		−3.1	8.7:	33.51 19.2:
Sant. II. $-6°.277$	42.4	33.63	1	+ 4	33.67	42.4	18.1	3	+0.8	17.3	67 22.5
Cambr. Obs.	42.4	33.79	3	0:	33.79	42.4	12.1	3	−1	13.1	79 18.3
Cap (1850) 2554	52.5	33.65	2	+ 2·	33.67·	50.4	12.2	1	−0.7	12.9	67· 17.2
Münch. I. 10083	55.1	33.55	3	− 8:	33.47	55.1	14.2	3	−1.2:	15.4	47 19.1
II. Radcl. 1391						61.5	15.5	1	+0.3	15.2	— 18.1
Romb. 3210	75.8	33.54	4	0	33.54	75.8	18.1	4	0.0	18.1	54 19.2
Cord. 19458	77.5	33.62	4	− 2	33.60	77.5	17.3	3	−0.6	17.9	60 18.8
Gotha	85.4	33.52	4	0	33.52	86.0	19.6	3	0.0	19.6	52 19.5
Zach 1006	1793:	14 16 33.62		+ 17	33.79		−7 14				33.69 —
Pi. $14^h.62$	1800:	33.55	8	+ 16	33.71	1800:	9.6	8	−3.1	12.7	71 23.2
Str. P. M. 1610	24.0	33.73	6	0	33.73	24.0	16.0	6	−0.7	16.7	73 24.2
Tayl. 6705	35:	33.84	3	− 6	33.78	35:	12.7	3	−0.7	13.4	68 19.6
Cap (1850) 2555	52.5	33.66	2	+ 2·	33.68·	50.4	17.0	1	−0.7	17.7	68· 22.0
Münch. I. 10084	55.1	33.58	3	− 8:	33.50	55.1	19.3	3	−1.2:	20.5	50 24.2
II. Radcl. 1392						61.5	19.7	1	+0.3	19.4	— 22.3
Quet. 5802	66.2	33.59	4	+ 6	33.65	67.1	22.7	3	−0.5	23.2	65 25.1
Romb. 3211	75.6	33.67	4	0	33.67	75.6	24.5	4	0.0	24.5	67 25.7
Cord. 19459	77.5	33.68	4	− 2	33.66	77.5	23.6	4	−0.6	24.2	66 25.1
Gotha	87.4	33.68	2	0	33.68	87.4	26.7	3	0.0	26.7	68 26.4
	$101^a.7$	$0^s.0000$			$0^s.00$	$101^a.7$	$-0''.123$			$-12''.5$	

Es ist zweifelhaft, welche der beiden Componenten dieses Doppelsterns (Σ 1833) die hellere ist. W. Struve gibt für 1832 4″.9 167°, Dembowski 1867 5″.1 167°, beide die Grössen $7^m.0$ und $7^m.2$; die Cataloge bezeichnen aber meistens — u. a. W. Struve selbst 1824 — den südlich folgenden Stern als den hellern. Der Mayer'sche Ort gilt bei dem geringen Abstand und der nahe gleichen Helligkeit wohl für die Mitte. Die Cambridger Æ ist unsicher. Die Taylor'sche Declination ist entweder 5″ falsch, oder gilt für die andere Componente. Der Capcatalog 1850 enthält die Declination der Mitte zwischen beiden Sternen $-7°14'14''.6$, wozu oben $\pm 2''.4$ hinzugefügt ist.

Als neue Epoche ist das Mittel aus Pulkowa, Cordoba und Gotha verglichen, als alte das Mittel aus M und Pi, nachdem Piazzi's Ort seiner Anmerkung entsprechend auf die Mitte übertragen war.

Mayer 589	1756.4	$14^h 21^m 31^s.68$	4	$0^s.00$	$31^s.68$	1756.4	$-12°50'29''.7$	4	0″.0	29″.7	$31^s.06$ 29″.8
Zach 992	93:	31.63		+ 17	31.80						36 —
Pi. $14^h.85$	1800:	31.55	15	+ 15	31.70	1800:	26.7	12	−3.0	29.7	29 29.8
Tayl. 6750	35	31.99	3	− 7	31.92	35:	26.7	4	−0.7	27.4	68 27.5
Altona (Kam 2728)	48.4	31.27·	2	+ 6	31.33·	48.4	27.8	2	+1.2	26.6	10 26.6
Cap (1850) 2570	52.4	31.43	2	+ 2	31.45	50.3	28.8	1	−0.7	29.5	29 29.5
Cambr. Obs.	53.4	31.50	6	+ 8	31.58	52.7	28.5	4	−1	29.5	43 29.5
Sant. III. 1644	57.5:	31.41	1	+ 7	31.48	57.5:	29.3	1	−0.6	29.9	36 29.9
Münch. I. 10180	58.4	31.18	2	− 6:	31.12	58.4	29.6	2	−1.9:	31.5	30.99 31.5
Schjell. 5130	63.4	31.30	1	+ 6	31.36	63.4	27.9	1	−0.6	28.5	31.26 28.5
Quet. 5830	66.9	31.29	4	+ 6	31.35	70.4	30.1	3	−0.6	30.7	26 30.7
Cord. 19579	77.6	31.31	4	− 1	31.30	77.6	29.0	4	−0.7	29.7	26 29.7
Cap	82.7	31.28	3	0	31.28	82.7	29.0	3	−0.5	29.5	27 29.5
Gotha	86.0	31.21	5	0	31.21	86.1	29.8	4	0.0	29.8	21 29.8
	$98^a.7$	$-0^s.0048$			$-0^s.47$	$129^a.7$	$-0''.001$			$-0''.1$	

Taylor's Æ ist offenbar falsch.

Autor.	Rectascension Ep.	Cat.-Angabe für 1885	B.	Red.	red. α	Declination Ep.	Cat.-Angabe für 1885	B.	Red.	red. δ	red. Ort für Ep. 1885.0	
Mayer 590	1756.4	$14^h22^m23^s.86$	4	$0^s.00$	$23^s.86$	1756.4	$-9°29'13''.0$	4	0″.0	13″.0	23ˢ.18	17″.0
Zach 993	93:	23.65		+ 17	23.82						33	—
Pi. $14^h.89$	1800:	23.67	9	+ 16	23.83	1800:	12.0	10	−3.1	15.1	38	17.7
Tayl. 6757	35:	23.86	3	− 6	23.80	35:	11.7	4	−0.7	12.4	54	14.0
Cap (1840) 1875						40.1	16.4	1	−0.1	16.5	—	17.9
Sant. II. $-10°.315$	45.4	23.75	2	+ 5	23.80	45.4	15.2	2	+0.9	14.3	59	15.5
Cambr. Obs.	49.4	23.46	1	+ 6	23.52						34	—
Cap (1850) 2575	52.4	23.39	2	+ 2·	23.41·	51.5	15.3	1	−0.7	16.0	24	17.0
Hamburg (K. 2732)	53	23.34	1	+ 6	23.40	53	15.8	1	0	15.8	23	16.8
Münch. I. 10198	61.4	23.53	1	− 6	23.47	61.4	15.5	1	−1.9	17.4	34	18.1
Kbg. (Lo.)	68.4	23.51	3	− 3	23.48	68.4	14.2	3	−1	15.2	39	15.7
Quet. 5833	69.8	23.33	7	+ 6	23.39	67.8	16.2	5	−0.5	16.7	31	17.2
Cord. 19594	77.4	23.34	4	− 2	23.32	77.4	15.6	4	−0.7	16.3	28	16.5
Gotha	86.0	23.32	5	0	23.32	86.6	17.5	5	0.0	17.5	33	17.5
	$98^a.6$	$-0^s.0053$			$-0^s.52$	$125^a.3$	$-0''.031$			$-3''.9$		
Mayer 628	1756.4	$15^h31^m34^s.44$	½	$0^s.00$	$34^s.44$						33ˢ.86	—
Pi. $15^h.125$	1800:	35.48	10	+ 14	35.62	1800:	$-14°\ 8'59''.2$	6	−3″.2	9′ 2″.4	35.24	4″.3
Tayl. 7282	35:	35.77	4	− 5	35.72	35:	9 1.0	3	−0.6	1.6	50	2.7
Cap (1850) 2803	51.6	35.29	3	+ 3	35.32	50.5	0.5	1	−0.7	1.2	17	2.0
Berlin (T.)	71:	35.24	1	0	35.24	71:	9.8	1	0.0	9.8	18	10.1
Quet. 6235	70.8	35.15	3	+ 5	35.20	72.4	0.8	3	−0.6	1.4	14	1.7
Cord. 21189	77.6	35.28	3	0	35.28	77.6	3.2	4	−0.7	3.9	25	4.1
Gotha	85.9	35.16	4	0	35.16	87.3	2.6	5	0.0	2.6	16	2.5
	56^a	$-0^s.0045$			$-0^s.25$	56^a	$-0''.022$			$-1''.2$		

Die unsichere Mayer'sche *A*R ist über 1ˢ zu klein. Die Taylor'sche *A*R scheint, wie bei den beiden vorigen Sternen, erheblich zu gross zu sein; als alte Epoche ist das Mittel Pi Cp (mit Co Go) verglichen.

Mayer 675	1756.5	$16^h37^m49^s.02$	3	$0^s.00$	$49^s.02$	1756.5	$-28°17'41''.9$	3	0″.0	41″.9	48ˢ.72 .71	40″.7
Zach 1127	93:	48.63		+ 28	48.91						70 45	—
Pi. $16^h.159$	1800:	48.92	19	+ 10	49.02	1800:	37.2	19	−2.9	40.1	82 59	39.3
Wrott. 882	33:	48.80	12	+ 6	48.86						74 60	—
Tayl. 7745	35:	49.00	5	− 5	48.95	35:	41.4	5	−1.5	42.9	84 70	42.4
Cap (1840) 2219	35.6	48.81	3	+ 5	48.86						75 61	—
Rob. 3451	36.2	48.82	7	+ 11	48.93						82 68	—
Arg. Z. (W. 12797)	51.0	48.90	2	+ 4	48.94	51.0	38.3	2	−1.2	39.5	86 77	39.2
Cap (1850) 3099	52.6	48.89	2	+ 3	48.92	50.6	40.0	1	−0.7	40.7	85 76	40.4
Yarn. 7030	62.6	48.70	2	+ 7	48.77	65.0	39.3·	2	−0.5	39.8	72 66	39.6
II. Arm. 1960						65.9	38.6	4			— —	
Cord. Z. $16^h.2596$	73.6	48.63	1	+ 3	48.66	73.6	38.0	1	−0.9·	38.9·	63 60	38.8
Cord. C. G. 22634	74.5	48.77	4	+ 3	48.80	74.5	39.8	4	−0.9·	40.7·	78 75	40.7
Grw. 9y. 1522	75.5	48.73	3	+ 1	48.74	75.5	36.9	3	−3.2·	40.1·	72 69	40.1
Stone 9081	78.6	48.70	4	+ 6	48.76	78.6	39.6·	4	−0.8	40.4	75 73	40.3
Grw. 10y. 2609	81.6	48.72	6	+ 0·	48.72·	81.6	39.8·	6	−0.2	40.1	72 71	40.1
Gotha	86.7	48.69	5	0	48.69	87.1	40.7	5	0.0	40.7	69 70	40.7
	$122^a.9$	$-0^s.0023$			$-0^s.28$	$130^a.6$	$+0''.009$			$+1''.2$		

Die 3 Mayer'schen Beobachtungen geben *A*R 1755 44ˢ.14 42ˢ.79 43ˢ.72. Danach wäre ein Fehler von -1^s in der zweiten zu vermuthen, nach entsprechender Aenderung erhielte man aber als Mittel auf 1885 übertragen $16^h37^m49^s.69$ oder einen offenbar mit allen späteren Beobachtungen völlig unvereinbaren Werth. Es scheint vielmehr die erste Beobachtung -1^s corrigirt werden zu müssen; vielleicht handelt es sich nur um einen Druckfehler, denn Mayer gibt im Catalog einen Werth, welcher $0^s.22$ kleiner ist als die neue Reduction ohne alle Correcturen das Mittel der 3 Beobachtungen geben würde, so dass die Annahme, er habe eine Beobachtung in der That 1^s kleiner gelesen, nicht unwahrscheinlich ist. — Die obige Vergleichung ist mit der, schon oben S. 79 angebrachten, Correctur -1^s für die erste Beobachtung aufgestellt. Bringt man gar keine Correction an, so erhält man für Mayer 1885 $16^h37^m49^s.36$, EB. in $122^a.9 = -0^s.62$ und die in zweiter Linie aufgeführten auf Ep. 1885.0 reducirten Werthe. Z und Pi stimmen dabei entschieden schlechter, scheinen also ebenfalls die vorgenommene Berichtigung zu bestätigen.

Mayer 718	1756.5	17^h42^m 4ˢ.26	1	0ˢ.00	4ˢ.26	1756.5	$+17''44'24''.3$	1	0″.0	24″.3	3ˢ.30	24″.9
D'Agel. 4559	83.4	4.06	1	+ 14	4.20	83.4	23.4	1	+0.5	23.9	44	24.4
Lal. H.C.	94.4	2.99	1	+ 23	3.22	94.4	28.7	1	−3.7	25.0	2.54	25.5
Bess. Z. 297	1825.5	3.25	1	+ 6	3.31	1825.5	26.4	1	0.0	26.4	86	26.7
Pulk. 2509	41.6	3.52	4	+ 2	3.54	41.6	25.5	4	0.0	25.5	3.21	25.7
Rümk. 6023	43	3.46	5	+ 5	3.51	43	28.1·	5	0	28.1	20	28.3

Autor.	Rectascension Ep.	Cat.-Angabe für 1885	B.	Red.	red. α	Declination Ep.	Cat.-Angabe für 1885	B.	Red.	red. δ	red. Ort für Ep. 1885.0	
A.G. Berlin	1869.5	$17^h42^m\ 3^s.49$	2	$0^s.00$	$3^s.49$	1869.5	$+17^\circ44'24''.4$	3	0″.0	24″.4	$3^s.30$	24″.5
Romb. 3865	75.0	3.47	4	0	3.47	75.0	25.2	4	0.0	25.2	40	25.3
Rog. 794	78.6	3.57	4	0	3.57	78.6	24.0	4	0.0	24.0	52	24.0
Grw. 10y. 2806	80.5	3.45·	4	— 6	3.39	80.5	24.9	4	+0.2	25.1	36	25.1
Gotha	86.0	3.40	2	0	3.40	86.0	24.5	2	0.0	24.5	41	24.5
	$112^a.3$	$-0^s.0075$			$-0^s.84$	$104^a.2$	+0″.005			+0″.5		

Die älteren Æ befinden sich im Widerspruch unter einander; entweder sind Mayer und D'Ag beide 1^s zu gross, oder Lal und BZ beträchtlich, etwa $0^s.8$ und $0^s.5$ zu klein. Der Pulkowaer Catalog entscheidet gegen letztere; als alte Epoche ist das Mittel $^1/_2$(M+D'A), für Decl. $^1/_3$(M+D'A+Lal) verglichen, mit $^1/_3$(Go+2 Grw).

Mayer 743						1756.6	$+54^\circ14'38''.8$	1	0″.0	38″.8	—	8″.3
Lal. H.C.	1790.3	$18^h\ 8^m\ 8^s.52$	1	$+0^s.38$	$8^s.90$	90.3	47.6	1	−0.8·	46.8	$10^s.08$	8.6
Groombr. 2527	1808.6	9.02	6	+ 23	9.25	1808.6	50.2	6	+0.6	50.8	20	8.8
Grw. 12y. 1585 I	37	9.63	2	+ 7	9.70	36	57.2	10	0.0	57.2	30	8.5
AOe. 17969	42.6	9.79	1	+ 11	9.90	42.6	15 0.4	1	−0.1	0.3	43	10.1
Rob. 3707	41.4	9.64	5	+ 5	9.69	46.4	14 59.4	5	−0.4	59.0	22	7.9
Radcl. 3864	44.5	9.71	5	+ 7	9.78	44.3	57.3	5	−0.2	57.1	29	6.5
Grw. 12y. 1585 II	45	9.64	5	+ 4	9.68	45	58.6	14	−0.1	58.5	18	7.7
Rümk. 6330	45	9.44	5	+ 5	9.49	45.6	58.9	6	0	58.9	19	8.0
Pulk. 2563	50.4	9.82	5	+ 3	9.85	50.4	15 2.1	5	+0.2	2.3	28	10.3
II. Radcl. 1731	59.3	9.64	4	+ 4	9.68	58.6	1.4	4	+0.5	1.9	00	8.0
Quet. 7403	67.8	9.97	4	+ 7	10.04	70.1	5.7	4	−0.1	5.6	26	11.3
A.G. Cambr. M.	71.6	9.96	2	0	9.96	71.6	4.9·	2	0.0	4.9·	13	10.3
Romb. 3967	77.3	10.12	16	0	10.12	77.3	6.6·	16	0.0	6.6·	22	8.4
Gotha	87.5	20.27	1	0	*10.27	87.5	10.1	1	0.0	10.1	24	9.5
	$69^a.5$	$+0^s.0125$			$+0^s.87$	$104^a.6$	+0″.230			+24″.1		

* -10^s corrig.

Die Æ ist von Mayer nicht beobachtet, 1756 Juli 29 ist eine Zeit $17^h59^m15^s$ als beiläufig notirt, diess aber wohl nur die Zeit der Einstellung der ZD., durch den MF. musste der Stern schon 15^s früher durchgegangen sein.

Mayer 763	1756.6	$18^h29^m34^s.07$	1/2	$0^s.00$	$34^s.07$	1756.6	$+52^\circ$ 1′49″.1	4	0″.0	49″.1	$33^s.81$	44″.0
Lal. F. 2966	89.6	33.75	1	+ 10	33.85	89.6	46.7	1	0.0	46.7	66	42.9
Groombr. 2601	1810.6	33.44	7	+ 20	33.64	1810.6	44.7	7	+0.7	45.4	49	42.4
Rob. 3800	43.7	33.55	1	+ 6	33.61	43.1	46.3	5	−0.5	45.8	53	44.1
Kremsm. (K. 3599)	45.2	32.98				45.2	41.3					
Radcl. 3970	47.3	33.61	4	+ 7	33.68	43.3	46.3	3	−0.4	45.9	60	44.3
A.G. Cambr. M.	71.7	33.52	2	0	33.52	71.7	44.5	2	0.0	44.5	49	44.0
	$61^a.1$	$-0^s.0020$			$-0^s.12$	$115^a.1$	−0″.040			−4″.6		

Ausser der von Fedorenko reducirten Lalande'schen Beobachtung sollen nach Baily noch zwei unter Nr. 34511 und 34513 seines Catalogs eingetragene vorhanden sein. Wegen der einen wird auf p. 330 der H.C. verwiesen, der Stern kommt dort aber nicht vor; die andere (p. 357) gibt mit Von Asten's Tafeln reducirt den Ort $+0^s.82$ und +2″.4 von der oben aufgeführten Beobachtung verschieden, also stark fehlerhaft.

Mayer 764	1756.6	$18^h31^m20^s.61$	3/4	$0^s.00$	$20^s.61$	1756.6	$+52^\circ15'44''.3$	5 1/2	0″.0	44″.3	$20^s.96$	44″.9
Lal. F. 2974	89.6	19.81	1	+ 10	19.91	89.6	44.3	1	0.0	44.3	17	44.8
Groombr. 2612	1809.6	19.72	6	+ 20	19.92	1809.6	43.5	6	+0.7	44.2	12	44.6
Str. P.M. 2119	24.2	20.19	6	+ 5	20.24	24.2	45.1	6	−0.3	44.8	40	45.1
AOe. 18409	42.5	20.36	1	+ 11	20.47	42.5	45.2	1	−0.2	45.0	58	45.2
Radcl. 3983	46.9	20.19	4	+ 7	20.26	43.4	45.1	4	−0.4	44.7	36	44.9
Kremsm. (K. 3602)	45.2	19.81				45.2	42.9					
Pulk. 2622	46.8	20.22	4	+ 3	20.25	46.8	44.9	4	+0.1	45.0	35	45.2
Rob. 3810	53.7	20.23	1	+ 6	20.29	40.3	45.3	5	−0.4	44.9	37	45.1
Grw. 7y. 1500	59.5	20.15	2	+ 4	20.19	59.5	45.2	3	0.0	45.2	26	45.3
Romb. 4042	77.4	20.23	16	0	20.23	77.4	44.8	16	0.0	44.8	25	44.8
A.G. Cambr. M.	79.4	20.29	5	0	20.29	79.4	45.7	5	0.0	45.7	31	45.7
Grw. 10y. 2979	84.8	20.23	8	+ 4	20.27	84.8	44.9	8	0.0	44.9	27	44.9
	$87^a.3$	$+0^s.0027$			$+0^s.24$	$128^a.2$	+0″.005			+0″.6		

Eine zweite Lalande'sche Beobachtung, B. 34580 »H.C. p. 330« ist nicht nachzuweisen.

Autor.	Rectascension Ep.	Cat.-Angabe für 1885	B.	Red.	red. α	Declination Ep.	Cat.-Angabe für 1885	B.	Red.	red. δ	red. Ort für Ep. 1885.0	
Mayer 791	1756.7	$19^h\ 5^m 21^s.84$	1	$0^s.00$	$21^s.84$	1756.7	$-14°46'29''.3$	1	0″.0	29″.3	$21^s.79$	24″.6
Zach 1273	93:	23.49		+ 22	23.71						23.67	—
Pi. $19^h.5$	1800:	22.54	22	+ 14	22.68	1800:	24.3	16	−3.8	28.1	22.65	25.0
Wrott. 1010	33:	22.47	10	+ 4	22.51						49	—
Tayl. 8809	35:	22.64	6	− 2·	22.62	35:	25.8	5	−1.3	27.1	60	25.2
Rob. 3962	38.4	22.52	4	+ 9·	22.61						59	—
Rümk. 7132	43	22.35	1	+ 5	22.40	43	30.2	1	0	30.2	38	28.6
Münch. I. 19066	46.3	22.46	3	0	22.46	46.3	26.5	3	−1.0	27.5	44	26.1
Arg. Z. (W. 15124)	49.5	22.55	1	+ 7	22.62	49.5	26.9	1	−1.7	28.6	61	27.3
Cap (1850) 3780	52.6	22.56	2	+ 5	22.61	50.6	25.4	1	−0.6	26.0	60	24.7
Quet. 7960	68.4	22.48	5	+ 15	22.63	69.3	26.1	4	−0.7	26.8	62	26.2
Cord. 26291	79.7	22.55	3	+ 4	22.59	79.7	24.8	3	−0.8	25.6	59	25.4
Gotha	86.4	22.66	4	0	22.66	86.4	24.0	4	0.0	24.0	66	24.1
	65^a	$-0^s.0004$			$-0^s.02$	$104^a.6$	+0″.037			+3″.9		

Mayer's $\mathcal{R}$ ist $0^s.8$ zu klein, Zach's 1^s zu gross. EB. $\mathcal{R}$ nach PT, vgl. Co Go.

Mayer 814	1756.7	$19^h 29^m 42^s.70$	1	$0^s.00$	$42^s.70$	1756.7	$-19°\ 6'\ 23''.7$	2	0″.0	23″.7		20″.9
Zach 1304	93:	44.11		+ 22	44.33							—
Pi. $19^h.176$	1800:	43.62	7	+ 13	43.75	1800:	17.5	4	−3.8	21.3		19.4
Altona (Kam 3850)	28.8	43.80	7	+ 5	43.85	28.8	21.7	3	+0.5	21.2		21.0
Fallows 514	30.5	43.80	1	+ 6	43.86							—
Wrott. 1048	33:	43.83	10	+ 4	43.87							—
Tayl. 8998	35:	43.91	3	− 3	43.88	35:	18.5	5	−1.5	20.0		18.9
Kbg. 583	35.4	43.86	8	+ 6	43.92	35.4	22.0	8	+0.7	21.3		20.2
Cap (1840) 2557	35.6	43.84	3	+ 7	43.91							—
Rob. 4101	38.0	43.51	3	+ 9·	43.60							—
Münch. I. 20886	47.6	43.83	1	+ 5	43.88	47.6	16.2	1	−2.3	18.5		17.7
Arg. Z. (W. 15533)	49.7	43.73	2	+ 8	43.81	49.7	17.8	2	−1.8	19.6		18.8
Wrott. II. 799	50.7	43.74	5	+ 13	43.87							—
Cap (1850) 3868	52.6	43.86	2	+ 5	43.91	50.6	19.3	1	−0.6	19.9		19.1
Cambr. Obs.	54.8	43.92	1	+ 14	44.06	55.2	19.6·	2	−1	20.6		19.9
Yarn. 8576	59.7	43.74	2	+ 6·	43.81	56.7	20.7	7	−0.6	21.3		20.7
Quet. 8243	70.1	43.67	2	+ 15	43.82	70.6	19.6	3	−0.8	20.4		20.1
Cord. 26844	80.4	43.70	4	+ 5	43.75	80.4	21.4	4	−0.9	22.3		22.2
Grw. 10y. 3198	85.7	43.85	4	+ 2	43.87	85.7	21.0	4	−0.7	21.7		21.7
Gotha	86.0	43.86	3	0	43.86	86.4	20.1	3	0.0	20.1		20.1
Cinc. P. IX. 3253	86.3	43.69	3	0	43.69	86.3	19.8	3	0.0	19.8		19.8
						$129^a.1$	+0″.022			+2″.8		

Mayer's $\mathcal{R}$ ist 1^s zu klein. Zach's $\mathcal{R}$ ist ebenfalls falsch, EB. in $\mathcal{R}$ augenscheinlich ganz verschwindend. Mayer's Decl. ist nach S. 84 mit einer Correction von −13″.2 für die erste Beobachtung berechnet, welche sich hier bestätigt findet.

Mayer 831	1756.7	$19^h 49^m\ 3^s.86$	1	$0^s.00$	$3^s.86$	1756.7	$+\ 6°\ 50'\ 24''.0$	1	0″.0	24″.0	$3^s.32$	26″.4
D'Agel. 5217–8	83.6	3.26	2	+ 14:	3.40	83.6	19.6	2	+0.3:	19.9	2.97	21.8
Rümk. 7844	1848	3.15	1	+ 5	3.20	1848	23.4	1	0	23.4	3.05	24.1
Bonn B. VI	56.8	3.25	1	− 2	3.23	56.8	24.3	1	−2.0	22.3	11	22.8
Münch. I. 22244	58.7	3.09	3	0	3.09	58.7	23.7	3	−1.0	22.7	2.98	23.2
Gotha	86.8	3.14	4	0	3.14	86.8	24.1	4	0.0	24.1	3.15	24.1
	$116^a.6$	$-0^s.0042$			$-0^s.49$	$116^a.6$	+0″.019			+2″.1·		

Mayer 857	1756.6	$20^h 17^m 48^s.93$	1	$0^s.00$	$48^s.93$	1756.6	$-14°29'\ 1''.4$	1	0″.0	1″.4	$48^s.72$	3″.3
Zach 1350	93:	48.47		+ 22	48.69						54	—
Pi. $20^h.107$	1800:	48.78	21	+ 14	48.92	1800:	28 52.6	26	−3.8	56.4	78	57.7
Tayl. 9389	35:	49.29·	3	− 3	49.27	35:	56.9	4	−1.5	58.4	49.19	59.2
Münch. I. 24240	45.7	49.16	1	+ 2	49.18	45.7	56.8	1	−1.0	57.8	12	58.4
Cap (1850) 4027	50.6	48.69	2	+ 5	48.74	50.7	57.6	1	−0.5	58.1	48.68	58.6
Cambr. Obs.	56.7	48.88	3	+ 14	49.02	54.1	58.5	3	−1	59.5	96	0.0
Glasg. 5103	76.9	48.40	4	+ 17	48.57	74.3	58.2	3	−1.6	59.8	56	0.0
Cord. 27962	77.6	48.68	9	+ 4	48.72	77.5	58.8·	8	−0.8	59.7	71	59.8
Gotha	86.3	48.69	5	0	48.69	85.7	59.6	4	0.0	59.6	69	59.6
	$103^a.1$	$-0^s.0016$			$-0^s.16$	$100^a.8$	−0″.015			−1″.5		

Autor.	Rectascension Ep.	Cat.-Angabe für 1885	B.	Red.	red. α	Declination Ep.	Cat.-Angabe für 1885	B.	Red.	red. δ	red. Ort für Ep. 1885.0	
Mayer 859	1756.8	$20^h18^m48^s.28$	1	$0^s.00$	$48^s.28$	1756.8	$-12^\circ\ 4'40''.7$	1	0″.0	40″.7	$48^s.37$	37″.8
Zach 1352	93:	47.76		+ 22	47.98						04	—
Pi. 20^h.114	1800:	47.97	8	+ 15	48.12	1800:	31.8	10	−3.9	35.7	18	33.7
Tayl. 9393	35:	48.55	3	− 3	48.53	35:	34.7	4	−1.5	36.2	56	35.0
Rümk. 8248	46	47.94	1	+ 5	47.99	46	34.0	1	−2.0	36.0	02	35.1
Münch. I. 24317	48.5	48.10	7	+ 2	48.12	48.5	32.9	7	−1.0	33.9	15	33.1
Cap (1850) 4032	52.4	47.82	3	+ 5	47.87	50.7	33.9	1	−0.5	34.4	47.89	33.6
Sant. III. 2261	57.5:	47.82	2	+ 12	47.94	57.5:	36.0	2	−0.7	36.7	96	36.1
Klink. 5210	58.5	48.14	1	− 3	48.11	58.5	32.7	1	−1	33.7	48.13	33.1
Quet. 8820	69.0	48.03	4	+ 13	48.16	67.7	24.2	4	−0.7	24.9	17	24.5
Yarn. 9081	76.8	48.19	2	+ 5	48.24	74.7	34.5	2	−0.5	35.0	25	34.8
Cord. 27986	79.7	48.13	3	+ 4	48.17	79.7	33.6	3	−0.8	34.4	17	34.3
Gotha	86.1	48.20	3	0	48.20	86.3	35.1	4	0.0	35.1	20	35.1
	$102^a.8$	$+0^s.0007$			$+0^s.07$	$100^a.7$	$+0''.023$			$+2''.3$		
Mayer 866	1756.7	20^h26^m $1^s.92$	1	$0^s.00$	$1^s.92$	1756.7	$-25^\circ19'49''.6$	1	0″.0	49″.6	$1^s.79$	54″.9
Zach 1360	93:	1.22		+ 22	1.44						35	—
Pi. 20^h.170	1800:	1.36	14	+ 11	1.47	1800:	45.6	11	−3.4	49.0	38	52.5
Kbg. 614	31.1	1.42	6	+ 8	1.50	31.1	50.7	6	+0.8	49.9	45	52.1
Wrott. 1101	33:	1.44	10	+ 5	1.49						44	—
Tayl. 9454	35:	4.46	6	− 4	*1.42	35:	49.1	5	−2.0	51.1	37	53.2
Cap (1840) 2628						34.7	48.6	8	−1.0	49.6	—	51.7
Rob. 4398	37.4	1.50	7	+ 9	1.59						54	—
Münch. I. 24872	47.6	1.58	1	+ 2	1.60	47.6	49.7	1	−1.0	50.7	56	52.2
Arg. Z. (W. 16206)	49.7	1.57	1	+ 10	1.67	49.7	49.0	1	−1.8	50.8	63	52.2
Cap (1850) 4070	52.7	1.68	2	+ 5	1.73	50.6	50.7	1	−0.5	51.2	70	52.6
Grw. 7 y. 1687	53.1	1.55	10	+ 7	1.62	58.1	50.7	10	−0.5	51.2	59	52.3
II. Radcl. 1987	56.9	1.42	5	+ 4	1.46	55.8	49.9	5	−0.3	50.2	43	51.4
Cambr. Obs.	56.6	1.61	1	+ 15	1.76						73	—
Cap (1860) 964	59.6	1.44	7	+ 7	1.51	59.6	50.6	7	−0.9	51.5	48	52.5
Yarn. 9140	62.1	1.44	4	+ 7	1.51	67.8	50.6	2	−0.7	51.3	49	52.0
I. Melb. 1040	66.9	1.47	4	+ 7	1.54	66.9	50.8	4	−1.3	52.1	52	52.8
Quet. 8893	67.8	1.31	3	+ 16	1.47	69.7	51.3	3	−0.9	52.2	45	52.8
Cord. Z. 20^h.848	73.0	1.44	3	+ 5	1.49	73.0	51.3	3	−1.0	52.3	48	52.8
Grw. 9 y. 1908	74.5	1.45	9	+ 3	1.48	74.4	50.7	8	−2.9	53.6	47	54.0
Cord. G. C. 28144	77.6	1.45	5	+ 5	1.50	77.6	51.4	5	−1.0	52.4	49	52.7
Stone 10954	78.7	1.44	3	+ 7	1.51	78.7	52.6	3	−1.0	53.6	50	53.9
Grw. 10 y. 3410	81.0	1.56	3	+ 1	1.57	80.6	52.1	3	−0.1	52.2	57	52.4
Gotha	85.7	1.45	4	0	1.45	85.7	54.1	4	0.0	54.1	45	54.1
	$100^a.1$	$-0^s.0010$			$-0^s.10$	$97^a.5$	$-0''.041$			$-3''.9$		

* -3^s corr.

Mayer 874	1756.7	$20^h32^m39^s.53$	1/4	$0^s.00$	$39^s.53$	1756.7	$-19^\circ40'28''.5$:	1/2	0″.0	28″.5:		
Lal. H.C.	95.6	39.83	1	+ 13	40.13	95.6	49.8	1	−3.6	53.1		
» S. 3389	1801.6	40.18	1	+ 13		1801.6	50.1	1	−2.8			
Münch. I. 25368	47.6	39.56	3	+ 2	39.58	47.6	48.5	3	−1.0	49.5		
Arg. Z. (W. 16279)						49.7	47.3	1	−1.7	49.0		
Bonn B. VI	60.0	39.81	3	− 2	39.79	60.0	49.1	3	−1.4	50.5		
Cinc. P. IX. 3447	85.7	39.74	4	0	39.74	85.9	51.7	5	0.0	51.7		
Gotha	86.2	39.83	4	0	39.83	86.3	52.6	4	0.0	52.6		

EB. in beiden Coordinaten = 0 anzunehmen; Mayer's Decl. scheint $2^v = 25''.3$ zu nördlich, die nur etwas unsicher beobachtete ZD. $76^D\ 5^p\ 14^v.9$ statt $12^v.9$ zu lesen zu sein.

Mayer 877	1756.6	20^h34^m $5^s.20$	2/3	$0^s.00$	$5^s.20$	1756.6	$-16^\circ32'$ 9″.6	I	0″.0	32′ 9″.6	$4^s.11$	59″.6
Zach 1369	93:	5.22		+ 22	5.44						66	—
Pi. 20^h.240	1800:	5.42	13	+ 14	5.56	1800:	0.5	7	−2.7	3.2	84	56.6
I. Cambr. 616	30	4.98	6	+ 5	5.04	34	31 58.8	2	−2.6	1.4	57	57.4
Rob. 4440	30.7	4.69	1	+ 7	4.76						30	—
Kbg. 622	31.2	5.00	7	+ 8	5.08	32.2	32 2.6	6	+0.8	1.8	63	57.7
Wrott. 1108	33:	4.97	10	+ 4	5.01						57	—
Tayl. 9533	35:	5.21	4	− 3	5.18	35:	0.3	3	−1.6	1.9	76	58.0
Münch. I. 25470	47.6	4.81	1	+ 13	4.94	47.6	3.2	1	−1.9	5.1	62	2.2
Wrott. II. 862	50.7	4.80	5	+ 13	4.93						64	—
Cap. (1850) 4107	50.8	4.91	2	+ 5	4.96	50.7	31 58.2	1	−0.5	31 58.7	67	56.0
Cambr. Obs.	54.7	4.92	1	+ 12	5.04						78	—

Autor.	Rectascension Ep.	Cat.-Angabe für 1885	B.	Red.	red. α	Declination Ep.	Cat.-Angabe für 1885	B.	Red.	red. δ	red. Ort für Ep. 1885.0
Quet. 8997	1871.7	$20^h34^m\ 4^s.76$	4	$+0^s.07$	$4^s.83$	1869.1	$-16°31'57''.9$	4	$-0''.7$	$31'58''.7$	$4^s.72\ \ 57''.5$
Cord. 28335	77.7	4.79	4	+ 4	4.84	77.7	57.5	4	−0.9	58.4	78 57.8
Gotha	85.7	4.72	4	0	4.72	86.4	57.3	4	0.0	57.3	73 57.4
	$85^a.2$	$-0^s.0085$			$-0^s.72$	$96^a.5$	$+0''.078$			$+7''.5$	
	Mayer's AR ist $0^s.64$ zu klein.										
Mayer 961	1756.7	$22^h34^m12^s.58$	1	$0^s.00$	$12^s.58$	1756.7	$-\ 7°\ 7'51''.8$	1	$0''.0$	$51''.8$	I II $12^s.34\ \ 11^s.69\cdot +1^s\ 56''.4$
Zach 1552	93:	12.47		+ 21	12.68						51 12.05 —
Lal. H.C.	95.9	12.85	1	+ 16	13.01	95.9	48.4	1	−3.5	51.9	84 40 55.1
Pi. $22^h.178$	1800:	12.93	7	+ 16	13.09	1800:	51.4	7	−3.5	54.9	93 50 58.0
Tayl. 10489	35:	12.98	3	− 4	12.94	35:	53.9	4	−1.7	55.6	85 59· 57.4
Münch. I. 31374	44.8	13.12	1	− 9:	13.03	44.8	55.4	1	−3.0	58.4	95 75 59.8
Cambr. Obs.	49.8	12.60	1	+ 10	12.70						63 46 —
Rümk. 10476	50	12.58	1	+ 5	12.63	50	53.4	1	0	53.4	56 39 54.7
Cap (1850) 4540	51.7	12.69	2	+ 6	12.75	50.7	55.2	1	−0.5	55.7	69 52 56.9
Berlin (Kam 4574)	62	12.69		− 3	12.66	62	57.8		−1	58.8	62 50 59.6
Berlin (Ro.)	65	12.64	4	− 3	12.61	65	56.4	4	−1	57.4	57 45 58.1
Quet. 10156	71.4	12.50	3	+ 6	12.56	69.1	56.3	3	−0.5	56.8	54 47 57.4
Glasg. 5903	76.4	12.48	7	+ 12	12.60	69.4	55.6	3	−1.1	56.7	58 54 57.3
Cord. 30887	80.8	12.51	2	+ 3	12.54	80.8	58.6	2	−0.9	59.5	53 51 59.6
Gotha	85.8	12.59	6	0	12.59	85.8	57.2	5	0.0	57.2	59 60 57.2
						$107^a.4$	$-0''.036$			$-3''.8$	

Vergleicht man, wie sonst für die auf 1 Beob. M beruhenden AR, das Mittel $^1/_3$ (M Z Pi) mit Go, so ergibt sich aus vorstehenden Werthen die Aenderung in $102^a.4 = -0^s.19$, jährl. $-0^s.0019$. Damit bleiben aber für Piazzi und Taylor übereinstimmende auffallend grosse Fehler übrig. Diese beiden Cataloge würden verglichen mit Go die Aenderung in $68^a = -0^s.42$· oder eine jährliche EB. $-0^s.0062$ geben, für M und Z aber die Correctionen $+0^s.81$ und $+0^s.44$. Nimmt man für M eine Correction $+1^s$ an und schliesst Z als verfehlt aus, so erhält man: M Pi vgl. Go $107^a.5 - 0^s.74$·, jährl. EB. $-0^s.0069$. Mit diesem Werth ist die zweite Zusammenstellung für 1885.0 gemacht.

Mayer 993	1756.9	$23^h17^m48^s.18$	1	$0^s.00$	$48^s.18$	1756.9	$-\ 9°\ 5'26''.7$	1	$0''.0$	$26''.7$	$47^s.69\ \ 27''.7$
Zach 1601	93:	48.01		+ 21	48.22						87 —
Pi. $23^h.69$	1800:	48.15	7	+ 16	48.31	1800:	21.1	8	−3.2	24.3	99 25.0
Str. P.M. 2817	26.6	47.96	8	+ 1	47.97	26.6	24.5	8	−0.8	25.3	75 25.7
Tayl. 10744	35:	48.01	3	− 5	47.96	35:	24.9	4	−1.7	26.6	77 27.0
Sant. II. $-10°.490$	44.9	47.96	2	+ 6	48.02	44.9	25.9	2	+0.9	25.0	87 25.3
Cambr. Obs.	45.7	47.95	3	+ 9	48.04	49.4	25.0	5	−1	26.0	89 26.3
Rümk. 11105	49	47.94	1	+ 5	47.99						85 —
Cap (1850) 4686	51.6	47.96	2	+ 6	48.02	50.7	25.2	1	−0.6	25.8	89 26.1
II. Radcl. 2323	61.8	47.82	1	+ 1	47.83	61.8	26.8	3	+0.6	26.2	74 26.4
Yarn. 10603	61.9	47.93	2	+ 2	47.95	65.9	24.0	2	−0.7	24.7	86 24.9
Quet. 10493	67.3	47.79	4	+ 8	47.87	66.3	26.9	2	−0.5	27.4	80 27.5
Cord. 31700	78.9	47.86	3	+ 3	47.89	78.9	23.8	2	−1.1	24.9	87 24.9
Gotha	85.8	47.85	6	0	47.85	86.1	27.0	5	0.0	27.0	85 27.0
	$100^a.2$	$-0^s.0038$			$-0^s.38$	$105^a.2$	$-0''.008$			$-0''.8$	

Der folgende eines (vielleicht nur optischen Doppelsterns ΣΣ 300S, 7^m und 8^m). Mayer merkt zwar keine Duplicität an, da aber der — 1758 weit entfernte, etwa $0^s.8$ 6″ N. vorangehende — Begleiter in seinem Instrument kaum sichtbar gewesen sein wird, ist nicht zu bezweifeln, dass auch seine Beobachtung sich auf den Hauptstern bezieht. Glasg. 6167 ($47^s.59$ 27″.5 red., Ep. $18^{69.8}_{73.8}$) gilt wohl für die Mitte; für den Hauptstern würde daraus für Ep. 1885.0 $47^s.70$ 26″.9 abzuleiten sein.

Mayer 1013	1756.8	$23^h42^m56^s.25$·	2	0.00	56.25·	1756.8	$+\ 1°34'36''.3$	2	$0''.0$	$36''.3$	$56^s.09\ \ 33''.1$
Zach 1663	93:	56.16		+ 22	56.38						26 —
Pi. $23^h.193$	1800:	56.17	11	+ 18	56.35	1800:	41.2	11	−3.2·	37.9	24 36.0
Tayl. 10891	35:	56.27	2	− 4·	56.22	35:	37.4	3	−1.8	35.6	16 34.5
Rümk. 11608	48	56.19	1	+ 5	56.24	48	44.7	1	0	44.7	19 43.9
Münch. I. 32786	49.1	56.17	3	+ 8	56.25	49.1	34.7	3	−1.2	33.5	20 32.7
Schjell. 9845	61.9	56.05	2	+ 9	56.14	61.9	36.5	2	0.0	36.5	11 36.0
Glasg. 6315	69.8	56.15	4	+ 7	56.22	67.8	35.8·	2	−0.4	35.4	20 35.0
Quet. 10659	69.8	56.07	2	+ 4	56.11	68.1	35.7	3	−0.3	35.4	09 35.0
Grw. 9y. 2229	75.7	56.07	3	+ 4	56.11	75.7	35.9	3	−1.4	34.5	10 34.3
A.G. Albany	79.5	56.22	3	0	56.22	79.5	35.2	3	0.0	35.2	21 35.1
Grw. 10y. 3999	83.7	56.14	2	+ 3	56.17	83.7	34.2	2	+0.1	34.3	17 34.3
Gotha	85.9	56.13	3	0	56.13	86.3	34.8	4	0.0	34.8	13 34.8
II. Glasg. 2121	91.8	56.24	3	+ 6	56.30	91.8	34.9	3	+0.1	35.0	31 35.1
	$103^a.8$	$-0^s.0013$			$-0^s.13$	$108^a.8$	$-0''.022$			$-2''.4$	

Autor.	Rectascension					Declination					red. Ort für Ep. 1885.0	
	Ep.	Cat.-Angabe für 1885	B.	Red.	red. α	Ep.	Cat.-Angabe für 1885	B.	Red.	red. δ		
Mayer 1023	1757.8	$23^h56^m\ 8^s.58$	1	$0^s.00$	$8^s.58$	1757.8	$-\ 3°24'28''.3$	1	0″.0	28″.3	$8^s.94$	28″.3
Brdl. 3199	54.9	8.59	1	0	8.59						95	—
Zach 1678	93:	8.69		+ 22	8.91						9.17	—
Pi. $23^h.258$	1800:	8.55	9	+ 17	8.72	1800:	20.4	9	−3.1	23.6	8.96	23.6
Tayl. 10981	35:	8.62	3	− 5	8.57	35:	22.4	4	−1.8	24.2	71	24.2
Rümk. 11892	46	8.88	2	+ 5	8.93	46	23.3	2	0	23.3	9.04	23.3
Rob. 5314	49.6	8.72	6	+ 7	8.79	52.2	21.7	3	−1.4	23.1	8.89	23.1
Cap (1850) 4795	51.8	8.87	2	+ 6	8.93	50.5	21.3	1	−0.7	22.0	9.02	22.0
Leiden (Kam 4860)	63.7	8.80	2	− 3	8.77	63.7	21.2	2	0	21.2	8.83	21.2
Berlin (Ro.)	65	8.84		− 3	8.81	65	23.1		0	23.1	87	23.1
Pulk. 3529	65.4	8.78	4	+ 3	8.81	65.4	23.4	4	0.0	23.4	86	23.4
Yarn. 10913	64.9	8.85	2	+ 1	8.86	68.3	23.0	2	−0.7	23.7	92	23.7
Grw. N.7y. 2753	66.9	8.77	3	+ 5	8.82	66.9	23.8	3	−0.5	24.3	87	24.3
Glasg. 6390	70.9	8.80	2	+ 9	8.89	73.2	23.3	3	−0.8	24.1	93	24.1
Leipzig (Eng.)	74.0	8.87	2	0	8.87	74.0	23.4	2	0	23.4	90	23.4
Stone 12411	78.9	9.03	2	+ 4	9.07	78.9	23.5	2	0.0	23.5	9.09	23.5
Cord. 32385	79.3	8.85	4	+ 2	8.87	79.3	23.1	4	−1.0	24.1	8.89	24.1
	$123^a.3$	$+0^s.0028$			$+0^s.35$	62^a	0″.000			0″.0		

Die Mayer'sche Declination ist 4″ zu südlich, PT als alte Epoche verglichen.

Bessel'sche Constanten
zur Reduction auf scheinbaren Ort
für die nicht bei Bradley vorkommenden Mayer'schen Sterne
für 1755.

Nr.	log a	log b	log c	log d	log a'	log b'	log c'	log d'
4	0.4872	6.7499	8.8238	7.0800	1.3024	8.2561n	9.6375	7.9260
5	0.4872	6.5886	8.8238	7.1852	1.3023	8.3613n	9.6376	7.7647
7	0.4865	7.6180n	8.8241	7.5435	1.3018	8.7188n	9.6402	8.7933n
10	0.4874	7.2263	8.8231	7.6338	1.3015	8.8098n	9.6360	8.4023
14	0.4865	7.3579n	8.8224	7.7843	1.3006	8.9601n	9.6405	8.5337n
20	0.4848	7.8198n	8.8227	7.9160	1.2991	9.0900n	9.6477	8.9937n
21	0.4848	7.7791n	8.8218	7.9490	1.2986	9.1233n	9.6478	8.9534n
22	0.4866	7.0962n	8.8196	7.9756	1.2980	9.1516n	9.6403	8.2722n
24	0.4892	7.6652	8.8198	8.0137	1.2972	9.1887n	9.6256	8.8402
29	0.4887	7.4985	8.8175	8.0719	1.2955	9.2475n	9.6286	8.6741
30	0.4905	7.8012	8.8183	8.0933	1.2949	9.2674n	9.6174	8.9753
31	0.4950	8.1660	8.8267	8.1086	1.2946	9.2741n	9.5828	9.3315
33	0.4952	8.1565	8.8257	8.1250	1.2940	9.2909n	9.5824	9.3224
37	0.4911	7.7913	8.8150	8.1703	1.2915	9.3444n	9.6142	8.9654
40	0.4940	7.9907	8.8159	8.2094	1.2895	9.3806n	9.5949	9.1618
42	0.4939	7.9703	8.8143	8.2275	1.2883	9.3991n	9.5953	9.1419
43	0.4946	8.0084	8.8149	8.2328	1.2880	9.4035n	9.5903	9.1791
48	0.4890	7.3483	8.8055	8.2822	1.2837	9.4580n	9.6273	8.5241
50	0.4876	6.6984	8.8033	8.3020	1.2818	9.4781n	9.6353	7.8745
51	0.4906	7.5835	8.8041	8.3032	1.2818	9.4785n	9.6184	8.7588
52	0.4932	7.8333	8.8057	8.3057	1.2817	9.4793n	9.6016	9.0069
55	0.5041	8.2518	8.8168	8.3492	1.2786	9.5086n	9.5185	9.4112
58	0.4978	8.0267	8.8038	8.3578	1.2762	9.5278n	9.5704	9.1967
59	0.4950	7.8826	8.7998	8.3636	1.2751	9.5365n	9.5904	9.0555
60	0.4952	7.8856	8.7987	8.3719	1.2740	9.5447n	9.5890	9.0584
63	0.4964	7.9117	8.7950	8.3999	1.2698	9.5723n	9.5817	9.0841
64	0.4968	7.9292	8.7948	8.4041	1.2692	9.5761n	9.5784	9.1013
68	0.4998	8.0151	8.7922	8.4316	1.2647	9.6016n	9.5580	9.1851
74	0.5034	8.0681	8.7836	8.4829	1.2539	9.6508n	9.5314	9.2360
79	0.5137	8.2488	8.7866	8.5228	1.2459	9.6798n	9.4423	9.4058
81	0.5201	8.3302	8.7916	8.5427	1.2425	9.6912n	9.3760	9.4786
86	0.4774	7.7353n	8.7550	8.5483	1.2316	9.7224n	9.6837	8.9094n
105	0.5320	8.2388	8.7086	8.6909	1.1606	9.8405n	9.2397	9.3884
106	0.5288	8.2042	8.7043	8.6879	1.1599	9.8411n	9.2846	9.3575
115	0.5128	7.9118	8.6498	8.7079	1.1210	9.8766n	9.4612	9.0805
116	0.5260	8.0956	8.6579	8.7185	1.1195	9.8777n	9.3240	9.2548
120	0.5294	8.1172	8.6508	8.7280	1.1099	9.8847n	9.2805	9.2739
121	0.5239	8.0384	8.6369	8.7288	1.1011	9.8906n	9.3506	9.2002
134	0.5492	8.2369	8.6342	8.7682	1.0747	9.9063n	8.8748	9.3750
136	0.5309	8.0586	8.6031	8.7546	1.0632	9.9123n	9.2624	9.2163
137	0.5454	8.1766	8.6078	8.7726	1.0544	9.9166n	8.9891	9.3207
145	0.5243	7.8800	8.5211	8.7774	0.9880	9.9418n	9.3481	9.0444
164	0.5429	8.0096	8.4908	8.8027	0.9444	9.9537n	9.0530	9.1606
168	0.5323	7.9085	8.4789	8.7946	0.9412	9.9544n	9.2457	9.0683
171	0.5437	7.9896	8.4693	8.8076	0.9227	9.9585n	9.0355	9.1405
177	0.5415	7.9161	8.4200	8.8136	0.8760	9.9672n	9.0851	9.0698
178	0.5207	7.6937	8.4038	8.7998	0.8740	9.9675n	9.3892	8.8614
179	0.5417	7.9051	8.4088	8.8154	0.8646	9.9690n	9.0799	9.0587
182	0.5371	7.8327	8.3768	8.8153	0.8369	9.9729n	9.1693	8.9903
183	0.5447	7.8934	8.3793	8.8218	0.8334	9.9734n	9.0135	9.0450
184	0.5353	7.8100	8.3705	8.8146	0.8319	9.9736n	9.2003	8.9690
185	0.5232	7.6774	8.3619	8.8071	0.8309	9.9737n	9.3621	8.8440
186	0.5360	7.8145	8.3689	8.8154	0.8299	9.9739n	9.1882	8.9730
190	0.5301	7.7319	8.3437	8.8137	0.8089	9.9764n	9.2775	8.8946
193	0.6207	8.2644	8.4469	8.9237	0.8030	9.9771n	9.4710n	9.3178
196	0.5511	7.8855	8.3328	8.8328	0.7818	9.9793n	8.8143	9.0320
198	0.5467	7.8431	8.3207	8.8295	0.7738	9.9801n	8.9608	8.9937
208	0.5489	7.7595	8.2286	8.8378	0.6803	9.9873n	8.8956	8.9090
209	0.5743	7.9149	8.2478	8.8644	0.6736	9.9877n	8.8263n	9.0382
210	0.5472	7.7374	8.2182	8.8368	0.6716	9.9878n	8.9466	8.8884

Nr.	log *a*	log *b*	log *c*	log *d*	log *a'*	log *b'*	log *c'*	log *d'*
211	0.5480	7.7379	8.2136	8.8377	0.6668	9.9881*n*	8.9237	8.8882
219	0.5510	7.6405	8.1006	8.8448	0.5517	9.9931*n*	8.8198	8.7888
228	0.5460	7.4541	7.9511	8.8436	0.4064	9.9965*n*	8.9811	8.6070
230	0.5512	7.4686	7.9311	8.8482	0.3821	9.9968*n*	8.8151	8.6172
231	0.5655	7.5551	7.9363	8.8621	0.3742	9.9970*n*	8.2533*n*	8.6900
233	0.5172	7.1067	7.8932	8.8269	0.3658	9.9971*n*	9.4248	8.2769
234	0.5531	7.4600	7.9103	8.8503	0.3602	9.9972*n*	8.7297	8.6069
250	0.5598	6.9333	7.3467	8.8587	9.7902	9.9998*n*	8.1682	8.0744
251	0.5582	6.7905	7.2131	8.8572	9.6599	9.9999*n*	8.3849	7.9331
264	0.5550	6.8723*n*	7.3137*n*	8.8542	9.7608*n*	9.9998*n*	8.6332	8.0179*n*
265	0.5552	6.8825*n*	7.3226*n*	8.8544	9.7691*n*	9.9998*n*	8.6206	8.0279*n*
266	0.5636	6.9459*n*	7.3392*n*	8.8625	9.7794*n*	9.9998*n*	7.8477*n*	8.0833*n*
274	0.5392	7.2491*n*	7.7992*n*	8.8401	0.2592*n*	9.9982*n*	9.1334	8.4072*n*
276	0.5502	7.4290*n*	7.8977*n*	8.8478	0.3488*n*	9.9973*n*	8.8490	8.5785*n*
277	0.5398	7.3721*n*	7.9162*n*	8.8393	0.3762*n*	9.9969*n*	9.1219	8.5297*n*
286	0.5438	7.5972*n*	8.1064*n*	8.8385	0.5633*n*	9.9927*n*	9.0354	8.7514*n*
287	0.5443	7.6162*n*	8.1216*n*	8.8383	0.5775*n*	9.9921*n*	9.0242	8.7700*n*
290	0.5619	7.7652*n*	8.1601*n*	8.8536	0.6002*n*	9.9913*n*	7.4240	8.9028*n*
295	0.5435	7.6909*n*	8.1985*n*	8.8346	0.6548*n*	9.9887*n*	9.0412	8.8449*n*
301	0.5717	7.9590*n*	8.3004*n*	8.8584	0.7284*n*	9.9840*n*	8.7212*n*	9.0846*n*
302	0.5382	7.7283*n*	8.2737*n*	8.8258	0.7339*n*	9.9835*n*	9.1522	8.8860*n*
307	0.5444	7.8248*n*	8.3184*n*	8.8276	0.7734*n*	9.9801*n*	9.0198	8.9773*n*
310	0.5543	7.9222*n*	8.3486*n*	8.8347	0.7943*n*	9.9780*n*	8.6670	9.0655*n*
318	0.5455	7.9222*n*	8.3998*n*	8.8201	0.8529*n*	9.9707*n*	8.9920	9.0728*n*
319	0.5623	8.0417*n*	8.4176*n*	8.8368	0.8537*n*	9.9706*n*	6.8028	9.1755*n*
320	0.5617	8.0439*n*	8.4220*n*	8.8356	0.8586*n*	9.9699*n*	7.5710	9.1782*n*
325	0.5556	8.0277*n*	8.4367*n*	8.8263	0.8795*n*	9.9666*n*	8.5885	9.1680*n*
330	0.5455	7.9997*n*	8.4670*n*	8.8100	0.9188*n*	9.9593*n*	8.9902	9.1490*n*
336	0.5274	7.8977*n*	8.5084*n*	8.7834	0.9735*n*	9.9461*n*	9.3107	9.0603*n*
340	0.5370	8.0139*n*	8.5306*n*	8.7868	0.9880*n*	9.9418*n*	9.1687	9.1689*n*
341	0.5167	7.5852*n*	8.5232*n*	8.7711	0.9944*n*	9.9398*n*	9.4277	8.9539*n*
343	0.5386	8.0378*n*	8.5394*n*	8.7862	0.9952*n*	9.9396*n*	9.1398	9.1912*n*
345	0.5385	8.0451*n*	8.5461*n*	8.7841	1.0018*n*	9.9374*n*	9.1425	9.1985*n*
347	0.5137	7.7648*n*	8.5427*n*	8.7628	1.0150*n*	9.9328*n*	9.4553	8.9348*n*
356	0.5607	8.2757*n*	8.6188*n*	8.7937	1.0474*n*	9.9198*n*	7.9874	9.4017*n*
357	0.5553	8.2401*n*	8.6120*n*	8.7869	1.0474*n*	9.9198*n*	7.6022	9.3730*n*
360	0.5400	8.1322*n*	8.6024*n*	8.7669	1.0544*n*	9.9165*n*	9.1109	9.2819*n*
363	0.5244	7.9823*n*	8.5961*n*	8.7503	1.0614*n*	9.9132*n*	9.3463	9.1452*n*
365	0.5415	8.1618*n*	8.6155*n*	8.7638	1.0654*n*	9.9112*n*	9.0782	9.3093*n*
366	0.5295	8.0505*n*	8.6062*n*	8.7516	1.0673*n*	9.9102*n*	9.2807	9.2091*n*
367	0.5399	8.1558*n*	8.6197*n*	8.7595	1.0709*n*	9.9083*n*	9.1123	9.3046*n*
371	0.5403	8.1676*n*	8.6257*n*	8.7576	1.0762*n*	9.9056*n*	9.1029	9.3157*n*
385	0.5210	7.9988*n*	8.6327*n*	8.7277	1.0994*n*	9.8918*n*	9.3825	9.1629*n*
386	0.5347	8.1590*n*	8.6486*n*	8.7374	1.1031*n*	9.8894*n*	9.2033	9.3110*n*
387	0.5368	8.1792*n*	8.6508*n*	8.7396	1.1031*n*	9.8894*n*	9.1674	9.3291*n*
389	0.5327	8.1495*n*	8.6530*n*	8.7317	1.1090*n*	9.8853*n*	9.2340	9.3031*n*
390	0.5392	8.2132*n*	8.6612*n*	8.7379	1.1102*n*	9.8845*n*	9.1222	9.3598*n*
391	0.5330	8.1553*n*	8.6472*n*	8.7311	1.1105*n*	9.8843*n*	9.2290	9.3085*n*
392	0.5251	8.0699*n*	8.6480*n*	8.7236	1.1107*n*	9.8840*n*	9.3355	9.2303*n*
393	0.5246	8.0674*n*	8.6492*n*	8.7223	1.1124*n*	9.8830*n*	9.3404	9.2281*n*
394	0.5320	8.1510*n*	8.6576*n*	8.7279	1.1140*n*	9.8818*n*	9.2438	9.3050*n*
395	0.5243	8.0675*n*	8.6517*n*	8.7203	1.1151*n*	9.8811*n*	9.3445	9.2283*n*
397	0.5315	8.1529*n*	8.6613*n*	8.7248	1.1179*n*	9.8789*n*	9.2509	9.3070*n*
401	0.5337	8.1824*n*	8.6682*n*	8.7240	1.1222*n*	9.8755*n*	9.2175	9.3340*n*
402	0.5211	8.0423*n*	8.6581*n*	8.7116	1.1236*n*	9.8746*n*	9.3800	9.2053*n*
404	0.5152	7.9762*n*	8.6655*n*	8.6986	1.1347*n*	9.8654*n*	9.4393	9.1430*n*
408	0.5164	8.0140*n*	8.6770*n*	8.6905	1.1451*n*	9.8561*n*	9.4279	9.1796*n*
411	0.5153	8.0281*n*	8.6923*n*	8.6751	1.1604*n*	9.8406*n*	9.4374	9.1937*n*
412	0.5499	8.3946*n*	8.7336*n*	8.7151	1.1610*n*	9.8400*n*	8.8388	9.5195*n*
413	0.5113	7.9663*n*	8.6929*n*	8.6689	1.1636*n*	9.8372*n*	9.4735	9.1346*n*

Nr.	log a	log b	log c	log d	log a'	log b'	log c'	log d'
414	0.5322	8.2497n	8.7132n	8.6874	1.1644n	9.8362n	9.2352	9.3985n
417	0.5063	7.8795n	8.6973n	8.6579	1.1708n	9.8289n	9.5139	9.0505n
423	0.5156	8.0989n	8.7233n	8.6408	1.1893n	9.8043n	9.4322	9.2624n
426	0.5164	8.1268n	8.7312n	8.6321	1.1959n	9.7943n	9.4243	9.2891n
431	0.5298	8.3292n	8.7610n	8.6305	1.2075n	9.7746n	9.2629	9.4733n
436	0.5043	7.9490n	8.7444n	8.5850	1.2173n	9.7555n	9.5282	9.1195n
441	0.5065	8.0418n	8.7586n	8.5608	1.2291n	9.7288n	9.5098	9.2098n
442	0.5095	8.1075n	8.7620n	8.5620	1.2296n	9.7272n	9.4846	9.2727n
443	0.5030	7.9603n	8.7581n	8.5533	1.2310n	9.7238n	9.5370	9.1308n
444	0.5166	8.2362n	8.7719n	8.5663	1.2313n	9.7232n	9.4173	9.3931n
448	0.5052	8.0374n	8.7653n	8.5418	1.2361n	9.7102n	9.5193	9.2058n
450	0.5242	8.3772n	8.7965n	8.5536	1.2410n	9.6957n	9.3274	9.5193n
451	0.5155	8.2574n	8.7829n	8.5391	1.2413n	9.6950n	9.4260	9.4133n
452	0.5178	8.3002n	8.7887n	8.5375	1.2431n	9.6894n	9.4012	9.4521n
454	0.5089	8.1585n	8.7799n	8.5177	1.2456n	9.6810n	9.4870	9.3218n
458	0.5026	8.0256n	8.7781n	8.4976	1.2497n	9.6668n	9.5382	9.1948n
459	0.5049	8.0937n	8.7824n	8.4927	1.2516n	9.6595n	9.5205	9.2605n
460	0.5020	8.0212n	8.7808n	8.4864	1.2526n	9.6558n	9.5426	9.1906n
462	0.5097	8.2247n	8.7956n	8.4833	1.2558n	9.6431n	9.4773	9.3846n
463	0.5035	8.0823n	8.7863n	8.4736	1.2563n	9.6411n	9.5304	9.2497n
468	0.5121	8.3108n	8.8083n	8.4538	1.2636n	9.6068n	9.4519	9.4637n
470	0.5003	8.0385n	8.7938n	8.4276	1.2655n	9.5969n	9.5539	9.2078n
472	0.4979	7.9814n	8.7967n	8.3991	1.2702n	9.5701n	9.5709	9.1524n
477	0.4950	7.8968n	8.8017n	8.3504	1.2768n	9.5231n	9.5903	9.0695n
480	0.4920	7.7417n	8.8057n	8.2956	1.2826n	9.4701n	9.6097	8.9161n
483	0.5057	8.4040n	8.8405n	8.2624	1.2878n	9.4073n	9.4922	9.5488n
493	0.4927	8.0134n	8.8215n	8.1000	1.2947n	9.2708n	9.6020	9.1842n
495	0.4842	7.7691	8.8188n	8.0703	1.2956n	9.2447n	9.6514	8.9435
496	0.4834	7.8729	8.8202n	8.0628	1.2959n	9.2361n	9.6541	9.0463
499	0.4898	7.8490n	8.8226n	7.9478	1.2986n	9.1214n	9.6209	9.0226n
506	0.4877	7.4570n	8.8231n	7.6976	1.3012n	8.8733n	9.6341	8.6327n
508	0.4875	7.3440n	8.8234n	7.5929	1.3017n	8.7688n	9.6356	8.5199n
511	0.4871	6.6673	8.8234n	7.5230	1.3019n	8.6991n	9.6380	7.8434
512	0.4880	7.9086n	8.8268n	7.4080	1.3021n	8.5809n	9.6299	9.0815n
514	0.4870	7.3121	8.8239n	7.2790	1.3022n	8.4549n	9.6384	8.4888
515	0.4873	7.3633n	8.8241n	7.1204	1.3023n	8.2962n	9.6367	8.5391n
518	0.4872	7.7068	8.8252n	6.7039n	1.3024n	7.8787	9.6358	8.8816
523	0.4877	7.6236	8.8243n	7.4925n	1.3020n	8.6677	9.6339	8.7994
524	0.4887	8.0287	8.8288n	7.5385n	1.3019n	8.7091	9.6239	9.1993
525	0.4879	7.5771	8.8236n	7.6497n	1.3015n	8.5251	9.6332	8.7525
526	0.4858	7.8259n	8.8251n	7.6642n	1.3014n	8.8381	9.6423	8.9998n
527	0.4902	8.1513	8.8322n	7.7151n	1.3012n	8.8816	9.6116	9.3178
528	0.4878	7.4961	8.8230n	7.7254n	1.3010n	8.9010	9.6334	8.6717
529	0.4882	7.6331	8.8232n	7.7444n	1.3009n	8.9196	9.6314	8.8083
531	0.4872	5.7628	8.8219n	7.8028n	1.3004n	8.9789	9.6376	6.9389
534	0.4890	7.7405	8.8224n	7.8934n	1.2994n	9.0680	9.6264	8.9151
537	0.4896	7.7564	8.8204n	8.0069n	1.2974n	9.1814	9.6229	8.9308
538	0.4905	7.8611	8.8207n	8.0380n	1.2966n	9.2115	9.6167	9.0345
539	0.4921	8.0174	8.8231n	8.0544n	1.2962n	9.2251	9.6048	9.1881
549	0.4847	7.4923n	8.8086n	8.2476n	1.2866n	9.4232	9.6498	8.6679n
553	0.4982	8.1038	8.8123n	8.3057n	1.2823n	9.4733	9.5654	9.2714
558	0.4872	5.9618	8.7991n	8.3406n	1.2776n	9.5167	9.6372	7.1379
565	0.4926	7.6597	8.7898n	8.4134n	1.2671n	9.5883	9.6067	8.8346
566	0.5038	8.1504	8.7994n	8.4255n	1.2667n	9.5904	9.5260	9.3153
572	0.4974	7.8606	8.7778n	8.4812n	1.2531n	9.6541	9.5757	9.0335
573	0.4995	7.9219	8.7747n	8.4976n	1.2490n	9.6695	9.5616	9.0936
577	0.5107	8.1960	8.7830n	8.5174n	1.2464n	9.6784	9.4712	9.3570
578	0.5115	8.1962	8.7794n	8.5300n	1.2427n	9.6908	9.4640	9.3570
584	0.4968	7.7449	8.7555n	8.5474n	1.2320n	9.7214	9.5806	8.9189
585	0.4988	7.8159	8.7532n	8.5562n	1.2288n	9.7294	9.5674	8.9890

Nr.	log a	log b	log c	log d	log a'	log b'	log c'	log d'
588	0.5089	8.0835	8.7574n	8.5702n	1.2259n	9.7363	9.4898	9.2496
589	0.5093	8.0810	8.7543n	8.5773n	1.2229n	9.7434	9.4869	9.2471
590	0.5033	7.9372	8.7484n	8.5752n	1.2217n	9.7461	9.5353	9.1080
591	0.5239	8.2813	8.7610n	8.6107n	1.2143n	9.7616	9.3392	9.4322
592	0.5087	8.0306	8.7403n	8.6015n	1.2104n	9.7692	9.4931	9.1982
593	0.5055	7.9522	8.7353n	8.6040n	1.2078n	9.7741	9.5189	9.1223
594	0.5092	8.0205	8.7334n	8.6137n	1.2037n	9.7815	9.4897	9.1883
596	0.5279	8.2837	8.7472n	8.6414n	1.1985n	9.7902	9.2913	9.4325
597	0.5285	8.2862	8.7463n	8.6443n	1.1970n	9.7926	9.2838	9.4345
611	0.5373	8.2638	8.7003n	8.7088n	1.1476n	9.8537	9.1546	9.4086
613	0.5066	7.8218	8.6658n	8.6893n	1.1398n	9.8609	9.5128	8.9934
616	0.5146	7.9598	8.6614n	8.7011n	1.1312n	9.8684	9.4451	9.1271
621	0.5348	8.1815	8.6623n	8.7295n	1.1157n	9.8805	9.2007	9.3325
622	0.5337	8.1675	8.6589n	8.7297n	1.1137n	9.8820	9.2180	9.3198
627	0.5518	8.3029	8.6697n	8.7570n	1.1040n	9.8888	8.7739	9.4347
628	0.5215	8.0090	8.6344n	8.7275n	1.1004n	9.8911	9.3766	9.1725
630	0.5217	8.0071	8.6332n	8.7282n	1.0993n	9.8918	9.3757	9.1707
633	0.5260	8.0447	8.6261n	8.7375n	1.0892n	9.8981	9.3255	9.2053
646	0.5560	8.2299	8.6016n	8.7915n	1.0368n	9.9243	8.5566	9.3628
649	0.5394	8.0901	8.5749n	8.7761n	1.0290n	9.9276	9.1240	9.2416
654	0.5393	8.0616	8.5538n	8.7828n	1.0086n	9.9351	9.1263	9.2139
656	0.5571	8.1881	8.5648n	8.8036n	1.0011n	9.9376	8.4803	9.3220
657	0.5671	8.2376	8.5662n	8.8189n	0.9909n	9.9410	8.4188n	9.3597
660	0.5716	8.2362	8.5493n	8.8298n	0.9693n	9.9473	8.7100n	9.3537
665	0.5631	8.1521	8.5105n	8.8242n	0.9428n	9.9540	7.5770n	9.2819
669	0.5391	7.9358	8.4529n	8.8060n	0.9105n	9.9610	9.1327	9.0908
671	0.5458	7.9824	8.4504n	8.8132n	0.9024n	9.9626	8.9823	9.1318
672	0.5390	7.9201	8.4403n	8.8079n	0.8982n	9.9633	9.1356	9.0754
675	0.5714	8.1343	8.4622n	8.8435n	0.8865n	9.9654	8.7055n	9.2562
678	0.5354	7.8343	8.3913n	8.8121n	0.8525n	9.9708	9.1982	8.9930
679	0.5473	7.9238	8.3901n	8.8232n	0.8417n	9.9723	8.9415	9.0729
680	0.5892	8.1613	8.4270n	8.8735n	0.8298n	9.9739	9.1644n	9.2618
682	0.5450	7.8838	8.3682n	8.8234n	0.8222n	9.9748	9.0039	9.0352
688	0.5487	7.8646	8.3278n	8.8309n	0.7789n	9.9796	8.8989	9.0133
690	0.5680	7.9826	8.3384n	8.8512n	0.7700n	9.9804	8.4984n	9.1118
691	0.5401	7.7693	8.2968n	8.8257n	0.7597n	9.9818	9.1139	8.9254
701	0.5534	7.7470	8.1891n	8.8439n	0.6371n	9.9896	8.7162	8.8927
707	0.5416	7.5704	8.0971n	8.8369n	0.5554n	9.9929	9.0864	8.7264
709	0.5358	7.4630	8.0389n	8.8343n	0.5019n	9.9945	9.1942	8.6233
713	0.5360	7.3999	7.9752n	8.8357n	0.4375n	9.9959	9.1909	8.5600
716	0.5732	7.5963	7.9414n	8.8704n	0.3702n	9.9970	8.7868n	8.7228
717	0.5599	7.4623	7.8736n	8.8569n	0.3166n	9.9977	8.1606	8.6030
718	0.4220	7.3441n	7.8584n	8.8429n	0.3155n	9.9977	9.8560	8.4989n
719	0.5477	7.3446	7.8312n	8.8463n	0.2861n	9.9980	8.9337	8.4963
720	0.5217	7.0568	7.7834n	8.8300n	0.2543n	9.9983	9.3794	8.2251
721	0.5232	7.0533	7.7624n	8.8307n	0.2319n	9.9984	9.3641	8.2210
722	0.5468	7.2600	7.7532n	8.8461n	0.2085n	9.9986	8.9591	8.4124
723	0.5570	7.3304	7.7590n	8.8550n	0.2060n	9.9986	8.4964	8.4740
724	0.5373	7.1629	7.7293n	8.8392n	0.1912n	9.9987	9.1684	8.3224
727	0.5519	7.1939	7.6536n	8.8508n	0.1053n	9.9991	8.7851	8.3422
728	0.5599	7.1978	7.6104n	8.8584n	0.0535n	9.9993	8.1551	8.3387
730	0.5597	7.1565	7.5704n	8.8583n	0.0139n	9.9994	8.1916	8.2977
734	0.5557	6.9307	7.3679n	8.8548n	9.8172n	9.9998	8.5901	8.0757
735	0.5792	7.0668	7.3888n	8.8796n	9.8130n	9.9998	8.9751n	8.1870
736	0.5872	6.9912	7.2827n	8.8895n	9.6981n	9.9999	9.1390n	8.1016
743	0.0843	7.3643	7.4551	9.0568n	9.6826	9.9999	0.0275	8.3074
747	0.5686	7.2940n	7.6619	8.8672n	0.0959	9.9992	8.5514n	8.4260n
748	0.5473	7.1953n	7.6859	8.8468n	0.1404	9.9990	8.9469	8.3474n
749	0.5478	7.2299n	7.7165	8.8471n	0.1709	9.9988	8.9308	8.3816n
750	0.5462	7.2213n	7.7187	8.8459n	0.1743	9.9988	8.9748	8.3742n

Nr.	log a	log b	log c	log d	log a'	log b'	log c'	log d'
751	0.5481	7.2599n	7.7447	8.8471n	0.1987	9.9987	8.9233	8.4115n
753	0.5461	7.2623n	7.7605	8.8455n	0.2161	9.9985	8.9791	8.4154n
757	0.5490	7.3315n	7.8095	8.8476n	0.2626	9.9982	8.8931	8.4822n
758	0.5488	7.3647n	7.8437	8.8471n	0.2972	9.9979	8.8995	8.5155n
761	0.5425	7.3336n	7.8575	8.8420n	0.3149	9.9977	9.0667	8.4893n
763	0.1376	7.9939	8.0977	9.0311n	0.3661	9.9971	0.0211	8.9599
764	0.1338	8.0257	8.1282	9.0329n	0.3942	9.9967	0.0212	8.9895
767	0.5500	7.5182n	7.9877	8.8464n	0.4398	9.9959	8.8593	8.6678n
778	0.5523	7.6789n	8.1302	8.8450n	0.5796	9.9921	8.7690	8.8260n
779	0.5595	7.7598n	8.1676	8.8508n	0.6100	9.9909	8.2241	8.8999n
781	0.5664	7.8086n	8.1803	8.8578n	0.6155	9.9906	8.3581n	8.9115n
785	0.5789	7.9200n	8.2346	8.8707n	0.6551	9.9887	8.9656n	9.0379n
786	0.5586	7.8029n	8.2137	8.8480n	0.6564	9.9886	8.3393	8.9435n
787	0.5655	7.8553n	8.2291	8.8549n	0.6647	9.9882	8.2561n	8.9886n
789	0.5499	7.7675n	8.2300	8.8386n	0.6811	9.9872	8.8624	8.9161n
790	0.5556	7.8281n	8.2539	8.8428n	0.6997	9.9860	8.5945	8.9713n
791	0.5335	7.6495n	8.2375	8.8248n	0.7009	9.9859	9.2290	8.8107n
792	0.5693	7.9171n	8.2709	8.8572n	0.7020	9.9859	8.5951n	9.0458n
794	0.5635	7.9011n	8.2823	8.8497n	0.7197	9.9846	7.8039n	9.0360n
795	0.5420	7.7469n	8.2628	8.8397n	0.7199	9.9846	9.0764	8.9018n
797	0.5465	7.8073n	8.2885	8.8319n	0.7417	9.9829	8.9652	8.9583n
798	0.5361	7.7264n	8.2878	8.8232n	0.7494	9.9823	8.1874	8.8855n
799	0.5575	7.9011n	8.3122	8.8421n	0.7554	9.9818	8.4489	9.0418n
806	0.5344	7.7589n	8.3315	8.8180n	0.7938	9.9780	9.2150	8.9189n
807	0.5344	7.7745n	8.3454	8.8167n	0.8076	9.9765	9.2142	8.9344n
808	0.5715	8.0454n	8.3814	8.8523n	0.8078	9.9765	8.7138n	9.1695n
809	0.5352	7.7870n	8.3511	8.8167n	0.8128	9.9760	9.2029	8.9463n
810	0.5533	7.9404n	8.3706	8.8316n	0.8169	9.9755	8.7175	9.0843n
811	0.5610	8.0129n	8.3974	8.8375n	0.8352	9.9731	7.8889	9.1485n
814	0.5454	7.9148n	8.3942	8.8207n	0.8474	9.9715	8.9959	9.0656n
815	0.5434	7.9034n	8.3963	8.8186n	0.8509	9.9710	9.0432	9.0558n
820	0.5347	7.8629n	8.4221	8.8070n	0.8833	9.9659	9.2102	9.0218n
823	0.5508	8.0187n	8.4540	8.8181n	0.9011	9.9628	8.8259	9.1634n
824	0.5292	7.8316n	8.4394	8.7997n	0.9043	9.9622	9.2893	8.9941n
826	0.5251	7.7897n	8.4409	8.7964n	0.9083	9.9614	9.3403	8.9517n
831	0.4672	7.5184	8.4635	8.7816n	0.9392	9.9548	9.7273	8.6917
837	0.5540	8.1189n	8.5224	8.8094n	0.9639	9.9487	8.6800	9.2581n
838	0.5330	7.9470n	8.5044	8.7895n	0.9656	9.9483	9.2336	9.1057n
839	0.5500	8.0963n	8.5230	8.8941n	0.9687	9.9474	8.8509	9.2396n
842	0.5423	8.0516n	8.5284	8.7933n	0.9812	9.9438	9.0654	9.2020n
843	0.5315	7.9542n	8.5214	8.7836n	0.9833	9.9432	9.2560	9.1138n
844	0.5175	7.7849n	8.5142	8.7743n	0.9850	9.9427	9.4201	8.9533n
845	0.5474	8.0973n	8.5374	8.7973n	0.9853	9.9427	8.9369	9.2427n
846	0.5437	8.0728n	8.5374	8.7927n	0.9887	9.9416	9.0331	9.2217n
856	0.5280	7.9819n	8.5684	8.7654n	1.0317	9.9264	9.3023	9.1429n
857	0.5276	7.9802n	8.5705	8.7641n	1.0342	9.9254	9.3083	9.1415n
858	0.5421	8.1227n	8.5844	8.7764n	1.0353	9.9248	9.0678	9.2712n
859	0.5210	7.9042n	8.5694	8.7583n	1.0375	9.9240	9.3846	9.0699n
863	0.5361	8.0859n	8.5909	8.7661n	1.0472	9.9199	9.1832	9.2397n
866	0.5565	8.2612n	8.6232	8.7850n	1.0563	9.9157	8.5216	9.3918n
867	0.5334	8.0752n	8.5991	8.7595n	1.0573	9.9152	9.2254	9.2309n
868	0.5155	7.8548n	8.5874	8.7462n	1.0583	9.9147	9.4386	9.0233n
869	0.5255	7.9980n	8.5981	8.7507n	1.0624	9.9127	9.3322	9.1599n
870	0.5328	8.0817n	8.6072	8.7552n	1.0655	9.9111	9.2341	9.2376n
871	0.5437	8.1821n	8.6197	8.7653n	1.0670	9.9103	9.0304	9.3272n
873	0.5341	8.1034n	8.6146	8.7537n	1.0714	9.9081	9.2138	9.2578n
874	0.5397	8.1596n	8.6235	8.7576n	1.0747	9.9063	9.1158	9.3084n
877	0.5312	8.0851n	8.6196	8.7475n	1.0787	9.9042	9.2575	9.2418n
881	0.5349	8.1563n	8.6455	8.7394n	1.0999	9.8914	9.1994	9.3083n
883	0.5222	8.0297n	8.6430	8.7230n	1.1082	9.8858	9.3689	9.1925n

Nr.	log a	log b	log c	log d	log a'	log b'	log c'	log d'
885	0.5181	7.9764n	8.6416	8.7191n	1.1097	9.8848	9.4119	9.1421n
887	0.5554	8.3481n	8.6879	8.7556n	1.1154	9.8807	8.5865	9.4733n
889	0.5286	8.1247n	8.6500	8.7211n	1.1192	9.8779	9.2905	9.2815n
894	0.5175	8.0012n	8.6613	8.7046n	1.1292	9.8701	9.4175	9.1667n
902	0.5229	8.1113n	8.6858	8.6929n	1.1483	9.8530	9.3591	9.2714n
903	0.5410	8.3054n	8.7099	8.7101n	1.1518	9.8496	9.0807	9.4448n
906	0.5356	8.2739n	8.7127	8.6955n	1.1603	9.8407	9.1821	9.4191n
907	0.5257	8.1740n	8.7035	8.6823n	1.1623	9.8386	9.3244	9.3303n
908	0.5362	8.2892n	8.7187	8.6919n	1.1649	9.8357	9.1710	9.4329n
910	0.5401	8.3359n	8.7302	8.6920n	1.1702	9.8296	9.0966	9.4734n
915	0.5142	8.0498n	8.7105	8.6538n	1.1784	9.8193	9.4466	9.2153n
916	0.5305	8.2678n	8.7296	8.6680n	1.1805	9.8165	9.2580	9.4163n
917	0.5197	8.1423n	8.7195	8.6540n	1.1822	9.8143	9.3911	9.3026n
918	0.5304	8.2725n	8.7322	8.6650n	1.1829	9.8133	9.2589	9.4208n
920	0.5234	8.2009n	8.7284	8.6517n	1.1869	9.8078	9.3501	9.3570n
928	0.5288	8.3003n	8.7516	8.6387n	1.2011	9.7858	9.2790	9.4474n
932	0.5137	8.1243n	8.7452	8.6049n	1.2110	9.7682	9.4490	9.2876n
933	0.5217	8.2438n	8.7546	8.6129n	1.2114	9.7673	9.3664	9.3982n
934	0.5249	8.2898n	8.7610	8.6140n	1.2132	9.7638	9.3274	9.4396n
936	0.5177	8.2083n	8.7575	8.5960n	1.2179	9.7541	9.4087	9.3664n
937	0.5224	8.2797n	8.7660	8.5980n	1.2200	9.7496	9.3561	9.4313n
938	0.5169	8.2086n	8.7609	8.5880n	1.2216	9.7463	9.4157	9.3670n
939	0.5283	8.3574n	8.7777	8.6024n	1.2223	9.7446	9.2801	9.4997n
940	0.5122	8.1348n	8.7567	8.5808n	1.2225	9.7442	9.4611	9.2982n
941	0.5212	8.2869n	8.7728	8.5826n	1.2269	9.7342	9.3679	9.4385n
953	0.4908	7.3991n	8.7741	8.4816n	1.2523	9.6573	9.6177	8.5748n
960	0.5009	8.0609n	8.7948	8.4268n	1.2658	9.5954	9.5490	9.2295n
961	0.4972	7.9241n	8.7914	8.4225n	1.2660	9.5946	9.5761	9.0961n
963	0.4992	8.0172n	8.7958	8.4119n	1.2682	9.5819	9.5618	9.1872n
964	0.4978	7.9634n	8.7946	8.4097n	1.2683	9.5810	9.5720	9.1348n
966	0.5005	8.0767n	8.7993	8.4032n	1.2699	9.5714	9.5512	9.2448n
969	0.4970	7.9753n	8.8004	8.3732n	1.2740	9.5444	9.5763	9.1465n
973	0.4976	8.0562n	8.8087	8.3235n	1.2803	9.4927	9.5709	9.2254n
984	0.4936	7.9144n	8.8113	8.2543n	1.2863	9.4269	9.5986	9.0869n
992	0.4879	7.0770n	8.8140	8.1507n	1.2924	9.3267	9.6337	8.2530n
993	0.4940	8.0513n	8.8203	8.1563n	1.2924	9.3261	9.5931	9.2210n
997	0.4908	7.8278n	8.8193	8.0983n	1.2947	9.2721	9.6157	9.0016n
1000	0.4903	7.7938n	8.8188	8.0775n	1.2954	9.2517	9.6186	8.9680n
1003	0.4918	8.0088n	8.8234	8.0368n	1.2967	9.2077	9.6067	9.1798n
1008	0.4848	7.8300	8.8229	7.9068n	1.2993	9.0807	9.6476	9.0038
1010	0.4920	8.1937n	8.8329	7.8782n	1.2998	9.0426	9.5992	9.3581n
1012	0.4898	7.9544n	8.8255	7.8483n	1.3000	9.0204	9.6193	9.1265n
1013	0.4868	6.9929	8.8216	7.8383n	1.3001	9.0144	9.6392	8.1690
1015	0.4908	8.1238n	8.8303	7.8218n	1.3003	8.9894	9.6091	9.2913n
1017	0.4875	7.1615n	8.8227	7.7122n	1.3011	8.8882	9.6359	8.3375n
1027	0.4873	7.6594n	8.8249	6.8797n	1.3024	8.0548	9.6359	8.8345n

Die in dieser Tafel aufgeführten Werthe log a und log a' entsprechen den im Catalog angegebenen, mit den neuen Oertern, und in einigen Fällen, wo diese noch erheblicher Berichtigungen bedürfen, mit den berichtigten Werthen berechneten Praecessionen. Die übrigen Constanten sind mit den auf 1′ abgerundeten Coordinaten des alten Mayer'schen Catalogs berechnet, und nur in denjenigen Fällen hier nachträglich verbessert, wo sich für den alten Ort eine Berichtigung im Betrage von etwa 1′ oder mehr erforderlich gefunden hatte.

Berichtigungen und zusätzliche Bemerkungen.

S. 29 Tafel: Æ $4^h,5^h$ δ_o 22°5 st. −3″7 l. −3″1; Æ $18^h,19^h$ δ_o −27°5 st. −4″9 l. −4″8. (Diese Fehler haben sich in der weiteren Rechnung fortgepflanzt, ohne das Resultat derselben merklich zu entstellen.)
» 32 Neue Nr. st. 233 l. 234
» » » » » 236 » 237
» » » » » 237 » 233
» 33 neue Nr. 284: ang. δ 1755 st. 22″70 l. 28″70
» neue Nr. 305: M. δ 1756 und ang. δ 1755 st. 32′ l. 52′ (Druckfehler im alten Catalog und in Baily's Ausgabe)
» 34 neue Nr. 382: M. δ 1756 st. 57′ l. 56′; ang. δ 1755 st. 58′ l. 57′
» 35 neue Nr. 487: bei δ 1755 fehlt das Zeichen − für den vorhergehenden Stern gilt noch und für den folgenden wieder das +Zeichen)
» 36 Neue Nr. st. 551 l. 550
» » » » » 552 » 551
» 37 neue Nr. 657: Decl. 1755 neue Bearb. st. 48″47 l. 48″57; ang. δ 1755 st. 47″64 l. 47″70
42 Z. 6: die Zahl von 345 nicht bei Bradley vorkommenden Sternen ergibt sich mit Einschluss des zwar eine Bradley-Nr. (1224) tragenden aber von Bradley nicht beobachteten Sterns M. 374 und ohne die bei Mayer neben den Hauptsternen vorkommenden, bei Bradley nicht besonders beobachteten Begleiter von ζ Cancri und ω^1 Scorpii. Die Zusammenstellung S. 201—206 enthält 346 Nummern, weil in dieser die Constanten für die bezeichneten beiden Begleiter aufgeführt, dagegen die im Bradley-Catalog bereits gegebenen für Br. 1224 nicht wiederholt sind.
» 61 Nr. 233: Beob. mit der Corr. -1^m berechnet. Wegen der wahrscheinlich richtigen und in den Catalog S. 106 eingeführten Correctur (F. 5 st. 3) s. S. 187. — Red. 1755 st. 3^s.94 l. 3^s.93, α 1755 st. 26^s.04 l. 26^s.03.
» 64 Nr. 316: Decl. st. 59′ l. 19′
» 66 Nr. 352: die Secunden des Mittels der Æ sollten fett gedruckt sein.
» 67 Nr. 377: Ep. Mittel Æ st. 56.7 l. 56.8
» 78 Nr. 657: Juni 2 Red. 1755 st. 9″2 l. 8″9, δ 1755 st. 45″9 l. 46″2; Mittel st. 48″47 l. 48″57
» » Nr. 660: Juni 21 Red. 1755 st. 9″0 l. 9″1, δ 1755 st. 17″9 l. 17″8
» 80 Nr. 703: Ep. Mittel Æ 57.1 (hinzuzufügen)
» 84 Nr. 795: Red. 1755 st. 17″3 l. 17″9, δ 1755 st. 42″6 l. 43″2
» » Nr. 804: Æ, erste Zeile, st. 19^m l. 10^m
» » Nr. 809: Æ st. 14^m l. 15^m
» 98 Nr. 40: Praec. st. 3^s.1186 l. 3^s.1185
» 102 Nr. 105: Praec. st. 3^s.4038 l. 3^s.4037, st. 14″470 l. 14″473
» 104 Nr. 171: Praec. st. 3^s.4970 l. 3^s.4969
» 106 Nr. 233: Æ st. 25^s.28 l. 25^s.29; Corr. Cat. M. $\Delta\alpha$ st. −921″9 l. −921″8
» » Nr. 234: Praec. st. 3^s.5736 l. 3^s.5737
» 112 Nr. 392: Praec. st. 3^s.3506 l. 3^s.3505
» 114 Nr. 411: Praec. st. −14″468 l. −14″466
» » Nr. 412: Decl. st. +27°23′ 2″6 l. +27°16′ 0″6, Corr. Cat. M. $\Delta\delta$ st. −2″9 l. −424″9
» 116 Nr. 451: Praec. st. 3^s.2770 l. 3^s.2769
» 118 Nr. 549: Praec. st. 3^s.0528 l. 3^s.0529
» 120 Nr. 584: Praec. st. 3^s.1390 l. 3^s.1391
» 122 Nr. 611: Praec. st. +3^s.4456 l. +3^s.4457
» » Nr. 630: Praec. st. 3^s.3238 l. 3^s.3239
» 124 Nr. 660: Decl. st. 17″7 l. 17″6, Corr. Cat. M. $\Delta\delta$ st. −3″7 l. −3″6
» 126 Nr. 713: Praec. st. 2″738 l. 2″739
» 128 Nr. 795: Decl. st. 42″7 l. 43″3, Corr. Cat. M. $\Delta\delta$ st. −5″6 l. −6″2
» 130 Nr. 844: Praec. st. 3^s.2926 l. 3^s.2927
» 132 Nr. 869: Praec. st. 3^s.3539 l. 3^s.3538
» 134 Nr. 936: Praec. st. +16″518 l. +16″517

S. 136 Nr. 961: mit der angegebenen Æ $22^h27^m24^s.68$ ist die EB. nicht $= -0^s.007$, sondern $= -0^s.002$ zu berechnen. Es ist wahrscheinlich, jedoch nicht ganz sicher, dass die Æ verbessert werden muss $25^s.68$; dazu würde dann EB. $-0^s.007$ gehören. Vgl. S. 197.

» » Nr. 993: EB. st. $+0''.01$ l. $-0''.01$

» 163 Nr. 660: wegen der Correctur des Catalogorts ist die Mayer'sche Declination für 1885 zu lesen $47''.6$ (Abw. $+2''.3$), beob. Betrag der EB. $-11''.8$.

» 169 Nr. 795: aus gleichem Grunde ist für Mayer 1885 zu lesen $39''.9$, beob. Betrag der EB. $+3''.4$ (jährliche EB. $+0''.031$); Abw. l. $-0''.4$ $+0''.2$ $+1''.2$ 0.

S. 58—79 sollte der S. 28 wegen des Zusatzes * zu der Zahl der Beobachtungen in Decl. gemachten Angabe entsprechend noch bei folgenden Sternen das Zeichen * zugesetzt werden:

Nr. 172 203 206 213 220 224 227 243 282 315 322 328 399 447 555 570 582 595 598 600 612 645 648 655 659 661 664 668.

Ausser bei Nr. 399 und 655 kommen aber die überschüssigen von Mayer für seinen Catalog benutzten Beobachtungen, auf welche das Zeichen * verweisen soll, bei allen diesen Sternen für den Catalog nicht in Betracht.

Druck von Breitkopf & Härtel in Leipzig.

Druck von Breitkopf & Härtel in Leipzig.

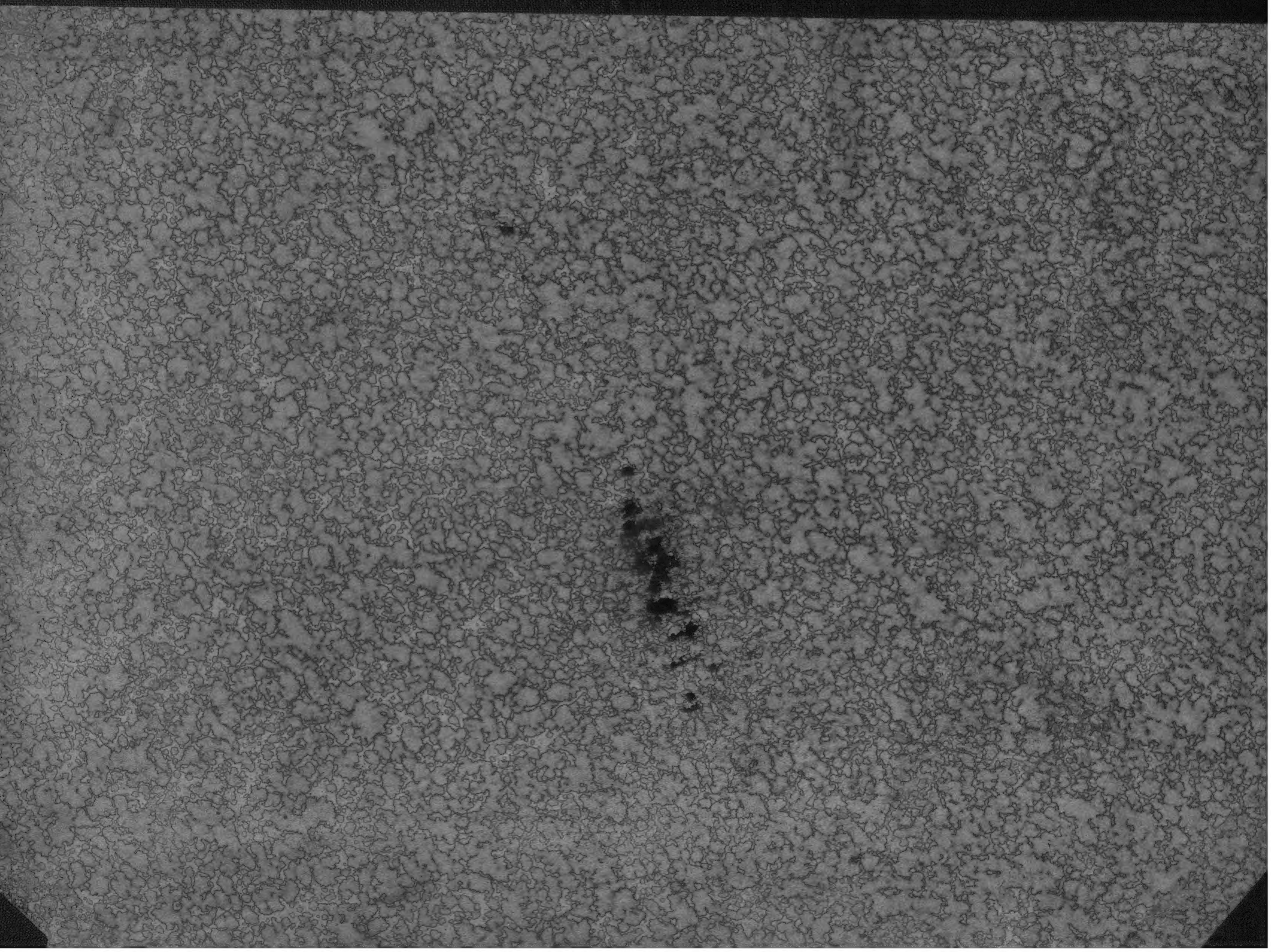

BSB Bayerische StaatsBibliothek
MDZ Münchener DigitalisierungsZentrum Digitale Bibliothek

Mayer, Tobias

Tobias Mayer's Sternverzeichniss nach den Beobachtungen auf der Göttinger Sternwarte in den Jahren 1756 bis 1760

Leipzig 1894

4 Eph.astr. 73 d
urn:nbn:de:bvb:12-bsb00073230-0